

Proračun čelične konstrukcije vikendice i usporedba s vikendicom klasične gradnje

Lanča, Natali

Master's thesis / Diplomski rad

2021

Degree Grantor / Ustanova koja je dodijelila akademski / stručni stupanj: **University of Rijeka, Faculty of Civil Engineering / Sveučilište u Rijeci, Građevinski fakultet**

Permanent link / Trajna poveznica: <https://urn.nsk.hr/um:nbn:hr:157:110545>

Rights / Prava: [In copyright/Zaštićeno autorskim pravom.](#)

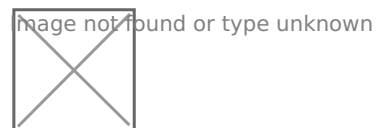
Download date / Datum preuzimanja: **2025-03-14**



image not found or type unknown

Repository / Repozitorij:

[Repository of the University of Rijeka, Faculty of Civil Engineering - FCERI Repository](#)



**SVEUČILIŠTE U RIJECI
GRAĐEVINSKI FAKULTET**

Natali Lanča

**PRORAČUN ČELIČNE KONSTRUKCIJE VIKENDICE I USPOREDBA S VIKENDICOM
KLASIČNE GRADNJE**

Diplomski rad

Rijeka, 2021.

SVEUČILIŠTE U RIJECI
GRAĐEVINSKI FAKULTET

Sveučilišni diplomski studij
Smjer: Konstrukcije
Lagane konstrukcije

Natali Lanča

JMBAG: 0114029237

**PRORAČUN ČELIČNE KONSTRUKCIJE VIKENDICE I USPOREDBA S VIKENDICOM
KLASIČNE GRADNJE**

Diplomski rad

Rijeka, srpanj 2021.

Naziv studija: **Sveučilišni diplomski studij Građevinarstvo**

Znanstveno područje: Tehničke znanosti

Znanstveno polje: Građevinarstvo

Znanstvena grana: Nosive konstrukcije

Tema diplomskog rada

**PRORAČUN ČELIČNE KONSTRUKCIJE VIKENDICE I USPOREDBA S VIKENDICOM KLASIČNE
GRADNJE**

**DESIGN OF STEEL STRUCTURE OF COTTAGE AND COMPARISON WITH CLASSIC CONSTRUCTION
COTTAGE**

Kandidatkinja: **NATALI LANČA**

Kolegij: **LAGANE KONSTRUKCIJE**

Diplomski rad broj: **K-2021-13**

Zadatak:

Zadatak:

Potrebno je dati prijedloge konstrukcijskih rješenja čelične konstrukcije vikendice na temelju idejne arhitektonske vizualizacije. Predložiti dva rješenja glavne nosive konstrukcije, dva rješenja međukatne konstrukcije, te dva rješenja nosača fasade. Odabrati optimalno konstrukcijsko rješenje te provesti analizu djelovanja koristeći se svim važećim propisima. Modelirati konstrukciju u programskom paketu Dlubal RFEM. Provjeti dimenzioniranje karakterističnih konstrukcijskih elemenata za granično stanje nosivosti i granično stanje uporabivosti koristeći se propisima za projektiranje čeličnih i spregnutih konstrukcija. Dati prijedlog karakterističnih detalja, te provesti proračune i izraditi nacrte konstrukcije. Napraviti usporedbu utroška materijala te analizirati cijene dobivne za čeličnu konstrukciju u odnosu na vikendicu klasične gradnje.

Tema rada je uručena: 24. veljače 2021.

Mentorica:

doc. dr. sc. Paulina Krolo,
dipl. ing. grad.

IZJAVA

Diplomski rad sam izradila samostalno, u suradnji s mentoricom i uz poštivanje pozitivnih građevinskih propisa i znanstvenih dostignuća iz područja građevinarstva. Građevinski fakultet u Rijeci je nositelj prava intelektualnog vlasništva u odnosu na ovaj rad.

Natali Lanča

U Rijeci, 30. lipnja 2021.

SAŽETAK

U ovom diplomskom radu provedeno je dimenzioniranje čelične konstrukcije koja je predviđena kao vikendica, odnosno kuća za odmor. Smještena je na području naselja Trget koji se nalazi u Istarskoj županiji na nadmorskoj visini od 100 metara nad morem. Objekt pravokutnog tlocrtnog oblika ukupno 54 m² nalazi se u stijenskom zasječku. Nagib jednostrešnog krova građevine jest 5° stoga je projektiran kao ravan krov.

Konstrukcija je dimenzionirana na stalna i promjenjiva opterećenja od vjetra i snijega koja djeluju na krovnu konstrukciju i vertikalne zidove. Analiza je provedena prema europskim normama i nacionalnim dodacima korištenjem programskog paketa Dlubal RFEM. Nosivost spojeva provjerena je u programu IDEA StatiCa. Spojevi su izvedeni u vijčanoj izvedbi. Izvedbeni nacrti te iskaz materijala napravljeni su koristeći program Autodesk Advance Steel.

Posebna pažnja posvećena je oblikovanju konstrukcije kako bi se dobole optimalne dimenzije konstrukcijskih elemenata. Razmatrane su dvije varijante glavnih nosača u izvedbi s IPN i HEA profilima, dvije varijante međukatne konstrukcije u izvedbi sa spregnutom pločom i roštiljnim sustavom te dvije varijante nosača fasade u izvedbi s UPN i IPN profilima. Provedena je usporedba čelične konstrukcije vikendice s vikendicom u klasičnoj izvedbi. S obzirom na cijenu utroška materijala, vikendica u klasičnoj izvedbi je ekonomičnija.

Ključne riječi: čelična konstrukcija, dimenzioniranje, spojevi, izvedbeni nacrt, vikendica

ABSTRACT

In this diploma thesis, the design of the steel structure was conducted, which is intended as a cottage, ie a holiday home. It is located in the area of Trget which is located in the Istria County at an altitude of 100 meters above sea level. The building with a rectangular floor plan, a total of 54 m², is located in a rock notch. The slope of the single-pitched roof of the building is 5 °, so it is designed as a flat roof.

The structure is dimensioned for constant and variable loads from wind and snow acting on the roof structure and vertical walls. The analysis was performed according to European Standards and National Annexes using the Dlubal RFEM software package. The load-bearing capacity of the joints was checked in the IDEA StatiCa program. The joints are made in a screw version. Performance drawings with material statements were made using Autodesk Advance Steel.

Special attention is paid to the design of the structure in order to make the best use of the characteristics of each part of the structure. Two variants of the main beam in the version with IPN and HEA profiles, two variants of the mezzanine construction in the version with a composite panel and grill system and two variants of the facade girders in the version with UPN and IPN profiles were considered. A comparison of the steel construction of the cottage with the cottage in the classic design was performed. Given the price of material consumption, the cottage in the classic design is more economical.

Keywords: steel structure, structural design, joints, detailed design, cottage

SADRŽAJ

| | | |
|----------|--|----|
| 1. | UVOD..... | 13 |
| 2. | TEHNIČKI OPIS..... | 14 |
| 3. | PROGRAM KONTROLE I OSIGURANJA KVALITETE..... | 15 |
| 3.1. | Tehnički uvjeti za izradu i montažu čelične konstrukcije | 15 |
| 3.1.1. | Materijali za izradu čelične konstrukcije | 15 |
| 3.1.2. | Zavari i vijci..... | 16 |
| 3.1.3. | Izvođenje i montaža čelične konstrukcije i upravljanje kvalitetom | 16 |
| 3.1.4. | Propisi | 20 |
| 3.1.5. | Opće napomene za izradu čelične konstrukcije u radionici..... | 20 |
| 3.1.6. | Elementi konstrukcije..... | 20 |
| 3.1.7. | Antikorozivna zaštita..... | 21 |
| 3.1.8. | Protupožarna zaštita | 21 |
| 3.1.9. | Prijem elemenata čelične konstrukcije | 21 |
| 3.2. | Tehnički uvjeti za betonsku i armiranobetonsku konstrukciju | 22 |
| 3.2.1. | Općenito..... | 22 |
| 3.2.2. | Kontrola kvalitete..... | 23 |
| 3.2.3 | Materijali..... | 24 |
| 3.2.4 | Razredba betona — specifikacije betona..... | 26 |
| 3.2.5 | Sastav betona..... | 27 |
| 3.2.6 | Isporuka svježeg betona..... | 27 |
| 3.2.7 | Skele i oplate | 30 |
| 3.2.8 | Armatura i ugradnja armature..... | 32 |
| 3.2.9 | Betoniranje..... | 33 |
| 4. | OBLIKOVANJE KONSTRUKCIJE | 38 |
| 4.1. | Oblikovanje glavnih <i>N</i> – nosača | 47 |
| 4.2. | Oblikovanje međukatne konstrukcije | 51 |
| 4.3. | Oblikovanje nosača fasade..... | 52 |
| 5. | ANALIZA DJELOVANJA | 53 |
| 5.1. | Stalno djelovanje..... | 53 |
| 5.2. | Uporabno opterećenje..... | 54 |
| 5.3. | Promjenjivo opterećenje snijegom | 55 |
| 5.4. | Promjenjivo opterećenje vjetrom | 57 |
| 5.4.1. | Smjer vjetra poprečno – istočna strana | 62 |
| 5.4.1.1. | Smjer vjetra poprečno – istočna strana / bez unutarnjeg vjetra | 63 |
| 5.4.1.2. | Smjer vjetra poprečno – istočna strana / unutarnji pritisak $c_{pi} = 0,2$ | 65 |

| | |
|--|-----|
| 5.4.1.3. Smjer vjetra uzdužno – istočna strana / unutarnji usis $c_{pi} = -0,3$ | 67 |
| 5.4.2. Smjer vjetra poprečno – zapadna strana..... | 69 |
| 5.4.2.1. Smjer vjetra poprečno – zapadna strana / bez unutarnjeg vjetra | 70 |
| 5.4.2.2. Smjer vjetra poprečno – istočna strana / unutarnji pritisak $c_{pi} = 0,2$ | 72 |
| 5.4.2.3. Smjer vjetra uzdužno – istočna strana / unutarnji usis $c_{pi} = -0,3$ | 74 |
| 5.4.3. Smjer vjetra uzdužno – južna strana..... | 76 |
| 5.4.3.1. Smjer vjetra uzdužno – južna strana / bez unutarnjeg vjetra..... | 77 |
| 5.4.3.2. Smjer vjetra uzdužno – južna strana / unutarnji pritisak $c_{pi} = 0,2$ | 79 |
| 5.4.3.3. Smjer vjetra uzdužno – južna strana / unutarnji usis $c_{pi} = -0,3$ | 81 |
| 5.4.4. Smjer vjetra uzdužno – sjeverna strana..... | 83 |
| 5.4.4.1. Smjer vjetra uzdužno – sjeverna strana / bez unutarnjeg vjetra | 84 |
| 5.4.4.2. Smjer vjetra uzdužno – sjeverna strana / unutarnji pritisak $c_{pi} = 0,2$ | 86 |
| 5.4.4.3. Smjer vjetra uzdužno – sjeverna strana / unutarnji usis $c_{pi} = -0,3$ | 88 |
| 5.4.5. Smjer vjetra poprečno – djelovanje na međukatnu konstrukciju..... | 90 |
| 5.4.6. Smjer vjetra uzdužno – djelovanje na stropnu međukatnu konstrukciju | 93 |
| 6. DIMENZIONIRANJE ELEMENATA KONSTRUKCIJE..... | 95 |
| 6.1. Proračunske kombinacije djelovanja | 96 |
| 6.2. Dimenzioniranje krovnog poprečnog nosača | 111 |
| 6.2.1. Proračun GSN krovnog poprečnog nosača | 112 |
| 6.2.2. Proračun GSU krovnog poprečnog nosača | 118 |
| 6.3. Dimenzioniranje podrožnica (krovnih poprečnih nosača) | 121 |
| 6.3.1. Proračun GSN podrožnica (poprečnih krovnih nosača) | 122 |
| 6.3.2. Proračun GSU podrožnica (poprečnih krovnih nosača) | 126 |
| 6.4. Dimenzioniranje uzdužnih krovnih nosača | 129 |
| 6.4.1. Proračun GSN uzdužnih krovnih nosača | 130 |
| 6.4.2. Proračun GSU uzdužnih krovnih nosača | 134 |
| 6.5. Dimenzioniranje N-nosača | 136 |
| 6.5.1. Proračun GSN N-nosača | 137 |
| 6.5.2. Proračun GSU N-nosača | 141 |
| 6.6. Dimenzioniranje nosača fasade | 143 |
| 6.6.1. Proračun GSN nosača fasade | 144 |
| 6.6.2. Proračun GSU nosača fasade | 148 |
| 6.7. Dimenzioniranje međukatne spregnute ploče | 150 |
| 6.7.1. Karakteristike materijala | 150 |
| 6.7.2. Proračun unutarnjih sila spregnute ploče..... | 151 |
| 6.7.3. Proračun nosivosti na savijanje te uzdužni i vertikalni posmik..... | 151 |
| 6.8. Dimenzioniranje poprečnih međukatnih nosača..... | 153 |

| | |
|---|-----|
| 6.8.1. Proračun GSN poprečnih međukatnih nosača..... | 154 |
| 6.8.2. Proračun GSU poprečnih međukatnih nosača | 157 |
| 6.9. Dimenzioniranje uzdužnih međukatnih nosača..... | 160 |
| 6.9.1. Proračun GSN uzdužnih međukatnih nosača..... | 161 |
| 6.9.2. Proračun GSU uzdužnih međukatnih nosača..... | 164 |
| 6.10. Dimenzioniranje stupova fasade – bočni | 168 |
| 6.10.1. Proračun GSN bočnih stupova fasade..... | 169 |
| 6.10.2. Proračun GSU bočnih stupova fasade..... | 173 |
| 6.11. Dimenzioniranje stupova fasade – straga | 175 |
| 6.11.1. Proračun GSN stražnjih stupova fasade..... | 176 |
| 6.11.2. Proračun GSU stražnjih stupova fasade | 181 |
| 6.12. Dimenzioniranje stupa pročelja | 184 |
| 6.12.1. Proračun GSN stupova pročelja | 185 |
| 6.12.2. Proračun GSU stupova pročelja | 189 |
| 7. PRORAČUN SPOJEVA I PRIKLJUČAKA | 192 |
| 7.1. Priključak G10 (N-nosača) na temelje | 192 |
| 7.1.1. Materijali..... | 193 |
| 7.1.2. Provjera ploča | 194 |
| 7.1.3. Provjera vijaka..... | 194 |
| 7.1.3.1. Provjera vijaka na vlak | 194 |
| 7.1.3.2. Posmična provjera na probaj..... | 195 |
| 7.1.3.3. Provjera vijaka na pritisak po omotaču rupe | 195 |
| 7.1.4. Provjera zavara..... | 196 |
| 7.1.5 Provjera tlačne otpornosti temelja | 196 |
| 7.2. Priključak G11 i G12 (N-nosača) na temelje..... | 197 |
| 7.2.1. Materijali..... | 198 |
| 7.2.2. Provjera ploča | 199 |
| 7.2.3. Provjera vijaka..... | 200 |
| 7.2.3.1. Provjera vijaka na vlak | 200 |
| 7.2.3.2. Provjera otpornosti na probaj glave vijka ili matice | 200 |
| 7.2.3.3. Provjera vijaka na pritisak po omotaču rupe | 201 |
| 7.2.4. Provjera zavara..... | 201 |
| 7.2.5. Provjera tlačne otpornosti temelja | 202 |
| 7.3. Priključak G10 i G12 (N-nosača) u sljemenu | 203 |
| 7.3.1. Materijali..... | 203 |
| 7.3.2. Provjera ploča | 204 |
| 7.3.3. Provjera zavara..... | 204 |

| | |
|--|-----|
| 7.4. Priključak poprečnog međukatnog nosača G9 spregnute ploče na N-nosače..... | 205 |
| 7.4.1. Materijali..... | 206 |
| 7.4.2. Provjera ploča | 207 |
| 7.4.3. Provjera vijaka..... | 207 |
| 7.4.3.1. Provjera vijaka na vlak | 208 |
| 7.4.3.2. Provjera otpornosti na proboj- punching test | 208 |
| 7.4.3.3. Provjera vijaka na pritisak po omotaču rupe | 208 |
| 7.4.4. Provjera zavara..... | 209 |
| 7.5. Priključak uzdužnog međukatnog nosača G6, G7, G8 spregnute ploče na N-nosače..... | 210 |
| 7.5.1. Materijali..... | 210 |
| 7.5.2. Provjera ploča | 211 |
| 7.5.3. Provjera vijaka..... | 212 |
| 7.5.3.1. Provjera vijaka na vlak | 212 |
| 7.5.3.2. Posmična provjera na proboj..... | 212 |
| 7.5.3.3. Provjera vijaka na pritisak po omotaču rupe | 213 |
| 7.5.4. Provjera zavara..... | 214 |
| 7.6. Priključak uzdužnih međukatnih nosača G6 na potporni zid | 215 |
| 7.6.1. Materijali..... | 216 |
| 7.6.2. Provjera ploča | 217 |
| 7.6.3. Provjera vijaka..... | 217 |
| 7.6.3.1. Provjera vijaka na vlak | 217 |
| 7.6.3.2. Provjera otpornosti na proboj glave vijka ili matice | 218 |
| 7.6.3.3. Provjera vijaka na pritisak po omotaču rupe | 218 |
| 7.6.4. Provjera zavara..... | 218 |
| 7.7. Priključak stupova fasade S1-S8 na armirano-betonski zid | 219 |
| 7.7.1. Materijali..... | 220 |
| 7.7.2. Provjera ploča | 221 |
| 7.7.3. Provjera vijaka..... | 221 |
| 7.7.3.1. Provjera vijaka na vlak | 222 |
| 7.7.3.2. Provjera otpornosti na proboj glave vijka ili matice | 222 |
| 7.6.3.3. Provjera vijaka na pritisak po omotaču rupe | 222 |
| 7.7.4. Provjera zavara..... | 223 |
| 7.7.5. Provjera tlačne otpornosti temelja | 223 |
| 7.8. Priključak nosača G13, G14, G15 fasade na stupove fasade S1 - S8 | 224 |
| 7.8.1. Materijali..... | 224 |
| 7.8.2. Provjera ploča | 226 |
| 7.8.3. Provjera vijaka..... | 226 |

| | |
|--|-----|
| 7.8.3.1. Provjera vijaka na vlak | 227 |
| 7.8.3.2. Posmična provjera na proboj..... | 227 |
| 7.8.3.3. Provjera vijaka na pritisak po omotaču rupe | 227 |
| 7.9. Priključak krovnog nosača G1 na N-nosače G10, G11, G12 | 229 |
| 7.9.1. Materijali..... | 229 |
| 7.9.2. Provjera ploča | 231 |
| 7.9.3. Provjera vijaka..... | 231 |
| 7.9.3.1. Provjera vijaka na vlak | 232 |
| 7.9.3.2. Provjera otpornosti na proboj | 232 |
| 7.9.3.3. Provjera vijaka na pritisak po omotaču rupe | 232 |
| 7.10. Priključak uzdužnih nosača G2, G3 na krovni poprečni nosač G1..... | 234 |
| 7.10.1. Materijali..... | 234 |
| 7.10.2. Provjera ploča | 236 |
| 7.10.3. Provjera vijaka..... | 236 |
| 7.10.3.1. Provjera vijaka na vlak | 236 |
| 7.8.3.2. Provjera otpornosti na proboj | 237 |
| 7.10.3.3. Provjera vijaka na pritisak po omotaču rupe | 237 |
| 7.10.4. Provjera zavara | 238 |
| 7.11. Priključak podrožnica G4, G5 na uzdužne krovne nosače G2, G3..... | 239 |
| 7.11.1. Materijali..... | 240 |
| 7.11.2. Provjera ploča | 241 |
| 7.11.3. Provjera vijaka..... | 241 |
| 7.11.3.1. Provjera vijaka na vlak | 242 |
| 7.11.3.2. Provjera otpornosti na proboj- punching test | 242 |
| 7.11.3.3. Provjera vijaka na pritisak po omotaču rupe | 242 |
| 8. USPOREDBA S KLASIČNOM GRADNJOM..... | 244 |
| 9. ZAKLJUČAK | 249 |
| 10. LITERATURA | 250 |
| 11. ISKAZ MATERIJALA | 252 |
| 11.1. Iskaz elemenata | 252 |
| 11.2. Iskaz spojnih profila | 253 |
| 11.3. Iskaz pločica (limova) | 253 |
| 11.4. Iskaz vijaka i ankera..... | 254 |
| 12. PRILOZI | 255 |

POPIS TABLICA

| | |
|--|----|
| Tablica 1: Analiza stalnog opterećenja na fasadu, krov i međukatnu konstrukciju..... | 53 |
| Tablica 2: Opterećenje snijegom za snježna područja i pripadajuće nadmorske visine [3] | 55 |
| Tablica 3: Koeficijenti oblika opterećenja snijegom [4] | 57 |
| Tablica 4: Kategorije terena i parametri terena [6] | 59 |
| Tablica 5: Prikaz vrijednosti koeficijenata vanjskog pritiska $c_{pe,10}$ i vanjskog pritiska w_e poprečnog vjetra koji puše s istočne strane zgrade | 63 |
| Tablica 6: Prikaz vrijednosti koeficijenata vanjskog usisa $c_{pe,10}$ i vanjskog usisa w_e za negativan smjer (usis) djelovanja poprečnog vjetra koji puše s istočne strane zgrade | 64 |
| Tablica 7: Prikaz vrijednosti koeficijenata vanjskog pritiska $c_{pe,10}$ i vanjskog pritiska w_e za pozitivan smjer djelovanja poprečnog vjetra koji puše s istočne strane zgrade | 65 |
| Tablica 8: Prikaz vrijednosti koeficijenata vanjskog usisa $c_{pe,10}$ i vanjskog usisa w_e za negativan smjer (usis) djelovanja poprečnog vjetra koji puše s istočne strane zgrade | 66 |
| Tablica 9: Prikaz vrijednosti koeficijenata vanjskog pritiska $c_{pe,10}$ i vanjskog pritiska w_e za pozitivan smjer djelovanja poprečnog vjetra koji puše s istočne strane zgrade | 67 |
| Tablica 10: Prikaz vrijednosti koeficijenata vanjskog usisa $c_{pe,10}$ i vanjskog usisa w_e za negativan smjer djelovanja poprečnog vjetra koji puše s istočne strane zgrade | 68 |
| Tablica 11: Prikaz vrijednosti koeficijenata vanjskog pritiska $c_{pe,10}$ i vanjskog pritiska w_e za pozitivan smjer djelovanja poprečnog vjetra koji puše sa zapadne strane zgrade | 70 |
| Tablica 12: Prikaz vrijednosti koeficijenata vanjskog usisa $c_{pe,10}$ i vanjskog usisa w_e za negativan smjer djelovanja poprečnog vjetra koji puše sa zapadne strane zgrade | 71 |
| Tablica 13: Prikaz vrijednosti koeficijenata vanjskog pritiska $c_{pe,10}$ te vanjskog w_e i unutarnjeg pritiska w_i za pozitivan smjer djelovanja poprečnog vjetra koji puše sa zapadne strane zgrade | 72 |
| Tablica 14: Prikaz vrijednosti koeficijenata vanjskog usisa $c_{pe,10}$ te vanjskog w_e i unutarnjeg usisa w_i za negativan smjer djelovanja poprečnog vjetra koji puše sa zapadne strane zgrade | 73 |
| Tablica 15: Prikaz vrijednosti koeficijenata vanjskog pritiska $c_{pe,10}$ te vanjskog w_e i unutarnjeg pritiska w_i za pozitivan smjer djelovanja poprečnog vjetra koji puše sa zapadne strane zgrade | 74 |
| Tablica 16: Prikaz vrijednosti koeficijenata vanjskog usisa $c_{pe,10}$ te vanjskog w_e i unutarnjeg vjetra w_i za negativan smjer djelovanja poprečnog vjetra koji puše sa zapadne strane zgrade | 75 |
| Tablica 17: Prikaz vrijednosti koeficijenata vanjskog pritiska $c_{pe,10}$ i vanjskog vjetra w_e za pozitivan smjer djelovanja uzdužnog vjetra koji puše sa južne strane zgrade | 77 |
| Tablica 18: Prikaz vrijednosti koeficijenata vanjskog usisa $c_{pe,10}$ i vanjskog vjetra w_e za negativan smjer djelovanja uzdužnog vjetra koji puše sa južne strane zgrade | 78 |
| Tablica 19: Prikaz vrijednosti koeficijenata vanjskog pritiska $c_{pe,10}$ te vanjskog w_e i unutarnjeg pritiska w_i za pozitivan smjer djelovanja uzdužnog vjetra koji puše sa južne strane zgrade | 79 |
| Tablica 20: Prikaz vrijednosti koeficijenata vanjskog usisa $c_{pe,10}$ te vanjskog w_e i unutarnjeg vjetra w_i za negativan smjer djelovanja uzdužnog vjetra koji puše sa južne strane zgrade | 80 |
| Tablica 21: Prikaz vrijednosti koeficijenata vanjskog pritiska $c_{pe,10}$ te vanjskog w_e i unutarnjeg vjetra w_i za pozitivan smjer djelovanja poprečnog vjetra koji puše sa južne strane zgrade | 81 |
| Tablica 22: Prikaz vrijednosti koeficijenata vanjskog usisa $c_{pe,10}$ te vanjskog w_e i unutarnjeg vjetra w_i za negativan smjer djelovanja uzdužnog vjetra koji puše sa južne strane zgrade | 82 |
| Tablica 23: Prikaz vrijednosti koeficijenata vanjskog pritiska $c_{pe,10}$ i vanjskog vjetra w_e za pozitivan smjer djelovanja uzdužnog vjetra koji puše sa sjeverne strane zgrade | 84 |
| Tablica 24: Prikaz vrijednosti koeficijenata vanjskog usisa $c_{pe,10}$ i vanjskog vjetra w_e za negativan smjer djelovanja uzdužnog vjetra koji puše sa sjeverne strane zgrade | 85 |
| Tablica 25: Prikaz vrijednosti koeficijenata vanjskog pritiska $c_{pe,10}$ te vanjskog w_e i unutarnjeg vjetra w_i za pozitivan smjer djelovanja uzdužnog vjetra koji puše sa sjeverne strane zgrade | 86 |

| | |
|---|-----|
| Tablica 26: Prikaz vrijednosti koeficijenata vanjskog usisa $c_{pe,10}$ te vanjskog w_e i unutarnjeg vjetra w_i za negativan smjer djelovanja uzdužnog vjetra koji puše sa sjeverne strane zgrade..... | 87 |
| Tablica 27: Prikaz vrijednosti koeficijenata vanjskog pritiska $c_{pe,10}$ te vanjskog w_e i unutarnjeg vjetra w_i za pozitivan smjer djelovanja poprečnog vjetra koji puše sa sjeverne strane zgrade | 88 |
| Tablica 28: Prikaz vrijednosti koeficijenata vanjskog usisa $c_{pe,10}$ te vanjskog w_e i unutarnjeg vjetra w_i za negativan smjer djelovanja uzdužnog vjetra koji puše sa sjeverne strane zgrade..... | 89 |
| Tablica 29: $c_{p,net}$ i c_f vrijednosti za jednostrešne / ravne krovove [6] | 91 |
| Tablica 30: Prikaz vrijednosti koeficijenta neto pritiska $c_{p,net}$ i rezultantnog pritiska za nagib krova od $\alpha = 0^\circ$ i minimalan $\phi = 1$ prema tablici 29 | 92 |
| Tablica 31: Prikaz vrijednosti koeficijenta neto pritiska $c_{p,net}$ i rezultantnog pritiska za nagib krova od $\alpha = 0^\circ$ i minimalan $\phi = 0$ prema tablici 29 | 93 |
| Tablica 32: Popis odabralih poprečnih presjeka glavnog i sekundarnog nosivog sustava s pripadajućim vrijednostima iskorištenosti za GSN i GSU..... | 95 |
| Tablica 33: Opterećenja na koja je dimenzionirana konstrukcija | 96 |
| Tablica 34: Kombinacije opterećenja za proračun GSN modela..... | 97 |
| Tablica 35: Kombinacije opterećenja za proračun GSU konstrukcije | 106 |
| Tablica 36: Provjera ploča na spoju stupova na temelj – istok | 194 |
| Tablica 37: Sažetak provjere vijaka koji spajaju temeljnu ploču sa stupom na istočnoj strani. | 194 |
| Tablica 38: Sažetak provjere zavara na spoju stupa na temeljnu ploču istočno. | 196 |
| Tablica 39: Podaci potrebni za proračun ploča na spoju stupova na temelj – zapad..... | 199 |
| Tablica 40: Sažetak provjere vijaka koji spajaju temeljnu ploču sa stupovima na zapadnoj strani.... | 200 |
| Tablica 41: Sažetak provjere zavara na spoju stupova na temeljnu ploču zapadno..... | 201 |
| Tablica 42: Provjera ploča na spoju N-nosača u sljemenu..... | 204 |
| Tablica 43: Sažetak provjere zavara na spoju N-nosača u sljemenu..... | 204 |
| Tablica 44: Provjera ploča na spoju poprečnih međukatnih nosača na N-nosače. | 207 |
| Tablica 45: Sažetak provjere vijaka koji spajaju poprečne međukatne nosače sa N-nosačima. | 207 |
| Tablica 46: Sažetak provjere zavara na spoju poprečnih međukatnih nosača i N-nosača. | 209 |
| Tablica 47: Provjera ploča na spoju uzdužnih međukatnih nosača na N-nosače. | 211 |
| Tablica 48: Sažetak provjere vijaka koji spajaju uzdužne međukatne nosače sa N-nosačima. | 212 |
| Tablica 49: Sažetak provjere zavara na spoju uzdužnih međukatnih nosača i N-nosača. | 214 |
| Tablica 50: Podaci potrebni za proračun ploča na spoju uzdužnih međukatnih nosača na potporni zid. | 217 |
| Tablica 51: Sažetak provjere vijaka koji spajaju temeljnu ploču sa stupovima na zapadnoj strani.... | 217 |
| Tablica 52: Sažetak provjere zavara na spoju stupova na temeljnu ploču zapadno..... | 218 |
| Tablica 53: Podaci potrebni za proračun ploča na spoju stupova fasade na potporni zid. | 221 |
| Tablica 54: Sažetak provjere vijaka koji spajaju temeljnu ploču sa stupovima na zapadnoj strani.... | 221 |
| Tablica 55: Sažetak provjere zavara na spoju stupova fasade na potporni zid. | 223 |
| Tablica 56: Provjera ploča na spoju nosača fasade sa stupovima fasade..... | 226 |
| Tablica 57: Sažetak provjere vijaka koji spajaju nosače fasade sa stupovima fasade. | 226 |
| Tablica 58: Provjera ploča na spoju krovnog nosača na N-stupove..... | 231 |
| Tablica 59: Sažetak provjere vijaka koji spajaju krovni nosač sa N-stupovima..... | 231 |
| Tablica 60: Provjera ploča na spoju uzdužnih krovnih nosača s krovnim nosačem..... | 236 |
| Tablica 61: Sažetak provjere vijaka koji spajaju uzdužne krovne nosače s krovnim nosačem. | 236 |
| Tablica 62: Sažetak provjere zavara na spoju uzdužnih krovnih nosača s krovnim nosačem. | 238 |
| Tablica 63: Provjera ploča na spoju podrožnica na uzdužne krovne nosače..... | 241 |
| Tablica 64: Sažetak provjere vijaka koji spajaju podrožnice sa stupovima fasade. | 241 |
| Tablica 65: Usporedba cijene koštanja temelja između kuće čelične i klasične izvedbe..... | 247 |
| Tablica 66: Usporedba cijene koštanja izvedbe ploče između kuće čelične i klasične izvedbe | 247 |

| | |
|---|-----|
| Tablica 67: Usporedba cijene koštanja izvedbe fasade i nosivog sustava između kuće čelične i klasične izvedbe | 247 |
| Tablica 68: Usporedba cijene koštanja izvedbe krova između kuće čelične i klasične izvedbe..... | 248 |
| Tablica 69: Usporedba cijene koštanja kuće čelične i klasične izvedbe | 248 |

POPIS SLIKA

| | |
|--|----|
| Slika 1: Vizualizacija čelične konstrukcije s oznakama strana svijeta [10] | 38 |
| Slika 2: Tlocrtna vizualizacija (dimenzije u mm) [9] | 39 |
| Slika 3: Pogled na konstrukciju sa zapada [9] | 40 |
| Slika 4: Pogled na konstrukciju sa sjeverozapada [9]..... | 41 |
| Slika 5: Prikaz eksterijera bakona [9] | 42 |
| Slika 6: Pozicija glavnih N-nosača [5] | 42 |
| Slika 7: Pozicija krovnog nosača [5] | 43 |
| Slika 8: Pozicija poprečnih krovnih nosača (podrožnica) [5]..... | 43 |
| Slika 9: Pozicija uzdužnih krovnih nosača [5] | 44 |
| Slika 10: Pozicija poprečnih nosača međukate konstrukcije [5] | 44 |
| Slika 11: Pozicija uzdužnih međukatnih nosača konstrukcije [5] | 45 |
| Slika 12: Pozicija vertikalnih fasadnih nosača [5]..... | 45 |
| Slika 13: Pozicija stražnji stupovi fasade [5]..... | 46 |
| Slika 14: Pozicija horizontalnih fasadnih nosača [5] | 46 |
| Slika 15: Prikaz varijante N-nosača s poprečnim presjekom IPN300 [5]..... | 47 |
| Slika 16: Prikaz varijante međukatne konstrukcije kao roštiljni sustav. [5] | 51 |
| Slika 17: Prikaz stalnog krovnog, fasadnog i stropnog opterećenja na konstrukciju u kN/m^2 [5] | 54 |
| Slika 18: Prikaz korisnog opterećenja na međukatnu konstrukciju u kN/m^2 . [5] | 54 |
| Slika 19: Karta snježnih područja [3]..... | 56 |
| Slika 20: Prikaz karakterističnog opterećenja snijegom na konstrukciji krova u kN/m^2 [5]..... | 57 |
| Slika 21: Karte osnovnih brzina vjetra Republike Hrvatske $v_{b,0}$ [7]..... | 58 |
| Slika 22: Prikaz djelovanja vjetra (pritisak – pozitivan i usis – negativan) | 61 |
| Slika 23: Prikaz vjerovnih zona krovnih i vertikalnih ravnina za istočni poprečni smjer vjetra [5] | 62 |
| Slika 24: Prikaz vjerovnih krovnih i fasadnih zona za pozitivan smjer (pritisak) vanjskog istočnog poprečnog vjetra gdje je koeficijent unutarnjeg tlaka c_{pi} jednak 0 [5] | 63 |
| Slika 25: Prikaz vjerovnih krovnih i fasadnih zona za negativan smjer (usis) vanjskog istočnog poprečnog vjetra gdje je koeficijent unutarnjeg tlaka c_{pi} jednak 0 [5] | 64 |
| Slika 26: Prikaz vjerovnih krovnih i fasadnih zona za pozitivan smjer vanjskog istočnog poprečnog vjetra gdje je koeficijent unutarnjeg tlaka $c_{pi} = 0,2$. [5] | 65 |
| Slika 27: Prikaz vjerovnih krovnih i fasadnih zona za negativan smjer (usis) vanjskog istočnog poprečnog vjetra gdje je koeficijent unutarnjeg tlaka $c_{pi} = 0,2$ [5] | 66 |
| Slika 28: Prikaz vjerovnih krovnih i fasadnih zona za pozitivan smjer vanjskog istočnog poprečnog vjetra gdje je koeficijent unutarnjeg tlaka $c_{pi} = -0,3$ [5] | 67 |
| Slika 29: Prikaz vjerovnih krovnih i fasadnih zona za negativan smjer vanjskog istočnog poprečnog vjetra gdje je koeficijent unutarnjeg tlaka $c_{pi} = -0,3$ [5] | 68 |
| Slika 30: Prikaz vjerovnih zona krovnih i vertikalnih ravnina za zapadni poprečni smjer vjetra $\Theta=180^\circ$ [5] | 69 |
| Slika 31: Prikaz vjerovnih krovnih i fasadnih zona za pozitivan smjer vanjskog zapadnog poprečnog vjetra gdje je koeficijent unutarnjeg tlaka c_{pi} jednak 0 [5]..... | 70 |
| Slika 32: Prikaz vjerovnih krovnih i fasadnih zona za negativan smjer vanjskog zapadnog poprečnog vjetra gdje je koeficijent unutarnjeg tlaka c_{pi} jednak 0 [5]..... | 71 |
| Slika 33: Prikaz vjerovnih krovnih i fasadnih zona za pozitivan smjer vanjskog zapadnog poprečnog vjetra gdje je koeficijent unutarnjeg tlaka $c_{pi} = 0,2$ [5] | 72 |
| Slika 34: Prikaz vjerovnih krovnih i fasadnih zona za negativan smjer vanjskog zapadnog poprečnog vjetra gdje je koeficijent unutarnjeg tlaka $c_{pi} = 0,2$ [5] | 73 |
| Slika 35: Prikaz vjerovnih krovnih i fasadnih zona za pozitivan smjer vanjskog zapadnog poprečnog vjetra gdje je koeficijent unutarnjeg tlaka $c_{pi} = -0,3$ [5] | 74 |

| | |
|--|-----|
| Slika 36: Prikaz vjerovnih krovnih i fasadnih zona za negativan smjer vanjskog zapadnog poprečnog vjetra gdje je koeficijent unutarnjeg tlaka $c_{pi} = -0,3$ [5] | 75 |
| Slika 37: Prikaz vjerovnih zona krovnih i vertikalnih ravnina za južni uzdužni smjer vjetra $\Theta=90^\circ$ [5] | 76 |
| Slika 38: Prikaz vjerovnih krovnih i fasadnih zona za pozitivan smjer vanjskog južnog uzdužnog oprečnog vjetra gdje je koeficijent unutarnjeg tlaka c_{pi} jednak 0 [5] | 77 |
| Slika 39: Prikaz vjerovnih krovnih i fasadnih zona za negativan smjer vanjskog južnog uzdužnog vjetra gdje je koeficijent unutarnjeg tlaka c_{pi} jednak 0. [5] | 78 |
| Slika 40: Prikaz vjerovnih krovnih i fasadnih zona za pozitivan smjer vanjskog južnog uzdužnog vjetra gdje je koeficijent unutarnjeg tlaka $c_{pi} = 0,2$. [5] | 79 |
| Slika 41: Prikaz vjerovnih krovnih i fasadnih zona za negativan smjer vanjskog južnog uzdužnog vjetra gdje je koeficijent unutarnjeg tlaka $c_{pi} = 0,2$ [5] | 80 |
| Slika 42: Prikaz vjerovnih krovnih i fasadnih zona za pozitivan smjer vanjskog južnog poprečnog vjetra gdje je koeficijent unutarnjeg tlaka $c_{pi} = -0,3$ [5] | 81 |
| Slika 43: Prikaz vjerovnih krovnih i fasadnih zona za negativan smjer vanjskog južnog uzdužnog vjetra gdje je koeficijent unutarnjeg tlaka $c_{pi} = -0,3$ [5] | 82 |
| Slika 44: Prikaz vjerovnih zona krovnih i vertikalnih ravnina za sjeverni uzdužni smjer vjetra $\Theta=90^\circ$. [5] | 83 |
| Slika 45: Prikaz vjerovnih krovnih i fasadnih zona za pozitivan smjer vanjskog sjevernog uzdužnog oprečnog vjetra gdje je koeficijent unutarnjeg tlaka c_{pi} jednak 0 [5] | 84 |
| Slika 46: Prikaz vjerovnih krovnih i fasadnih zona za negativan smjer vanjskog sjevernog uzdužnog vjetra gdje je koeficijent unutarnjeg tlaka c_{pi} jednak 0. [5] | 85 |
| Slika 47: Prikaz vjerovnih krovnih i fasadnih zona za pozitivan smjer vanjskog sjevernog uzdužnog vjetra gdje je koeficijent unutarnjeg tlaka $c_{pi} = 0,2$ [5] | 86 |
| Slika 48: Prikaz vjerovnih krovnih i fasadnih zona za negativan smjer vanjskog sjevernog uzdužnog vjetra gdje je koeficijent unutarnjeg tlaka $c_{pi} = 0,2$ [5] | 87 |
| Slika 49: Prikaz vjerovnih krovnih i fasadnih zona za pozitivan smjer vanjskog južnog poprečnog vjetra gdje je koeficijent unutarnjeg tlaka $c_{pi} = -0,3$ [5] | 88 |
| Slika 50: Prikaz vjerovnih krovnih i fasadnih zona za negativan smjer vanjskog sjevernog uzdužnog vjetra gdje je koeficijent unutarnjeg tlaka $c_{pi} = -0,3$ [5] | 89 |
| Slika 51: Nadstrešnica blokirana sklađnom robom ili objektom do strehe niz vjetar, u ovom slučaju stijenom koja se nalazi s istočne strane konstrukcije pri čemu je $\phi = 1$ [6] | 90 |
| Slika 52: Položaj središta sile za nadstrešnice s jednostrešnim / ravnim krovom | 91 |
| Slika 53: Prikaz resultantnog negativnog neto pritiska w_{net} [kN/m^2] za smjer vjetra poprečno na konstrukciju koji djeluje na stropnu međukatnu konstrukciju | 92 |
| Slika 54: Prikaz resultantnog negativnog neto pritiska w_{net} [kN/m^2] za smjer vjetra poprečno na konstrukciju koji djeluje na stropnu međukatnu konstrukciju u 3D [5] | 93 |
| Slika 55: Prazna samostojeća nadstrešnica bez ikakvih prepreka prilikom strujanja vjetra s $\phi = 0$ [6] | 93 |
| Slika 56: Prikaz resultantnog negativnog neto pritiska w_{net} [kN/m^2] za smjer vjetra uzdužno na konstrukciju koji djeluje na stropnu međukatnu konstrukciju | 94 |
| Slika 57: Prikaz resultantnog negativnog neto pritiska w_{net} [kN/m^2] za smjer vjetra uzdužno na konstrukciju koji djeluje na stropnu međukatnu konstrukciju u 3D [5] | 94 |
| Slika 58: Poprečni krovni nosač s dimenzijama bočnih pridržanja. | 111 |
| Slika 59: Odabrani poprečni presjek poprečnog krovnog nosača HEA180. | 111 |
| Slika 60: Dijagrami unutarnjih sila za poprečni krovni nosač HE-A 180 za mjerodavnu kombinaciju opterećenja CO105. | 112 |
| Slika 61: Dijagrami relativnih pomaka krovnog nosača za karakterističnu kombinaciju CO957. | 118 |
| Slika 62: Prikaz relativnih pomaka poprečnog nosača HE A 180 za mjerodavnu kombinaciju CO957. | 118 |
| Slika 63: Prikaz podrožnica (poprečnih nosača) s brojčanim oznakama. [5] | 121 |

| | |
|--|-----|
| Slika 64: Odabrani poprečni presjek (I PE 120) podrožnica. [5]..... | 121 |
| Slika 65: Dijagrami unutarnjih sila podrožnica (poprečnih krovnih nosača) za kombinaciju opterećenja CO105..... | 122 |
| Slika 66: Dijagrami relativnih pomaka podrožnice broj 281 za karakterističnu kombinaciju opterećenja CO865. | 126 |
| Slika 67: Prikaz uzdužnih krovnih nosača s brojčanim oznakama..... | 129 |
| Slika 68: Odabrani poprečni presjek uzdužnog krovnog nosača HE A 160 | 129 |
| Slika 69: Dijagrami unutarnjih sila na koje su dimenzionirani uzdužni krovni nosači za kombinaciju CO105..... | 130 |
| Slika 70: Dijagrami relativnih pomaka uzdužnih krovnih nosača za kombinaciju CO957. | 134 |
| Slika 71: Prikaz N-nosača s brojčanim oznakama [5] | 136 |
| Slika 72: Odabrani poprečni presjek N-nosača HEA 240 [5] | 136 |
| Slika 73: Dijagrami unutarnjih sila N-nosača za kombinaciju opterećenja CO105. | 137 |
| Slika 74: Dijagram relativnog pomaka <i>N</i> -nosača za kombinaciju CO957..... | 141 |
| Slika 75: Izometrijski prikaz nosača fasade s oznakama. | 143 |
| Slika 76: Poprečni presjek IPE 80 nosača fasade..... | 143 |
| Slika 77: Dijagrami unutarnjih sila nosača fasade za GSN za kombinaciju CO480..... | 144 |
| Slika 78: Dijagrami relativnih pomaka nosača fasade za kombinaciju CO981..... | 148 |
| Slika 79: Presjek međukatne spregnute ploče s dimensijskim kotama u [mm]..... | 150 |
| Slika 80: Prikaz poprečnih međukatnih nosača s brojčanim oznakama | 153 |
| Slika 81: Odabrani poprečni presjek poprečnih međukatnih nosača HE A 160..... | 153 |
| Slika 82: Dijagrami unutarnjih sila za poprečni međukatni nosač broj 301 za kombinaciju opterećenja CO251..... | 154 |
| Slika 83: Dijagrami relativnih pomaka elementa broj 303 za karakterističnu kombinaciju CO1115.. | 157 |
| Slika 84: Izometrijski prikaz uzdužnih međukatnih nosača s brojčanom oznakom elementa..... | 160 |
| Slika 85: Odabrani poprečni presjek uzdužnih međukatnih nosača HE A 160..... | 160 |
| Slika 86: Dijagrami unutarnjih sila uzdužnih nosača za kombinaciju opterećenja CO103..... | 161 |
| Slika 87: Dijagrami relativnih pomaka uzdužnih međukatnih nosača za kombinaciju CO1181..... | 165 |
| Slika 88: Prikaz pozicije bočnih stupova fasade s brojčanom oznakom elemenata. | 168 |
| Slika 89: Odabrani poprečni presjek bočnih stupova fasade IPE 120. | 168 |
| Slika 90: Dijagrami unutarnjih sila bočnih stupova koji nose fasadu za kombinaciju CO60. | 169 |
| Slika 91: Dijagrami relativnih pomaka bočnih stupova koji nose fasadu za kombinaciju CO937..... | 173 |
| Slika 92: Izometrija stražnjih stupova koji nose fasadu s brojčanim oznakama. | 175 |
| Slika 93: Odabrani poprečni presjek stražnjih stupova koji nose fasadu IPE 120..... | 175 |
| Slika 94: Dijagrami unutarnjih sila stražnjih stupova koji nose fasadu za kombinaciju CO113. | 176 |
| Slika 95: Dijagrami relativnih pomaka bočnih stupova koji nose fasadu za kombinaciju CO937..... | 181 |
| Slika 96: Izometrija stupa pročelja s brojčanom oznakom. | 184 |
| Slika 97: Odabrani poprečni presjek stupova pročelja HE A 100. | 184 |
| Slika 98: Dijagrami unutarnjih sila stupova pročelja za kombinaciju CO287. | 185 |
| Slika 99: Dijagrami relativnih pomaka stupa pročelja za kombinaciju CO1034..... | 189 |
| Slika 100: Prikaz spoja stupova HEA240 na temeljnu ploču [16] | 192 |
| Slika 101: Tlocrtni prikaz priključka N-stupa na temeljnu ploču 20x500-500 (S235)..... | 192 |
| Slika 102: Prikaz spoja stupova HEA240 na temeljnu ploču [16] | 197 |
| Slika 103: Tlocrtni prikaz priključka N-stupova na temeljnu ploču 20x500-500 (S235)..... | 198 |
| Slika 104: Prikaz zavarenog priključka N-nosača u slijemenu [16] | 203 |
| Slika 105: Priključak poprečnih međukatnih nosača na N-nosače [16] | 205 |
| Slika 106: Priključak uzdužnih međukatnih nosača na N-nosače [16] | 210 |
| Slika 107: Prikaz spoja uzdužnih međukatnih nosača HEA160 na potporni zid [16] | 215 |

| | |
|--|-----|
| Slika 108: Tlocrtni prikaz priključka uzdužnih međukatnih nosača na temeljnu ploču 20x312-320 (S235) | 215 |
| Slika 109: Prikaz spoja stupova fasade na potporni zid [16] | 219 |
| Slika 110: Tlocrtni prikaz priključka stupova fasade na temeljnu ploču 10x160-144 (S235) | 220 |
| Slika 111: Priključak nosača fasade na stupove fasade [16] | 224 |
| Slika 112: Priključak krovnog nosača na N-nosače (stupove) [16] | 229 |
| Slika 113: Priključak uzdužnih krovnih nosača na krovni nosač [16] | 234 |
| Slika 114: Priključak podrožnica na uzdužne krovne nosače [16] | 239 |
| Slika 115: Tlocrt trakastih temelja kuće u klasičnoj izvedbi | 244 |
| Slika 116: Tlocrt prizemlja kuće u klasičnoj izvedbi | 245 |
| Slika 117: Presjek A-A kuće u klasičnoj izvedbi | 246 |
| Slika 118: Presjek B-B kuće u klasičnoj izvedbi | 246 |

1. UVOD

U ovom diplomskom radu proveden je proračun čelične konstrukcije na Trgetu. Kroz cijeli rad naglasak je na oblikovanju i rasporedu konstrukcijskih elemenata s ciljem optimiziranja poprečnih presjeka. Provedena je usporedba stambenog objekta izведенog od čelika s tradicionalnih materijalima poput opeke i armiranog betona koji se najčešće primjenjuju zbog jednostavnosti izvedbe i ekonomičnosti. Stambena zgrada od čelika je uvelike skuplja zbog čega se gradnja čelikom takvih zgrada rijetko izvodi. Cilj samog rada je osvrnuti se na primjenu čelika u stambenoj gradnji koji ne mora biti rezerviran samo za građevine velikih raspona poput dvorana, hala i drugih javnih zgrada te ga približiti investitorima. U radu se želi pokazati kako je uz pomoć čelika moguće izvoditi obiteljske kuće koje će se isticati u okolišu i kao takve činiti umjetničko djelo te tako rušiti monotoniju standardnih pravilnih kuća.

Za čeličnu konstrukciju koja je predviđena kao vikendica ukupne površine 54 m^2 provedena je analiza nosivosti te uporabljivosti konstrukcijskih elemenata i priključaka prema europskim normama. Radom je obuhvaćen prijedlog konstrukcijskih rješenja, dimenzioniranje konstrukcijskih elemenata i proračun priključaka, dispozicija konstrukcije, karakteristični presjeci kroz konstrukciju kao i detaljni plan izvedbe detalja s pripadajućim karakteristikama materijala. Glavnu nosivu konstrukciju čine HEA profili, a sekundarnu IPE profili kvalitete čelika S235. Odabrani su vijci k.v. 5.8., dok je za sidrene vijke odabrana k.v. 8.8. Spojevi su pretežito vijčani, dok su zavari korišteni na mjestima gdje je estetika imala presudnu ulogu u biranju takvih načina spajanja elemenata. N -nosači se zavaruju u radionici te se izvanrednim prijevozom dovoze na gradilište. Fasadu čine zidni sendvič paneli, a krovni pokrov je također sendvič panel. Međukatna konstrukcija izvedena je kao spregnuta ploča pri čemu je ona poduprta za vrijeme izvedbe (betonaže). Sveukupno je utrošak čelika oko 6,60 tona od čega 600 kilograma čini spojni pribor. Projekt je motiviran idejnim rješenjem arhitekta Victora Silve Zavala koji pruža različita oblikovanja kuća putem digitalnih medija.

2. TEHNIČKI OPIS

Konstrukcija je tlocrtnih osnih dimenzija 6x9 m, a ukupna visina iznosi 6 m. Međukatna konstrukcija je na osnoj visini od 280 cm, a visina kata je 290 cm na istoku i 350 cm na zapadu. Krov je jednostrešni s nagibom od 5°. Glavna nosiva konstrukcija su HEA240 profili koju čine dva N-nosača ukupne duljine 18,5 m na razmaku od 6 m koji su u razini krova povezani krovnim nosačem HEA180. Krovnu konstrukciju čine uzdužni krovni nosači HEA160 te upuštene podrožnice IPE120 na rasteru od jednog metra koje prate nagib krova u ravnini. Krovni pokrov čine sendvič paneli s ispunom od poliuretana debljine 10 cm. Uzdužni i poprečni međukatni spregnuti nosači su izvedeni od profila HEA 160 koji preuzimaju međukatnu spregnutu ploču klase betona LC25/28. Spregnuta ploča izvodi se koristeći trapezni lim Lim Cofrastra 40 na koju dolaze slojevi poda. Fasadu čine zidni paneli debljine 12 cm koji nose IPE80 profili pričvršćeni za stupove IPE120. Na pročelju se između kliznih balkonskih stijena nalazi stup HEA100. Svi konstrukcijski elementi su kvalitete čelika S235 s granicom popuštanja od $f_y = 235 \text{ N/mm}^2$ te čvrstoćom f_u od 360 N/mm^2 , a vijci su od nehrđajućeg čelika kvalitete 5.8. s čvrstoćom vijka od $f_{ub} = 500 \text{ N/mm}^2$ i 8.8. čvrstoće $f_{ub} = 800 \text{ N/mm}^2$. Za izradu temelja korišten je beton klase C30/37 s minimalnim armaturim šipkama. Svi zavari su debljine $a = 5 \text{ mm}$. Sve čelične elemente je potrebno zaštititi temeljnim premazom. Propisi po kojima je provedeno dimenzioniranje su Eurocode 0, Eurocode 1, Eurocode 3, Eurocode 4 te pripadni Nacionalni dodaci. Unutarnje sile su dobivene statičkim proračunom provedenim u programu Dlubal RFEM na temelju analize opterećenja na konstrukciju koja se razmatraju s obzirom na trajanje, odnosno dijele se na stalna i promjenjiva. Konstrukcija zadovoljava uvjete GSN i GSU.

3. PROGRAM KONTROLE I OSIGURANJA KVALITETE

3.1. Tehnički uvjeti za izradu i montažu čelične konstrukcije

Čelični dio konstrukcije obrađen u ovom projektu podliježe primjeni „Tehničkog propisa za građevinske konstrukcije“ (NN RH 17/2017).

Prema Zakonu o gradnji (NN RH 153/2013, 20/2017), radioničku izradu i montažu čelične konstrukcije potrebno je izvoditi prema:

- glavnom projektu i građevinskoj dozvoli,
- ovjerenom i uskladištenom izvedbenom projektu,
- radioničkim nacrtima
- tehničkom projektu izrađenom od strane izvođača ili ovlaštene osobe

Izrada i montaža čelične konstrukcije povjerava se izvođaču koji ima potrebno ovlaštenje, provjereno iskustvo i reference na izradi ovog tipa konstrukcija. Izvođač radova treba prije izrade konstrukcije pregledati projektnu dokumentaciju, te sve nejasnoće ili eventualne neispravnosti razjasniti s nadzornim inženjerom i projektantom konstrukcije, te izraditi plan zavarivanja i montaže. Ove planove dostaviti na uvid nadzornom inženjeru odnosno projektantu prije pristupanja izradi konstrukcije.

Izvođač može tehničku dokumentaciju koju je dobio upotrebljavati isključivo za izradu konstrukcije obuhvaćene u ovom projektu.

Izvođač radova garantira za kvalitetu izrađene i montirane konstrukcije. Ugovorom se utvrđuju uvjeti garancije, ali u skladu s važećim propisima i uzancama. Način obračunavanja izvršenih radova pri montaži čelične konstrukcije utvrđuje se ugovorom između investitora i izvođača

3.1.1. Materijali za izradu čelične konstrukcije

Materijali za izradu čelične konstrukcije definirani su u poglavlju 3 (Tehnički opis) i u poglavlju 5 (proračuni i dimenzioniranje konstrukcije).

Dokaz kvalitete, dimenzije i tolerancije čeličnih proizvoda

Proizvođač čeličnih proizvoda treba deklarirati svoj proizvod na temelju ispitivanja koristeći inspekcijsku potvrdu tip 3.1 prema normi HRN EN 10204:2007. Izvođač čelične konstrukcije treba imati pristup inspekcijskom dokumentu prema HRN EN 10204:2007 od proizvođača za sve čelične proizvode korištene u izvedbi nosive konstrukcije i dostaviti ih na zahtjev nadzornom inženjeru ili građevinskoj inspekциji.

Površina čeličnih proizvoda

Površinske greške toplo valjanih čeličnih ploča, širokih traka i profila koje nisu u skladu sa zahtjevima norma niza HRN EN 10163:2007 moraju se ispraviti da budu u skladu s prethodno navedenom normom. Analogno vrijedi i za šuplje profile koji moraju biti u skladu s normama HRN EN 10210:2008 (toplo oblikovani šuplji profile od nelegiranih i sitnozrnastih konstrukcijskih čelika) i HRN EN 10219:2008 (hladno oblikovani šuplji profile za čelične konstrukcije od nelegiranih i sitnozrnastih čelika).

Zamjena materijala ili oblika

Kvaliteta materijala ili oblik čeličnog proizvoda, uz suglasnost projektanta čelične konstrukcije, može se zamjeniti ako se može dokazati da konstrukcijska svojstva nisu manja od proračunom odabralih proizvoda te da je zadržana kompatibilnost s proračunatom konstrukcijom.

3.1.2. Zavari i vijci

Zavari na čeličnoj konstrukciji će se točno prikazati i specificirati na izvedbenim nacrtima (radionička dokumentacija) u skladu s normama navedenim u točki 3.3.5. Zahtijevana kvaliteta punila zavara kao što su granica popuštanja, vlačna čvrstoća, relativna deformacija pri slomu i minimalna energija loma, treba biti jednaka ili bolja od zahtijevane kvalitete osnovnog materijala.

Vijci, matice i podloške koje će se primjenjivati pri montaži čeličnih konstrukcije biti će točno specificirane na izvedbenim nacrtima (radionička dokumentacija) u skladu s normama navedenim u točki 3.3.5.

3.1.3. Izvođenje i montaža čelične konstrukcije i upravljanje kvalitetom

Izvođenje – zavarivanje

Točni oblici i dimenzije zavara biti će dani u izvedbenom projektu. Ovdje će se navesti samo preporuke i zahtjevi kojih se potrebno pridržavati pri izradi izvedbene dokumentacije i izvođenja.

a/ Općenito Postupci zavarivanja trebaju biti u skladu s preporukama danim u normi HRN EN 1011. Općenito zavarivanje treba biti elektrolučno u skladu s HRN EN 1011-1:2009, a prema potrebi i s HRN EN 1011-2:2002, te drugim zahtjevima prikazanim u ovom poglavlju. Izvođač mora imati sustav za upravljanje zavarivanjem koji zadovoljava uvjete kvalitete definirane u normi HRN EN ISO 3834-3:2007. Sva dokumentacija zavarivanja (kvalifikacije zavarivača, zapisi kvalifikacija postupaka zavarivanja, specifikacije postupaka zavarivanja i povezane radne upute) za primjenu treba biti pregledana od strane osobe odgovorne za koordinaciju postupka zavarivanja. Ako je zahtijevano, dokumentacija se mora staviti na raspolaganje nadzornom inženjeru i, ako je isto imenovano, inspekcijskom tijelu. Izvođač treba osigurati da su materijali koji se zavaraju kompatibilni s primijenjenim postupkom zavarivanja. Spojevi trebaju biti pripremljeni u skladu s normama HRN EN ISO 9692-1:2013 i HRN EN ISO 9692-2:1999. Potrebno je poduzeti mjere opreza kako bi se osigurala čistoća spoja prije zavarivanja.

b/ Ospozobljenost zavarivača Provjera ospozobljenosti zavarivača treba biti u skladu sa zahtjevima norme HRN EN ISO 9606-1:2017. Provjera ospozobljenosti zavarivača treba biti posvjedočena i certifikatom potvrđenim od strane Ispitivača ili Ispitnog tijela. Certifikat vrijedi pod uvjetom da ispunjava uvjete za odobravanje certifikata koji se navode u normi HRN EN ISO 9606-1:2017.

c/ Postupak zavarivanja Pismena specifikacija postupka zavarivanja treba biti dostupna u skladu s normom HRN EN ISO 15609-1:2008 i provjerena u skladu s normom HRN EN ISO 15614-1:2017 od strane izvođača čelične konstrukcije. One moraju biti u skladu s normom HRN EN 1011-2:2002 Prilog C, Postupak A kako bi se izbjeglo puknuće vodikom i Prilogom D da se osigura odgovarajuća čvrstoća u zoni utjecaja topline. Ispitivač ili Ispitno tijelo mora provjeriti da su zapisi kvalifikacija postupka zavarivanja u skladu s normom HRN EN ISO 15614-1:2017. Odgovarajuće radne upute trebaju biti izrađene iz zapisa kvalifikacija postupka zavarivanja pod nadzorom koordinatora postupka zavarivanja. Radne upute trebaju biti ili pismene specifikacije postupka zavarivanja ili moraju sadržavati sve relevantne informacije zahtijevane u pismenoj specifikaciji postupka zavarivanja u drugim formatima, koji odgovaraju sustavu izvođača čelične konstrukcije.

d/ Postupak montaže Kratki privremeni zavari mogu se koristiti pod uvjetom:

- (i) da su položeni u područje koje se zavaruje te potom temeljito odstranjeni brušenjem tako da je sljedeće zavarivanje nepromijenjeno;
- (ii) da se obavljuju od strane zavarivača kvalificiranog kao u b/ Ospozobljenost zavarivača kao kratka dužina normalnih zavara do dužine koja iznosi najmanje četiri debljine debljeg spojenog dijela dugog najmanje 50 mm, te da je postupak zavarivanja u skladu s točkom c/ Postupak zavarivanja.
- (iii) da su naknadno potpuno rastopljeni pomoću postupaka zavarivanja kao u c/ Postupak zavarivanja te da se dokaže da su potpuno rastopljeni tijekom naknadnog varenja;
- (iv) da se nalaze dalje od zone gdje će se odvijati naknadno zavarivanje i u zoni u kojoj se javljaju samo tlačne sile Napomena: Korištenjem (iv) trebalo bi biti moguće osigurati ploču stupa tijekom prijevoza.

Redoslijed zavarivanja spoja ili redoslijed izvedbe spoja mora biti takav daje distorzija minimalna. Zavarivanje dijelova potrebnih za izradu ili montažu treba biti u skladu sa zahtjevima za stalne zavare. Ako je neophodno uklanjanje, dijelovi moraju biti izrezani ili uklonjeni plamenom na mjestima udaljenim ne manje od 3 mm od površine ishodnog materijala. Preostali materijal mora biti u ravnini, a područje vizualno pregledano. Ako je debljina ishodnog materijala veća od 20 mm također se mora provjeriti testiranjem penetrantima. Dijelovi potrebni za izradu ili montažu ne smiju se uklanjati čekićanjem.

e/ Nerazorno ispitivanje zavara Vizualni pregled treba biti proveden za sve zavare. Ako su sljedeći uvjeti ispunjeni nije obavezno dodatno nedestruktivno ispitivanje:

- "spoj" je kutno zavaren,
- duljina kutnog zavara nije veća od 10mm,
- najveća delijina ne iznosi više od 20mm.

Ako navedeni uvjeti nisu ispunjeni opseg pregleda more biti u skladu s normom HRN EN 1090-2:2011. Ako su u radionici ispunjeni svi uvjeti tada mora biti pokrenut mjesecni program dalnjeg nedestruktivnog ispitivanja od strane osobe odgovorne za koordinaciju postupka zavarivanja na način da je reprezentativni uzorak svakog mjesecnog izlaza tretiran odgovarajućim nedestruktivnim testiranjem. Zahtjevi pregleda mogu biti reducirani po nahođenju inženjera na temelju zadovoljavajuće izvedbe u početnoj proizvodnji. Isto tako, ako testiranje pokazuje da postoje problemi s kvalitetom zavara (u sličnim materijalima, metodama montaže ili postupcima zavarivanja) zahtjevi nedestruktivnog testiranja trebaju se povećati i proširiti na neobavezne dijelove. Rezultati vizualnog pregleda, površinske detekcije pukotina i ultrazvučnog ispitivanja moraju biti zapisani i dostupni na uvid.

Potpuni vizualni pregled treba se obaviti tijekom zavarivanja te po završetku utvrditi kvalitetu proizvodnje. Ako nije navedeno u specifikaciji projekta, vizualni pregled treba biti proveden u skladu sa smjernicama navedenim u normi HRN EN 1090-2:2011 i ostalim odgovarajućim normama. Odgovarajuće kvalificirana osoba za vizualni pregled zavara može biti inspektor za zavarivanje ili zavarivač koji može pružiti dokaz da je obučen i pripremljen za vizualni pregled relevantne vrste zavara tijekom i nakon zavarivanja. Razina kvalitete treba biti u skladu s razinama danim u normi HRN EN 1090-2:2011 i odgovarajućem standardu te specifikaciji projekta. Svi utvrđeni nedostaci ocjenjivati će se u skladu sa zahtijevanom razinom kvalitete kako bi se utvrdila potreba za popravcima i mjerama zaštite. Svi zvari koji će nakon sljedećih radnji postati nedostupni trebaju biti ispitani u skladu s normom HRN EN 1090-2:2011 i odgovarajućim standardom prije gubitka pristupa.

Ako postoji opasnost od naknadnog pucanja rok treba biti prije konačnog pregleda. Bez obzira koji se vremenski period koristi, isti mora biti naveden u inspekcijskim zapisima. Ako se može dokazati od strane izvođača kroz zapise da nema rizika od naknadnog pucanja, vrijeme odgode može se smanjiti ili ukinuti ovisno o nahođenju inženjera. Ako je potreban detaljniji pregled površine zavara u skladu s normom HRN EN 1090-2:2011 i odgovarajućim standardom, ispitivanje magnetskim česticama treba biti korišteno u skladu s preporukama danim u normi HRN EN ISO 17638:2016 prije čega treba prethoditi vizualni pregled prema normi HRN EN ISO 17637:2017. Ako ispitivanje magnetskim česticama nije praktično, ispitivanje penetrantima treba se koristiti u skladu s preporukama danim u normi HRN EN ISO 3452. Završno površinsko otkrivanje pukotina u zavarenom spoju obavlja se nakon završetka zavara u skladu s vremenom čekanja danim u normi HRN EN 1090-2:2011 i odgovarajućim standardima. Prikladno kvalificirana osoba za površinsko otkrivanje pukotina zavara može biti inspektor za zavarivanje ili zavarivač koji ima nacionalno priznatu važeću svjedodžbu o sposobnosti u otkrivanju površinskih pukotina za odgovarajuće vrste posla. Ako je potrebno ultrazvučno ispitivanje u skladu s normom HRN EN 1090-2:2011 i odgovarajućim standardima, to mora biti u skladu s normom HRN EN ISO 17640:2017 koristeći referentnu razinu prema metodi 1, procijenjenu referentnu razinu - 14dB (20% DAC) i razinu ispita B ukoliko nije drukčije dogovorenod strane inženjera. Ultrazvučno ispitivanje zavarenog spoja obavlja se nakon završetka zavara u skladu s vremenima odgode danima u normi HRN EN 1090-2:2011 i odgovarajućim standardima. Osobe koje obavljaju završno ultrazvučno ispitivanje zavara trebaju posjedovati važeću nacionalno priznatu potvrdu o sposobljenosti. Kriteriji prihvaćanja, korektivne mjere i ponovno ispitivanje moraju biti u skladu s normom HRN EN 1090-2:2011 i odgovarajućim normama. Ukoliko se utvrde nesukladni zvari opseg pregleda mora se povećati te utvrditi i ukloniti izvor nedostataka.

Izvođenje – zaštita od korozije

Zaštita čelične konstrukcije od korozije opisana je u poglavlju 3 (Tehnički opis).

Montaža čelične konstrukcije a/ Općenito

Izvođač treba napraviti tehnološki plan montaže čelične konstrukcije. Sa montažom čelične konstrukcije može se započeti nakon što Plan montaže odobri nadzorni inženjer i projektant konstrukcije.

b/ Kontrole u toku izrade, transporta i montaže

Tijekom izrade konstrukcije u radionici i montaže izvoditelj je dužan voditi zakonom propisane dnevnike i provoditi unutarnju kontrolu u skladu s planom kontrole. Dužnost je nadzornog inženjera kontrolirati izvedbu u svim fazama izrade i montaže, tj. usklađenost s tehničkom dokumentacijom i važećim tehničkim normama i pravilima, ovjeravati navedene dokumente i ateste, te zapisnik o preuzimanju elemenata u radionici prije isporuke na montažu.

Izvedba čelične konstrukcije ima sljedeće faze:

- izrada elemenata u radionici
- transport od radionice na gradilište
- montaža čelične konstrukcije na gradilištu na prethodno pripremljenu sidrenu konstrukciju (temelje ili dijelove zgrade)

U pravilu se svaka faza mora pregledati i utvrditi da je izvedena prema tehničkoj dokumentaciji i prema važećim tehničkim propisima. Izvršenje fazne kontrole potvrđuju putem zapisnika odgovorne osobe projektanta, stručnog nadzora i izvoditelja. Dok se ne uklone nedostaci utvrđeni u nekoj fazi, ne može započeti iduća faza.

Fazni pregledi sa zapisnicima potpisanim od strane odgovornih imenovanih osoba su:

- kontrola dokaza kvalitete prije početka izrade konstrukcije
- prijem čelične konstrukcije po izradi u radionici
- prijem čelične konstrukcije po transportu na gradilište
- geodetska kontrola montirane čelične konstrukcije
- završni pregled čelične konstrukcije prije početka drugih radova na čeličnoj konstrukciji (pokrivanje, oblaganje, montaža instalacija ili opreme i drugo)

Prigodom prijema u radionici izvođač čelične konstrukcije dužan je staviti na uvid:

- potrebnu tehničku dokumentaciju.
- radioničke nacrte sa specifikacijama
- ateste osnovnog materijala
- ateste dodatnog materijala
- ateste zavarivača
- ateste priključnih elemenata
- dnevnik izrade materijala
- dnevnik zavarivanja
- podatke o tehnologiji zavarivanja
- izvješće interne tehničke kontrole
- uvjerenja o kvalifikacijama stručnih osoba koje sudjeluju u izradi konstrukcije

3.1.4. Propisi

Potrebno je pridržavati se svih normi i propisa navedenih u projektu te poštovati pravila dobre izvedbe.

3.1.5. Opće napomene za izradu čelične konstrukcije u radionici

Prilikom rezanja materijala treba paziti na mogućnost pojave lokalnih zareza, naročito kod vlačno napregnutih elemenata. Svaki uočeni zarez potrebno je izbrusiti ili dovariti i izbrusiti.

Svi elementi trebaju biti izrađeni u granicama dopuštenih odstupanja. Premaši li odstupanja granične vrijednosti, potrebno je zatražiti suglasnost projektanta na izvedeno stanje.

Kod zavarivačkih radova potrebno je osigurati stalnu kontrolu prije, u toku i nakon izvedenih radova. Površine za zavarivanje moraju biti kvalitetno pripremljene i bez masnoće, rđe i druge prljavštine. Poslije izvedenih radova potrebno je obaviti dimenzionalnu i vizualnu kontrolu te kontrole predviđene projektom. Po potrebi, izvodi se i probno sklapanje o čemu se sastavlja zapisnik, kojega ovjerava nadzorni inženjer. Prilikom izvođenja zavarivačkih radova potrebno je voditi računa da konstrukcija nakon hlađenja ne poprimi neželjeni deformirani oblik. Ne dopušta se zavarivanje na temperaturi nižoj od 0°C.

Za radove koji nakon potpunog sklapanja konstrukcije neće biti vidljivi, radi se zapisnik o preuzimanju u trenutku dostupnosti svih dijelova konstrukcije pregledu.

Dijelovi konstrukcije moraju se prije transporta na gradilište označiti i osigurati od oštećenja prije i u toku transporta na gradilište.

3.1.6. Elementi konstrukcije

Elemente konstrukcije potrebno je izraditi u svemu prema specifikacijama, crtežima i napucima iz ovog dijela projekta.

3.1.7. Antikorozivna zaštita

Antikorozivnu zaštitu smije se nanositi strogo prema zahtjevima projekta i propisa. Posebnu pažnju treba obratiti na vlažnost zraka i temperaturu. Nakon završene izvedbe svakog sloja potrebno je provjeriti debljinu i prionjivost premaza.

3.1.8. Protupožarna zaštita

Protupožarnu zaštitu smije se nanositi strogo prema zahtjevima projekta, propisa i uputa proizvođača. Posebnu pažnju treba obratiti na čistoću i suhoću površine. Nakon završene izvedbe svakog sloja potrebno je provjeriti debljinu i prionjivost nanesene zaštite.

3.1.9. Prijem elemenata čelične konstrukcije

Prijem elemenata čelične konstrukcije u radionici obavlja se prije isporuke na gradilište na temelju radioničkih crteža i specifikacije. Prilikom prijema radova potrebno je uz dokumentaciju navedenu u točki 3.1 staviti na uvid i sljedeće:

- radioničke nacrte sa specifikacijama
- dnevnik izrade u radionici
- dnevnik zavarivačkih radova u radionici
- dnevnik izvođenja antikorozivne zaštite
- izvješće interne kontrole o kvaliteti izvedenih radova

Prijem montirane čelične konstrukcije na gradilištu obavlja se na temelju radioničkih crteža i projekta montaže. Prilikom prijema izvedene konstrukcije potrebno je staviti na uvid i sljedeće dokumente:

- kompletну dokumentaciju sa primopredaje konstrukcije u radionici
- projekt montaže
- radioničke nacrte sa specifikacijama
- dnevnik izvođenja radova na montaži
- dnevnik zavarivačkih radova na montaži
- dnevnik izvođenja antikorozivne zaštite
- izvješće interne kontrole o kvaliteti izvedenih radova
- uvjerenja o kvaliteti dodatnog materijala, sredstava za spajanje te sredstava za antikorozivne i protupožarnu zaštitu
- uvjerenje o podobnosti izvođača za izvođenje radova na montaži
- uvjerenja zavarivača koji će raditi na izradi i montaži konstrukcije za vrstu zavarivačkih radova koja će se primjenjivati, za traženu debljinu, materijal i položaj zavarivanja
- specifikacija postupaka zavarivanja i odobrenje o primjeni postupaka zavarivanja
- uvjerenja o ispravnosti strojeva za izvođenje zavarivačkih radova

- plan izvođenja zavarivačkih radova
- uvjerenje o podobnosti izvođača za izvođenje antikorozivne zaštite
- uvjerenje o podobnosti izvođača za izvođenje protupožarne zaštite
- ovlaštenja svih odgovornih osoba u sustavu interne kontrole izvođača
- plan rada interne kontrole izvođača

3.2. Tehnički uvjeti za betonsku i armiranobetonsku konstrukciju

3.2.1. *Općenito*

Proizvodnja, ugradnja i kontrola kvalitete moraju se obavljati u skladu s Tehničkim propisom za građevinske konstrukcije (NN RH 17/2017) i HRN EN 13670:2010 „Izvedba betonskih konstrukcija“, ovim tehničkim uvjetima i odgovarajućim HRN EN normama.

U slučaju neusklađenosti građevnog proizvoda s tehničkim specifikacijama za taj proizvod i/ili projektom betonske konstrukcija, proizvođač građevnog proizvoda, odnosno izvođač betonske konstrukcije mora odmah prekinuti proizvodnju odnosno izradu tog proizvoda i poduzeti mjere radi utvrđivanja i uklanjanja grešaka koje su neusklađenost uzrokovale.

Prije početka radova izvođač je dužan nadzornom inženjeru dostaviti na odobrenje rezultate početnih ispitivanja betona i „Plan kvalitete izvedbe betonske konstrukcije“ koji mora sadržavati sastave betona, pripremu (proizvodnju), transport, ugradnju, njegu i kontrolu kvalitete betona. Izvođač je dužan u dogовору с надзорним инженером за сваки бетонски погон поставити стручну и одговорну особу. Та је особа одговорна за квалитету произведеног и уграђеног бетона.

U slučaju proizvodnje betona na gradilištu izvođač betonskih radova mora izraditi „Priručnik osiguranja kvalitete i kontrole proizvodnje“, a odnosi se na osoblje koje upravlja, izvodi i verificira radove, opremu, postupke proizvodnje, sastojke i betone. Priručnikom trebaju biti definirane odgovornosti, nadležna tijela i odnosi osoblja koje upravlja, izvodi i verificira radove. Posebno se mora istaknuti organizacijska sloboda i autoritet osoblja za minimiziranje rizika od nesukladnog betona i za identificiranje i izvještavanje o svakom problemu kvalitete betona. Izvještaje o kontroli proizvodnje treba čuvati najmanje 3 godine, ako zakonske obveze ne traže duže razdoblje. Izvođač je dužan dokumentirati kvalitetu radova, elemenata i objekata statistički obrađenim rezultatima izvršenih ispitivanja i na drugi način, te certifikatima izdanima prema tehničkim propisima i tehničkim uvjetima ovog projekta.

Geodetske kontrole i izmjere potrebne za izvođenje betonskih radova i armiranobetonskih radova moraju biti izvedene točno i u svemu suglasno s izvedbenim nacrtima.

Oborinsku i procjednu vodu na temeljnim ploham betoniranja izvođač je dužan ukloniti na način propisan tehničkim uvjetima za iskop upotrebnom crpki dovoljnog kapaciteta, odnosno kako to odredi nadzorni inženjer.

Prema zahtjevima iz ovog „Programa kontrole i osiguranja kvalitete“ beton se proizvodi kao Projektirani beton (beton sa specificiranim tehničkim svojstvima).

Za sastav projektiranog betona odgovoran je proizvođač betona.

Izvođač mora prema normi HRN EN 13670:2010 prije početka ugradnje provjeriti je li beton u skladu sa zahtjevima iz projekta betonske konstrukcije, te je li tijekom transporta betona došlo do promjene njegovih svojstava koja bi bila od utjecaja na tehnička svojstva betonske konstrukcije.

Kontrolni postupak utvrđivanja svojstava svježeg betona provodi se na uzorcima koji se uzimaju neposredno prije ugradnje betona u betonsku konstrukciju u skladu sa zahtjevima norme HRN EN 13670:2010 i projekta betonske konstrukcije, a najmanje pregledom svake otpremnice i vizualnom kontrolom konzistencije kod svake dopreme (svakog vozila) te, kod opravdane sumnje ispitivanjem konzistencije istim postupkom kojim je ispitana u proizvodnji.

Kontrolni postupak utvrđivanja tlačne čvrstoće očvrslog betona provodi se na uzorcima koji se uzimaju neposredno prije ugradnje betona u betonsku konstrukciju u skladu sa zahtjevima projekta betonske konstrukcije, ali ne manje od jednog uzorka za istovrsne elemente betonske konstrukcije koji se bez prekida ugrađivanja betona izvedu unutar 24 sata od betona istih iskazanih svojstava i istog proizvođača.

(1) Ako je količina ugrađenog betona veća od 100 m³, za svakih slijedećih ugrađenih 100 m³ uzima se po jedan dodatni uzorak betona.

(2) Podaci o istovrsnim elementima betonske konstrukcije izvedenim od betona istih iskazanih svojstava i istog proizvođača evidentiraju se uz navođenje podataka iz otpremnice tog betona, a podaci o uzimanju uzorka betona evidentiraju se uz obvezno navođenje oznake pojedinačnog elementa betonske konstrukcije i mjesta u elementu betonske konstrukcije na kojem se beton ugrađivao u trenutku uzimanja uzorka.

(3) Kontrolni postupak utvrđivanja tlačne čvrstoće očvrsnulog betona ocjenjivanjem rezultata ispitivanja uzorka i dokazivanje karakteristične tlačne čvrstoće betona provodi se odgovarajućom primjenom kriterija iz norme HRN EN 206:2014.

Kontrolni postupak utvrđivanja tlačne čvrstoće očvrsnulog betona ugrađenog u pojedini element betonske konstrukcije u slučaju sumnje, provodi se kontrolnim ispitivanjem.

Za slučaj nepotvrđivanja zahtijevanog razreda tlačne čvrstoće betona treba na dijelu konstrukcije u koji je ugrađen beton nedokazanog razreda tlačne čvrstoće provesti naknadno ispitivanje tlačne čvrstoće betona u konstrukciji prema HRN EN 12504-1 i HRN EN 12504-2 te ocjenu sukladnosti prema HRN EN 13791.

3.2.2. Kontrola kvalitete

Propsane mjere kontrole kvalitete i nadzora osiguravaju da zahtijevana kvaliteta bude i dosegnuta tijekom izvođenja.

Kontrola kvalitete materijala

Gotovi građevni proizvodi koji se ugrađuju moraju imati popratne certifikate i izjave sukladnosti proizvođača. Kontrola kvalitete podrazumijeva laboratorijska ispitivanja materijala, kao i ispitivanje izvedenih radova. Ispitivanje je potrebno provoditi prema postupcima ispitivanja danim u normi HRN

EN 206:2014 (referentni postupci ispitivanja) ili se mogu upotrijebiti drugi postupci ispitivanja ako su utvrđene veze ili pouzdani odnosi između rezultata tih postupaka ispitivanja i referentnih postupaka.

Provjera sukladnosti

Provjera sukladnosti je dio vanjske provjere, a provodi se da bi se utvrdilo jesu li određena proizvodnja ili rad izvedeni prema ugovornim odredbama. Sustav potvrđivanja sukladnosti propisan je „Pravilnikom o ocjenjivanju sukladnosti ispravama o sukladnosti i označavanju građevnih proizvoda“ (NN RH 103/08, 147/09, 87/10, 129/11).

U slijedećoj tablici dana je skupina radnji koje se provode u pojedinom sustavu ocjenjivanja sukladnosti:

| Isprava o sukladnosti | Sustav ocjenjivanja sukladnosti | Radnju provodi proizvođač | | | Radnju provodi ovlaštena osoba | | |
|--|---------------------------------|---------------------------------------|--|--|--|--|---|
| | | Stalna unutarnja kontrola proizvodnje | Ispitivanje uzoraka iz proizvodnje prema utvrđenom planu ispitivanja | Početno ispitivanje tipa građevnog proizvoda | Početno ispitivanje tipa građevnog proizvoda | Početni nadzor proizvodnog pogona i početni nadzor | Stalni nadzor, procjena i ocjena unutarnje kontrole proizvodnje |
| C | 1+ | • | • | | • | • | • |
| | 1 | • | • | • | • | • | • |
| I | 2+ | • | • | • | • a) | • a) | |
| | 2 | • | | • | • a) | | |
| | 3 | • | | • | | | |
| | 4 | • | | • | | | |
| C – certifikat sukladnosti I – izjava o sukladnosti • - radnja koju je obavezan provesti ili provodi proizvođač odnosno ovlaštena osoba u pojedinom sustavu ocjenjivanja sukladnosti a) – ovlaštena osoba izdaje certifikat unutarnje kontrole proizvodnje | | | | | | | |

Kvaliteta upotrebljavanog građevinskog materijala i kvaliteta izvedenih radova mora biti popraćena odgovarajućim certifikatima i izjavama o sukladnosti.

3.2.3 Materijali

Na osnovi rezultata početnih ispitivanja sastojaka i svojstva betona odabrati će se isporučiocu sastojaka. Odabrani cement, agregat i voda moraju zadovoljiti uvjete propisane u normi HRN EN 206:2014 i tamo navedenim normama. Za proizvodnju betona mogu se upotrebljavati samo sastojci betona koji imaju propisanu deklaraciju i certifikat o sukladnosti s odgovarajućim specifikacijama. Vrste i učestalost nadzora/kontrole ispitivanja i opreme i sastojaka betona provode se prema HRN EN 206:2014.

Cement

Za proizvodnju betona mogu se upotrebljavati samo cementi čija su osnovna svojstva uvjetovana propisima i normama, prethodno dokazana. Prethodna ispitivanja i dokaze podobnosti cementa za betonske rade obavlja institucija ovlaštena za poslove provođenja dokaza sukladnosti kvalitete cementa. Prethodni dokaz kvalitete mora se pribaviti za svaku vrstu i razred cementa pri čemu se pod vrstom cementa podrazumijeva cement određene oznake i određenog proizvođača.

Voda

Ako se koristi voda iz javnog vodovoda može se koristiti bez potrebe dokazivanja uporabljivosti.

Ako se pak koristi voda koja nije pitka, izvođač je dužan prethodno dokazati uporabljivost te vode u skladu s normom HRN EN 1008:2002, najmanje jednom svaka tri mjeseca (postojanje soli, sadržaj organskih tvari).

Voda ne smije sadržavati nikakve sastojke koji bi mogli ugroziti kvalitetu ili izgled betona ili morta. Isto vrijedi za vodu za njegovanje svježeg betona. Kontrola vode za pripremu betona provodi se u centralnoj betonari (tvornici betona) i u betonari na gradilištu prije prve upotrebe.

Agregat

Tehnička svojstva agregata, ovisno o porijeklu, opće i posebne zahtjeve bitne za krajnju namjenu u betonu, moraju biti specificirana prema normi HRN EN 12620:2013, normama na koje ta norma upućuje kako i odredbama Tehničkog propisa za građevinske konstrukcije (NN RH 17/2017).

Razred kvalitete i sva svojstva agregata određena su prema normi HRN EN 206:2014 „Beton – Specifikacija, svojstva, proizvodnja i sukladnost“ i drugim važećim HRN normama.

Potvrđivanje sukladnosti agregata provodi se prema odredbama dodataka za norme HRN EN 12620:2013 i odredbama posebnog propisa („Pravilnik o ocjenjivanju sukladnosti, ispravama sukladnosti i označavanju građevinskih proizvoda“). Kontrola agregata prije proizvodnje betona provodi se u centralnoj betonari (tvornici betona) i u betonari na gradilištu prema normi HRN EN 206:2014.

Dodaci betonu

Kontrola kemijskog i mineralnog dodatka provodi se u centralnoj betonari (tvornici betona) i u betonari na gradilištu prema normi HRN EN 206:2014 (tablica u nastavku). Preporučuje se uzimanje uzorka i odlaganje za svaku isporuku.

Kemijski dodaci betonu

Opća prikladnost kemijskih dodataka utvrđuje se ispitivanjem prema HRN EN 934-2:2012. Za konkretnu primjenu kemijskog dodatka izvođač mora pribaviti certifikat prije početka prethodnih ispitivanja.

Prethodna ispitivanja: Prikladnost kemijskih dodataka za konkretnu primjenu mora se utvrditi tijekom prethodnih ispitivanja betona.

Kontrolna ispitivanja: Izvođač je dužan predočiti certifikat za svaku pošiljku svih dodataka nadzornom inženjeru, koji odobrava upotrebu dodatka za svaku vrstu i svaki cement posebno. Za svaku pošiljku kemijskog dodatka izvođač mora prije uporabe, u laboratoriju gradilišta provjeriti njegovu kompatibilnost s betonom.

Mineralni dodaci betonu

Za konkretnu primjenu mineralnih dodatka izvođač mora pribaviti certifikat prije početka prethodnih ispitivanja. Prethodna ispitivanja: Prikladnost mineralnih dodataka za konkretnu primjenu mora se utvrditi tijekom prethodnih ispitivanja betona.

Kontrolna ispitivanja: Izvođač je dužan predočiti certifikat za svaku pošiljku svih mineralnih dodataka nadzornom inženjeru, koji odobrava upotrebu dodatka za svaku vrstu i svaki cement posebno.

| Materijal | Nadzor / ispitivanje | Svrha | Minimalna učestalost |
|-------------------------------|--|--|--|
| Kemijski dodaci | Kontrola otpremnice i razine u posudi * prije praćenja | Provjera je li isporuka prema narudžbi i je li ispravno označena | Svaka isporuka |
| | Ispitivanje radi identifikacije prema HRN EN 934-2 | Radi usporedbe s podacima proizvođača | U slučaju sumnje |
| Mineralni dodaci | Kontrola otpremnice * prije isporuke | Provjera je li isporuka prema narudžbi i iz pravog izvora | Svaka isporuka |
| | Ispitivanje gubitka žarenjem letećeg pepela | određivanje promjene sadržaja ugljika koje mogu utjecati na aeriranu beton | Svaka isporuka namijenjena aeriranom betonu kada tu informaciju nije dao dobavljač |
| Mineralni dodaci u suspenziji | Kontrola otpremnice * prije isporuke | Provjera je li isporuka prema narudžbi i iz pravog izvora | Svaka isporuka |
| | Ispitivanje gustoće | Provjera ujednačenosti | Svaka isporuka i periodično tijekom proizvodnje betona |

* Otpremnici treba biti priložena izjava o sukladnosti ili certifikat o sukladnosti prema odgovarajućoj normi ili propisanim uvjetima

Čelik za armiranje

Čelik za armiranje mora imati isprave o sukladnosti u skladu s „Pravilnikom o ocjenjivanju sukladnosti, ispravama o sukladnosti i označavanju građevnih proizvoda“ (NN RH 103/2008, 147/2009, 87/2010, 129/2011).

Za armiranobetonske konstrukcije predviđen je slijedeći čelik za armiranje:

- armaturne rebraste šipke B 500 razreda duktilnosti B (fyk = 500 MPa - karakteristična granica razvlačenja)

Ispitivanje svojstava čelika za armiranje provodi se prema normi HRN EN 10080:2012, te prema normi HRN EN ISO 15630-1:2010 i prema normi HRN EN ISO 6892-1.

3.2.4 Razredba betona — specifikacije betona

Beton i armirani beton potrebno je proizvoditi, ugrađivati i kontrolirati u skladu s HRN EN 206: 2014 "Beton: Specifikacija, svojstva, proizvodnja i sukladnost", i HRN EN 13670:2010 "Izvedba betonskih konstrukcija", te u njima propisanim normama.

Osnovni zahtjevi po dijelovima konstrukcije su:

| | Razred tlačne čvrstoće | Razred izloženosti | Najveće zrno agregata, (mm) | Razred sadržajaklorida | Max v/c omjer | Razred konzistencije | Minimalna količina cementa (kg/m ³) | Ostali zahtjevi |
|-------------------------------------|------------------------|--------------------|-----------------------------|------------------------|---------------|----------------------|---|-----------------|
| Ploče, grede, stupovi, ab. sidrište | C30/37 | XC3/XA1 | 16 | CI 0,2 | 0,45 | S3 ili S4 | 360 | - |
| Temelji vanjskih stubišta | C25/30 | XC2 | 32 | CI 0,2 | 0,45 | S3 ili S4 | 300 | - |

Sastav betona određuje se na osnovu početnih ispitivanja, koja se provode u laboratoriju proizvođača betona, a zatim s odabranim sastavima na betonari.

Ukoliko se beton proizvodi na gradilištu, izvođač radova mora sastaviti „Program početnih ispitivanja betona i sastojaka“ i predati ga nadzornom inženjeru na odobrenje 14 dana prije početka ispitivanja. Početnim ispitivanjima moraju se dokazati sva svojstva predviđena prethodnim tablicama.

3.2.5 *Sastav betona*

Izvođač treba izraditi projekt betona i tehnologiju ugradnje.

Proizvodnja betona smije početi na temelju recepture bazirane na temelju početnih ispitivanja materijala i betona kako je navedeno u ovom dijelu projekta time da receptura bude odobrena od nadzornog inženjera.

3.2.6 *Isporuka svježeg betona*

Informacije korisnika betona proizvođaču

Korisnik će usuglasiti s proizvođačem datum isporuke, vrijeme i količinu, te informirati proizvođača o posebnom transportu na gradilište, posebnim postupcima ugradnje, ograničenjima vozila isporuke, npr. tipa (agitirajuća ili neagitirajuća oprema), veličine, visine ili bruto težine.

Informacije proizvođača betona korisniku

Kada naručuje beton, korisnik će zahtijevati informacije o sastavu mješavine betona radi primjene pravilne ugradnje i zaštite svježeg betona i utvrđivanja razvoja čvrstoće betona. Te informacije mora na zahtjev korisnika dati proizvođač prije isporuke betona, već prema tome kako odgovara korisniku.

Kad je posrijedi tvornički proizvedeni beton, informacije, kad se zatraže, mogu također biti dane i referencama proizvođačeva kataloga sastava mješavina betona, u kojima su iskazane pojedinosti o klasama čvrstoće, klasama konzistencije, težina mješavine i drugi mjerodavni podaci.

Informacije za utvrđivanje vremena zaštite betona prema razvoju čvrstoće mogu biti iskazane nazivima iz tablice u nastavku ili krivuljom razvoja čvrstoće betona pri 20°C između 2 i 28 dana.

Razvoj čvrstoće betona pri 20°C:

| Razvoj čvrstoće | Omjeri čvrstoće σ_2 / σ_{28} |
|-----------------|--|
| Brz | >0,5 |
| Srednji | >0,3 i < 0,5 |
| Polagan | > 0,15 i < 0,3 |
| Vrlo polagan | < 0,15 |

Omjer čvrstoće kao indikator razvoja čvrstoće jest omjer srednje vrijednosti tlačne čvrstoće nakon 2 dana (σ_2) i srednje vrijednosti tlačne čvrstoće nakon 28 dana (σ_{28}) utvrđen početnim ispitivanjima ili zasnovan na poznatim svojstvima betona komparabilnog sastava.

U ovim početnim ispitivanjima uzorce za utvrđivanje čvrstoće treba praviti, njegovati i ispitivati prema HRN EN 12350-1:2009, HRN EN 12390-1:2012, HRN EN 12390-2:2009 i HRN EN 12390-3:2009.

Proizvođač treba informirati korisnika o zdravstvenom riziku koji se može pojaviti tijekom rukovanja betonom.

Otpremnica za gotov (tvornički proizveden) beton

Pri isporuci betona proizvođač mora dostaviti korisniku otpremnicu za svaku transportnim sredstvom isporučenu količinu betona, na kojoj su otisnute, utisnute ili upisane najmanje sljedeće informacije:

- ime tvornice betona,
- serijski broj otpremnice,
- datum i vrijeme utovara, tj. vrijeme prvog kontakta cementa i vode,
- broj vozila,
- ime kupca,
- ime i lokacija gradilišta,
- detalji ili reference uvjeta, npr. kodni broj, redni broj,
- količina betona u m^3
- deklaracija sukladnosti s referentnim uvjetima kvalitete i HRN EN 206:2014,
- ime ili znak certifikacijskog tijela ako je relevantno,
- vrijeme kad beton stiže na gradilište,
- vrijeme početka istovara,
- vrijeme završetka istovara.

Otpremne informacije za gradilišni beton

Odgovarajuća informacija tražena pod poglavljem „Otpremnica za gotov (tvornički proizveden) beton“ za otpremnicu betona mjerodavna je i za beton proizведен na velikom gradilištu, ili kad uključuje više tipova betona.

Konzistencija pri isporuci

Općenito je svako dodavanje vode ili kemijskih dodataka pri isporuci zabranjeno. U posebnim slučajevima voda ili kemijski dodaci mogu biti dodani kad je to pod odgovornošću proizvođača i primjenjuje se za dobivanje uvjetovane vrijednosti konzistencije, osiguravajući da uvjetovane granične vrijednosti nisu prekoračene i da je dodatak kemijskog dodatka uključen u projekt betona. Količina svakog dodatka vode ili kemijskog dodatka dodana u vozilo (mikser) mora biti upisana u otpremni dokument u svim slučajevima.

Kontrola sukladnosti i kriteriji sukladnosti

Kontrola sukladnosti sastoji se od aktivnosti i odluka koje treba poduzeti u skladu s pravilima sukladnosti prilagođenim unaprijed radi provjere sukladnosti betona s propisanim uvjetima. Kontrola sukladnosti je integralni dio kontrole proizvodnje.

Svojstva betona kojima se kontrolira sukladnost jesu ona koja se mijere odgovarajućim ispitivanjima prema normiranim postupcima. Stvarne vrijednosti svojstava betona u konstrukcijama mogu se razlikovati od tih utvrđenih ispitivanjima, npr. ovisno o dimenzijama konstrukcije, ugradnji, zbijanju, njegovanju i klimatskim uvjetima.

Plan uzorkovanja i ispitivanja te kriteriji sukladnosti trebaju zadovoljavati postupke navedene u ovom poglavlju. Mjesto uzimanja uzoraka za ispitivanje sukladnosti treba odabrati tako da se mjerodavna svojstva betona i sastav betona značajnije ne mijenjaju od mjesta uzorkovanja do mjesta isporuke.

Kada su ispitivanja kontrole proizvodnje ista kao i ispitivanja uvjetovana za kontrolu sukladnosti, treba ih uzeti u obzir pri vrednovanju sukladnosti. Proizvođač može koristiti i druge rezultate ispitivanja isporučenog betona u prihvaćanju sukladnosti.

Sukladnost ili nesukladnost prosuđuje se prema kriterijima sukladnosti. Nesukladnost može voditi daljnjim akcijama na mjestu proizvodnje i na gradilištu.

Kontrola proizvodnje

Proizvođač je odgovoran za bespjekorno upravljanje proizvodnjom betona. Sav beton mora biti predmet kontrole proizvodnje. Kontrola proizvodnje obuhvaća sve mjerne nužne za održavanje svojstava betona u sukladnosti s uvjetovanim svojstvima. To uključuje:

- izbor materijala,
- projektiranje betona,
- proizvodnju betona,
- preglede i ispitivanja,
- uporabu rezultata ispitivanja sastavnih materijala, svježeg i očvrstog betona i opreme,

- kontrolu sukladnosti.

Kontrola proizvodnje mora se odvijati prema načelima serije normi HRN EN ISO 9000.

Sustav kontrole proizvodnje treba sadržavati odgovarajuće dokumentirani postupak i upute. Taj postupak i upute treba po potrebi utvrditi uzimajući u obzir potrebe kontrole iskazane u HRN EN 206:2014. Namjeravanu učestalost ispitivanja i nadzora treba dokumentirati. Rezultate ispitivanja i kontrola treba evidentirati izvještajima.

Svi mjerodavni podaci o kontroli proizvodnje trebaju biti zapisani (sadržani u izvještajima), Izvještaje o kontroli proizvodnje treba čuvati najmanje 3 godina, ako zakonske obveze ne traže duže razdoblje.

Vrednovanje i potvrđivanje sukladnosti

Proizvođač je odgovoran za ocjenu sukladnosti betona s uvjetovanim svojstvima. U tu svrhu proizvođač mora provoditi: početno ispitivanje kad je traženo, kontrolu proizvodnje i kontrolu sukladnosti.

Proizvođačevu kontrolu proizvodnje treba za sve betone klase iznad C 16/20 vrednovati i pregledavati ovlašteno nadzorno tijelo i zatim ovjeriti ovlašteno certifikacijsko tijelo.

Proizvođač je odgovoran za održavanje sustava kontrole proizvodnje.

3.2.7 Skele i oplate

Osnovni zahtjevi

Skele i oplate, uključujući njihove potpore i temelje, treba projektirati i konstruirati tako da su:

- otporne na svako djelovanje kojem su izložene tijekom izvedbe,
- dovoljno čvrste da osiguraju zadovoljenje tolerancija uvjetovanih za konstrukciju i spriječe oštećivanje konstrukcije,
- oblik, funkciranje, izgled i trajnost stalnih radova ne smiju biti ugroženi ni oštećeni svojstvima skela i oplate te njihovim uklanjanjem,
- skele i oplate moraju zadovoljavati mjerodavne hrvatske i europske norme kao što je EN 1065:2002.

Materijali

Općenito

Može se upotrijebiti svaki materijal koji će ispuniti uvjete konstrukcije ovih tehničkih uvjeta. Moraju zadovoljavati odgovarajuće norme za proizvod ako postoje. U obzir treba uzeti svojstva posebnih materijala.

Oplatna ulja

Oplatna ulja treba odabrati i primijeniti na način da ne štete betonu, armaturi ili oplati i da ne djeluju štetno na okolinu. Nije li namjerno specificirano, oplatna ulja ne smiju štetno utjecati na valjanost površine, njezinu boju ili na posebne površinske premaze. Oplatna ulja treba primjenjivati u skladu s uputama proizvođača ili isporučitelja.

Skele

Projekt skele treba uzeti u obzir deformacije tijekom i nakon betoniranja kako bi se izbjegle štetne pukotine u mladom betonu. To se može postići:

- ograničenjem progibanja i/ili slijeganja,
- kontrolom betoniranja i /ili specificiranjem betona npr. usporavanjem ugradnje.

Oplate

Oplata treba osigurati betonu traženi oblik dok ne očvrsne. Oplata i spojnice između elemenata trebaju biti dovoljno nepropusni da spriječe gubitak finog morta. Oplatu koja apsorbira značajniju količinu vode iz betona ili omogućava evaporaciju treba odgovarajuće vlažiti da se spriječi gubitak vode iz betona, osim ako nije za to posebno i kontrolirano namijenjena. Unutarnja površina oplate mora biti čista.

Oplatni ulošci i nosači

Privremeni držaci oplate, šipke, cijevi i slični predmeti koji će se ubetonirati u sklop koji se izvodi i ugrađeni elementi kao npr. ploče, ankeri i distanceri trebaju:

- biti čvrsto fiksirani tako da očuvaju projektirani položaj tijekom betoniranja,
- ne uzrokovati neprihvatljive utjecaje na konstrukciju,
- ne reagirati štetno s betonom ili armaturom,
- ne uzrokovati neprihvatljivi površinski izgled betona,
- ne štetiti funkcionalnosti i trajnosti konstrukcijskog elementa.

Svaki ugrađeni dio treba imati dovoljnu čvrstoću i krutost da zadrži oblik tijekom betoniranja. Ne smije sadržavati tvari koje mogu štetno djelovati na njih same, beton ili armaturu. Udubljenja ili otvore za privremene radove treba zapuniti i završno obraditi materijalom kakvoće slične okolnom betonu, osim ako ne ostaju otvoreni ili im je drugi način obrade specificiran.

Otpuštanje skela i uklanjanje oplate

Skele ni oplata ne smiju se uklanjati dok beton ne dobije dovoljnu čvrstoću:

- otpornu na oštećenje površine skidanjem oplate,

- dovoljnu za preuzimanje svih djelovanja na betonski element u tom trenutku,
- da izbjegne deformacije veće od specificiranih tolerancija elastičnog ili neelastičnog ponašanja betona.

Uklanjanje oplate treba izvoditi na način da se konstrukcija ne preoptereti i ne ošteti. Opterećenja skela treba otpuštati postupno tako da se drugi elementi skele ne preopterete. Stabilnost skela i oplate treba održavati pri oslobođanju i uklanjanju opterećenja. Postupak podupiranja ili otpuštanja kad se primjenjuje za reduciranje utjecaja početnog opterećenja, sukcesivno opterećenje i/ili izbjegavanje velike deformacije treba detaljno utvrditi.

3.2.8 *Armatura i ugradnja armature*

Opće

Armatura izrađena od čelika za armiranje prema odredbama ugrađuje se u armiranu betonsku konstrukciju prema projektu betonske konstrukcije, normi HRN EN 13670:2010 i normama na koje ta norma upućuje. Rukovanje, skladištenje i zaštita armature treba biti u skladu sa zahtjevima tehničkih specifikacija koje se odnose na čelik za armiranje i projekta betonske konstrukcije. Izvođač mora prema normi HRN EN 13670:2010 prije početka ugradnje provjeriti je li armatura u skladu sa zahtjevima iz projekta betonske konstrukcije, te je li tijekom rukovanja i skladištenja armature došlo do njezinog oštećivanja, deformacije ili druge promjene koja bi bila od utjecaja na tehnička svojstva betonske konstrukcije.

Dužnosti nadzornog inženjera

Nadzorni inženjer neposredno prije početka betoniranja mora:

- provjeriti postoji li isprava o sukladnosti za čelik za armiranje, odnosno za armaturu i jesu li iskazana svojstva sukladna zahtjevima iz projekta betonske konstrukcije,
- provjeriti je li armatura izrađena, postavljena i povezana u skladu s projektom betonske konstrukcije te dokumentirati nalaze svih provedenih provjera zapisom u građevinski dnevnik.

Materijali

Čelik za armiranje betona treba zadovoljavati uvjete EN 10080:2012 i uvjete projekta konstrukcije. Svaki proizvod treba biti jasno označen i prepoznatljiv. Sidreni i spojni elementi trebaju zadovoljavati uvjete EN 1992-1-1 i uvjete projekta. Površina armature mora biti očišćena od slobodne korozije i tvari koje mogu štetno djelovati na čelik, beton ili vezu između njih.

Savijanje, rezanje, prijevoz i skladištenje

Čelik za armiranje betona treba rezati i savijati prema projektnim specifikacijama. Pri tome:

- savijanje treba izvoditi jednolikom brzinom,

- savijanje čelika pri temperaturi ispod -5 °C, ako je dopušteno projektnim specifikacijama, treba izvoditi uz poduzimanje odgovarajućih posebnih mjera osiguranja,
- savijanje armature grijanjem smije se izvoditi samo uz posebno odobrenje u projektnim specifikacijama.

Promjer trna za savijanje šipki treba biti prilagođen stvarnom tipu armature.

3.2.9 Betoniranje

Uvjeti kakvoće betona

Beton mora biti proizведен prema uvjetima iz HRN EN 206:2014 i ovim tehničkim uvjetima

Isporuka, preuzimanje i gradilišni prijevoz svježeg betona

Nadzor i kontrolu kakvoće treba provesti na mjestu ugradnje i to najmanje u opsegu definiranom ovim tehničkim uvjetima. Među ostalim treba provjeriti otpremni dokument i parafom potvrditi izvršeni nadzor.

Kontrola prije betoniranja

Treba pripremiti planove betoniranja i nadzora kao i sve ostale mjere predviđene ovim Tehničkim uvjetima i projektom. Treba po potrebi izvesti početno ispitivanje betoniranja pokusnom ugradnjom i to prije izvedbe dokumentirati. Sve pripremne radnje treba provjeriti i dokumentirati prema ovim uvjetima prije no što ugradnja betona počne. Konstrukcijske spojnice moraju biti čiste i navlažene. Oplatu treba očistiti od prljavštine, leda, snijega ili vode. Ako se beton ugrađuje izravno na tlo, svježi beton treba zaštititi od miješanja s tlom i gubitka vode. Konstrukcijske elemente treba podložnim betonom odvojiti od temeljnog tla ili za odgovarajuću vrijednost povećati donji zaštitni sloj betona.

Temeljno tlo, stijena, oplata ili konstrukcijski dijelovi u dodiru s pozicijom koja se betonira trebaju imati temperaturu koja neće uzrokovati smrzavanje betona prije no što dostigne dovoljnu otpornost na smrzavanje. Ugradnja betona na smrznuto tlo nije dopuštena ako za takve slučajevе nisu predviđene posebne mjere. Predviđa li se temperatura okoline ispod 0°C u vrijeme ugradnje betona ili u razdoblju njegovanja, treba planirati mjere zaštite betona od oštećenja smrzavanjem. Površinska temperatura betona spojnice prije betoniranja idućeg sloja treba biti iznad 0°C. Ako se predviđa visoka temperatura okoline u vrijeme betoniranja ili u razdoblju njegovanja, treba planirati mjere zaštite betona od tih negativnih djelovanja.

Ugradnja i zbijanje

Beton treba ugraditi i zbiti tako da se sva armatura i uloženi elementi dobro obuhvate betonom i osigura zaštitni sloj betona unutar propisanih tolerancija, te beton dobije traženu čvrstoću i trajnost. Posebnu pažnju treba posvetiti ugradnji i zbijanju betona na mjestima promjene presjeka, suženja presjeka, uz otvore, na mjestima zgusnute armature i prekida betoniranja.

Vibriranje, osim ako nije drugačije uvjetovano projektom, treba u pravilu izvoditi uronjenim vibratorima. Beton treba uložiti što bliže konačnom položaju u konstrukcijskom elementu. Vibriranjem se beton ne smije namjerno navlačiti kroz oplatu i armaturu.

Normalna debljina sloja ne bi smjela biti veća od visine uronjenog vibratora. Vibriranje treba izvoditi sustavnim vertikalnim uranjanjem vibratora tako da se površina donjeg sloja revibrira. Kod debljih slojeva je revibriranje površinskog sloja preporučljivo i radi izbjegavanja plastičnog slijeganja betona ispod gornjih šipki armature. Vibriranje površinskim vibratorima treba izvoditi sustavno dok se iz betona oslobađa zarobljeni zrak. Prekomjerno površinsko vibriranje koje slabí kvalitetu površinskog sloja betona treba izbjjeći. Kad se primjenjuje samo površinsko vibriranje, debljina sloja nakon vibriranja obično ne treba prelaziti 100 mm, osim ako nije prethodno eksperimentalno dokazano drugačije. Korisno je dodatno vibriranje površina uz podupore.

Brzina ugradnje i zbijanja betona treba biti dovoljno velika da se izbjegnu hladne spojnice i dovoljno niska da se izbjegnu pretjerana slijeganja ili preopterećenje oplate i skela. Hladna spojnica se može stvarati tijekom betoniranja, ako beton ugrađenog sloja veže prije ugradnje i zbijanja narednog.

Segregaciju betona treba pri ugradnji i zbijanju svesti na najmanju mjeru.

Beton tijekom ugradnje i zbijanja zaštiti od insolacije, jakog vjetra, smrzavanja, vode, kiše i snijega. Naknadno dodavanje vode, cementa, površinskih otvrđivača ili sličnih materijala nije dopušteno.

Njegovanje i zaštita

Beton u ranom razdoblju treba zaštititi:

- da se skupljanje svede na najmanju mjeru,
- da se postigne potrebna površinska čvrstoća,
- da se osigura dovoljna trajnost površinskog sloja,
- od smrzavanja,
- od štetnih vibracija, udara ili drugih oštećivanja.

Pogodni su sljedeći postupci njegovanja primjenjeni odvojeno ili uzastopno:

- držanje betona u oplati,
- pokrivanje površine betona paronepropusnim folijama, posebno učvršćenim i osiguranim na spojevima i na krajevima,
- pokrivanjem vlažnim materijalima i njihovom zaštitom od sušenja,
- držanjem površine betona vidljivo vlažnom prikladnim vlaženjem,
- primjenom zaštitnog premaza utvrđene uporabivosti (potvrđene certifikatom ili tehničkim dopuštenjem).

Postupci njegovanja trebaju osigurati nisku evaporaciju vlage iz površinskog sloja betona ili držati površinu stalno vlažnom. Prirodno njegovanje je dovoljno ako su uvjeti u cijelom razdoblju potrebnog njegovanja takvi da je brzina evaporacije vlage iz betona dovoljno niska, npr. u vlažnom, kišnom ili maglovitom vremenu. Njegovanje površine betona treba bez odgode započeti odmah po završetku zbijanja i površinske obrade.

Ako slobodnu površinu betona treba zaštititi od pucanja zbog plastičnog skupljanja, privremeno njegovanje treba primjeniti i prije površinske obrade.

Trajanje primjenjenog njegovanja treba biti funkcija razvoja svojstava betona u površinskom sloju ovisno o omjeru:

- čvrstoće i zrelosti betona,
- oslobođene topline i ukupne topline oslobođene u adijabatskim uvjetima.

Za beton koji će u eksploraciji biti izložen uvjetima izloženosti X0 ili XC1 najmanje razdoblje njegovanja treba biti 12 sati, pod uvjetom da vezanje ne nastupi iznad 5 sati i temperatura površine betona bude veća ili jednaka 5°C.

Beton za uporabu u uvjetima izloženosti izvan X0 ili XC1, treba njegovati dok površinski sloj betona ne dosegne najmanje 50 % uvjetovane tlačne čvrstoće. Iskustveno se taj uvjet, iskazan vremenski, može kontrolirati prema podacima danim u tablici u nastavku.

Najmanje razdoblje njegovanja betona za klase izloženosti betona drugačije od X0 i XC1.

| 1) Površinska temperatura betona, °C | Najmanje razdoblje njegovanja, dana 1) 2) | | | |
|--|--|---------------------|------------------|-----------------------|
| | Razvoj čvrstoće betona 4) f_{cm2} / f_{cm28} | | | |
| | Brz, $r > 0,50$ | Srednji, $r = 0,30$ | Spor, $r = 0,15$ | Vrlo spor, $r < 0,15$ |
| T > 25 | 1,0 | 1,5 | 2,0 | 3,0 |
| 25 > T > 15 | 1,0 | 2,0 | 3,0 | 5,0 |
| 15 > T > 10 | 2,0 | 4,0 | 7,0 | 10,0 |
| 10 > T > 5 3) | 3,0 | 6,0 | 10,0 | 15,0 |

2) dodajući svako vrijeme vezanja iznad 5 sati
 3) linearna interpolacija između vrijednosti u redovima je moguća
 4) za temperature ispod 5°C trajanje treba produžiti za razdoblje jednako vremenu ispod 5°C
 5) razvoj čvrstoće betona je omjer između srednje tlačne čvrstoće betona nakon 2 dana i srednje tlačne čvrstoće betona nakon 28 dana

Ako se razvoj topline koristi za mjerjenje razvoja svojstava betona, omjer topline i odgovarajuće čvrstoće treba prethodno utvrditi ili odobriti ovlaštena institucija.

Pobliža određenja razvoja svojstava betona mogu se temeljiti na jednom od slijedećih postupaka:

- računu zrelosti iz mjerena temperature na dubini najviše 10 mm u betonu ispod površine,
- računu zrelosti iz mjerena srednjih dnevnih temperatura zraka,
- temperaturi grijanja,
- drugim pogodnim postupcima.

Račun zrelosti treba se zasnivati na odgovarajućoj funkciji zrelosti, dokazanoj za tip cementa ili kombinaciju cementa i uporabljenog mineralnog dodatka.

Primjena zaštitnih premaza nije dopuštena na konstrukcijskim spojnicama, na površinama koje će se naknadno obrađivati ili na površinama na kojima treba osigurati vezu s drugim materijalima, osim ako se prethodno potpuno ne uklone prije te sljedeće operacije ili ako dokazano ne djeluju štetno na tu sljedeću operaciju.

Ako projektnim specifikacijama nije naglašeno dopušteno, zaštitni premazi se ne smiju koristiti ni na površinama s uvjetovanim posebnim izgledom površine. Površinska temperatura betona ne smije pasti ispod 0°C dok površina betona ne dosegne čvrstoću dovoljnu za otpornost na smrzavanje (obično iznad 5 N/mm²). Najviša temperatura betona ne smije prijeći 65°C. Mogući negativni utjecaji visokih temperatura betona tijekom njegovanja uključuju:

- značajno smanjenje čvrstoće,
- značajno povećanje poroznosti,
- odloženo formiranje etringita,
- povećanje razlike temperature betoniranog i prethodnog elementa.

Aktivnosti poslije betoniranja

Nakon skidanja oplate nadzorni inženjer treba prema uvjetovanom razredu nadzora provesti kontrolu površine betona i potvrditi sukladnost sa zahtjevima. Površinu betona treba tijekom izvedbe zaštititi od oštećivanja i remećenja površinske teksture. Potrebe ispitivanja betona na građevini (svojstvo, učestalost i kriterije sukladnosti) treba prema uvjetima izvedbe i eksploracije građevine utvrditi projektom konstrukcije i planom kontrole kvalitete izvedbe radova.

Konstrukcijske spojnice

Spojni dijelovi bilo kojeg tipa trebaju biti neoštećeni, točno postavljeni i ispravno izvedeni tako da osiguraju učinkovito ponašanje konstrukcije.

Geometrijske tolerancije

Izvedene dimenzije konstrukcija trebaju biti unutar najvećih dopuštenih odstupanja radi izbjegavanja štetnih utjecaja na:

- mehaničku otpornost i stabilnost u privremenom i kasnjem uporabnom stanju,
- ponašanje tijekom uporabe građevine,
- kompatibilnost postavljanja i izvedbe konstrukcije i njezinih nekonstrukcijskih dijelova.

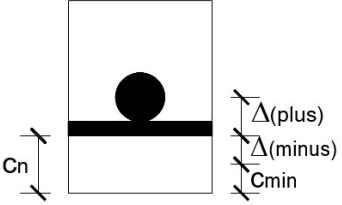
Nenamjerna mala odstupanja od referentnih vrijednosti koje nemaju značajniji utjecaj na ponašanje izvedene konstrukcije mogu se zanemariti.

Date tolerancije, nominirane kao normalne tolerancije, odgovaraju projektnim prepostavkama, HRN EN 1992 i traženoj razini sigurnosti. Zahtjevi ovog poglavlja odnose se na ukupnu konstrukciju. Kod

pojedinih dijelova svaka međukontrola tih dijelova mora poštivati uvjete konačne kontrole izvedene konstrukcije. Ako je određeno geometrijsko odstupanje pokriveno različitim zahtjevima (preduvjetovano), primjenjuje se stroži uvjet.

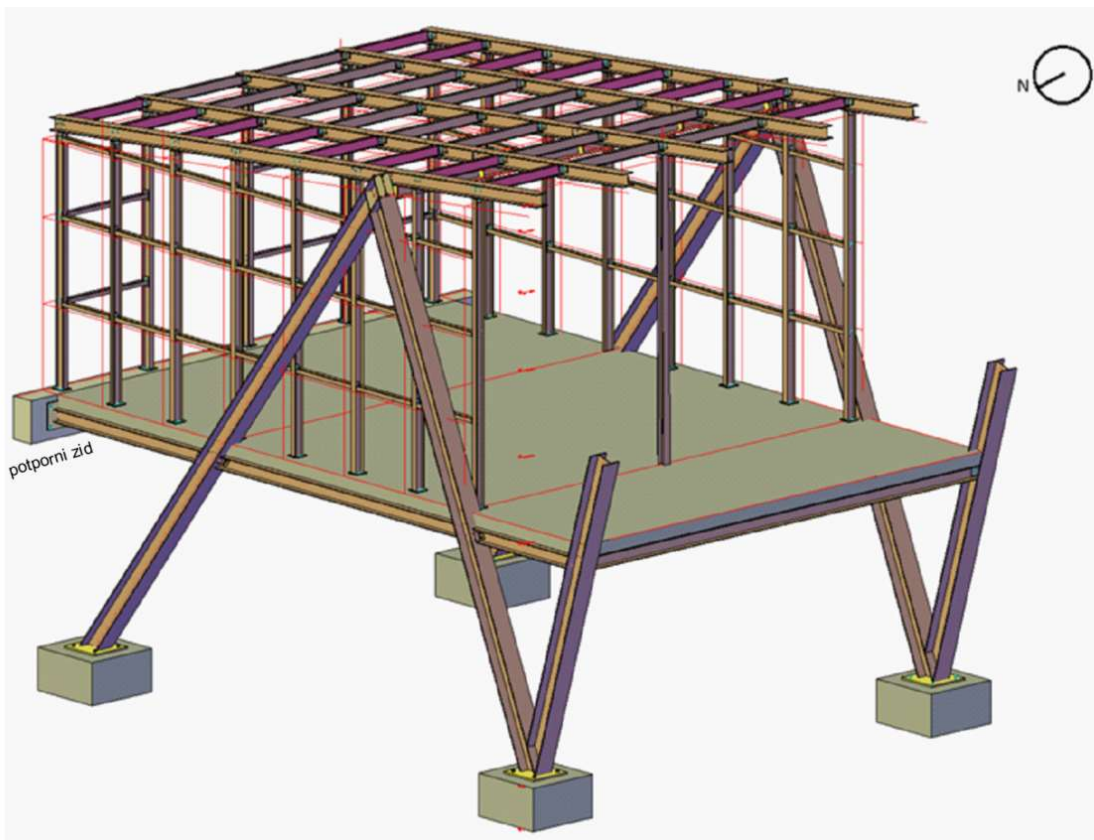
Dimenzije poprečnog presjeka, zaštitni sloj betona i položaj armature ne smiju odstupati od zadanih vrijednosti više no što je prikazano u slijedećoj tablici.

Tolerancije:

| | Tip odstupanja | Opis | Dopušteno odstupanje |
|---|--|---|--|
| a | Dimenzije poprečnog presjeka | | + 10 mm |
| b | Položaj obične armature u poprečnom presjeku | Za sve h vrijednosti je:  $\Delta(\text{minus})$ a pozitivno za $H < 150 \text{ mm}$ $h = 400 \text{ mm}$ $h > 2500 \text{ mm}$ uz linearnu interpolaciju međuvrijednosti | - 10 mm + 10 mm + 15 mm + 20 mm |
| $c_{\min} = \text{traženi najmanji zaštitni sloj betona}; c_n = \text{nominalni zaštitni sloj} = c + l \Delta(\text{minus}) ;$ $c = \text{stvarni zaštitni sloj}; \Delta = \text{dopušteno odstupanje od } c_n; h = \text{visina poprečnog presjeka};$ Uvjet: $c + \Delta(\text{plus}) > c_n - l \Delta(\text{minus}) $; Dopušteno pozitivno odstupanje zaštitnog sloja temelja i elemenata u temeljima može se povećati za 15 mm. Dano negativno odstupanje ne može. | | | |
| c | Preklopni spoj | $ l $ preklopna duljina | -0,06 |
| d | Okomitost poprečnog presjeka | a – duljina dimenzije poprečnog presjeka | ne više od 0,04 a ili 10 mm |
| e | Ravnost Oplaćena ili zaglađena površina | $L = 2,0 \text{ m}$ $L = 0,2 \text{ m}$ $L = 2,0 \text{ m}$ $L = 0,2 \text{ m}$ | 9 mm 4 mm 15 mm 6 mm |
| f | Zakošenost poprečnog presjeka | ne veće od $h/25$ ili $b/25$ ali ne više od 30 mm | |
| g | Ravnost bridova | za dužine $\geq 1 \text{ m}$ $> 1 \text{ m}$ | 8mm 8 mm / m ali ne više od 20 mm |
| h | Otvori u ulošci | $\Delta_1; \Delta_2; \Delta_3;$ | $\pm 25 \text{ mm}$ |

4. OBLIKOVANJE KONSTRUKCIJE

Konstrukcija je inspirirana idejnim rješenjem arhitekta Victora Zavale [9] (Slike 2 do 5). Slijedeći njegovo inicijalno oblikovanje, bilo je potrebno razraditi poprečne presjeke konstrukcijskih elemenata budući da nije dano detaljno arhitektonsko rješenje s dimenzijama konstrukcijskih elemenata već samo vizualizacija čime se inženjeru daje mogućnost da najbolje iskoristi karakteristike svakog dijela konstrukcije. Dakle, optimizacijom poprečnih presjeka i rasporedom elemenata utjecalo se na ponašanje konstrukcije kako bi se dobilo najpovoljnije konstrukcijsko rješenje. Zbog nestabilnosti elementa, dodani su ležajevi s istočne strane konstrukcije gdje se konstrukcija oslanja na stijensku masu, odnosno armirano-betonski temelj. Karakteristični konstrukcijski elementi prikazani su na Slikama od 6 do 14.



Slika 1: Vizualizacija čelične konstrukcije s oznakama strana svijeta [10]



Slika 2: Tlocrtna vizualizacija (dimenziije u mm) [9]



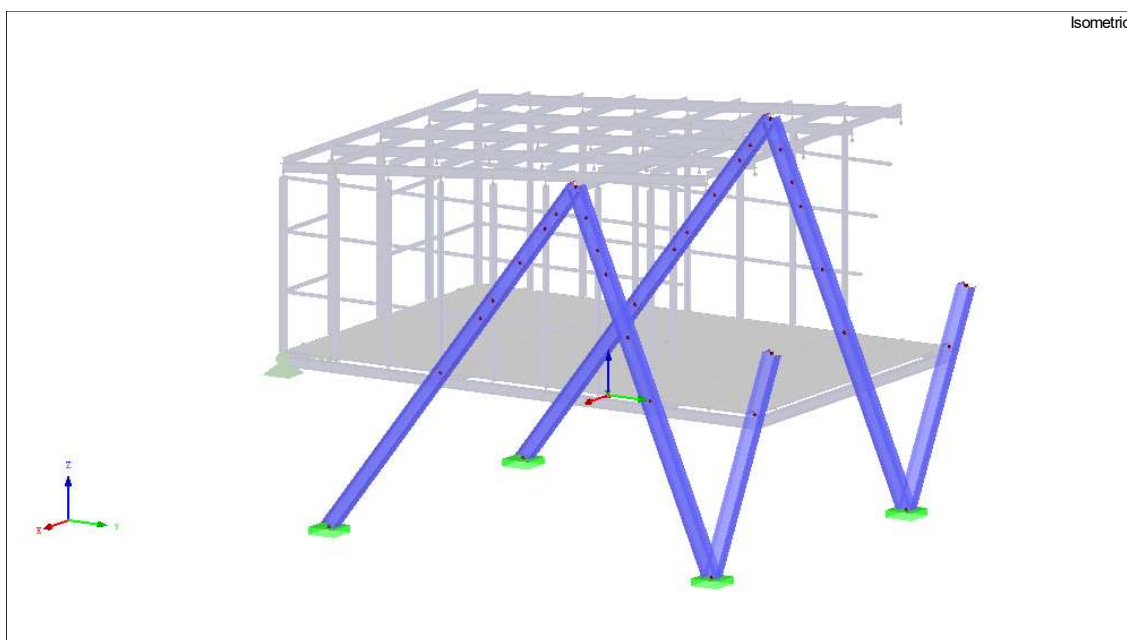
Slika 3: Pogled na konstrukciju sa zapada [9]



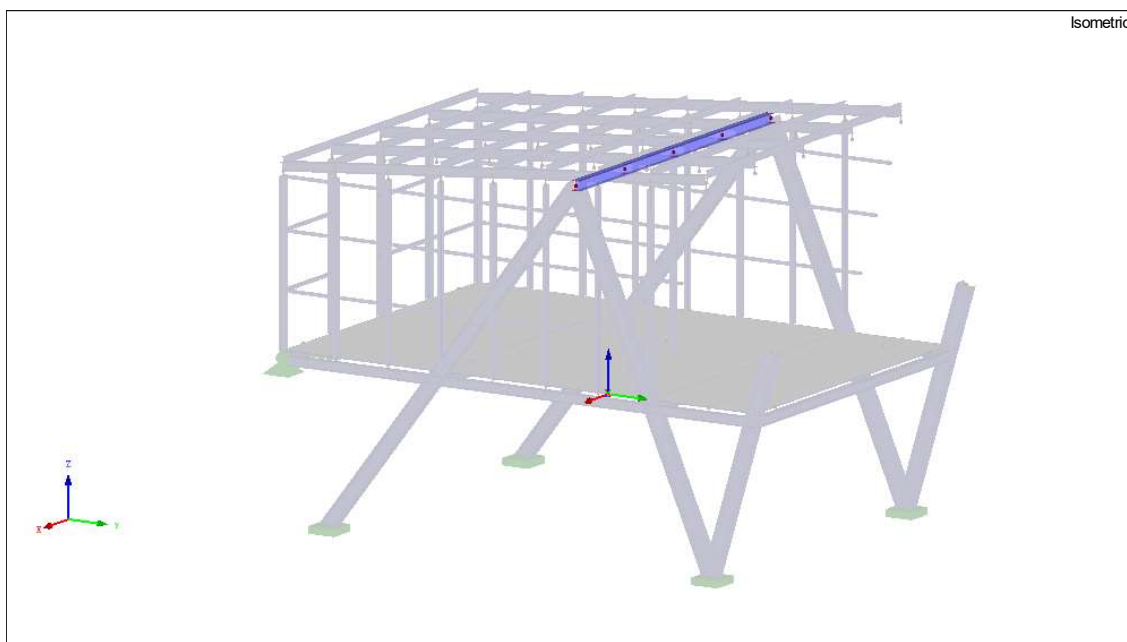
Slika 4: Pogled na konstrukciju sa sjeverozapada [9]



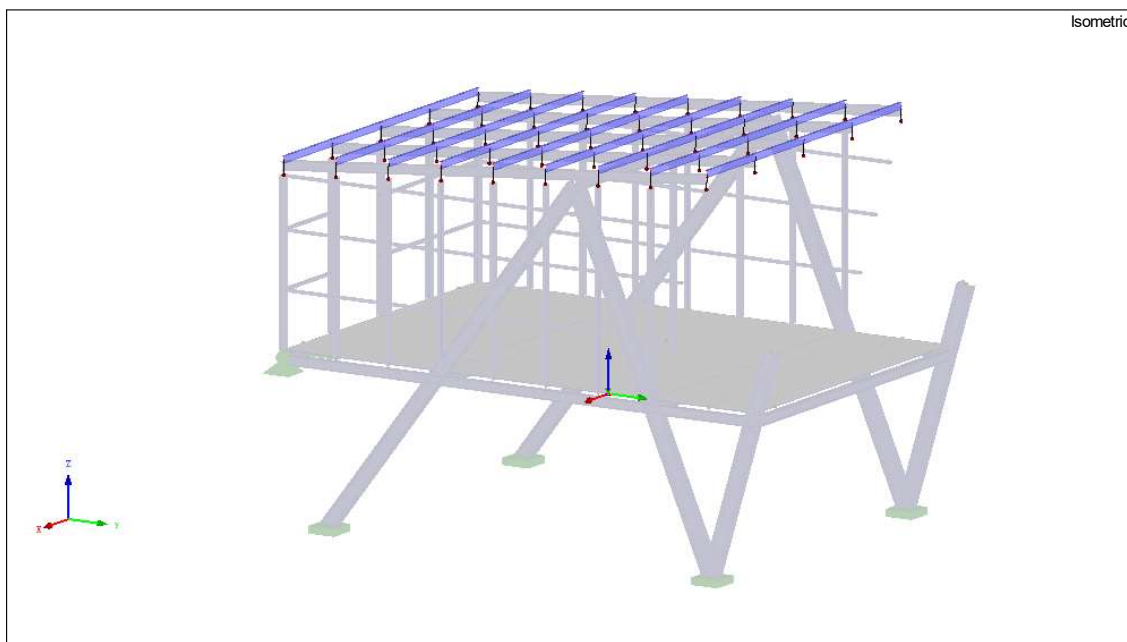
Slika 5: Prikaz eksterijera bakona [9]



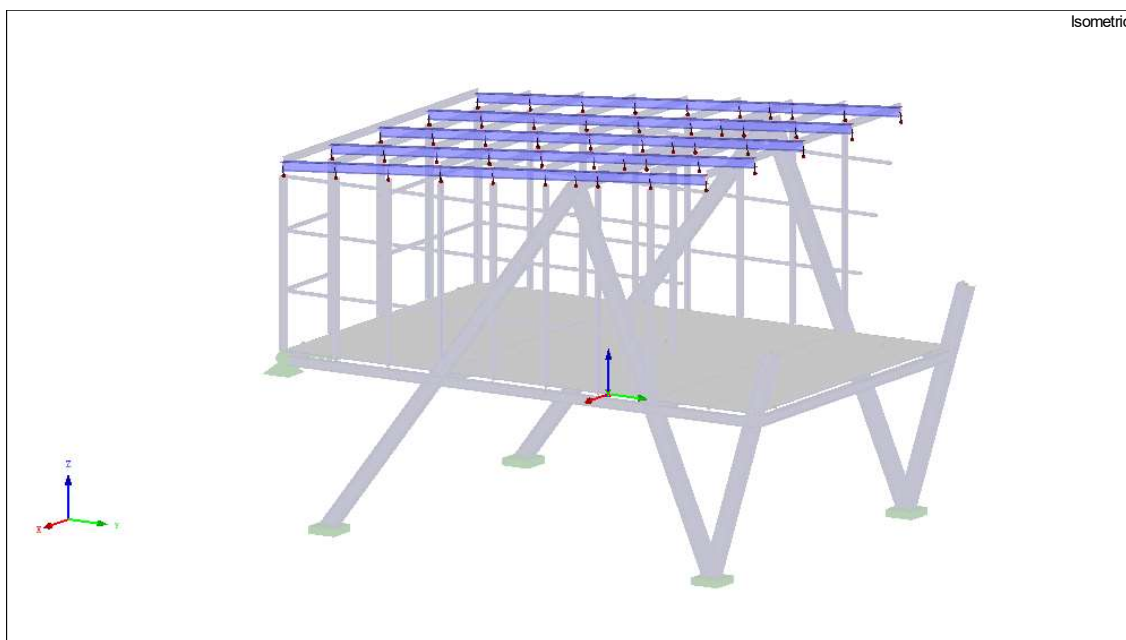
Slika 6: Pozicija glavnih N -nosača [5]



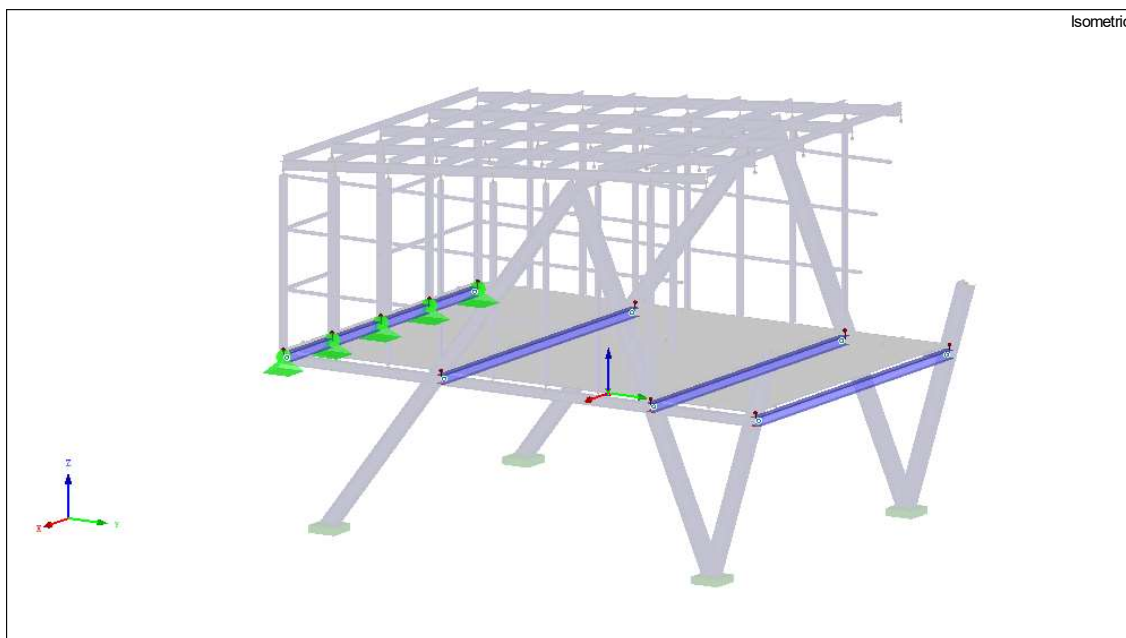
Slika 7: Pozicija krovnog nosača [5]



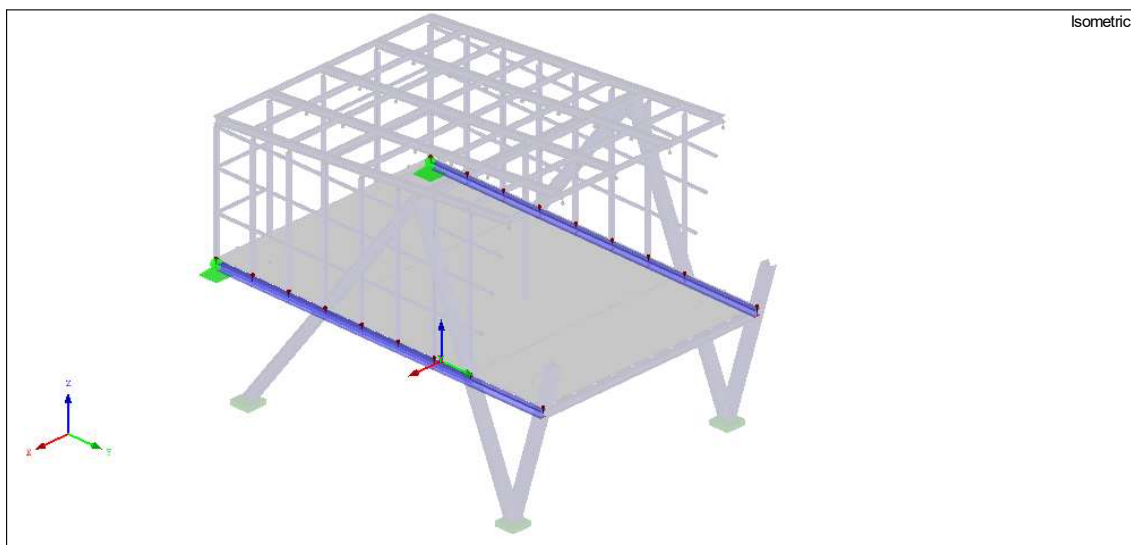
Slika 8: Pozicija poprečnih krovnih nosača (podrožnica) [5]



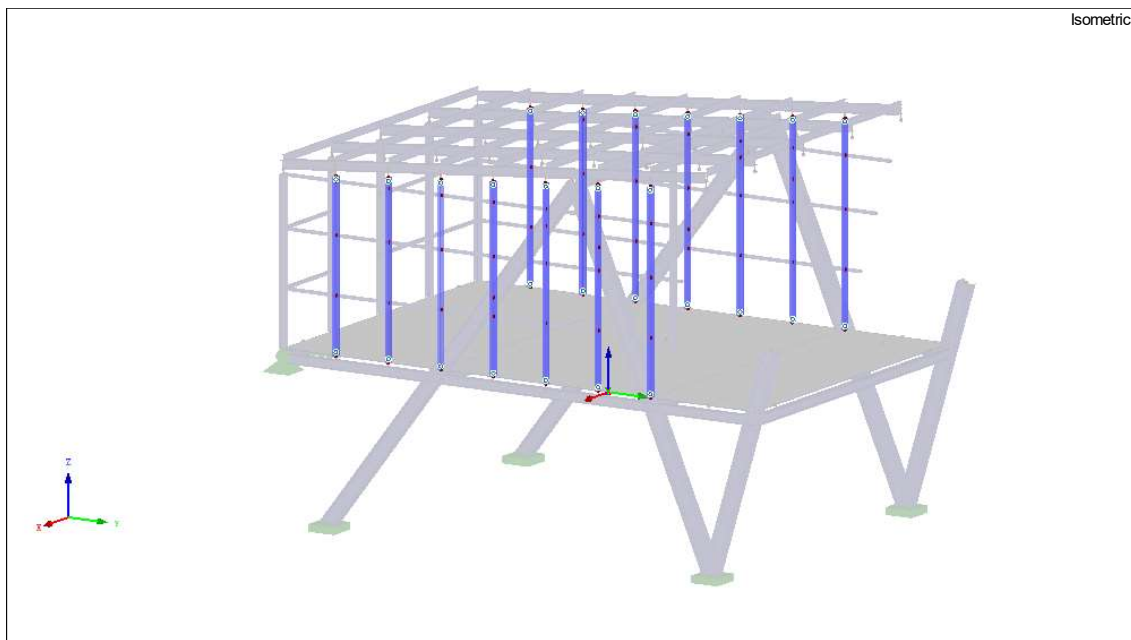
Slika 9: Pozicija uzdužnih krovnih nosača [5]



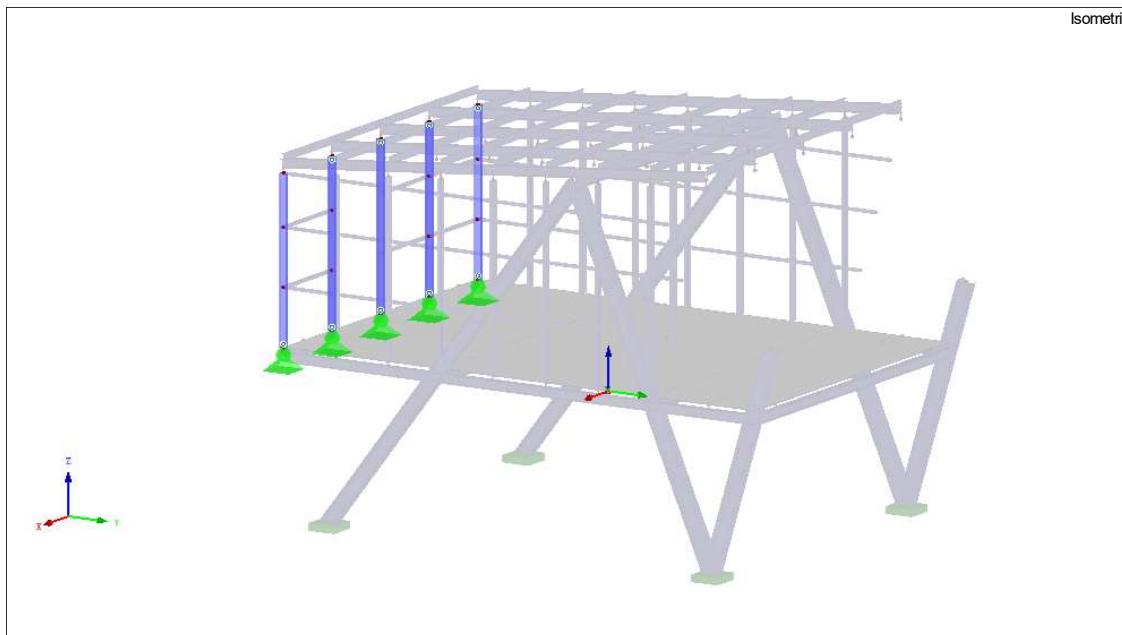
Slika 10: Pozicija poprečnih nosača međukate konstrukcije [5]



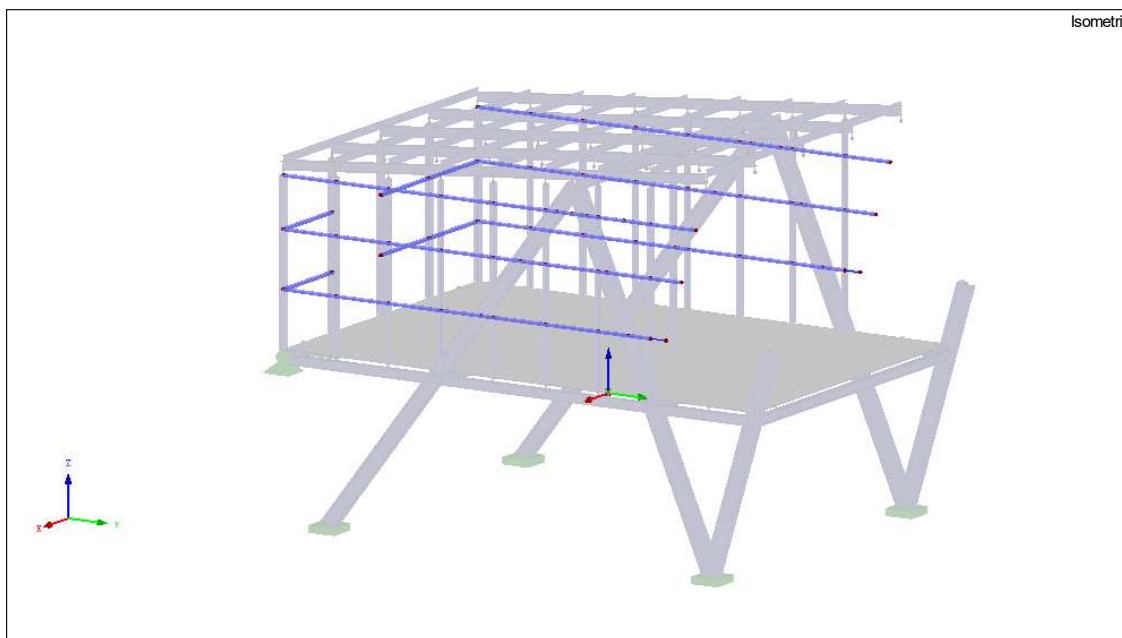
Slika 11: Pozicija uzdužnih međukatnih nosača konstrukcije [5]



Slika 12: Pozicija vertikalnih fasadnih nosača [5]



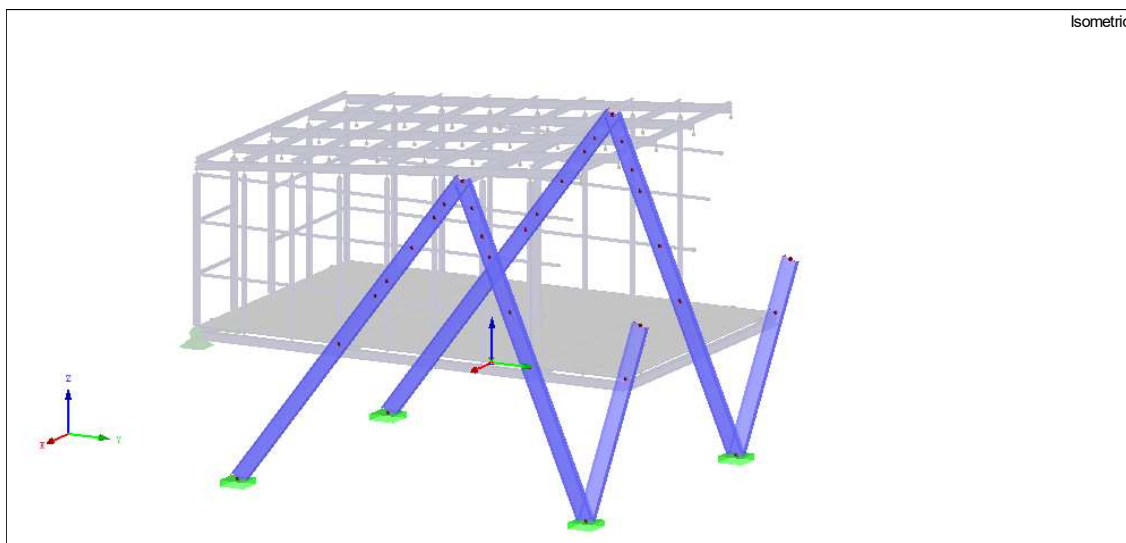
Slika 13: Pozicija stražnji stupovi fasade [5]



Slika 14: Pozicija horizontalnih fasadnih nosača [5]

4.1. Oblikovanje glavnih N – nosača

Glavni nosači (stupovi) na koje je oslonjena cijela konstrukcija svojim izgledom podsjećaju na oblik slova „N“. Proračunati su u dvije varijante, prava s IPN profilima i druga s HEA profilima. Veća visina hrpta I-profila u odnosu na H-profile smanjuje njegovu stabilnost na bočno-torzijsko izvijanje, a kako bi se spriječilo izbočivanje hrpta, potrebna su dodana bočna ukrućenja duž nosača što ponajviše utječe na izgled nosača jer N-nosači čine glavni vidljivi sklop konstrukcije. Za približno jednaku iskorištenost HEA240 poprečnog presjeka od 61% za granično stanje nosivosti kako je prikazano u poglavlju 6.5.1., dobiva se poprečni presjek IPN300 s iskoristivošću od 55% za GSN kako je prikazano u nastavku. Uz to, klasifikacijom HEA240 profil određeno je da je profil klasa 1, dok je IPN300 klasa 2.



Slika 15: Prikaz varijante N-nosača s poprečnim presjekom IPN300 [5]

| Nosač Br. | Presjek x [m] | Opterećenje | |
|--------------|------------------|-------------|--|
| 95 | 1,084 | CO91 | $0,55 \leq 1$ CS211) Savojno izvijanje oko osi y prema 6.3.1.1 i 6.3.1.2 (4) |

Karakteristike materijala - Čelik S 235 / EN 10025-2:2004-11

Modul elastičnosti E 21000,00 kN/cm²

Modul posmika G 8076,92 kN/cm²

Debljina t ≤ 16 mm

| | | | | |
|---|-------|-------|--------------------|-------|
| Granica popuštanja | f_y | 23,50 | kN/cm ² | 3.2.1 |
| Vlačna čvrstoća | f_u | 36,00 | kN/cm ² | 3.2.1 |
| Debljina $t > 16 \text{ mm}$ i $t \leq 40 \text{ mm}$ | | | | |
| Granica popuštanja | f_y | 22,50 | kN/cm ² | 3.2.1 |
| Vlačna čvrstoća | f_u | 36,00 | kN/cm ² | 3.2.1 |
| Debljina $t > 40 \text{ mm}$ i $t \leq 100 \text{ mm}$ | | | | |
| Granica popuštanja | f_y | 21,50 | kN/cm ² | 3.2.1 |
| Vlačna čvrstoća | f_u | 36,00 | kN/cm ² | 3.2.1 |
| Debljina $t > 100 \text{ mm}$ i $t \leq 150 \text{ mm}$ | | | | |
| Granica popuštanja | f_y | 19,50 | kN/cm ² | 3.2.1 |
| Vlačna čvrstoća | f_u | 35,00 | kN/cm ² | 3.2.1 |
| Debljina $t > 150 \text{ mm}$ i $t \leq 200 \text{ mm}$ | | | | |
| Granica popuštanja | f_y | 18,50 | kN/cm ² | 3.2.1 |
| Vlačna čvrstoća | f_u | 34,00 | kN/cm ² | 3.2.1 |
| Debljina $t > 200 \text{ mm}$ i $t \leq 250 \text{ mm}$ | | | | |
| Granica popuštanja | f_y | 17,50 | kN/cm ² | 3.2.1 |
| Vlačna čvrstoća | f_u | 34,00 | kN/cm ² | 3.2.1 |
| Debljina $t > 250 \text{ mm}$ i $t \leq 400 \text{ mm}$ | | | | |
| Granica popuštanja | f_y | 16,50 | kN/cm ² | 3.2.1 |
| Vlačna čvrstoća | f_u | 33,00 | kN/cm ² | 3.2.1 |

Karakteristike poprečnog presjeka - IPE 300 / Euronorm 19-57

| Tip poprečnog presjeka | I-valjani | | |
|-------------------------------------|------------|-----------|-----------------|
| Visina presjeka | h | 300,0 | mm |
| Širina presjeka | b | 150,0 | mm |
| Debljina hrpta | t_w | 7,1 | mm |
| Debljina pojasnice | t_f | 10,7 | mm |
| Radius | r | 15,0 | mm |
| Površina poprečnog presjeka | A | 53,80 | cm ² |
| Efektivna posmična površina | $A_{v,y}$ | 33,67 | cm ² |
| Efektivna posmična površina | $A_{v,z}$ | 25,67 | cm ² |
| Moment intercije oko y-y | I_y | 8360,00 | cm ⁴ |
| Moment inercije oko z-z | I_z | 604,00 | cm ⁴ |
| Tozijska konstanta | I_t | 20,20 | cm ⁴ |
| Polumjer tromosti za y-y os | i_y | 125,0 | mm |
| Polumjer tromosti za z-z os | i_z | 33,5 | mm |
| Elastični moment otpora oko y-y osi | $W_{el,y}$ | 557,00 | cm ³ |
| Elastični moment otpora oko z-z osi | $W_{el,z}$ | 80,50 | cm ³ |
| Plastični moment otpora oko y-y osi | $W_{pl,y}$ | 628,00 | cm ³ |
| Plastični moment otpora oko z-z osi | $W_{pl,z}$ | 125,22 | cm ³ |
| Savojna konstanta presjeka | I_w | 125900,00 | cm ⁶ |
| Statički moment | Q_y | 314,00 | cm ³ |

| | | | | |
|--------------------|--------|-------|---------------|----------|
| Statički moment | Q_z | 30,09 | cm^3 | |
| Krivilja izvijanja | BC_y | a | | Tab. 6.2 |
| Krivilja izvijanja | BC_z | b | | Tab. 6.2 |

Proračunske unutarnje sile

| | | | | |
|------------------|------------|--------|-----|--|
| Normalna sila | N_{Ed} | -52,63 | kN | |
| Posmična sila | $V_{y,Ed}$ | 13,96 | kN | |
| Posmična sila | $V_{z,Ed}$ | -5,03 | kN | |
| Torzijski moment | T_{Ed} | -0,03 | kNm | |
| Moment | $M_{y,Ed}$ | -4,35 | kNm | |
| Moment | $M_{z,Ed}$ | -16,15 | kNm | |

Klasifikacija poprečnog presjeka - Klasa 2

Pojasnica

| | | | | |
|------------------------|--------------------|--------|----------------------|----------|
| | c_f | 56,5 | mm | Tab. 5.2 |
| | t_f | 10,7 | mm | Tab. 5.2 |
| Koeficijent materijala | ε_f | 1,000 | | Tab. 5.2 |
| c/t-granica za klasu 1 | $\lambda_{f,1}$ | 9,000 | | Tab. 5.2 |
| c/t-granica za klasu 2 | $\lambda_{f,2}$ | 10,000 | | Tab. 5.2 |
| c/t-granica za klasu 3 | $\lambda_{f,3}$ | 14,000 | | Tab. 5.2 |
| c/t | c/t_f | 5,276 | $\leq \lambda_{f,1}$ | |
| Klasa | Klasa _f | 1 | | Tab. 5.2 |

Hrbat

| | | | | | |
|-------------------------------|--------------------|--------|-------------------------|-----|----------|
| Naprezanje na vrhu hrpta | $\sigma_{w,A}$ | -1,62 | kN/cm^2 | < 0 | Tlak |
| Naprezanje na dnu hrpta | $\sigma_{w,B}$ | -0,33 | kN/cm^2 | < 0 | Tlak |
| | c_w | 248,6 | mm | | Tab. 5.2 |
| | t_w | 7,1 | mm | | Tab. 5.2 |
| Granica popuštanja | $f_{yd,w}$ | 23,50 | kN/cm^2 | | 3.2.1 |
| Proračunska normalna sila | N_{Ed} | -52,63 | kN | < 0 | Tlak |
| Razmjer tlačnog naprezanja | α_w | 1,000 | | | Tab. 5.2 |
| Naprezanje vezano za f_{yd} | $\sigma_{f-yd,1}$ | 23,50 | kN/cm^2 | | |
| Naprezanje vezano za f_{yd} | $\sigma_{f-yd,2}$ | 4,80 | kN/cm^2 | | |
| Razmjer naprezanja | ψ_w | 0,204 | | | Tab. 5.2 |
| Koeficijent materijala | ε_w | 1,000 | | | Tab. 5.2 |
| c/t-granica za klasu 1 | $\lambda_{w,1}$ | 33,000 | | | Tab. 5.2 |
| c/t-granica za klasu 2 | $\lambda_{w,2}$ | 38,000 | | | Tab. 5.2 |
| c/t-granica za klasu 3 | $\lambda_{w,3}$ | 56,957 | | | Tab. 5.2 |
| c/t | c/t_w | 35,014 | $\leq \lambda_{w,1}$ | | |
| Klasa | Klasa _w | 2 | | | Tab. 5.2 |
| Klasa poprečnog presjeka | Klasa | 2 | | | |

Proračun nosivosti

| | | | | | |
|-------------------------------------|---------------|---------|--------------------|-------------|------------|
| Moment | $M_{y,Ed}$ | 4,35 | kNm | | |
| Plastični moment otpora | $W_{pl,y}$ | 628,00 | cm ³ | | |
| Granica popuštanja | f_y | 23,50 | kN/cm ² | 3.2.1 | |
| Parcijalni faktor | γ_M | 1,000 | | 6,1 | |
| Plastični moment nosivosti | $M_{pl,y,Rd}$ | 147,58 | kNm | | Eq. (6.13) |
| Proračunska poprečna sila | $V_{z,Ed}$ | 5,03 | kN | | |
| Efektivna posmična površina | $A_{v,z}$ | 25,67 | cm ² | 6.2.6(3) | |
| Nosivost na poprečnu silu | $V_{pl,z,Rd}$ | 348,28 | kN | | Eq. (6.18) |
| $V_{z,Ed} / V_{pl,z,Rd}$ | v_z | 0,014 | | ≤ 0.5 | 6.2.10(2) |
| Proračunska normalna sila | N_{Ed} | -52,63 | kN | | |
| Površina poprečnog presjeka | A | 53,80 | cm ² | | |
| Plastična nosivost na normalnu silu | $N_{pl,Rd}$ | 1264,30 | kN | | (6.6) |
| Debljina hrpta | h_w | 278,6 | mm | | |
| Debljina pojasnice | t_w | 7,1 | mm | | |
| Kriterij 1 | n | 0,042 | | ≤ 0.25 | (6.33) |
| Kriterij 2 | n_w | 0,113 | | ≤ 0.50 | (6.34) |
| Moment | $M_{z,Ed}$ | 16,15 | kNm | | |
| Plastični moment otpora | $W_{pl,z}$ | 125,22 | cm ³ | | |
| Moment nosivosti | $M_{pl,z,Rd}$ | 29,43 | kNm | | Eq. (6.13) |
| Proračunska poprečna sila | $V_{y,Ed}$ | 13,96 | kN | | |
| Efektivna posmična površina | $A_{v,y}$ | 33,67 | cm ² | 6.2.6(3) | |
| Posmična nosivost | $V_{pl,y,Rd}$ | 456,81 | kN | | Eq. (6.18) |
| $V_{y,Ed} / V_{pl,y,Rd}$ | v_y | 0,031 | | ≤ 0.5 | 6.2.10(2) |
| Kriterij | n_w | 0,113 | | ≤ 1 | (6.35) |
| Konstanta interakcije | α | 2,000 | | | 6.2.9.1(6) |
| Konstanta interakcije | β | 1,000 | | | 6.2.9.1(6) |
| Proračunska komponenta za M_y | η_{My} | 0,00 | | ≤ 1 | Eq. (6.41) |
| Proračunska komponenta za M_z | η_{Mz} | 0,55 | | ≤ 1 | Eq. (6.41) |
| Proračunska komponenta za M | η_M | 0,55 | | ≤ 1 | Eq. (6.41) |

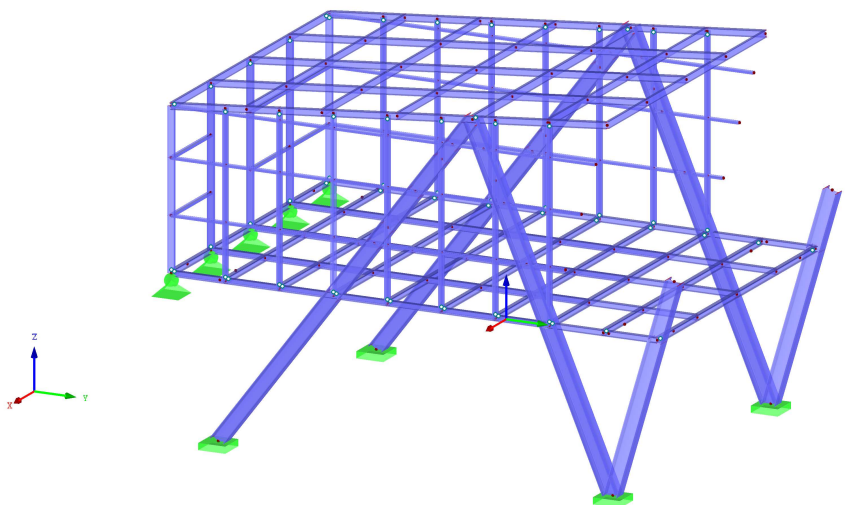
Uvjet nosivosti

$$(M_{y,Ed} / M_{N,y,Rd})^\alpha + (M_{z,Ed} / M_{N,z,Rd})^\beta = 0.55 \leq 1 \quad (6.41)$$

Dakle, sustavu s H-nosačima je potrebna manja visina hrpta za približno istu iskorištenost i stabilnost u odnosu na I-profile stoga je konstrukcija modelirana s HEA240 profilima.

4.2. Oblikovanje međukatne konstrukcije

Međukatna konstrukcija proračunata je za dvije varijante, prva kao roštiljni sustav s čeličnim I-profilima kao što je prikazano na slici 16 i spregnuta ploča na slici 1. Roštiljni sustav izgledom je atraktivniji jer se u prizemlju ističu nosači koji daju dašak elegancije u pogledu na strop, no s druge strane utrošak čelika je pozamašan, a ne treba zanemariti ni spojni pribor u ukupnoj težini čelika. Svakako, proporcionalno povećanim brojem spojeva uzdužnih i poprečnih profila roštilja, povećava se i vrijeme montaže. Najveći nedostatak u ovako oblikovanom sustavu je nedovoljna posmična krutost. Naime, javlja se nestabilnost sustava te je potrebna dijafragma ili stabilizacijski vez koji će ukrutiti sustav prilikom horizontalnih djelovanja. Dovoljnim brojem nosača u oba smjera moguće je postići stabilnost, no takvo oblikovanje nije racionalno ukoliko se usporedi takav sustav sa sustavom spregnute ploče. Bolje rješenje predstavlja spregnuta ploča tzv. slim-floor. U tom slučaju, armirano-betonska ploča djeluje kao dijafragma pa je sustav stabilan. Između ostalog, dobiva se manji broj nosača (rebara), trapezni lim ujedno služi kao izgubljena oplata, a sama izvedba uvelike je jednostavnija, kao i transport i montaža. U konačnici, povoljniji sustav je svakako spregnuta međukatna konstrukcija i s aspekta konstrukcijske stabilnosti i s aspekta ekonomičnosti te brzine gradnje.



Slika 16: Prikaz varijante međukatne konstrukcije kao roštiljni sustav. [5]

Tip međukatne konstrukcije utječe i na preraspodjelu opterećenja što utječe na konačne dimenzije poprečnih presjeka svih konstrukcijskih elemenata.

4.3. Oblikovanje nosača fasade

Uobičajeno se za nosače panela koriste UPN profili koji svojim oblikom poprečnog presjeka imaju povoljna svojstva glede utroška materijala s iskoristivosti presjeka. Međutim, u priobalnim i otvorenim područjima bez značajnijih prepreka gdje su izraženija vjerovna opterećenja u kombinaciji sa zidnim panelima koji stvaraju opterećenje od 130 kg/m^2 , ovakvi se profili nisu pokazali učinkovitim. Naime, općenito UPN-profili su nesimetrični i nestabilniji u odnosu na I-profile, stoga se kao nosači fasade odabiru IPN-profili.

5. ANALIZA DJELOVANJA

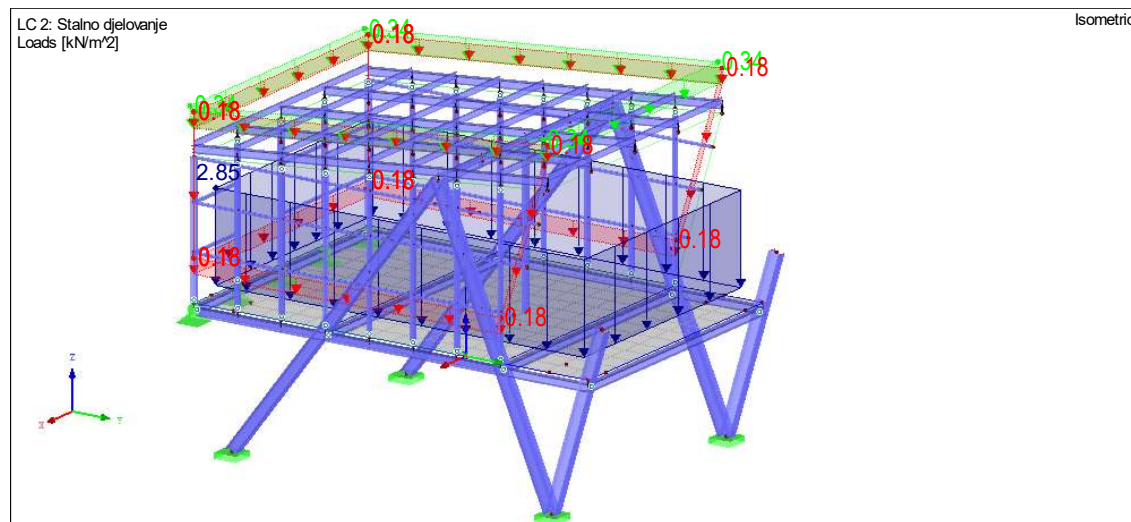
Analiza djelovanja provodi se prema EN 1991 i pripadnim nacionalnim dodatkom HRN EN, dok su proračunske kombinacije određene prema normi EN 1990 s pripadajućim faktorima sigurnosti za stalnu i karakterističnu kombinaciju djelovanja.

5.1. Stalno djelovanje

Vlastita težina čeličnih i betonskih dijelova konstrukcije uzeta je u obzir korištenjem naredbe *Self-Weight* u programskom paketu Dlubal RFEM [5]. Karakteristično stalno opterećenje krovne konstrukcije u proračunu je usvojeno kao $0,34 \text{ kN/m}^2$ kojim je uzeta u obzir vlastita težina krovnog pokrova kojeg čini sendvič panel ISOPHENIC (IPN) RW KS1000 s vanjskom profilacijom trapeza s 3 rebra debljine 100 mm čija je težina jednaka $0,12 \text{ kN/m}^2$ [1], te spojni pribor i ovještene instalacije. Fasadni sustav čine zidni paneli PGB PSD debljine 120 mm i težine $0,13 \text{ kN/m}^2$ s čeličnom oblogom od 0,5 mm. Stalno opterećenje međukatne konstrukcije iznosi $2,85 \text{ kN/m}^2$ koje čine slojevi poda i opterećenje od pregradnih zidova. Detaljan prikaz stalnog opterećenja na konstrukciju naveden je u tablici 1.

Tablica 1: Analiza stalnog opterećenja na fasadu, krov i međukatnu konstrukciju.

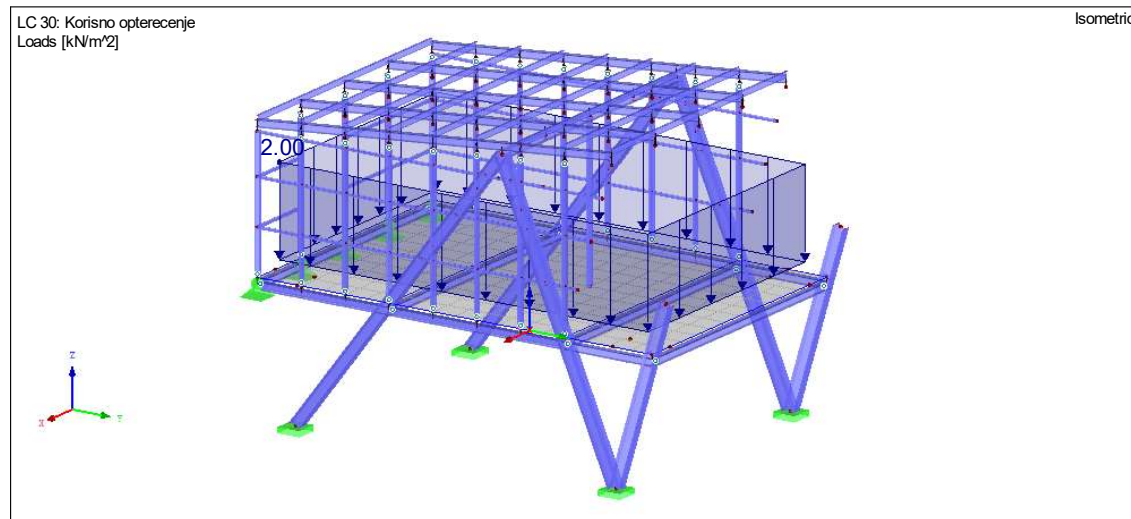
| Analiza stalnog opterećenja | Zapremninska težina [kN/m ³] | Debljina sloja [m] | Opterećenje |
|--|---|--------------------|-------------------------------|
| Krovna konstrukcija / neprohodni krov | | | |
| Sendvič PU panel 100 mm | | | 0,12 kN/m ² |
| Zvučna i toplinska izolacija 5 cm | 0,25 | 0,5 | 0,13 kN/m ² |
| Obloga gipskartonskim pločama | | | 0,09 kN/m ² |
| | | ukupno // | 0,34 kN/m ² |
| Fasada | | | |
| Zidni sendvič panel PU 120 mm | | | 0,13 kN/m ² |
| Spojni pribor | | | 0,05 kN/m ² |
| | | ukupno // | 0,18 kN/m ² |
| Međukatna konstrukcija | | | |
| Keramičke pločice + ljepilo 2 cm | 28 | 0,02 | 0,56 kN/m ² |
| Cementni estrih 6 cm | 23 | 0,06 | 1,38 kN/m ² |
| Termoizolacija EPS 5 cm | 0,25 | 0,05 | 0,01 kN/m ² |
| Armirano-betonska ploča 15 cm | | | <i>Dlubal RFEM</i> |
| Trapezni lim Cofrastra® 40 0,75 mm | | | 0,10 kN/m ² |
| Opterećenje od pregradnih zidova | | | 0,80 kN/m ² |
| | | ukupno // | 2,85 kN/m ² |



Slika 17: Prikaz stalnog krovnog, fasadnog i stropnog opterećenja na konstrukciju u kN/m² [5]

5.2. Uporabno opterećenje

Uporabno opterećenje zgrade kategorije A stambene namjene u razini međukatne konstrukcije iznosi 2,0 kN/m² prema normi HRN EN 1991-1-1.



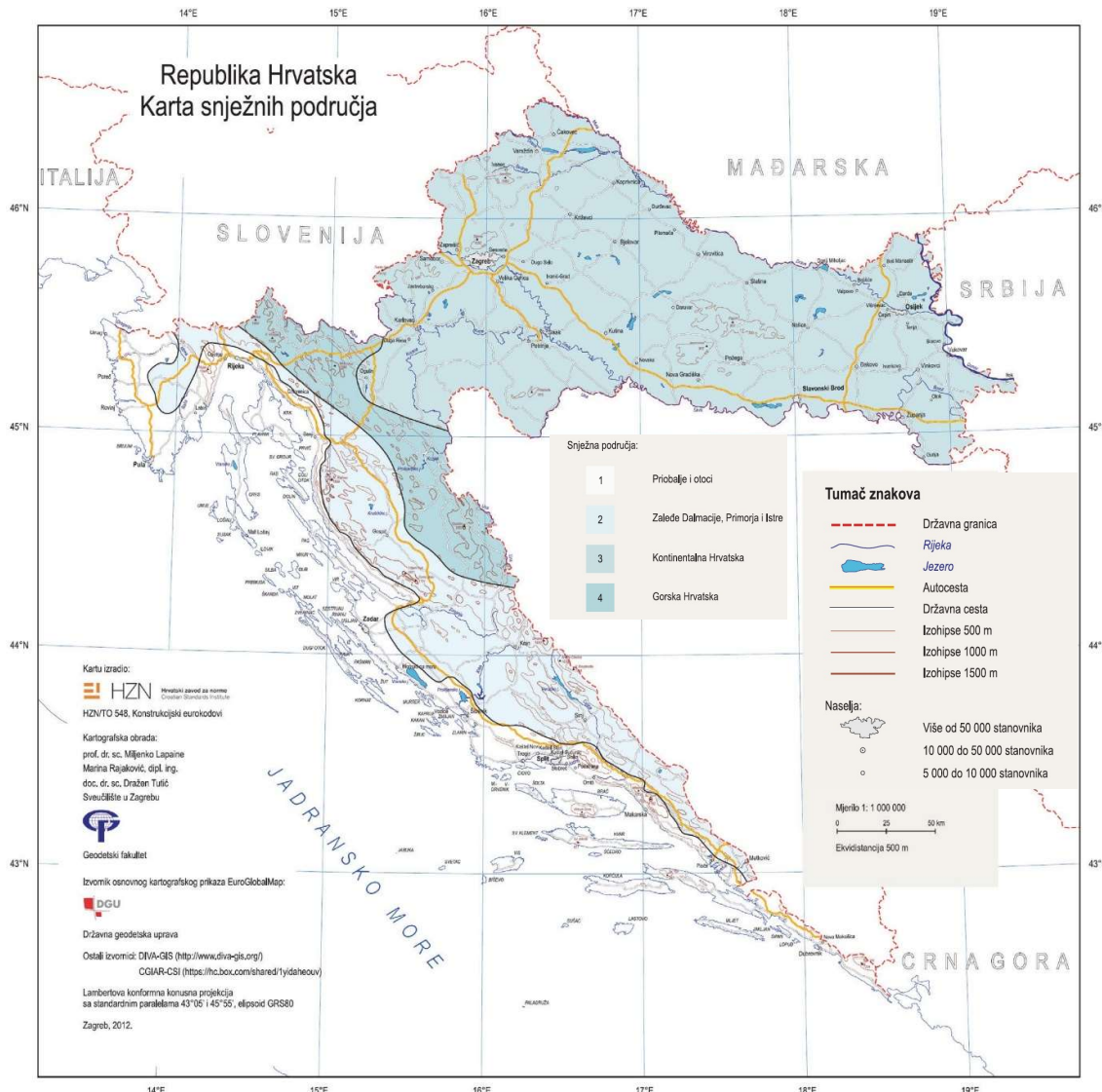
Slika 18: Prikaz korisnog opterećenja na međukatnu konstrukciju u kN/m². [5]

5.3. Promjenjivo opterećenje snijegom

Karakteristično opterećenje snijegom na tlu za područje Trgeta koji spada u 1. snježno područje s nadmorskom visinom od 100 m n.m. iznosi $S_k = 0,50 \text{ kN/m}^2$ prema tablici 2 i Slici 22.

Tablica 2: Opterećenje snijegom za snježna područja i pripadajuće nadmorske visine [3]

| Nadmorska visina do [m] | 1.područje priobalje i otoci [kN/m ²] | 2. područje – zaleđe Dalmacije, Primorja i Istre [kN/m ²] | 3. područje – kontinentalna Hrvatska [kN/m ²] | 4. područje – gorska Hrvatska [kN/m ²] |
|-------------------------|---|---|--|--|
| 100 | 0,50 | 0,75 | 1,00 | 1,25 |
| 200 | 0,50 | 0,75 | 1,25 | 1,50 |
| 300 | 0,50 | 0,75 | 1,50 | 1,75 |
| 400 | 0,50 | 1,00 | 1,75 | 2,00 |
| 500 | 0,50 | 1,25 | 2,00 | 2,50 |
| 600 | 0,50 | 1,50 | 2,25 | 3,00 |
| 700 | 0,50 | 2,00 | 2,50 | 3,50 |
| 800 | 0,50 | 2,50 | 2,75 | 4,00 |
| 900 | 1,00 | 3,00 | 3,00 | 4,50 |
| 1 000 | 2,00 | 4,00 | 3,50 | 5,00 |
| 1 100 | 3,00 | 5,00 | 4,00 | 5,50 |
| 1 200 | 4,00 | 6,00 | 4,50 | 6,00 |
| 1 300 | 5,00 | 7,00 | | 7,00 |
| 1 400 | 6,00 | 8,00 | | 8,00 |
| 1 500 | | 9,00 | | 9,00 |
| 1 600 | | 10,00 | | 10,00 |
| 1 700 | | 11,00 | | 11,00 |
| 1 800 | | 12,00 | | |



Slika 19: Karta snježnih područja [3]

Prihvata se preporučeni koeficijent izloženosti $C_e = 1,0$ i toplinski koeficijent $C_t = 1,0$. Opterećenja snijegom na krovovima određuju se prema izrazu (5.1.) EN 1991-1-3 za trajne / privremene situacije:

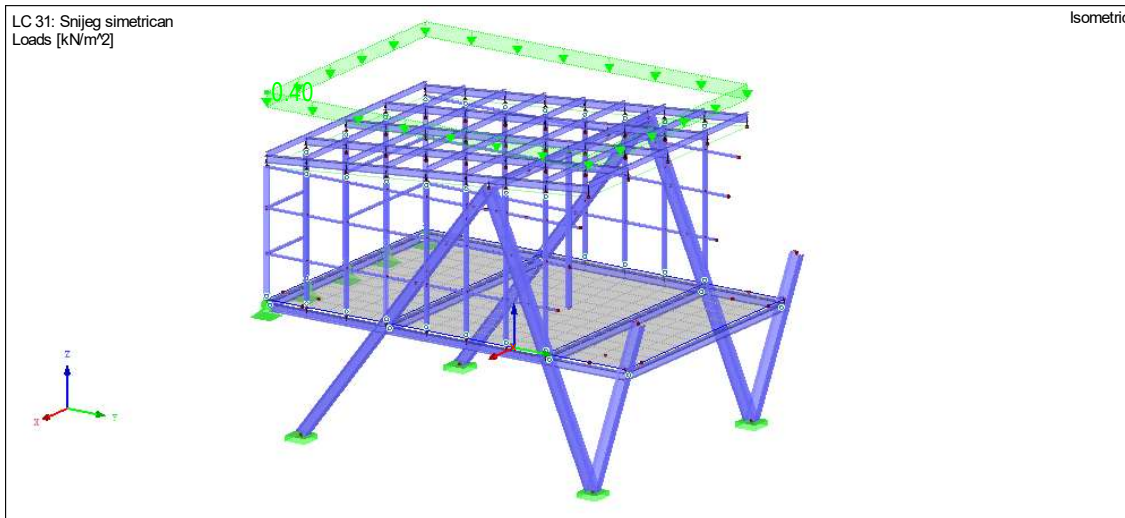
$$s = \mu_i \cdot C_e \cdot C_t \cdot s_k$$

pri čemu se μ_i za krov nagiba 5° uzima kao $\mu_i = \mu_1 = \mu_2 = 0,8$ prema tablici 3.

Za proračun konstrukcije mjerodavno je simetrično opterećenje snijegom $s_{1,k} = 0,4 \text{ kN/m}^2$.

Tablica 3: Koeficijenti oblika opterećenja snijegom [4]

| Nagib krova | $0^\circ \leq \alpha \leq 30^\circ$ | $30^\circ < \alpha < 60^\circ$ | $\alpha \geq 60^\circ$ |
|-------------|-------------------------------------|--------------------------------|------------------------|
| μ_1 | 0,8 | $0,8 (60 - \alpha)/30$ | 0,0 |
| μ_2 | $0,8 + 0,8 \alpha /30$ | 1,6 | -- |

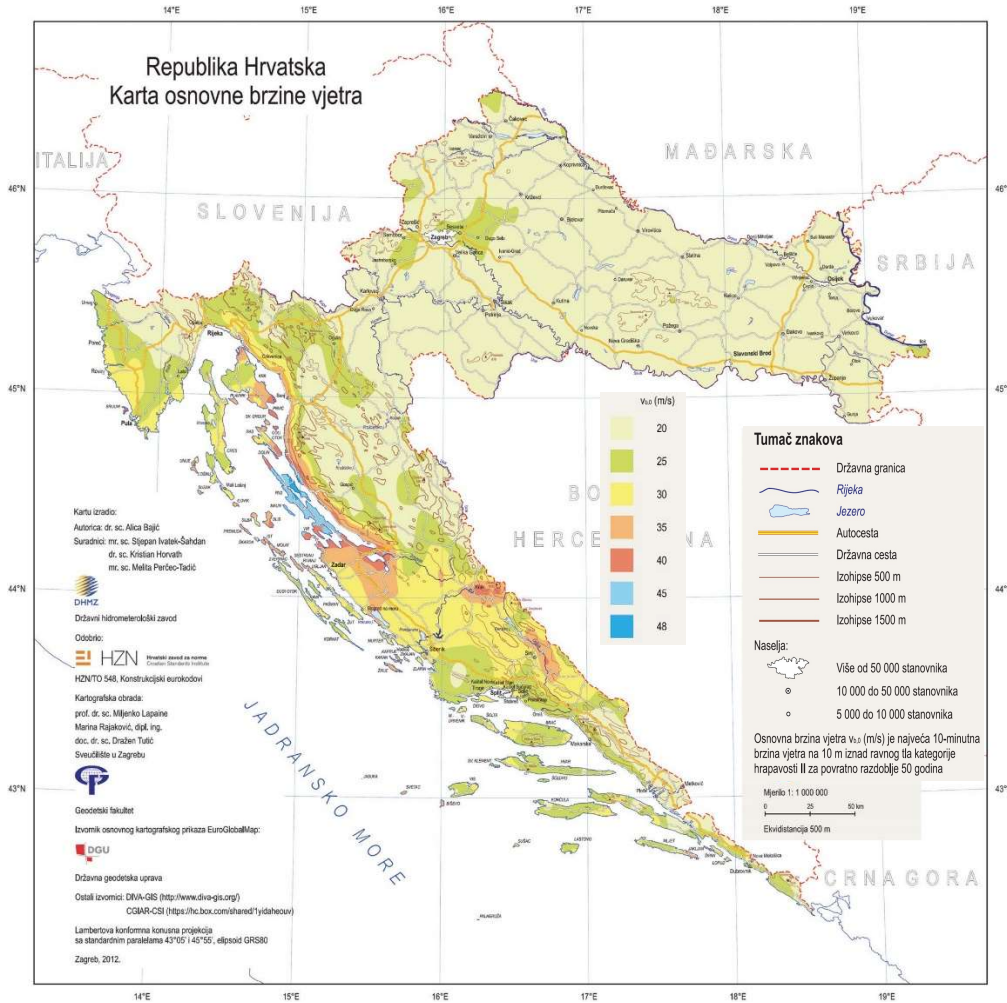
Slika 20: Prikaz karakterističnog opterećenja snijegom na konstrukciji krova u kN/m² [5]

5.4. Promjenjivo opterećenje vjetrom

Osnovna brzina vjetra izračunava se prema [6]:

$$v_b = c_{dir} \cdot c_{season} \cdot v_{b,0}$$

Vrijednost osnovne brzine vjetra $v_{b,0} = 30,0$ m/s je određena na temelju Karte osnovnih brzina vjetra Republike Hrvatske koja je prikazana na slici 24. Prihvata se preporučena vrijednost faktora smjera $c_{dir} = 1,0$ i vrijednost faktora godišnjega doba $c_{season} = 1,0$ čime osnovna brzina vjetra v_b iznosi $v_b = 30,0$ m/s.


 Slika 21: Karte osnovnih brzina vjetra Republike Hrvatske $v_{b,0}$ [7]

Srednja brzina vjetra $v_m(z)$ na visini z iznad terena ovisi o koeficijentima hrapavosti $c_r(z)$ i orografiji terena $c_0(z)$ koji se u proračun uzima s vrijednošću 1,0, te o osnovnoj brzini vjetra v_b , a definirana je prema [6]:

$$v_m(z) = c_r(z) \cdot c_0(z) \cdot v_b$$

Faktor hrapavosti, $c_r(z)$, objašnjava varijabilnost srednje brzine vjetra na mjestu konstrukcije te se određuje iz formule (4.4) prema [6] s obzirom na visinu u sljemenu z :

$$c_r(z) = k_r \cdot \ln\left(\frac{z}{z_0}\right)$$

gdje je z_0 je duljina hrapavosti, a k_r faktor terena izračunat pomoću formule:

$$k_r = 0,19 \cdot \left(\frac{z_0}{z_{0,II}} \right)^{0,07}$$

gdje je $z_{0,II} = 0,05$ m (kategorija terena II, Tablica 4)

$z_0 = 0,003$ m (kategorija terena 0, Tablica 4)

Tablica 4: Kategorije terena i parametri terena [6]

| Kategorija terena | z_0 m | z_{min} m |
|--|------------|----------------|
| 0 More ili obalno područje izloženo otvorenom moru | 0,003 | 1 |
| I Jezera ili ravno i vodoravno područje s zanemarivom vegetacijom i bez prepreka | 0,01 | 1 |
| II Područje s niskim raslinjem poput trave i izoliranih prepreka (drveće, zgrade) s razmakom od najmanje 20 visina prepreke | 0,05 | 2 |
| III Područje s stalnom pokrovom vegetacije ili zgrada ili područja s izoliranim preprekama s razmakom od najviše 20 visina prepreka (poput sela, predgrađa, stalne šume) | 0,3 | 5 |
| IV Područje s najmanje 15% površine prekrivene zgradama čija prosječna visina premašuje 15 m | 1,0 | 10 |

Faktor terena k_r iznosi $k_r = 0,156$, a njegovim uvrštavanjem u izraz za $c_r(z)$ gdje je $z = 6,40$ m dobiva se $c_r(z) = 1,20$. U konačnici, srednja brzina vjetra $v_m(z) = 36$ m/s.

Intenzitet turbulencije $I_v(z)$ na visini z definiran je kao standardno odstupanje turbulencije σ_v podijeljeno sa srednjom brzinom vjetra $v_m(z)$:

$$I_v(z) = \frac{\sigma_v}{v_m(z)} = \frac{k_l}{c_o(z) \cdot \ln\left(\frac{z}{z_0}\right)}$$

gdje je:

k_l faktor turbulencije. Preporučena vrijednost za k_l je 1,0.

c_o je faktor orografije. Uzima se vrijednost $c_o(z) = 1,0$

$z_0 = 0,003$ m je duljina hrapavosti, dana u tablici 4

Intenzitet turbulencije $I_v(z) = 0,13$.

Vršni pritisak brzine $q_p(z)$ na visini $z = 6,40$ m, koji uključuje srednje i kratkotrajne fluktuacije brzine se određuje na temelju sljedeće formule:

$$q_p(z) = [1 + 7 \cdot I_v(z)] \cdot \frac{1}{2} \cdot \rho \cdot v_m^2(z) \cdot c_e(z) \cdot q_b$$

gdje je,

ρ gustoća zraka, koja ovisi o nadmorskoj visini, temperaturi i zračnom tlaku koji se očekuju u regiji tijekom olujnih vjetrova, preporučena vrijednost gustoće zraka $\rho = 1,25 \text{ kg/m}^3$.

$c_e(z)$ faktor izloženosti:

$$c_e(z) = \frac{q_p(z)}{q_b}$$

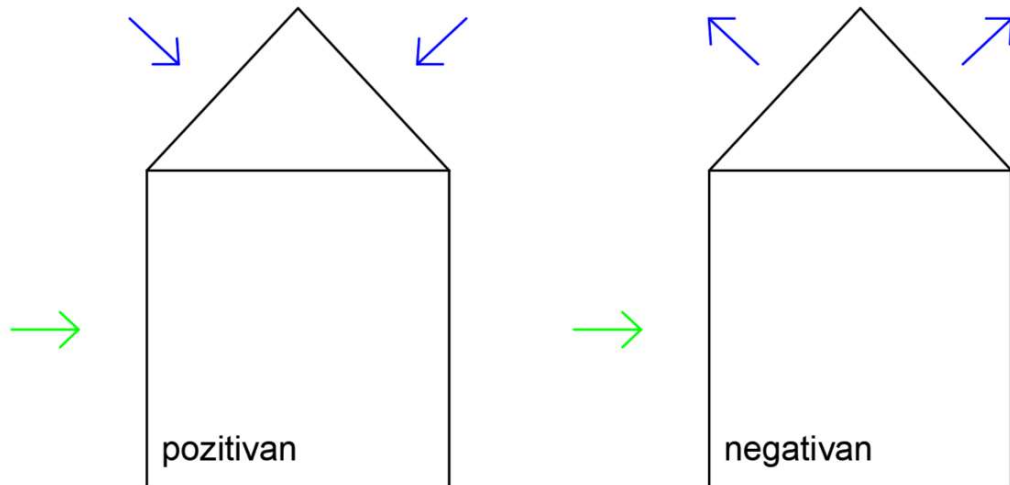
q_b je osnovni pritisak brzine:

$$q_b = \frac{1}{2} \cdot \rho \cdot v_b^2$$

te iznosi $q_b = 0,55 \text{ kN/m}^2$.

Uvrštavanjem dobivenih vrijednosti u izraz za $q_p(z)$ dobiva se vrijednost $q_p(z) = 1,55 \text{ kN / m}^2$.

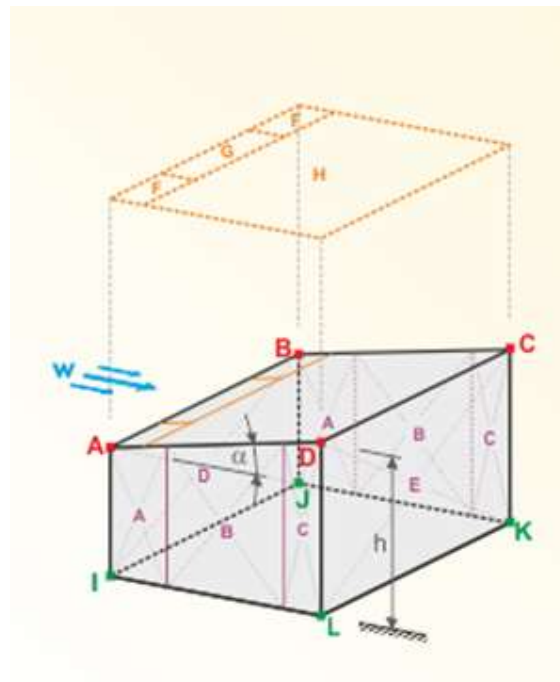
Unutarnji pritisak vjetra se uzima kao pozitivan s vrijednošću koeficijenta $c_{pi} = 0.2$, dok se negativan uzima s vrijednošću $c_{pi} = -0.3$. U nastavku su izdvojeni mogući načini smjera djelovanja vjetra sa ili bez unutarnjeg vjetra različitih orientacija. Programski paket Dlubal RFEM omogućava generiranje vjetrovnih zona na vertikalne zidove i ravni krov. Promatra se pozitivan i negativan smjer puhanja vjetra sa svih strana svijeta budući da se tlak vjetra brzo mijenja između pozitivnih i negativnih vrijednosti. Područja krova F, G, H, I i J moraju se klasificirati odvojeno prema vjetru i zavjetrini. To rezultira s ukupno četiri moguće kombinacije vjetra, ovisno o strani zgrade. Za smjer vjetra u poprečnom smjeru (istočna i zapadna strana), pozitivni kao i negativni aerodinamički koeficijenti moraju se uzeti u obzir za nagibe krova do 45° . S druge strane, ne postoje pozitivni koeficijenti vanjskog tlaka za smjer vjetra u uzdužnom (južna i sjeverna strana). Pozitivni (tlačni) aerodinamički koeficijenti koriste se za privjetrinsku stranu, a negativni (usisni) koeficijenti za zavjetrinsku stranu krova. Na primjer, ako postoje samo negativni koeficijenti za položaj opterećenja, negativna opterećenja primjenjuju se samo na površinu krova. Dakle, ako nema tlaka ove su vrijednosti postavljene na 0. Stoga se za „pozitivan smjer“ koriste samo pozitivni (tlačni) aerodinamički koeficijenti prema površini krova, a za „negativan“ samo negativni (usisni) aerodinamički koeficijenti prema površini krova. U nastavku se nalazi slikovno pojašnjenje.



Slika 22: Prikaz djelovanja vjetra (pritisak – pozitivan i usis – negativan)

Svaka strana ima svoje oznake geometrije krovnih i zidnih zona. Prikazani su rezultati vjetrovnog opterećenja po zonama bez unutarnjeg tlaka, te s unutarnjim tlakom u vrijednostima od $c_{pi}=0,2$ i $c_{pi}=-0,3$.

5.4.1. Smjer vjetra poprečno – istočna strana



Slika 23: Prikaz vjerovnih zona krovnih i vertikalnih ravnina za istočni poprečni smjer vjetra [5]

Podaci o konstrukciji s obzirom na sliku 23:

$$h = 6,40 \text{ m} \quad A_{\text{zidova}} = 83,36 \text{ m}^2$$

$$b = 6,00 \text{ m} \quad A_{\text{krova}} = 48,60 \text{ m}^2$$

$$d = 7,00 \text{ m} \quad \alpha = 5^\circ$$

$$e_{\text{zidovi}} = 6,0 \text{ m}$$

$$e_{\text{krov}} = 6,0 \text{ m}$$

Dimenzije krovnih i zidnih vjerovnih zona s obzirom na sliku 23:

$$d_A = 1,2 \text{ m} \quad b_F = 1,5 \text{ m}$$

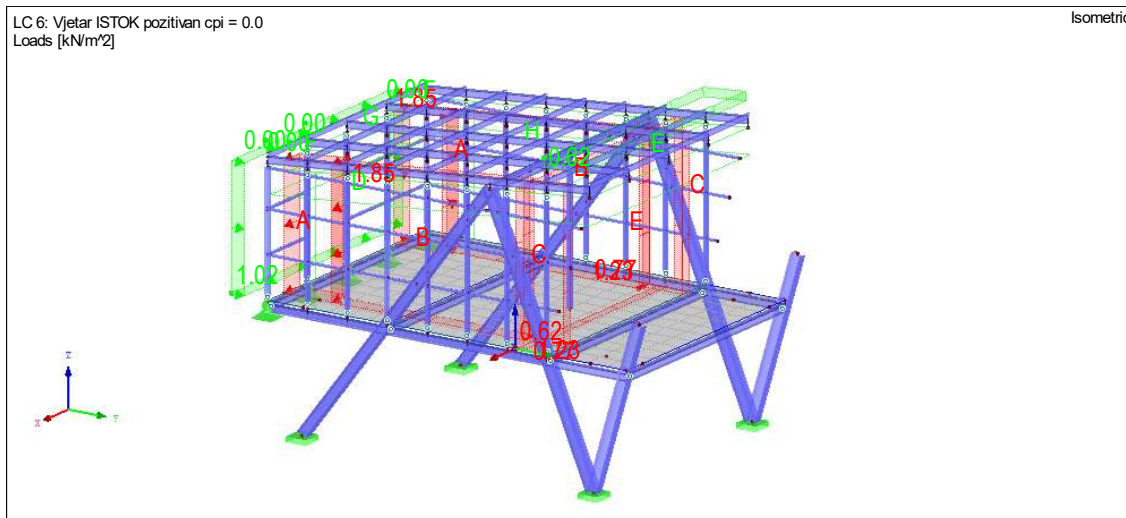
$$d_B = 4,8 \text{ m} \quad d_F = 0,6 \text{ m}$$

$$d_C = 1,0 \text{ m} \quad d_H = 7,469 \text{ m}$$

5.4.1.1. Smjer vjetra poprečno – istočna strana / bez unutarnjeg vjetra

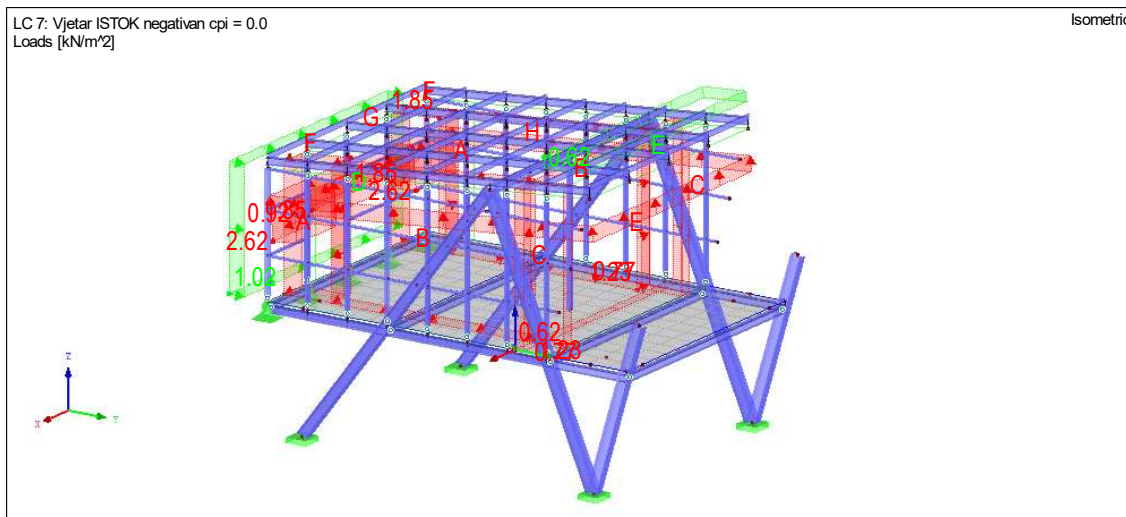
Pozitivan smjer (pritisak) djelovanja vanjskog vjetraTablica 5: Prikaz vrijednosti koeficijenata vanjskog pritiska $c_{pe,10}$ i vanjskog pritiska w_e poprečnog vjetra koji puše s istočne strane zgrade

| zona | Koeficijent vanjskog pritiska $c_{pe,10}$ | Vanjski pritisak w_e [kN/m ²] |
|------|---|---|
| A | -1,200 | -1,85 |
| B | -0,800 | -1,23 |
| C | -0,500 | -0,77 |
| D | 0,789 | 1,03 |
| E | -0,477 | -0,62 |
| F | 0,000 | 0,00 |
| G | 0,000 | 0,00 |
| H | 0,000 | 0,00 |

Slika 24: Prikaz vjerovnih krovnih i fasadnih zona za pozitivan smjer (pritisak) vanjskog istočnog poprečnog vjetra gdje je koeficijent unutarnjeg tlaka c_{pi} jednak 0 [5]

Negativan smjer (usis) djelovanja vanjskog vjetraTablica 6: Prikaz vrijednosti koeficijenata vanjskog usisa $c_{pe,10}$ i vanjskog usisa w_e za negativan smjer (usis) djelovanja poprečnog vjetra koji puše s istočne strane zgrade

| zona | Koeficijent vanjskog usisa $c_{pe,10}$ | Vanjski vjetar w_e [kN/m ²] |
|------|--|---|
| A | -1,200 | -1,85 |
| B | -0,800 | -1,23 |
| C | -0,500 | -0,77 |
| D | 0,789 | 1,03 |
| E | -0,477 | -0,62 |
| F | -1,700 | -2,62 |
| G | -1,200 | -1,85 |
| H | -0,600 | -0,92 |

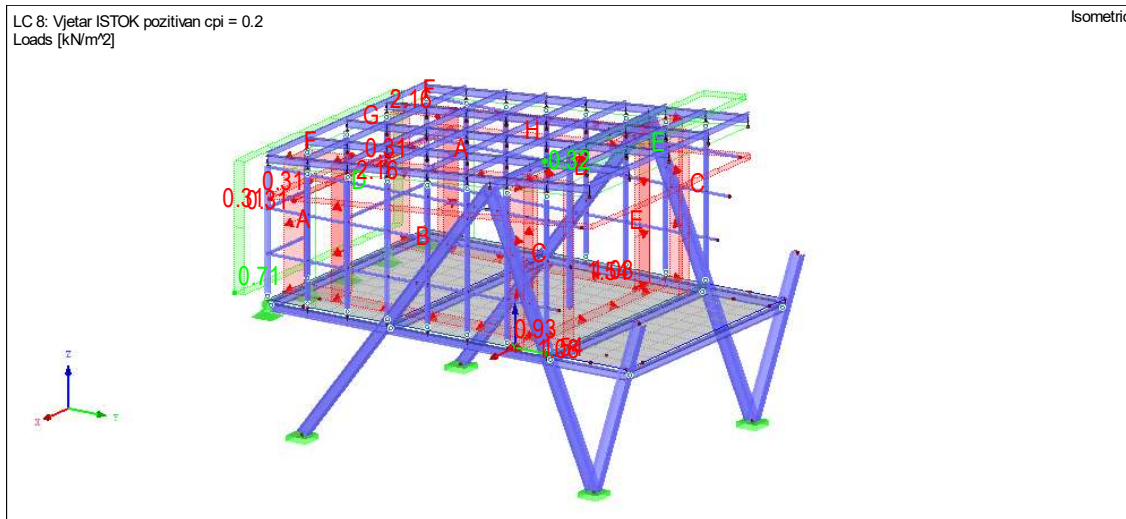
Slika 25: Prikaz vjerovnih krovnih i fasadnih zona za negativan smjer (usis) vanjskog istočnog poprečnog vjetra gdje je koeficijent unutarnjeg tlaka c_{pi} jednak 0 [5]

5.4.1.2. Smjer vjetra poprečno – istočna strana / unutarnji pritisak $c_{pi} = 0,2$

Pozitivan smjer (pritisak) djelovanja vanjskog vjetra

Tablica 7: Prikaz vrijednosti koeficijenata vanjskog pritiska $c_{pe,10}$ i vanjskog pritiska w_e za pozitivan smjer djelovanja poprečnog vjetra koji puše s istočne strane zgrade

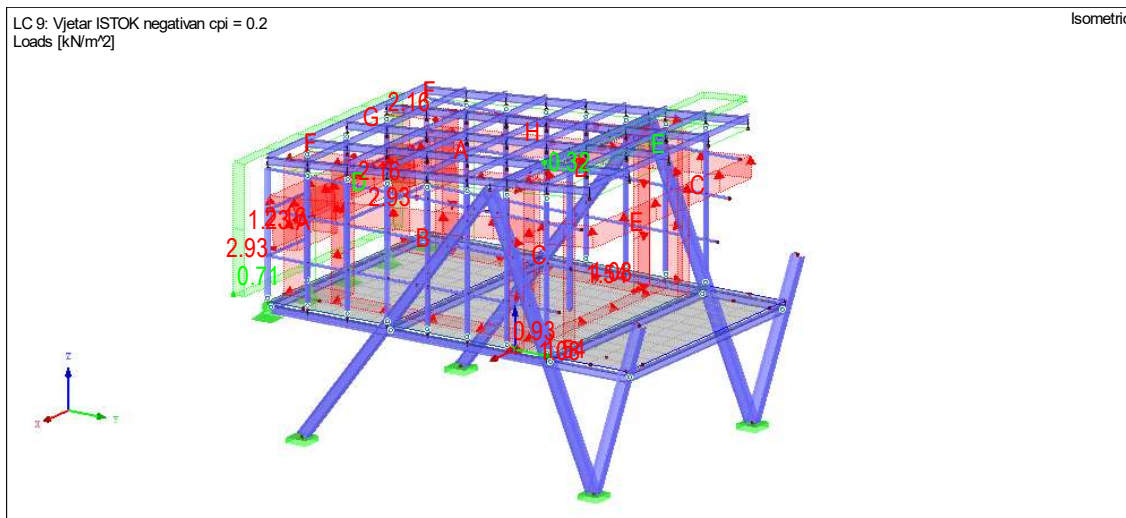
| zona | Koeficijent vanjskog pritiska $c_{pe,10}$ | Vanjski + unutarnji vjetar $w_e + w_i$ [kN/m ²] |
|------|---|---|
| A | -1,200 | -2,16 |
| B | -0,800 | -1,54 |
| C | -0,500 | -1,08 |
| D | 0,789 | 0,72 |
| E | -0,477 | -0,93 |
| F | 0,000 | -0,31 |
| G | 0,00 | -0,31 |
| H | 0,000 | -0,31 |



Slika 26: Prikaz vjerovnih krovnih i fasadnih zona za pozitivan smjer vanjskog istočnog poprečnog vjetra gdje je koeficijent unutarnjeg tlaka $c_{pi} = 0,2$. [5]

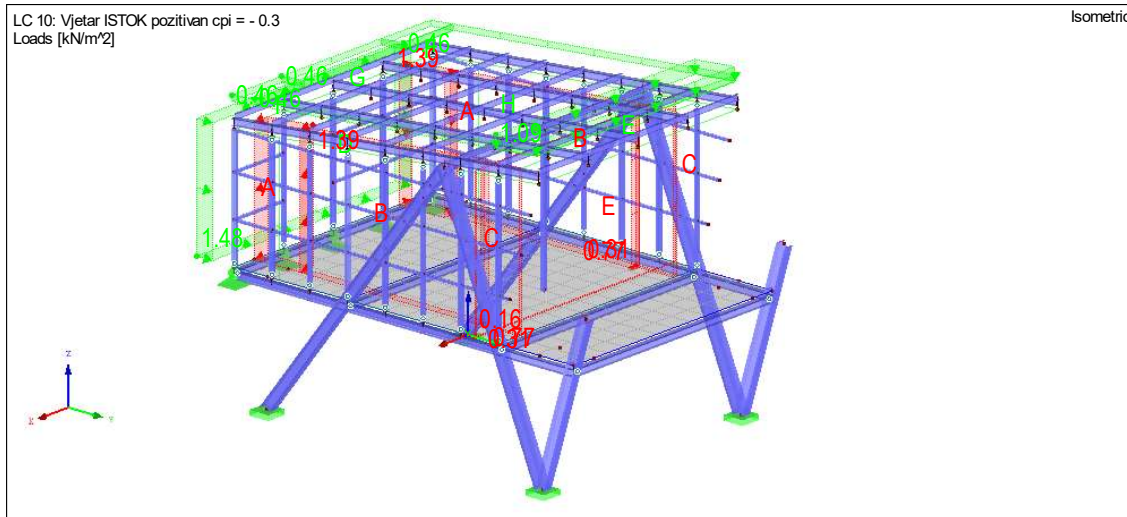
Negativan smjer (usis) djelovanja vanjskog vjetraTablica 8: Prikaz vrijednosti koeficijenata vanjskog usisa $c_{pe,10}$ i vanjskog usisa w_e za negativan smjer (usis) djelovanja poprečnog vjetra koji puše s istočne strane zgrade

| zona | Koeficijent vanjskog usisa $c_{pe,10}$ | Vanjski + unutarnji vjetar $w_e + w_i$ [kN/m ²] |
|------|--|---|
| A | -1,200 | -2,16 |
| B | -0,800 | -1,54 |
| C | -0,500 | -1,08 |
| D | 0,789 | 0,72 |
| E | -0,477 | -0,93 |
| F | -1,700 | -2,93 |
| G | -1,200 | -2,16 |
| H | -0,600 | -1,23 |

Slika 27: Prikaz vjerovnih krovnih i fasadnih zona za negativan smjer (usis) vanjskog istočnog poprečnog vjetra gdje je koeficijent unutarnjeg tlaka $c_{pi} = 0,2$ [5]

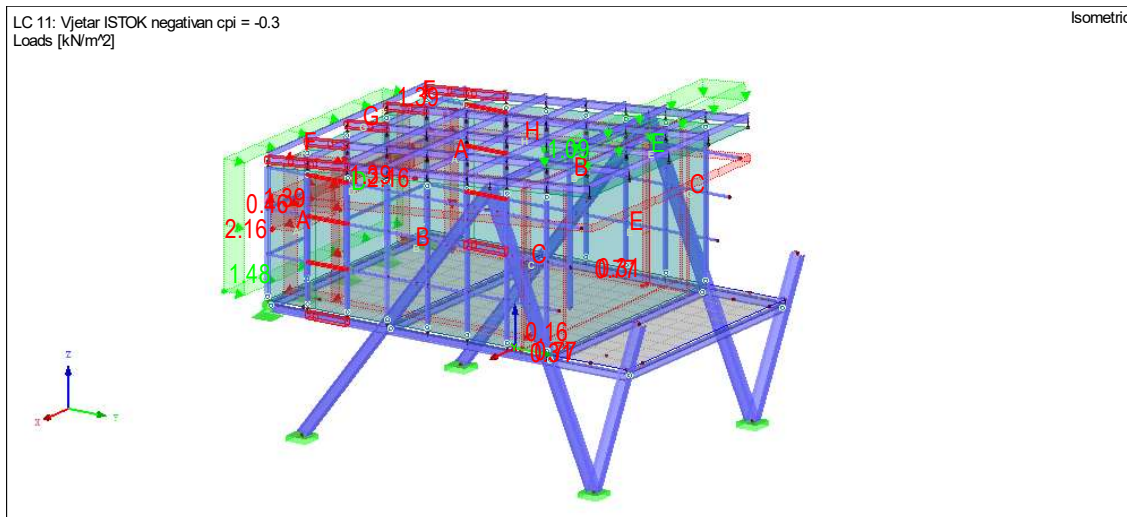
5.4.1.3. Smjer vjetra uzdužno – istočna strana / unutarnji usis $c_{pi} = -0,3$ **Pozitivan smjer (pritisak) djelovanja vanjskog vjetra**Tablica 9: Prikaz vrijednosti koeficijenata vanjskog pritiska $c_{pe,10}$ i vanjskog pritiska w_e za pozitivan smjer djelovanja poprečnog vjetra koji puše s istočne strane zgrade

| zona | Koeficijent vanjskog pritiska $c_{pe,10}$ | Vanjski + unutarnji pritisak $w_e + w_i$ [kN/m ²] |
|------|---|---|
| A | -1,200 | -1,39 |
| B | -0,800 | -0,77 |
| C | -0,500 | -0,31 |
| D | 0,789 | 1,49 |
| E | -0,477 | -0,16 |
| F | 0,000 | 0,46 |
| G | 0,000 | 0,46 |
| H | 0,000 | 0,46 |

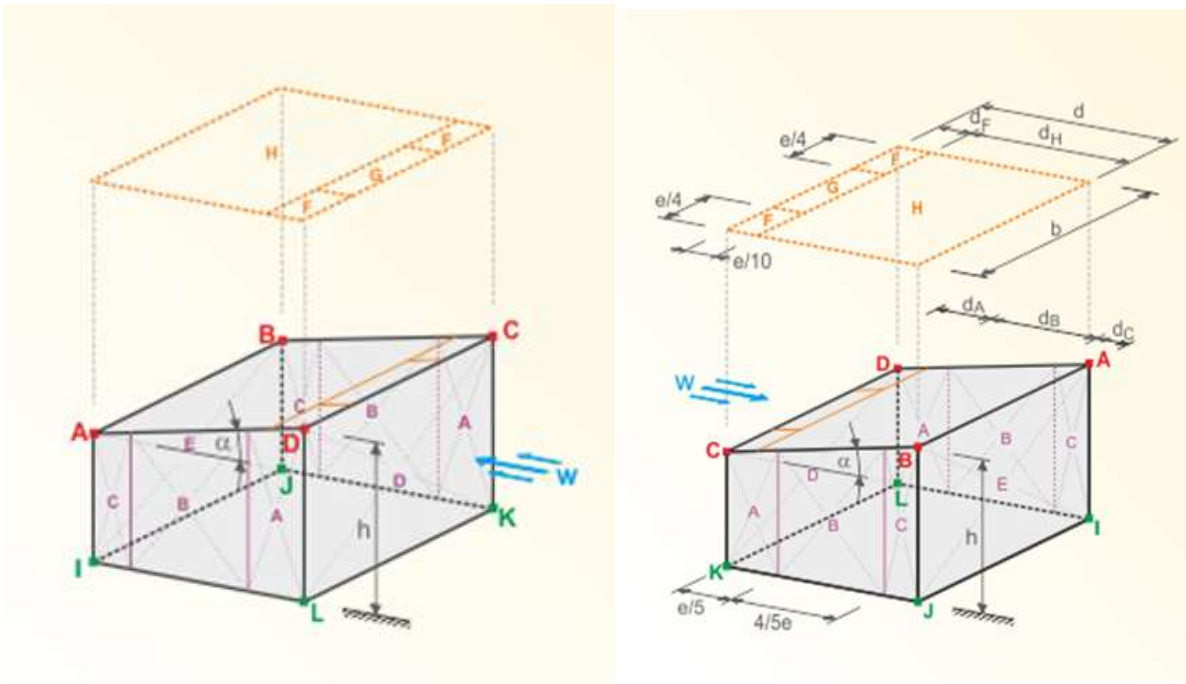
Slika 28: Prikaz vjerovnih krovnih i fasadnih zona za pozitivan smjer vanjskog istočnog poprečnog vjetra gdje je koeficijent unutarnjeg tlaka $c_{pi} = -0,3$ [5]

Negativan smjer (usis) djelovanja vanjskog vjetraTablica 10: Prikaz vrijednosti koeficijenata vanjskog usisa $c_{pe,10}$ i vanjskog usisa w_e za negativan smjer djelovanja poprečnog vjetra koji puše s istočne strane zgrade

| zona | Koeficijent vanjskog usisa $c_{pe,10}$ | Vanjski + unutarnji vjetar $w_e + w_i$ [kN/m ²] |
|------|--|---|
| A | -1,200 | -1,39 |
| B | -0,800 | -0,77 |
| C | -0,500 | -0,31 |
| D | 0,789 | 1,49 |
| E | -0,499 | -0,16 |
| F | -1,700 | -2,16 |
| G | -1,200 | -1,39 |
| H | -0,600 | -0,46 |

Slika 29: Prikaz vjerovnih krovnih i fasadnih zona za negativan smjer vanjskog istočnog poprečnog vjetra gdje je koeficijent unutarnjeg tlaka $c_{pi} = -0,3$ [5]

5.4.2. Smjer vjetra poprečno – zapadna strana



Slika 30: Prikaz vjerovnih zona krovnih i vertikalnih ravnina za zapadni poprečni smjer vjetra $\Theta=180^\circ$
[5]

Podaci o konstrukciji s obzirom na sliku 30:

$$h = 6,407 \text{ m} \quad A_{\text{zidova}} = 83,361 \text{ m}^2$$

$$b = 6,0 \text{ m} \quad A_{\text{krova}} = 48,60 \text{ m}^2$$

$$d = 7,0 \text{ m} \quad \alpha = 5^\circ$$

$$e_{\text{zidovi}} = 6,0 \text{ m}$$

$$e_{\text{krov}} = 6,0 \text{ m}$$

Dimenzije krovnih i zidnih vjerovnih zona s obzirom na sliku 30:

$$d_A = 1,4 \text{ m} \quad b_F = 1,500 \text{ m}$$

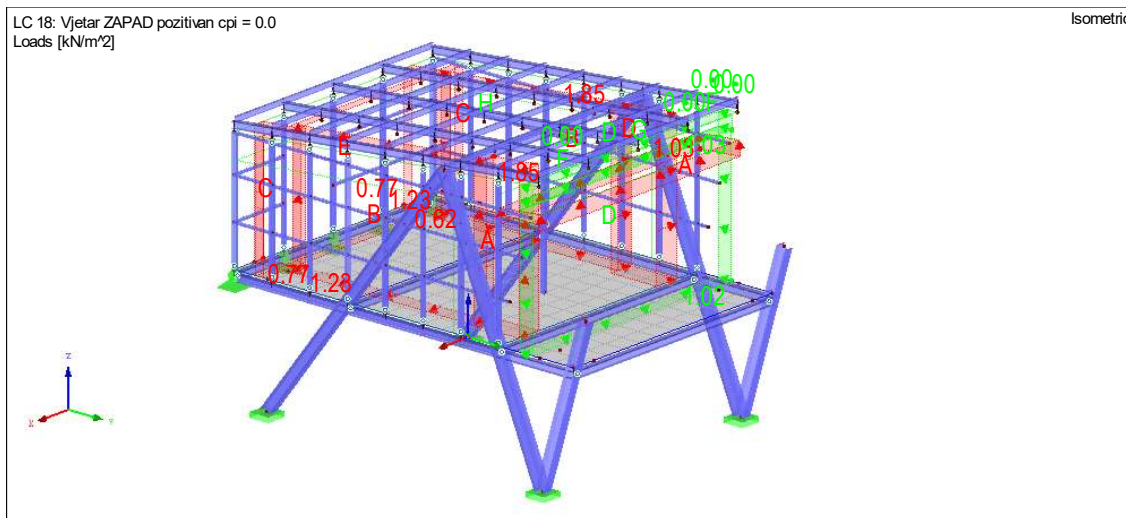
$$d_B = 4,8 \text{ m} \quad d_F = 0,600 \text{ m}$$

$$d_C = 1,0 \text{ m} \quad d_H = 7,469 \text{ m}$$

5.4.2.1. Smjer vjetra poprečno – zapadna strana / bez unutarnjeg vjetra

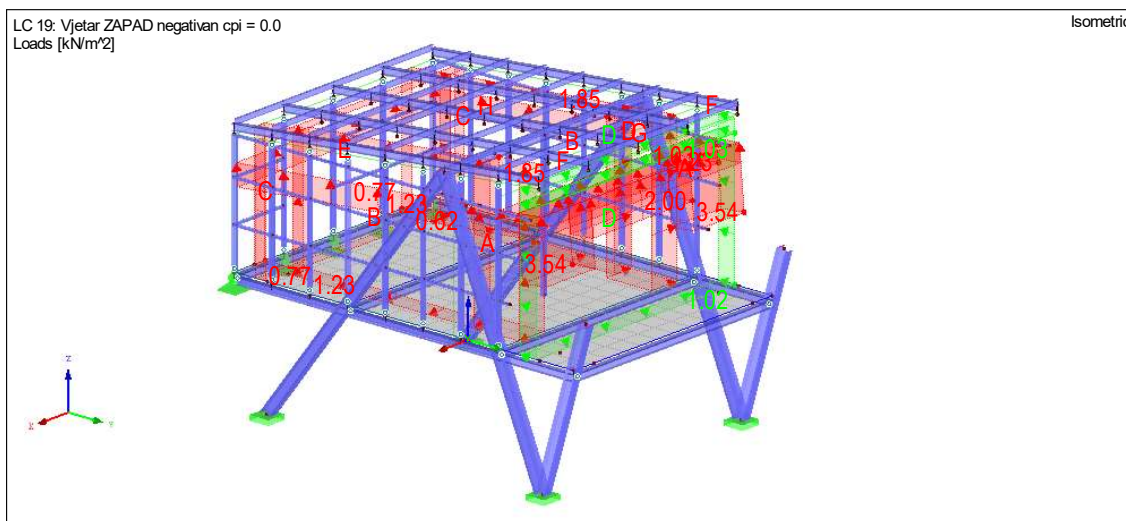
Pozitivan smjer (pritisak) djelovanja vanjskog vjetraTablica 11: Prikaz vrijednosti koeficijenata vanjskog pritiska $c_{pe,10}$ i vanjskog pritiska w_e za pozitivan smjer djelovanja poprečnog vjetra koji puše sa zapadne strane zgrade

| zona | Koeficijent vanjskog pritiska $c_{pe,10}$ | Vanjski pritisak w_e [kN/m ²] |
|------|---|---|
| A | -1,200 | -1,85 |
| B | -0,800 | -1,23 |
| C | -0,500 | -0,77 |
| D | 0,789 | 1,03 |
| E | -0,477 | -0,62 |
| F | 0,000 | 0,00 |
| G | 0,000 | 0,00 |
| H | 0,000 | 0,00 |

Slika 31: Prikaz vjerovnih krovnih i fasadnih zona za pozitivan smjer vanjskog zapadnog poprečnog vjetra gdje je koeficijent unutarnjeg tlaka c_{pi} jednak 0 [5]

Negativan smjer (usis) djelovanja vanjskog vjetraTablica 12: Prikaz vrijednosti koeficijenata vanjskog usisa $c_{pe,10}$ i vanjskog usisa w_e za negativan smjer djelovanja poprečnog vjetra koji puše sa zapadne strane zgrade

| zona | Koeficijent vanjskog usisa $c_{pe,10}$ | Vanjski vjetar w_e [kN/m ²] |
|------|--|---|
| A | -1,200 | -1,85 |
| B | -0,800 | -1,23 |
| C | -0,500 | -0,77 |
| D | 0,789 | 1,03 |
| E | -0,477 | -0,62 |
| F | -2,300 | -3,54 |
| G | -1,300 | -2,00 |
| H | -0,800 | -1,23 |

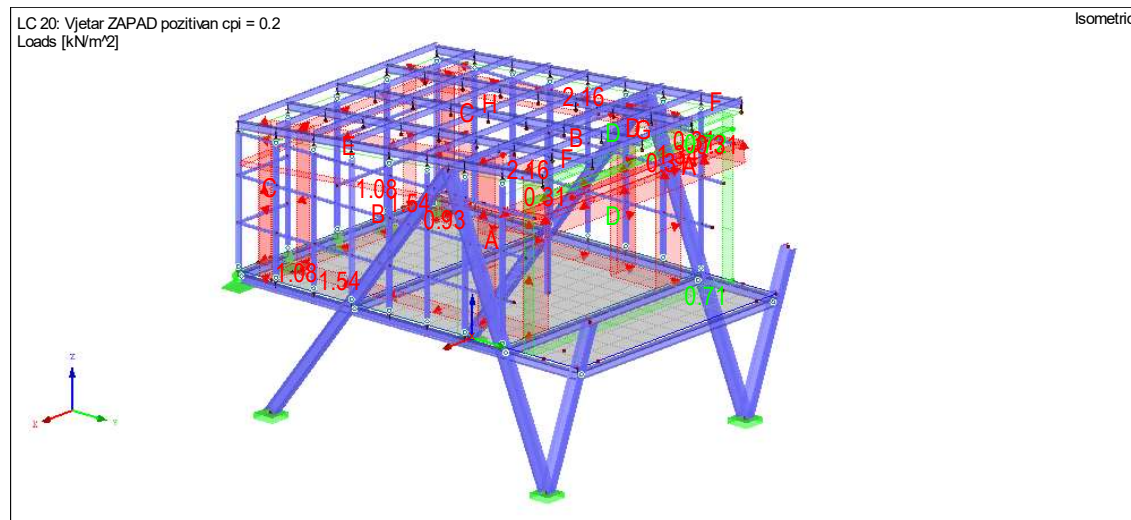
Slika 32: Prikaz vjerovnih krovnih i fasadnih zona za negativan smjer vanjskog zapadnog poprečnog vjetra gdje je koeficijent unutarnjeg tlaka c_{pi} jednak 0 [5]

5.4.2.2. Smjer vjetra poprečno – istočna strana / unutarnji pritisak $c_{pi} = 0,2$

Pozitivan smjer (pritisak) djelovanja vanjskog vjetra

Tablica 13: Prikaz vrijednosti koeficijenata vanjskog pritiska $c_{pe,10}$ te vanjskog w_e i unutarnjeg pritiska w_i za pozitivan smjer djelovanja poprečnog vjetra koji puše sa zapadne strane zgrade

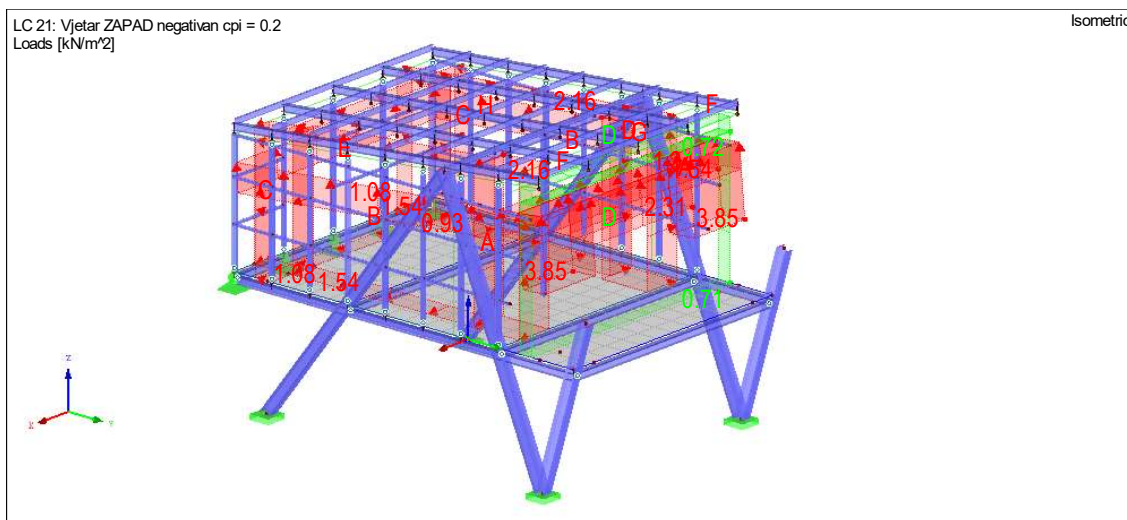
| zona | Koeficijent vanjskog pritiska $c_{pe,10}$ | Vanjski + unutarnji pritisak $w_e + w_i$ [kN/m ²] |
|------|---|---|
| A | -1,200 | -2,16 |
| B | -0,800 | -1,54 |
| C | -0,500 | -1,08 |
| D | 0,789 | 0,72 |
| E | -0,477 | -0,93 |
| F | 0,000 | -0,31 |
| G | 0,000 | -0,31 |
| H | 0,000 | -0,31 |



Slika 33: Prikaz vjerovnih krovnih i fasadnih zona za pozitivan smjer vanjskog zapadnog poprečnog vjetra gdje je koeficijent unutarnjeg tlaka $c_{pi} = 0,2$ [5]

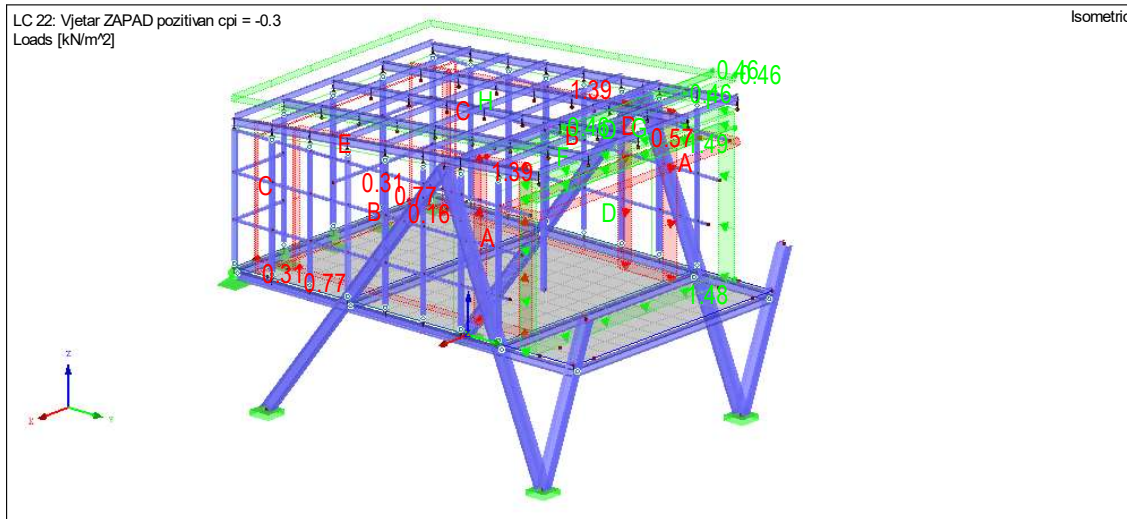
Negativan smjer (usis) djelovanja vanjskog vjetraTablica 14: Prikaz vrijednosti koeficijenata vanjskog usisa $c_{pe,10}$ te vanjskog w_e i unutarnjeg usisa w_i za negativan smjer djelovanja poprečnog vjetra koji puše sa zapadne strane zgrade

| zona | Koeficijent vanjskog usisa $c_{pe,10}$ | Vanjski + unutarnji vjetar $w_e + w_i$ [kN/m ²] |
|------|--|---|
| A | -1,200 | -2,16 |
| B | -0,800 | -1,54 |
| C | -0,500 | -1,08 |
| D | 0,783 | 0,72 |
| E | -0,466 | -0,93 |
| F | -2,300 | -3,85 |
| G | -1,300 | -2,31 |
| H | -0,800 | -1,54 |

Slika 34: Prikaz vjerovnih krovnih i fasadnih zona za negativan smjer vanjskog zapadnog poprečnog vjetra gdje je koeficijent unutarnjeg tlaka $c_{pi} = 0,2$ [5]

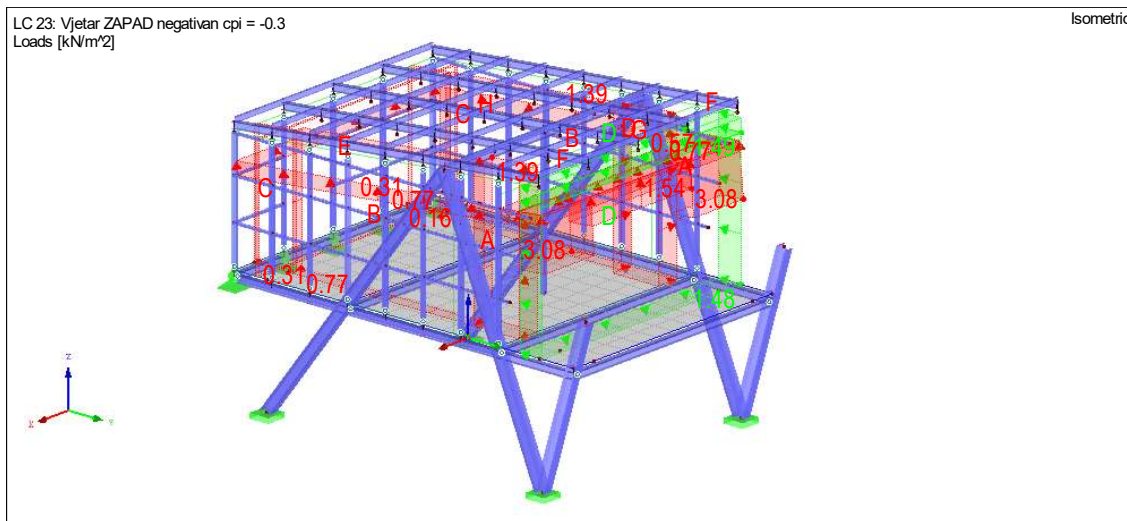
5.4.2.3. Smjer vjetra uzdužno – istočna strana / unutarnji usis $c_{pi} = -0,3$ **Pozitivan smjer (pritisak) djelovanja vanjskog vjetra**Tablica 15: Prikaz vrijednosti koeficijenata vanjskog pritiska $c_{pe,10}$ te vanjskog w_e i unutarnjeg pritiska w_i za pozitivan smjer djelovanja poprečnog vjetra koji puše sa zapadne strane zgrade

| zona | Koeficijent vanjskog pritiska $c_{pe,10}$ | Vanjski + unutarnji vjetar $w_e + w_i$ [kN/m ²] |
|------|---|---|
| A | -1,200 | -1,39 |
| B | -0,800 | -0,77 |
| C | -0,500 | -0,31 |
| D | 0,789 | 1,49 |
| E | -0,477 | -0,16 |
| F | 0,000 | 0,46 |
| G | 0,000 | 0,46 |
| H | 0,000 | 0,46 |

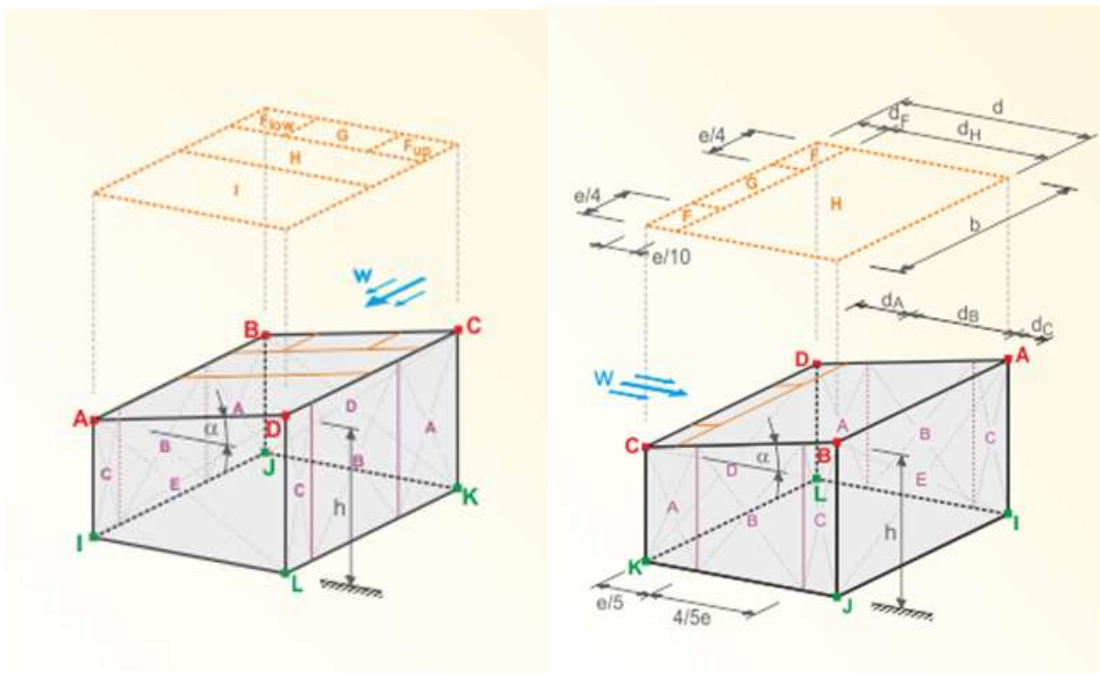
Slika 35: Prikaz vjerovnih krovnih i fasadnih zona za pozitivan smjer vanjskog zapadnog poprečnog vjetra gdje je koeficijent unutarnjeg tlaka $c_{pi} = -0,3$ [5]

Negativan smjer (usis) djelovanja vanjskog vjetraTablica 16: Prikaz vrijednosti koeficijenata vanjskog usis $c_{pe,10}$ te vanjskog w_e i unutarnjeg vjetra w_i za negativan smjer djelovanja poprečnog vjetra koji puše ss zapadne strane zgrade

| zona | Koeficijent vanjskog pritiska $c_{pe,10}$ | Vanjski + unutarnji vjetar $w_e + w_i$ [kN/m ²] |
|------|---|---|
| A | -1,200 | -1,39 |
| B | -0,800 | -0,77 |
| C | -0,500 | -0,31 |
| D | 0,789 | 1,49 |
| E | -0,477 | -0,16 |
| F | -2,300 | -3,08 |
| G | -1,300 | -1,54 |
| H | -0,800 | -0,77 |

Slika 36: Prikaz vjerovnih krovnih i fasadnih zona za negativan smjer vanjskog zapadnog poprečnog vjetra gdje je koeficijent unutarnjeg tlaka $c_{pi} = -0,3$ [5]

5.4.3. Smjer vjetra uzdužno – južna strana



Slika 37: Prikaz vjerovnih zona krovnih i vertikalnih ravnina za južni uzdužni smjer vjetra $\Theta=90^\circ$ [5]

Podaci o konstrukciji s obzirom na sliku 37:

$$h = 6,407 \text{ m} \quad A_{\text{zidova}} = 83,361 \text{ m}^2$$

$$b = 7,0 \text{ m} \quad A_{\text{krova}} = 48,60 \text{ m}^2$$

$$d = 6,0 \text{ m} \quad \alpha = 5^\circ$$

$$e_{\text{zidovi}} = 7,0 \text{ m}$$

$$e_{\text{krov}} = 8,07 \text{ m}$$

Dimenziije krovnih i zidnih vjerovnih zona s obzirom na desnu sliku 37:

$$d_A = 1,4 \text{ m} \quad b_F = 2,017 \text{ m}$$

$$d_B = 4,6 \text{ m} \quad d_F = 0,807 \text{ m}$$

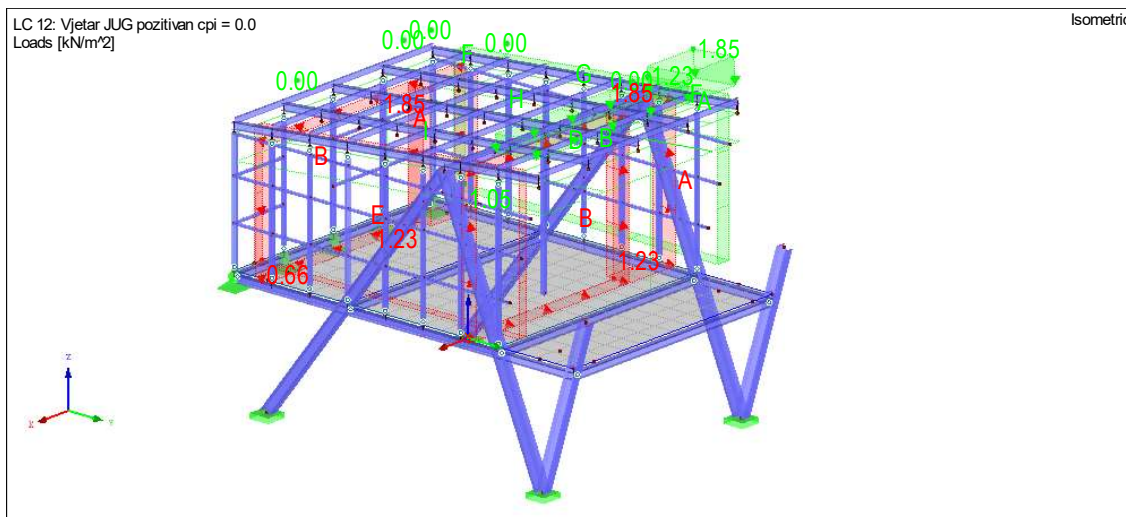
$$d_C = 0,0 \text{ m} \quad d_H = 3,228 \text{ m}$$

$$d_I = 1,965 \text{ m}$$

5.4.3.1. Smjer vjetra uzdužno – južna strana / bez unutarnjeg vjetra

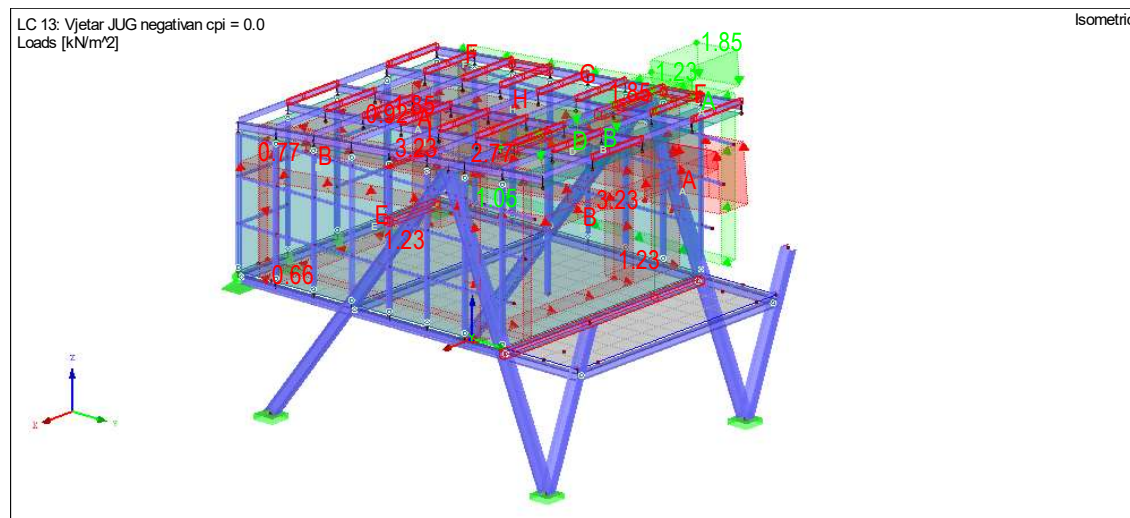
Pozitivan smjer (pritisak) djelovanja vanjskog vjetraTablica 17: Prikaz vrijednosti koeficijenata vanjskog pritiska $c_{pe,10}$ i vanjskog vjetra w_e za pozitivan smjer djelovanja uzdužnog vjetra koji puše sa južne strane zgrade

| zona | Koeficijent vanjskog pritiska $c_{pe,10}$ | Vanjski pritisak w_e [kN/m ²] |
|------|---|---|
| A | -1,200 | -1,85 |
| B | -0,800 | -1,23 |
| C | -0,500 | -0,77 |
| D | 0,800 | 1,05 |
| E | -0,503 | -0,66 |
| F | 0,000 | 0,00 |
| G | 0,000 | 0,00 |
| H | 0,000 | 0,00 |
| I | 0,000 | 0,00 |

Slika 38: Prikaz vjerovnih krovnih i fasadnih zona za pozitivan smjer vanjskog južnog uzdužnog oprečnog vjetra gdje je koeficijent unutarnjeg tlaka c_{pi} jednak 0 [5]

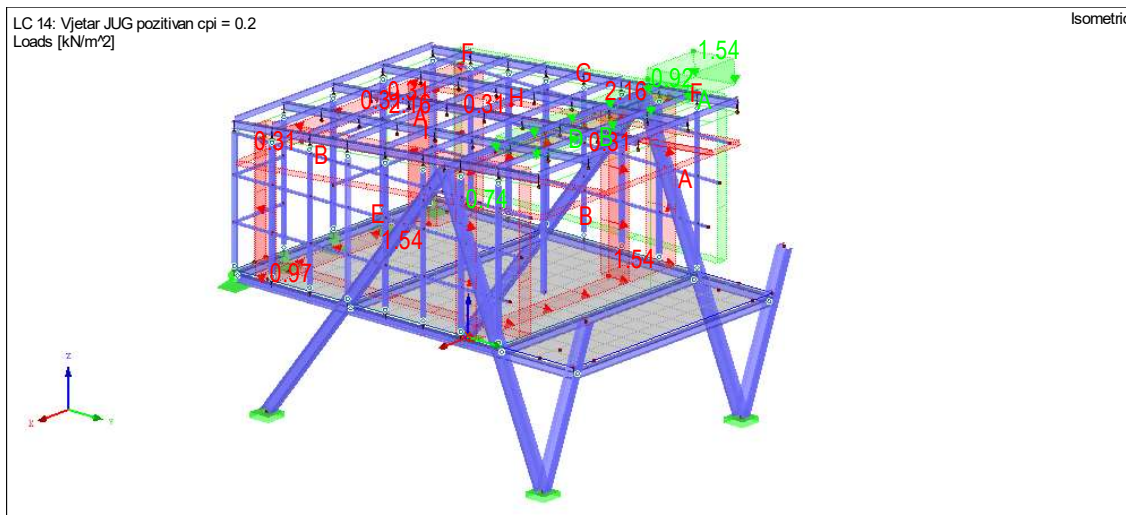
Negativan smjer (usis) djelovanja vanjskog vjetraTablica 18: Prikaz vrijednosti koeficijenata vanjskog usisa $c_{pe,10}$ i vanjskog vjetra w_e za negativan smjer djelovanja uzdužnog vjetra koji puše sa južne strane zgrade

| zona | Koeficijent vanjskog usisa $c_{pe,10}$ | Vanjski vjetar w_e [kN/m ²] |
|------|--|---|
| A | -1,200 | -1,85 |
| B | -0,800 | -1,23 |
| C | -0,500 | -0,77 |
| D | 0,800 | 1,05 |
| E | -0,503 | -0,66 |
| F | -2,100 | -3,23 |
| G | -1,800 | -2,77 |
| H | -0,600 | -0,92 |
| I | -0,500 | -0,77 |

Slika 39: Prikaz vjerovnih krovnih i fasadnih zona za negativan smjer vanjskog južnog uzdužnog vjetra gdje je koeficijent unutarnjeg tlaka c_{pi} jednak 0. [5]

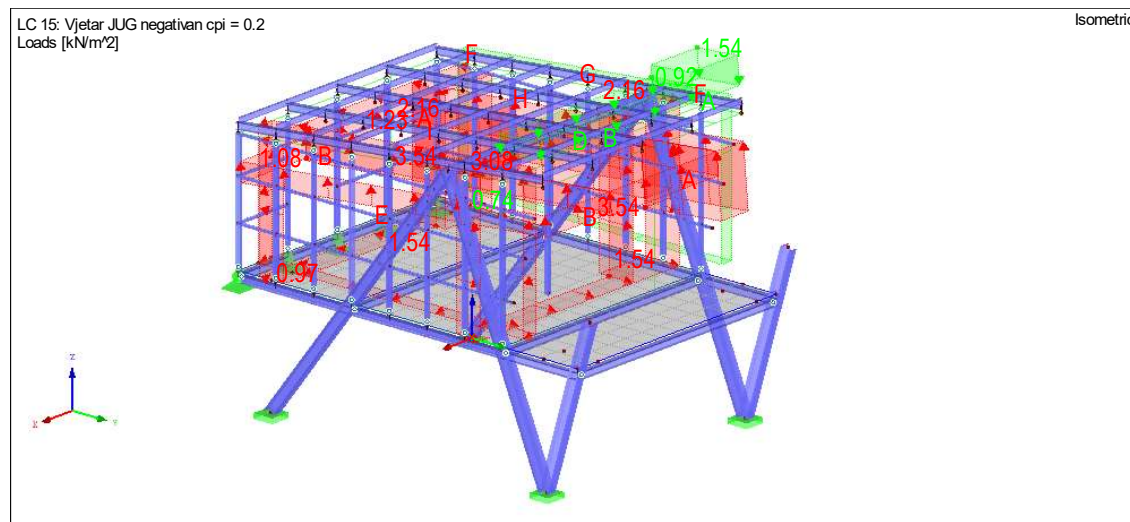
5.4.3.2. Smjer vjetra uzdužno – južna strana / unutarnji pritisak $c_{pi} = 0,2$ **Pozitivan smjer (pritisak) djelovanja vanjskog vjetra**Tablica 19: Prikaz vrijednosti koeficijenata vanjskog pritiska $c_{pe,10}$ te vanjskog w_e i unutarnjeg pritiska w_i za pozitivan smjer djelovanja uzdužnog vjetra koji puše s južne strane zgrade.

| zona | Koeficijent vanjskog pritiska $c_{pe,10}$ | Vanjski + unutarnji vjetar $w_e + w_i$ [kN/m ²] |
|------|---|---|
| A | -1,200 | -2,16 |
| B | -0,800 | -1,54 |
| C | -0,500 | -1,08 |
| D | 0,800 | 0,74 |
| E | -0,503 | -0,97 |
| F | 0,000 | -0,31 |
| G | 0,000 | -0,31 |
| H | 0,000 | -0,31 |
| I | 0,000 | -0,31 |

Slika 40: Prikaz vjerovnih krovnih i fasadnih zona za pozitivan smjer vanjskog južnog uzdužnog vjetra gdje je koeficijent unutarnjeg tlaka $c_{pi} = 0,2$. [5]

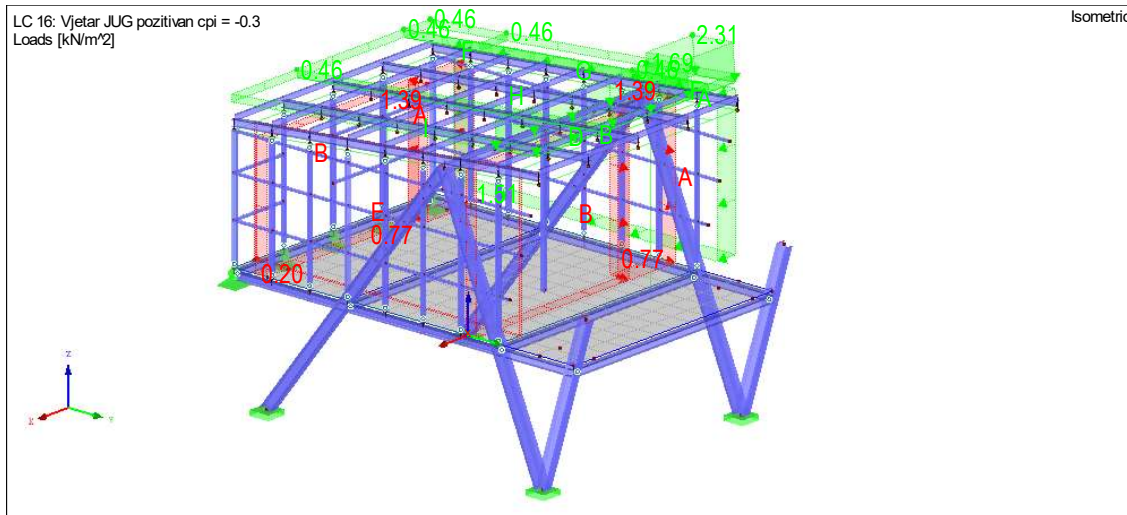
Negativan smjer (usis) djelovanja vanjskog vjetraTablica 20: Prikaz vrijednosti koeficijenata vanjskog usisa $c_{pe,10}$ te vanjskog w_e i unutarnjeg vjetra w_i za negativan smjer djelovanja uzdužnog vjetra koji puše s južne strane zgrade

| zona | Koeficijent vanjskog usisa $c_{pe,10}$ | Vanjski + unutarnji vjetar $w_e + w_i$ [kN/m ²] |
|------|--|---|
| A | -1,200 | -2,16 |
| B | -0,800 | -1,54 |
| C | -0,500 | -1,08 |
| D | 0,800 | 0,74 |
| E | -0,503 | -0,97 |
| F | -2,100 | -3,54 |
| G | -1,800 | -3,08 |
| H | -0,600 | -1,23 |
| I | -0,500 | -1,08 |

Slika 41: Prikaz vjerovnih krovnih i fasadnih zona za negativan smjer vanjskog južnog uzdužnog vjetra gdje je koeficijent unutarnjeg tlaka $c_{pi} = 0,2$ [5]

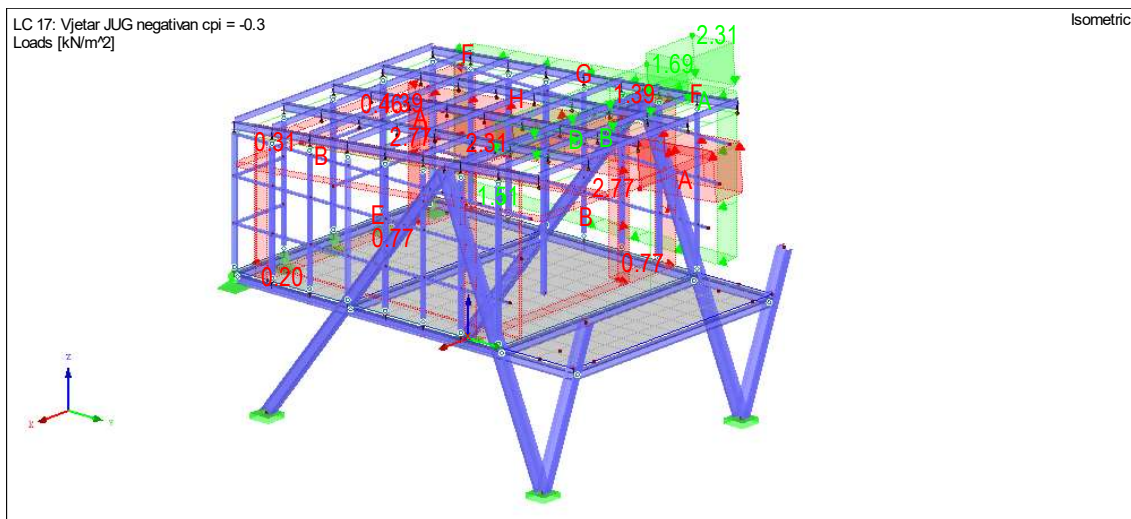
5.4.3.3. Smjer vjetra uzdužno – južna strana / unutarnji usis $c_{pi} = -0,3$ **Pozitivan smjer (pritisak) djelovanja vanjskog vjetra**Tablica 21: Prikaz vrijednosti koeficijenata vanjskog pritiska $c_{pe,10}$ te vanjskog w_e i unutarnjeg vjetra w_i za pozitivan smjer djelovanja poprečnog vjetra koji puše s južne strane zgrade

| zona | Koeficijent vanjskog pritiska $c_{pe,10}$ | Vanjski + unutarnji vjetar $w_e + w_i$ [kN/m ²] |
|------|---|---|
| A | -1,200 | -1,39 |
| B | -0,800 | -0,77 |
| C | -0,500 | -0,31 |
| D | 0,800 | 1,51 |
| E | -0,503 | -0,20 |
| F | 0,000 | 0,46 |
| G | 0,000 | 0,46 |
| H | 0,000 | 0,46 |
| I | 0,000 | 0,46 |

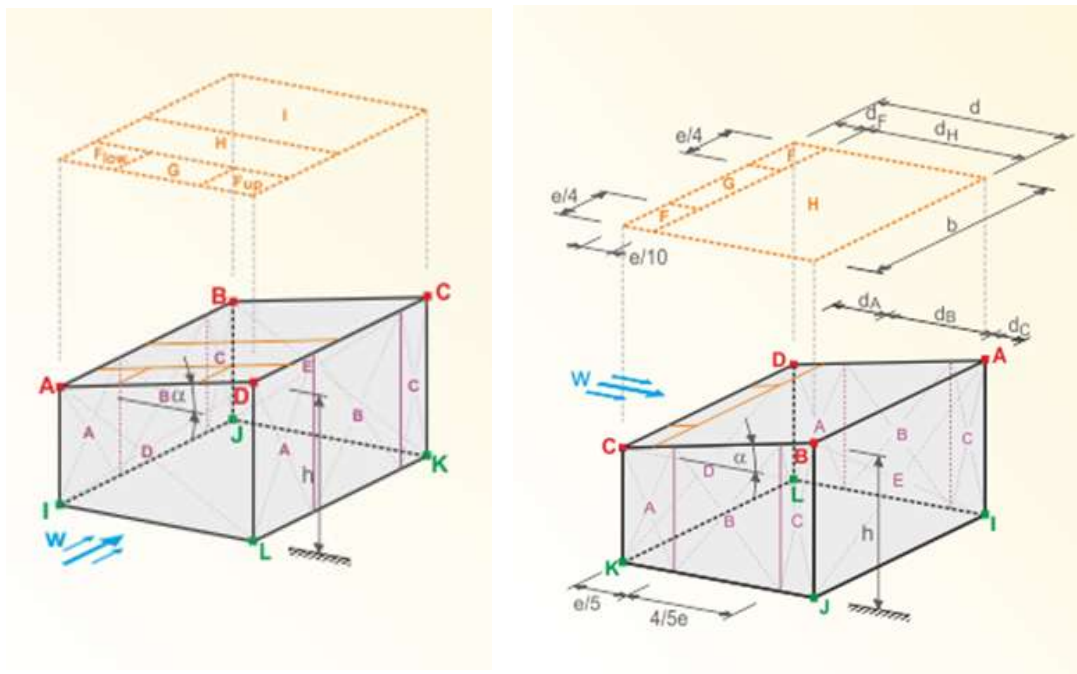
Slika 42: Prikaz vjerovnih krovnih i fasadnih zona za pozitivan smjer vanjskog južnog poprečnog vjetra gdje je koeficijent unutarnjeg tlaka $c_{pi} = -0,3$ [5]

Negativan smjer (usis) djelovanja vanjskog vjetraTablica 22: Prikaz vrijednosti koeficijenata vanjskog usisa $c_{pe,10}$ te vanjskog w_e i unutarnjeg vjetra w_i za negativan smjer djelovanja uzdužnog vjetra koji puše s južne strane zgrade

| zona | Koeficijent vanjskog usisa $c_{pe,10}$ | Vanjski + unutarnji vjetar $w_e + w_i$ [kN/m ²] |
|------|--|---|
| A | -1,200 | -1,39 |
| B | -0,800 | -0,77 |
| C | -0,500 | -0,31 |
| D | 0,800 | 1,51 |
| E | -0,503 | -0,20 |
| F | -2,100 | -2,77 |
| G | -1,800 | -2,31 |
| H | -0,600 | -0,46 |
| I | -0,500 | -0,31 |

Slika 43: Prikaz vjerovnih krovnih i fasadnih zona za negativan smjer vanjskog južnog uzdužnog vjetra gdje je koeficijent unutarnjeg tlaka $c_{pi} = -0,3$ [5]

5.4.4. Smjer vjetra uzdužno – sjeverna strana



Slika 44: Prikaz vjerovnih zona krovnih i vertikalnih ravnina za sjeverni uzdužni smjer vjetra $\Theta=90^\circ$. [5]

Podaci o konstrukciji s obzirom na sliku 44:

$$h = 6,407 \text{ m} \quad A_{\text{zidova}} = 83,361 \text{ m}^2$$

$$b = 7,0 \text{ m} \quad A_{\text{krova}} = 48,60 \text{ m}^2$$

$$d = 6,0 \text{ m} \quad \alpha = 5^\circ$$

$$e_{\text{zidovi}} = 7,0 \text{ m}$$

$$e_{\text{krov}} = 8,07 \text{ m}$$

Dimenziije krovnih i zidnih vjerovnih zona s obzirom na desnu sliku 44:

$$d_A = 1,4 \text{ m} \quad b_F = 2,017 \text{ m}$$

$$d_B = 4,6 \text{ m} \quad d_F = 0,807 \text{ m}$$

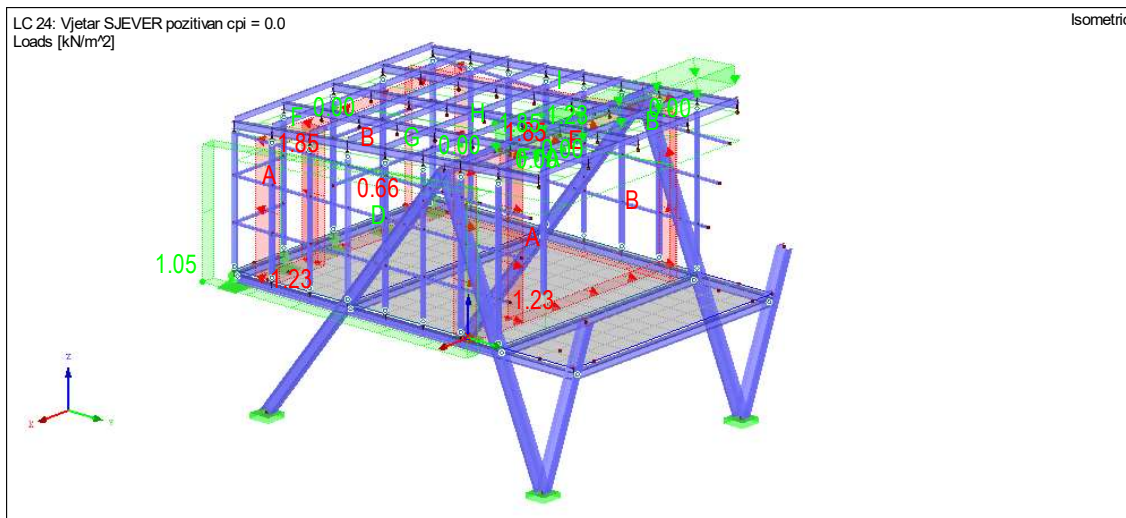
$$d_C = 0,0 \text{ m} \quad d_H = 3,228 \text{ m}$$

$$d_I = 1,965 \text{ m}$$

5.4.4.1. Smjer vjetra uzdužno – sjeverna strana / bez unutarnjeg vjetra

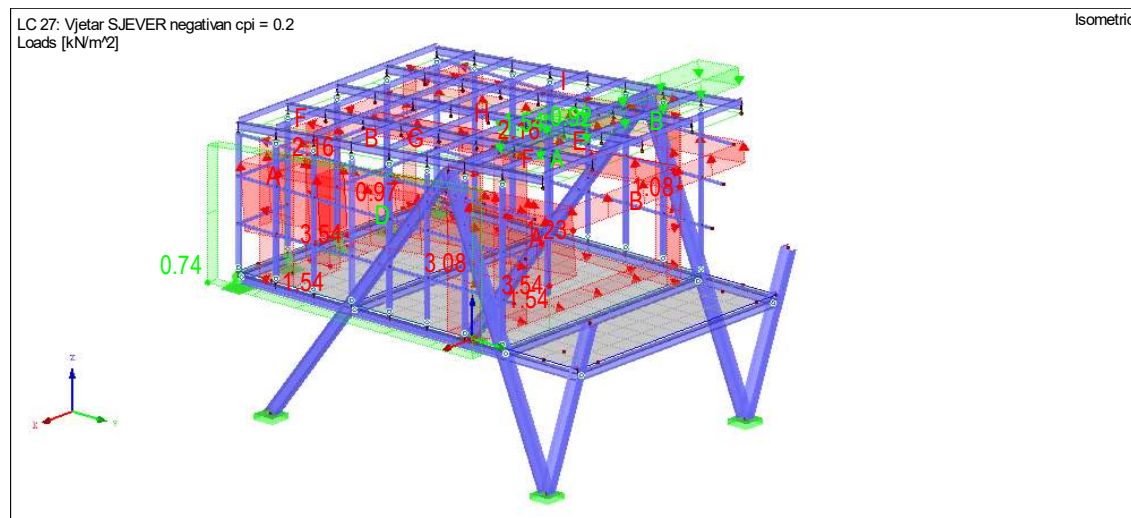
Pozitivan smjer (pritisak) djelovanja vanjskog vjetraTablica 23: Prikaz vrijednosti koeficijenata vanjskog pritiska $c_{pe,10}$ i vanjskog vjetra w_e za pozitivan smjer djelovanja uzdužnog vjetra koji puše sa sjeverne strane zgrade

| zona | Koeficijent vanjskog usisa $c_{pe,10}$ | Vanjski vjetar w_e [kN/m ²] |
|------|--|---|
| A | -1,200 | -1,85 |
| B | -0,800 | -1,23 |
| C | -0,500 | -0,77 |
| D | 0,800 | 1,05 |
| E | -0,503 | -0,66 |
| F | 0,000 | 0,00 |
| G | 0,000 | 0,00 |
| H | 0,000 | 0,00 |
| I | 0,000 | 0,00 |

Slika 45: Prikaz vjerovnih krovnih i fasadnih zona za pozitivan smjer vanjskog sjevernog uzdužnog oprečnog vjetra gdje je koeficijent unutarnjeg tlaka c_{pi} jednak 0 [5]

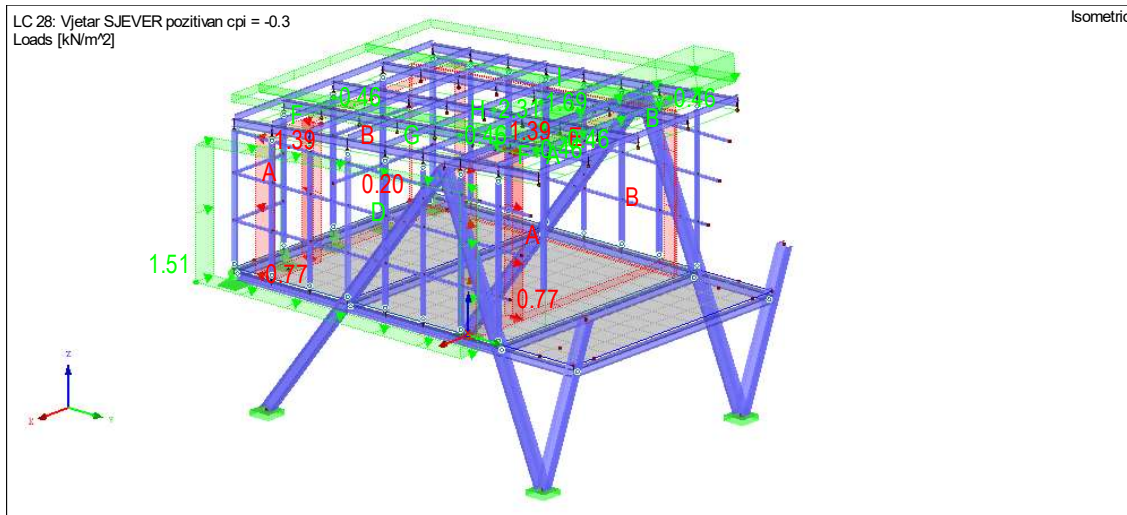
Negativan smjer (usis) djelovanja vanjskog vjetraTablica 24: Prikaz vrijednosti koeficijenata vanjskog usisa $c_{pe,10}$ i vanjskog vjetra w_e za negativan smjer djelovanja uzdužnog vjetra koji puše sa sjeverne strane zgrade

| zona | Koeficijent vanjskog pritiska $c_{pe,10}$ | Vanjski vjetar w_e [kN/m ²] |
|------|---|---|
| A | -1,200 | -1,85 |
| B | -0,800 | -1,23 |
| C | -0,500 | -0,77 |
| D | 0,800 | 1,05 |
| E | -0,503 | -0,66 |
| F | -2,100 | -3,23 |
| G | -1,800 | -2,77 |
| H | -0,600 | -0,92 |
| I | -0,500 | -0,77 |

Slika 46: Prikaz vjerovnih krovnih i fasadnih zona za negativan smjer vanjskog sjevernog uzdužnog vjetra gdje je koeficijent unutarnjeg tlaka c_{pi} jednak 0. [5]

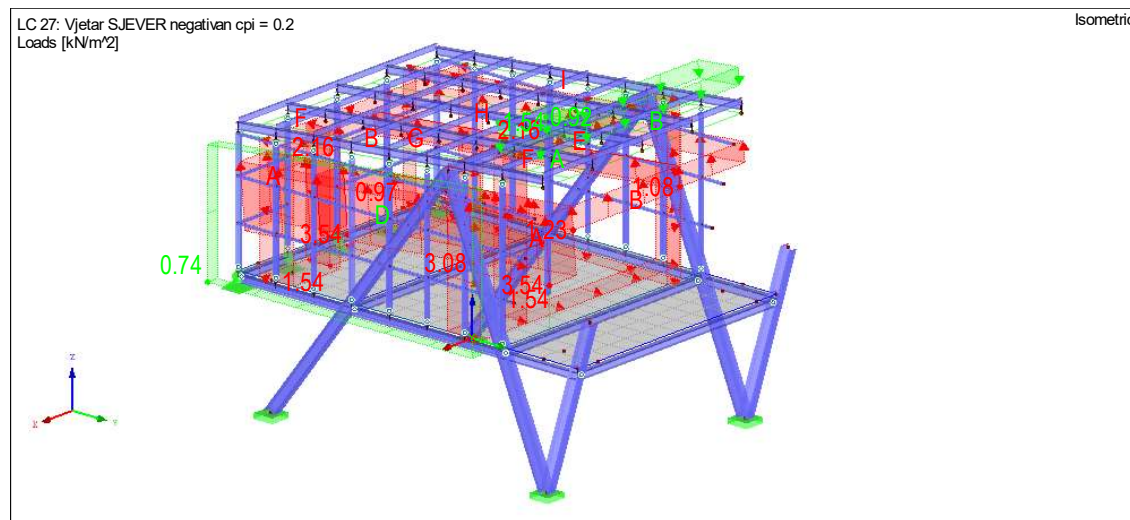
5.4.4.2. Smjer vjetra uzdužno – sjeverna strana / unutarnji pritisak $c_{pi} = 0,2$ **Pozitivan smjer (pritisak) djelovanja vanjskog vjetra**Tablica 25: Prikaz vrijednosti koeficijenata vanjskog pritiska $c_{pe,10}$ te vanjskog w_e i unutarnjeg vjetra w_i za pozitivan smjer djelovanja uzdužnog vjetra koji puše sa sjeverne strane zgrade

| zona | Koeficijent vanjskog pritiska $c_{pe,10}$ | Vanjski + unutarnji vjetar $w_e + w_i$ [kN/m ²] |
|------|---|---|
| A | -1,200 | -2,16 |
| B | -0,800 | -1,54 |
| C | -0,500 | -1,08 |
| D | 0,800 | 0,74 |
| E | -0,503 | -0,97 |
| F | 0,000 | -0,31 |
| G | 0,000 | -0,31 |
| H | 0,000 | -0,31 |
| I | 0,000 | -0,31 |

Slika 47: Prikaz vjerovnih krovnih i fasadnih zona za pozitivan smjer vanjskog sjevernog uzdužnog vjetra gdje je koeficijent unutarnjeg tlaka $c_{pi} = 0,2$ [5]

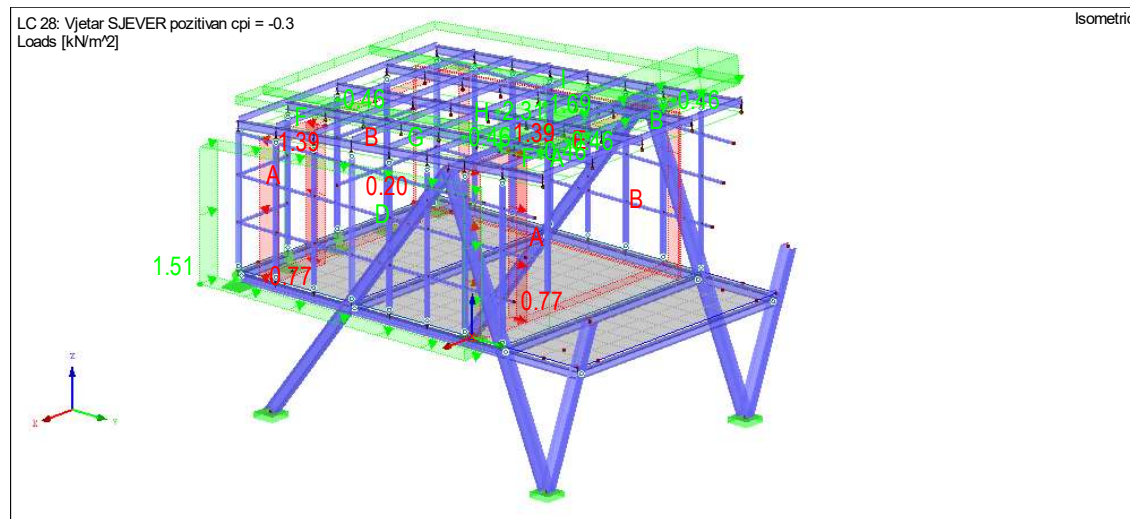
Negativan smjer (usis) djelovanja vanjskog vjetraTablica 26: Prikaz vrijednosti koeficijenata vanjskog usisa $c_{pe,10}$ te vanjskog w_e i unutarnjeg vjetra w_i za negativan smjer djelovanja uzdužnog vjetra koji puše sa sjeverne strane zgrade.

| zona | Koeficijent vanjskog usisa $c_{pe,10}$ | Vanjski + unutarnji vjetar $w_e + w_i$ [kN/m ²] |
|------|--|---|
| A | -1,200 | -2,16 |
| B | -0,800 | -1,54 |
| C | -0,500 | -1,08 |
| D | 0,800 | 0,74 |
| E | -0,503 | -0,97 |
| F | -2,100 | -3,54 |
| G | -1,800 | -3,08 |
| H | -0,600 | -1,23 |
| I | -0,500 | -1,08 |

Slika 48: Prikaz vjerovnih krovnih i fasadnih zona za negativan smjer vanjskog sjevernog uzdužnog vjetra gdje je koeficijent unutarnjeg tlaka $c_{pi} = 0,2$ [5]

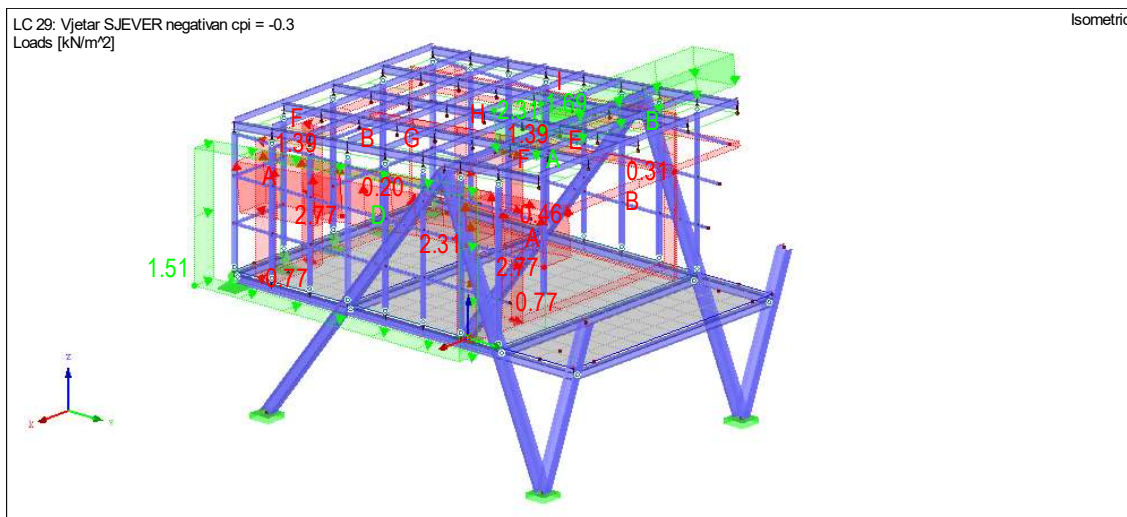
5.4.4.3. Smjer vjetra uzdužno – sjeverna strana / unutarnji usis $c_{pi} = -0,3$ **Pozitivan smjer (pritisak) djelovanja vanjskog vjetra**Tablica 27: Prikaz vrijednosti koeficijenata vanjskog pritiska $c_{pe,10}$ te vanjskog w_e i unutarnjeg vjetra w_i za pozitivan smjer djelovanja poprečnog vjetra koji puše sa sjeverne strane zgrade

| zona | Koeficijent vanjskog pritiska $c_{pe,10}$ | Vanjski + unutarnji vjetar $w_e + w_i$ [kN/m ²] |
|------|---|---|
| A | -1,200 | -1,39 |
| B | -0,800 | -0,77 |
| C | -0,500 | -0,31 |
| D | 0,800 | 1,51 |
| E | -0,503 | -0,20 |
| F | 0,000 | 0,46 |
| G | 0,000 | 0,46 |
| H | 0,000 | 0,46 |
| I | 0,000 | 0,46 |

Slika 49: Prikaz vjerovnih krovnih i fasadnih zona za pozitivan smjer vanjskog južnog poprečnog vjetra gdje je koeficijent unutarnjeg tlaka $c_{pi} = -0,3$ [5]

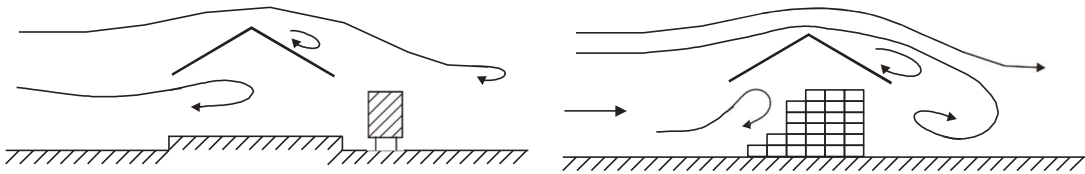
Negativan smjer (usis) djelovanja vanjskog vjetraTablica 28: Prikaz vrijednosti koeficijenata vanjskog usisa $c_{pe,10}$ te vanjskog w_e i unutarnjeg vjetra w_i za negativan smjer djelovanja uzdužnog vjetra koji puše sa sjeverne strane zgrade

| zona | Koeficijent vanjskog usisa $c_{pe,10}$ | Vanjski + unutarnji vjetar $w_e + w_i$ [kN/m ²] |
|------|--|---|
| A | -1,200 | -1,39 |
| B | -0,800 | -0,77 |
| C | -0,500 | -0,31 |
| D | 0,800 | 1,51 |
| E | -0,503 | -0,20 |
| F | -2,100 | -2,77 |
| G | -1,800 | -2,31 |
| H | -0,600 | -0,46 |
| I | -0,500 | -0,31 |

Slika 50: Prikaz vjerovnih krovnih i fasadnih zona za negativan smjer vanjskog sjevernog uzdužnog vjetra gdje je koeficijent unutarnjeg tlaka $c_{pi} = -0,3$ [5]

5.4.5. Smjer vjetra poprečno – djelovanje na međukatnu konstrukciju

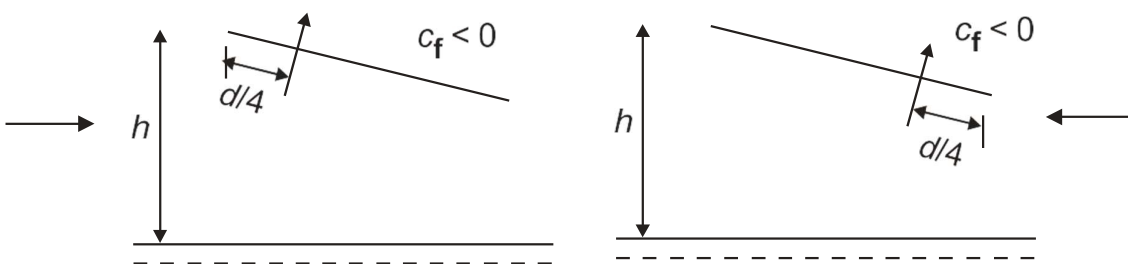
Kako je konstrukcija podignuta na N -stupovima, gornji dio zgrade se ponaša kao nadstrešnica zbog čega se provodi analiza vjetra na međukatnu konstrukciju. U obzir se uzima i vjetar koji djeluje s donje strane na međukatnu konstrukciju koja se ponaša kao nadstrešnica. Stupanj blokade vjetra ispod stropne konstrukcije se opisuje koeficijentom φ . Kada je $\varphi = 0$ predstavlja praznu nadstrešnicu, a $\varphi = 1$ predstavlja nadstrešnicu koja je u potpunosti blokirana sadržajem kako je prikazano na slici 51 (ali i dalje ovo nije zatvorena zgrada). Ukupni koeficijent sile c_f i neto koeficijenti tlaka $c_{p, \text{neto}}$, dani u tablici 29. Nadstrešnica mora biti u stanju podržati slučajeve opterećenja kako je definirano za nadstrešnicu s jednostrešnim / ravnim krovom, središte pritiska treba uzeti na $d / 4$ od ruba vjetra (d = dimenzija uz vjetar, slika 52)



Slika 51: Nadstrešnica blokirana skladišnom robom ili objektom do strehe niz vjetar, u ovom slučaju stijenom koja se nalazi s istočne strane konstrukcije pri čemu je $\varphi = 1$ [6]

Tablica 29: $c_{p,net}$ i c_f vrijednosti za jednostrešne / ravne krovove [6]

| | | | Koeficijent neto pritiska $c_{p,net}$ | | |
|---|----------------------------------|-------------------------------|---------------------------------------|--------|--------|
| Nagib krova α | Stupanj blokade vjetra φ | Ukupni koeficijent sile c_f | zona A | Zona B | Zona C |
| 0° | Maximum all φ | + 0,2 | + 0,5 | + 1,8 | + 1,1 |
| | Minimum $\varphi = 0$ | - 0,5 | - 0,6 | - 1,3 | - 1,4 |
| | Minimum $\varphi = 1$ | - 1,3 | - 1,5 | - 1,8 | - 2,2 |
| 5° | Maximum all φ | + 0,4 | + 0,8 | + 2,1 | + 1,3 |
| | Minimum $\varphi = 0$ | - 0,7 | - 1,1 | - 1,7 | - 1,8 |
| | Minimum $\varphi = 1$ | - 1,4 | - 1,6 | - 2,2 | - 2,5 |
| NAPOMENA | | | | | |
| + vrijednosti ukazuju na neto djelovanje vjetra prema dolje | | | | | |
| - vrijednosti predstavljaju neto djelovanje vjetra prema gore | | | | | |



Slika 52: Položaj središta sile za nadstrešnice s jednostrešnim / ravnim krovom

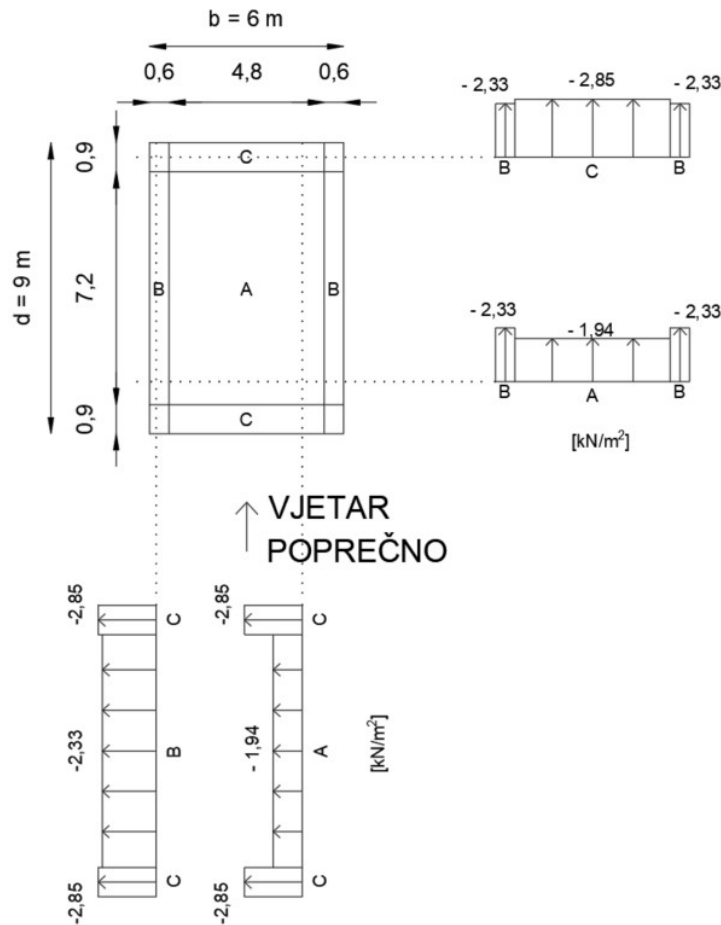
Faktor hrapavosti, $c_r(z)$ prema formuli (4) za visinu $z = h = 2,80$ m prema gornjoj slici 55 i $k_r = 0,156$ iznosi $c_r(z) = 1,07$ pa je srednja brzina vjetra $v_m(z) = 32,1$ m/s. Intenzitet turbulentije $I_v(z)$ na visini z

prema formuli (6) iznosi $I_v(z) = 0,14$. Vršni pritisak brzine $q_p(z)$ na visini $z = 2,80$ m s obzirom na formulu (7) ima vrijednost od $q_p(z) \approx 1,28 \text{ kN/m}^2$.

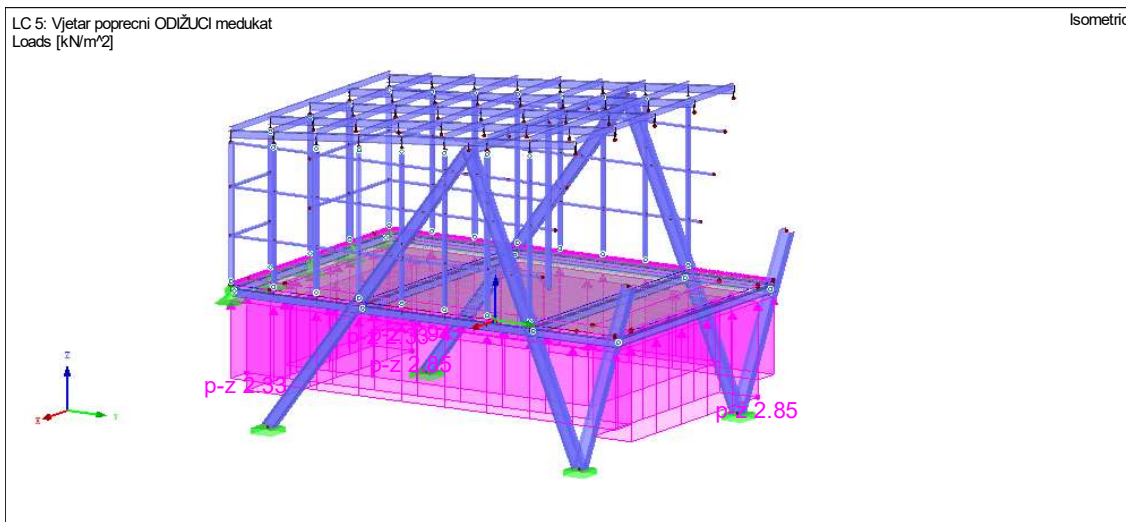
Tablica 30: Prikaz vrijednosti koeficijenta neto pritiska $c_{p,net}$ i resultantnog pritiska za nagib krova od $\alpha = 0^\circ$ i minimalan $\varphi = 1$ prema tablici 29

| zona | Koeficijent neto pritiska $c_{p,net}$ | Pritisak $w_{nett} = q_p(z) \cdot c_{p,net} [\text{kN/m}^2]$ |
|------|---------------------------------------|--|
| A | - 1,5 | - 1,94 |
| B | - 1,8 | - 2,33 |
| C | - 2,2 | - 2,85 |

Negativne vrijednosti neto tlaka prikazane u gornjim tablicama odgovaraju usisu usmjerenom od vanjske površine uzrokujući sile podizanja na krovu nadstrešnice.



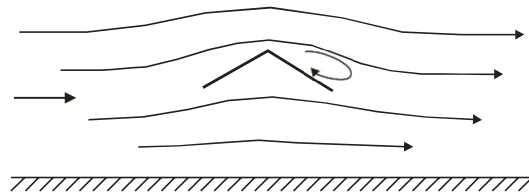
Slika 53: Prikaz resultantnog negativnog neto pritiska $w_{net} [\text{kN/m}^2]$ za smjer vjetra poprečno na konstrukciju koji djeluje na stropnu međukatnu konstrukciju



Slika 54: Prikaz resultantnog negativnog neto pritiska w_{net} [kN/m²] za smjer vjetra poprečno na konstrukciju koji djeluje na stropnu međukatnu konstrukciju u 3D [5]

5.4.6. Smjer vjetra uzdužno – djelovanje na stropnu međukatnu konstrukciju

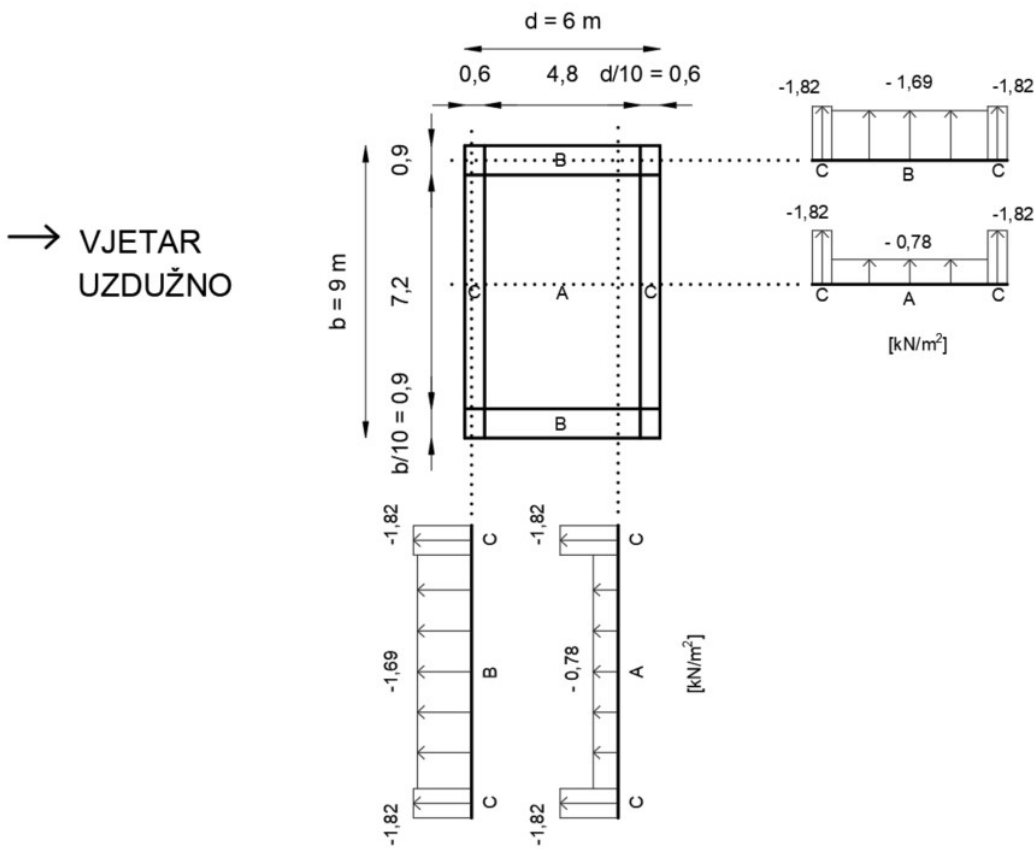
U uzdužnom smjeru puhanja vjetra nema nikakve prepreke stoga je stupanj blokade vjetra ispod stropne konstrukcije je $\varphi = 0$ kao što je prikazano na slici 55.



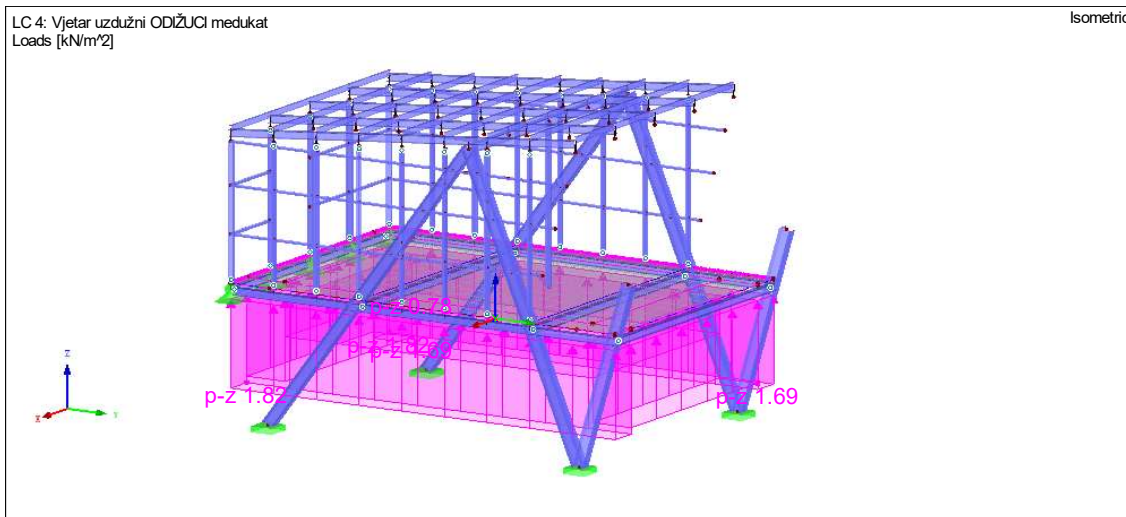
Slika 55: Prazna samostojeća nadstrešnica bez ikakvih prepreka prilikom strujanja vjetra s $\varphi = 0$ [6]

Tablica 31: Prikaz vrijednosti koeficijenta neto pritiska $c_{p,net}$ i resultantnog pritiska za nagib krova od $\alpha = 0^\circ$ i minimalan $\varphi = 0$ prema tablici 29.

| zona | Koeficijent neto pritiska $c_{p,net}$ | Pritisak $w_{nett} = q_p(z) \cdot c_{p,net}$ [kN/m ²] |
|------|---------------------------------------|---|
| A | - 0,6 | - 0,78 |
| B | - 1,3 | - 1,69 |
| C | - 1,4 | - 1,82 |



Slika 56: Prikaz resultantnog negativnog neto pritiska w_{net} [kN/m^2] za smjer vjetra uzdužno na konstrukciju koji djeluje na stropnu međukatnu konstrukciju



Slika 57: Prikaz resultantnog negativnog neto pritiska w_{net} [kN/m^2] za smjer vjetra uzdužno na konstrukciju koji djeluje na stropnu međukatnu konstrukciju u 3D [5]

6. DIMENZIONIRANJE ELEMENATA KONSTRUKCIJE

Dimenzioniranje je provedeno u skladu s europskim normama Eurocode 3: Projektiranje čeličnih konstrukcija [12] i Eurocode 4: Projektiranje spregnutih čelično-betonskih konstrukcija [11]. Proračun nosivosti i uporabljivosti prikazan je u nastavku dok su u tablici 32 prikazani odabrani poprečni presjeci.

Tablica 32: Popis odabranih poprečnih presjeka glavnog i sekundarnog nosivog sustava s pripadajućim vrijednostima iskorištenosti za GSN i GSU.

| NAZIV (POLOŽAJ) ELEMENTA | POPREČNI PRESJEK | ISKORIŠTENOST | |
|-------------------------------------|------------------|---------------|-----|
| | | GSN | GSU |
| Krovni poprečni nosač | HEA 180 | 69% | 13% |
| Krovni poprečni nosači (podrožnice) | IPE 120 | 46% | 75% |
| Uzdužni krovni nosači | HEA 160 | 68% | 9% |
| N-nosači | HEA 240 | 61% | 17% |
| Nosači fasade | IPE 80 | 82% | 31% |
| Poprečni međukatni nosači | HEA 160 | 38% | 30% |
| Uzdužni međukatni nosači | HEA 160 | 16% | 1% |
| Bočni stupovi nosači fasade | IPE 120 | 40% | 20% |
| Stražnji stupovi nosači fasade | IPE 120 | 76% | 73% |
| Stup pročelja | HEA 100 | 33% | 11% |

6.1. Proračunske kombinacije djelovanja

Pri proračunu graničnog stanja nosivosti (ULS) i graničnog stanja uporabivosti (SLS) primjenjeni su sljedeći slučajevi opterećenja:

Tablica 33: Opterećenja na koja je dimenzionirana konstrukcija.

| | Slučaj opterećenja Opis | EN 1990 CEN Kategorija djelovanja | Vlastita težina |
|------|-------------------------------------|---|--------------------|
| | | | |
| LC1 | Vlastita težina | Stalno | + |
| LC2 | Stalno djelovanje | Stalno | - |
| LC4 | Vjetar uzdužni ODIŽUCI medukat | Vjetar | - |
| LC5 | Vjetar poprecni ODIŽUCI medukat | Vjetar | - |
| LC6 | Vjetar ISTOK pozitivan cpi = 0.0 | Vjetar | - |
| LC7 | Vjetar ISTOK negativan cpi = 0.0 | Vjetar | - |
| LC8 | Vjetar ISTOK pozitivan cpi = 0.2 | Vjetar | - |
| LC9 | Vjetar ISTOK negativan cpi = 0.2 | Vjetar | - |
| LC10 | Vjetar ISTOK pozitivan cpi = - 0.3 | Vjetar | - |
| LC11 | Vjetar ISTOK negativan cpi = - 0.3 | Vjetar | - |
| LC12 | Vjetar JUG pozitivan cpi = 0.0 | Vjetar | - |
| LC13 | Vjetar JUG negativan cpi = 0.0 | Vjetar | - |
| LC14 | Vjetar JUG pozitivan cpi = 0.2 | Vjetar | - |
| LC15 | Vjetar JUG negativan cpi = 0.2 | Vjetar | - |
| LC16 | Vjetar JUG pozitivan cpi = - 0.3 | Vjetar | - |
| LC17 | Vjetar JUG negativan cpi = - 0.3 | Vjetar | - |
| LC18 | Vjetar ZAPAD pozitivan cpi = 0.0 | Vjetar | - |
| LC19 | Vjetar ZAPAD negativan cpi = 0.0 | Vjetar | - |
| LC20 | Vjetar ZAPAD pozitivan cpi = 0.2 | Vjetar | - |
| LC21 | Vjetar ZAPAD negativan cpi = 0.2 | Vjetar | - |
| LC22 | Vjetar ZAPAD pozitivan cpi = - 0.3 | Vjetar | - |
| LC23 | Vjetar ZAPAD negativan cpi = - 0.3 | Vjetar | - |
| LC24 | Vjetar SJEVER pozitivan cpi = 0.0 | Vjetar | - |
| LC25 | Vjetar SJEVER negativan cpi = 0.0 | Vjetar | - |
| LC26 | Vjetar SJEVER pozitivan cpi = 0.2 | Vjetar | - |
| LC27 | Vjetar SJEVER negativan cpi = 0.2 | Vjetar | - |
| LC28 | Vjetar SJEVER pozitivan cpi = - 0.3 | Vjetar | - |
| LC29 | Vjetar SJEVER negativan cpi = - 0.3 | Vjetar | - |
| LC30 | Korisno opterecenje | Korisno - Kategorija A: domaća, stambena područja | - |
| LC31 | Snijeg simetrican | Snijeg (H ≤ 1000 m n.m.) | - |

Opterećenja izražena u tablici 34 kombinirana su međusobno koristeći faktore sigurnosti propisane prema EN 1990.

Tablica 34: Kombinacije opterećenja za proračun GSN modela.

| Komb.. | Opis | |
|--------|--------------------------------|--|
| CO1 | 1.35*LC1 | CO41 1.35*LC1 + 1.35*LC2 + 1.5*LC16 |
| CO2 | 1.35*LC1 + 1.35*LC2 | CO42 1.35*LC1 + 1.35*LC2 + 1.5*LC17 |
| CO3 | 1.35*LC1 + 1.5*LC4 | CO43 1.35*LC1 + 1.35*LC2 + 1.5*LC18 |
| CO4 | 1.35*LC1 + 1.5*LC5 | CO44 1.35*LC1 + 1.35*LC2 + 1.5*LC19 |
| CO5 | 1.35*LC1 + 1.5*LC6 | CO45 1.35*LC1 + 1.35*LC2 + 1.5*LC20 |
| CO6 | 1.35*LC1 + 1.5*LC7 | CO46 1.35*LC1 + 1.35*LC2 + 1.5*LC21 |
| CO7 | 1.35*LC1 + 1.5*LC8 | CO47 1.35*LC1 + 1.35*LC2 + 1.5*LC22 |
| CO8 | 1.35*LC1 + 1.5*LC9 | CO48 1.35*LC1 + 1.35*LC2 + 1.5*LC23 |
| CO9 | 1.35*LC1 + 1.5*LC10 | CO49 1.35*LC1 + 1.35*LC2 + 1.5*LC24 |
| CO10 | 1.35*LC1 + 1.5*LC11 | CO50 1.35*LC1 + 1.35*LC2 + 1.5*LC25 |
| CO11 | 1.35*LC1 + 1.5*LC12 | CO51 1.35*LC1 + 1.35*LC2 + 1.5*LC26 |
| CO12 | 1.35*LC1 + 1.5*LC13 | CO52 1.35*LC1 + 1.35*LC2 + 1.5*LC27 |
| CO13 | 1.35*LC1 + 1.5*LC14 | CO53 1.35*LC1 + 1.35*LC2 + 1.5*LC28 |
| CO14 | 1.35*LC1 + 1.5*LC15 | CO54 1.35*LC1 + 1.35*LC2 + 1.5*LC29 |
| CO15 | 1.35*LC1 + 1.5*LC16 | CO55 1.35*LC1 + 1.35*LC2 + 1.5*LC4 + 1.05*LC30 |
| CO16 | 1.35*LC1 + 1.5*LC17 | CO56 1.35*LC1 + 1.35*LC2 + 1.5*LC5 + 1.05*LC30 |
| CO17 | 1.35*LC1 + 1.5*LC18 | CO57 1.35*LC1 + 1.35*LC2 + 1.5*LC6 + 1.05*LC30 |
| CO18 | 1.35*LC1 + 1.5*LC19 | CO58 1.35*LC1 + 1.35*LC2 + 1.5*LC7 + 1.05*LC30 |
| CO19 | 1.35*LC1 + 1.5*LC20 | CO59 1.35*LC1 + 1.35*LC2 + 1.5*LC8 + 1.05*LC30 |
| CO20 | 1.35*LC1 + 1.5*LC21 | CO60 1.35*LC1 + 1.35*LC2 + 1.5*LC9 + 1.05*LC30 |
| CO21 | 1.35*LC1 + 1.5*LC22 | CO61 1.35*LC1 + 1.35*LC2 + 1.5*LC10 + 1.05*LC30 |
| CO22 | 1.35*LC1 + 1.5*LC23 | CO62 1.35*LC1 + 1.35*LC2 + 1.5*LC11 + 1.05*LC30 |
| CO23 | 1.35*LC1 + 1.5*LC24 | CO63 1.35*LC1 + 1.35*LC2 + 1.5*LC12 + 1.05*LC30 |
| CO24 | 1.35*LC1 + 1.5*LC25 | CO64 1.35*LC1 + 1.35*LC2 + 1.5*LC13 + 1.05*LC30 |
| CO25 | 1.35*LC1 + 1.5*LC26 | CO65 1.35*LC1 + 1.35*LC2 + 1.5*LC14 + 1.05*LC30 |
| CO26 | 1.35*LC1 + 1.5*LC27 | CO66 1.35*LC1 + 1.35*LC2 + 1.5*LC15 + 1.05*LC30 |
| CO27 | 1.35*LC1 + 1.5*LC28 | CO67 1.35*LC1 + 1.35*LC2 + 1.5*LC16 + 1.05*LC30 |
| CO28 | 1.35*LC1 + 1.5*LC29 | CO68 1.35*LC1 + 1.35*LC2 + 1.5*LC17 + 1.05*LC30 |
| CO29 | 1.35*LC1 + 1.35*LC2 + 1.5*LC4 | CO69 1.35*LC1 + 1.35*LC2 + 1.5*LC18 + 1.05*LC30 |
| CO30 | 1.35*LC1 + 1.35*LC2 + 1.5*LC5 | CO70 1.35*LC1 + 1.35*LC2 + 1.5*LC19 + 1.05*LC30 |
| CO31 | 1.35*LC1 + 1.35*LC2 + 1.5*LC6 | CO71 1.35*LC1 + 1.35*LC2 + 1.5*LC20 + 1.05*LC30 |
| CO32 | 1.35*LC1 + 1.35*LC2 + 1.5*LC7 | CO72 1.35*LC1 + 1.35*LC2 + 1.5*LC21 + 1.05*LC30 |
| CO33 | 1.35*LC1 + 1.35*LC2 + 1.5*LC8 | CO73 1.35*LC1 + 1.35*LC2 + 1.5*LC22 + 1.05*LC30 |
| CO34 | 1.35*LC1 + 1.35*LC2 + 1.5*LC9 | CO74 1.35*LC1 + 1.35*LC2 + 1.5*LC23 + 1.05*LC30 |
| CO35 | 1.35*LC1 + 1.35*LC2 + 1.5*LC10 | CO75 1.35*LC1 + 1.35*LC2 + 1.5*LC24 + 1.05*LC30 |
| CO36 | 1.35*LC1 + 1.35*LC2 + 1.5*LC11 | CO76 1.35*LC1 + 1.35*LC2 + 1.5*LC25 + 1.05*LC30 |
| CO37 | 1.35*LC1 + 1.35*LC2 + 1.5*LC12 | CO77 1.35*LC1 + 1.35*LC2 + 1.5*LC26 + 1.05*LC30 |
| CO38 | 1.35*LC1 + 1.35*LC2 + 1.5*LC13 | CO78 1.35*LC1 + 1.35*LC2 + 1.5*LC27 + 1.05*LC30 |
| CO39 | 1.35*LC1 + 1.35*LC2 + 1.5*LC14 | CO79 1.35*LC1 + 1.35*LC2 + 1.5*LC28 + 1.05*LC30 |
| Komb.. | Opis | CO80 1.35*LC1 + 1.35*LC2 + 1.5*LC29 + 1.05*LC30 |
| CO40 | 1.35*LC1 + 1.35*LC2 + 1.5*LC15 | CO81 1.35*LC1 + 1.35*LC2 + 1.5*LC4 + 1.05*LC30 + 0.75*LC31 |
| | | CO82 1.35*LC1 + 1.35*LC2 + 1.5*LC5 + 1.05*LC30 + 0.75*LC31 |
| | | CO83 1.35*LC1 + 1.35*LC2 + 1.5*LC6 + 1.05*LC30 + 0.75*LC31 |
| | | CO84 1.35*LC1 + 1.35*LC2 + 1.5*LC7 + 1.05*LC30 + 0.75*LC31 |

| | | | |
|-------|--|-------|---|
| CO85 | 1.35*LC1 + 1.35*LC2 + 1.5*LC8 + 1.05*LC30 + 0.75*LC31 | CO126 | 1.35*LC1 + 1.35*LC2 + 1.5*LC23 + 0.75*LC31 |
| CO86 | 1.35*LC1 + 1.35*LC2 + 1.5*LC9 + 1.05*LC30 + 0.75*LC31 | CO127 | 1.35*LC1 + 1.35*LC2 + 1.5*LC24 + 0.75*LC31 |
| | 1.35*LC1 + 1.35*LC2 + 1.5*LC10 + 1.05*LC30 + 0.75*LC31 | CO128 | 1.35*LC1 + 1.35*LC2 + 1.5*LC25 + 0.75*LC31 |
| CO87 | 1.35*LC1 + 1.35*LC2 + 1.5*LC11 + 1.05*LC30 + 0.75*LC31 | CO129 | 1.35*LC1 + 1.35*LC2 + 1.5*LC26 + 0.75*LC31 |
| CO88 | 1.35*LC1 + 1.35*LC2 + 1.5*LC12 + 1.05*LC30 + 0.75*LC31 | CO130 | 1.35*LC1 + 1.35*LC2 + 1.5*LC27 + 0.75*LC31 |
| CO89 | 1.35*LC1 + 1.35*LC2 + 1.5*LC13 + 1.05*LC30 + 0.75*LC31 | CO131 | 1.35*LC1 + 1.35*LC2 + 1.5*LC28 + 0.75*LC31 |
| CO90 | 1.35*LC1 + 1.35*LC2 + 1.5*LC14 + 1.05*LC30 + 0.75*LC31 | CO132 | 1.35*LC1 + 1.35*LC2 + 1.5*LC29 + 0.75*LC31 |
| CO91 | 1.35*LC1 + 1.35*LC2 + 1.5*LC15 + 1.05*LC30 + 0.75*LC31 | CO133 | 1.35*LC1 + 1.5*LC4 + 1.05*LC30 |
| CO92 | 1.35*LC1 + 1.35*LC2 + 1.5*LC16 + 1.05*LC30 + 0.75*LC31 | CO134 | 1.35*LC1 + 1.5*LC5 + 1.05*LC30 |
| CO93 | 1.35*LC1 + 1.35*LC2 + 1.5*LC17 + 1.05*LC30 + 0.75*LC31 | CO135 | 1.35*LC1 + 1.5*LC6 + 1.05*LC30 |
| CO94 | 1.35*LC1 + 1.35*LC2 + 1.5*LC18 + 1.05*LC30 + 0.75*LC31 | CO136 | 1.35*LC1 + 1.5*LC7 + 1.05*LC30 |
| CO95 | 1.35*LC1 + 1.35*LC2 + 1.5*LC19 + 1.05*LC30 + 0.75*LC31 | CO137 | 1.35*LC1 + 1.5*LC8 + 1.05*LC30 |
| CO96 | 1.35*LC1 + 1.35*LC2 + 1.5*LC20 + 1.05*LC30 + 0.75*LC31 | CO138 | 1.35*LC1 + 1.5*LC9 + 1.05*LC30 |
| CO97 | 1.35*LC1 + 1.35*LC2 + 1.5*LC21 + 1.05*LC30 + 0.75*LC31 | CO139 | 1.35*LC1 + 1.5*LC10 + 1.05*LC30 |
| CO98 | 1.35*LC1 + 1.35*LC2 + 1.5*LC22 + 1.05*LC30 + 0.75*LC31 | CO140 | 1.35*LC1 + 1.5*LC11 + 1.05*LC30 |
| CO99 | 1.35*LC1 + 1.35*LC2 + 1.5*LC23 + 1.05*LC30 + 0.75*LC31 | CO141 | 1.35*LC1 + 1.5*LC12 + 1.05*LC30 |
| CO100 | 1.35*LC1 + 1.35*LC2 + 1.5*LC24 + 1.05*LC30 + 0.75*LC31 | CO142 | 1.35*LC1 + 1.5*LC13 + 1.05*LC30 |
| CO101 | 1.35*LC1 + 1.35*LC2 + 1.5*LC25 + 1.05*LC30 + 0.75*LC31 | CO143 | 1.35*LC1 + 1.5*LC14 + 1.05*LC30 |
| CO102 | 1.35*LC1 + 1.35*LC2 + 1.5*LC26 + 1.05*LC30 + 0.75*LC31 | CO144 | 1.35*LC1 + 1.5*LC15 + 1.05*LC30 |
| CO103 | 1.35*LC1 + 1.35*LC2 + 1.5*LC27 + 1.05*LC30 + 0.75*LC31 | CO145 | 1.35*LC1 + 1.5*LC16 + 1.05*LC30 |
| CO104 | 1.35*LC1 + 1.35*LC2 + 1.5*LC28 + 1.05*LC30 + 0.75*LC31 | CO146 | 1.35*LC1 + 1.5*LC17 + 1.05*LC30 |
| CO105 | 1.35*LC1 + 1.35*LC2 + 1.5*LC29 + 1.05*LC30 + 0.75*LC31 | CO147 | 1.35*LC1 + 1.5*LC18 + 1.05*LC30 |
| CO106 | 1.35*LC1 + 1.35*LC2 + 1.5*LC30 + 0.75*LC31 | CO148 | 1.35*LC1 + 1.5*LC19 + 1.05*LC30 |
| CO107 | 1.35*LC1 + 1.35*LC2 + 1.5*LC31 | CO149 | 1.35*LC1 + 1.5*LC20 + 1.05*LC30 |
| CO108 | 1.35*LC1 + 1.35*LC2 + 1.5*LC32 + 0.75*LC31 | CO150 | 1.35*LC1 + 1.5*LC21 + 1.05*LC30 |
| CO109 | 1.35*LC1 + 1.35*LC2 + 1.5*LC33 + 0.75*LC31 | CO151 | 1.35*LC1 + 1.5*LC22 + 1.05*LC30 |
| CO110 | 1.35*LC1 + 1.35*LC2 + 1.5*LC34 + 0.75*LC31 | CO152 | 1.35*LC1 + 1.5*LC23 + 1.05*LC30 |
| CO111 | 1.35*LC1 + 1.35*LC2 + 1.5*LC35 + 0.75*LC31 | CO153 | 1.35*LC1 + 1.5*LC24 + 1.05*LC30 |
| CO112 | 1.35*LC1 + 1.35*LC2 + 1.5*LC36 + 0.75*LC31 | CO154 | 1.35*LC1 + 1.5*LC25 + 1.05*LC30 |
| CO113 | 1.35*LC1 + 1.35*LC2 + 1.5*LC37 + 0.75*LC31 | CO155 | 1.35*LC1 + 1.5*LC26 + 1.05*LC30 |
| CO114 | 1.35*LC1 + 1.35*LC2 + 1.5*LC38 + 0.75*LC31 | CO156 | 1.35*LC1 + 1.5*LC27 + 1.05*LC30 |
| CO115 | 1.35*LC1 + 1.35*LC2 + 1.5*LC39 + 0.75*LC31 | CO157 | 1.35*LC1 + 1.5*LC28 + 1.05*LC30 |
| CO116 | 1.35*LC1 + 1.35*LC2 + 1.5*LC40 + 0.75*LC31 | CO158 | 1.35*LC1 + 1.5*LC29 + 1.05*LC30 |
| CO117 | 1.35*LC1 + 1.35*LC2 + 1.5*LC41 + 0.75*LC31 | CO159 | 1.35*LC1 + 1.5*LC30 + 0.75*LC31 |
| CO118 | 1.35*LC1 + 1.35*LC2 + 1.5*LC42 + 0.75*LC31 | CO160 | 1.35*LC1 + 1.5*LC5 + 1.05*LC30 + 0.75*LC31 |
| CO119 | 1.35*LC1 + 1.35*LC2 + 1.5*LC43 + 0.75*LC31 | CO161 | 1.35*LC1 + 1.5*LC6 + 1.05*LC30 + 0.75*LC31 |
| CO120 | 1.35*LC1 + 1.35*LC2 + 1.5*LC44 + 0.75*LC31 | CO162 | 1.35*LC1 + 1.5*LC7 + 1.05*LC30 + 0.75*LC31 |
| CO121 | 1.35*LC1 + 1.35*LC2 + 1.5*LC45 + 0.75*LC31 | CO163 | 1.35*LC1 + 1.5*LC8 + 1.05*LC30 + 0.75*LC31 |
| CO122 | 1.35*LC1 + 1.35*LC2 + 1.5*LC46 + 0.75*LC31 | CO164 | 1.35*LC1 + 1.5*LC9 + 1.05*LC30 + 0.75*LC31 |
| CO123 | 1.35*LC1 + 1.35*LC2 + 1.5*LC47 + 0.75*LC31 | CO165 | 1.35*LC1 + 1.5*LC10 + 1.05*LC30 + 0.75*LC31 |
| CO124 | 1.35*LC1 + 1.35*LC2 + 1.5*LC48 + 0.75*LC31 | CO166 | 1.35*LC1 + 1.5*LC11 + 1.05*LC30 + 0.75*LC31 |
| CO125 | 1.35*LC1 + 1.35*LC2 + 1.5*LC49 + 0.75*LC31 | CO167 | 1.35*LC1 + 1.5*LC12 + 1.05*LC30 + 0.75*LC31 |
| | | CO168 | 1.35*LC1 + 1.5*LC13 + 1.05*LC30 + 0.75*LC31 |
| | | CO169 | 1.35*LC1 + 1.5*LC14 + 1.05*LC30 + 0.75*LC31 |
| | | CO170 | 1.35*LC1 + 1.5*LC15 + 1.05*LC30 + 0.75*LC31 |
| | | CO171 | 1.35*LC1 + 1.5*LC16 + 1.05*LC30 + 0.75*LC31 |
| | | CO172 | 1.35*LC1 + 1.5*LC17 + 1.05*LC30 + 0.75*LC31 |
| | | CO173 | 1.35*LC1 + 1.5*LC18 + 1.05*LC30 + 0.75*LC31 |

| | | | |
|-------|---|-------|---|
| CO174 | 1.35*LC1 + 1.5*LC19 + 1.05*LC30 + 0.75*LC31 | CO222 | 1.35*LC1 + 1.35*LC2 + 0.9*LC13 + 1.5*LC30 |
| CO175 | 1.35*LC1 + 1.5*LC20 + 1.05*LC30 + 0.75*LC31 | CO223 | 1.35*LC1 + 1.35*LC2 + 0.9*LC14 + 1.5*LC30 |
| CO176 | 1.35*LC1 + 1.5*LC21 + 1.05*LC30 + 0.75*LC31 | CO224 | 1.35*LC1 + 1.35*LC2 + 0.9*LC15 + 1.5*LC30 |
| CO177 | 1.35*LC1 + 1.5*LC22 + 1.05*LC30 + 0.75*LC31 | CO225 | 1.35*LC1 + 1.35*LC2 + 0.9*LC16 + 1.5*LC30 |
| CO178 | 1.35*LC1 + 1.5*LC23 + 1.05*LC30 + 0.75*LC31 | CO226 | 1.35*LC1 + 1.35*LC2 + 0.9*LC17 + 1.5*LC30 |
| CO179 | 1.35*LC1 + 1.5*LC24 + 1.05*LC30 + 0.75*LC31 | CO227 | 1.35*LC1 + 1.35*LC2 + 0.9*LC18 + 1.5*LC30 |
| CO180 | 1.35*LC1 + 1.5*LC25 + 1.05*LC30 + 0.75*LC31 | CO228 | 1.35*LC1 + 1.35*LC2 + 0.9*LC19 + 1.5*LC30 |
| CO181 | 1.35*LC1 + 1.5*LC26 + 1.05*LC30 + 0.75*LC31 | CO229 | 1.35*LC1 + 1.35*LC2 + 0.9*LC20 + 1.5*LC30 |
| CO182 | 1.35*LC1 + 1.5*LC27 + 1.05*LC30 + 0.75*LC31 | CO230 | 1.35*LC1 + 1.35*LC2 + 0.9*LC21 + 1.5*LC30 |
| CO183 | 1.35*LC1 + 1.5*LC28 + 1.05*LC30 + 0.75*LC31 | CO231 | 1.35*LC1 + 1.35*LC2 + 0.9*LC22 + 1.5*LC30 |
| CO184 | 1.35*LC1 + 1.5*LC29 + 1.05*LC30 + 0.75*LC31 | CO232 | 1.35*LC1 + 1.35*LC2 + 0.9*LC23 + 1.5*LC30 |
| CO185 | 1.35*LC1 + 1.5*LC4 + 0.75*LC31 | CO233 | 1.35*LC1 + 1.35*LC2 + 0.9*LC24 + 1.5*LC30 |
| CO186 | 1.35*LC1 + 1.5*LC5 + 0.75*LC31 | CO234 | 1.35*LC1 + 1.35*LC2 + 0.9*LC25 + 1.5*LC30 |
| CO187 | 1.35*LC1 + 1.5*LC6 + 0.75*LC31 | CO235 | 1.35*LC1 + 1.35*LC2 + 0.9*LC26 + 1.5*LC30 |
| CO188 | 1.35*LC1 + 1.5*LC7 + 0.75*LC31 | CO236 | 1.35*LC1 + 1.35*LC2 + 0.9*LC27 + 1.5*LC30 |
| CO189 | 1.35*LC1 + 1.5*LC8 + 0.75*LC31 | CO237 | 1.35*LC1 + 1.35*LC2 + 0.9*LC28 + 1.5*LC30 |
| CO190 | 1.35*LC1 + 1.5*LC9 + 0.75*LC31 | CO238 | 1.35*LC1 + 1.35*LC2 + 0.9*LC29 + 1.5*LC30 |
| CO191 | 1.35*LC1 + 1.5*LC10 + 0.75*LC31 | CO239 | 1.35*LC1 + 1.35*LC2 + 0.9*LC4 + 1.5*LC30 + 0.75*LC31 |
| CO192 | 1.35*LC1 + 1.5*LC11 + 0.75*LC31 | CO240 | 1.35*LC1 + 1.35*LC2 + 0.9*LC5 + 1.5*LC30 + 0.75*LC31 |
| CO193 | 1.35*LC1 + 1.5*LC12 + 0.75*LC31 | CO241 | 1.35*LC1 + 1.35*LC2 + 0.9*LC6 + 1.5*LC30 + 0.75*LC31 |
| CO194 | 1.35*LC1 + 1.5*LC13 + 0.75*LC31 | CO242 | 1.35*LC1 + 1.35*LC2 + 0.9*LC7 + 1.5*LC30 + 0.75*LC31 |
| CO195 | 1.35*LC1 + 1.5*LC14 + 0.75*LC31 | CO243 | 1.35*LC1 + 1.35*LC2 + 0.9*LC8 + 1.5*LC30 + 0.75*LC31 |
| CO196 | 1.35*LC1 + 1.5*LC15 + 0.75*LC31 | CO244 | 1.35*LC1 + 1.35*LC2 + 0.9*LC9 + 1.5*LC30 + 0.75*LC31 |
| CO197 | 1.35*LC1 + 1.5*LC16 + 0.75*LC31 | CO245 | 1.35*LC1 + 1.35*LC2 + 0.9*LC10 + 1.5*LC30 + 0.75*LC31 |
| CO198 | 1.35*LC1 + 1.5*LC17 + 0.75*LC31 | CO246 | 1.35*LC1 + 1.35*LC2 + 0.9*LC11 + 1.5*LC30 + 0.75*LC31 |
| CO199 | 1.35*LC1 + 1.5*LC18 + 0.75*LC31 | CO247 | 1.35*LC1 + 1.35*LC2 + 0.9*LC12 + 1.5*LC30 + 0.75*LC31 |
| CO200 | 1.35*LC1 + 1.5*LC19 + 0.75*LC31 | CO248 | 1.35*LC1 + 1.35*LC2 + 0.9*LC13 + 1.5*LC30 + 0.75*LC31 |
| CO201 | 1.35*LC1 + 1.5*LC20 + 0.75*LC31 | CO249 | 1.35*LC1 + 1.35*LC2 + 0.9*LC14 + 1.5*LC30 + 0.75*LC31 |
| CO202 | 1.35*LC1 + 1.5*LC21 + 0.75*LC31 | CO250 | 1.35*LC1 + 1.35*LC2 + 0.9*LC15 + 1.5*LC30 + 0.75*LC31 |
| CO203 | 1.35*LC1 + 1.5*LC22 + 0.75*LC31 | CO251 | 1.35*LC1 + 1.35*LC2 + 0.9*LC16 + 1.5*LC30 + 0.75*LC31 |
| CO204 | 1.35*LC1 + 1.5*LC23 + 0.75*LC31 | CO252 | 1.35*LC1 + 1.35*LC2 + 0.9*LC17 + 1.5*LC30 + 0.75*LC31 |
| CO205 | 1.35*LC1 + 1.5*LC24 + 0.75*LC31 | CO253 | 1.35*LC1 + 1.35*LC2 + 0.9*LC18 + 1.5*LC30 + 0.75*LC31 |
| CO206 | 1.35*LC1 + 1.5*LC25 + 0.75*LC31 | CO254 | 1.35*LC1 + 1.35*LC2 + 0.9*LC19 + 1.5*LC30 + 0.75*LC31 |
| CO207 | 1.35*LC1 + 1.5*LC26 + 0.75*LC31 | CO255 | 1.35*LC1 + 1.35*LC2 + 0.9*LC20 + 1.5*LC30 + 0.75*LC31 |
| CO208 | 1.35*LC1 + 1.5*LC27 + 0.75*LC31 | CO256 | 1.35*LC1 + 1.35*LC2 + 0.9*LC21 + 1.5*LC30 + 0.75*LC31 |
| CO209 | 1.35*LC1 + 1.5*LC28 + 0.75*LC31 | CO257 | 1.35*LC1 + 1.35*LC2 + 0.9*LC22 + 1.5*LC30 + 0.75*LC31 |
| CO210 | 1.35*LC1 + 1.5*LC29 + 0.75*LC31 | CO258 | 1.35*LC1 + 1.35*LC2 + 0.9*LC23 + 1.5*LC30 + 0.75*LC31 |
| CO211 | 1.35*LC1 + 1.5*LC30 | CO259 | 1.35*LC1 + 1.35*LC2 + 0.9*LC24 + 1.5*LC30 + 0.75*LC31 |
| CO212 | 1.35*LC1 + 1.35*LC2 + 1.5*LC30 | CO260 | 1.35*LC1 + 1.35*LC2 + 0.9*LC25 + 1.5*LC30 + 0.75*LC31 |
| CO213 | 1.35*LC1 + 1.35*LC2 + 0.9*LC4 + 1.5*LC30 | CO261 | 1.35*LC1 + 1.35*LC2 + 0.9*LC26 + 1.5*LC30 + 0.75*LC31 |
| CO214 | 1.35*LC1 + 1.35*LC2 + 0.9*LC5 + 1.5*LC30 | CO262 | 1.35*LC1 + 1.35*LC2 + 0.9*LC27 + 1.5*LC30 + 0.75*LC31 |
| CO215 | 1.35*LC1 + 1.35*LC2 + 0.9*LC6 + 1.5*LC30 | CO263 | 1.35*LC1 + 1.35*LC2 + 0.9*LC28 + 1.5*LC30 + 0.75*LC31 |
| CO216 | 1.35*LC1 + 1.35*LC2 + 0.9*LC7 + 1.5*LC30 | CO264 | 1.35*LC1 + 1.35*LC2 + 0.9*LC29 + 1.5*LC30 + 0.75*LC31 |
| CO217 | 1.35*LC1 + 1.35*LC2 + 0.9*LC8 + 1.5*LC30 | CO265 | 1.35*LC1 + 1.35*LC2 + 1.5*LC30 + 0.75*LC31 |
| CO218 | 1.35*LC1 + 1.35*LC2 + 0.9*LC9 + 1.5*LC30 | CO266 | 1.35*LC1 + 0.9*LC4 + 1.5*LC30 |
| CO219 | 1.35*LC1 + 1.35*LC2 + 0.9*LC10 + 1.5*LC30 | CO267 | 1.35*LC1 + 0.9*LC5 + 1.5*LC30 |
| CO220 | 1.35*LC1 + 1.35*LC2 + 0.9*LC11 + 1.5*LC30 | CO268 | 1.35*LC1 + 0.9*LC6 + 1.5*LC30 |
| CO221 | 1.35*LC1 + 1.35*LC2 + 0.9*LC12 + 1.5*LC30 | CO269 | 1.35*LC1 + 0.9*LC7 + 1.5*LC30 |

| | | | |
|-------|--|-------|---|
| CO270 | 1.35*LC1 + 0.9*LC8 + 1.5*LC30 | CO318 | 1.35*LC1 + 1.5*LC30 + 0.75*LC31 |
| CO271 | 1.35*LC1 + 0.9*LC9 + 1.5*LC30 | CO319 | 1.35*LC1 + 1.5*LC31 |
| CO272 | 1.35*LC1 + 0.9*LC10 + 1.5*LC30 | CO320 | 1.35*LC1 + 1.35*LC2 + 1.5*LC31 |
| CO273 | 1.35*LC1 + 0.9*LC11 + 1.5*LC30 | CO321 | 1.35*LC1 + 1.35*LC2 + 0.9*LC4 + 1.5*LC31 |
| CO274 | 1.35*LC1 + 0.9*LC12 + 1.5*LC30 | CO322 | 1.35*LC1 + 1.35*LC2 + 0.9*LC5 + 1.5*LC31 |
| CO275 | 1.35*LC1 + 0.9*LC13 + 1.5*LC30 | CO323 | 1.35*LC1 + 1.35*LC2 + 0.9*LC6 + 1.5*LC31 |
| CO276 | 1.35*LC1 + 0.9*LC14 + 1.5*LC30 | CO324 | 1.35*LC1 + 1.35*LC2 + 0.9*LC7 + 1.5*LC31 |
| CO277 | 1.35*LC1 + 0.9*LC15 + 1.5*LC30 | CO325 | 1.35*LC1 + 1.35*LC2 + 0.9*LC8 + 1.5*LC31 |
| CO278 | 1.35*LC1 + 0.9*LC16 + 1.5*LC30 | CO326 | 1.35*LC1 + 1.35*LC2 + 0.9*LC9 + 1.5*LC31 |
| CO279 | 1.35*LC1 + 0.9*LC17 + 1.5*LC30 | CO327 | 1.35*LC1 + 1.35*LC2 + 0.9*LC10 + 1.5*LC31 |
| CO280 | 1.35*LC1 + 0.9*LC18 + 1.5*LC30 | CO328 | 1.35*LC1 + 1.35*LC2 + 0.9*LC11 + 1.5*LC31 |
| CO281 | 1.35*LC1 + 0.9*LC19 + 1.5*LC30 | CO329 | 1.35*LC1 + 1.35*LC2 + 0.9*LC12 + 1.5*LC31 |
| CO282 | 1.35*LC1 + 0.9*LC20 + 1.5*LC30 | CO330 | 1.35*LC1 + 1.35*LC2 + 0.9*LC13 + 1.5*LC31 |
| CO283 | 1.35*LC1 + 0.9*LC21 + 1.5*LC30 | CO331 | 1.35*LC1 + 1.35*LC2 + 0.9*LC14 + 1.5*LC31 |
| CO284 | 1.35*LC1 + 0.9*LC22 + 1.5*LC30 | CO332 | 1.35*LC1 + 1.35*LC2 + 0.9*LC15 + 1.5*LC31 |
| CO285 | 1.35*LC1 + 0.9*LC23 + 1.5*LC30 | CO333 | 1.35*LC1 + 1.35*LC2 + 0.9*LC16 + 1.5*LC31 |
| CO286 | 1.35*LC1 + 0.9*LC24 + 1.5*LC30 | CO334 | 1.35*LC1 + 1.35*LC2 + 0.9*LC17 + 1.5*LC31 |
| CO287 | 1.35*LC1 + 0.9*LC25 + 1.5*LC30 | CO335 | 1.35*LC1 + 1.35*LC2 + 0.9*LC18 + 1.5*LC31 |
| CO288 | 1.35*LC1 + 0.9*LC26 + 1.5*LC30 | CO336 | 1.35*LC1 + 1.35*LC2 + 0.9*LC19 + 1.5*LC31 |
| CO289 | 1.35*LC1 + 0.9*LC27 + 1.5*LC30 | CO337 | 1.35*LC1 + 1.35*LC2 + 0.9*LC20 + 1.5*LC31 |
| CO290 | 1.35*LC1 + 0.9*LC28 + 1.5*LC30 | CO338 | 1.35*LC1 + 1.35*LC2 + 0.9*LC21 + 1.5*LC31 |
| CO291 | 1.35*LC1 + 0.9*LC29 + 1.5*LC30 | CO339 | 1.35*LC1 + 1.35*LC2 + 0.9*LC22 + 1.5*LC31 |
| CO292 | 1.35*LC1 + 0.9*LC4 + 1.5*LC30 + 0.75*LC31 | CO340 | 1.35*LC1 + 1.35*LC2 + 0.9*LC23 + 1.5*LC31 |
| CO293 | 1.35*LC1 + 0.9*LC5 + 1.5*LC30 + 0.75*LC31 | CO341 | 1.35*LC1 + 1.35*LC2 + 0.9*LC24 + 1.5*LC31 |
| CO294 | 1.35*LC1 + 0.9*LC6 + 1.5*LC30 + 0.75*LC31 | CO342 | 1.35*LC1 + 1.35*LC2 + 0.9*LC25 + 1.5*LC31 |
| CO295 | 1.35*LC1 + 0.9*LC7 + 1.5*LC30 + 0.75*LC31 | CO343 | 1.35*LC1 + 1.35*LC2 + 0.9*LC26 + 1.5*LC31 |
| CO296 | 1.35*LC1 + 0.9*LC8 + 1.5*LC30 + 0.75*LC31 | CO344 | 1.35*LC1 + 1.35*LC2 + 0.9*LC27 + 1.5*LC31 |
| CO297 | 1.35*LC1 + 0.9*LC9 + 1.5*LC30 + 0.75*LC31 | CO345 | 1.35*LC1 + 1.35*LC2 + 0.9*LC28 + 1.5*LC31 |
| CO298 | 1.35*LC1 + 0.9*LC10 + 1.5*LC30 + 0.75*LC31 | CO346 | 1.35*LC1 + 1.35*LC2 + 0.9*LC29 + 1.5*LC31 |
| CO299 | 1.35*LC1 + 0.9*LC11 + 1.5*LC30 + 0.75*LC31 | CO347 | 1.35*LC1 + 1.35*LC2 + 0.9*LC4 + 1.05*LC30 + 1.5*LC31 |
| CO300 | 1.35*LC1 + 0.9*LC12 + 1.5*LC30 + 0.75*LC31 | CO348 | 1.35*LC1 + 1.35*LC2 + 0.9*LC5 + 1.05*LC30 + 1.5*LC31 |
| CO301 | 1.35*LC1 + 0.9*LC13 + 1.5*LC30 + 0.75*LC31 | CO349 | 1.35*LC1 + 1.35*LC2 + 0.9*LC6 + 1.05*LC30 + 1.5*LC31 |
| CO302 | 1.35*LC1 + 0.9*LC14 + 1.5*LC30 + 0.75*LC31 | CO350 | 1.35*LC1 + 1.35*LC2 + 0.9*LC7 + 1.05*LC30 + 1.5*LC31 |
| CO303 | 1.35*LC1 + 0.9*LC15 + 1.5*LC30 + 0.75*LC31 | CO351 | 1.35*LC1 + 1.35*LC2 + 0.9*LC8 + 1.05*LC30 + 1.5*LC31 |
| CO304 | 1.35*LC1 + 0.9*LC16 + 1.5*LC30 + 0.75*LC31 | CO352 | 1.35*LC1 + 1.35*LC2 + 0.9*LC9 + 1.05*LC30 + 1.5*LC31 |
| CO305 | 1.35*LC1 + 0.9*LC17 + 1.5*LC30 + 0.75*LC31 | CO353 | 1.35*LC1 + 1.35*LC2 + 0.9*LC10 + 1.05*LC30 + 1.5*LC31 |
| CO306 | 1.35*LC1 + 0.9*LC18 + 1.5*LC30 + 0.75*LC31 | CO354 | 1.35*LC1 + 1.35*LC2 + 0.9*LC11 + 1.05*LC30 + 1.5*LC31 |
| CO307 | 1.35*LC1 + 0.9*LC19 + 1.5*LC30 + 0.75*LC31 | CO355 | 1.35*LC1 + 1.35*LC2 + 0.9*LC12 + 1.05*LC30 + 1.5*LC31 |
| CO308 | 1.35*LC1 + 0.9*LC20 + 1.5*LC30 + 0.75*LC31 | CO356 | 1.35*LC1 + 1.35*LC2 + 0.9*LC13 + 1.05*LC30 + 1.5*LC31 |
| CO309 | 1.35*LC1 + 0.9*LC21 + 1.5*LC30 + 0.75*LC31 | CO357 | 1.35*LC1 + 1.35*LC2 + 0.9*LC14 + 1.05*LC30 + 1.5*LC31 |
| CO310 | 1.35*LC1 + 0.9*LC22 + 1.5*LC30 + 0.75*LC31 | CO358 | 1.35*LC1 + 1.35*LC2 + 0.9*LC15 + 1.05*LC30 + 1.5*LC31 |
| CO311 | 1.35*LC1 + 0.9*LC23 + 1.5*LC30 + 0.75*LC31 | CO359 | 1.35*LC1 + 1.35*LC2 + 0.9*LC16 + 1.05*LC30 + 1.5*LC31 |
| CO312 | 1.35*LC1 + 0.9*LC24 + 1.5*LC30 + 0.75*LC31 | CO360 | 1.35*LC1 + 1.35*LC2 + 0.9*LC17 + 1.05*LC30 + 1.5*LC31 |
| CO313 | 1.35*LC1 + 0.9*LC25 + 1.5*LC30 + 0.75*LC31 | CO361 | 1.35*LC1 + 1.35*LC2 + 0.9*LC18 + 1.05*LC30 + 1.5*LC31 |
| CO314 | 1.35*LC1 + 0.9*LC26 + 1.5*LC30 + 0.75*LC31 | CO362 | 1.35*LC1 + 1.35*LC2 + 0.9*LC19 + 1.05*LC30 + 1.5*LC31 |
| CO315 | 1.35*LC1 + 0.9*LC27 + 1.5*LC30 + 0.75*LC31 | CO363 | 1.35*LC1 + 1.35*LC2 + 0.9*LC20 + 1.05*LC30 + 1.5*LC31 |
| CO316 | 1.35*LC1 + 0.9*LC28 + 1.5*LC30 + 0.75*LC31 | CO364 | 1.35*LC1 + 1.35*LC2 + 0.9*LC21 + 1.05*LC30 + 1.5*LC31 |
| CO317 | 1.35*LC1 + 0.9*LC29 + 1.5*LC30 + 0.75*LC31 | CO365 | 1.35*LC1 + 1.35*LC2 + 0.9*LC22 + 1.05*LC30 + 1.5*LC31 |

| | | | |
|-------|---|-------|--|
| CO366 | 1.35*LC1 + 1.35*LC2 + 0.9*LC23 + 1.05*LC30 + 1.5*LC31 | CO414 | 1.35*LC1 + 0.9*LC18 + 1.05*LC30 + 1.5*LC31 |
| CO367 | 1.35*LC1 + 1.35*LC2 + 0.9*LC24 + 1.05*LC30 + 1.5*LC31 | CO415 | 1.35*LC1 + 0.9*LC19 + 1.05*LC30 + 1.5*LC31 |
| CO368 | 1.35*LC1 + 1.35*LC2 + 0.9*LC25 + 1.05*LC30 + 1.5*LC31 | CO416 | 1.35*LC1 + 0.9*LC20 + 1.05*LC30 + 1.5*LC31 |
| CO369 | 1.35*LC1 + 1.35*LC2 + 0.9*LC26 + 1.05*LC30 + 1.5*LC31 | CO417 | 1.35*LC1 + 0.9*LC21 + 1.05*LC30 + 1.5*LC31 |
| CO370 | 1.35*LC1 + 1.35*LC2 + 0.9*LC27 + 1.05*LC30 + 1.5*LC31 | CO418 | 1.35*LC1 + 0.9*LC22 + 1.05*LC30 + 1.5*LC31 |
| CO371 | 1.35*LC1 + 1.35*LC2 + 0.9*LC28 + 1.05*LC30 + 1.5*LC31 | CO419 | 1.35*LC1 + 0.9*LC23 + 1.05*LC30 + 1.5*LC31 |
| CO372 | 1.35*LC1 + 1.35*LC2 + 0.9*LC29 + 1.05*LC30 + 1.5*LC31 | CO420 | 1.35*LC1 + 0.9*LC24 + 1.05*LC30 + 1.5*LC31 |
| CO373 | 1.35*LC1 + 1.35*LC2 + 1.05*LC30 + 1.5*LC31 | CO421 | 1.35*LC1 + 0.9*LC25 + 1.05*LC30 + 1.5*LC31 |
| CO374 | 1.35*LC1 + 0.9*LC4 + 1.5*LC31 | CO422 | 1.35*LC1 + 0.9*LC26 + 1.05*LC30 + 1.5*LC31 |
| CO375 | 1.35*LC1 + 0.9*LC5 + 1.5*LC31 | CO423 | 1.35*LC1 + 0.9*LC27 + 1.05*LC30 + 1.5*LC31 |
| CO376 | 1.35*LC1 + 0.9*LC6 + 1.5*LC31 | CO424 | 1.35*LC1 + 0.9*LC28 + 1.05*LC30 + 1.5*LC31 |
| CO377 | 1.35*LC1 + 0.9*LC7 + 1.5*LC31 | CO425 | 1.35*LC1 + 0.9*LC29 + 1.05*LC30 + 1.5*LC31 |
| CO378 | 1.35*LC1 + 0.9*LC8 + 1.5*LC31 | CO426 | 1.35*LC1 + 1.05*LC30 + 1.5*LC31 |
| CO379 | 1.35*LC1 + 0.9*LC9 + 1.5*LC31 | CO427 | LC1 |
| CO380 | 1.35*LC1 + 0.9*LC10 + 1.5*LC31 | CO428 | LC1 + 1.35*LC2 |
| CO381 | 1.35*LC1 + 0.9*LC11 + 1.5*LC31 | CO429 | LC1 + 1.5*LC4 |
| CO382 | 1.35*LC1 + 0.9*LC12 + 1.5*LC31 | CO430 | LC1 + 1.5*LC5 |
| CO383 | 1.35*LC1 + 0.9*LC13 + 1.5*LC31 | CO431 | LC1 + 1.5*LC6 |
| CO384 | 1.35*LC1 + 0.9*LC14 + 1.5*LC31 | CO432 | LC1 + 1.5*LC7 |
| CO385 | 1.35*LC1 + 0.9*LC15 + 1.5*LC31 | CO433 | LC1 + 1.5*LC8 |
| CO386 | 1.35*LC1 + 0.9*LC16 + 1.5*LC31 | CO434 | LC1 + 1.5*LC9 |
| CO387 | 1.35*LC1 + 0.9*LC17 + 1.5*LC31 | CO435 | LC1 + 1.5*LC10 |
| CO388 | 1.35*LC1 + 0.9*LC18 + 1.5*LC31 | CO436 | LC1 + 1.5*LC11 |
| CO389 | 1.35*LC1 + 0.9*LC19 + 1.5*LC31 | CO437 | LC1 + 1.5*LC12 |
| CO390 | 1.35*LC1 + 0.9*LC20 + 1.5*LC31 | CO438 | LC1 + 1.5*LC13 |
| CO391 | 1.35*LC1 + 0.9*LC21 + 1.5*LC31 | CO439 | LC1 + 1.5*LC14 |
| CO392 | 1.35*LC1 + 0.9*LC22 + 1.5*LC31 | CO440 | LC1 + 1.5*LC15 |
| CO393 | 1.35*LC1 + 0.9*LC23 + 1.5*LC31 | CO441 | LC1 + 1.5*LC16 |
| CO394 | 1.35*LC1 + 0.9*LC24 + 1.5*LC31 | CO442 | LC1 + 1.5*LC17 |
| CO395 | 1.35*LC1 + 0.9*LC25 + 1.5*LC31 | CO443 | LC1 + 1.5*LC18 |
| CO396 | 1.35*LC1 + 0.9*LC26 + 1.5*LC31 | CO444 | LC1 + 1.5*LC19 |
| CO397 | 1.35*LC1 + 0.9*LC27 + 1.5*LC31 | CO445 | LC1 + 1.5*LC20 |
| CO398 | 1.35*LC1 + 0.9*LC28 + 1.5*LC31 | CO446 | LC1 + 1.5*LC21 |
| CO399 | 1.35*LC1 + 0.9*LC29 + 1.5*LC31 | CO447 | LC1 + 1.5*LC22 |
| CO400 | 1.35*LC1 + 0.9*LC4 + 1.05*LC30 + 1.5*LC31 | CO448 | LC1 + 1.5*LC23 |
| CO401 | 1.35*LC1 + 0.9*LC5 + 1.05*LC30 + 1.5*LC31 | CO449 | LC1 + 1.5*LC24 |
| CO402 | 1.35*LC1 + 0.9*LC6 + 1.05*LC30 + 1.5*LC31 | CO450 | LC1 + 1.5*LC25 |
| CO403 | 1.35*LC1 + 0.9*LC7 + 1.05*LC30 + 1.5*LC31 | CO451 | LC1 + 1.5*LC26 |
| CO404 | 1.35*LC1 + 0.9*LC8 + 1.05*LC30 + 1.5*LC31 | CO452 | LC1 + 1.5*LC27 |
| CO405 | 1.35*LC1 + 0.9*LC9 + 1.05*LC30 + 1.5*LC31 | CO453 | LC1 + 1.5*LC28 |
| CO406 | 1.35*LC1 + 0.9*LC10 + 1.05*LC30 + 1.5*LC31 | CO454 | LC1 + 1.5*LC29 |
| CO407 | 1.35*LC1 + 0.9*LC11 + 1.05*LC30 + 1.5*LC31 | CO455 | LC1 + 1.35*LC2 + 1.5*LC4 |
| CO408 | 1.35*LC1 + 0.9*LC12 + 1.05*LC30 + 1.5*LC31 | CO456 | LC1 + 1.35*LC2 + 1.5*LC5 |
| CO409 | 1.35*LC1 + 0.9*LC13 + 1.05*LC30 + 1.5*LC31 | CO457 | LC1 + 1.35*LC2 + 1.5*LC6 |
| CO410 | 1.35*LC1 + 0.9*LC14 + 1.05*LC30 + 1.5*LC31 | CO458 | LC1 + 1.35*LC2 + 1.5*LC7 |
| CO411 | 1.35*LC1 + 0.9*LC15 + 1.05*LC30 + 1.5*LC31 | CO459 | LC1 + 1.35*LC2 + 1.5*LC8 |
| CO412 | 1.35*LC1 + 0.9*LC16 + 1.05*LC30 + 1.5*LC31 | CO460 | LC1 + 1.35*LC2 + 1.5*LC9 |
| CO413 | 1.35*LC1 + 0.9*LC17 + 1.05*LC30 + 1.5*LC31 | CO461 | LC1 + 1.35*LC2 + 1.5*LC10 |

| | | | |
|-------|--|-------|---|
| CO462 | LC1 + 1.35*LC2 + 1.5*LC11 | CO510 | LC1 + 1.35*LC2 + 1.5*LC7 + 1.05*LC30 + 0.75*LC31 |
| CO463 | LC1 + 1.35*LC2 + 1.5*LC12 | CO511 | LC1 + 1.35*LC2 + 1.5*LC8 + 1.05*LC30 + 0.75*LC31 |
| CO464 | LC1 + 1.35*LC2 + 1.5*LC13 | CO512 | LC1 + 1.35*LC2 + 1.5*LC9 + 1.05*LC30 + 0.75*LC31 |
| CO465 | LC1 + 1.35*LC2 + 1.5*LC14 | CO513 | LC1 + 1.35*LC2 + 1.5*LC10 + 1.05*LC30 + 0.75*LC31 |
| CO466 | LC1 + 1.35*LC2 + 1.5*LC15 | CO514 | LC1 + 1.35*LC2 + 1.5*LC11 + 1.05*LC30 + 0.75*LC31 |
| CO467 | LC1 + 1.35*LC2 + 1.5*LC16 | CO515 | LC1 + 1.35*LC2 + 1.5*LC12 + 1.05*LC30 + 0.75*LC31 |
| CO468 | LC1 + 1.35*LC2 + 1.5*LC17 | CO516 | LC1 + 1.35*LC2 + 1.5*LC13 + 1.05*LC30 + 0.75*LC31 |
| CO469 | LC1 + 1.35*LC2 + 1.5*LC18 | CO517 | LC1 + 1.35*LC2 + 1.5*LC14 + 1.05*LC30 + 0.75*LC31 |
| CO470 | LC1 + 1.35*LC2 + 1.5*LC19 | CO518 | LC1 + 1.35*LC2 + 1.5*LC15 + 1.05*LC30 + 0.75*LC31 |
| CO471 | LC1 + 1.35*LC2 + 1.5*LC20 | CO519 | LC1 + 1.35*LC2 + 1.5*LC16 + 1.05*LC30 + 0.75*LC31 |
| CO472 | LC1 + 1.35*LC2 + 1.5*LC21 | CO520 | LC1 + 1.35*LC2 + 1.5*LC17 + 1.05*LC30 + 0.75*LC31 |
| CO473 | LC1 + 1.35*LC2 + 1.5*LC22 | CO521 | LC1 + 1.35*LC2 + 1.5*LC18 + 1.05*LC30 + 0.75*LC31 |
| CO474 | LC1 + 1.35*LC2 + 1.5*LC23 | CO522 | LC1 + 1.35*LC2 + 1.5*LC19 + 1.05*LC30 + 0.75*LC31 |
| CO475 | LC1 + 1.35*LC2 + 1.5*LC24 | CO523 | LC1 + 1.35*LC2 + 1.5*LC20 + 1.05*LC30 + 0.75*LC31 |
| CO476 | LC1 + 1.35*LC2 + 1.5*LC25 | CO524 | LC1 + 1.35*LC2 + 1.5*LC21 + 1.05*LC30 + 0.75*LC31 |
| CO477 | LC1 + 1.35*LC2 + 1.5*LC26 | CO525 | LC1 + 1.35*LC2 + 1.5*LC22 + 1.05*LC30 + 0.75*LC31 |
| CO478 | LC1 + 1.35*LC2 + 1.5*LC27 | CO526 | LC1 + 1.35*LC2 + 1.5*LC23 + 1.05*LC30 + 0.75*LC31 |
| CO479 | LC1 + 1.35*LC2 + 1.5*LC28 | CO527 | LC1 + 1.35*LC2 + 1.5*LC24 + 1.05*LC30 + 0.75*LC31 |
| CO480 | LC1 + 1.35*LC2 + 1.5*LC29 | CO528 | LC1 + 1.35*LC2 + 1.5*LC25 + 1.05*LC30 + 0.75*LC31 |
| CO481 | LC1 + 1.35*LC2 + 1.5*LC4 + 1.05*LC30 | CO529 | LC1 + 1.35*LC2 + 1.5*LC26 + 1.05*LC30 + 0.75*LC31 |
| CO482 | LC1 + 1.35*LC2 + 1.5*LC5 + 1.05*LC30 | CO530 | LC1 + 1.35*LC2 + 1.5*LC27 + 1.05*LC30 + 0.75*LC31 |
| CO483 | LC1 + 1.35*LC2 + 1.5*LC6 + 1.05*LC30 | CO531 | LC1 + 1.35*LC2 + 1.5*LC28 + 1.05*LC30 + 0.75*LC31 |
| CO484 | LC1 + 1.35*LC2 + 1.5*LC7 + 1.05*LC30 | CO532 | LC1 + 1.35*LC2 + 1.5*LC29 + 1.05*LC30 + 0.75*LC31 |
| CO485 | LC1 + 1.35*LC2 + 1.5*LC8 + 1.05*LC30 | CO533 | LC1 + 1.35*LC2 + 1.5*LC4 + 0.75*LC31 |
| CO486 | LC1 + 1.35*LC2 + 1.5*LC9 + 1.05*LC30 | CO534 | LC1 + 1.35*LC2 + 1.5*LC5 + 0.75*LC31 |
| CO487 | LC1 + 1.35*LC2 + 1.5*LC10 + 1.05*LC30 | CO535 | LC1 + 1.35*LC2 + 1.5*LC6 + 0.75*LC31 |
| CO488 | LC1 + 1.35*LC2 + 1.5*LC11 + 1.05*LC30 | CO536 | LC1 + 1.35*LC2 + 1.5*LC7 + 0.75*LC31 |
| CO489 | LC1 + 1.35*LC2 + 1.5*LC12 + 1.05*LC30 | CO537 | LC1 + 1.35*LC2 + 1.5*LC8 + 0.75*LC31 |
| CO490 | LC1 + 1.35*LC2 + 1.5*LC13 + 1.05*LC30 | CO538 | LC1 + 1.35*LC2 + 1.5*LC9 + 0.75*LC31 |
| CO491 | LC1 + 1.35*LC2 + 1.5*LC14 + 1.05*LC30 | CO539 | LC1 + 1.35*LC2 + 1.5*LC10 + 0.75*LC31 |
| CO492 | LC1 + 1.35*LC2 + 1.5*LC15 + 1.05*LC30 | CO540 | LC1 + 1.35*LC2 + 1.5*LC11 + 0.75*LC31 |
| CO493 | LC1 + 1.35*LC2 + 1.5*LC16 + 1.05*LC30 | CO541 | LC1 + 1.35*LC2 + 1.5*LC12 + 0.75*LC31 |
| CO494 | LC1 + 1.35*LC2 + 1.5*LC17 + 1.05*LC30 | CO542 | LC1 + 1.35*LC2 + 1.5*LC13 + 0.75*LC31 |
| CO495 | LC1 + 1.35*LC2 + 1.5*LC18 + 1.05*LC30 | CO543 | LC1 + 1.35*LC2 + 1.5*LC14 + 0.75*LC31 |
| CO496 | LC1 + 1.35*LC2 + 1.5*LC19 + 1.05*LC30 | CO544 | LC1 + 1.35*LC2 + 1.5*LC15 + 0.75*LC31 |
| CO497 | LC1 + 1.35*LC2 + 1.5*LC20 + 1.05*LC30 | CO545 | LC1 + 1.35*LC2 + 1.5*LC16 + 0.75*LC31 |
| CO498 | LC1 + 1.35*LC2 + 1.5*LC21 + 1.05*LC30 | CO546 | LC1 + 1.35*LC2 + 1.5*LC17 + 0.75*LC31 |
| CO499 | LC1 + 1.35*LC2 + 1.5*LC22 + 1.05*LC30 | CO547 | LC1 + 1.35*LC2 + 1.5*LC18 + 0.75*LC31 |
| CO500 | LC1 + 1.35*LC2 + 1.5*LC23 + 1.05*LC30 | CO548 | LC1 + 1.35*LC2 + 1.5*LC19 + 0.75*LC31 |
| CO501 | LC1 + 1.35*LC2 + 1.5*LC24 + 1.05*LC30 | CO549 | LC1 + 1.35*LC2 + 1.5*LC20 + 0.75*LC31 |
| CO502 | LC1 + 1.35*LC2 + 1.5*LC25 + 1.05*LC30 | CO550 | LC1 + 1.35*LC2 + 1.5*LC21 + 0.75*LC31 |
| CO503 | LC1 + 1.35*LC2 + 1.5*LC26 + 1.05*LC30 | CO551 | LC1 + 1.35*LC2 + 1.5*LC22 + 0.75*LC31 |
| CO504 | LC1 + 1.35*LC2 + 1.5*LC27 + 1.05*LC30 | CO552 | LC1 + 1.35*LC2 + 1.5*LC23 + 0.75*LC31 |
| CO505 | LC1 + 1.35*LC2 + 1.5*LC28 + 1.05*LC30 | CO553 | LC1 + 1.35*LC2 + 1.5*LC24 + 0.75*LC31 |
| CO506 | LC1 + 1.35*LC2 + 1.5*LC29 + 1.05*LC30 | CO554 | LC1 + 1.35*LC2 + 1.5*LC25 + 0.75*LC31 |
| CO507 | LC1 + 1.35*LC2 + 1.5*LC4 + 1.05*LC30 + 0.75*LC31 | CO555 | LC1 + 1.35*LC2 + 1.5*LC26 + 0.75*LC31 |
| CO508 | LC1 + 1.35*LC2 + 1.5*LC5 + 1.05*LC30 + 0.75*LC31 | CO556 | LC1 + 1.35*LC2 + 1.5*LC27 + 0.75*LC31 |
| CO509 | LC1 + 1.35*LC2 + 1.5*LC6 + 1.05*LC30 + 0.75*LC31 | CO557 | LC1 + 1.35*LC2 + 1.5*LC28 + 0.75*LC31 |

| | | | |
|-------|--|-------|--|
| CO558 | LC1 + 1.35*LC2 + 1.5*LC29 + 0.75*LC31 | CO606 | LC1 + 1.5*LC25 + 1.05*LC30 + 0.75*LC31 |
| CO559 | LC1 + 1.5*LC4 + 1.05*LC30 | CO607 | LC1 + 1.5*LC26 + 1.05*LC30 + 0.75*LC31 |
| CO560 | LC1 + 1.5*LC5 + 1.05*LC30 | CO608 | LC1 + 1.5*LC27 + 1.05*LC30 + 0.75*LC31 |
| CO561 | LC1 + 1.5*LC6 + 1.05*LC30 | CO609 | LC1 + 1.5*LC28 + 1.05*LC30 + 0.75*LC31 |
| CO562 | LC1 + 1.5*LC7 + 1.05*LC30 | CO610 | LC1 + 1.5*LC29 + 1.05*LC30 + 0.75*LC31 |
| CO563 | LC1 + 1.5*LC8 + 1.05*LC30 | CO611 | LC1 + 1.5*LC4 + 0.75*LC31 |
| CO564 | LC1 + 1.5*LC9 + 1.05*LC30 | CO612 | LC1 + 1.5*LC5 + 0.75*LC31 |
| CO565 | LC1 + 1.5*LC10 + 1.05*LC30 | CO613 | LC1 + 1.5*LC6 + 0.75*LC31 |
| CO566 | LC1 + 1.5*LC11 + 1.05*LC30 | CO614 | LC1 + 1.5*LC7 + 0.75*LC31 |
| CO567 | LC1 + 1.5*LC12 + 1.05*LC30 | CO615 | LC1 + 1.5*LC8 + 0.75*LC31 |
| CO568 | LC1 + 1.5*LC13 + 1.05*LC30 | CO616 | LC1 + 1.5*LC9 + 0.75*LC31 |
| CO569 | LC1 + 1.5*LC14 + 1.05*LC30 | CO617 | LC1 + 1.5*LC10 + 0.75*LC31 |
| CO570 | LC1 + 1.5*LC15 + 1.05*LC30 | CO618 | LC1 + 1.5*LC11 + 0.75*LC31 |
| CO571 | LC1 + 1.5*LC16 + 1.05*LC30 | CO619 | LC1 + 1.5*LC12 + 0.75*LC31 |
| CO572 | LC1 + 1.5*LC17 + 1.05*LC30 | CO620 | LC1 + 1.5*LC13 + 0.75*LC31 |
| CO573 | LC1 + 1.5*LC18 + 1.05*LC30 | CO621 | LC1 + 1.5*LC14 + 0.75*LC31 |
| CO574 | LC1 + 1.5*LC19 + 1.05*LC30 | CO622 | LC1 + 1.5*LC15 + 0.75*LC31 |
| CO575 | LC1 + 1.5*LC20 + 1.05*LC30 | CO623 | LC1 + 1.5*LC16 + 0.75*LC31 |
| CO576 | LC1 + 1.5*LC21 + 1.05*LC30 | CO624 | LC1 + 1.5*LC17 + 0.75*LC31 |
| CO577 | LC1 + 1.5*LC22 + 1.05*LC30 | CO625 | LC1 + 1.5*LC18 + 0.75*LC31 |
| CO578 | LC1 + 1.5*LC23 + 1.05*LC30 | CO626 | LC1 + 1.5*LC19 + 0.75*LC31 |
| CO579 | LC1 + 1.5*LC24 + 1.05*LC30 | CO627 | LC1 + 1.5*LC20 + 0.75*LC31 |
| CO580 | LC1 + 1.5*LC25 + 1.05*LC30 | CO628 | LC1 + 1.5*LC21 + 0.75*LC31 |
| CO581 | LC1 + 1.5*LC26 + 1.05*LC30 | CO629 | LC1 + 1.5*LC22 + 0.75*LC31 |
| CO582 | LC1 + 1.5*LC27 + 1.05*LC30 | CO630 | LC1 + 1.5*LC23 + 0.75*LC31 |
| CO583 | LC1 + 1.5*LC28 + 1.05*LC30 | CO631 | LC1 + 1.5*LC24 + 0.75*LC31 |
| CO584 | LC1 + 1.5*LC29 + 1.05*LC30 | CO632 | LC1 + 1.5*LC25 + 0.75*LC31 |
| CO585 | LC1 + 1.5*LC4 + 1.05*LC30 + 0.75*LC31 | CO633 | LC1 + 1.5*LC26 + 0.75*LC31 |
| CO586 | LC1 + 1.5*LC5 + 1.05*LC30 + 0.75*LC31 | CO634 | LC1 + 1.5*LC27 + 0.75*LC31 |
| CO587 | LC1 + 1.5*LC6 + 1.05*LC30 + 0.75*LC31 | CO635 | LC1 + 1.5*LC28 + 0.75*LC31 |
| CO588 | LC1 + 1.5*LC7 + 1.05*LC30 + 0.75*LC31 | CO636 | LC1 + 1.5*LC29 + 0.75*LC31 |
| CO589 | LC1 + 1.5*LC8 + 1.05*LC30 + 0.75*LC31 | CO637 | LC1 + 1.5*LC30 |
| CO590 | LC1 + 1.5*LC9 + 1.05*LC30 + 0.75*LC31 | CO638 | LC1 + 1.35*LC2 + 1.5*LC30 |
| CO591 | LC1 + 1.5*LC10 + 1.05*LC30 + 0.75*LC31 | CO639 | LC1 + 1.35*LC2 + 0.9*LC4 + 1.5*LC30 |
| CO592 | LC1 + 1.5*LC11 + 1.05*LC30 + 0.75*LC31 | CO640 | LC1 + 1.35*LC2 + 0.9*LC5 + 1.5*LC30 |
| CO593 | LC1 + 1.5*LC12 + 1.05*LC30 + 0.75*LC31 | CO641 | LC1 + 1.35*LC2 + 0.9*LC6 + 1.5*LC30 |
| CO594 | LC1 + 1.5*LC13 + 1.05*LC30 + 0.75*LC31 | CO642 | LC1 + 1.35*LC2 + 0.9*LC7 + 1.5*LC30 |
| CO595 | LC1 + 1.5*LC14 + 1.05*LC30 + 0.75*LC31 | CO643 | LC1 + 1.35*LC2 + 0.9*LC8 + 1.5*LC30 |
| CO596 | LC1 + 1.5*LC15 + 1.05*LC30 + 0.75*LC31 | CO644 | LC1 + 1.35*LC2 + 0.9*LC9 + 1.5*LC30 |
| CO597 | LC1 + 1.5*LC16 + 1.05*LC30 + 0.75*LC31 | CO645 | LC1 + 1.35*LC2 + 0.9*LC10 + 1.5*LC30 |
| CO598 | LC1 + 1.5*LC17 + 1.05*LC30 + 0.75*LC31 | CO646 | LC1 + 1.35*LC2 + 0.9*LC11 + 1.5*LC30 |
| CO599 | LC1 + 1.5*LC18 + 1.05*LC30 + 0.75*LC31 | CO647 | LC1 + 1.35*LC2 + 0.9*LC12 + 1.5*LC30 |
| CO600 | LC1 + 1.5*LC19 + 1.05*LC30 + 0.75*LC31 | CO648 | LC1 + 1.35*LC2 + 0.9*LC13 + 1.5*LC30 |
| CO601 | LC1 + 1.5*LC20 + 1.05*LC30 + 0.75*LC31 | CO649 | LC1 + 1.35*LC2 + 0.9*LC14 + 1.5*LC30 |
| CO602 | LC1 + 1.5*LC21 + 1.05*LC30 + 0.75*LC31 | CO650 | LC1 + 1.35*LC2 + 0.9*LC15 + 1.5*LC30 |
| CO603 | LC1 + 1.5*LC22 + 1.05*LC30 + 0.75*LC31 | CO651 | LC1 + 1.35*LC2 + 0.9*LC16 + 1.5*LC30 |
| CO604 | LC1 + 1.5*LC23 + 1.05*LC30 + 0.75*LC31 | CO652 | LC1 + 1.35*LC2 + 0.9*LC17 + 1.5*LC30 |
| CO605 | LC1 + 1.5*LC24 + 1.05*LC30 + 0.75*LC31 | CO653 | LC1 + 1.35*LC2 + 0.9*LC18 + 1.5*LC30 |

| | | | |
|-------|--|-------|---------------------------------------|
| CO654 | LC1 + 1.35*LC2 + 0.9*LC19 + 1.5*LC30 | CO702 | LC1 + 0.9*LC14 + 1.5*LC30 |
| CO655 | LC1 + 1.35*LC2 + 0.9*LC20 + 1.5*LC30 | CO703 | LC1 + 0.9*LC15 + 1.5*LC30 |
| CO656 | LC1 + 1.35*LC2 + 0.9*LC21 + 1.5*LC30 | CO704 | LC1 + 0.9*LC16 + 1.5*LC30 |
| CO657 | LC1 + 1.35*LC2 + 0.9*LC22 + 1.5*LC30 | CO705 | LC1 + 0.9*LC17 + 1.5*LC30 |
| CO658 | LC1 + 1.35*LC2 + 0.9*LC23 + 1.5*LC30 | CO706 | LC1 + 0.9*LC18 + 1.5*LC30 |
| CO659 | LC1 + 1.35*LC2 + 0.9*LC24 + 1.5*LC30 | CO707 | LC1 + 0.9*LC19 + 1.5*LC30 |
| CO660 | LC1 + 1.35*LC2 + 0.9*LC25 + 1.5*LC30 | CO708 | LC1 + 0.9*LC20 + 1.5*LC30 |
| CO661 | LC1 + 1.35*LC2 + 0.9*LC26 + 1.5*LC30 | CO709 | LC1 + 0.9*LC21 + 1.5*LC30 |
| CO662 | LC1 + 1.35*LC2 + 0.9*LC27 + 1.5*LC30 | CO710 | LC1 + 0.9*LC22 + 1.5*LC30 |
| CO663 | LC1 + 1.35*LC2 + 0.9*LC28 + 1.5*LC30 | CO711 | LC1 + 0.9*LC23 + 1.5*LC30 |
| CO664 | LC1 + 1.35*LC2 + 0.9*LC29 + 1.5*LC30 | CO712 | LC1 + 0.9*LC24 + 1.5*LC30 |
| CO665 | LC1 + 1.35*LC2 + 0.9*LC4 + 1.5*LC30 + 0.75*LC31 | CO713 | LC1 + 0.9*LC25 + 1.5*LC30 |
| CO666 | LC1 + 1.35*LC2 + 0.9*LC5 + 1.5*LC30 + 0.75*LC31 | CO714 | LC1 + 0.9*LC26 + 1.5*LC30 |
| CO667 | LC1 + 1.35*LC2 + 0.9*LC6 + 1.5*LC30 + 0.75*LC31 | CO715 | LC1 + 0.9*LC27 + 1.5*LC30 |
| CO668 | LC1 + 1.35*LC2 + 0.9*LC7 + 1.5*LC30 + 0.75*LC31 | CO716 | LC1 + 0.9*LC28 + 1.5*LC30 |
| CO669 | LC1 + 1.35*LC2 + 0.9*LC8 + 1.5*LC30 + 0.75*LC31 | CO717 | LC1 + 0.9*LC29 + 1.5*LC30 |
| CO670 | LC1 + 1.35*LC2 + 0.9*LC9 + 1.5*LC30 + 0.75*LC31 | CO718 | LC1 + 0.9*LC4 + 1.5*LC30 + 0.75*LC31 |
| CO671 | LC1 + 1.35*LC2 + 0.9*LC10 + 1.5*LC30 + 0.75*LC31 | CO719 | LC1 + 0.9*LC5 + 1.5*LC30 + 0.75*LC31 |
| CO672 | LC1 + 1.35*LC2 + 0.9*LC11 + 1.5*LC30 + 0.75*LC31 | CO720 | LC1 + 0.9*LC6 + 1.5*LC30 + 0.75*LC31 |
| CO673 | LC1 + 1.35*LC2 + 0.9*LC12 + 1.5*LC30 + 0.75*LC31 | CO721 | LC1 + 0.9*LC7 + 1.5*LC30 + 0.75*LC31 |
| CO674 | LC1 + 1.35*LC2 + 0.9*LC13 + 1.5*LC30 + 0.75*LC31 | CO722 | LC1 + 0.9*LC8 + 1.5*LC30 + 0.75*LC31 |
| CO675 | LC1 + 1.35*LC2 + 0.9*LC14 + 1.5*LC30 + 0.75*LC31 | CO723 | LC1 + 0.9*LC9 + 1.5*LC30 + 0.75*LC31 |
| CO676 | LC1 + 1.35*LC2 + 0.9*LC15 + 1.5*LC30 + 0.75*LC31 | CO724 | LC1 + 0.9*LC10 + 1.5*LC30 + 0.75*LC31 |
| CO677 | LC1 + 1.35*LC2 + 0.9*LC16 + 1.5*LC30 + 0.75*LC31 | CO725 | LC1 + 0.9*LC11 + 1.5*LC30 + 0.75*LC31 |
| CO678 | LC1 + 1.35*LC2 + 0.9*LC17 + 1.5*LC30 + 0.75*LC31 | CO726 | LC1 + 0.9*LC12 + 1.5*LC30 + 0.75*LC31 |
| CO679 | LC1 + 1.35*LC2 + 0.9*LC18 + 1.5*LC30 + 0.75*LC31 | CO727 | LC1 + 0.9*LC13 + 1.5*LC30 + 0.75*LC31 |
| CO680 | LC1 + 1.35*LC2 + 0.9*LC19 + 1.5*LC30 + 0.75*LC31 | CO728 | LC1 + 0.9*LC14 + 1.5*LC30 + 0.75*LC31 |
| CO681 | LC1 + 1.35*LC2 + 0.9*LC20 + 1.5*LC30 + 0.75*LC31 | CO729 | LC1 + 0.9*LC15 + 1.5*LC30 + 0.75*LC31 |
| CO682 | LC1 + 1.35*LC2 + 0.9*LC21 + 1.5*LC30 + 0.75*LC31 | CO730 | LC1 + 0.9*LC16 + 1.5*LC30 + 0.75*LC31 |
| CO683 | LC1 + 1.35*LC2 + 0.9*LC22 + 1.5*LC30 + 0.75*LC31 | CO731 | LC1 + 0.9*LC17 + 1.5*LC30 + 0.75*LC31 |
| CO684 | LC1 + 1.35*LC2 + 0.9*LC23 + 1.5*LC30 + 0.75*LC31 | CO732 | LC1 + 0.9*LC18 + 1.5*LC30 + 0.75*LC31 |
| CO685 | LC1 + 1.35*LC2 + 0.9*LC24 + 1.5*LC30 + 0.75*LC31 | CO733 | LC1 + 0.9*LC19 + 1.5*LC30 + 0.75*LC31 |
| CO686 | LC1 + 1.35*LC2 + 0.9*LC25 + 1.5*LC30 + 0.75*LC31 | CO734 | LC1 + 0.9*LC20 + 1.5*LC30 + 0.75*LC31 |
| CO687 | LC1 + 1.35*LC2 + 0.9*LC26 + 1.5*LC30 + 0.75*LC31 | CO735 | LC1 + 0.9*LC21 + 1.5*LC30 + 0.75*LC31 |
| CO688 | LC1 + 1.35*LC2 + 0.9*LC27 + 1.5*LC30 + 0.75*LC31 | CO736 | LC1 + 0.9*LC22 + 1.5*LC30 + 0.75*LC31 |
| CO689 | LC1 + 1.35*LC2 + 0.9*LC28 + 1.5*LC30 + 0.75*LC31 | CO737 | LC1 + 0.9*LC23 + 1.5*LC30 + 0.75*LC31 |
| CO690 | LC1 + 1.35*LC2 + 0.9*LC29 + 1.5*LC30 + 0.75*LC31 | CO738 | LC1 + 0.9*LC24 + 1.5*LC30 + 0.75*LC31 |
| CO691 | LC1 + 1.35*LC2 + 1.5*LC30 + 0.75*LC31 | CO739 | LC1 + 0.9*LC25 + 1.5*LC30 + 0.75*LC31 |
| CO692 | LC1 + 0.9*LC4 + 1.5*LC30 | CO740 | LC1 + 0.9*LC26 + 1.5*LC30 + 0.75*LC31 |
| CO693 | LC1 + 0.9*LC5 + 1.5*LC30 | CO741 | LC1 + 0.9*LC27 + 1.5*LC30 + 0.75*LC31 |
| CO694 | LC1 + 0.9*LC6 + 1.5*LC30 | CO742 | LC1 + 0.9*LC28 + 1.5*LC30 + 0.75*LC31 |
| CO695 | LC1 + 0.9*LC7 + 1.5*LC30 | CO743 | LC1 + 0.9*LC29 + 1.5*LC30 + 0.75*LC31 |
| CO696 | LC1 + 0.9*LC8 + 1.5*LC30 | CO744 | LC1 + 1.5*LC30 + 0.75*LC31 |
| CO697 | LC1 + 0.9*LC9 + 1.5*LC30 | CO745 | LC1 + 1.5*LC31 |
| CO698 | LC1 + 0.9*LC10 + 1.5*LC30 | CO746 | LC1 + 1.35*LC2 + 1.5*LC31 |
| CO699 | LC1 + 0.9*LC11 + 1.5*LC30 | CO747 | LC1 + 1.35*LC2 + 0.9*LC4 + 1.5*LC31 |
| CO700 | LC1 + 0.9*LC12 + 1.5*LC30 | CO748 | LC1 + 1.35*LC2 + 0.9*LC5 + 1.5*LC31 |
| CO701 | LC1 + 0.9*LC13 + 1.5*LC30 | CO749 | LC1 + 1.35*LC2 + 0.9*LC6 + 1.5*LC31 |

| | | | |
|-------|--|-------|--|
| C0750 | LC1 + 1.35*LC2 + 0.9*LC7 + 1.5*LC31 | C0798 | LC1 + 1.35*LC2 + 0.9*LC29 + 1.05*LC30 + 1.5*LC31 |
| C0751 | LC1 + 1.35*LC2 + 0.9*LC8 + 1.5*LC31 | C0799 | LC1 + 1.35*LC2 + 1.05*LC30 + 1.5*LC31 |
| C0752 | LC1 + 1.35*LC2 + 0.9*LC9 + 1.5*LC31 | C0800 | LC1 + 0.9*LC4 + 1.5*LC31 |
| C0753 | LC1 + 1.35*LC2 + 0.9*LC10 + 1.5*LC31 | C0801 | LC1 + 0.9*LC5 + 1.5*LC31 |
| C0754 | LC1 + 1.35*LC2 + 0.9*LC11 + 1.5*LC31 | C0802 | LC1 + 0.9*LC6 + 1.5*LC31 |
| C0755 | LC1 + 1.35*LC2 + 0.9*LC12 + 1.5*LC31 | C0803 | LC1 + 0.9*LC7 + 1.5*LC31 |
| C0756 | LC1 + 1.35*LC2 + 0.9*LC13 + 1.5*LC31 | C0804 | LC1 + 0.9*LC8 + 1.5*LC31 |
| C0757 | LC1 + 1.35*LC2 + 0.9*LC14 + 1.5*LC31 | C0805 | LC1 + 0.9*LC9 + 1.5*LC31 |
| C0758 | LC1 + 1.35*LC2 + 0.9*LC15 + 1.5*LC31 | C0806 | LC1 + 0.9*LC10 + 1.5*LC31 |
| C0759 | LC1 + 1.35*LC2 + 0.9*LC16 + 1.5*LC31 | C0807 | LC1 + 0.9*LC11 + 1.5*LC31 |
| C0760 | LC1 + 1.35*LC2 + 0.9*LC17 + 1.5*LC31 | C0808 | LC1 + 0.9*LC12 + 1.5*LC31 |
| C0761 | LC1 + 1.35*LC2 + 0.9*LC18 + 1.5*LC31 | C0809 | LC1 + 0.9*LC13 + 1.5*LC31 |
| C0762 | LC1 + 1.35*LC2 + 0.9*LC19 + 1.5*LC31 | C0810 | LC1 + 0.9*LC14 + 1.5*LC31 |
| C0763 | LC1 + 1.35*LC2 + 0.9*LC20 + 1.5*LC31 | C0811 | LC1 + 0.9*LC15 + 1.5*LC31 |
| C0764 | LC1 + 1.35*LC2 + 0.9*LC21 + 1.5*LC31 | C0812 | LC1 + 0.9*LC16 + 1.5*LC31 |
| C0765 | LC1 + 1.35*LC2 + 0.9*LC22 + 1.5*LC31 | C0813 | LC1 + 0.9*LC17 + 1.5*LC31 |
| C0766 | LC1 + 1.35*LC2 + 0.9*LC23 + 1.5*LC31 | C0814 | LC1 + 0.9*LC18 + 1.5*LC31 |
| C0767 | LC1 + 1.35*LC2 + 0.9*LC24 + 1.5*LC31 | C0815 | LC1 + 0.9*LC19 + 1.5*LC31 |
| C0768 | LC1 + 1.35*LC2 + 0.9*LC25 + 1.5*LC31 | C0816 | LC1 + 0.9*LC20 + 1.5*LC31 |
| C0769 | LC1 + 1.35*LC2 + 0.9*LC26 + 1.5*LC31 | C0817 | LC1 + 0.9*LC21 + 1.5*LC31 |
| C0770 | LC1 + 1.35*LC2 + 0.9*LC27 + 1.5*LC31 | C0818 | LC1 + 0.9*LC22 + 1.5*LC31 |
| C0771 | LC1 + 1.35*LC2 + 0.9*LC28 + 1.5*LC31 | C0819 | LC1 + 0.9*LC23 + 1.5*LC31 |
| C0772 | LC1 + 1.35*LC2 + 0.9*LC29 + 1.5*LC31 | C0820 | LC1 + 0.9*LC24 + 1.5*LC31 |
| C0773 | LC1 + 1.35*LC2 + 0.9*LC4 + 1.05*LC30 + 1.5*LC31 | C0821 | LC1 + 0.9*LC25 + 1.5*LC31 |
| C0774 | LC1 + 1.35*LC2 + 0.9*LC5 + 1.05*LC30 + 1.5*LC31 | C0822 | LC1 + 0.9*LC26 + 1.5*LC31 |
| C0775 | LC1 + 1.35*LC2 + 0.9*LC6 + 1.05*LC30 + 1.5*LC31 | C0823 | LC1 + 0.9*LC27 + 1.5*LC31 |
| C0776 | LC1 + 1.35*LC2 + 0.9*LC7 + 1.05*LC30 + 1.5*LC31 | C0824 | LC1 + 0.9*LC28 + 1.5*LC31 |
| C0777 | LC1 + 1.35*LC2 + 0.9*LC8 + 1.05*LC30 + 1.5*LC31 | C0825 | LC1 + 0.9*LC29 + 1.5*LC31 |
| C0778 | LC1 + 1.35*LC2 + 0.9*LC9 + 1.05*LC30 + 1.5*LC31 | C0826 | LC1 + 0.9*LC4 + 1.05*LC30 + 1.5*LC31 |
| C0779 | LC1 + 1.35*LC2 + 0.9*LC10 + 1.05*LC30 + 1.5*LC31 | C0827 | LC1 + 0.9*LC5 + 1.05*LC30 + 1.5*LC31 |
| C0780 | LC1 + 1.35*LC2 + 0.9*LC11 + 1.05*LC30 + 1.5*LC31 | C0828 | LC1 + 0.9*LC6 + 1.05*LC30 + 1.5*LC31 |
| C0781 | LC1 + 1.35*LC2 + 0.9*LC12 + 1.05*LC30 + 1.5*LC31 | C0829 | LC1 + 0.9*LC7 + 1.05*LC30 + 1.5*LC31 |
| C0782 | LC1 + 1.35*LC2 + 0.9*LC13 + 1.05*LC30 + 1.5*LC31 | C0830 | LC1 + 0.9*LC8 + 1.05*LC30 + 1.5*LC31 |
| C0783 | LC1 + 1.35*LC2 + 0.9*LC14 + 1.05*LC30 + 1.5*LC31 | C0831 | LC1 + 0.9*LC9 + 1.05*LC30 + 1.5*LC31 |
| C0784 | LC1 + 1.35*LC2 + 0.9*LC15 + 1.05*LC30 + 1.5*LC31 | C0832 | LC1 + 0.9*LC10 + 1.05*LC30 + 1.5*LC31 |
| C0785 | LC1 + 1.35*LC2 + 0.9*LC16 + 1.05*LC30 + 1.5*LC31 | C0833 | LC1 + 0.9*LC11 + 1.05*LC30 + 1.5*LC31 |
| C0786 | LC1 + 1.35*LC2 + 0.9*LC17 + 1.05*LC30 + 1.5*LC31 | C0834 | LC1 + 0.9*LC12 + 1.05*LC30 + 1.5*LC31 |
| C0787 | LC1 + 1.35*LC2 + 0.9*LC18 + 1.05*LC30 + 1.5*LC31 | C0835 | LC1 + 0.9*LC13 + 1.05*LC30 + 1.5*LC31 |
| C0788 | LC1 + 1.35*LC2 + 0.9*LC19 + 1.05*LC30 + 1.5*LC31 | C0836 | LC1 + 0.9*LC14 + 1.05*LC30 + 1.5*LC31 |
| C0789 | LC1 + 1.35*LC2 + 0.9*LC20 + 1.05*LC30 + 1.5*LC31 | C0837 | LC1 + 0.9*LC15 + 1.05*LC30 + 1.5*LC31 |
| C0790 | LC1 + 1.35*LC2 + 0.9*LC21 + 1.05*LC30 + 1.5*LC31 | C0838 | LC1 + 0.9*LC16 + 1.05*LC30 + 1.5*LC31 |
| C0791 | LC1 + 1.35*LC2 + 0.9*LC22 + 1.05*LC30 + 1.5*LC31 | C0839 | LC1 + 0.9*LC17 + 1.05*LC30 + 1.5*LC31 |
| C0792 | LC1 + 1.35*LC2 + 0.9*LC23 + 1.05*LC30 + 1.5*LC31 | C0840 | LC1 + 0.9*LC18 + 1.05*LC30 + 1.5*LC31 |
| C0793 | LC1 + 1.35*LC2 + 0.9*LC24 + 1.05*LC30 + 1.5*LC31 | C0841 | LC1 + 0.9*LC19 + 1.05*LC30 + 1.5*LC31 |
| C0794 | LC1 + 1.35*LC2 + 0.9*LC25 + 1.05*LC30 + 1.5*LC31 | C0842 | LC1 + 0.9*LC20 + 1.05*LC30 + 1.5*LC31 |
| C0795 | LC1 + 1.35*LC2 + 0.9*LC26 + 1.05*LC30 + 1.5*LC31 | C0843 | LC1 + 0.9*LC21 + 1.05*LC30 + 1.5*LC31 |
| C0796 | LC1 + 1.35*LC2 + 0.9*LC27 + 1.05*LC30 + 1.5*LC31 | C0844 | LC1 + 0.9*LC22 + 1.05*LC30 + 1.5*LC31 |
| C0797 | LC1 + 1.35*LC2 + 0.9*LC28 + 1.05*LC30 + 1.5*LC31 | C0845 | LC1 + 0.9*LC23 + 1.05*LC30 + 1.5*LC31 |

| | | | |
|-------|---------------------------------------|-------|---------------------------------------|
| CO846 | LC1 + 0.9*LC24 + 1.05*LC30 + 1.5*LC31 | CO850 | LC1 + 0.9*LC28 + 1.05*LC30 + 1.5*LC31 |
| CO847 | LC1 + 0.9*LC25 + 1.05*LC30 + 1.5*LC31 | CO851 | LC1 + 0.9*LC29 + 1.05*LC30 + 1.5*LC31 |
| CO848 | LC1 + 0.9*LC26 + 1.05*LC30 + 1.5*LC31 | CO852 | LC1 + 1.05*LC30 + 1.5*LC31 |
| CO849 | LC1 + 0.9*LC27 + 1.05*LC30 + 1.5*LC31 | | |

Tablica 35: Kombinacije opterećenja za proračun GSU konstrukcije.

| | | | |
|-------|------------------|-------|-----------------------------|
| CO853 | LC1 | CO892 | LC1 + LC2 + LC15 |
| CO854 | LC1 + LC2 | CO893 | LC1 + LC2 + LC16 |
| CO855 | LC1 + LC4 | CO894 | LC1 + LC2 + LC17 |
| CO856 | LC1 + LC5 | CO895 | LC1 + LC2 + LC18 |
| CO857 | LC1 + LC6 | CO896 | LC1 + LC2 + LC19 |
| CO858 | LC1 + LC7 | CO897 | LC1 + LC2 + LC20 |
| CO859 | LC1 + LC8 | CO898 | LC1 + LC2 + LC21 |
| CO860 | LC1 + LC9 | CO899 | LC1 + LC2 + LC22 |
| CO861 | LC1 + LC10 | CO900 | LC1 + LC2 + LC23 |
| CO862 | LC1 + LC11 | CO901 | LC1 + LC2 + LC24 |
| CO863 | LC1 + LC12 | CO902 | LC1 + LC2 + LC25 |
| CO864 | LC1 + LC13 | CO903 | LC1 + LC2 + LC26 |
| CO865 | LC1 + LC14 | CO904 | LC1 + LC2 + LC27 |
| CO866 | LC1 + LC15 | CO905 | LC1 + LC2 + LC28 |
| CO867 | LC1 + LC16 | CO906 | LC1 + LC2 + LC29 |
| CO868 | LC1 + LC17 | CO907 | LC1 + LC2 + LC4 + 0.7*LC30 |
| CO869 | LC1 + LC18 | CO908 | LC1 + LC2 + LC5 + 0.7*LC30 |
| CO870 | LC1 + LC19 | CO909 | LC1 + LC2 + LC6 + 0.7*LC30 |
| CO871 | LC1 + LC20 | CO910 | LC1 + LC2 + LC7 + 0.7*LC30 |
| CO872 | LC1 + LC21 | CO911 | LC1 + LC2 + LC8 + 0.7*LC30 |
| CO873 | LC1 + LC22 | CO912 | LC1 + LC2 + LC9 + 0.7*LC30 |
| CO874 | LC1 + LC23 | CO913 | LC1 + LC2 + LC10 + 0.7*LC30 |
| CO875 | LC1 + LC24 | CO914 | LC1 + LC2 + LC11 + 0.7*LC30 |
| CO876 | LC1 + LC25 | CO915 | LC1 + LC2 + LC12 + 0.7*LC30 |
| CO877 | LC1 + LC26 | CO916 | LC1 + LC2 + LC13 + 0.7*LC30 |
| CO878 | LC1 + LC27 | CO917 | LC1 + LC2 + LC14 + 0.7*LC30 |
| CO879 | LC1 + LC28 | CO918 | LC1 + LC2 + LC15 + 0.7*LC30 |
| CO880 | LC1 + LC29 | CO919 | LC1 + LC2 + LC16 + 0.7*LC30 |
| CO881 | LC1 + LC2 + LC4 | CO920 | LC1 + LC2 + LC17 + 0.7*LC30 |
| CO882 | LC1 + LC2 + LC5 | CO921 | LC1 + LC2 + LC18 + 0.7*LC30 |
| CO883 | LC1 + LC2 + LC6 | CO922 | LC1 + LC2 + LC19 + 0.7*LC30 |
| CO884 | LC1 + LC2 + LC7 | CO923 | LC1 + LC2 + LC20 + 0.7*LC30 |
| CO885 | LC1 + LC2 + LC8 | CO924 | LC1 + LC2 + LC21 + 0.7*LC30 |
| CO886 | LC1 + LC2 + LC9 | CO925 | LC1 + LC2 + LC22 + 0.7*LC30 |
| CO887 | LC1 + LC2 + LC10 | CO926 | LC1 + LC2 + LC23 + 0.7*LC30 |
| CO888 | LC1 + LC2 + LC11 | CO927 | LC1 + LC2 + LC24 + 0.7*LC30 |
| CO889 | LC1 + LC2 + LC12 | CO928 | LC1 + LC2 + LC25 + 0.7*LC30 |
| CO890 | LC1 + LC2 + LC13 | CO929 | LC1 + LC2 + LC26 + 0.7*LC30 |
| CO891 | LC1 + LC2 + LC14 | CO930 | LC1 + LC2 + LC27 + 0.7*LC30 |

| | | | |
|-------|--|--------|----------------------------------|
| CO931 | LC1 + LC2 + LC28 + 0.7*LC30 | CO979 | LC1 + LC2 + LC24 + 0.5*LC31 |
| CO932 | LC1 + LC2 + LC29 + 0.7*LC30 | CO980 | LC1 + LC2 + LC25 + 0.5*LC31 |
| CO933 | LC1 + LC2 + LC4 + 0.7*LC30 + 0.5*LC31 | CO981 | LC1 + LC2 + LC26 + 0.5*LC31 |
| CO934 | LC1 + LC2 + LC5 + 0.7*LC30 + 0.5*LC31 | CO982 | LC1 + LC2 + LC27 + 0.5*LC31 |
| CO935 | LC1 + LC2 + LC6 + 0.7*LC30 + 0.5*LC31 | CO983 | LC1 + LC2 + LC28 + 0.5*LC31 |
| CO936 | LC1 + LC2 + LC7 + 0.7*LC30 + 0.5*LC31 | CO984 | LC1 + LC2 + LC29 + 0.5*LC31 |
| CO937 | LC1 + LC2 + LC8 + 0.7*LC30 + 0.5*LC31 | CO985 | LC1 + LC4 + 0.7*LC30 |
| CO938 | LC1 + LC2 + LC9 + 0.7*LC30 + 0.5*LC31 | CO986 | LC1 + LC5 + 0.7*LC30 |
| CO939 | LC1 + LC2 + LC10 + 0.7*LC30 + 0.5*LC31 | CO987 | LC1 + LC6 + 0.7*LC30 |
| CO940 | LC1 + LC2 + LC11 + 0.7*LC30 + 0.5*LC31 | CO988 | LC1 + LC7 + 0.7*LC30 |
| CO941 | LC1 + LC2 + LC12 + 0.7*LC30 + 0.5*LC31 | CO989 | LC1 + LC8 + 0.7*LC30 |
| CO942 | LC1 + LC2 + LC13 + 0.7*LC30 + 0.5*LC31 | CO990 | LC1 + LC9 + 0.7*LC30 |
| CO943 | LC1 + LC2 + LC14 + 0.7*LC30 + 0.5*LC31 | CO991 | LC1 + LC10 + 0.7*LC30 |
| CO944 | LC1 + LC2 + LC15 + 0.7*LC30 + 0.5*LC31 | CO992 | LC1 + LC11 + 0.7*LC30 |
| CO945 | LC1 + LC2 + LC16 + 0.7*LC30 + 0.5*LC31 | CO993 | LC1 + LC12 + 0.7*LC30 |
| CO946 | LC1 + LC2 + LC17 + 0.7*LC30 + 0.5*LC31 | CO994 | LC1 + LC13 + 0.7*LC30 |
| CO947 | LC1 + LC2 + LC18 + 0.7*LC30 + 0.5*LC31 | CO995 | LC1 + LC14 + 0.7*LC30 |
| CO948 | LC1 + LC2 + LC19 + 0.7*LC30 + 0.5*LC31 | CO996 | LC1 + LC15 + 0.7*LC30 |
| CO949 | LC1 + LC2 + LC20 + 0.7*LC30 + 0.5*LC31 | CO997 | LC1 + LC16 + 0.7*LC30 |
| CO950 | LC1 + LC2 + LC21 + 0.7*LC30 + 0.5*LC31 | CO998 | LC1 + LC17 + 0.7*LC30 |
| CO951 | LC1 + LC2 + LC22 + 0.7*LC30 + 0.5*LC31 | CO999 | LC1 + LC18 + 0.7*LC30 |
| CO952 | LC1 + LC2 + LC23 + 0.7*LC30 + 0.5*LC31 | CO1000 | LC1 + LC19 + 0.7*LC30 |
| CO953 | LC1 + LC2 + LC24 + 0.7*LC30 + 0.5*LC31 | CO1001 | LC1 + LC20 + 0.7*LC30 |
| CO954 | LC1 + LC2 + LC25 + 0.7*LC30 + 0.5*LC31 | CO1002 | LC1 + LC21 + 0.7*LC30 |
| CO955 | LC1 + LC2 + LC26 + 0.7*LC30 + 0.5*LC31 | CO1003 | LC1 + LC22 + 0.7*LC30 |
| CO956 | LC1 + LC2 + LC27 + 0.7*LC30 + 0.5*LC31 | CO1004 | LC1 + LC23 + 0.7*LC30 |
| CO957 | LC1 + LC2 + LC28 + 0.7*LC30 + 0.5*LC31 | CO1005 | LC1 + LC24 + 0.7*LC30 |
| CO958 | LC1 + LC2 + LC29 + 0.7*LC30 + 0.5*LC31 | CO1006 | LC1 + LC25 + 0.7*LC30 |
| CO959 | LC1 + LC2 + LC4 + 0.5*LC31 | CO1007 | LC1 + LC26 + 0.7*LC30 |
| CO960 | LC1 + LC2 + LC5 + 0.5*LC31 | CO1008 | LC1 + LC27 + 0.7*LC30 |
| CO961 | LC1 + LC2 + LC6 + 0.5*LC31 | CO1009 | LC1 + LC28 + 0.7*LC30 |
| CO962 | LC1 + LC2 + LC7 + 0.5*LC31 | CO1010 | LC1 + LC29 + 0.7*LC30 |
| CO963 | LC1 + LC2 + LC8 + 0.5*LC31 | CO1011 | LC1 + LC4 + 0.7*LC30 + 0.5*LC31 |
| CO964 | LC1 + LC2 + LC9 + 0.5*LC31 | CO1012 | LC1 + LC5 + 0.7*LC30 + 0.5*LC31 |
| CO965 | LC1 + LC2 + LC10 + 0.5*LC31 | CO1013 | LC1 + LC6 + 0.7*LC30 + 0.5*LC31 |
| CO966 | LC1 + LC2 + LC11 + 0.5*LC31 | CO1014 | LC1 + LC7 + 0.7*LC30 + 0.5*LC31 |
| CO967 | LC1 + LC2 + LC12 + 0.5*LC31 | CO1015 | LC1 + LC8 + 0.7*LC30 + 0.5*LC31 |
| CO968 | LC1 + LC2 + LC13 + 0.5*LC31 | CO1016 | LC1 + LC9 + 0.7*LC30 + 0.5*LC31 |
| CO969 | LC1 + LC2 + LC14 + 0.5*LC31 | CO1017 | LC1 + LC10 + 0.7*LC30 + 0.5*LC31 |
| CO970 | LC1 + LC2 + LC15 + 0.5*LC31 | CO1018 | LC1 + LC11 + 0.7*LC30 + 0.5*LC31 |
| CO971 | LC1 + LC2 + LC16 + 0.5*LC31 | CO1019 | LC1 + LC12 + 0.7*LC30 + 0.5*LC31 |
| CO972 | LC1 + LC2 + LC17 + 0.5*LC31 | CO1020 | LC1 + LC13 + 0.7*LC30 + 0.5*LC31 |
| CO973 | LC1 + LC2 + LC18 + 0.5*LC31 | CO1021 | LC1 + LC14 + 0.7*LC30 + 0.5*LC31 |
| CO974 | LC1 + LC2 + LC19 + 0.5*LC31 | CO1022 | LC1 + LC15 + 0.7*LC30 + 0.5*LC31 |
| CO975 | LC1 + LC2 + LC20 + 0.5*LC31 | CO1023 | LC1 + LC16 + 0.7*LC30 + 0.5*LC31 |
| CO976 | LC1 + LC2 + LC21 + 0.5*LC31 | CO1024 | LC1 + LC17 + 0.7*LC30 + 0.5*LC31 |
| CO977 | LC1 + LC2 + LC22 + 0.5*LC31 | CO1025 | LC1 + LC18 + 0.7*LC30 + 0.5*LC31 |
| CO978 | LC1 + LC2 + LC23 + 0.5*LC31 | CO1026 | LC1 + LC19 + 0.7*LC30 + 0.5*LC31 |

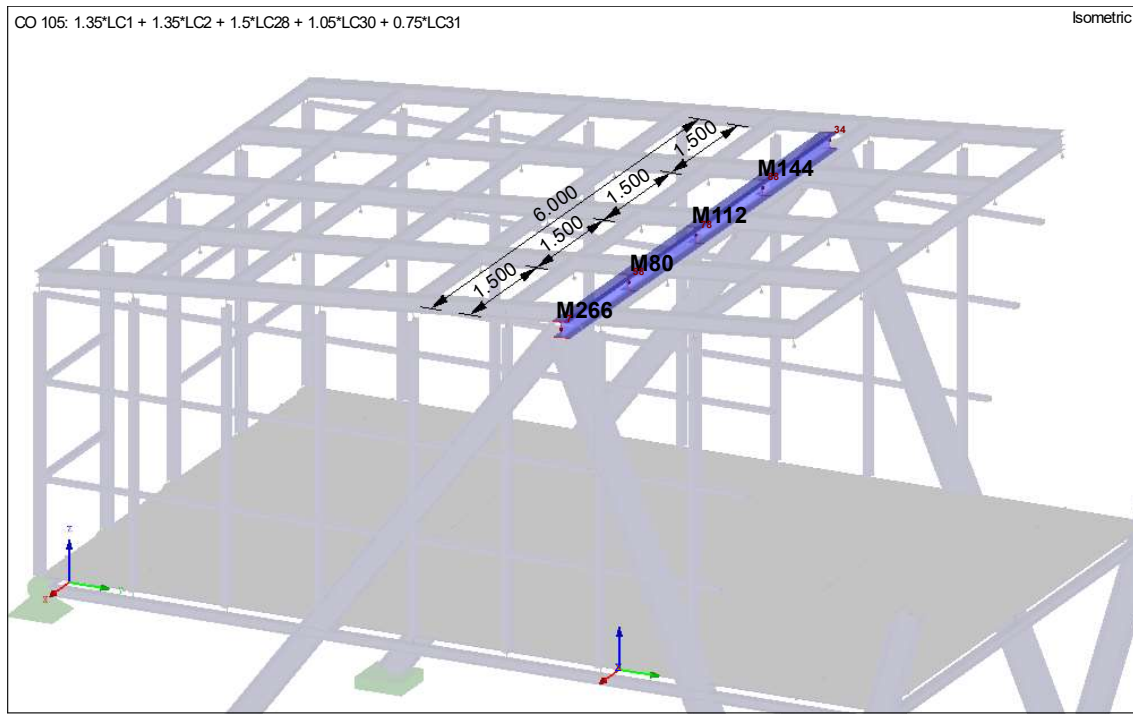
| | | | |
|--------|----------------------------------|--------|--|
| CO1027 | LC1 + LC20 + 0.7*LC30 + 0.5*LC31 | CO1075 | LC1 + LC2 + 0.6*LC14 + LC30 |
| CO1028 | LC1 + LC21 + 0.7*LC30 + 0.5*LC31 | CO1076 | LC1 + LC2 + 0.6*LC15 + LC30 |
| CO1029 | LC1 + LC22 + 0.7*LC30 + 0.5*LC31 | CO1077 | LC1 + LC2 + 0.6*LC16 + LC30 |
| CO1030 | LC1 + LC23 + 0.7*LC30 + 0.5*LC31 | CO1078 | LC1 + LC2 + 0.6*LC17 + LC30 |
| CO1031 | LC1 + LC24 + 0.7*LC30 + 0.5*LC31 | CO1079 | LC1 + LC2 + 0.6*LC18 + LC30 |
| CO1032 | LC1 + LC25 + 0.7*LC30 + 0.5*LC31 | CO1080 | LC1 + LC2 + 0.6*LC19 + LC30 |
| CO1033 | LC1 + LC26 + 0.7*LC30 + 0.5*LC31 | CO1081 | LC1 + LC2 + 0.6*LC20 + LC30 |
| CO1034 | LC1 + LC27 + 0.7*LC30 + 0.5*LC31 | CO1082 | LC1 + LC2 + 0.6*LC21 + LC30 |
| CO1035 | LC1 + LC28 + 0.7*LC30 + 0.5*LC31 | CO1083 | LC1 + LC2 + 0.6*LC22 + LC30 |
| CO1036 | LC1 + LC29 + 0.7*LC30 + 0.5*LC31 | CO1084 | LC1 + LC2 + 0.6*LC23 + LC30 |
| CO1037 | LC1 + LC4 + 0.5*LC31 | CO1085 | LC1 + LC2 + 0.6*LC24 + LC30 |
| CO1038 | LC1 + LC5 + 0.5*LC31 | CO1086 | LC1 + LC2 + 0.6*LC25 + LC30 |
| CO1039 | LC1 + LC6 + 0.5*LC31 | CO1087 | LC1 + LC2 + 0.6*LC26 + LC30 |
| CO1040 | LC1 + LC7 + 0.5*LC31 | CO1088 | LC1 + LC2 + 0.6*LC27 + LC30 |
| CO1041 | LC1 + LC8 + 0.5*LC31 | CO1089 | LC1 + LC2 + 0.6*LC28 + LC30 |
| CO1042 | LC1 + LC9 + 0.5*LC31 | CO1090 | LC1 + LC2 + 0.6*LC29 + LC30 |
| CO1043 | LC1 + LC10 + 0.5*LC31 | CO1091 | LC1 + LC2 + 0.6*LC4 + LC30 + 0.5*LC31 |
| CO1044 | LC1 + LC11 + 0.5*LC31 | CO1092 | LC1 + LC2 + 0.6*LC5 + LC30 + 0.5*LC31 |
| CO1045 | LC1 + LC12 + 0.5*LC31 | CO1093 | LC1 + LC2 + 0.6*LC6 + LC30 + 0.5*LC31 |
| CO1046 | LC1 + LC13 + 0.5*LC31 | CO1094 | LC1 + LC2 + 0.6*LC7 + LC30 + 0.5*LC31 |
| CO1047 | LC1 + LC14 + 0.5*LC31 | CO1095 | LC1 + LC2 + 0.6*LC8 + LC30 + 0.5*LC31 |
| CO1048 | LC1 + LC15 + 0.5*LC31 | CO1096 | LC1 + LC2 + 0.6*LC9 + LC30 + 0.5*LC31 |
| CO1049 | LC1 + LC16 + 0.5*LC31 | CO1097 | LC1 + LC2 + 0.6*LC10 + LC30 + 0.5*LC31 |
| CO1050 | LC1 + LC17 + 0.5*LC31 | CO1098 | LC1 + LC2 + 0.6*LC11 + LC30 + 0.5*LC31 |
| CO1051 | LC1 + LC18 + 0.5*LC31 | CO1099 | LC1 + LC2 + 0.6*LC12 + LC30 + 0.5*LC31 |
| CO1052 | LC1 + LC19 + 0.5*LC31 | CO1100 | LC1 + LC2 + 0.6*LC13 + LC30 + 0.5*LC31 |
| CO1053 | LC1 + LC20 + 0.5*LC31 | CO1101 | LC1 + LC2 + 0.6*LC14 + LC30 + 0.5*LC31 |
| CO1054 | LC1 + LC21 + 0.5*LC31 | CO1102 | LC1 + LC2 + 0.6*LC15 + LC30 + 0.5*LC31 |
| CO1055 | LC1 + LC22 + 0.5*LC31 | CO1103 | LC1 + LC2 + 0.6*LC16 + LC30 + 0.5*LC31 |
| CO1056 | LC1 + LC23 + 0.5*LC31 | CO1104 | LC1 + LC2 + 0.6*LC17 + LC30 + 0.5*LC31 |
| CO1057 | LC1 + LC24 + 0.5*LC31 | CO1105 | LC1 + LC2 + 0.6*LC18 + LC30 + 0.5*LC31 |
| CO1058 | LC1 + LC25 + 0.5*LC31 | CO1106 | LC1 + LC2 + 0.6*LC19 + LC30 + 0.5*LC31 |
| CO1059 | LC1 + LC26 + 0.5*LC31 | CO1107 | LC1 + LC2 + 0.6*LC20 + LC30 + 0.5*LC31 |
| CO1060 | LC1 + LC27 + 0.5*LC31 | CO1108 | LC1 + LC2 + 0.6*LC21 + LC30 + 0.5*LC31 |
| CO1061 | LC1 + LC28 + 0.5*LC31 | CO1109 | LC1 + LC2 + 0.6*LC22 + LC30 + 0.5*LC31 |
| CO1062 | LC1 + LC29 + 0.5*LC31 | CO1110 | LC1 + LC2 + 0.6*LC23 + LC30 + 0.5*LC31 |
| CO1063 | LC1 + LC30 | CO1111 | LC1 + LC2 + 0.6*LC24 + LC30 + 0.5*LC31 |
| CO1064 | LC1 + LC2 + LC30 | CO1112 | LC1 + LC2 + 0.6*LC25 + LC30 + 0.5*LC31 |
| CO1065 | LC1 + LC2 + 0.6*LC4 + LC30 | CO1113 | LC1 + LC2 + 0.6*LC26 + LC30 + 0.5*LC31 |
| CO1066 | LC1 + LC2 + 0.6*LC5 + LC30 | CO1114 | LC1 + LC2 + 0.6*LC27 + LC30 + 0.5*LC31 |
| CO1067 | LC1 + LC2 + 0.6*LC6 + LC30 | CO1115 | LC1 + LC2 + 0.6*LC28 + LC30 + 0.5*LC31 |
| CO1068 | LC1 + LC2 + 0.6*LC7 + LC30 | CO1116 | LC1 + LC2 + 0.6*LC29 + LC30 + 0.5*LC31 |
| CO1069 | LC1 + LC2 + 0.6*LC8 + LC30 | CO1117 | LC1 + LC2 + LC30 + 0.5*LC31 |
| CO1070 | LC1 + LC2 + 0.6*LC9 + LC30 | CO1118 | LC1 + 0.6*LC4 + LC30 |
| CO1071 | LC1 + LC2 + 0.6*LC10 + LC30 | CO1119 | LC1 + 0.6*LC5 + LC30 |
| CO1072 | LC1 + LC2 + 0.6*LC11 + LC30 | CO1120 | LC1 + 0.6*LC6 + LC30 |
| CO1073 | LC1 + LC2 + 0.6*LC12 + LC30 | CO1121 | LC1 + 0.6*LC7 + LC30 |
| CO1074 | LC1 + LC2 + 0.6*LC13 + LC30 | CO1122 | LC1 + 0.6*LC8 + LC30 |

| | | | |
|--------|----------------------------------|--------|--|
| CO1123 | LC1 + 0.6*LC9 + LC30 | CO1171 | LC1 + LC31 |
| CO1124 | LC1 + 0.6*LC10 + LC30 | CO1172 | LC1 + LC2 + LC31 |
| CO1125 | LC1 + 0.6*LC11 + LC30 | CO1173 | LC1 + LC2 + 0.6*LC4 + LC31 |
| CO1126 | LC1 + 0.6*LC12 + LC30 | CO1174 | LC1 + LC2 + 0.6*LC5 + LC31 |
| CO1127 | LC1 + 0.6*LC13 + LC30 | CO1175 | LC1 + LC2 + 0.6*LC6 + LC31 |
| CO1128 | LC1 + 0.6*LC14 + LC30 | CO1176 | LC1 + LC2 + 0.6*LC7 + LC31 |
| CO1129 | LC1 + 0.6*LC15 + LC30 | CO1177 | LC1 + LC2 + 0.6*LC8 + LC31 |
| CO1130 | LC1 + 0.6*LC16 + LC30 | CO1178 | LC1 + LC2 + 0.6*LC9 + LC31 |
| CO1131 | LC1 + 0.6*LC17 + LC30 | CO1179 | LC1 + LC2 + 0.6*LC10 + LC31 |
| CO1132 | LC1 + 0.6*LC18 + LC30 | CO1180 | LC1 + LC2 + 0.6*LC11 + LC31 |
| CO1133 | LC1 + 0.6*LC19 + LC30 | CO1181 | LC1 + LC2 + 0.6*LC12 + LC31 |
| CO1134 | LC1 + 0.6*LC20 + LC30 | CO1182 | LC1 + LC2 + 0.6*LC13 + LC31 |
| CO1135 | LC1 + 0.6*LC21 + LC30 | CO1183 | LC1 + LC2 + 0.6*LC14 + LC31 |
| CO1136 | LC1 + 0.6*LC22 + LC30 | CO1184 | LC1 + LC2 + 0.6*LC15 + LC31 |
| CO1137 | LC1 + 0.6*LC23 + LC30 | CO1185 | LC1 + LC2 + 0.6*LC16 + LC31 |
| CO1138 | LC1 + 0.6*LC24 + LC30 | CO1186 | LC1 + LC2 + 0.6*LC17 + LC31 |
| CO1139 | LC1 + 0.6*LC25 + LC30 | CO1187 | LC1 + LC2 + 0.6*LC18 + LC31 |
| CO1140 | LC1 + 0.6*LC26 + LC30 | CO1188 | LC1 + LC2 + 0.6*LC19 + LC31 |
| CO1141 | LC1 + 0.6*LC27 + LC30 | CO1189 | LC1 + LC2 + 0.6*LC20 + LC31 |
| CO1142 | LC1 + 0.6*LC28 + LC30 | CO1190 | LC1 + LC2 + 0.6*LC21 + LC31 |
| CO1143 | LC1 + 0.6*LC29 + LC30 | CO1191 | LC1 + LC2 + 0.6*LC22 + LC31 |
| CO1144 | LC1 + 0.6*LC4 + LC30 + 0.5*LC31 | CO1192 | LC1 + LC2 + 0.6*LC23 + LC31 |
| CO1145 | LC1 + 0.6*LC5 + LC30 + 0.5*LC31 | CO1193 | LC1 + LC2 + 0.6*LC24 + LC31 |
| CO1146 | LC1 + 0.6*LC6 + LC30 + 0.5*LC31 | CO1194 | LC1 + LC2 + 0.6*LC25 + LC31 |
| CO1147 | LC1 + 0.6*LC7 + LC30 + 0.5*LC31 | CO1195 | LC1 + LC2 + 0.6*LC26 + LC31 |
| CO1148 | LC1 + 0.6*LC8 + LC30 + 0.5*LC31 | CO1196 | LC1 + LC2 + 0.6*LC27 + LC31 |
| CO1149 | LC1 + 0.6*LC9 + LC30 + 0.5*LC31 | CO1197 | LC1 + LC2 + 0.6*LC28 + LC31 |
| CO1150 | LC1 + 0.6*LC10 + LC30 + 0.5*LC31 | CO1198 | LC1 + LC2 + 0.6*LC29 + LC31 |
| CO1151 | LC1 + 0.6*LC11 + LC30 + 0.5*LC31 | CO1199 | LC1 + LC2 + 0.6*LC4 + 0.7*LC30 + LC31 |
| CO1152 | LC1 + 0.6*LC12 + LC30 + 0.5*LC31 | CO1200 | LC1 + LC2 + 0.6*LC5 + 0.7*LC30 + LC31 |
| CO1153 | LC1 + 0.6*LC13 + LC30 + 0.5*LC31 | CO1201 | LC1 + LC2 + 0.6*LC6 + 0.7*LC30 + LC31 |
| CO1154 | LC1 + 0.6*LC14 + LC30 + 0.5*LC31 | CO1202 | LC1 + LC2 + 0.6*LC7 + 0.7*LC30 + LC31 |
| CO1155 | LC1 + 0.6*LC15 + LC30 + 0.5*LC31 | CO1203 | LC1 + LC2 + 0.6*LC8 + 0.7*LC30 + LC31 |
| CO1156 | LC1 + 0.6*LC16 + LC30 + 0.5*LC31 | CO1204 | LC1 + LC2 + 0.6*LC9 + 0.7*LC30 + LC31 |
| CO1157 | LC1 + 0.6*LC17 + LC30 + 0.5*LC31 | CO1205 | LC1 + LC2 + 0.6*LC10 + 0.7*LC30 + LC31 |
| CO1158 | LC1 + 0.6*LC18 + LC30 + 0.5*LC31 | CO1206 | LC1 + LC2 + 0.6*LC11 + 0.7*LC30 + LC31 |
| CO1159 | LC1 + 0.6*LC19 + LC30 + 0.5*LC31 | CO1207 | LC1 + LC2 + 0.6*LC12 + 0.7*LC30 + LC31 |
| CO1160 | LC1 + 0.6*LC20 + LC30 + 0.5*LC31 | CO1208 | LC1 + LC2 + 0.6*LC13 + 0.7*LC30 + LC31 |
| CO1161 | LC1 + 0.6*LC21 + LC30 + 0.5*LC31 | CO1209 | LC1 + LC2 + 0.6*LC14 + 0.7*LC30 + LC31 |
| CO1162 | LC1 + 0.6*LC22 + LC30 + 0.5*LC31 | CO1210 | LC1 + LC2 + 0.6*LC15 + 0.7*LC30 + LC31 |
| CO1163 | LC1 + 0.6*LC23 + LC30 + 0.5*LC31 | CO1211 | LC1 + LC2 + 0.6*LC16 + 0.7*LC30 + LC31 |
| CO1164 | LC1 + 0.6*LC24 + LC30 + 0.5*LC31 | CO1212 | LC1 + LC2 + 0.6*LC17 + 0.7*LC30 + LC31 |
| CO1165 | LC1 + 0.6*LC25 + LC30 + 0.5*LC31 | CO1213 | LC1 + LC2 + 0.6*LC18 + 0.7*LC30 + LC31 |
| CO1166 | LC1 + 0.6*LC26 + LC30 + 0.5*LC31 | CO1214 | LC1 + LC2 + 0.6*LC19 + 0.7*LC30 + LC31 |
| CO1167 | LC1 + 0.6*LC27 + LC30 + 0.5*LC31 | CO1215 | LC1 + LC2 + 0.6*LC20 + 0.7*LC30 + LC31 |
| CO1168 | LC1 + 0.6*LC28 + LC30 + 0.5*LC31 | CO1216 | LC1 + LC2 + 0.6*LC21 + 0.7*LC30 + LC31 |
| CO1169 | LC1 + 0.6*LC29 + LC30 + 0.5*LC31 | CO1217 | LC1 + LC2 + 0.6*LC22 + 0.7*LC30 + LC31 |
| CO1170 | LC1 + LC30 + 0.5*LC31 | CO1218 | LC1 + LC2 + 0.6*LC23 + 0.7*LC30 + LC31 |

| | | | |
|--------|--|--------|----------------------------------|
| CO1219 | LC1 + LC2 + 0.6*LC24 + 0.7*LC30 + LC31 | CO1249 | LC1 + 0.6*LC27 + LC31 |
| CO1220 | LC1 + LC2 + 0.6*LC25 + 0.7*LC30 + LC31 | CO1250 | LC1 + 0.6*LC28 + LC31 |
| CO1221 | LC1 + LC2 + 0.6*LC26 + 0.7*LC30 + LC31 | CO1251 | LC1 + 0.6*LC29 + LC31 |
| CO1222 | LC1 + LC2 + 0.6*LC27 + 0.7*LC30 + LC31 | CO1252 | LC1 + 0.6*LC4 + 0.7*LC30 + LC31 |
| CO1223 | LC1 + LC2 + 0.6*LC28 + 0.7*LC30 + LC31 | CO1253 | LC1 + 0.6*LC5 + 0.7*LC30 + LC31 |
| CO1224 | LC1 + LC2 + 0.6*LC29 + 0.7*LC30 + LC31 | CO1254 | LC1 + 0.6*LC6 + 0.7*LC30 + LC31 |
| CO1225 | LC1 + LC2 + 0.7*LC30 + LC31 | CO1255 | LC1 + 0.6*LC7 + 0.7*LC30 + LC31 |
| CO1226 | LC1 + 0.6*LC4 + LC31 | CO1256 | LC1 + 0.6*LC8 + 0.7*LC30 + LC31 |
| CO1227 | LC1 + 0.6*LC5 + LC31 | CO1257 | LC1 + 0.6*LC9 + 0.7*LC30 + LC31 |
| CO1228 | LC1 + 0.6*LC6 + LC31 | CO1258 | LC1 + 0.6*LC10 + 0.7*LC30 + LC31 |
| CO1229 | LC1 + 0.6*LC7 + LC31 | CO1259 | LC1 + 0.6*LC11 + 0.7*LC30 + LC31 |
| CO1230 | LC1 + 0.6*LC8 + LC31 | CO1260 | LC1 + 0.6*LC12 + 0.7*LC30 + LC31 |
| CO1231 | LC1 + 0.6*LC9 + LC31 | CO1261 | LC1 + 0.6*LC13 + 0.7*LC30 + LC31 |
| CO1232 | LC1 + 0.6*LC10 + LC31 | CO1262 | LC1 + 0.6*LC14 + 0.7*LC30 + LC31 |
| CO1233 | LC1 + 0.6*LC11 + LC31 | CO1263 | LC1 + 0.6*LC15 + 0.7*LC30 + LC31 |
| CO1234 | LC1 + 0.6*LC12 + LC31 | CO1264 | LC1 + 0.6*LC16 + 0.7*LC30 + LC31 |
| CO1235 | LC1 + 0.6*LC13 + LC31 | CO1265 | LC1 + 0.6*LC17 + 0.7*LC30 + LC31 |
| CO1236 | LC1 + 0.6*LC14 + LC31 | CO1266 | LC1 + 0.6*LC18 + 0.7*LC30 + LC31 |
| CO1237 | LC1 + 0.6*LC15 + LC31 | CO1267 | LC1 + 0.6*LC19 + 0.7*LC30 + LC31 |
| CO1238 | LC1 + 0.6*LC16 + LC31 | CO1268 | LC1 + 0.6*LC20 + 0.7*LC30 + LC31 |
| CO1239 | LC1 + 0.6*LC17 + LC31 | CO1269 | LC1 + 0.6*LC21 + 0.7*LC30 + LC31 |
| CO1240 | LC1 + 0.6*LC18 + LC31 | CO1270 | LC1 + 0.6*LC22 + 0.7*LC30 + LC31 |
| CO1241 | LC1 + 0.6*LC19 + LC31 | CO1271 | LC1 + 0.6*LC23 + 0.7*LC30 + LC31 |
| CO1242 | LC1 + 0.6*LC20 + LC31 | CO1272 | LC1 + 0.6*LC24 + 0.7*LC30 + LC31 |
| CO1243 | LC1 + 0.6*LC21 + LC31 | CO1273 | LC1 + 0.6*LC25 + 0.7*LC30 + LC31 |
| CO1244 | LC1 + 0.6*LC22 + LC31 | CO1274 | LC1 + 0.6*LC26 + 0.7*LC30 + LC31 |
| CO1245 | LC1 + 0.6*LC23 + LC31 | CO1275 | LC1 + 0.6*LC27 + 0.7*LC30 + LC31 |
| CO1246 | LC1 + 0.6*LC24 + LC31 | CO1276 | LC1 + 0.6*LC28 + 0.7*LC30 + LC31 |
| CO1247 | LC1 + 0.6*LC25 + LC31 | CO1277 | LC1 + 0.6*LC29 + 0.7*LC30 + LC31 |
| CO1248 | LC1 + 0.6*LC26 + LC31 | CO1278 | LC1 + 0.7*LC30 + LC31 |

6.2. Dimenzioniranje krovnog poprečnog nosača

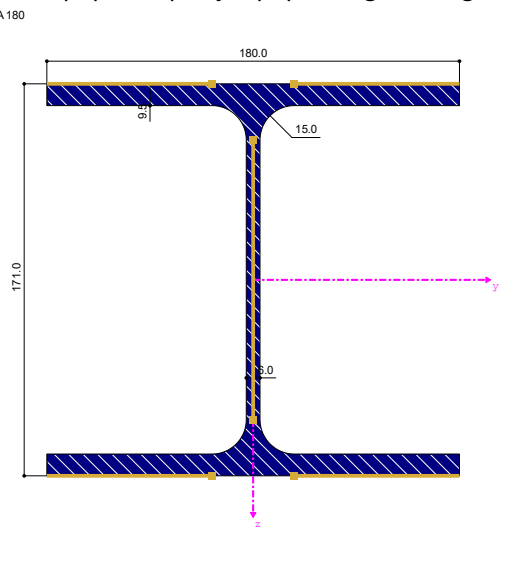
Pozicija krovnog poprečnog nosača broj 144 prikazana je na slici 58.



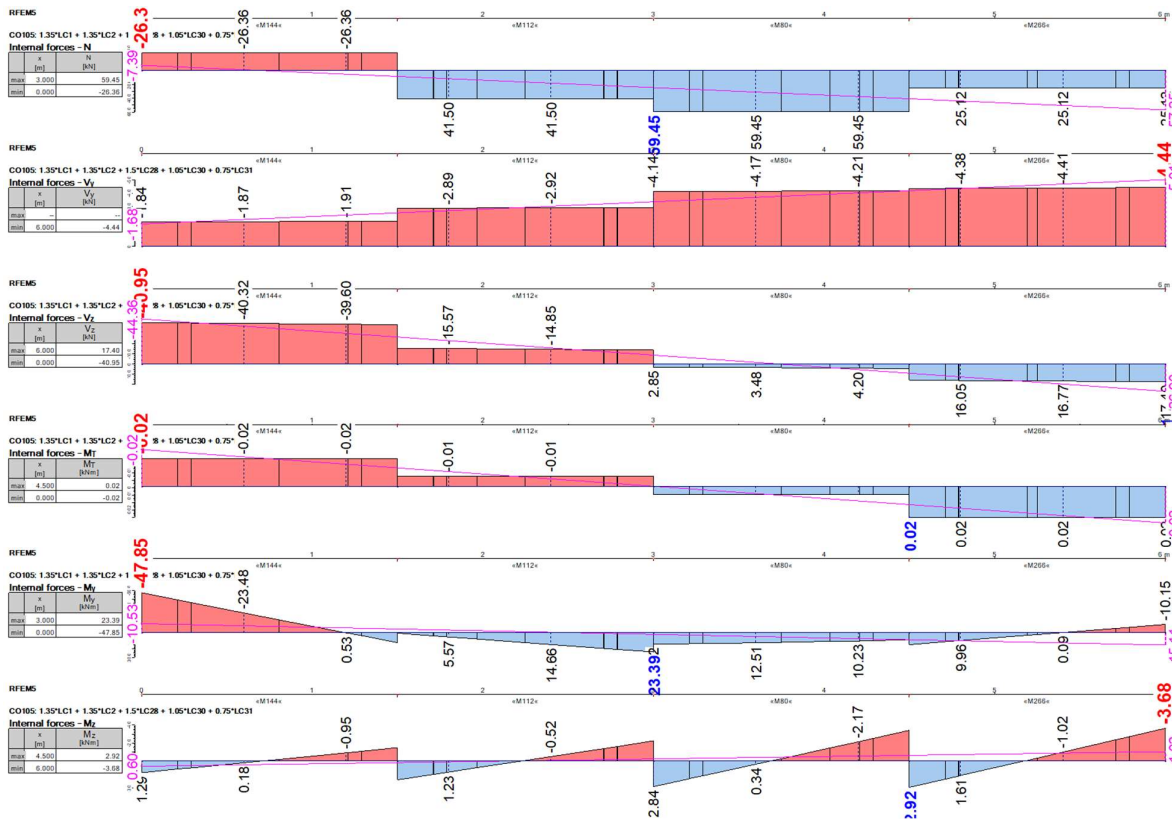
Slika 58: Poprečni krovni nosač s dimenzijama bočnih pridržanja.

Odabrani poprečni presjek je HEA180 s 69% iskorištenosti.

Slika 59: Odabrani poprečni presjek poprečnog krovnog nosača HEA180.



6.2.1. Proračun GSN krovnog poprečnog nosača



Slika 60: Dijagrami unutarnjih sila za poprečni krovni nosač HE-A 180 za mjerodavnu kombinaciju opterećenja CO105.

| Nosač Br. | Lokacija presjeka x [m] | Opterećenje | Nosivost presjeka | Proračun |
|--------------|----------------------------|-------------|-------------------|--|
| 144 | 0,000 | CO105 | 0,69 | ≤ 1 ST364) Analiza stabilnosti - Savijanje i tlak prema 6.3.3, metoda 2 |

Proračun GSN prema dijagramima sa slike 60, prikazan je u nastavku.

Karakteristike materijala - Čelik S 235 | EN 10025-2:2004-11

Modul elastičnosti E 21000,00 kN/cm²

Modul posmika G 8076,92 kN/cm²

Debljina t ≤ 16 mm

Granica popuštanja f_y 23,50 kN/cm² 3.2.1

Vlačna čvrstoća f_u 36,00 kN/cm² 3.2.1

Debljina t > 16 mm i t ≤ 40 mm

Granica popuštanja f_y 22,50 kN/cm² 3.2.1

Vlačna čvrstoća f_u 36,00 kN/cm² 3.2.1

Debljina t > 40 mm i t ≤ 100 mm

| | | | | |
|----------------------------------|-------|-------|--------------------|-------|
| Granica popuštanja | f_y | 21,50 | kN/cm ² | 3.2.1 |
| Vlačna čvrstoća | f_u | 36,00 | kN/cm ² | 3.2.1 |
| Debljina t > 100 mm i t ≤ 150 mm | | | | |
| Granica popuštanja | f_y | 19,50 | kN/cm ² | 3.2.1 |
| Vlačna čvrstoća | f_u | 35,00 | kN/cm ² | 3.2.1 |
| Debljina t > 150 mm i t ≤ 200 mm | | | | |
| Granica popuštanja | f_y | 18,50 | kN/cm ² | 3.2.1 |
| Vlačna čvrstoća | f_u | 34,00 | kN/cm ² | 3.2.1 |
| Debljina t > 200 mm i t ≤ 250 mm | | | | |
| Granica popuštanja | f_y | 17,50 | kN/cm ² | 3.2.1 |
| Vlačna čvrstoća | f_u | 34,00 | kN/cm ² | 3.2.1 |
| Debljina t > 250 mm i t ≤ 400 mm | | | | |
| Granica popuštanja | f_y | 16,50 | kN/cm ² | 3.2.1 |
| Vlačna čvrstoća | f_u | 33,00 | kN/cm ² | 3.2.1 |

Karakteristike poprečnog presjeka - HEA 180 | Euronorm 53-62

| | | | | |
|-------------------------------------|------------|---------|-----------------|--------------------------------|
| Tip poprečnog presjeka | I-valjani | | | |
| Tip poprečnog presjeka | h | 171,0 | mm | |
| Visina presjeka | b | 180,0 | mm | |
| Širina presjeka | t_w | 6,0 | mm | |
| Debljina hrpta | t_f | 9,5 | mm | |
| Debljina pojasnice | r | 15,0 | mm | |
| Radius | A | 45,30 | cm ² | |
| Površina poprečnog presjeka | $A_{v,y}$ | 35,46 | cm ² | |
| Efektivna posmična površina | $A_{v,z}$ | 14,52 | cm ² | $\geq \eta h_w t_w$ 6.2.6(3)a) |
| Efektivna posmična površina | I_y | 2510,00 | cm ⁴ | |
| Moment intercije oko y-y | I_z | 925,00 | cm ⁴ | |
| Moment inercije oko z-z | I_t | 14,90 | cm ⁴ | |
| Tozijska konstanta | i_y | 74,5 | mm | |
| Polumjer tromosti za y-y os | i_z | 45,2 | mm | |
| Polumjer tromosti za z-z os | $W_{el,y}$ | 294,00 | cm ³ | |
| Elastični moment otpora oko y-y osi | $W_{el,z}$ | 103,00 | cm ³ | |

| | | | | |
|-------------------------------------|------------|----------|---------------|----------|
| Elastični moment otpora oko z-z osi | $W_{pl,y}$ | 324,00 | cm^3 | |
| Plastični moment otpora oko y-y osi | $W_{pl,z}$ | 156,49 | cm^3 | |
| Plastični moment otpora oko z-z osi | I_w | 60210,00 | cm^6 | |
| Savojna konstanta presjeka | Q_y | 162,00 | cm^3 | |
| Statički moment | Q_z | 38,47 | cm^3 | |
| Statički moment | BC_y | b | | Tab. 6.2 |
| Krivulja izvijanja | BC_z | c | | Tab. 6.2 |

Proračunske unutarnje sile

| | | | | |
|------------------|------------|--------|-----|--|
| Normalna sila | N_{Ed} | -51,29 | kN | |
| Posmična sila | $V_{y,Ed}$ | -2,35 | kN | |
| Posmična sila | $V_{z,Ed}$ | -39,13 | kN | |
| Torzijski moment | T_{Ed} | -0,02 | kNm | |
| Moment | $M_{y,Ed}$ | 10,97 | kNm | |
| Moment | $M_{z,Ed}$ | -1,60 | kNm | |

Klasifikacija poprečnog presjeka - Klasa 1

Pojasnica

| | | | | |
|------------------------|--------------------|--------|----------------------|----------|
| Koeficijent materijala | c_f | 72,0 | mm | Tab. 5.2 |
| c/t-granica za klasu 1 | t_f | 9,5 | mm | Tab. 5.2 |
| c/t-granica za klasu 2 | $\lambda_{f,1}$ | 9,000 | | Tab. 5.2 |
| c/t-granica za klasu 3 | $\lambda_{f,2}$ | 10,000 | | Tab. 5.2 |
| c/t | c/t_f | 7,579 | $\leq \lambda_{f,1}$ | Tab. 5.2 |
| Klasa | Klasa _f | 1 | | Tab. 5.2 |

Hrbat

| | | | | | |
|------------------------------|-------------------|--------|--------------------|----------------------|----------|
| Narezanje na vrhu hrpta | $\sigma_{w,A}$ | 1,53 | kN/cm ² | > 0 | Vlak |
| Narezanje na dnu hrpta | $\sigma_{w,B}$ | -3,80 | kN/cm ² | < 0 | Tlak |
| | c_w | 122,0 | mm | | Tab. 5.2 |
| | t_w | 6,0 | mm | | Tab. 5.2 |
| Granica popuštanja | $f_{yd,w}$ | 23,50 | kN/cm ² | | 3.2.1 |
| Proračunska normalna sila | N_{Ed} | -51,29 | kN | < 0 | Tlak |
| Razmjer tlačnog naprezanja | α_w | 1,000 | | | Tab. 5.2 |
| Narezanje vezano za f_{yd} | $\sigma_{f-yd,1}$ | 23,50 | kN/cm ² | | |
| Narezanje vezano za f_{yd} | $\sigma_{f-yd,2}$ | -9,49 | kN/cm ² | | |
| Razmjer naprezanja | ψ_w | -0,404 | | | Tab. 5.2 |
| Koeficijent materijala | ε_w | 1,000 | | | Tab. 5.2 |
| c/t-granica za klasu 1 | $\lambda_{w,1}$ | 33,000 | | | Tab. 5.2 |
| c/t-granica za klasu 2 | $\lambda_{w,2}$ | 38,000 | | | Tab. 5.2 |
| c/t-granica za klasu 3 | $\lambda_{w,3}$ | 78,254 | | | Tab. 5.2 |
| c/t | c/t_w | 20,333 | | $\leq \lambda_{w,1}$ | |
| Klasa | $Klasa_w$ | 1 | | | Tab. 5.2 |
| Klasa poprečnog presjeka | Klasa | 1 | | | |

Proračun nosivosti

| | | | | | |
|---|----------------|----------|--------------------|-------|------------|
| Elastično kritično opterećenje za torzijsko izvijanje | $N_{cr,T}$ | 8901,46 | kN | | |
| Vitkost | λ_{-T} | 0,346 | | > 0.2 | 6.3.1.2(4) |
| Krivulja izvijanja | BC_z | c | | | Tab. 6.2 |
| Faktor imperfekcije | α_z | 0,490 | | | Tab. 6.1 |
| Pomoći faktor | θ_T | 0,596 | | | 6.3.1.2(1) |
| Faktor redukcije | χ_T | 0,926 | | | Eq. (6.49) |
| Modul elastičnosti | E | 21000,00 | kN/cm ² | | |
| Moment inercije | I_y | 2510,00 | cm ⁴ | | |
| Efektivna duljina elementa | $L_{cr,y}$ | 1,500 | m | | |
| Elastična sila savijanja | $N_{cr,y}$ | 23121,20 | kN | | |
| Površina poprečnog presjeka | A | 45,30 | cm ² | | |

| | | | | |
|--|-------------------|----------|--------------------|------------|
| Granica popuštanja | f_y | 23,50 | kN/cm ² | 3.2.1 |
| Vitkost | λ_{-y} | 0,215 | > 0,2 | 6.3.1.2(4) |
| Krivulja izvijanja | BC_y | b | | Tab. 6.2 |
| Faktor imperfekcije | α_y | 0,340 | | Tab. 6.1 |
| Pomoćni faktor | ϑ_y | 0,525 | | 6.3.1.2(1) |
| Faktor redukcije | χ_y | 0,995 | | Eq. (6.49) |
| Modul elastičnosti | I_z | 925,00 | cm ⁴ | |
| Moment inercije | $L_{cr,z}$ | 1,500 | m | |
| Elastična sila savijanja | $N_{cr,z}$ | 8520,76 | kN | |
| Vitkost | λ_{-z} | 0,353 | > 0,2 | 6.3.1.2(4) |
| Krivulja izvijanja | BC_z | c | | Tab. 6.2 |
| Faktor imperfekcije | α_z | 0,490 | | Tab. 6.1 |
| Pomoćni faktor | ϑ_z | 0,600 | | 6.3.1.2(1) |
| Faktor redukcije | χ_z | 0,922 | | Eq. (6.49) |
| Visina poprečnog presjeka | h | 171,0 | mm | |
| Širina poprečnog presjeka | b | 180,0 | mm | |
| Kriterij | h/b | 0,95 | ≤ 2 | Tab. 6.5 |
| Krivulja izvijanja | BC_{LT} | b | | Tab. 6.5 |
| Faktor imperfekcije | α_{LT} | 0,340 | | Tab. 6.3 |
| Modul posmika | G | 8076,92 | kN/cm ² | |
| Faktor duljine | k_z | 1,000 | | |
| Faktor duljine | k_w | 1,000 | | |
| Duljina | L | 1,500 | m | |
| Savojna konstanta presjeka | I_w | 60210,00 | cm ⁶ | |
| Torzijska konstanta | I_t | 14,90 | cm ⁴ | |
| Elastični kritični moment za bočno-torzijsko izvijanje | M_{cr} | 1661,52 | kNm | |
| Moment otpora oko y-y osi | W_y | 324,00 | cm ³ | |
| Vitkost | λ_{-LT} | 0,214 | | 6.3.2.2(1) |
| Parametar | $\lambda_{-LT,0}$ | 0,400 | | 6.3.2.3(1) |
| Parametar | β | 0,750 | | 6.3.2.3(1) |
| Pomoćni faktor | ϑ_{LT} | 0,486 | | 6.3.2.3(1) |

| | | | | |
|------------------------------------|------------------|-----------|-----------------|-----------------|
| Faktor redukcije | χ_{LT} | 1,000 | | Eq. (6.57) |
| Korekcijski faktor | k_c | 0,712 | | 6.3.2.3(2) |
| Faktor modifikacije | f | 0,955 | | 6.3.2.3(2) |
| Koeficijent redukcije | $\chi_{LT,mod}$ | 1,000 | | Eq. (6.58) |
| Ponašanje oko y-osi | | | | Table B.3 |
| | Diagr M_y | 1) Linear | | Tab. B.3 |
| Faktor momenta | ψ_y | -0,224 | | Tab. B.3 |
| Momentni faktor | C_{my} | 0,510 | | Tab. B.3 |
| Ponašanje oko z-osi | | | | Table B.3 |
| | Diagr M_z | 1) Linear | | Tab. B.3 |
| Faktor momenta | ψ_z | -0,857 | | Tab. B.3 |
| Momentni faktor | C_{mz} | 0,400 | | Tab. B.3 |
| | Diagr $M_{y,LT}$ | 1) Linear | | Tab. B.3 |
| Faktor momenta | $\psi_{y,LT}$ | -0,224 | | Tab. B.3 |
| Momentni faktor | C_{mLT} | 0,510 | | Tab. B.3 |
| | | | | |
| Faktor interakcije | k_{yy} | 0,511 | | Tab. B.2 |
| Faktor interakcije | k_{yz} | 0,241 | | Tab. B.2 |
| Faktor interakcije | k_{zy} | 0,953 | | Tab. B.2 |
| Faktor interakcije | k_{zz} | 0,402 | | Tab. B.2 |
| Proračunska normalna sila (tlačna) | N_{Ed} | 51,29 | kN | |
| Površina poprečnog presjeka | A_i | 45,30 | cm ² | Tab. 6.7 |
| Nosivost na tlak | N_{Rk} | 1064,55 | kN | Tab. 6.7 |
| Parcijalni faktor | γ_{M1} | 1,000 | | 6,1 |
| | η_{Ny} | 0,05 | | ≤ 1 (6.61) |
| | η_{Nz} | 0,05 | | ≤ 1 (6.62) |
| Moment | $M_{y,Ed}$ | 48,94 | kNm | |
| Moment otpora | W_y | 324,00 | cm ³ | |
| Moment nosivosti | $M_{y,Rk}$ | 76,14 | kNm | Tab. 6.7 |
| | η_{My} | 0,64 | | Eq. (6.61) |
| Moment | $M_{z,Ed}$ | 1,87 | kNm | |

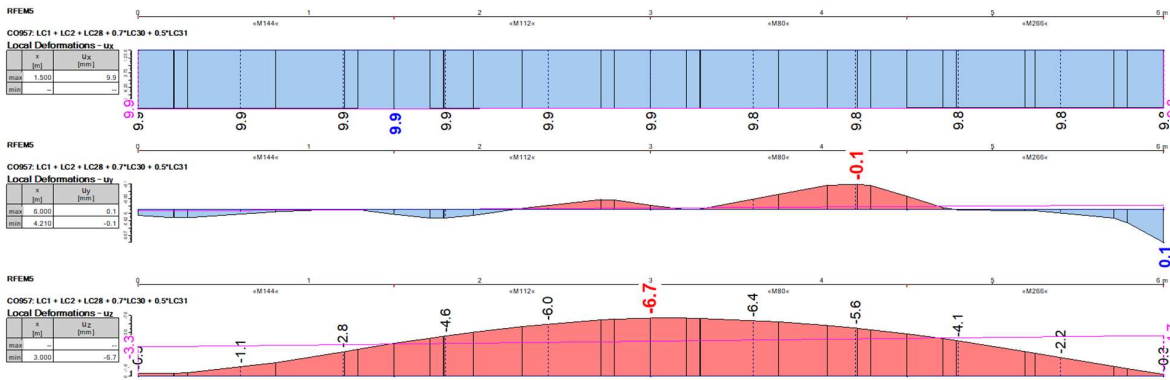
| | | | | |
|------------------|-------------|--------|---------------|------------|
| Moment otpora | W_z | 156,49 | cm^3 | |
| Moment nosivosti | $M_{z,Rk}$ | 36,78 | kNm | Tab. 6.7 |
| | η_{Mz} | 0,05 | | Eq. (6.61) |
| Nosivost 1 | η_1 | 0,39 | ≤ 1 | (6.61) |
| Nosivost 2 | η_2 | 0,69 | ≤ 1 | (6.62) |

Provjera nosivosti

$$N_{Ed} / (\chi_y N_{Rk} / \gamma_{M1}) + k_{yy} M_{y,Ed} / (\chi_{LT} M_{y,Rk} / \gamma_{M1}) + k_{yz} M_{z,Ed} / (M_{z,Rk} / \gamma_{M1}) = 0.39 \leq 1 \quad (6.61)$$

$$N_{Ed} / (\chi_z N_{Rk} / \gamma_{M1}) + k_{zy} M_{y,Ed} / (\chi_{LT} M_{y,Rk} / \gamma_{M1}) + k_{zz} M_{z,Ed} / (M_{z,Rk} / \gamma_{M1}) = 0.69 \leq 1 \quad (6.62)$$

6.2.2. Proračun GSU krovnog poprečnog nosača



Slika 61: Dijagrami relativnih pomaka krovnog nosača za karakterističnu kombinaciju CO957.

Za proračun GSU također je mjerodavan element 144. Proračun GSU prikazan je u nastavku.

Slika 62: Prikaz relativnih pomaka poprečnog nosača HE A 180 za mjerodavnu kombinaciju CO957.

| Opterećenje | Kombinacija | Nosač Br. | Presjek x [m] | Nosivosti Ratio | | |
|-------------|--|-----------|---------------|-----------------|----------|--|
| CO957 | LC1 + LC2 + LC28 + 0.7*LC30 + 0.5*LC31 | 144 | 0,750 | 0,13 | ≤ 1 | SE401) Uporabivost - Kombinacija 'Karakteristično' - smjer z |

Karakteristike materijala - Steel S 235 / EN 10025-2:2004-11

| | | | | |
|----------------------------------|----------------|----------|--------------------|-------|
| Modul elastičnosti | E | 21000,00 | kN/cm ² | |
| Modul posmika | G | 8076,92 | kN/cm ² | |
| Debljina t ≤ 16 mm | | | | |
| Granica popuštanja | f _y | 23,50 | kN/cm ² | 3.2.1 |
| Vlačna čvrstoća | f _u | 36,00 | kN/cm ² | 3.2.1 |
| Debljina t > 16 mm i t ≤ 40 mm | | | | |
| Granica popuštanja | f _y | 22,50 | kN/cm ² | 3.2.1 |
| Vlačna čvrstoća | f _u | 36,00 | kN/cm ² | 3.2.1 |
| Debljina t > 40 mm i t ≤ 100 mm | | | | |
| Granica popuštanja | f _y | 21,50 | kN/cm ² | 3.2.1 |
| Vlačna čvrstoća | f _u | 36,00 | kN/cm ² | 3.2.1 |
| Debljina t > 100 mm i t ≤ 150 mm | | | | |
| Granica popuštanja | f _y | 19,50 | kN/cm ² | 3.2.1 |
| Vlačna čvrstoća | f _u | 35,00 | kN/cm ² | 3.2.1 |
| Debljina t > 150 mm i t ≤ 200 mm | | | | |
| Granica popuštanja | f _y | 18,50 | kN/cm ² | 3.2.1 |
| Vlačna čvrstoća | f _u | 34,00 | kN/cm ² | 3.2.1 |
| Debljina t > 200 mm i t ≤ 250 mm | | | | |
| Granica popuštanja | f _y | 17,50 | kN/cm ² | 3.2.1 |
| Vlačna čvrstoća | f _u | 34,00 | kN/cm ² | 3.2.1 |
| Debljina t > 250 mm i t ≤ 400 mm | | | | |
| Granica popuštanja | f _y | 16,50 | kN/cm ² | 3.2.1 |
| Vlačna čvrstoća | f _u | 33,00 | kN/cm ² | 3.2.1 |

Karakteristike poprečnog presjeka - HE A 180 / Euronorm 53-62

| | | | |
|-------------------------------------|-------------------|---------|---|
| Tip poprečnog presjeka | I-valjani | | |
| Visina presjeka | h | 171,0 | mm |
| Širina presjeka | b | 180,0 | mm |
| Debljina hrpta | t _w | 6,0 | mm |
| Debljina pojasnice | t _f | 9,5 | mm |
| Radijus | r | 15,0 | mm |
| Površina poprečnog presjeka | A | 45,30 | cm ² |
| Efektivna posmična površina | A _{v,y} | 35,46 | cm ² |
| Efektivna posmična površina | A _{v,z} | 14,52 | cm ² |
| | | | ≥ ηh _w t _w 6.2.6(3)a) |
| Moment intercije oko y-y | I _y | 2510,00 | cm ⁴ |
| Moment inercije oko z-z | I _z | 925,00 | cm ⁴ |
| Tozijska konstanta | I _t | 14,90 | cm ⁴ |
| Polumjer tromosti za y-y os | i _y | 74,5 | mm |
| Polumjer tromosti za z-z os | i _z | 45,2 | mm |
| Elastični moment otpora oko y-y osi | W _{el,y} | 294,00 | cm ³ |

| | | | | |
|-------------------------------------|------------|----------|---------------|----------|
| Elastični moment otpora oko z-z osi | $W_{el,z}$ | 103,00 | cm^3 | |
| Plastični moment otpora oko y-y osi | $W_{pl,y}$ | 324,00 | cm^3 | |
| Plastični moment otpora oko z-z osi | $W_{pl,z}$ | 156,49 | cm^3 | |
| Savojna konstanta presjeka | I_w | 60210,00 | cm^6 | |
| Statički moment | Q_y | 162,00 | cm^3 | |
| Statički moment | Q_z | 38,47 | cm^3 | |
| Krivulja izvijanja | BC_y | b | | Tab. 6.2 |
| Krivulja izvijanja | BC_z | c | | Tab. 6.2 |

Pomaci

| | | | | |
|---------|-------|------|----|--|
| Smjer x | w_x | 10,0 | mm | |
| Smjer y | w_y | 0,1 | mm | |
| Smjer z | w_z | -1,6 | mm | |

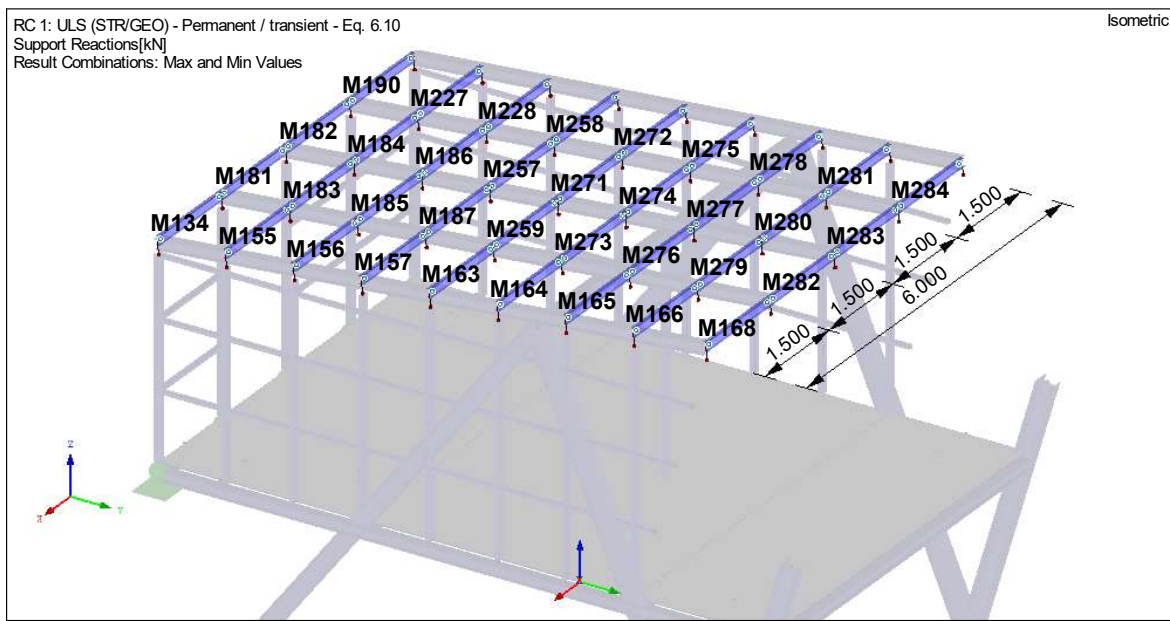
Proračun uporabljivosti

| | | | | |
|-------------------------------|-------------------|--------|----------|-------------------|
| Pomak | $w_{max,z}$ | 0,7 | mm | |
| Referentna duljina | l | 1,500 | m | |
| Kriterij granične vrijednosti | $l / w_{limit,z}$ | 300,00 | | |
| Granična vrijednost pomaka | $w_{limit,z}$ | 5,0 | mm | |
| Uporabljivost | η | 0,14 | | EN 1990 (6.13) |
| | | | ≤ 1 | |

Uvjet uporabljivosti

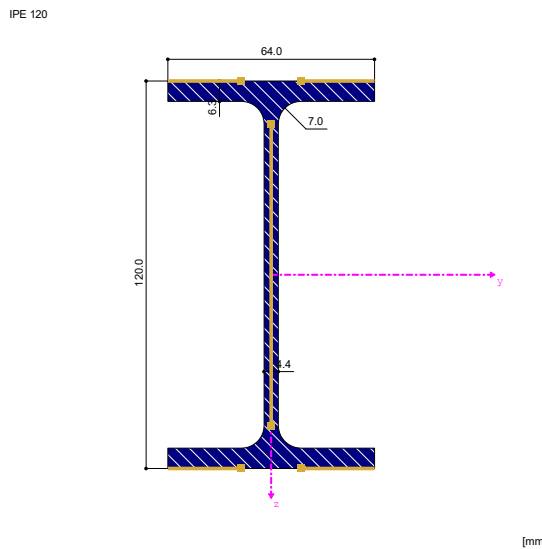
$$w_{max,z} / w_{limit,z} = 0.14 \leq 1 \quad \text{EN 1990 (6.13)}$$

6.3. Dimenzioniranje podrožnica (krovnih poprečnih nosača)



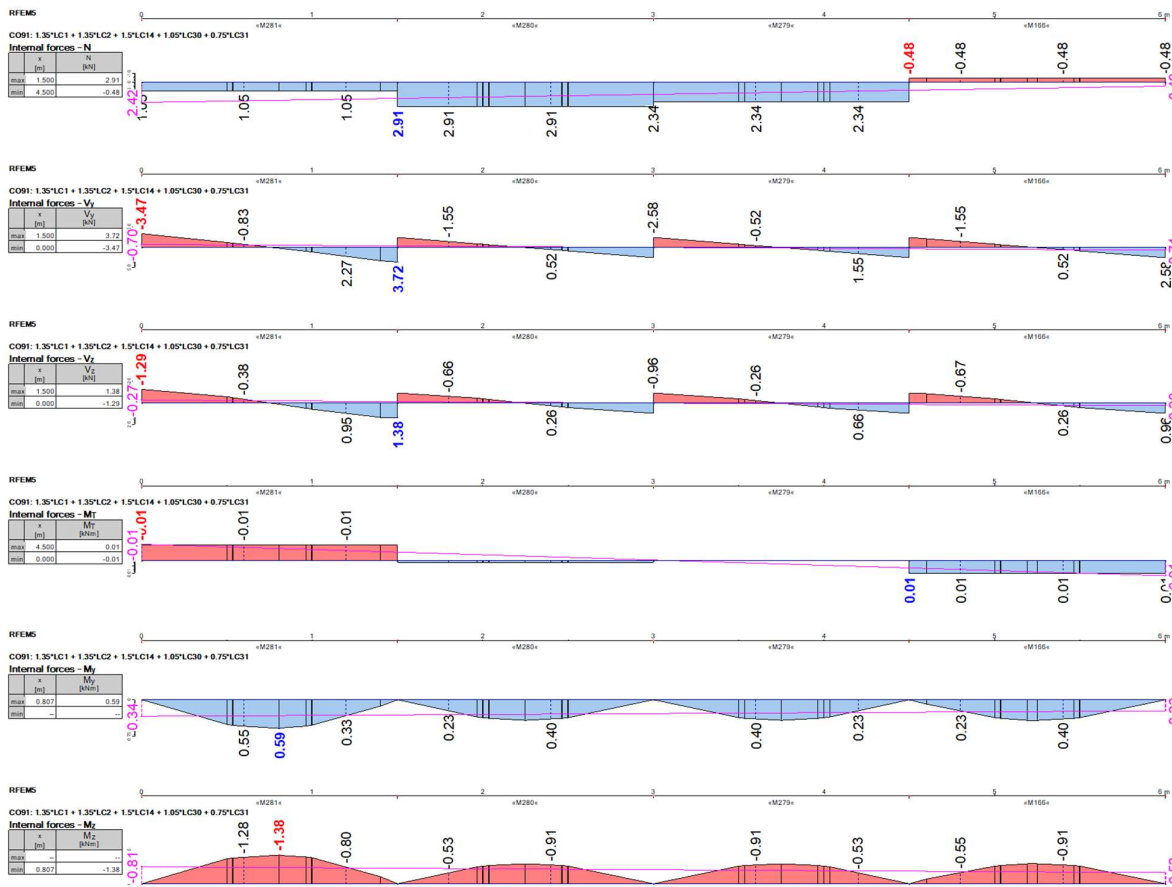
Slika 63: Prikaz podrožnica (poprečnih nosača) s brojčanim oznakama. [5]

Mjerodavna podrožnica za proračun GSN je označena brojem 281 čija iskoristivost iznosi 46%, a za proračun GSU je 281 s iskoristivosti od 75%.



Slika 64: Odabrani poprečni presjek (I PE 120) podrožnica. [5]

6.3.1. Proračun GSN podrožnica (poprečnih krovnih nosača)



Slika 65: Dijagrami unutarnjih sila podrožnica (poprečnih krovnih nosača) za kombinaciju opterećenja CO105.

| Opterećenje | Br. | x [m] | | |
|-------------|-----|-------|----------|--|
| CO91 | 281 | 0,000 | 0,46 ≤ 1 | ST363) Analiza stabilnosti – Dvoosno savijanje prema 6.3.3, metoda 2 |

Karakteristike materijala - Čelik S 235 / EN 10025-2:2004-11

| | | | | |
|--------------------------------|----------------|----------|--------------------|-------|
| Modul elastičnosti | E | 21000,00 | kN/cm ² | |
| Modul posmika | G | 8076,92 | kN/cm ² | |
| Debljina t ≤ 16 mm | | | | |
| Granica popuštanja | f _y | 23,50 | kN/cm ² | 3.2.1 |
| Vlačna čvrstoća | f _u | 36,00 | kN/cm ² | 3.2.1 |
| Debljina t > 16 mm i t ≤ 40 mm | | | | |

| | | | | |
|---|-------|-------|--------------------|-------|
| Granica popuštanja | f_y | 22,50 | kN/cm ² | 3.2.1 |
| Vlačna čvrstoća | f_u | 36,00 | kN/cm ² | 3.2.1 |
| Debljina $t > 40 \text{ mm}$ i $t \leq 100 \text{ mm}$ | | | | |
| Granica popuštanja | f_y | 21,50 | kN/cm ² | 3.2.1 |
| Vlačna čvrstoća | f_u | 36,00 | kN/cm ² | 3.2.1 |
| Debljina $t > 100 \text{ mm}$ i $t \leq 150 \text{ mm}$ | | | | |
| Granica popuštanja | f_y | 19,50 | kN/cm ² | 3.2.1 |
| Vlačna čvrstoća | f_u | 35,00 | kN/cm ² | 3.2.1 |
| Debljina $t > 150 \text{ mm}$ i $t \leq 200 \text{ mm}$ | | | | |
| Granica popuštanja | f_y | 18,50 | kN/cm ² | 3.2.1 |
| Vlačna čvrstoća | f_u | 34,00 | kN/cm ² | 3.2.1 |
| Debljina $t > 200 \text{ mm}$ i $t \leq 250 \text{ mm}$ | | | | |
| Granica popuštanja | f_y | 17,50 | kN/cm ² | 3.2.1 |
| Vlačna čvrstoća | f_u | 34,00 | kN/cm ² | 3.2.1 |
| Debljina $t > 250 \text{ mm}$ i $t \leq 400 \text{ mm}$ | | | | |
| Granica popuštanja | f_y | 16,50 | kN/cm ² | 3.2.1 |
| Vlačna čvrstoća | f_u | 33,00 | kN/cm ² | 3.2.1 |

Karakteristike poprečnog presjeka - IPE 120 / Euronorm 19-57

| | | | |
|-------------------------------------|------------|--------|-----------------|
| Tip poprečnog presjeka | I-valjani | | |
| Visina presjeka | h | 120,0 | mm |
| Širina presjeka | b | 64,0 | mm |
| Debljina hrpta | t_w | 4,4 | mm |
| Debljina pojasnice | t_f | 6,3 | mm |
| Radius | r | 7,0 | mm |
| Površina poprečnog presjeka | A | 13,20 | cm ² |
| Efektivna posmična površina | $A_{v,y}$ | 8,57 | cm ² |
| Efektivna posmična površina | $A_{v,z}$ | 6,30 | cm ² |
| Moment intercije oko y-y | I_y | 318,00 | cm ⁴ |
| Moment inercije oko z-z | I_z | 27,70 | cm ⁴ |
| Tozijska konstanta | I_t | 1,74 | cm ⁴ |
| Polumjer tromosti za y-y os | i_y | 49,0 | mm |
| Polumjer tromosti za z-z os | i_z | 14,5 | mm |
| Elastični moment otpora oko y-y osi | $W_{el,y}$ | 53,00 | cm ³ |
| Elastični moment otpora oko z-z osi | $W_{el,z}$ | 8,65 | cm ³ |
| Plastični moment otpora oko y-y osi | $W_{pl,y}$ | 60,80 | cm ³ |
| Plastični moment otpora oko z-z osi | $W_{pl,z}$ | 13,58 | cm ³ |
| Savojna konstanta presjeka | I_w | 890,00 | cm ⁶ |
| Statički moment | Q_y | 30,40 | cm ³ |
| Statički moment | Q_z | 3,23 | cm ³ |

| | | | |
|--------------------|--------|---|----------|
| Krивulja izvijanja | BC_y | a | Tab. 6.2 |
| Krивulja izvijanja | BC_z | b | Tab. 6.2 |

Proračunske unutarnje sile

| | | | |
|------------------|------------|-------|-----|
| Normalna sila | N_{Ed} | 1,05 | kN |
| Posmična sila | $V_{y,Ed}$ | 3,37 | kN |
| Posmična sila | $V_{z,Ed}$ | 1,33 | kN |
| Torzijski moment | T_{Ed} | -0,01 | kNm |
| Moment | $M_{y,Ed}$ | 0,14 | kNm |
| Moment | $M_{z,Ed}$ | -0,35 | kNm |

Klasifikacija poprečnog presjeka - Klasa 1

Pojasnica

| | | | | |
|------------------------|--------------------|--------|----------------------|----------|
| | c_f | 22,8 | mm | Tab. 5.2 |
| | t_f | 6,3 | mm | Tab. 5.2 |
| Koeficijent materijala | ε_f | 1,000 | | Tab. 5.2 |
| c/t-granica za klasu 1 | $\lambda_{f,1}$ | 9,000 | | Tab. 5.2 |
| c/t-granica za klasu 2 | $\lambda_{f,2}$ | 10,000 | | Tab. 5.2 |
| c/t-granica za klasu 3 | $\lambda_{f,3}$ | 14,000 | | Tab. 5.2 |
| c/t | c/t_f | 3,619 | $\leq \lambda_{f,1}$ | |
| Klasa | Klasa _f | 1 | | Tab. 5.2 |

Hrbat

| | | | | | |
|-------------------------------|--------------------|--------|----------------------|-------|----------|
| Naprezanje na vrhu hrpta | $\sigma_{w,A}$ | -0,11 | kN/cm^2 | < 0 | Tlak |
| Naprezanje na dnu hrpta | $\sigma_{w,B}$ | -3,48 | kN/cm^2 | < 0 | Tlak |
| | c_w | 93,4 | mm | | Tab. 5.2 |
| | t_w | 4,4 | mm | | Tab. 5.2 |
| Granica popuštanja | $f_{yd,w}$ | 23,50 | kN/cm^2 | | 3.2.1 |
| Proračunska normalna sila | N_{Ed} | -23,72 | kN | < 0 | Tlak |
| Razmjer tlačnog naprezanja | α_w | 0,880 | | | Tab. 5.2 |
| Naprezanje vezano za f_{yd} | $\sigma_{f-yd,1}$ | 23,50 | kN/cm^2 | | |
| Naprezanje vezano za f_{yd} | $\sigma_{f-yd,2}$ | 0,77 | kN/cm^2 | | |
| Razmjer naprezanja | ψ_w | 0,033 | | | Tab. 5.2 |
| Koeficijent materijala | ε_w | 1,000 | | | Tab. 5.2 |
| c/t-granica za klasu 1 | $\lambda_{w,1}$ | 37,935 | | | Tab. 5.2 |
| c/t-granica za klasu 2 | $\lambda_{w,2}$ | 43,683 | | | Tab. 5.2 |
| c/t-granica za klasu 3 | $\lambda_{w,3}$ | 61,692 | | | Tab. 5.2 |
| c/t | c/t_w | 21,227 | $\leq \lambda_{w,1}$ | | |
| Klasa | Class _w | 1 | | | Tab. 5.2 |
| Klasa poprečnog presjeka | Class | 1 | | | |

Proračun nosivosti

| | | | |
|---------------------------|---|-------|----|
| Visina poprečnog presjeka | h | 120,0 | mm |
|---------------------------|---|-------|----|

| | | | | |
|--|-------------------------|----------------------|--------------------|--------------|
| Širina poprečnog presjeka | b | 64,0 | mm | |
| Kriterij | h/b | 1,87 | | ≤ 2 Tab. 6.5 |
| Krivulja izvijanja | BC _{LT} | b | | Tab. 6.5 |
| Faktor imperfekcije | α_{LT} | 0,340 | | Tab. 6.3 |
| Modul posmika | G | 8076,92 | kN/cm ² | |
| Faktor duljine | k _z | 1,000 | | |
| Faktor duljine | k _w | 1,000 | | |
| Duljina | L | 1,500 | m | |
| Savojna konstanta presjeka | I _w | 890,00 | cm ⁶ | |
| Torzijska konstanta | I _t | 1,74 | cm ⁴ | |
| Elastični kritični moment za bočno-torzijsko izvijanje | M _{cr} | 20,37 | kNm | |
| Moment otpora oko y-y osi | W _y | 60,80 | cm ³ | |
| Vitkost | λ_{LT} | 0,838 | | 6.3.2.2(1) |
| Parametar | $\lambda_{LT,0}$ | 0,400 | | 6.3.2.3(1) |
| Parametar | β | 0,750 | | 6.3.2.3(1) |
| Pomoćni faktor | ϑ_{LT} | 0,837 | | 6.3.2.3(1) |
| Faktor redukcije | χ_{LT} | 0,796 | | Eq. (6.57) |
| Korekcijski faktor | k _c | 0,921 | | 6.3.2.3(2) |
| Faktor modifikacije | f | 0,961 | | 6.3.2.3(2) |
| Koeficijent redukcije | $\chi_{LT,mod}$ | 0,829 | | Eq. (6.58) |
| Ponašanje oko y-osi | | | | Table B.3 |
| | Diagr M _y | | | Tab. B.3 |
| Faktor momenta | ψ_y | 0,925 | | Tab. B.3 |
| Moment | M _{h,y} | 0,00 | kNm | Tab. B.3 |
| Moment | M _{s,y} | 0,57 | kNm | Tab. B.3 |
| M _{s,y} / M _{h,y} | $\alpha_{s,y}$ | 0,000 | | Tab. B.3 |
| Momentni faktor | C _{my} | 0,950 | | Tab. B.3 |
| Ponašanje oko z-osi | | | | Table B.3 |
| | Diagr M _z | 3) najveći u rasponu | | Tab. B.3 |
| Faktor momenta | ψ_z | 0,933 | | Tab. B.3 |
| | M _{h,z} | 0,00 | | Tab. B.3 |
| | M _{s,z} | -1,38 | | Tab. B.3 |
| Momentni faktor | $\alpha_{h,z}$ | 0,000 | | Tab. B.3 |
| Momentni faktor | C _{m,z} | 0,950 | | Tab. B.3 |
| | Diagr M _{y,LT} | 3) Najveći u rasponu | | Tab. B.3 |
| Faktor momenta | $\psi_{y,LT}$ | 0,925 | | Tab. B.3 |
| Moment | M _{h,y,LT} | 0,00 | kNm | Tab. B.3 |
| Moment | M _{s,y,LT} | 0,57 | kNm | Tab. B.3 |
| M _{s,y,LT} / M _{h,y,LT} | $\alpha_{s,y,LT}$ | 0,000 | | Tab. B.3 |
| Load Type | Load z | Unif. Dist. Load | | Tab. B.3 |

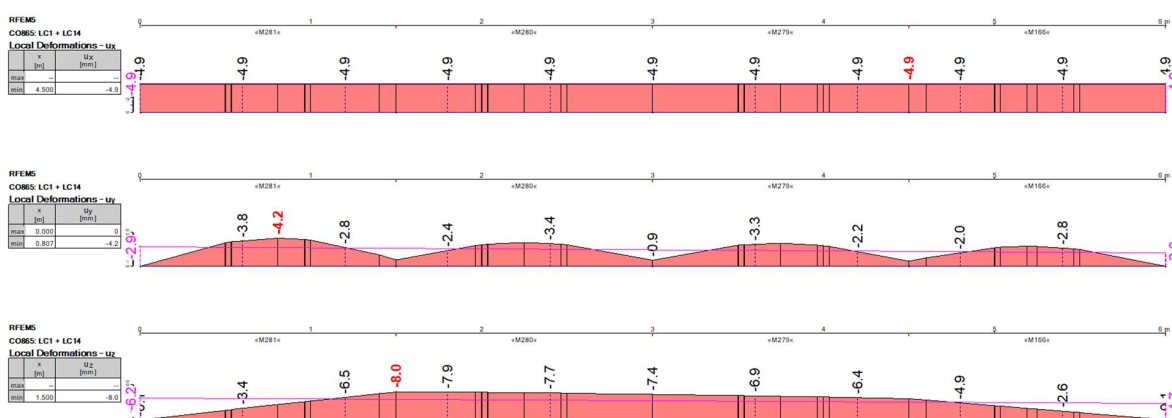
| | | | |
|--------------------|-------------|-------|-----------------|
| Moment Factor | C_{mLT} | 0,950 | Tab. B.3 |
| Faktor interakcije | k_{yy} | 0,950 | Tab. B.2 |
| Faktor interakcije | k_{yz} | 0,570 | Tab. B.2 |
| Faktor interakcije | k_{zy} | 1,000 | Tab. B.2 |
| Faktor interakcije | k_{zz} | 0,950 | Tab. B.2 |
| Moment | $M_{y,Ed}$ | 0,59 | kNm |
| Moment otpora | W_y | 60,80 | cm ³ |
| Moment nosivosti | $M_{y,Rk}$ | 14,29 | kNm |
| | η_{My} | 1,000 | Eq. (6.61) |
| Moment | $M_{z,Ed}$ | 1,38 | kNm |
| Moment otpora | W_z | 13,58 | cm ³ |
| Moment nosivosti | $M_{z,Rk}$ | 3,19 | kNm |
| | η_{Mz} | 0,43 | Eq. (6.61) |
| Nosivost 1 | η_1 | 0,29 | ≤ 1 (6.61) |
| Nosivost 2 | η_2 | 0,46 | ≤ 1 (6.62) |

Provjera nosivosti

$$N_{Ed} / (\chi_y N_{Rk} / \gamma_{M1}) + k_{yy} M_{y,Ed} / (\chi_{LT} M_{y,Rk} / \gamma_{M1}) + k_{yz} M_{z,Ed} / (M_{z,Rk} / \gamma_{M1}) = 0,29 \leq 1 \quad (6.61)$$

$$N_{Ed} / (\chi_z N_{Rk} / \gamma_{M1}) + k_{zy} M_{y,Ed} / (\chi_{LT} M_{y,Rk} / \gamma_{M1}) + k_{zz} M_{z,Ed} / (M_{z,Rk} / \gamma_{M1}) = 0,46 \leq 1 \quad (6.62)$$

6.3.2. Proračun GSU podrožnica (poprečnih krovnih nosača)



Slika 66: Dijagrami relativnih pomaka podrožnice broj 281 za karakterističnu kombinaciju opterećenja CO865.

| Opterećenje | Br. | x [m] | Ratio | | |
|-------------|-----|-------|-------|----------|--|
| CO865 | 281 | 0,693 | 0,75 | ≤ 1 | SE401) Uporabivost - kombinacija 'Karakteristično' - smjer z |

Karakteristike materijala - Čelik S 235 / EN 10025-2:2004-11

| | | | | |
|----------------------------------|----------------|----------|--------------------|-------|
| Modul elastičnosti | E | 21000,00 | kN/cm ² | |
| Modul posmika | G | 8076,92 | kN/cm ² | |
| Debljina t ≤ 16 mm | | | | |
| Granica popuštanja | f _y | 23,50 | kN/cm ² | 3.2.1 |
| Vlačna čvrstoća | f _u | 36,00 | kN/cm ² | 3.2.1 |
| Debljina t > 16 mm i t ≤ 40 mm | | | | |
| Granica popuštanja | f _y | 22,50 | kN/cm ² | 3.2.1 |
| Vlačna čvrstoća | f _u | 36,00 | kN/cm ² | 3.2.1 |
| Debljina t > 40 mm i t ≤ 100 mm | | | | |
| Granica popuštanja | f _y | 21,50 | kN/cm ² | 3.2.1 |
| Vlačna čvrstoća | f _u | 36,00 | kN/cm ² | 3.2.1 |
| Debljina t > 100 mm i t ≤ 150 mm | | | | |
| Granica popuštanja | f _y | 19,50 | kN/cm ² | 3.2.1 |
| Vlačna čvrstoća | f _u | 35,00 | kN/cm ² | 3.2.1 |
| Debljina t > 150 mm i t ≤ 200 mm | | | | |
| Granica popuštanja | f _y | 18,50 | kN/cm ² | 3.2.1 |
| Vlačna čvrstoća | f _u | 34,00 | kN/cm ² | 3.2.1 |
| Debljina t > 200 mm i t ≤ 250 mm | | | | |
| Granica popuštanja | f _y | 17,50 | kN/cm ² | 3.2.1 |
| Vlačna čvrstoća | f _u | 34,00 | kN/cm ² | 3.2.1 |
| Debljina t > 250 mm i t ≤ 400 mm | | | | |
| Granica popuštanja | f _y | 16,50 | kN/cm ² | 3.2.1 |
| Vlačna čvrstoća | f _u | 33,00 | kN/cm ² | 3.2.1 |

Karakteristike poprečnog presjeka - IPE 120 / Euronorm 19-57

| | | | | |
|-------------------------------------|-------------------|--------|-----------------|---|
| Tip poprečnog presjeka | I-valjani | | | |
| Visina presjeka | h | 120,0 | mm | |
| Širina presjeka | b | 64,0 | mm | |
| Debljina hrpta | t _w | 4,4 | mm | |
| Debljina pojasnice | t _f | 6,3 | mm | |
| Radius | r | 7,0 | mm | |
| Površina poprečnog presjeka | A | 13,20 | cm ² | |
| Efektivna posmična površina | A _{v,y} | 8,57 | cm ² | |
| Efektivna posmična površina | A _{v,z} | 6,30 | cm ² | ≥ ηh _w t _w 6.2.6(3)a) |
| Moment intercije oko y-y | I _y | 318,00 | cm ⁴ | |
| Moment inercije oko z-z | I _z | 27,70 | cm ⁴ | |
| Tozijska konstanta | I _t | 1,74 | cm ⁴ | |
| Polumjer tromosti za y-y os | i _y | 49,0 | mm | |
| Polumjer tromosti za z-z os | i _z | 14,5 | mm | |
| Elastični moment otpora oko y-y osi | W _{el,y} | 53,00 | cm ³ | |
| Elastični moment otpora oko z-z osi | W _{el,z} | 8,65 | cm ³ | |

| | | | | |
|--|------------|--------|---------------|----------|
| Plastični moment otpora oko y-y osi | $W_{pl,y}$ | 60,80 | cm^3 | |
| Plastični moment otpora oko z-z osi | $W_{pl,z}$ | 13,58 | cm^3 | |
| Savojna konstanta presjeka | I_w | 890,00 | cm^6 | |
| Statički moment | Q_y | 30,40 | cm^3 | |
| Statički moment | Q_z | 3,23 | cm^3 | |
| Krivulja izvijanja | BC_y | a | | Tab. 6.2 |
| Krivulja izvijanja | BC_z | b | | Tab. 6.2 |

Pomaci

| | | | |
|---------|-------|------|----|
| Smjer x | w_x | -4,9 | mm |
| Smjer y | w_y | -4,2 | mm |
| Smjer z | w_z | -4,5 | mm |

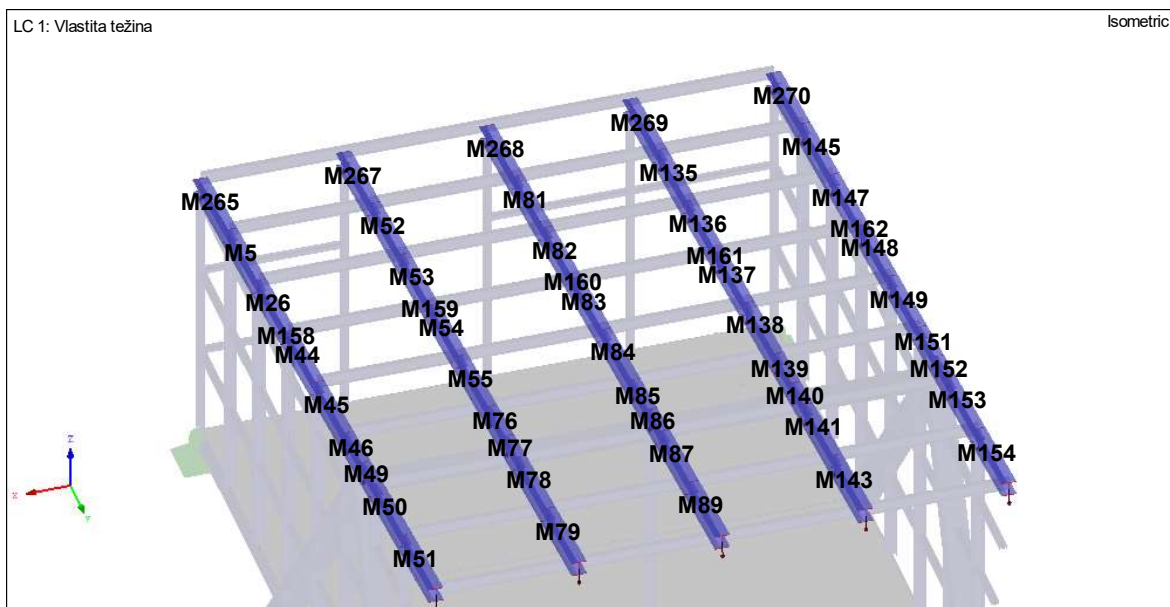
Proračun uporabljivosti

| | | | | |
|-------------------------------|-------------------|--------|-----------|-------------------|
| Otklon | $w_{max,z}$ | -3,7 | mm | |
| Referentna duljina | l | 1,500 | m | |
| Kriterij granične vrijednosti | $l / w_{limit,z}$ | 300,00 | | |
| Granična vrijednost pomaka | $w_{limit,z}$ | 5,0 | mm | |
| Uporabljivost | η | 0,75 | | EN 1990 (6.13) |
| | | | ≤ 1 | |
| | | | \square | |

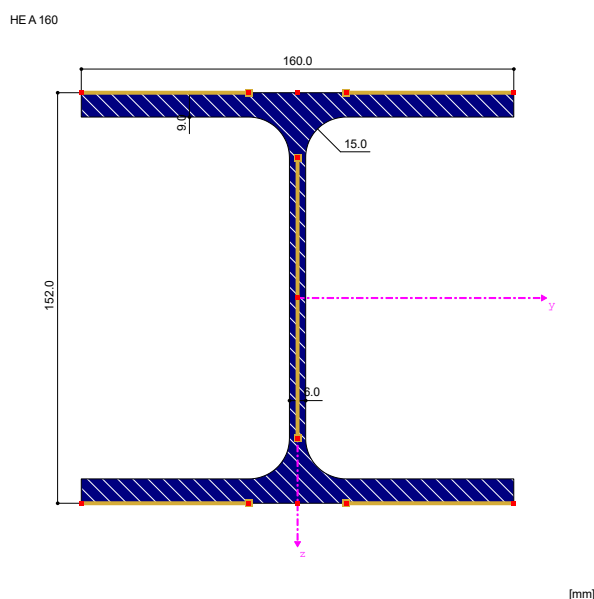
Proračun uporabljivosti

$$w_{max,z} / w_{limit,z} = 0,75 \leq 1 \quad \text{EN 1990 (6.13)}$$

6.4. Dimenzioniranje uzdužnih krovnih nosača

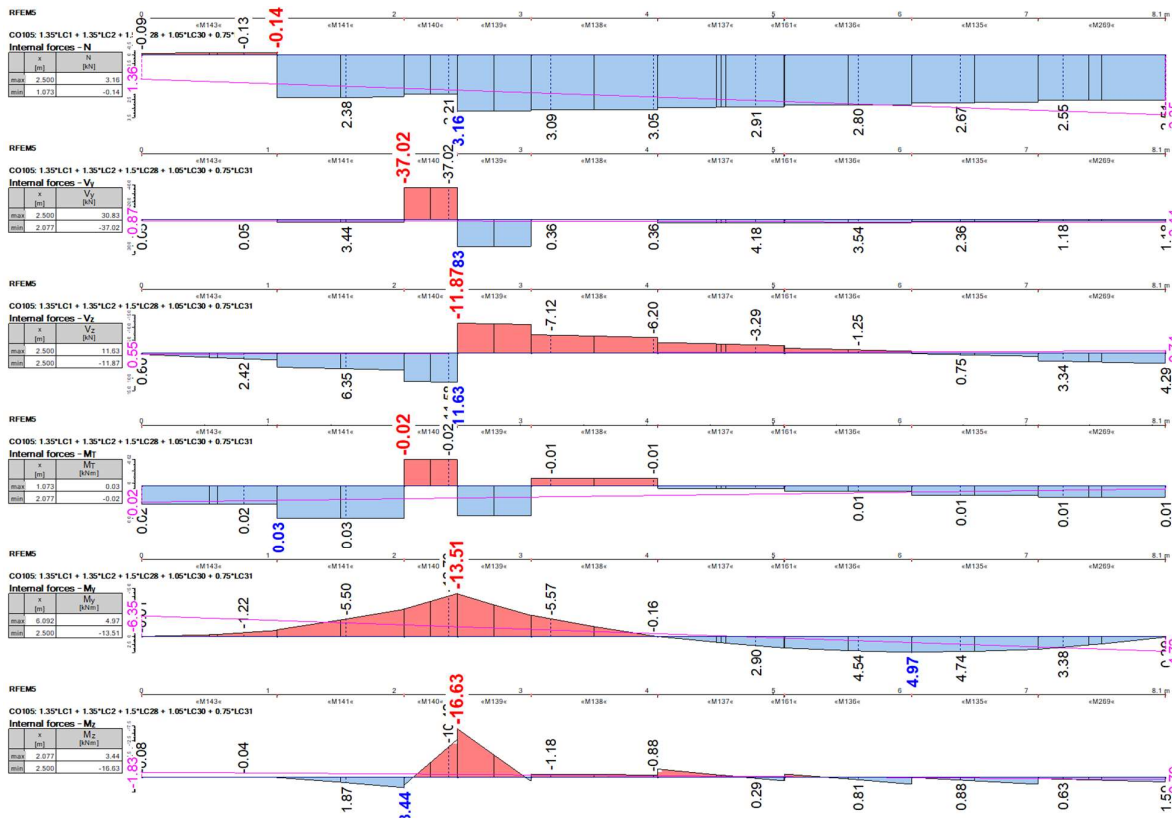


Slika 67: Prikaz uzdužnih krovnih nosača s brojčanim oznakama.



Slika 68: Odabrani poprečni presjek uzdužnog krovnog nosača HE A 160.

6.4.1. Proračun GSN uzdužnih krovnih nosača



Slika 69: Dijagrami unutarnjih sila na koje su dimenzionirani uzdužni krovni nosači za kombinaciju CO105.

| Nosač Br. | Lokacija presjeka x [m] | Opterećenje | Proračun nosivosti | Design According to Formula ST363) Analiza stabilnosti - Dvoosno savijanje prema 6.3.3, metoda 2 |
|--------------|----------------------------|-------------|--------------------|---|
| 139 | 0,581 | CO105 | 0,68 ≤ 1 | |

Karakteristike materijala - Steel S 235 / EN 10025-2:2004-11

 Modul elastičnosti E 21000,00 kN/cm²

 Modul posmika G 8076,92 kN/cm²

Debljina t ≤ 16 mm

 Granica popuštanja f_y 23,50 kN/cm²

 Vlačna čvrstoća f_u 36,00 kN/cm²

3.2.1

3.2.1

Debljina t > 16 mm i t ≤ 40 mm

 Granica popuštanja f_y 22,50 kN/cm²

3.2.1

 Vlačna čvrstoća f_u 36,00 kN/cm²

3.2.1

Debljina $t > 40 \text{ mm}$ i $t \leq 100 \text{ mm}$

| | | | | |
|--------------------|-------|-------|------------------|-------|
| Granica popuštanja | f_y | 21,50 | kN/cm^2 | 3.2.1 |
| Vlačna čvrstoća | f_u | 36,00 | kN/cm^2 | 3.2.1 |

Debljina $t > 100 \text{ mm}$ i $t \leq 150 \text{ mm}$

| | | | | |
|--------------------|-------|-------|------------------|-------|
| Granica popuštanja | f_y | 19,50 | kN/cm^2 | 3.2.1 |
| Vlačna čvrstoća | f_u | 35,00 | kN/cm^2 | 3.2.1 |

Debljina $t > 150 \text{ mm}$ i $t \leq 200 \text{ mm}$

| | | | | |
|--------------------|-------|-------|------------------|-------|
| Granica popuštanja | f_y | 18,50 | kN/cm^2 | 3.2.1 |
| Vlačna čvrstoća | f_u | 34,00 | kN/cm^2 | 3.2.1 |

Debljina $t > 200 \text{ mm}$ i $t \leq 250 \text{ mm}$

| | | | | |
|--------------------|-------|-------|------------------|-------|
| Granica popuštanja | f_y | 17,50 | kN/cm^2 | 3.2.1 |
| Vlačna čvrstoća | f_u | 34,00 | kN/cm^2 | 3.2.1 |

Debljina $t > 250 \text{ mm}$ i $t \leq 400 \text{ mm}$

| | | | | |
|--------------------|-------|-------|------------------|-------|
| Granica popuštanja | f_y | 16,50 | kN/cm^2 | 3.2.1 |
| Vlačna čvrstoća | f_u | 33,00 | kN/cm^2 | 3.2.1 |

Karakteristike poprečnog presjeka - HE A 160 / Euronorm 53-62

| Tip poprečnog presjeka | I-valjani | | |
|-------------------------------------|------------|----------|---------------|
| Visina presjeka | h | 152,0 | mm |
| Širina presjeka | b | 160,0 | mm |
| Debljina hrpta | t_w | 6,0 | mm |
| Debljina pojasnice | t_f | 9,0 | mm |
| Radius | r | 15,0 | mm |
| Površina poprečnog presjeka | A | 38,80 | cm^2 |
| Efektivna posmična površina | $A_{v,y}$ | 30,06 | cm^2 |
| Efektivna posmična površina | $A_{v,z}$ | 13,24 | cm^2 |
| Moment intercije oko y-y | I_y | 1670,00 | cm^4 |
| Moment inercije oko z-z | I_z | 616,00 | cm^4 |
| Tozijska konstanta | I_t | 12,30 | cm^4 |
| Polumjer tromosti za y-y os | i_y | 65,7 | mm |
| Polumjer tromosti za z-z os | i_z | 39,8 | mm |
| Elastični moment otpora oko y-y osi | $W_{el,y}$ | 220,00 | cm^3 |
| Elastični moment otpora oko z-z osi | $W_{el,z}$ | 76,90 | cm^3 |
| Plastični moment otpora oko y-y osi | $W_{pl,y}$ | 246,00 | cm^3 |
| Plastični moment otpora oko z-z osi | $W_{pl,z}$ | 117,63 | cm^3 |
| Savojna konstanta presjeka | I_w | 31410,00 | cm^6 |
| Statički moment | Q_y | 123,00 | cm^3 |
| Statički moment | Q_z | 28,80 | cm^3 |
| Krivulja izvijanja | BC_y | b | |
| Krivulja izvijanja | BC_z | c | Tab. 6.2 |
| | | | Tab. 6.2 |

Proračunske unutarnje sile

| | | | |
|------------------|------------|--------|-----|
| Normalna sila | N_{Ed} | 3.14 | kN |
| Posmična sila | $V_{y,Ed}$ | 32.34 | kN |
| Posmična sila | $V_{z,Ed}$ | -12.09 | kN |
| Torzijski moment | T_{Ed} | 0.03 | kNm |
| Moment | $M_{y,Ed}$ | -13.38 | kNm |
| Moment | $M_{z,Ed}$ | -17.22 | kNm |

Klasifikacija poprečnog presjeka - Klasa 1

Pojasnice

| | | | | |
|---------------------------|--------------------|--------|----------------------|----------|
| | c_f | 62,0 | mm | Tab. 5.2 |
| | t_f | 9,0 | mm | Tab. 5.2 |
| Koeficijent materijala | ε_f | 1,000 | | Tab. 5.2 |
| c/t -granica za klasu 1 | $\lambda_{f,1}$ | 9,000 | | Tab. 5.2 |
| c/t -granica za klasu 2 | $\lambda_{f,2}$ | 10,000 | | Tab. 5.2 |
| c/t -granica za klasu 3 | $\lambda_{f,3}$ | 14,000 | | Tab. 5.2 |
| c/t | c/t_f | 6,889 | $\leq \lambda_{f,1}$ | |
| Klasa | Klasa _f | 1 | | Tab. 5.2 |

Hrbat

| | | | | | |
|-------------------------------|--------------------|---------|----------------------|-------|----------|
| Naprezanje na vrhu hrpta | $\sigma_{w,A}$ | -4,02 | kN/cm ² | < 0 | Tlak |
| Naprezanje na dnu hrpta | $\sigma_{w,B}$ | 4,17 | kN/cm ² | > 0 | Vlak |
| | c_w | 104,0 | mm | | Tab. 5.2 |
| | t_w | 6,0 | mm | | Tab. 5.2 |
| Granica popuštanja | $f_{yd,w}$ | 23,50 | kN/cm ² | | 3.2.1 |
| Proračunska normalna sila | N_{Ed} | 2,97 | kN | > 0 | Vlak |
| Razmjer tlačnog naprezanja | α_w | 0,487 | | | Tab. 5.2 |
| Naprezanje vezano za f_{yd} | $\sigma_{f-yd,1}$ | 23,50 | kN/cm ² | | |
| Naprezanje vezano za f_{yd} | $\sigma_{f-yd,2}$ | -24,40 | kN/cm ² | | |
| Razmjer naprezanja | ψ_w | -1,038 | | | Tab. 5.2 |
| Koeficijent materijala | ε_w | 1,000 | | | Tab. 5.2 |
| c/t -granica za klasu 1 | $\lambda_{w,1}$ | 73,965 | | | Tab. 5.2 |
| c/t -granica za klasu 2 | $\lambda_{w,2}$ | 85,265 | | | Tab. 5.2 |
| c/t -granica za klasu 3 | $\lambda_{w,3}$ | 128,745 | | | Tab. 5.2 |
| c/t | c/t_w | 17,333 | $\leq \lambda_{w,1}$ | | |
| Klasa | Klasa _w | 1 | | | Tab. 5.2 |
| Klasa poprečnog presjeka | Klasa | 1 | | | |

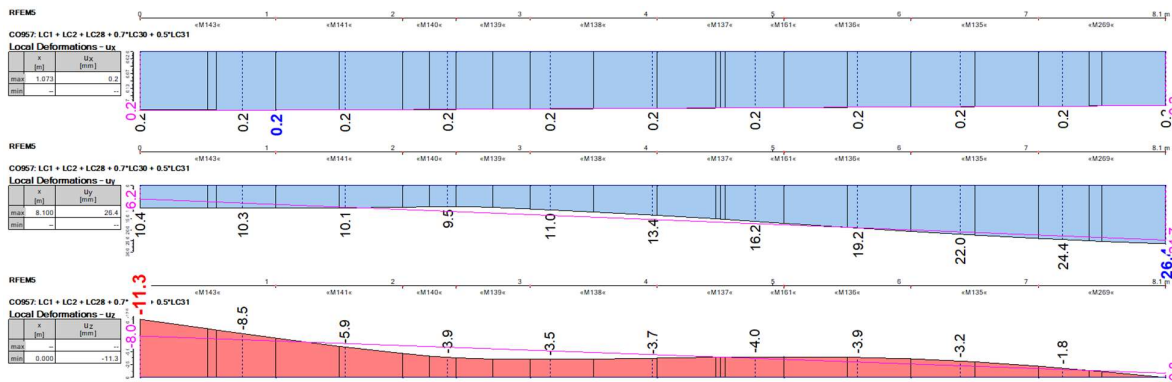
Provjera nosivosti

| | | | | | |
|---|---------------|--------|--------------------|-------------|------------|
| Moment | $M_{y,Ed}$ | 13.38 | kNm | | |
| Plastični moment otpora | $W_{pl,y}$ | 246.00 | cm ³ | | |
| Granica popuštanja | f_y | 23.50 | kN/cm ² | 3.2.1 | |
| Parcijalni faktor | γ_{M0} | 1.000 | | 6,1 | |
| Plastični moment nosivosti | $M_{pl,y,Rd}$ | 57.81 | kNm | | Eq. (6.13) |
| Proračunska poprečna sila | $V_{z,Ed}$ | 12.09 | kN | | |
| Efektivna posmična površina | $A_{v,z}$ | 13.24 | cm ² | 6.2.6(3) | |
| Nosivost na poprečnu silu | $V_{pl,z,Rd}$ | 179.64 | kN | | Eq. (6.18) |
| Kriterij $V_{z,Ed} / V_{pl,z,Rd}$ | v_z | 0.067 | | ≤ 0.5 | 6.2.10(2) |
| Proračunska normalna sila | N_{Ed} | 3.14 | kN | | |
| Površina poprečnog presjeka | A | 38.80 | cm ² | | |
| Proračunska plastična nosivost na normalnu silu | $N_{pl,Rd}$ | 911.80 | kN | (6.6) | |
| Debljina hrpta | h_w | 134.0 | mm | | |
| Debljina pojasnice | t_w | 6.0 | mm | | |
| Kriterij 1 | n | 0.003 | | ≤ 0.25 | (6.33) |
| Kriterij 2 | n_w | 0.017 | | ≤ 0.50 | (6.34) |
| Moment | $M_{z,Ed}$ | 17.22 | kNm | | |
| Plastični moment otpora | $W_{pl,z}$ | 117.63 | cm ³ | | |
| Moment nosivosti | $M_{pl,z,Rd}$ | 27.64 | kNm | | Eq. (6.13) |
| Proračunska poprečna sila | $V_{y,Ed}$ | 32.34 | kN | | |
| Efektivna posmična površina | $A_{v,y}$ | 30.06 | cm ² | 6.2.6(3) | |
| Posmična nosivost | $V_{pl,y,Rd}$ | 407.85 | kN | | Eq. (6.18) |
| $V_{y,Ed} / V_{pl,y,Rd}$ | v_y | 0.079 | | ≤ 0.5 | 6.2.10(2) |
| Kriterij | n_w | 0.017 | | ≤ 1 | (6.35) |
| Konstanta interakcije | α | 2.000 | | | 6.2.9.1(6) |
| Konstanta interakcije | β | 1.000 | | | 6.2.9.1(6) |
| Proračunska komponenta za M_y | η_{My} | 0.05 | | ≤ 1 | Eq. (6.41) |
| Proračunska komponenta za M_z | η_{Mz} | 0.62 | | ≤ 1 | Eq. (6.41) |
| Proračunska komponenta za M | η_M | 0.68 | | ≤ 1 | Eq. (6.41) |

Provjera nosivosti

$$(M_{y,Ed} / M_{N,y,Rd})^\alpha + (M_{z,Ed} / M_{N,z,Rd})^\beta = 0.68 \leq 1 \quad (6.41)$$

6.4.2. Proračun GSU uzdužnih krovnih nosača



Slika 70: Dijagrami relativnih pomaka uzdužnih krovnih nosača za kombinaciju CO957.

| Load-ing | Description | Member No. | Location x [m] | Design Ratio | Design According to Formula |
|----------|--|------------|----------------|--------------|---|
| CO957 | LC1 + LC2 + LC28 + 0.7*LC30 + 0.5*LC31 | 139 | 0,290 | 0,09 ≤ 1 | SE406) Serviceability - Combination of actions 'Characteristic' - y-direction |

Karakteristike materijala - Steel S 235 | EN 10025-2:2004-11

| | | | | |
|--|----------------|----------|--------------------|-------|
| Modul elastičnosti | E | 21000,00 | kN/cm ² | |
| Modul posmika | G | 8076,92 | kN/cm ² | |
| Debljina t ≤ 16 mm | | | | |
| Granica popuštanja | f _y | 23,50 | kN/cm ² | 3.2.1 |
| Vlačna čvrstoća | f _u | 36,00 | kN/cm ² | 3.2.1 |
| Debljina t > 16 mm i t ≤ 40 mm | | | | |
| Granica popuštanja | f _y | 22,50 | kN/cm ² | 3.2.1 |
| Vlačna čvrstoća | f _u | 36,00 | kN/cm ² | 3.2.1 |
| Debljina t > 40 mm i t ≤ 100 mm | | | | |
| Granica popuštanja | f _y | 21,50 | kN/cm ² | 3.2.1 |
| Vlačna čvrstoća | f _u | 36,00 | kN/cm ² | 3.2.1 |
| Debljina t > 100 mm i t ≤ 150 mm | | | | |
| Granica popuštanja | f _y | 19,50 | kN/cm ² | 3.2.1 |
| Vlačna čvrstoća | f _u | 35,00 | kN/cm ² | 3.2.1 |
| Debljina t > 150 mm i t ≤ 200 mm | | | | |
| Granica popuštanja | f _y | 18,50 | kN/cm ² | 3.2.1 |
| Vlačna čvrstoća | f _u | 34,00 | kN/cm ² | 3.2.1 |
| Debljina t > 200 mm i t ≤ 250 mm | | | | |
| Granica popuštanja | f _y | 17,50 | kN/cm ² | 3.2.1 |
| Vlačna čvrstoća | f _u | 34,00 | kN/cm ² | 3.2.1 |

Debljina $t > 250 \text{ mm}$ i $t \leq 400 \text{ mm}$

| | | | | |
|--------------------|-------|-------|------------------|-------|
| Granica popuštanja | f_y | 16,50 | kN/cm^2 | 3.2.1 |
| Vlačna čvrstoća | f_u | 33,00 | kN/cm^2 | 3.2.1 |

Karakteristike poprečnog presjeka - HE A 160 / Euronorm 53-62

| | | | | |
|-------------------------------------|------------|----------|---------------|--------------------------------|
| Tip poprečnog presjeka | I-valjani | | | |
| Visina presjeka | h | 152,0 | mm | |
| Širina presjeka | b | 160,0 | mm | |
| Debljina hrpta | t_w | 6,0 | mm | |
| Debljina pojasnice | t_f | 9,0 | mm | |
| Radius | r | 15,0 | mm | |
| Površina poprečnog presjeka | A | 38,80 | cm^2 | |
| Efektivna posmična površina | $A_{v,y}$ | 30,06 | cm^2 | |
| Efektivna posmična površina | $A_{v,z}$ | 13,24 | cm^2 | $\geq \eta h_w t_w$ 6.2.6(3)a) |
| Moment intercije oko y-y | I_y | 1670,00 | cm^4 | |
| Moment inercije oko z-z | I_z | 616,00 | cm^4 | |
| Tozijska konstanta | I_t | 12,30 | cm^4 | |
| Polumjer tromosti za y-y os | i_y | 65,7 | mm | |
| Polumjer tromosti za z-z os | i_z | 39,8 | mm | |
| Elastični moment otpora oko y-y osi | $W_{el,y}$ | 220,00 | cm^3 | |
| Elastični moment otpora oko z-z osi | $W_{el,z}$ | 76,90 | cm^3 | |
| Plastični moment otpora oko y-y osi | $W_{pl,y}$ | 246,00 | cm^3 | |
| Plastični moment otpora oko z-z osi | $W_{pl,z}$ | 117,63 | cm^3 | |
| Savojna konstanta presjeka | I_w | 31410,00 | cm^6 | |
| Statički moment | Q_y | 123,00 | cm^3 | |
| Statički moment | Q_z | 28,80 | cm^3 | |
| Krivulja izvijanja | BC_y | b | | Tab. 6.2 |
| Krivulja izvijanja | BC_z | c | | Tab. 6.2 |

Pomaci

| | | | |
|---------|-------|------|----|
| Smjer x | w_x | 0,1 | mm |
| Smjer y | w_y | 9,9 | mm |
| Smjer z | w_z | -4,0 | mm |

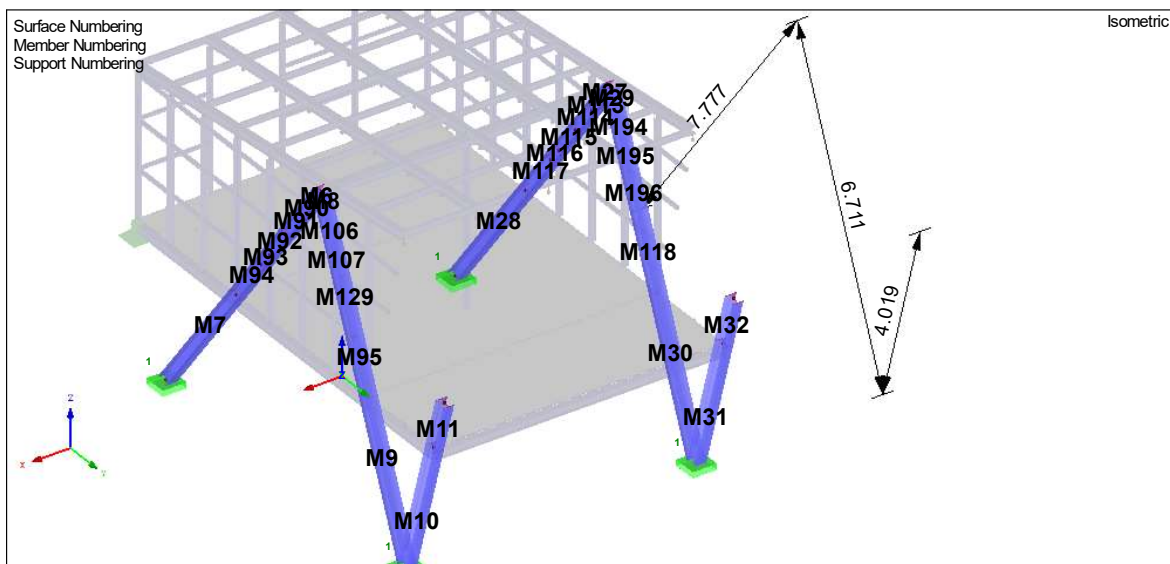
Proračun uporabljivosti

| | | | |
|-------------------------------|-------------------|--------|-------------------------|
| Otklon | $w_{max,y}$ | -0,2 | mm |
| Referentna duljina | l | 0,581 | m |
| Kriterij granične vrijednosti | $l / w_{limit,y}$ | 300,00 | |
| Granična vrijednost pomaka | $w_{limit,y}$ | 1,9 | mm |
| Uporabljivost | η | 0,09 | ≤ 1 EN 1990 (6.13) |
| | | □ | |

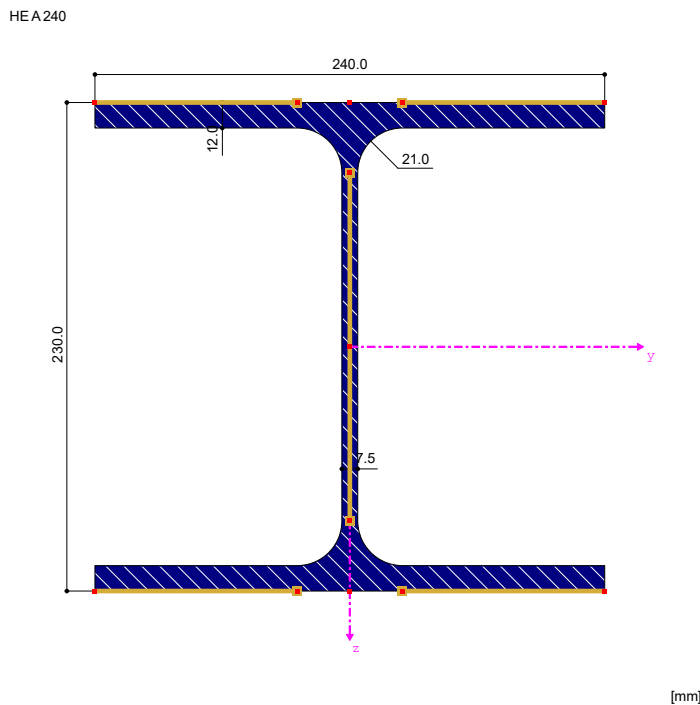
Proračun uporabljivosti

$$w_{max,y} / w_{limit,y} = 0.09 \leq 1 \text{ EN 1990 (6.13)}$$

6.5. Dimenzioniranje N-nosača

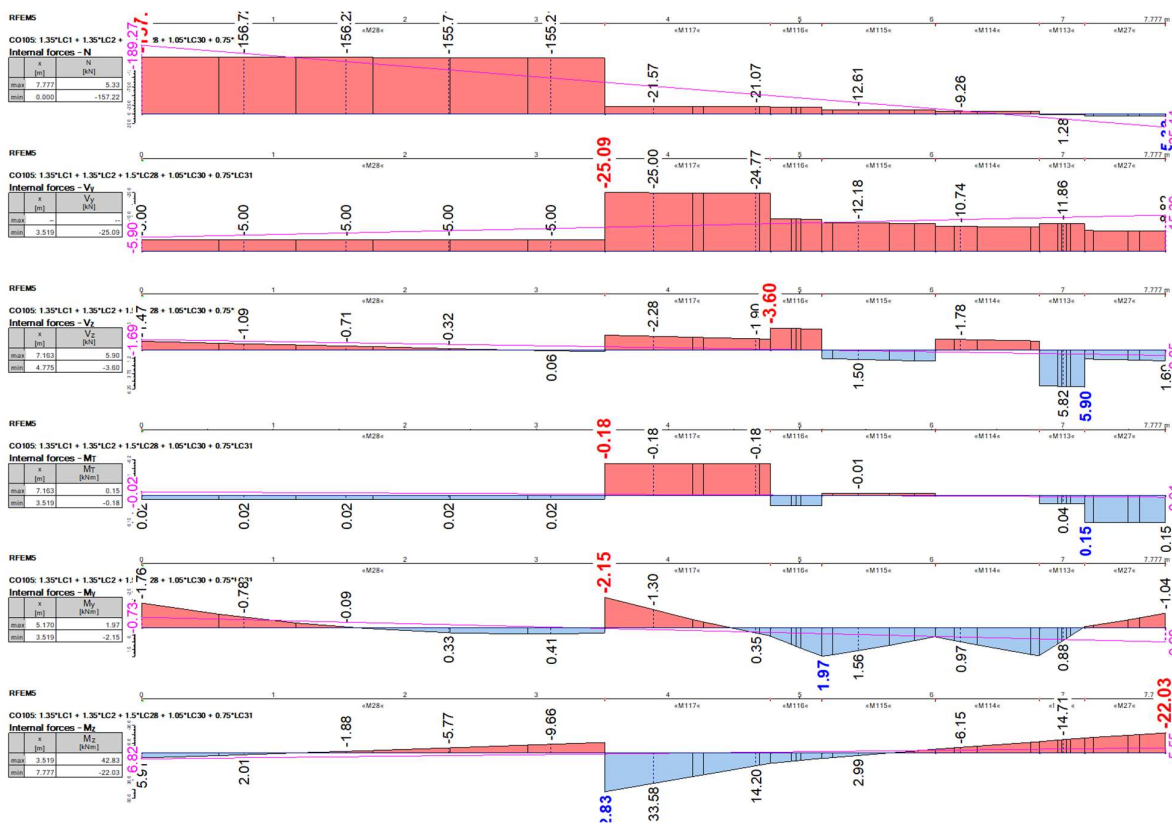


Slika 71: Prikaz N-nosača s brojčanim oznakama [5]



Slika 72: Odabrani poprečni presjek N-nosača HEA 240 [5]

6.5.1. Proračun GSN N-nosača



Slika 73: Dijagrami unutarnjih sila N-nosača za kombinaciju opterećenja CO105.

| Nosač Br. | Presjek x [m] | Opterećenje | Design ratio | Design According to Formula | |
|--------------|------------------|-------------|-----------------|---|--|
| | | | | CS221) Provjera presjeka - Dvoosno savijanje, smicanje i aksijalna sila prema 6.2.10 i 6.2.9 | |
| 118 | 1,084 | CO105 | 0,61 ≤ 1 | | |

Karakteristike materijala - Čelik S 235 / EN 10025-2:2004-11

| | | | | |
|--|----------------|----------|--------------------|-------|
| Modul elastičnosti | E | 21000,00 | kN/cm ² | |
| Modul posmika | G | 8076,92 | kN/cm ² | |
| Debljina t ≤ 16 mm | | | | |
| Granica popuštanja | f _y | 23,50 | kN/cm ² | 3.2.1 |
| Vlačna čvrstoća | f _u | 36,00 | kN/cm ² | 3.2.1 |
| Debljina t > 16 mm i t ≤ 40 mm | | | | |
| Granica popuštanja | f _y | 22,50 | kN/cm ² | 3.2.1 |
| Vlačna čvrstoća | f _u | 36,00 | kN/cm ² | 3.2.1 |

Debljina $t > 40 \text{ mm}$ i $t \leq 100 \text{ mm}$

| | | | | |
|--------------------|-------|-------|------------------|-------|
| Granica popuštanja | f_y | 21,50 | kN/cm^2 | 3.2.1 |
| Vlačna čvrstoća | f_u | 36,00 | kN/cm^2 | 3.2.1 |

Debljina $t > 100 \text{ mm}$ i $t \leq 150 \text{ mm}$

| | | | | |
|--------------------|-------|-------|------------------|-------|
| Granica popuštanja | f_y | 19,50 | kN/cm^2 | 3.2.1 |
| Vlačna čvrstoća | f_u | 35,00 | kN/cm^2 | 3.2.1 |

Debljina $t > 150 \text{ mm}$ i $t \leq 200 \text{ mm}$

| | | | | |
|--------------------|-------|-------|------------------|-------|
| Granica popuštanja | f_y | 18,50 | kN/cm^2 | 3.2.1 |
| Vlačna čvrstoća | f_u | 34,00 | kN/cm^2 | 3.2.1 |

Debljina $t > 200 \text{ mm}$ i $t \leq 250 \text{ mm}$

| | | | | |
|--------------------|-------|-------|------------------|-------|
| Granica popuštanja | f_y | 17,50 | kN/cm^2 | 3.2.1 |
| Vlačna čvrstoća | f_u | 34,00 | kN/cm^2 | 3.2.1 |

Debljina $t > 250 \text{ mm}$ i $t \leq 400 \text{ mm}$

| | | | | |
|--------------------|-------|-------|------------------|-------|
| Granica popuštanja | f_y | 16,50 | kN/cm^2 | 3.2.1 |
| Vlačna čvrstoća | f_u | 33,00 | kN/cm^2 | 3.2.1 |

Karakteristike poprečnog presjeka - HE A 240 | Euronorm 53-62

| Tip poprečnog presjeka | I-valjani | | | |
|-------------------------------------|------------|-----------|---------------|--------------------------------|
| Visina presjeka | h | 230,0 | mm | |
| Širina presjeka | b | 240,0 | mm | |
| Debljina hrpta | t_w | 7,5 | mm | |
| Debljina pojasnice | t_f | 12,0 | mm | |
| Radius | r | 21,0 | mm | |
| Površina poprečnog presjeka | A | 76,80 | cm^2 | |
| Efektivna posmična površina | $A_{v,y}$ | 59,74 | cm^2 | |
| Efektivna posmična površina | $A_{v,z}$ | 25,14 | cm^2 | $\geq \eta h_w t_w$ 6.2.6(3)a) |
| Moment intercije oko y-y | I_y | 7760,00 | cm^4 | |
| Moment inercije oko z-z | I_z | 2770,00 | cm^4 | |
| Tozijska konstanta | I_t | 41,70 | cm^4 | |
| Polumjer tromosti za y-y os | i_y | 101,0 | mm | |
| Polumjer tromosti za z-z os | i_z | 60,0 | mm | |
| Elastični moment otpora oko y-y osi | $W_{el,y}$ | 675,00 | cm^3 | |
| Elastični moment otpora oko z-z osi | $W_{el,z}$ | 231,00 | cm^3 | |
| Plastični moment otpora oko y-y osi | $W_{pl,y}$ | 744,00 | cm^3 | |
| Plastični moment otpora oko z-z osi | $W_{pl,z}$ | 351,69 | cm^3 | |
| Savojna konstanta presjeka | I_w | 328500,00 | cm^6 | |
| Statički moment | Q_y | 372,00 | cm^3 | |
| Statički moment | Q_z | 86,40 | cm^3 | |
| Krivulja izvijanja | BC_y | b | | Tab. 6.2 |
| Krivulja izvijanja | BC_z | c | | Tab. 6.2 |

Proračunske unutarnje sile

| | | | |
|------------------|------------|--------|-----|
| Normalna sila | N_{Ed} | -71,18 | kN |
| Posmična sila | $V_{y,Ed}$ | -28,57 | kN |
| Posmična sila | $V_{z,Ed}$ | -4,16 | kN |
| Torzijski moment | T_{Ed} | 0,09 | kNm |
| Moment | $M_{y,Ed}$ | -4,02 | kNm |
| Moment | $M_{z,Ed}$ | 49,99 | kNm |

Klasifikacija poprečnog presjeka - Klasa 1

Pojasnica

| | | | | |
|------------------------|--------------------|--------|----------------------|----------|
| | c_f | 95,3 | mm | Tab. 5.2 |
| | t_f | 12,0 | mm | Tab. 5.2 |
| Koeficijent materijala | ε_f | 1,000 | | Tab. 5.2 |
| c/t-granica za klasu 1 | $\lambda_{f,1}$ | 9,000 | | Tab. 5.2 |
| c/t-granica za klasu 2 | $\lambda_{f,2}$ | 10,000 | | Tab. 5.2 |
| c/t-granica za klasu 3 | $\lambda_{f,3}$ | 14,000 | | Tab. 5.2 |
| c/t | c/t_f | 7,938 | $\leq \lambda_{f,1}$ | |
| Klasa | Klasa _f | 1 | | Tab. 5.2 |

Hrbat

| | | | | | |
|------------------------------|--------------------|--------|----------------------|-----|----------|
| Narezanje na vrhu hrpta | $\sigma_{w,A}$ | -1,35 | kN/cm ² | < 0 | Tlak |
| Narezanje na dnu hrpta | $\sigma_{w,B}$ | -0,50 | kN/cm ² | < 0 | Tlak |
| | c_w | 164,0 | mm | | Tab. 5.2 |
| | t_w | 7,5 | mm | | Tab. 5.2 |
| Granica popuštanja | $f_{yd,w}$ | 23,50 | kN/cm ² | | 3.2.1 |
| Proračunska normalna sila | N_{Ed} | -71,18 | kN | < 0 | Tlak |
| Razmjer tlačnog naprezanja | α_w | 1,000 | | | Tab. 5.2 |
| Narezanje vezano za f_{yd} | $\sigma_{f-yd,1}$ | 23,50 | kN/cm ² | | |
| Narezanje vezano za f_{yd} | $\sigma_{f-yd,2}$ | 8,72 | kN/cm ² | | |
| Razmjer naprezanja | ψ_w | 0,371 | | | Tab. 5.2 |
| Koeficijent materijala | ε_w | 1,000 | | | Tab. 5.2 |
| c/t-granica za klasu 1 | $\lambda_{w,1}$ | 33,000 | | | Tab. 5.2 |
| c/t-granica za klasu 2 | $\lambda_{w,2}$ | 38,000 | | | Tab. 5.2 |
| c/t-granica za klasu 3 | $\lambda_{w,3}$ | 53,000 | | | Tab. 5.2 |
| c/t | c/t_w | 21,867 | $\leq \lambda_{w,1}$ | | |
| Klasa | Klasa _w | 1 | | | Tab. 5.2 |
| Klasa poprečnog presjeka | Klasa | 1 | | | |

Proračun

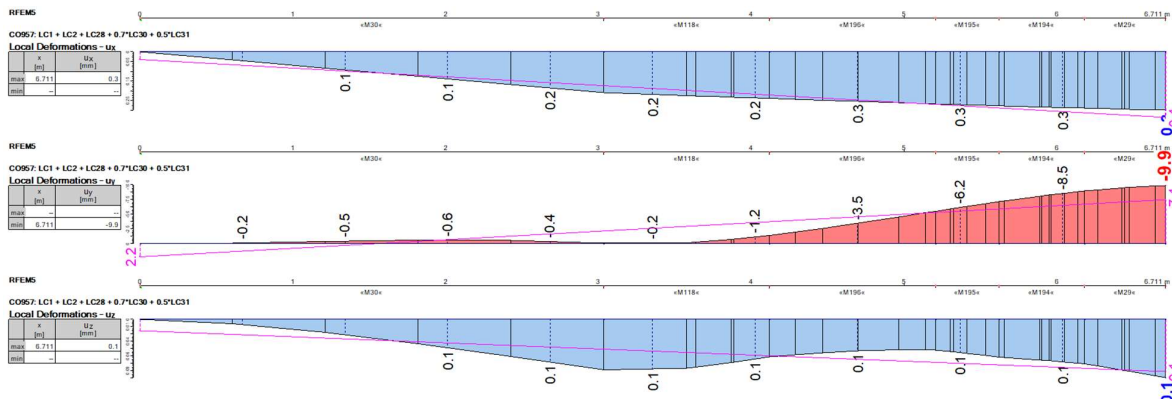
| | | | |
|-------------------------|------------|--------|-----------------|
| Moment | $M_{y,Ed}$ | 4,02 | kNm |
| Plastični moment otpora | $W_{pl,y}$ | 744,00 | cm ³ |

| | | | | |
|-------------------------------------|---------------|---------|--------------------|------------|
| Granica popuštanja | f_y | 23,50 | kN/cm ² | 3.2.1 |
| Parcijalni faktor | γ_{M0} | 1,000 | | 6,1 |
| Plastični moment nosivosti | $M_{pl,y,Rd}$ | 174,84 | kNm | Eq. (6.13) |
| Proračunska poprečna sila | $V_{z,Ed}$ | 4,16 | kN | |
| Efektivna posmična površina | $A_{v,z}$ | 25,14 | cm ² | 6.2.6(3) |
| Nosivost na poprečnu silu | $V_{pl,z,Rd}$ | 341,09 | kN | Eq. (6.18) |
| $V_{z,Ed} / V_{pl,z,Rd}$ | v_z | 0,012 | ≤ 0.5 | 6.2.10(2) |
| Proračunska normalna sila | N_{Ed} | -71,18 | kN | |
| Površina poprečnog presjeka | A | 76,80 | cm ² | |
| Plastična nosivost na normalnu silu | $N_{pl,Rd}$ | 1804,80 | kN | (6.6) |
| Debljina hrpta | h_w | 206,0 | mm | |
| Debljina pojasnice | t_w | 7,5 | mm | |
| Kriterij 1 | n | 0,039 | ≤ 0.25 | (6.33) |
| Kriterij 2 | n_w | 0,196 | ≤ 0.50 | (6.34) |
| Moment | $M_{z,Ed}$ | 49,99 | kNm | |
| Plastični moment otpora | $W_{pl,z}$ | 351,69 | cm ³ | |
| Moment nosivosti | $M_{pl,z,Rd}$ | 82,65 | kNm | Eq. (6.13) |
| Proračunska poprečna sila | $V_{y,Ed}$ | 28,57 | kN | |
| Efektivna posmična površina | $A_{v,y}$ | 59,74 | cm ² | 6.2.6(3) |
| Posmična nosivost | $V_{pl,y,Rd}$ | 810,50 | kN | Eq. (6.18) |
| $V_{y,Ed} / V_{pl,y,Rd}$ | v_y | 0,035 | ≤ 0.5 | 6.2.10(2) |
| Kriterij | n_w | 0,196 | ≤ 1 | (6.35) |
| Konstanta interakcije | α | 2,000 | | 6.2.9.1(6) |
| Konstanta interakcije | β | 1,000 | | 6.2.9.1(6) |
| Proračunska komponenta za M_y | η_{My} | 0,00 | ≤ 1 | Eq. (6.41) |
| Proračunska komponenta za M_z | η_{Mz} | 0,60 | ≤ 1 | Eq. (6.41) |
| Proračunska komponenta za M | η_M | 0,61 | ≤ 1 | Eq. (6.41) |

Proračun nosivosti

$$(M_{y,Ed} / M_{N,y,Rd})^\alpha + (M_{z,Ed} / M_{N,z,Rd})^\beta = 0,61 \leq 1 \quad (6.41)$$

6.5.2. Proračun GSU N-nosača



Slika 74: Dijagram relativnog pomaka N-nosača za kombinaciju CO957.

Karakteristike materijala - Čelik S 235 / EN 10025-2:2004-11

| | | | | |
|----------------------------------|----------------|----------|--------------------|-------|
| Modul elastičnosti | E | 21000,00 | kN/cm ² | |
| Modul posmika | G | 8076,92 | kN/cm ² | |
| Debljina t ≤ 16 mm | | | | |
| Granica popuštanja | f _y | 23,50 | kN/cm ² | 3.2.1 |
| Vlačna čvrstoća | f _u | 36,00 | kN/cm ² | 3.2.1 |
| Debljina t > 16 mm i t ≤ 40 mm | | | | |
| Granica popuštanja | f _y | 22,50 | kN/cm ² | 3.2.1 |
| Vlačna čvrstoća | f _u | 36,00 | kN/cm ² | 3.2.1 |
| Debljina t > 40 mm i t ≤ 100 mm | | | | |
| Granica popuštanja | f _y | 21,50 | kN/cm ² | 3.2.1 |
| Vlačna čvrstoća | f _u | 36,00 | kN/cm ² | 3.2.1 |
| Debljina t > 100 mm i t ≤ 150 mm | | | | |
| Granica popuštanja | f _y | 19,50 | kN/cm ² | 3.2.1 |
| Vlačna čvrstoća | f _u | 35,00 | kN/cm ² | 3.2.1 |
| Debljina t > 150 mm i t ≤ 200 mm | | | | |
| Granica popuštanja | f _y | 18,50 | kN/cm ² | 3.2.1 |
| Vlačna čvrstoća | f _u | 34,00 | kN/cm ² | 3.2.1 |
| Debljina t > 200 mm i t ≤ 250 mm | | | | |
| Granica popuštanja | f _y | 17,50 | kN/cm ² | 3.2.1 |
| Vlačna čvrstoća | f _u | 34,00 | kN/cm ² | 3.2.1 |
| Debljina t > 250 mm i t ≤ 400 mm | | | | |
| Granica popuštanja | f _y | 16,50 | kN/cm ² | 3.2.1 |
| Vlačna čvrstoća | f _u | 33,00 | kN/cm ² | 3.2.1 |

Karakteristike poprečnog presjeka - HE A 240 | Euronorm 53-62

| Tip poprečnog presjeka | I-valjani | | |
|-------------------------------------|-------------------|-----------|--|
| Visina presjeka | h | 230,0 | mm |
| Širina presjeka | b | 240,0 | mm |
| Debljina hrpta | t _w | 7,5 | mm |
| Debljina pojasnice | t _f | 12,0 | mm |
| Radijus | r | 21,0 | mm |
| Površina poprečnog presjeka | A | 76,80 | cm ² |
| Efektivna posmična površina | A _{v,y} | 59,74 | cm ² |
| Efektivna posmična površina | A _{v,z} | 25,14 | cm ² $\geq \eta h_w t_w$ 6.2.6(3)a) |
| Moment intercije oko y-y | I _y | 7760,00 | cm ⁴ |
| Moment inercije oko z-z | I _z | 2770,00 | cm ⁴ |
| Tozijska konstanta | I _t | 41,70 | cm ⁴ |
| Polumjer tromosti za y-y os | i _y | 101,0 | mm |
| Polumjer tromosti za z-z os | i _z | 60,0 | mm |
| Elastični moment otpora oko y-y osi | W _{el,y} | 675,00 | cm ³ |
| Elastični moment otpora oko z-z osi | W _{el,z} | 231,00 | cm ³ |
| Plastični moment otpora oko y-y osi | W _{pl,y} | 744,00 | cm ³ |
| Plastični moment otpora oko z-z osi | W _{pl,z} | 351,69 | cm ³ |
| Savojna konstanta presjeka | I _w | 328500,00 | cm ⁶ |
| Statički moment | Q _y | 372,00 | cm ³ |
| Statički moment | Q _z | 86,40 | cm ³ |
| Krivulja izvijanja | BC _y | b | Tab. 6.2 |
| Krivulja izvijanja | BC _z | c | Tab. 6.2 |

Pomaci

| | | | |
|---------|----------------|------|----|
| Smjer x | w _x | 0,3 | mm |
| Smjer y | w _y | -0,2 | mm |
| Smjer z | w _z | 0,1 | mm |

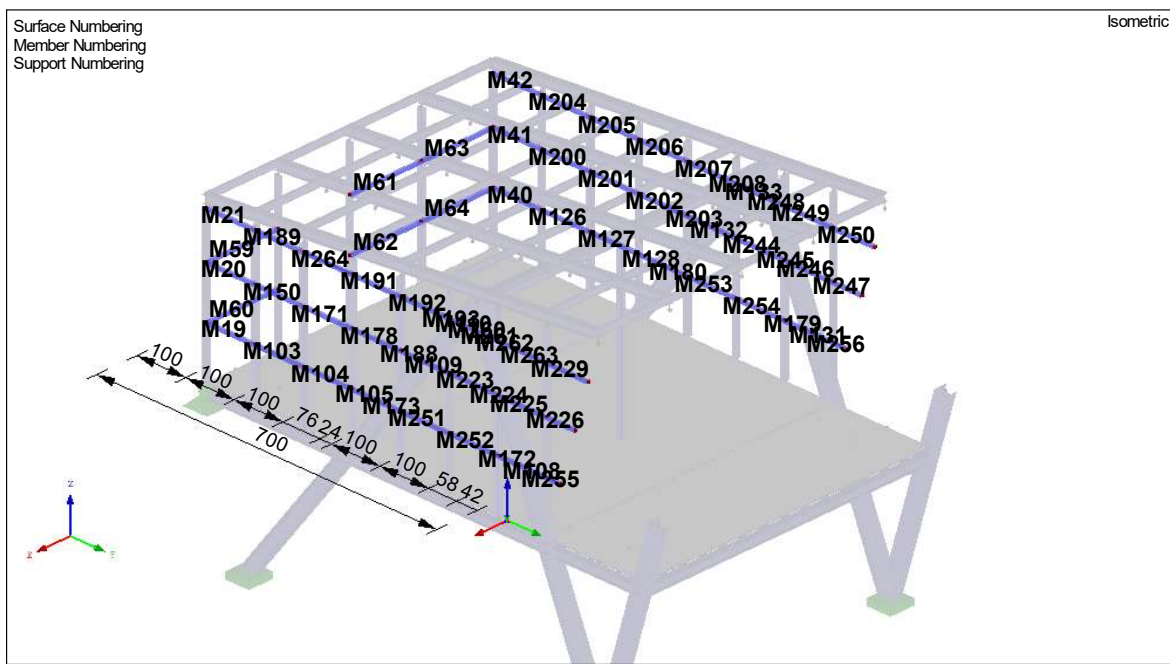
Proračun uporabljivosti

| | | | | |
|-------------------------------|------------------------|--------|----------|-------------------|
| Otklon | w _{max,y} | 0,6 | mm | |
| Referentna duljina | | 1,084 | m | |
| Kriterij granične vrijednosti | / w _{limit,y} | 300,00 | | |
| Granična vrijednost pomaka | w _{limit,y} | 3,6 | mm | |
| Uporabljivost | η | 0,17 | ≤ 1 | EN 1990 (6.13) |

Uvjet uporabljivosti

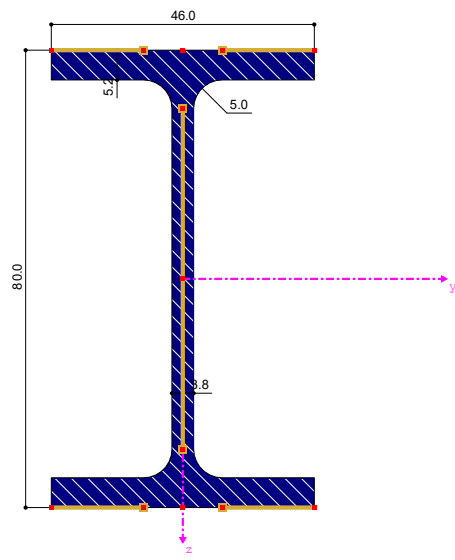
$$w_{max,y} / w_{limit,y} = 0,17 \leq 1 \quad EN 1990 (6.13)$$

6.6. Dimenzioniranje nosača fasade



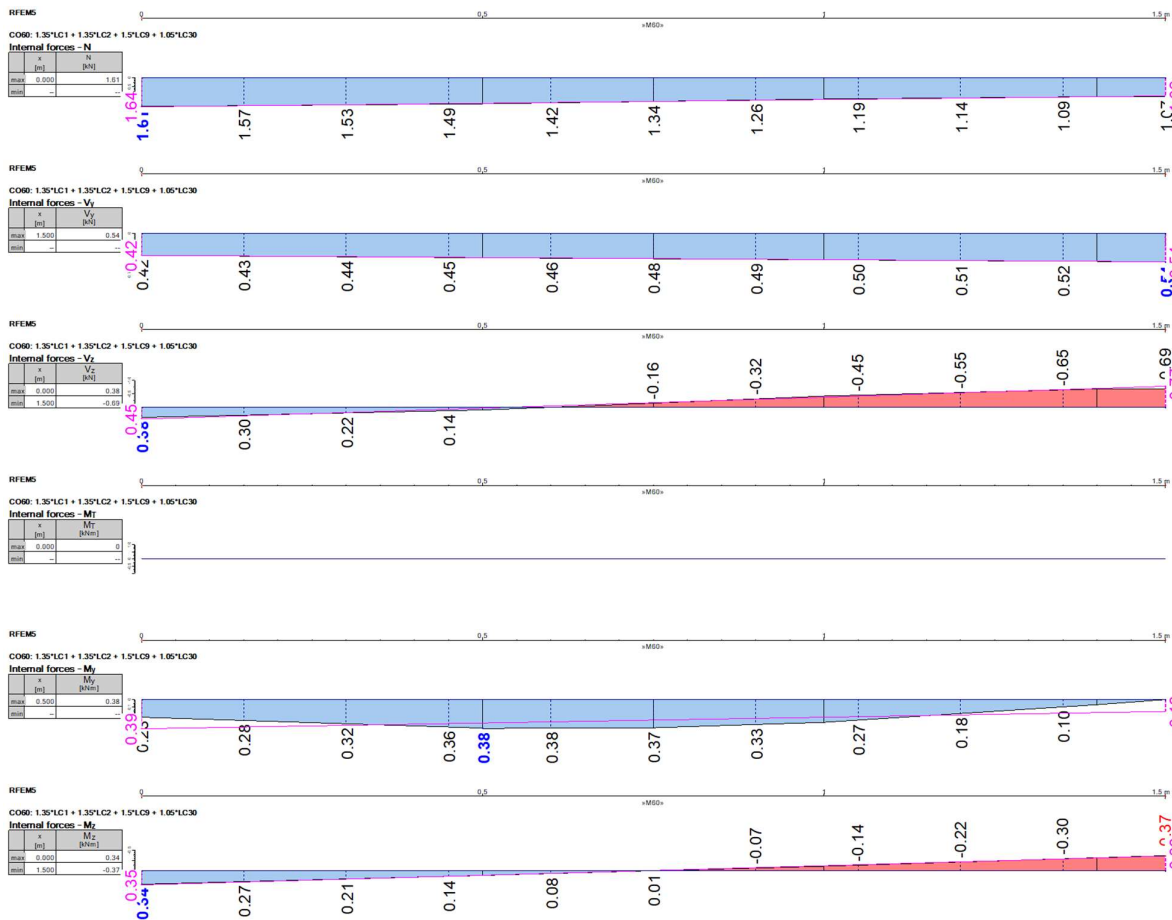
Slika 75: Izometrijski prikaz nosača fasade s oznakama.

IPE 80



Slika 76: Poprečni presjek IPE 80 nosača fasade.

6.6.1. Proračun GSN nosača fasade



Slika 77: Dijagrami unutarnjih sila nosača fasade za GSN za kombinaciju CO480.

| Nosač Br. | Lokacija presjeka x [m] | Opterećenje | Design ratio | Design According to Formula |
|--------------|-------------------------------|-------------|--------------|--|
| 60 | 0,000 | CO480 | 0,82 ≤ 1 | CS221) Provjera presjeka - Dvoosno savijanje, smicanje i aksijalna sila prema 6.2.10 i 6.2.9 |

Karakteristike materijala - Čelik S 235 / EN 10025-2:2004-11

 Modul elastičnosti E 21000,00 kN/cm²

 Modul posmika G 8076,92 kN/cm²

Debljina t ≤ 16 mm

 Granica popuštanja f_y 23,50 kN/cm²

 Vlačna čvrstoća f_u 36,00 kN/cm²

3.2.1

Debljina t > 16 mm i t ≤ 40 mm

 Granica popuštanja f_y 22,50 kN/cm²

3.2.1

| | | | | | |
|----------------------------------|-----------------|-------|-------|--------------------|-------|
| | Vlačna čvrstoća | f_u | 36,00 | kN/cm ² | 3.2.1 |
| Debljina t > 40 mm i t ≤ 100 mm | | | | | |
| Granica popuštanja | f_y | 21,50 | | kN/cm ² | 3.2.1 |
| Vlačna čvrstoća | f_u | 36,00 | | kN/cm ² | 3.2.1 |
| Debljina t > 100 mm i t ≤ 150 mm | | | | | |
| Granica popuštanja | f_y | 19,50 | | kN/cm ² | 3.2.1 |
| Vlačna čvrstoća | f_u | 35,00 | | kN/cm ² | 3.2.1 |
| Debljina t > 150 mm i t ≤ 200 mm | | | | | |
| Granica popuštanja | f_y | 18,50 | | kN/cm ² | 3.2.1 |
| Vlačna čvrstoća | f_u | 34,00 | | kN/cm ² | 3.2.1 |
| Debljina t > 200 mm i t ≤ 250 mm | | | | | |
| Granica popuštanja | f_y | 17,50 | | kN/cm ² | 3.2.1 |
| Vlačna čvrstoća | f_u | 34,00 | | kN/cm ² | 3.2.1 |
| Debljina t > 250 mm i t ≤ 400 mm | | | | | |
| Granica popuštanja | f_y | 16,50 | | kN/cm ² | 3.2.1 |
| Vlačna čvrstoća | f_u | 33,00 | | kN/cm ² | 3.2.1 |

Karakteristike poprečnog presjeka - IPE 80 / Euronorm 19-57

| | | | |
|-------------------------------------|------------|--------|-----------------|
| Tip poprečnog presjeka | I-valjani | | |
| Visina presjeka | h | 80,0 | mm |
| Širina presjeka | b | 46,0 | mm |
| Debljina hrpta | t_w | 3,8 | mm |
| Debljina pojasnice | t_f | 5,2 | mm |
| Radius | r | 5,0 | mm |
| Površina poprečnog presjeka | A | 7,64 | cm ² |
| Efektivna posmična površina | $A_{v,y}$ | 5,12 | cm ² |
| Efektivna posmična površina | $A_{v,z}$ | 3,57 | cm ² |
| Moment intercije oko y-y | I_y | 80,10 | cm ⁴ |
| Moment inercije oko z-z | I_z | 8,49 | cm ⁴ |
| Tozijska konstanta | I_t | 0,70 | cm ⁴ |
| Polumjer tromosti za y-y os | i_y | 32,4 | mm |
| Polumjer tromosti za z-z os | i_z | 10,5 | mm |
| Elastični moment otpora oko y-y osi | $W_{el,y}$ | 20,00 | cm ³ |
| Elastični moment otpora oko z-z osi | $W_{el,z}$ | 3,69 | cm ³ |
| Plastični moment otpora oko y-y osi | $W_{pl,y}$ | 23,20 | cm ³ |
| Plastični moment otpora oko z-z osi | $W_{pl,z}$ | 5,82 | cm ³ |
| Savojna konstanta presjeka | I_w | 118,00 | cm ⁶ |
| Statički moment | Q_y | 11,60 | cm ³ |
| Statički moment | Q_z | 1,38 | cm ³ |
| Krivulja izvijanja | BC_y | a | Tab. 6.2 |
| Krivulja izvijanja | BC_z | b | Tab. 6.2 |

Proračunske unutarnje sile

| | | | |
|------------------|------------|-------|-----|
| Normalna sila | N_{Ed} | 0,71 | kN |
| Posmična sila | $V_{y,Ed}$ | 1,36 | kN |
| Posmična sila | $V_{z,Ed}$ | -1,92 | kN |
| Torzijski moment | T_{Ed} | 0,00 | kNm |
| Moment | $M_{y,Ed}$ | 1,29 | kNm |
| Moment | $M_{z,Ed}$ | 1,04 | kNm |

Klasifikacija poprečnog presjeka - Klasa 1

Pojasnica

| | | | | |
|------------------------|--------------------|--------|----------------------|----------|
| | c_f | 16,1 | mm | Tab. 5.2 |
| | t_f | 5,2 | mm | Tab. 5.2 |
| Koeficijent materijala | ε_f | 1,000 | | Tab. 5.2 |
| c/t-granica za klasu 1 | $\lambda_{f,1}$ | 9,000 | | Tab. 5.2 |
| c/t-granica za klasu 2 | $\lambda_{f,2}$ | 10,000 | | Tab. 5.2 |
| c/t-granica za klasu 3 | $\lambda_{f,3}$ | 14,000 | | Tab. 5.2 |
| c/t | c/t_f | 3,096 | $\leq \lambda_{f,1}$ | |
| Klasa | Klasa _f | 1 | | Tab. 5.2 |

Hrbat

| | | | | | |
|-------------------------------|--------------------|---------|----------------------|-------|----------|
| Naprezanje na vrhu hrpta | $\sigma_{w,A}$ | 4,87 | kN/cm ² | > 0 | Vlak |
| Naprezanje na dnu hrpta | $\sigma_{w,B}$ | -4,69 | kN/cm ² | < 0 | Tlak |
| | c_w | 59,6 | mm | | Tab. 5.2 |
| | t_w | 3,8 | mm | | Tab. 5.2 |
| Granica popuštanja | $f_{yd,w}$ | 23,50 | kN/cm ² | | 3.2.1 |
| Proračunska normalna sila | N_{Ed} | 0,71 | kN | > 0 | Vlak |
| Razmjer tlačnog naprezanja | α_w | 0,493 | | | Tab. 5.2 |
| Naprezanje vezano za f_{yd} | $\sigma_{f-yd,1}$ | 23,50 | kN/cm ² | | |
| Naprezanje vezano za f_{yd} | $\sigma_{f-yd,2}$ | -24,43 | kN/cm ² | | |
| Razmjer naprezanja | ψ_w | -1,040 | | | Tab. 5.2 |
| Koeficijent materijala | ε_w | 1,000 | | | Tab. 5.2 |
| c/t-granica za klasu 1 | $\lambda_{w,1}$ | 72,973 | | | Tab. 5.2 |
| c/t-granica za klasu 2 | $\lambda_{w,2}$ | 84,121 | | | Tab. 5.2 |
| c/t-granica za klasu 3 | $\lambda_{w,3}$ | 128,936 | | | Tab. 5.2 |
| c/t | c/t_w | 15,684 | $\leq \lambda_{w,1}$ | | |
| Klasa | Klasa _w | 1 | | | Tab. 5.2 |
| Klasa poprečnog presjeka | Klasa | 1 | | | |

Proračun nosivosti

| | | | |
|----------------------------|---------------|-------|--------------------|
| Moment | $M_{y,Ed}$ | 1,29 | kNm |
| Plastični moment otpora | $W_{pl,y}$ | 23,20 | cm ³ |
| Granica popuštanja | f_y | 23,50 | kN/cm ² |
| Parcijalni faktor | γ_M | 1,000 | |
| Plastični moment nosivosti | $M_{pl,y,Rd}$ | 5,45 | kNm |
| | | | Eq. (6.13) |

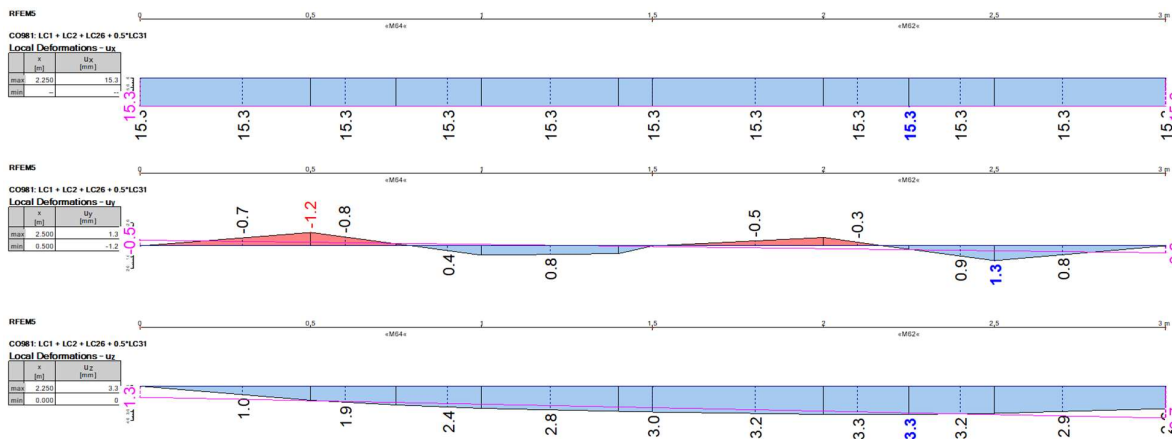
| | | | | | |
|-------------------------------------|---------------|--------|-----------------|-------------|------------|
| Proračunska poprečna sila | $V_{z,Ed}$ | 1,92 | kN | | |
| Efektivna posmična površina | $A_{v,z}$ | 3,57 | cm ² | 6.2.6(3) | |
| Nosivost na poprečnu silu | $V_{pl,z,Rd}$ | 48,49 | kN | Eq. (6.18) | |
| $V_{z,Ed} / V_{pl,z,Rd}$ | v_z | 0,040 | | ≤ 0.5 | 6.2.10(2) |
| Proračunska normalna sila | N_{Ed} | 0,71 | kN | | |
| Površina poprečnog presjeka | A | 7,64 | cm ² | | |
| Plastična nosivost na normalnu silu | $N_{pl,Rd}$ | 179,54 | kN | (6.6) | |
| Debljina hrpta | h_w | 69,6 | mm | | |
| Debljina pojasnice | t_w | 3,8 | mm | | |
| Kriterij 1 | n | 0,004 | | ≤ 0.25 | (6.33) |
| Kriterij 2 | n_w | 0,011 | | ≤ 0.50 | (6.34) |
| Moment | $M_{z,Ed}$ | 1,04 | kNm | | |
| Plastični moment otpora | $W_{pl,z}$ | 5,82 | cm ³ | | |
| Moment nosivosti | $M_{pl,z,Rd}$ | 1,37 | kNm | Eq. (6.13) | |
| Proračunska poprečna sila | $V_{y,Ed}$ | 1,36 | kN | | |
| Efektivna posmična površina | $A_{v,y}$ | 5,12 | cm ² | 6.2.6(3) | |
| Posmična nosivost | $V_{pl,y,Rd}$ | 69,45 | kN | Eq. (6.18) | |
| $V_{y,Ed} / V_{pl,y,Rd}$ | v_y | 0,020 | | ≤ 0.5 | 6.2.10(2) |
| Kriterij | n_w | 0,011 | | ≤ 1 | (6.35) |
| Konstanta interakcije | α | 2,000 | | | 6.2.9.1(6) |
| Konstanta interakcije | β | 1,000 | | | 6.2.9.1(6) |
| Proračunska komponenta za M_y | η_{My} | 0,06 | | ≤ 1 | Eq. (6.41) |
| Proračunska komponenta za M_z | η_{Mz} | 0,76 | | ≤ 1 | Eq. (6.41) |
| Proračunska komponenta za M | η_M | 0,82 | | ≤ 1 | Eq. (6.41) |

□

Uvjet nosivosti

$$(M_{y,Ed} / M_{N,y,Rd})^\alpha + (M_{z,Ed} / M_{N,z,Rd})^\beta = 0.82 \leq 1 \quad (6.41)$$

6.6.2. Proračun GSU nosača fasade



Slika 78: Dijagrami relativnih pomaka nosača fasade za kombinaciju CO981.

Karakteristike materijala - Čelik S 235 / EN 10025-2:2004-11

| | | | |
|--|----------------|----------|--------------------|
| Modul elastičnosti | E | 21000,00 | kN/cm ² |
| Modul posmika | G | 8076,92 | kN/cm ² |
| Debljina t ≤ 16 mm | | | |
| Granica popuštanja | f _y | 23,50 | kN/cm ² |
| Vlačna čvrstoća | f _u | 36,00 | kN/cm ² |
| Debljina t > 16 mm i t ≤ 40 mm | | | |
| Granica popuštanja | f _y | 22,50 | kN/cm ² |
| Vlačna čvrstoća | f _u | 36,00 | kN/cm ² |
| Debljina t > 40 mm i t ≤ 100 mm | | | |
| Granica popuštanja | f _y | 21,50 | kN/cm ² |
| Vlačna čvrstoća | f _u | 36,00 | kN/cm ² |
| Debljina t > 100 mm i t ≤ 150 mm | | | |
| Granica popuštanja | f _y | 19,50 | kN/cm ² |
| Vlačna čvrstoća | f _u | 35,00 | kN/cm ² |
| Debljina t > 150 mm i t ≤ 200 mm | | | |
| Granica popuštanja | f _y | 18,50 | kN/cm ² |
| Vlačna čvrstoća | f _u | 34,00 | kN/cm ² |
| Debljina t > 200 mm i t ≤ 250 mm | | | |
| Granica popuštanja | f _y | 17,50 | kN/cm ² |
| Vlačna čvrstoća | f _u | 34,00 | kN/cm ² |
| Debljina t > 250 mm i t ≤ 400 mm | | | |
| Granica popuštanja | f _y | 16,50 | kN/cm ² |
| Vlačna čvrstoća | f _u | 33,00 | kN/cm ² |

Karakteristike poprečnog presjeka - IPE 80 / Euronorm 19-57

| Tip poprečnog presjeka | I-valjani | | |
|-------------------------------------|-------------------|--------|-----------------|
| Tip poprečnog presjeka | h | 80,0 | mm |
| Visina presjeka | b | 46,0 | mm |
| Širina presjeka | t _w | 3,8 | mm |
| Debljina hrpta | t _f | 5,2 | mm |
| Debljina pojasnice | r | 5,0 | mm |
| Radius | A | 7,64 | cm ² |
| Površina poprečnog presjeka | A _{v,y} | 5,12 | cm ² |
| Efektivna posmična površina | A _{v,z} | 3,57 | cm ² |
| Efektivna posmična površina | I _y | 80,10 | cm ⁴ |
| Moment intercije oko y-y | I _z | 8,49 | cm ⁴ |
| Moment inercije oko z-z | I _t | 0,70 | cm ⁴ |
| Tozijska konstanta | i _y | 32,4 | mm |
| Polumjer tromosti za y-y os | i _z | 10,5 | mm |
| Polumjer tromosti za z-z os | W _{el,y} | 20,00 | cm ³ |
| Elastični moment otpora oko y-y osi | W _{el,z} | 3,69 | cm ³ |
| Elastični moment otpora oko z-z osi | W _{pl,y} | 23,20 | cm ³ |
| Plastični moment otpora oko y-y osi | W _{pl,z} | 5,82 | cm ³ |
| Plastični moment otpora oko z-z osi | I _w | 118,00 | cm ⁶ |
| Savojna konstanta presjeka | Q _y | 11,60 | cm ³ |
| Statički moment | Q _z | 1,38 | cm ³ |
| Statički moment | BC _y | a | |
| Krivilja izvijanja | BC _z | b | |

Pomaci

| | | | |
|---------|----------------|------|----|
| Smjer x | w _x | 15,3 | mm |
| Smjer y | w _y | 1,6 | mm |
| Smjer z | w _z | 3,1 | mm |

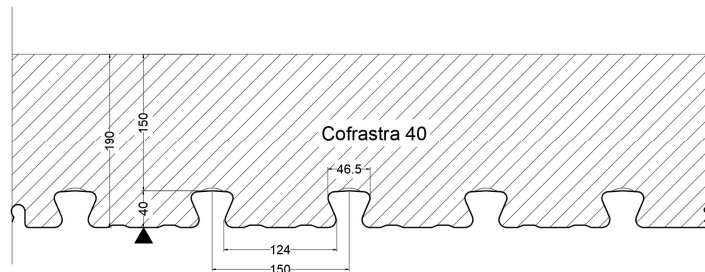
Proračun uporabljivosti

| | | | |
|-------------------------------|--------------------------|--------|-----|
| Otklon | w _{max,y} | 1,6 | mm |
| Referentna duljina | l | 1,500 | m |
| Kriterij granične vrijednosti | l / w _{limit,y} | 300,00 | |
| Granična vrijednost pomaka | w _{limit,y} | 5,0 | mm |
| Uporabljivost | η | 0,31 | ≤ 1 |

Uvjet uporabljivosti

$$w_{max,y} / w_{limit,y} = 0.31 \leq 1 \text{ EN 1990 (6.13)}$$

6.7. Dimenzioniranje međukatne spregnute ploče



Slika 79: Presjek međukatne spregnute ploče s dimenzijskim kotama u [mm].

6.7.1. Karakteristike materijala

Lim Cofrastra 40

| | |
|--------------------------|---|
| Visina limenog profila | $h_p = 40 \text{ mm}$ |
| Debljina limenog profila | $t_p = 0,75 \text{ mm}$ |
| Površina lima: | $A_p = 1\ 183 \text{ mm}^2/\text{m}'$ |
| Moment tromosti | $I_p = 175\ 800 \text{ mm}^4/\text{m}'$ |
| Visina neutralne osi | $x_p = 10,60 \text{ mm}$ |
| Granica popuštanja | $f_{yp,d} = 350 \text{ N/mm}^2$ |

Lakoagregatni beton LC25/28

| | |
|---------------------------|---------------------------------|
| Visina betonskog presjeka | $h_c = 150 \text{ mm}$ |
| Tlačna čvrstoća | $f_{cd} = 16,67 \text{ N/mm}^2$ |
| Modul elastičnosti | $E = 2000 \text{ kN/cm}^2$ |
| Gustoća | $\rho = 17,50 \text{ kN/m}^3$ |

Odabrana armaturna mreža 2x Q257

| | |
|----------------------|--|
| Površina mreže | $A_s = 2,57 \text{ cm}^2/\text{m} \cdot 5,45 \text{ cm}$ |
| Granica popuštanja | $f_{sd} = 43,48 \text{ N/mm}^2$ |
| Zaštitni sloj betona | $x_s = 3,5 \text{ cm}$ |

6.7.2. Proračun unutarnjih sila spregnute ploče

Stalno opterećenje međukatne konstrukcije izračunato u poglavlju 4.1. iznosi $2,85 \text{ kN/m}^2$ uz pridodanu vrijednost vlastite težine betona od $3,0 \text{ kN/m}^2$ iznosi $5,85 \text{ kN/m}^2$. Uporabno opterećenje stvara pritisak od $2,0 \text{ kN/m}^2$.

Za statički sustav proste grede, dobivene su sljedeće vrijednosti unutarjih sila:

$$M_{Ed} = \frac{1,35 \cdot 5,85 + 1,5 \cdot 2}{8} \cdot 6^2 = 49,03$$

$$V_{Ed} = \frac{1,35 \cdot 5,85 + 1,5 \cdot 2}{2} \cdot 6 = 32,69$$

6.7.3. Proračun nosivosti na savijanje te uzdužni i vertikalni posmik

Položaj neutralne osi

$$x_{pl} = \frac{A_p \cdot f_{yd}}{(b \cdot 0,85 \cdot f_{cd})} = \frac{11.83 \cdot 35}{100 \cdot 0.85 \cdot 1.67} = 2.92 < h_c = 15 \text{ cm}$$

$$d_p = h_p + h_c - x_p = 40 + 150 - 10.60 = 179.4 \text{ mm}$$

Nosivost na savijanje

$$M_{Rd} = A_p \cdot f_{yd} \cdot \left(d_p - \frac{A_p \cdot f_{yd}}{1.7 \cdot b \cdot f_{cd}} \right) = 11.83 \cdot 35 \cdot \left(17.9 - \frac{11.83 \cdot 35}{1.7 \cdot 100 \cdot 1.67} \right) = 68.07 \text{ kNm}$$

$$\frac{M_{Ed}}{M_{Rd}} = 0.72$$

Nosivost na uzdužni posmik

$$V_{IRd} = \frac{b \cdot d_p}{\gamma_{vs}} \cdot \left(\frac{m \cdot A_p}{b \cdot L_s} + k \right) = \frac{1000 \cdot 179.4}{1.25} \cdot \left(\frac{166 \cdot 1183}{1000 \cdot 1500} + 0.15 \right) = 40.32 \text{ kN}$$

gdje su:

$$L_s = \frac{L}{4} = \frac{6000}{4} = 1500 \text{ mm}$$

$$m = 166 \cdot \frac{N}{mm^2}$$

$$k = 0.15 \cdot \frac{N}{mm^2}$$

$$\frac{V_{Ed}}{V_{Rd}} = 0.79$$

Nosivost na vertikalni posmik

$$V_{Rdc} = c_{Rdc} \cdot k \cdot \sqrt[3]{100 \cdot \rho_I \cdot f_{ck}} \cdot b_w \cdot d \geq v_{min} \cdot b_w \cdot d$$

$$c_{Rdc} = \frac{0.18}{\gamma_c} = 0.12$$

$$k = 1 + \sqrt{\frac{200}{d}} = 2$$

$$A_p = \frac{V_{I.Rd}}{f_{yd}} = \frac{I_{bs} \cdot \tau \cdot u.Rd}{f_{yd}} = \frac{0.125 \cdot 280}{35} = 1 \frac{cm^2}{m}$$

$$d = \frac{A_s \cdot f_{sd} \cdot x_s + A_p \cdot f_{yd} \cdot (h_p + h_c - x_p)}{A_s \cdot f_{sd} + A_p \cdot f_{yd}} = 5.45cm$$

$$\rho_I = \frac{A_{sl}}{b_w \cdot d} = \frac{A_s + A_p}{(150 - 46.5) \cdot \frac{1000}{150} \cdot 90} = 0.01 < 0.02$$

$$v_{min} = 0.035 \cdot k^2 \cdot f_{ck}^2 = 0.035 \cdot 2^2 \cdot 25^2 = 0.50$$

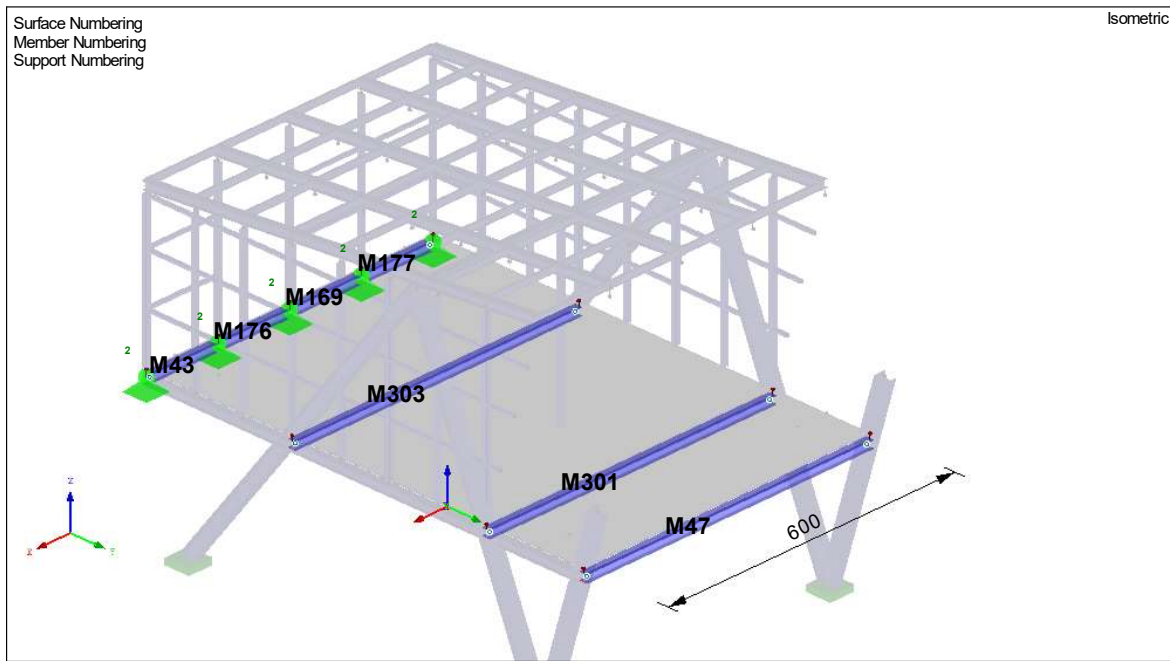
$$V_{Rd.c} = 0.12 \cdot 2 \cdot \sqrt[3]{100 \cdot 0.01 \cdot 25} \cdot 690 \cdot 90 = 43.58kN$$

$$v_{min} \cdot b_w \cdot d = 0.5 \cdot 690 \cdot 95 = 33kN < V_{Rd.c} = 43.58kN$$

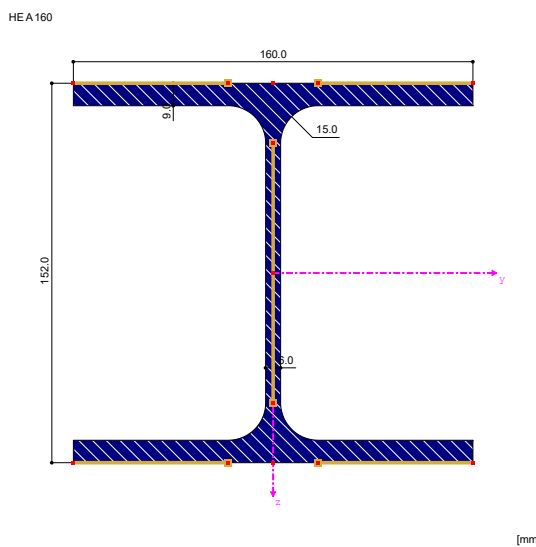
$$\frac{V_{Ed}}{V_{Rd.c}} = 0.98$$

Spregnuta ploča zadovoljava sve provjere nosivosti pri čemu je mjerodavna provjera vertikalnog posmika s 98%.

6.8. Dimenzioniranje poprečnih međukatnih nosača

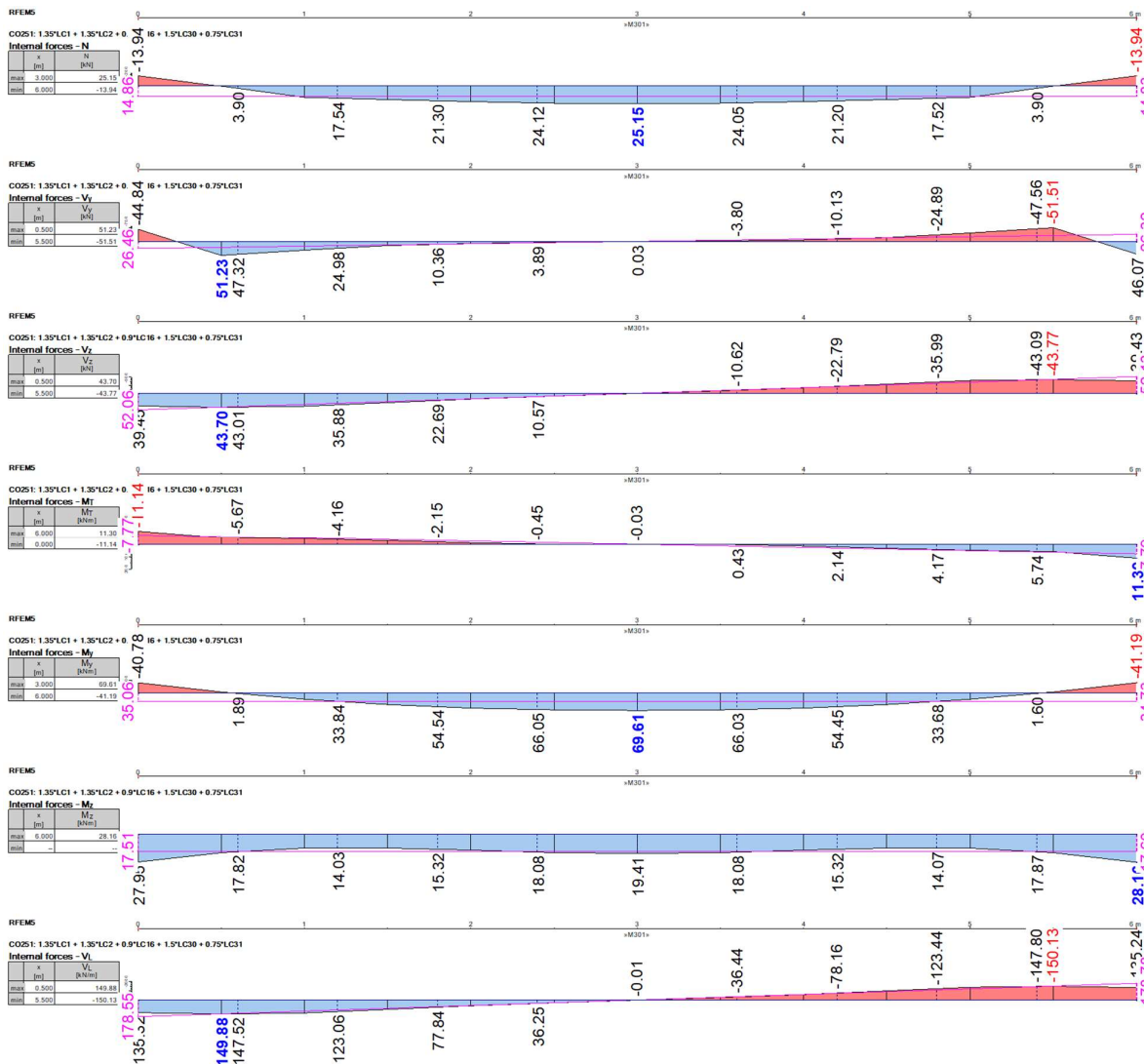


Slika 80: Prikaz poprečnih međukatnih nosača s brojčanim oznakama



Slika 81: Odabrani poprečni presjek poprečnih međukatnih nosača HE A 160.

6.8.1. Proračun GSN poprečnih međukatnih nosača



Slika 82: Dijagrami unutarnjih sila za poprečni međukatni nosač broj 301 za kombinaciju opterećenja CO251.

| Nosač Br. | Presjek x [m] | opterećenje | Iskorištenost | |
|--------------|------------------|-------------|---------------|---|
| 301 | 3,000 | CO251 | 0,38 | ≤ 1 CS181) Provjera presjeka - savijanje, smicanje i aksijalna sila prema do 6.2.9.1 |

Karakteristike materijala - Čelik S 235 / EN 10025-2:2004-11

| | | | | |
|----------------------------------|----------------|----------|--------------------|-------|
| Modul elastičnosti | E | 21000,00 | kN/cm ² | |
| Modul posmika | G | 8076,92 | kN/cm ² | |
| Debljina t ≤ 16 mm | | | | |
| Granica popuštanja | f _y | 23,50 | kN/cm ² | 3.2.1 |
| Vlačna čvrstoća | f _u | 36,00 | kN/cm ² | 3.2.1 |
| Debljina t > 16 mm i t ≤ 40 mm | | | | |
| Granica popuštanja | f _y | 22,50 | kN/cm ² | 3.2.1 |
| Vlačna čvrstoća | f _u | 36,00 | kN/cm ² | 3.2.1 |
| Debljina t > 40 mm i t ≤ 100 mm | | | | |
| Granica popuštanja | f _y | 21,50 | kN/cm ² | 3.2.1 |
| Vlačna čvrstoća | f _u | 36,00 | kN/cm ² | 3.2.1 |
| Debljina t > 100 mm i t ≤ 150 mm | | | | |
| Granica popuštanja | f _y | 19,50 | kN/cm ² | 3.2.1 |
| Vlačna čvrstoća | f _u | 35,00 | kN/cm ² | 3.2.1 |
| Debljina t > 150 mm i t ≤ 200 mm | | | | |
| Granica popuštanja | f _y | 18,50 | kN/cm ² | 3.2.1 |
| Vlačna čvrstoća | f _u | 34,00 | kN/cm ² | 3.2.1 |
| Debljina t > 200 mm i t ≤ 250 mm | | | | |
| Granica popuštanja | f _y | 17,50 | kN/cm ² | 3.2.1 |
| Vlačna čvrstoća | f _u | 34,00 | kN/cm ² | 3.2.1 |
| Debljina t > 250 mm i t ≤ 400 mm | | | | |
| Granica popuštanja | f _y | 16,50 | kN/cm ² | 3.2.1 |
| Vlačna čvrstoća | f _u | 33,00 | kN/cm ² | 3.2.1 |

Klasifikacija poprečnog presjeka - HE A 160 / Euronorm 53-62

| Tip poprečnog presjeka | I-valjani | | | |
|-----------------------------|------------------|---------|-----------------|---|
| Visina presjeka | h | 152,0 | mm | |
| Širina presjeka | b | 160,0 | mm | |
| Debljina hrpta | t _w | 6,0 | mm | |
| Debljina pojasnice | t _f | 9,0 | mm | |
| Radijus | r | 15,0 | mm | |
| Površina poprečnog presjeka | A | 38,80 | cm ² | |
| Efektivna posmična površina | A _{v,y} | 30,06 | cm ² | |
| Efektivna posmična površina | A _{v,z} | 13,24 | cm ² | ≥ ηh _w t _w 6.2.6(3)a) |
| Moment inercije oko y-y | I _y | 1670,00 | cm ⁴ | |

| | | | | |
|-------------------------------------|------------|----------|---------------|----------|
| Moment inercije oko z-z | I_z | 616,00 | cm^4 | |
| Torzijska konstanta | I_t | 12,30 | cm^4 | |
| Polumjer tromosti za y-y os | i_y | 65,7 | mm | |
| Polumjer tromosti za z-z os | i_z | 39,8 | mm | |
| Elastični moment otpora oko y-y osi | $W_{el,y}$ | 220,00 | cm^3 | |
| Elastični moment otpora oko z-z osi | $W_{el,z}$ | 76,90 | cm^3 | |
| Plastični moment otpora oko y-y osi | $W_{pl,y}$ | 246,00 | cm^3 | |
| Plastični moment otpora oko z-z osi | $W_{pl,z}$ | 117,63 | cm^3 | |
| Savojna konstanta presjeka | I_w | 31410,00 | cm^6 | |
| Statički moment | Q_y | 123,00 | cm^3 | |
| Statički moment | Q_z | 28,80 | cm^3 | |
| Krivulja izvijanja | BC_y | b | | Tab. 6.2 |
| Krivulja izvijanja | BC_z | c | | Tab. 6.2 |

Proračunske unutarnje sile

| | | | | | |
|------------------|------------|--------|-----|--|--|
| Normalna sila | N_{Ed} | 238,04 | kN | | |
| Posmična sila | $V_{y,Ed}$ | 0,00 | kN | | |
| Posmična sila | $V_{z,Ed}$ | 0,00 | kN | | |
| Torzijski moment | T_{Ed} | 0,00 | kNm | | |
| Moment | $M_{y,Ed}$ | 7,93 | kNm | | |
| Moment | $M_{z,Ed}$ | -0,02 | kNm | | |

Klasifikacija poprečnog presjeka – Nema tlaka

| Pojasnica | | | | | |
|--------------------------------|----------------|------|------------------|-----|------|
| Narezanje na početku pojasnice | $\sigma_{f,A}$ | 2,52 | kN/cm^2 | > 0 | Vlak |
| Narezanje na kraju pojasnice | $\sigma_{f,B}$ | 2,50 | kN/cm^2 | > 0 | Vlak |
| Hrbat | | | | | |
| Narezanje na početku hrpta | $\sigma_{w,A}$ | 8,60 | kN/cm^2 | > 0 | Vlak |
| Narezanje na kraju hrpta | $\sigma_{w,B}$ | 3,67 | kN/cm^2 | > 0 | Vlak |

Nema tlaka u poprečnom presjeku!

Proračun nosivosti

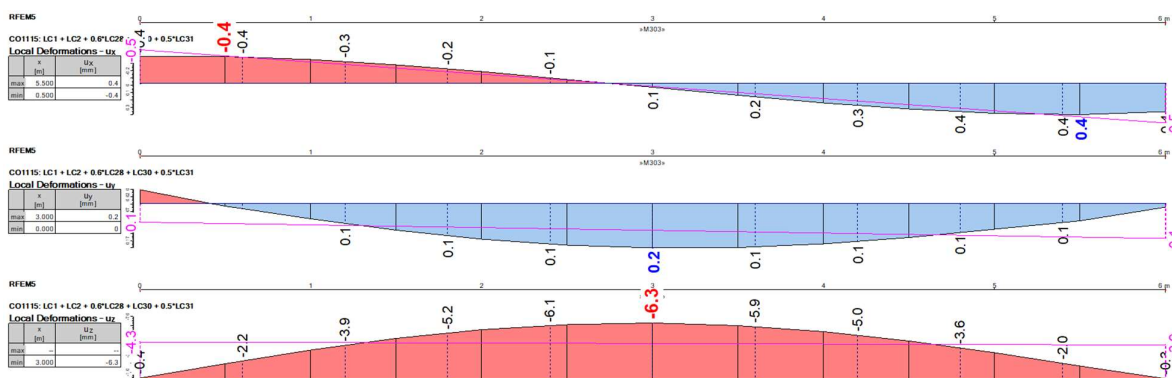
| | | | | |
|----------------------------|---------------|-------|------------------|------------|
| Moment | $M_{y,Ed}$ | 7,93 | kNm | |
| Granica popuštanja | f_y | 23,50 | kN/cm^2 | 3.2.1 |
| Parcijalni faktor | γ_M | 1,000 | | 6,1 |
| Plastični moment nosivosti | $M_{pl,y,Rd}$ | 57,81 | kNm | Eq. (6.13) |

| | | | | |
|-----------------------------------|-----------------|--------|---------------|------------|
| Proračunska poprečna sila | $V_{z,Ed}$ | 0,00 | kN | |
| Efektivna posmična površina | $A_{v,z}$ | 13,24 | cm^2 | 6.2.6(3) |
| Nosivost na poprečnu silu | $V_{pl,z,Rd}$ | 179,64 | kN | Eq. (6.18) |
| Kriterij $V_{z,Ed} / V_{pl,z,Rd}$ | v_z | 0,000 | ≤ 0.5 | 6.2.10(2) |
| Normalna sila | N_{Ed} | 238,04 | kN | |
| Površina poprečnog presjeka | A | 38,80 | cm^2 | |
| Otpornost na normalnu silu | $N_{pl,Rd}$ | 911,80 | kN | Eq. (6.6) |
| Visina hrpta | h_w | 134,0 | mm | |
| Debljina hrpta | t_w | 6,0 | mm | |
| Uvjet 1 | n | 0,261 | > 0.25 | (6.33) |
| Uvjet 2 | n_w | 1,260 | > 0.50 | (6.34) |
| Širina pojasnice | b | 160,0 | mm | |
| Debljina pojasnice | t_f | 9,0 | mm | |
| Faktor | a | 0,258 | ≤ 0.5 | 6.2.9.1(5) |
| Moment nosivosti | $M_{N,pl,y,Rd}$ | 49,04 | kNm | Eq. (6.36) |
| | η_{My} | 0,16 | ≤ 1 | (6.31) |
| Nosivost | η | 0,38 | ≤ 1 | (6.36*) |

Uvjet nosivosti

$$M_{y,Ed} / M_{N,y,Rd} = 0.38 \leq 1 \quad (6.31)$$

6.8.2. Proračun GSU poprečnih međukatnih nosača



Slika 83: Dijagrami relativnih pomaka elementa broj 303 za karakterističnu kombinaciju CO1115.

| Opterećenje | Kombinacija | Element Br. | Lokacija x [m] | Uvjet uporabivosti | SE401) Uporabljivost - kombinacija 'Karakteristična' - z- smjer |
|-------------|---|----------------|-------------------|-----------------------|--|
| CO1115 | LC1 + LC2 + 0.6*LC28 + LC30 + 0.5*LC31 | 303 | 3,000 | 0,30 ≤ 1 | |

Karakteristike materijala - Čelik S 235 / EN 10025-2:2004-11

| | | | |
|--|----------------|----------|--------------------|
| Modul elastičnosti | E | 21000,00 | kN/cm ² |
| Modul posmika | G | 8076,92 | kN/cm ² |
| Debljina t ≤ 16 mm | | | |
| Granica popuštanja | f _y | 23,50 | kN/cm ² |
| Vlačna čvrstoća | f _u | 36,00 | kN/cm ² |
| Debljina t > 16 mm i t ≤ 40 mm | | | |
| Granica popuštanja | f _y | 22,50 | kN/cm ² |
| Vlačna čvrstoća | f _u | 36,00 | kN/cm ² |
| Debljina t > 40 mm i t ≤ 100 mm | | | |
| Granica popuštanja | f _y | 21,50 | kN/cm ² |
| Vlačna čvrstoća | f _u | 36,00 | kN/cm ² |
| Debljina t > 100 mm i t ≤ 150 mm | | | |
| Granica popuštanja | f _y | 19,50 | kN/cm ² |
| Vlačna čvrstoća | f _u | 35,00 | kN/cm ² |
| Debljina t > 150 mm i t ≤ 200 mm | | | |
| Granica popuštanja | f _y | 18,50 | kN/cm ² |
| Vlačna čvrstoća | f _u | 34,00 | kN/cm ² |
| Debljina t > 200 mm i t ≤ 250 mm | | | |
| Granica popuštanja | f _y | 17,50 | kN/cm ² |
| Vlačna čvrstoća | f _u | 34,00 | kN/cm ² |
| Debljina t > 250 mm i t ≤ 400 mm | | | |
| Granica popuštanja | f _y | 16,50 | kN/cm ² |
| Vlačna čvrstoća | f _u | 33,00 | kN/cm ² |

Karakteristike poprečnog presjeka - HEA 160 / Euronorm 19-57

| Tip poprečnog presjeka | I-valjani | | |
|-----------------------------|------------------|---------|-----------------|
| Visina presjeka | h | 152,0 | mm |
| Širina presjeka | b | 160,0 | mm |
| Debljina hrpta | t _w | 6,0 | mm |
| Debljina pojasnice | t _f | 9,0 | mm |
| Radius | r | 15,0 | mm |
| Površina poprečnog presjeka | A | 38,80 | cm ² |
| Efektivna posmična površina | A _{v,y} | 30,06 | cm ² |
| Efektivna posmična površina | A _{v,z} | 13,24 | cm ² |
| Moment inercije oko y-y | I _y | 1670,00 | cm ⁴ |

| | | | |
|-------------------------------------|------------|----------|---------------|
| Moment inercije oko z-z | I_z | 616,00 | cm^4 |
| Torzijska konstanta | I_t | 12,30 | cm^4 |
| Polumjer tromosti za y-y os | i_y | 65,7 | mm |
| Polumjer tromosti za z-z os | i_z | 39,8 | mm |
| Elastični moment otpora oko y-y osi | $W_{el,y}$ | 220,00 | cm^3 |
| Elastični moment otpora oko z-z osi | $W_{el,z}$ | 76,90 | cm^3 |
| Plastični moment otpora oko y-y osi | $W_{pl,y}$ | 246,00 | cm^3 |
| Plastični moment otpora oko z-z osi | $W_{pl,z}$ | 117,63 | cm^3 |
| Savojna konstanta presjeka | I_w | 31410,00 | cm^6 |
| Statički moment | Q_y | 123,00 | cm^3 |
| Statički moment | Q_z | 28,80 | cm^3 |
| Krivulja izvijanja | BC_y | b | |
| Krivulja izvijanja | BC_z | c | |

Pomaci

| | | | |
|---------|-------|------|----|
| Smjer x | w_x | 0,1 | mm |
| Smjer y | w_y | 0,2 | mm |
| Smjer z | w_z | -6,3 | mm |

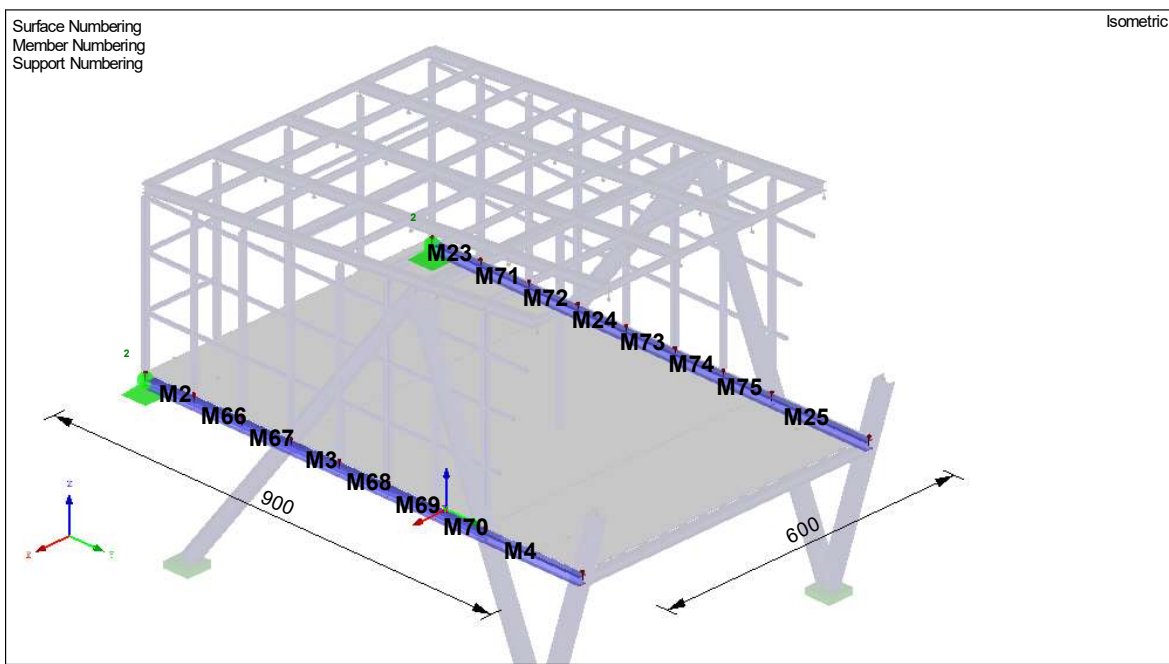
Proračun uporabljivosti

| | | | |
|-------------------------------|-------------------|--------|----------|
| Otklon | $w_{max,z}$ | -6,0 | mm |
| Referentna duljina | l | 6,000 | m |
| Kriterij granične vrijednosti | $l / w_{limit,z}$ | 300,00 | |
| Granična vrijednost pomaka | $w_{limit,z}$ | 20,0 | mm |
| Uporabljivost | η | 0,30 | ≤ 1 |

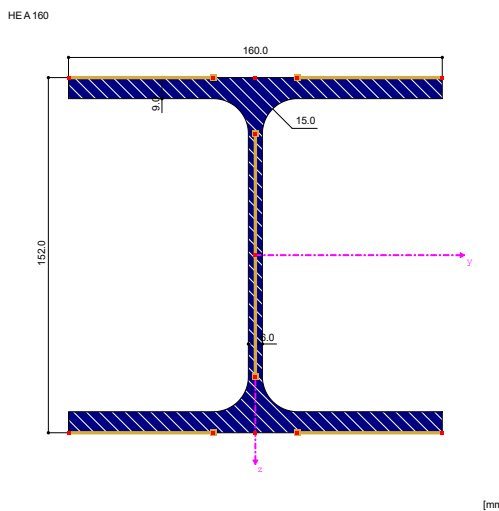
Uvjet uporabljivosti

$$w_{max,z} / w_{limit,z} = 0.30 \leq 1 \quad \text{EN 1990 (6.13)}$$

6.9. Dimenzioniranje uzdužnih međukatnih nosača

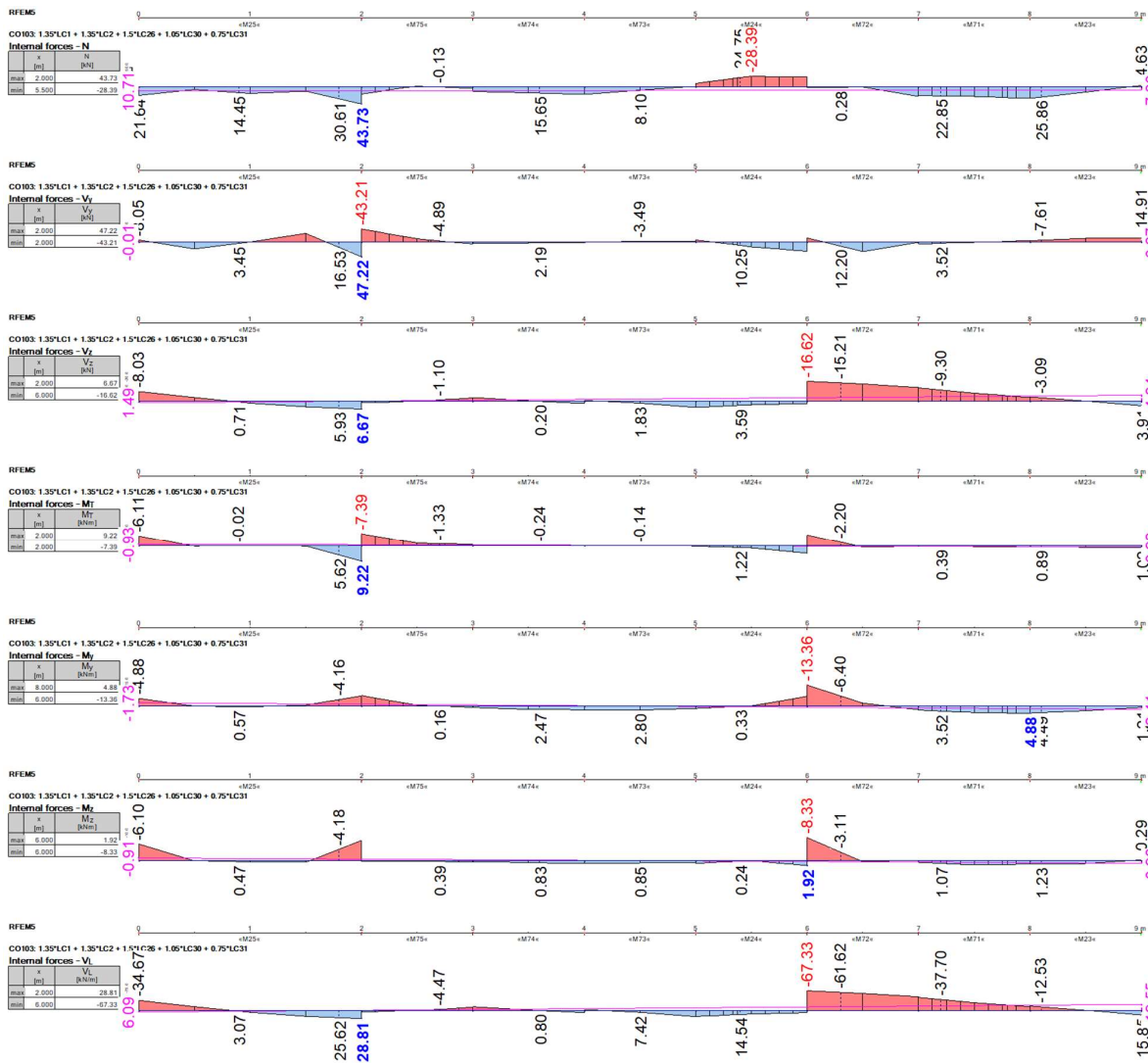


Slika 84: Izometrijski prikaz uzdužnih međukatnih nosača s brojčanom oznakom elementa.



Slika 85: Odabrani poprečni presjek uzdužnih međukatnih nosača HE A 160.

6.9.1. Proračun GSN uzdužnih međukatnih nosača



Slika 86: Dijagrami unutarnjih sila uzdužnih nosača za kombinaciju opterećenja CO103.

| Element Br. | Presjek x [m] | Opterećenje | Uvjet nosivosti | Design According to Formula |
|----------------|------------------|-------------|--------------------|--|
| 72 | 1,000 | CO103 | 0,16 ≤ 1 | CS221) Provjera presjeka - Dvoosno savijanje, smicanje i aksijalna sila prema 6.2.10 i 6.2.9 |

Karakteristike materijala - Čelik S 235 / EN 10025-2:2004-11

| | | | | |
|----------------------------------|----------------|----------|--------------------|-------|
| Modul elastičnosti | E | 21000,00 | kN/cm ² | |
| Modul posmika | G | 8076,92 | kN/cm ² | |
| Debljina t ≤ 16 mm | | | | |
| Granica popuštanja | f _y | 23,50 | kN/cm ² | 3.2.1 |
| Vlačna čvrstoća | f _u | 36,00 | kN/cm ² | 3.2.1 |
| Debljina t > 16 mm i t ≤ 40 mm | | | | |
| Granica popuštanja | f _y | 22,50 | kN/cm ² | 3.2.1 |
| Vlačna čvrstoća | f _u | 36,00 | kN/cm ² | 3.2.1 |
| Debljina t > 40 mm i t ≤ 100 mm | | | | |
| Granica popuštanja | f _y | 21,50 | kN/cm ² | 3.2.1 |
| Vlačna čvrstoća | f _u | 36,00 | kN/cm ² | 3.2.1 |
| Debljina t > 100 mm i t ≤ 150 mm | | | | |
| Granica popuštanja | f _y | 19,50 | kN/cm ² | 3.2.1 |
| Vlačna čvrstoća | f _u | 35,00 | kN/cm ² | 3.2.1 |
| Debljina t > 150 mm i t ≤ 200 mm | | | | |
| Granica popuštanja | f _y | 18,50 | kN/cm ² | 3.2.1 |
| Vlačna čvrstoća | f _u | 34,00 | kN/cm ² | 3.2.1 |
| Debljina t > 200 mm i t ≤ 250 mm | | | | |
| Granica popuštanja | f _y | 17,50 | kN/cm ² | 3.2.1 |
| Vlačna čvrstoća | f _u | 34,00 | kN/cm ² | 3.2.1 |
| Debljina t > 250 mm i t ≤ 400 mm | | | | |
| Granica popuštanja | f _y | 16,50 | kN/cm ² | 3.2.1 |
| Vlačna čvrstoća | f _u | 33,00 | kN/cm ² | 3.2.1 |

Karakteristike poprečnog presjeka - HE A 160 / Euronorm 19-57

| | | | |
|-------------------------------------|-------------------|---------|-----------------|
| Tip poprečnog presjeka | I-valjani | | |
| Visina presjeka | h | 152,0 | mm |
| Širina presjeka | b | 160,0 | mm |
| Debljina hrpta | t _w | 6,0 | mm |
| Debljina pojasnice | t _f | 9,0 | mm |
| Radius | r | 15,0 | mm |
| Površina poprečnog presjeka | A | 38,80 | cm ² |
| Efektivna posmična površina | A _{v,y} | 30,06 | cm ² |
| Efektivna posmična površina | A _{v,z} | 13,24 | cm ² |
| Moment intercije oko y-y | I _y | 1670,00 | cm ⁴ |
| Moment inercije oko z-z | I _z | 616,00 | cm ⁴ |
| Tozijska konstanta | I _t | 12,30 | cm ⁴ |
| Polumjer tromosti za y-y os | i _y | 65,7 | mm |
| Polumjer tromosti za z-z os | i _z | 39,8 | mm |
| Elastični moment otpora oko y-y osi | W _{el,y} | 220,00 | cm ³ |
| Elastični moment otpora oko z-z osi | W _{el,z} | 76,90 | cm ³ |

| | | | | |
|-------------------------------------|------------|----------|---------------|----------|
| Plastični moment otpora oko y-y osi | $W_{pl,y}$ | 246,00 | cm^3 | |
| Plastični moment otpora oko z-z osi | $W_{pl,z}$ | 117,63 | cm^3 | |
| Savojna konstanta presjeka | I_w | 31410,00 | cm^6 | |
| Statički moment | Q_y | 123,00 | cm^3 | |
| Statički moment | Q_z | 28,80 | cm^3 | |
| Krivulja izvijanja | BC_y | b | | Tab. 6.2 |
| Krivulja izvijanja | BC_z | c | | Tab. 6.2 |

Proračunske unutarnje sile

| | | | | |
|------------------|------------|--------|-----|--|
| Normalna sila | N_{Ed} | -49,31 | kN | |
| Posmična sila | $V_{y,Ed}$ | 27,00 | kN | |
| Posmična sila | $V_{z,Ed}$ | -3,37 | kN | |
| Torzijski moment | T_{Ed} | -0,01 | kNm | |
| Moment | $M_{y,Ed}$ | -1,10 | kNm | |
| Moment | $M_{z,Ed}$ | -4,42 | kNm | |

Klasifikacija poprečnog presjeka - Klasa 1

Pojasnica

| | | | | |
|------------------------|-----------------|-------|----------------------|----------|
| | c_f | 62,0 | mm | Tab. 5.2 |
| | t_f | 9,0 | mm | Tab. 5.2 |
| Koeficijent materijala | ϵ_f | 1,0 | | Tab. 5.2 |
| c/t-granica za klasu 1 | $\lambda_{f,1}$ | 9,0 | | Tab. 5.2 |
| c/t-granica za klasu 2 | $\lambda_{f,2}$ | 10,0 | | Tab. 5.2 |
| c/t-granica za klasu 3 | $\lambda_{f,3}$ | 14,0 | | Tab. 5.2 |
| c/t | c/t_f | 6,889 | $\leq \lambda_{f,1}$ | |
| Klasa | Klasa f | 1 | | Tab. 5.2 |

Hrbat

| | | | | | |
|-------------------------------|-------------------|--------|-------------------------|-------|----------|
| Naprezanje na vrhu hrpta | $\sigma_{w,A}$ | -1,61 | kN/cm^2 | > 0 | Vlak |
| Naprezanje na dnu hrpta | $\sigma_{w,B}$ | -0,93 | kN/cm^2 | < 0 | Tlak |
| | c_w | 104,0 | mm | | Tab. 5.2 |
| | t_w | 6,0 | mm | | Tab. 5.2 |
| Granica popuštanja | $f_{yd,w}$ | 23,50 | kN/cm^2 | | 3.2.1 |
| Proračunska normalna sila | N_{Ed} | -49,31 | kN | > 0 | Vlak |
| Razmjer tlačnog naprezanja | α_w | 1,000 | | | Tab. 5.2 |
| Naprezanje vezano za f_{yd} | $\sigma_{f-yd,1}$ | 23,50 | kN/cm^2 | | |
| Naprezanje vezano za f_{yd} | $\sigma_{f-yd,2}$ | 13,49 | kN/cm^2 | | |
| Razmjer naprezanja | ψ_w | 0,574 | | | Tab. 5.2 |
| Koeficijent materijala | ϵ_w | 1,000 | | | Tab. 5.2 |
| c/t-granica za klasu 1 | $\lambda_{w,1}$ | 33,000 | | | Tab. 5.2 |
| c/t-granica za klasu 2 | $\lambda_{w,2}$ | 38,000 | | | Tab. 5.2 |
| c/t-granica za klasu 3 | $\lambda_{w,3}$ | 48,867 | | | Tab. 5.2 |
| c/t | c/t_w | 17,333 | $\leq \lambda_{w,1}$ | | |

| | | | |
|--------------------------|--------------------|---|----------|
| Klasa | Klasa _w | 1 | Tab. 5.2 |
| Klasa poprečnog presjeka | Klasa | 1 | |

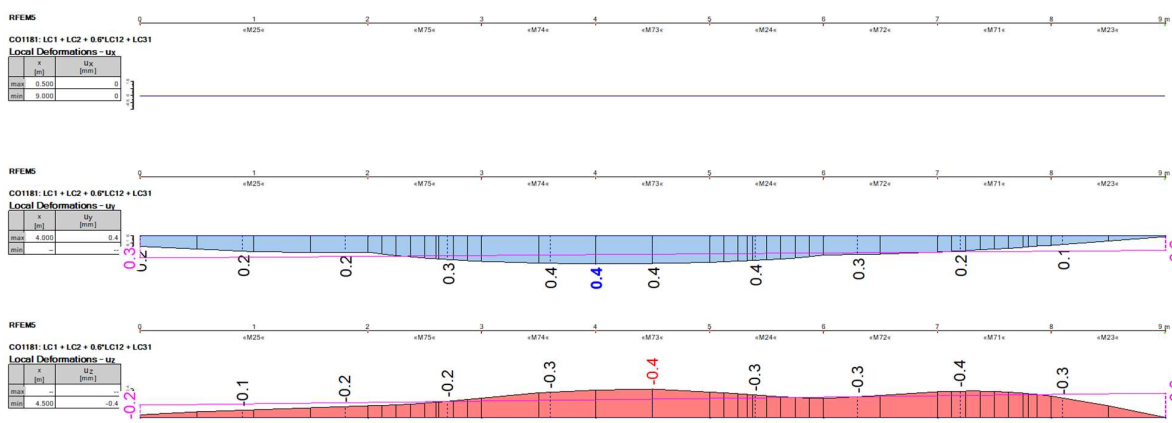
Proračun nosivosti

| | | | | |
|-------------------------------------|---------------|--------|--------------------|----------------------|
| Moment | $M_{y,Ed}$ | 1,10 | kNm | |
| Plastični moment otpora | $W_{pl,y}$ | 246,00 | cm ³ | |
| Granica popuštanja | f_y | 23,50 | kN/cm ² | 3.2.1 |
| Parcijalni faktor | γ_M | 1,000 | | 6,1 |
| Plastični moment nosivosti | $M_{pl,y,Rd}$ | 57,81 | kNm | Eq. (6.13) |
| Proračunska poprečna sila | $V_{z,Ed}$ | 3,37 | kN | |
| Efektivna posmična površina | $A_{v,z}$ | 13,24 | cm ² | 6.2.6(3) |
| Nosivost na poprečnu silu | $V_{pl,z,Rd}$ | 179,64 | kN | Eq. (6.18) |
| $V_{z,Ed} / V_{pl,z,Rd}$ | v_z | 0,019 | | $\leq 0,5$ 6.2.10(2) |
| Proračunska normalna sila | N_{Ed} | -49,31 | kN | |
| Površina poprečnog presjeka | A | 38,80 | cm ² | |
| Plastična nosivost na normalnu silu | $N_{pl,Rd}$ | 911,80 | kN | (6.6) |
| Debljina hrpta | h_w | 134,0 | mm | |
| Debljina pojasnice | t_w | 6,0 | mm | |
| Kriterij 1 | n | 0,054 | | $\leq 0,25$ (6.33) |
| Kriterij 2 | n_w | 0,261 | | $\leq 0,50$ (6.34) |
| Moment | $M_{z,Ed}$ | 4,42 | kNm | |
| Plastični moment otpora | $W_{pl,z}$ | 117,63 | cm ³ | |
| Moment nosivosti | $M_{pl,z,Rd}$ | 27,64 | kNm | Eq. (6.13) |
| Proračunska poprečna sila | $V_{y,Ed}$ | 27,00 | kN | |
| Efektivna posmična površina | $A_{v,y}$ | 30,06 | cm ² | 6.2.6(3) |
| Posmična nosivost | $V_{pl,y,Rd}$ | 407,85 | kN | Eq. (6.18) |
| $V_{y,Ed} / V_{pl,y,Rd}$ | v_y | 0,066 | | $\leq 0,5$ 6.2.10(2) |
| Kriterij | n_w | 0,261 | | ≤ 1 (6.35) |
| Konstanta interakcije | α | 2,0 | | 6.2.9.1(6) |
| Konstanta interakcije | β | 1,0 | | 6.2.9.1(6) |
| Proračunska komponenta za M_y | η_{My} | 0,0 | | ≤ 1 Eq. (6.41) |
| Proračunska komponenta za M_z | η_{Mz} | 0,16 | | ≤ 1 Eq. (6.41) |
| Proračunska komponenta za M | η_M | 0,16 | | ≤ 1 Eq. (6.41) |
| | | □ | | |

Uvjet nosivosti

$$(M_{y,Ed} / M_{N,y,Rd})^\alpha + (M_{z,Ed} / M_{N,z,Rd})^\beta = 0,16 \leq 1 \quad (6.41)$$

6.9.2. Proračun GSU uzdužnih međukatnih nosača



Slika 87: Dijagrami relativnih pomaka uzdužnih međukatnih nosača za kombinaciju CO1181.

| Opterećenje | Kombinacija | Element Br. | Presjek x [m] | Uporabljivost | |
|---------------|------------------------------------|-------------|---------------|---------------|------------|
| CO1181 | LC1 + LC2 + 0.6*LC12 + LC31 | 71 | 0,500 | 0,01 | ≤ 1 |

SE401) Uporabljivosti - Kombinacija
'Karakteristična' - z-smjer

Karakteristike materijala - Čelik S 235 / EN 10025-2:2004-11

| | | | |
|--|----------------|----------|--------------------|
| Modul elastičnosti | E | 21000,00 | kN/cm ² |
| Modul posmika | G | 8076,92 | kN/cm ² |
| Debljina t ≤ 16 mm | | | |
| Granica popuštanja | f _y | 23,50 | kN/cm ² |
| Vlačna čvrstoća | f _u | 36,00 | kN/cm ² |
| Debljina t > 16 mm i t ≤ 40 mm | | | |
| Granica popuštanja | f _y | 22,50 | kN/cm ² |
| Vlačna čvrstoća | f _u | 36,00 | kN/cm ² |
| Debljina t > 40 mm i t ≤ 100 mm | | | |
| Granica popuštanja | f _y | 21,50 | kN/cm ² |
| Vlačna čvrstoća | f _u | 36,00 | kN/cm ² |
| Debljina t > 100 mm i t ≤ 150 mm | | | |
| Granica popuštanja | f _y | 19,50 | kN/cm ² |
| Vlačna čvrstoća | f _u | 35,00 | kN/cm ² |
| Debljina t > 150 mm i t ≤ 200 mm | | | |
| Granica popuštanja | f _y | 18,50 | kN/cm ² |

| | | | |
|----------------------------------|-------|-------|--------------------|
| Vlačna čvrstoća | f_u | 34,00 | kN/cm ² |
| Debljina t > 200 mm i t ≤ 250 mm | | | |
| Granica popuštanja | f_y | 17,50 | kN/cm ² |
| Vlačna čvrstoća | f_u | 34,00 | kN/cm ² |
| Debljina t > 250 mm i t ≤ 400 mm | | | |
| Granica popuštanja | f_y | 16,50 | kN/cm ² |
| Vlačna čvrstoća | f_u | 33,00 | kN/cm ² |

Karakteristike poprečnog presjeka - HE A 160 | Euronorm 19-57

| | | | |
|-------------------------------------|------------|----------|-----------------|
| Tip poprečnog presjeka | I-valjani | | |
| Visina presjeka | h | 152,0 | mm |
| Širina presjeka | b | 160,0 | mm |
| Debljina hrpta | t_w | 6,0 | mm |
| Debljina pojasnice | t_f | 9,0 | mm |
| Radius | r | 15,0 | mm |
| Površina poprečnog presjeka | A | 38,80 | cm ² |
| Efektivna posmična površina | $A_{v,y}$ | 30,06 | cm ² |
| Efektivna posmična površina | $A_{v,z}$ | 13,24 | cm ² |
| Moment inercije oko y-y | I_y | 1670,00 | cm ⁴ |
| Moment inercije oko z-z | I_z | 616,00 | cm ⁴ |
| Torzijska konstanta | I_t | 12,30 | cm ⁴ |
| Polumjer tromosti za y-y os | i_y | 65,7 | mm |
| Polumjer tromosti za z-z os | i_z | 39,8 | mm |
| Elastični moment otpora oko y-y osi | $W_{el,y}$ | 220,00 | cm ³ |
| Elastični moment otpora oko z-z osi | $W_{el,z}$ | 76,90 | cm ³ |
| Plastični moment otpora oko y-y osi | $W_{pl,y}$ | 246,00 | cm ³ |
| Plastični moment otpora oko z-z osi | $W_{pl,z}$ | 117,63 | cm ³ |
| Savojna konstanta presjeka | I_w | 31410,00 | cm ⁶ |
| Statički moment | Q_y | 123,00 | cm ³ |
| Statički moment | Q_z | 28,80 | cm ³ |
| Krivilja izvijanja | BC_y | b | |
| Krivilja izvijanja | BC_z | c | |

Pomaci

| | | | |
|---------|-------|------|----|
| Smjer x | w_x | 0,0 | mm |
| Smjer y | w_y | 0,2 | mm |
| Smjer z | w_z | -0,4 | mm |

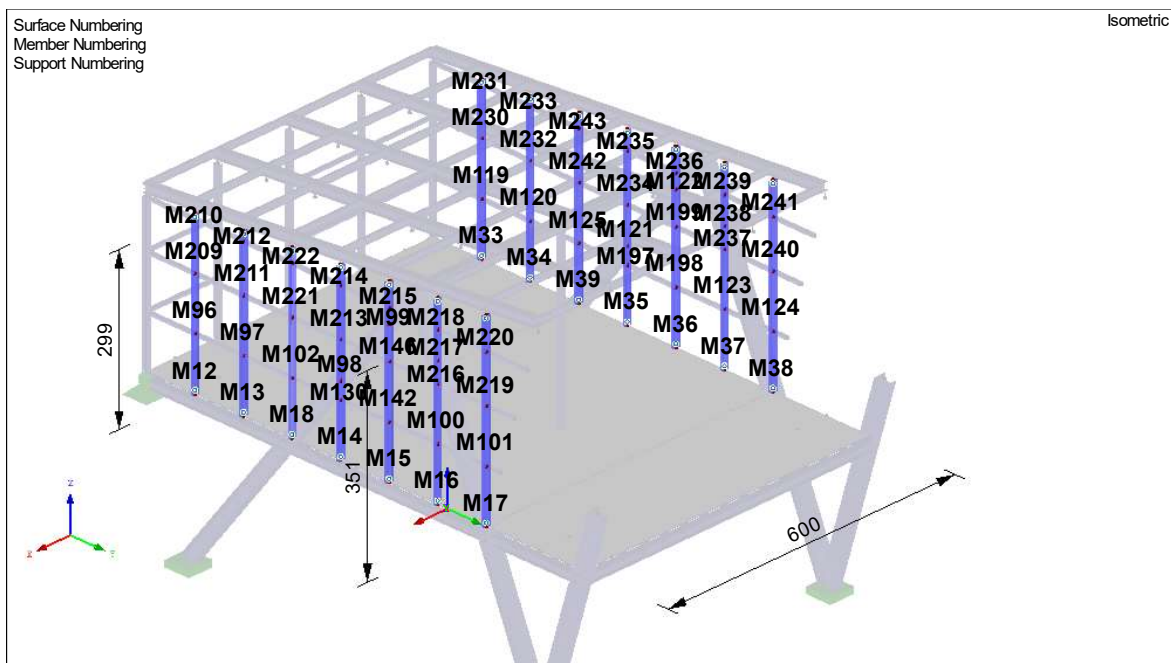
Proračun uporabljivosti

| | | | |
|-------------------------------|-------------------|--------|----------|
| Otklon | $w_{max,z}$ | 0,0 | mm |
| Referentna duljina | l | 1,000 | m |
| Kriterij granične vrijednosti | $l / w_{limit,z}$ | 300,00 | |
| Granična vrijednost pomaka | $w_{limit,z}$ | 3,3 | mm |
| Uporabljivost | η | 0,01 | ≤ 1 |

Uvjet uporabljivosti

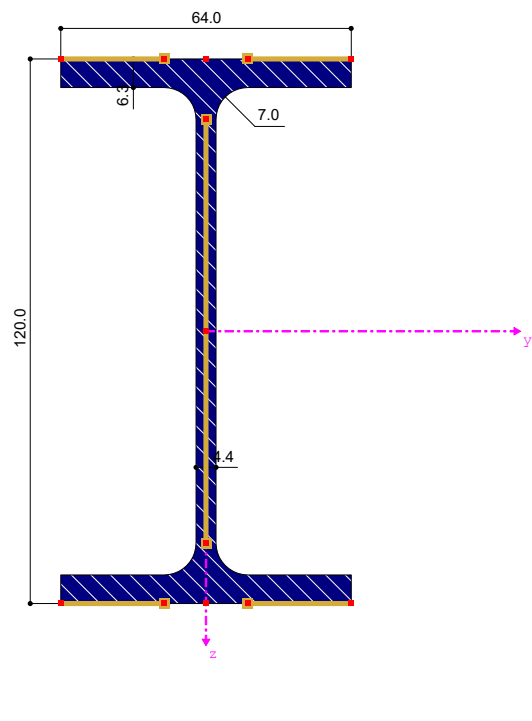
$$w_{max,z} / w_{limit,z} = 0.01 \leq 1 \quad EN 1990 (6.13)$$

6.10. Dimenzioniranje stupova fasade – bočni



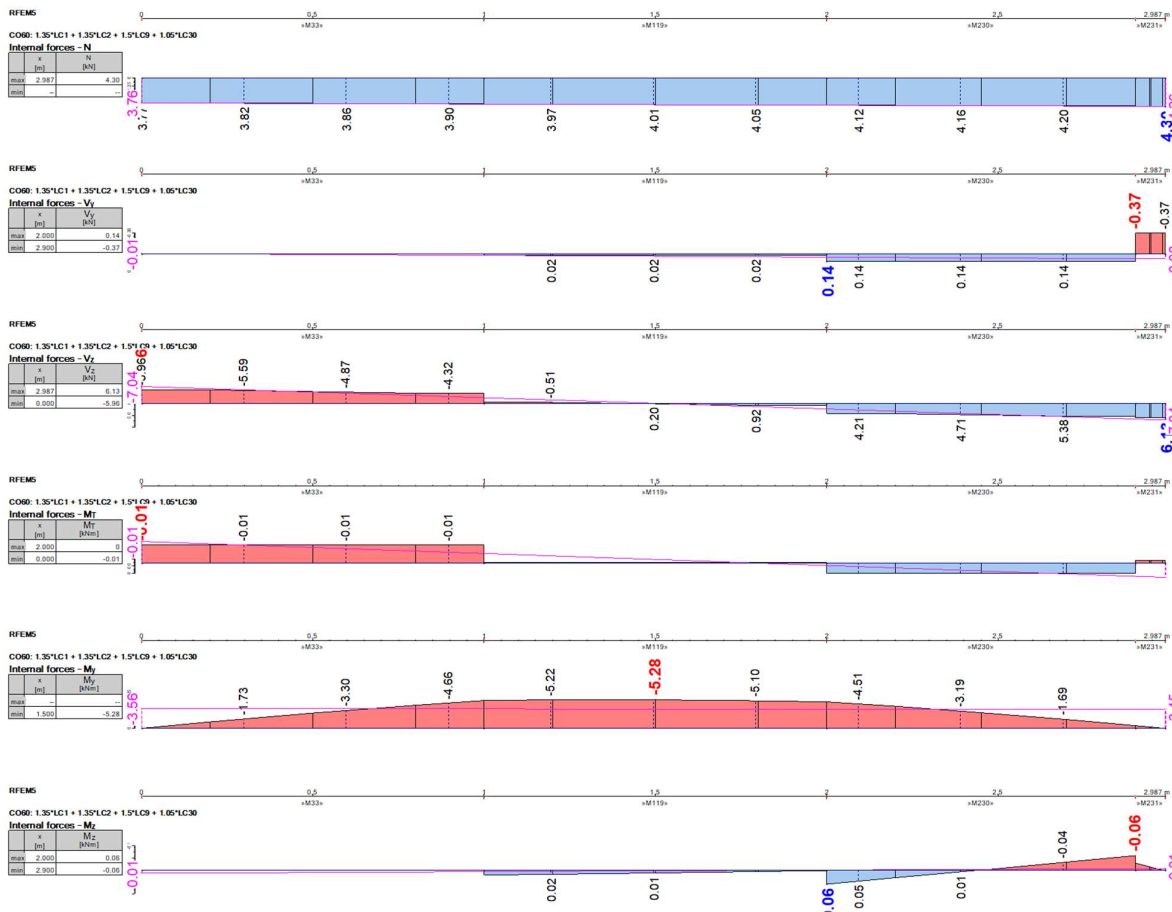
Slika 88: Prikaz pozicije bočnih stupova fasade s brojčanom oznakom elemenata.

IPE 120



Slika 89: Odabrani poprečni presjek bočnih stupova fasade IPE 120.

6.10.1. Proračun GSN bočnih stupova fasade



Slika 90: Dijagrami unutarnjih sila bočnih stupova koji nose fasadu za kombinaciju CO60.

Nosač Presjek

Br. x [m] Opterećenje Uvjet

ST331) Analiza stabilnosti - Bočno torzijsko izvijanje prema

 119 0,500 CO60 0,40 ≤ 1 6.3.2.1 i 6.3.2.3 - I-presjek

Karakteristike materijala - Čelik S 235 / EN 10025-2:2004-11

 Modul elastičnosti E 21000,00 kN/cm²

 Modul posmika G 8076,92 kN/cm²

 Debljina t \leq 16 mm

 Granica popuštanja f_y 23,50 kN/cm² 3.2.1

 Vlačna čvrstoća f_u 36,00 kN/cm² 3.2.1

 Debljina t > 16 mm i t \leq 40 mm

 Granica popuštanja f_y 22,50 kN/cm² 3.2.1

 Vlačna čvrstoća f_u 36,00 kN/cm² 3.2.1

| | | | | |
|---|-------|-------|------------------|-------|
| Debljina $t > 40 \text{ mm}$ i $t \leq 100 \text{ mm}$ | | | | |
| Granica popuštanja | f_y | 21,50 | kN/cm^2 | 3.2.1 |
| Vlačna čvrstoća | f_u | 36,00 | kN/cm^2 | 3.2.1 |
| Debljina $t > 100 \text{ mm}$ i $t \leq 150 \text{ mm}$ | | | | |
| Granica popuštanja | f_y | 19,50 | kN/cm^2 | 3.2.1 |
| Vlačna čvrstoća | f_u | 35,00 | kN/cm^2 | 3.2.1 |
| Debljina $t > 150 \text{ mm}$ i $t \leq 200 \text{ mm}$ | | | | |
| Granica popuštanja | f_y | 18,50 | kN/cm^2 | 3.2.1 |
| Vlačna čvrstoća | f_u | 34,00 | kN/cm^2 | 3.2.1 |
| Debljina $t > 200 \text{ mm}$ i $t \leq 250 \text{ mm}$ | | | | |
| Granica popuštanja | f_y | 17,50 | kN/cm^2 | 3.2.1 |
| Vlačna čvrstoća | f_u | 34,00 | kN/cm^2 | 3.2.1 |
| Debljina $t > 250 \text{ mm}$ i $t \leq 400 \text{ mm}$ | | | | |
| Granica popuštanja | f_y | 16,50 | kN/cm^2 | 3.2.1 |
| Vlačna čvrstoća | f_u | 33,00 | kN/cm^2 | 3.2.1 |

Karakteristike poprečnog presjeka - IPE 120 / Euronorm 19-57

| Tip poprečnog presjeka | I-valjani | | |
|-------------------------------------|------------|--------|---------------|
| Visina presjeka | h | 120,0 | mm |
| Širina presjeka | b | 64,0 | mm |
| Debljina hrpta | t_w | 4,4 | mm |
| Debljina pojasnice | t_f | 6,3 | mm |
| Radius | r | 7,0 | mm |
| Površina poprečnog presjeka | A | 13,20 | cm^2 |
| Efektivna posmična površina | $A_{v,y}$ | 8,57 | cm^2 |
| Efektivna posmična površina | $A_{v,z}$ | 6,30 | cm^2 |
| Moment intercije oko y-y | I_y | 318,00 | cm^4 |
| Moment inercije oko z-z | I_z | 27,70 | cm^4 |
| Tozijska konstanta | I_t | 1,74 | cm^4 |
| Polumjer tromosti za y-y os | i_y | 49,0 | mm |
| Polumjer tromosti za z-z os | i_z | 14,5 | mm |
| Elastični moment otpora oko y-y osi | $W_{el,y}$ | 53,00 | cm^3 |
| Elastični moment otpora oko z-z osi | $W_{el,z}$ | 8,65 | cm^3 |
| Plastični moment otpora oko y-y osi | $W_{pl,y}$ | 60,80 | cm^3 |
| Plastični moment otpora oko z-z osi | $W_{pl,z}$ | 13,58 | cm^3 |
| Savojna konstanta presjeka | I_w | 890,00 | cm^6 |
| Statički moment | Q_y | 30,40 | cm^3 |
| Statički moment | Q_z | 3,23 | cm^3 |
| Krivulja izvijanja | BC_y | a | |

Tab. 6.2

Krivulja izvijanja BC_z b Tab. 6.2

Proračunske unutarnje sile

| | | | |
|------------------|-------------------|-------|-----|
| Normalna sila | N _{Ed} | 4,01 | kN |
| Posmična sila | V _{y,Ed} | 0,02 | kN |
| Posmična sila | V _{z,Ed} | 0,21 | kN |
| Torzijski moment | T _{Ed} | 0,00 | kNm |
| Moment | M _{y,Ed} | -5,28 | kNm |
| Moment | M _{z,Ed} | 0,01 | kNm |

Klasifikacija poprečnog presjeka - Klasa 1

Pojasnice

| | | | |
|------------------------|--------------------|--------|--------------------|
| c _f | 22,8 | mm | Tab. 5.2 |
| t _f | 6,3 | mm | Tab. 5.2 |
| Koeficijent materijala | ε _f | 1,000 | Tab. 5.2 |
| c/t-granica za klasu 1 | λ _{f,1} | 9,000 | Tab. 5.2 |
| c/t-granica za klasu 2 | λ _{f,2} | 10,000 | Tab. 5.2 |
| c/t-granica za klasu 3 | λ _{f,3} | 14,000 | Tab. 5.2 |
| c/t | c/t _f | 3,619 | ≤ λ _{f,1} |
| Klasa | Klasa _f | 1 | Tab. 5.2 |

Hrbat

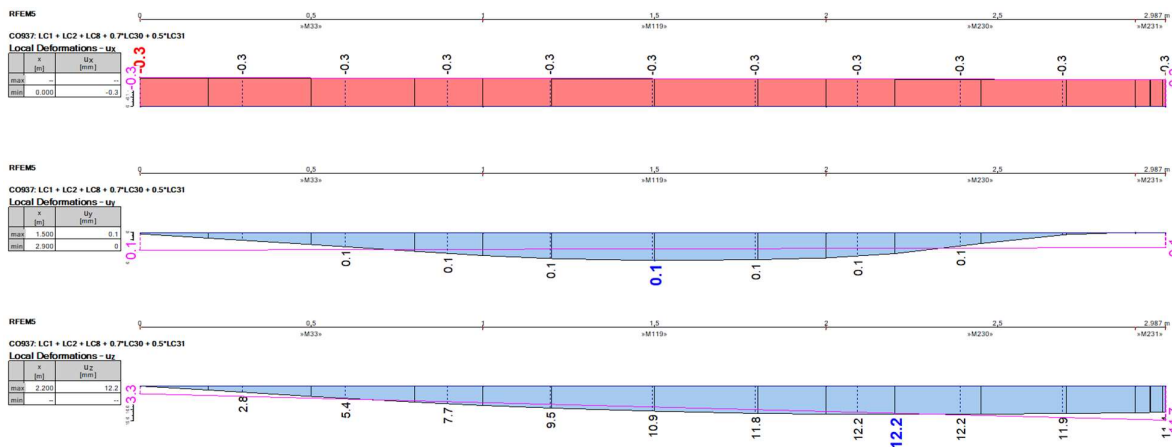
| | | | | | |
|--------------------------------------|---------------------|---------|--------------------|--------------------|----------|
| Naprezanje na vrhu hrpta | σ _{w,A} | -7,46 | kN/cm ² | < 0 | Tlak |
| Naprezanje na dnu hrpta | σ _{w,B} | 8,06 | kN/cm ² | > 0 | Vlak |
| | c _w | 93,4 | mm | | Tab. 5.2 |
| | t _w | 4,4 | mm | | Tab. 5.2 |
| Granica popuštanja | f _{yd,w} | 23,50 | kN/cm ² | | 3.2.1 |
| Proračunska normalna sila | N _{Ed} | 4,01 | kN | > 0 | Vlak |
| Razmjer tlačnog naprezanja | α _w | 0,446 | | | Tab. 5.2 |
| Naprezanje vezano za f _{yd} | σ _{f-yd,1} | 23,50 | kN/cm ² | | |
| Naprezanje vezano za f _{yd} | σ _{f-yd,2} | -25,42 | kN/cm ² | | |
| Razmjer naprezanja | ψ _w | -1,082 | | | Tab. 5.2 |
| Koeficijent materijala | ε _w | 1,000 | | | Tab. 5.2 |
| c/t-granica za klasu 1 | λ _{w,1} | 80,680 | | | Tab. 5.2 |
| c/t-granica za klasu 2 | λ _{w,2} | 93,006 | | | Tab. 5.2 |
| c/t-granica za klasu 3 | λ _{w,3} | 134,209 | | | Tab. 5.2 |
| c/t | c/t _w | 21,227 | | ≤ λ _{w,1} | |
| Klasa | Klasa _w | 1 | | | Tab. 5.2 |
| Klasa poprečnog presjeka | Klasa | 1 | | | |

Provjera nosivosti

| | | | | | |
|--|------------------|----------|-----------|------------|----------|
| Visina presjeka | h | 120,0 | mm | | |
| Širina presjeka | b | 64,0 | mm | | |
| | h/b | 1,87 | | ≤ 2 | Tab. 6.5 |
| Krivulja izvijanja | BC_{LT} | b | | | Tab. 6.5 |
| Faktor nesavršenosti | α_{LT} | 0,340 | | | Tab. 6.3 |
| Modul elastičnosti | E | 21000,00 | kN/cm^2 | | |
| Modul smicanja | G | 8076,92 | kN/cm^2 | | |
| Faktor duljine | k_z | 1,000 | | | |
| Faktor duljine | k_w | 1,000 | | | |
| Duljina | L | 1,000 | m | | |
| Moment tromosti | I_z | 27,70 | cm^4 | | |
| Savojna konstanta presjeka | I_w | 890,00 | cm^6 | | |
| Torzijska konstanta | I_t | 1,74 | cm^4 | | |
| Elastični kritični trenutak za bočno-torzijsko izvijanje | M_{cr} | 42,83 | kNm | | |
| Modul presjeka | W_y | 60,80 | cm^3 | | |
| Čvrstoća popuštanja | f_y | 23,50 | kN/cm^2 | 3.2.1 | |
| Vitkost | λ_{LT} | 0,578 | | 6.3.2.2(1) | |
| Parametar | $\lambda_{LT,0}$ | 0,400 | | 6.3.2.3(1) | |
| Parametar | β | 0,750 | | 6.3.2.3(1) | |
| Pomoći faktor | ϑ_{LT} | 0,655 | | 6.3.2.3(1) | |
| Faktor redukcije | χ_{LT} | 0,927 | | Eq. (6.57) | |
| Faktor korekcije | k_c | 0,986 | | 6.3.2.3(2) | |
| Faktor modifikacije | f | 0,994 | | 6.3.2.3(2) | |
| Faktor redukcije | $\chi_{LT,mod}$ | 0,933 | | Eq. (6.58) | |
| Djelomični faktor | γ_{M1} | 1,000 | | 6,1 | |
| Proračunski moment otpornosti bočno-torzijskom izvijanju | $M_{b,Rd}$ | 13,33 | kNm | Eq. (6.55) | |
| Moment | $M_{y,Ed}$ | 5,28 | kNm | | |
| Uvjet nosivosti | η | 0,40 | | ≤ 1 | (6.54) |

$$M_{y,Ed} / M_{b,Rd} = 0.40 \leq 1 \quad (6.54)$$

6.10.2. Proračun GSU bočnih stupova fasade



Slika 91: Dijagrami relativnih pomaka bočnih stupova koji nose fasadu za kombinaciju CO937.

| Opterećenje | Kombinacija | Element Br. | Presjek x [m] | Uporabljivost | |
|-------------|---------------------------------------|-------------|---------------|---------------|--|
| CO937 | LC1 + LC2 + LC8 + 0.7*LC30 + 0.5*LC31 | 119 | 0,500 | 0,20 | ≤ 1 SE401) Uporabljivosti - Kombinacija 'Karakteristična' - z-smjer |

Karakteristike materijala - Čelik S 235 / EN 10025-2:2004-11

| | | | | |
|---|--------------------|-------|----------|--------------------|
| Debljina $t \leq 16$ mm | Modul elastičnosti | E | 21000,00 | kN/cm ² |
| | Modul posmika | G | 8076,92 | kN/cm ² |
| Debljina $t > 16$ mm i $t \leq 40$ mm | Granica popuštanja | f_y | 23,50 | kN/cm ² |
| | Vlačna čvrstoća | f_u | 36,00 | kN/cm ² |
| Debljina $t > 40$ mm i $t \leq 100$ mm | Granica popuštanja | f_y | 22,50 | kN/cm ² |
| | Vlačna čvrstoća | f_u | 36,00 | kN/cm ² |
| Debljina $t > 100$ mm i $t \leq 150$ mm | Granica popuštanja | f_y | 21,50 | kN/cm ² |
| | Vlačna čvrstoća | f_u | 36,00 | kN/cm ² |
| Debljina $t > 150$ mm i $t \leq 200$ mm | Granica popuštanja | f_y | 19,50 | kN/cm ² |
| | Vlačna čvrstoća | f_u | 35,00 | kN/cm ² |
| Debljina $t > 200$ mm i $t \leq 250$ mm | Granica popuštanja | f_y | 18,50 | kN/cm ² |
| | Vlačna čvrstoća | f_u | 34,00 | kN/cm ² |

Debljina $t > 250 \text{ mm}$ i $t \leq 400 \text{ mm}$

| | | | |
|--------------------|-------|-------|------------------|
| Granica popuštanja | f_y | 16,50 | kN/cm^2 |
| Vlačna čvrstoća | f_u | 33,00 | kN/cm^2 |

Karakteristike poprečnog presjeka - IPE 1200 | Euronorm 19-57

| | | | |
|-------------------------------------|------------|--------|---------------|
| Tip poprečnog presjeka | I-valjani | | |
| Visina presjeka | h | 120,0 | mm |
| Širina presjeka | b | 64,0 | mm |
| Debljina hrpta | t_w | 4,4 | mm |
| Debljina pojasnice | t_f | 6,3 | mm |
| Radius | r | 7,0 | mm |
| Površina poprečnog presjeka | A | 13,20 | cm^2 |
| Efektivna posmična površina | $A_{v,y}$ | 8,57 | cm^2 |
| Efektivna posmična površina | $A_{v,z}$ | 6,30 | cm^2 |
| Moment inercije oko y-y | I_y | 318,00 | cm^4 |
| Moment inercije oko z-z | I_z | 27,70 | cm^4 |
| Torzijska konstanta | I_t | 1,74 | cm^4 |
| Polumjer tromosti za y-y os | i_y | 49,0 | mm |
| Polumjer tromosti za z-z os | i_z | 14,5 | mm |
| Elastični moment otpora oko y-y osi | $W_{el,y}$ | 53,00 | cm^3 |
| Elastični moment otpora oko z-z osi | $W_{el,z}$ | 8,65 | cm^3 |
| Plastični moment otpora oko y-y osi | $W_{pl,y}$ | 60,80 | cm^3 |
| Plastični moment otpora oko z-z osi | $W_{pl,z}$ | 13,58 | cm^3 |
| Savojna konstanta presjeka | I_w | 890,00 | cm^6 |
| Statički moment | Q_y | 30,40 | cm^3 |
| Statički moment | Q_z | 3,23 | cm^3 |
| Krivilj izvijanja | BC_y | a | |
| Krivilj izvijanja | BC_z | b | |

Pomaci

| | | | |
|---------|-------|------|----|
| Smjer x | w_x | -0,3 | mm |
| Smjer y | w_y | 0,1 | mm |
| Smjer z | w_z | 10,9 | mm |

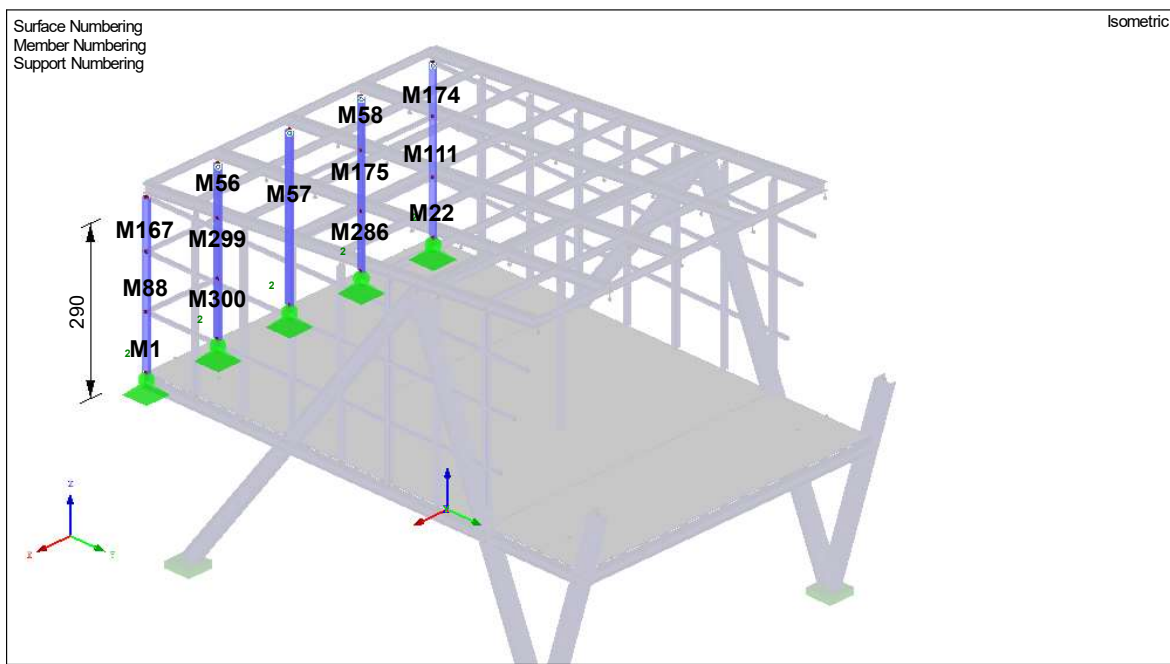
Proračun uporabljivosti

| | | | |
|-------------------------------|-------------------|--------|----------|
| Pomak | $w_{max,z}$ | 0,7 | mm |
| Referentna duljina | l | 1,000 | m |
| Kriterij granične vrijednosti | $l / w_{limit,z}$ | 300,00 | |
| Granična vrijednost pomaka | $w_{limit,z}$ | 3,3 | mm |
| Uporabljivost | η | 0,20 | ≤ 1 |

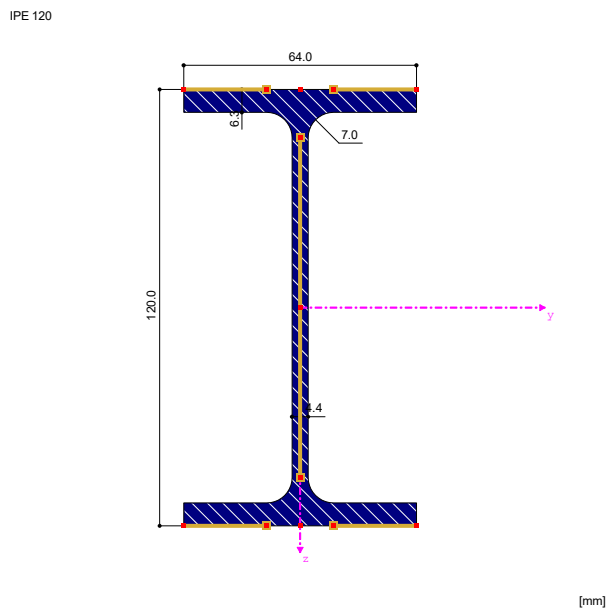
Uvjet uporabljivosti

$$w_{max,z} / w_{limit,z} = 0.20 \leq 1 \quad \text{EN 1990 (6.13)}$$

6.11. Dimenzioniranje stupova fasade – straga

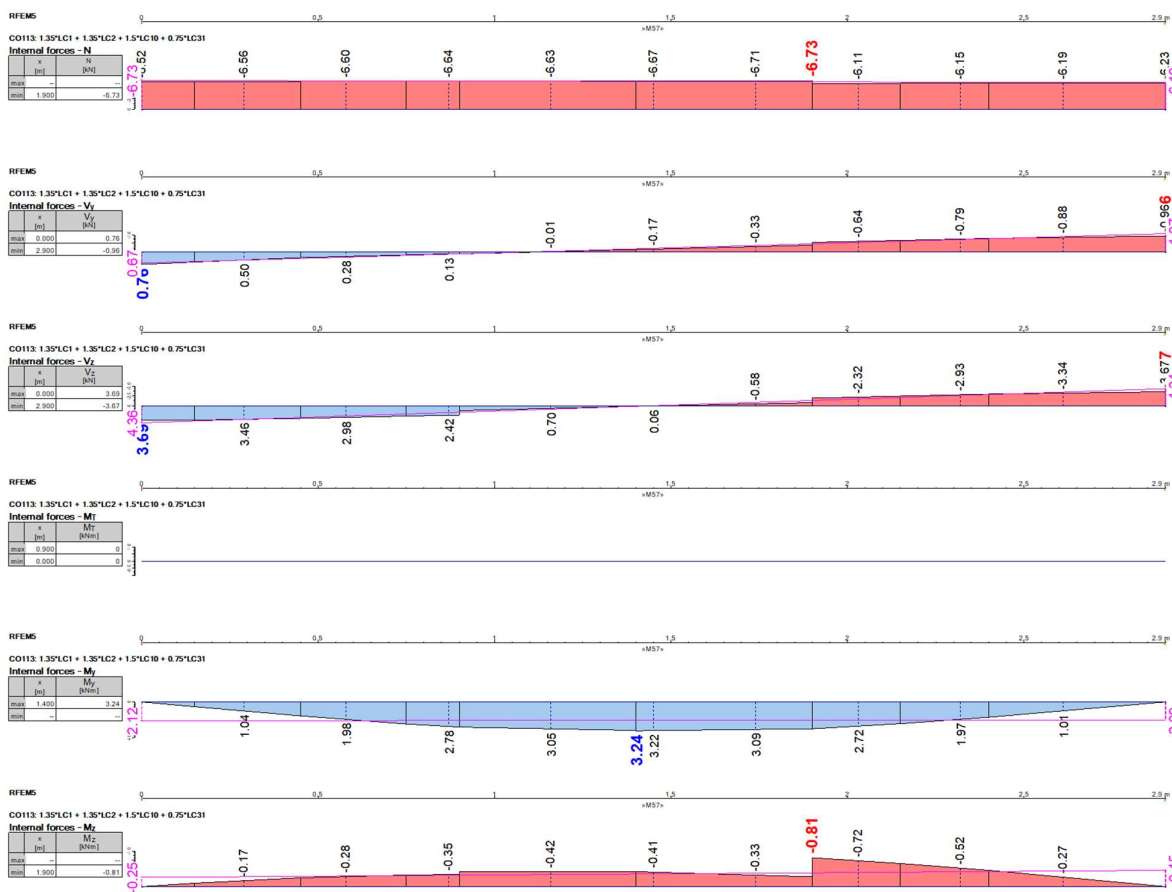


Slika 92: Izometrija stražnjih stupova koji nose fasadu s brojčanim oznakama.



Slika 93: Odabrani poprečni presjek stražnjih stupova koji nose fasadu IPE 120.

6.11.1. Proračun GSN stražnjih stupova fasade



Slika 94: Dijagrami unutarnjih sila stražnjih stupova koji nose fasadu za kombinaciju CO113.

Nosač Presjek

| | | | | |
|-----|-------|-------------|-------|--------------------------|
| Br. | x [m] | Opterećenje | Uvjet | |
| 57 | 1,900 | CO113 | 0,76 | ≤ 1 6.3.3, metoda 2 |

ST331) Analiza stabilnosti - Savijanje i kompresija prema

Karakteristike materijala - Čelik S 235 / EN 10025-2:2004-11

| | | | |
|--------------------|---|----------|--------------------|
| Modul elastičnosti | E | 21000,00 | kN/cm ² |
| Modul posmika | G | 8076,92 | kN/cm ² |

 Debljina t \leq 16 mm

| | | | | |
|--------------------|----------------|-------|--------------------|-------|
| Granica popuštanja | f _y | 23,50 | kN/cm ² | 3.2.1 |
| Vlačna čvrstoća | f _u | 36,00 | kN/cm ² | 3.2.1 |

| | | | | |
|---|-------|-------|------------------|-------|
| Debljina $t > 16 \text{ mm}$ i $t \leq 40 \text{ mm}$ | | | | |
| Granica popuštanja | f_y | 22,50 | kN/cm^2 | 3.2.1 |
| Vlačna čvrstoća | f_u | 36,00 | kN/cm^2 | 3.2.1 |
| Debljina $t > 40 \text{ mm}$ i $t \leq 100 \text{ mm}$ | | | | |
| Granica popuštanja | f_y | 21,50 | kN/cm^2 | 3.2.1 |
| Vlačna čvrstoća | f_u | 36,00 | kN/cm^2 | 3.2.1 |
| Debljina $t > 100 \text{ mm}$ i $t \leq 150 \text{ mm}$ | | | | |
| Granica popuštanja | f_y | 19,50 | kN/cm^2 | 3.2.1 |
| Vlačna čvrstoća | f_u | 35,00 | kN/cm^2 | 3.2.1 |
| Debljina $t > 150 \text{ mm}$ i $t \leq 200 \text{ mm}$ | | | | |
| Granica popuštanja | f_y | 18,50 | kN/cm^2 | 3.2.1 |
| Vlačna čvrstoća | f_u | 34,00 | kN/cm^2 | 3.2.1 |
| Debljina $t > 200 \text{ mm}$ i $t \leq 250 \text{ mm}$ | | | | |
| Granica popuštanja | f_y | 17,50 | kN/cm^2 | 3.2.1 |
| Vlačna čvrstoća | f_u | 34,00 | kN/cm^2 | 3.2.1 |
| Debljina $t > 250 \text{ mm}$ i $t \leq 400 \text{ mm}$ | | | | |
| Granica popuštanja | f_y | 16,50 | kN/cm^2 | 3.2.1 |
| Vlačna čvrstoća | f_u | 33,00 | kN/cm^2 | 3.2.1 |

Karakteristike poprečnog presjeka - IPE 120 / Euronorm 19-57

| Tip poprečnog presjeka | I-valjani | | |
|-------------------------------------|------------|--------|---------------|
| Visina presjeka | h | 120,0 | mm |
| Širina presjeka | b | 64,0 | mm |
| Debljina hrpta | t_w | 4,4 | mm |
| Debljina pojasnice | t_f | 6,3 | mm |
| Radius | r | 7,0 | mm |
| Površina poprečnog presjeka | A | 13,20 | cm^2 |
| Efektivna posmična površina | $A_{v,y}$ | 8,57 | cm^2 |
| Efektivna posmična površina | $A_{v,z}$ | 6,30 | cm^2 |
| Moment intercije oko y-y | I_y | 318,00 | cm^4 |
| Moment inercije oko z-z | I_z | 27,70 | cm^4 |
| Tozijska konstanta | I_t | 1,74 | cm^4 |
| Polumjer tromosti za y-y os | i_y | 49,0 | mm |
| Polumjer tromosti za z-z os | i_z | 14,5 | mm |
| Elastični moment otpora oko y-y osi | $W_{el,y}$ | 53,00 | cm^3 |
| Elastični moment otpora oko z-z osi | $W_{el,z}$ | 8,65 | cm^3 |
| Plastični moment otpora oko y-y osi | $W_{pl,y}$ | 60,80 | cm^3 |
| Plastični moment otpora oko z-z osi | $W_{pl,z}$ | 13,58 | cm^3 |
| Savojna konstanta presjeka | I_w | 890,00 | cm^6 |
| Statički moment | Q_y | 30,40 | cm^3 |

| | | | | |
|--------------------|--------|------|---------------|----------|
| Statički moment | Q_z | 3,23 | cm^3 | |
| Krivulja izvijanja | BC_y | a | | Tab. 6.2 |
| Krivulja izvijanja | BC_z | b | | Tab. 6.2 |

Proračunske unutarnje sile

| | | | | |
|------------------|------------|-------|-----|--|
| Normalna sila | N_{Ed} | -6,73 | kN | |
| Posmična sila | $V_{y,Ed}$ | -0,41 | kN | |
| Posmična sila | $V_{z,Ed}$ | -0,94 | kN | |
| Torzijski moment | T_{Ed} | 0,00 | kNm | |
| Moment | $M_{y,Ed}$ | 3,02 | kNm | |
| Moment | $M_{z,Ed}$ | -0,28 | kNm | |

Klasifikacija poprečnog presjeka - Klasa 1

Pojasnica

| | | | | |
|------------------------|--------------------|--------|----------------------|----------|
| | c_f | 22,8 | mm | Tab. 5.2 |
| | t_f | 6,3 | mm | Tab. 5.2 |
| Koeficijent materijala | ε_f | 1,000 | | Tab. 5.2 |
| c/t-granica za klasu 1 | $\lambda_{f,1}$ | 9,000 | | Tab. 5.2 |
| c/t-granica za klasu 2 | $\lambda_{f,2}$ | 10,000 | | Tab. 5.2 |
| c/t-granica za klasu 3 | $\lambda_{f,3}$ | 14,000 | | Tab. 5.2 |
| c/t | c/t_f | 3,619 | $\leq \lambda_{f,1}$ | |
| Klasa | Klasa _f | 1 | | Tab. 5.2 |

Hrbat

| | | | | | |
|------------------------------|--------------------|---------|-------------------------|-------|----------|
| Narezanje na vrhu hrpta | $\sigma_{w,A}$ | 3,93 | kN/cm^2 | < 0 | Vlak |
| Narezanje na dnu hrpta | $\sigma_{w,B}$ | -4,95 | kN/cm^2 | < 0 | Tlak |
| | c_w | 93,4 | mm | | Tab. 5.2 |
| | t_w | 4,4 | mm | | Tab. 5.2 |
| Granica popuštanja | $f_{yd,w}$ | 23,50 | kN/cm^2 | | 3.2.1 |
| Proračunska normalna sila | N_{Ed} | -6,73 | kN | < 0 | Tlak |
| Razmjer tlačnog naprezanja | α_w | 0,609 | | | Tab. 5.2 |
| Narezanje vezano za f_{yd} | $\sigma_{f-yd,1}$ | 23,50 | kN/cm^2 | | |
| Narezanje vezano za f_{yd} | $\sigma_{f-yd,2}$ | -18,66 | kN/cm^2 | | |
| Razmjer naprezanja | ψ_w | -0,794 | | | Tab. 5.2 |
| Koeficijent materijala | ε_w | 1,000 | | | Tab. 5.2 |
| c/t-granica za klasu 1 | $\lambda_{w,1}$ | 57,300 | | | Tab. 5.2 |
| c/t-granica za klasu 2 | $\lambda_{w,2}$ | 65,981 | | | Tab. 5.2 |
| c/t-granica za klasu 3 | $\lambda_{w,3}$ | 102,944 | | | Tab. 5.2 |
| c/t | c/t_w | 21,227 | $\leq \lambda_{w,1}$ | | |
| Klasa | Class _w | 1 | | | Tab. 5.2 |
| Klasa poprečnog presjeka | Class | 1 | | | |

Proračun nosivosti

| | | | | |
|--|------------------|----------|--------------------|------------|
| Elastično kritično opterećenje za torzijsko izvijanje | $N_{cr,T}$ | 620,37 | kN | |
| Vitkost | λ_T | 0,707 | > 0.2 | 6.3.1.2(4) |
| Krivulja izvijanja | BC_z | b | | Tab. 6.2 |
| Faktor imperfekcije | α_z | 0,340 | | Tab. 6.1 |
| Pomoćni faktor | ϑ_T | 0,836 | | 6.3.1.2(1) |
| Faktor redukcije | χ_T | 0,780 | | Eq. (6.49) |
| Modul elastičnosti | E | 21000,00 | kN/cm ² | |
| Moment inercije | I_y | 318,00 | cm ⁴ | |
| Efektivna duljina elementa | $L_{cr,y}$ | 2,900 | m | |
| Elastična sila savijanja | $N_{cr,y}$ | 783,70 | kN | |
| Površina poprečnog presjeka | A | 13,20 | cm ² | |
| Granica popuštanja | f_y | 23,50 | kN/cm ² | 3.2.1 |
| Vitkost | λ_y | 0,629 | > 0.2 | 6.3.1.2(4) |
| Krivulja izvijanja | BC_y | a | | Tab. 6.2 |
| Faktor imperfekcije | α_y | 0,210 | | Tab. 6.1 |
| Pomoćni faktor | ϑ_y | 0,743 | | 6.3.1.2(1) |
| Faktor redukcije | χ_y | 0,879 | | Eq. (6.49) |
| Modul elastičnosti | I_z | 27,70 | cm ⁴ | |
| Moment inercije | $L_{cr,z}$ | 2,900 | m | |
| Elastična sila savijanja | $N_{cr,z}$ | 68,27 | kN | |
| Vitkost | λ_z | 2,132 | > 0.2 | 6.3.1.2(4) |
| Krivulja izvijanja | BC_z | b | | Tab. 6.2 |
| Faktor imperfekcije | α_z | 0,340 | | Tab. 6.1 |
| Pomoćni faktor | ϑ_z | 3,100 | | 6.3.1.2(1) |
| Faktor redukcije | χ_z | 0,187 | | Eq. (6.49) |
| Visina poprečnog presjeka | h | 120,0 | mm | |
| Širina poprečnog presjeka | b | 64,0 | mm | |
| Kriterij | h/b | 1,87 | ≤ 2 | Tab. 6.5 |
| Krivulja izvijanja | BC_{LT} | b | | Tab. 6.5 |
| Faktor imperfekcije | α_{LT} | 0,340 | | Tab. 6.3 |
| Modul posmika | G | 8076,92 | kN/cm ² | |
| Faktor duljine | k_z | 1,000 | | |
| Faktor duljine | k_w | 1,000 | | |
| Duljina | L | 2,900 | m | |
| Savojna konstanta presjeka | I_w | 890,00 | cm ⁶ | |
| Torzijska konstanta | I_t | 1,74 | cm ⁴ | |
| Elastični kritični moment za bočno-torzijsko izvijanje | M_{cr} | 9,86 | kNm | |
| Moment otpora oko y-y osi | W_y | 60,80 | cm ³ | |
| Vitkost | λ_{LT} | 1,204 | | 6.3.2.2(1) |
| Parametar | $\lambda_{LT,0}$ | 0,400 | | 6.3.2.3(1) |
| Parametar | β | 0,750 | | 6.3.2.3(1) |

| | | | | |
|-------------------------------------|-------------------|-----------------------|----------|------------|
| Pomoćni faktor | ϑ_{LT} | 1,180 | | 6.3.2.3(1) |
| Faktor redukcije | χ_{LT} | 0,577 | | Eq. (6.57) |
| Korekcijski faktor | k_c | 0,940 | | 6.3.2.3(2) |
| Faktor modifikacije | f | 0,980 | | 6.3.2.3(2) |
| Koeficijent redukcije | $\chi_{LT,mod}$ | 0,589 | | Eq. (6.58) |
| Ponašanje oko y-osi | | | | Table B.3 |
| | Diagr M_y | Max u rasponu | | Tab. B.3 |
| Faktor momenta | ψ_y | 0,995 | | Tab. B.3 |
| Moment | $M_{h,y}$ | 0,00 | kNm | Tab. B.3 |
| Moment | $M_{s,y}$ | 3,19 | kNm | Tab. B.3 |
| $M_{s,y} / M_{h,y}$ | $\alpha_{s,y}$ | 0,000 | | Tab. B.3 |
| Momentni faktor | C_{my} | 0,900 | | Tab. B.3 |
| Ponašanje oko z-osi | | | | Table B.3 |
| | Diagr M_z | Max u rasponu | | Tab. B.3 |
| Faktor momenta | ψ_z | 0,779 | | Tab. B.3 |
| Momentni faktor | C_{mz} | 0,900 | | Tab. B.3 |
| | Diagr $M_{y,LT}$ | Max na kraju | | Tab. B.3 |
| Faktor momenta | $\psi_{y,LT}$ | 0,995 | | Tab. B.3 |
| Moment | $M_{h,y,LT}$ | 0,00 | kNm | Tab. B.3 |
| Moment | $M_{s,y,LT}$ | 3,19 | kNm | Tab. B.3 |
| $M_{s,y,LT} / M_{h,y,LT}$ | $\alpha_{s,y,LT}$ | 0,000 | | Tab. B.3 |
| Opterećenje z | | Jednoliko opterećenje | | Tab. B.3 |
| Faktor momenta | C_{mLT} | 0,900 | | Tab. B.3 |
| Faktor interakcije | k_{yy} | 0,910 | | Tab. B.2 |
| Faktor interakcije | k_{yz} | 0,628 | | Tab. B.2 |
| Faktor interakcije | k_{zy} | 0,982 | | Tab. B.2 |
| Faktor interakcije | k_{zz} | 1,046 | | Tab. B.2 |
| Proračunska normalna sila (Tlak) | N_{Ed} | 6,73 | kN | |
| Površina poprečnog presjeka | A_i | 13,20 | cm^2 | Tab. 6.7 |
| Nosivost na tlak | N_{Rk} | 310,20 | kN | Tab. 6.7 |
| Parcijalni faktor | γ_{M1} | 1,000 | | 6,1 |
| | η_{Ny} | 0,02 | ≤ 1 | (6.61) |
| | η_{Nz} | 0,12 | ≤ 1 | (6.62) |
| Moment | $M_{y,Ed}$ | 3,24 | kNm | |
| Moment otpora | W_y | 60,80 | cm^3 | |
| Moment nosivosti | $M_{y,Rk}$ | 14,29 | kNm | Tab. 6.7 |
| | η_{My} | 0,38 | | Eq. (6.61) |
| Moment | $M_{z,Ed}$ | 0,81 | kNm | |

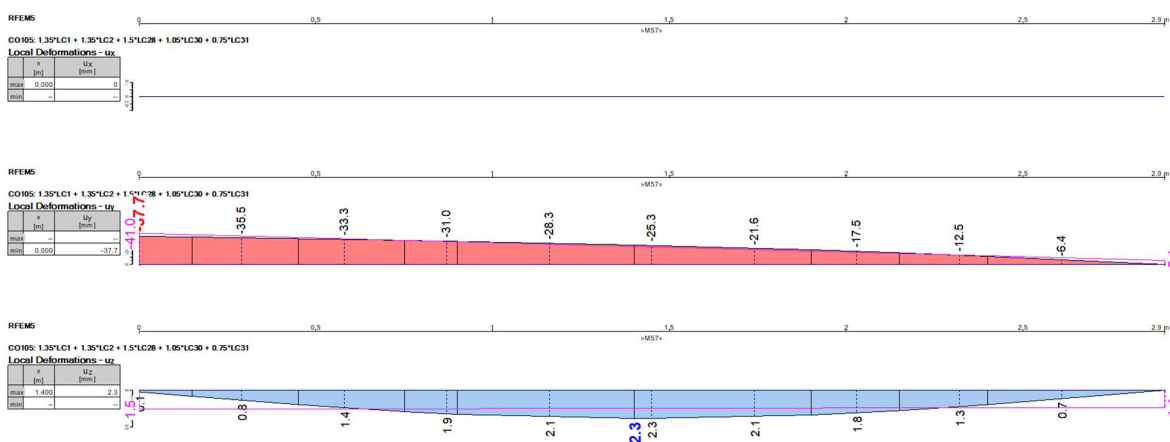
| | | | | |
|------------------|-------------|-------|---------------|------------|
| Moment otpora | W_z | 13,58 | cm^3 | |
| Moment nosivosti | $M_{z,Rk}$ | 3,19 | kNm | Tab. 6.7 |
| | η_{Mz} | 0,25 | | Eq. (6.61) |
| Nosivost 1 | η_1 | 0,53 | ≤ 1 | (6.61) |
| Nosivost 2 | η_2 | 0,76 | ≤ 1 | (6.62) |

Provjera nosivosti

$$N_{Ed} / (\chi_y N_{Rk} / \gamma_{M1}) + k_{yy} M_{y,Ed} / (\chi_{LT} M_{y,Rk} / \gamma_{M1}) + k_{yz} M_{z,Ed} / (M_{z,Rk} / \gamma_{M1}) = 0,53 \leq 1 \quad (6.61)$$

$$N_{Ed} / (\chi_z N_{Rk} / \gamma_{M1}) + k_{zy} M_{y,Ed} / (\chi_{LT} M_{y,Rk} / \gamma_{M1}) + k_{zz} M_{z,Ed} / (M_{z,Rk} / \gamma_{M1}) = 0,76 \leq 1 \quad (6.62)$$

6.11.2. Proračun GSU stražnjih stupova fasade



Slika 95: Dijagrami relativnih pomaka bočnih stupova koji nose fasadu za kombinaciju CO937.

| Opterećenje | Kombinacija | Element Br. | Presjek x [m] | Uporabljivost | |
|-------------|-----------------|-------------|---------------|---------------|---|
| CO885 | LC1 + LC2 + LC8 | 57 | 1,400 | 0,73 ≤ 1 | SE401) Uporabljivosti - Kombinacija 'Karakteristična' - z-smjer |

Karakteristike materijala - Čelik S 235 / EN 10025-2:2004-11

| | | | |
|---|----------------|----------|--------------------|
| Modul elastičnosti | E | 21000,00 | kN/cm ² |
| Modul posmika | G | 8076,92 | kN/cm ² |
| Debljina t \leq 16 mm | | | |
| Granica popuštanja | f _y | 23,50 | kN/cm ² |
| Vlačna čvrstoća | f _u | 36,00 | kN/cm ² |
| Debljina t > 16 mm i t \leq 40 mm | | | |
| Granica popuštanja | f _y | 22,50 | kN/cm ² |
| Vlačna čvrstoća | f _u | 36,00 | kN/cm ² |
| Debljina t > 40 mm i t \leq 100 mm | | | |
| Granica popuštanja | f _y | 21,50 | kN/cm ² |
| Vlačna čvrstoća | f _u | 36,00 | kN/cm ² |

Debljina $t > 100 \text{ mm}$ i $t \leq 150 \text{ mm}$

| | | | |
|--------------------|-------|-------|-------------------------|
| Granica popuštanja | f_y | 19,50 | kN/cm^2 |
| Vlačna čvrstoća | f_u | 35,00 | kN/cm^2 |

Debljina $t > 150 \text{ mm}$ i $t \leq 200 \text{ mm}$

| | | | |
|--------------------|-------|-------|-------------------------|
| Granica popuštanja | f_y | 18,50 | kN/cm^2 |
| Vlačna čvrstoća | f_u | 34,00 | kN/cm^2 |

Debljina $t > 200 \text{ mm}$ i $t \leq 250 \text{ mm}$

| | | | |
|--------------------|-------|-------|-------------------------|
| Granica popuštanja | f_y | 17,50 | kN/cm^2 |
| Vlačna čvrstoća | f_u | 34,00 | kN/cm^2 |

Debljina $t > 250 \text{ mm}$ i $t \leq 400 \text{ mm}$

| | | | |
|--------------------|-------|-------|-------------------------|
| Granica popuštanja | f_y | 16,50 | kN/cm^2 |
| Vlačna čvrstoća | f_u | 33,00 | kN/cm^2 |

Karakteristike poprečnog presjeka - IPE 120 / Euronorm 19-57

| Tip poprečnog presjeka | l-valjani | | |
|-------------------------------------|------------|--------|---------------|
| Visina presjeka | h | 120,0 | mm |
| Širina presjeka | b | 64,0 | mm |
| Debljina hrpta | t_w | 4,4 | mm |
| Debljina pojasnice | t_f | 6,3 | mm |
| Radius | r | 7,0 | mm |
| Površina poprečnog presjeka | A | 13,20 | cm^2 |
| Efektivna posmična površina | $A_{v,y}$ | 8,57 | cm^2 |
| Efektivna posmična površina | $A_{v,z}$ | 6,30 | cm^2 |
| Moment inercije oko y-y | I_y | 318,00 | cm^4 |
| Moment inercije oko z-z | I_z | 27,70 | cm^4 |
| Torzijska konstanta | I_t | 1,74 | cm^4 |
| Polumjer tromosti za y-y os | i_y | 49,0 | mm |
| Polumjer tromosti za z-z os | i_z | 14,5 | mm |
| Elastični moment otpora oko y-y osi | $W_{el,y}$ | 53,00 | cm^3 |
| Elastični moment otpora oko z-z osi | $W_{el,z}$ | 8,65 | cm^3 |
| Plastični moment otpora oko y-y osi | $W_{pl,y}$ | 60,80 | cm^3 |
| Plastični moment otpora oko z-z osi | $W_{pl,z}$ | 13,58 | cm^3 |
| Savojna konstanta presjeka | I_w | 890,00 | cm^6 |
| Statički moment | Q_y | 30,40 | cm^3 |
| Statički moment | Q_z | 3,23 | cm^3 |
| Krivilj izvijanja | BC_y | a | |
| Krivilj izvijanja | BC_z | b | |

Pomaci

| | | | |
|---------|----------------|-------|----|
| Smjer x | w _x | 0,0 | mm |
| Smjer y | w _y | -13,4 | mm |
| Smjer z | w _z | -2,0 | mm |

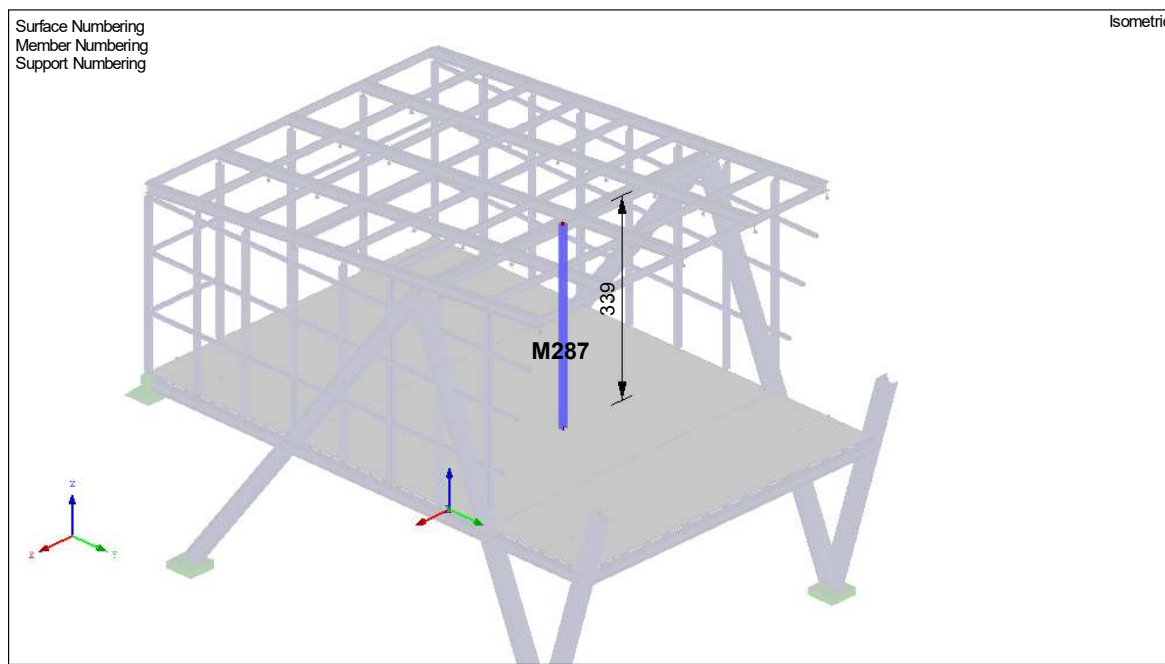
Proračun uporabljivosti

| | | | |
|-------------------------------|--------------------------|--------|-----|
| Pomak | w _{max,z} | -7,0 | mm |
| Referentna duljina | l | 2,900 | m |
| Kriterij granične vrijednosti | l / w _{limit,z} | 300,00 | |
| Granična vrijednost pomaka | w _{limit,z} | 9,7 | mm |
| Uporabljivost | η | 0,73 | ≤ 1 |

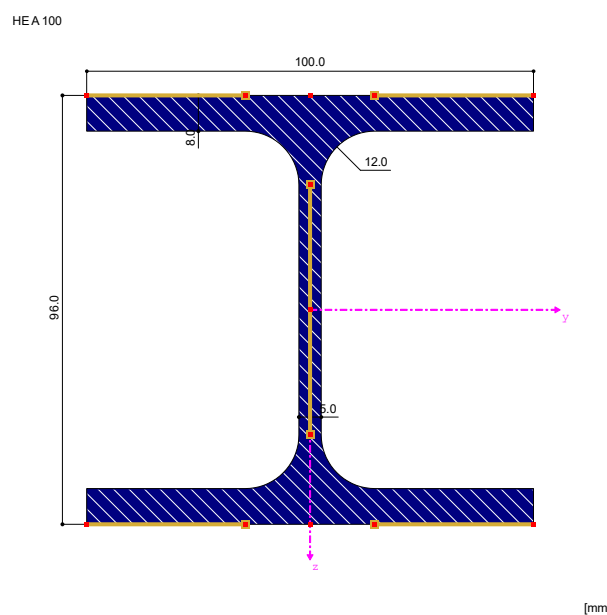
Uvjet uporabljivosti

$$w_{max,z} / w_{limit,z} = 0,73 \leq 1 \text{ EN 1990 (6.13)}$$

6.12. Dimenzioniranje stupa pročelja

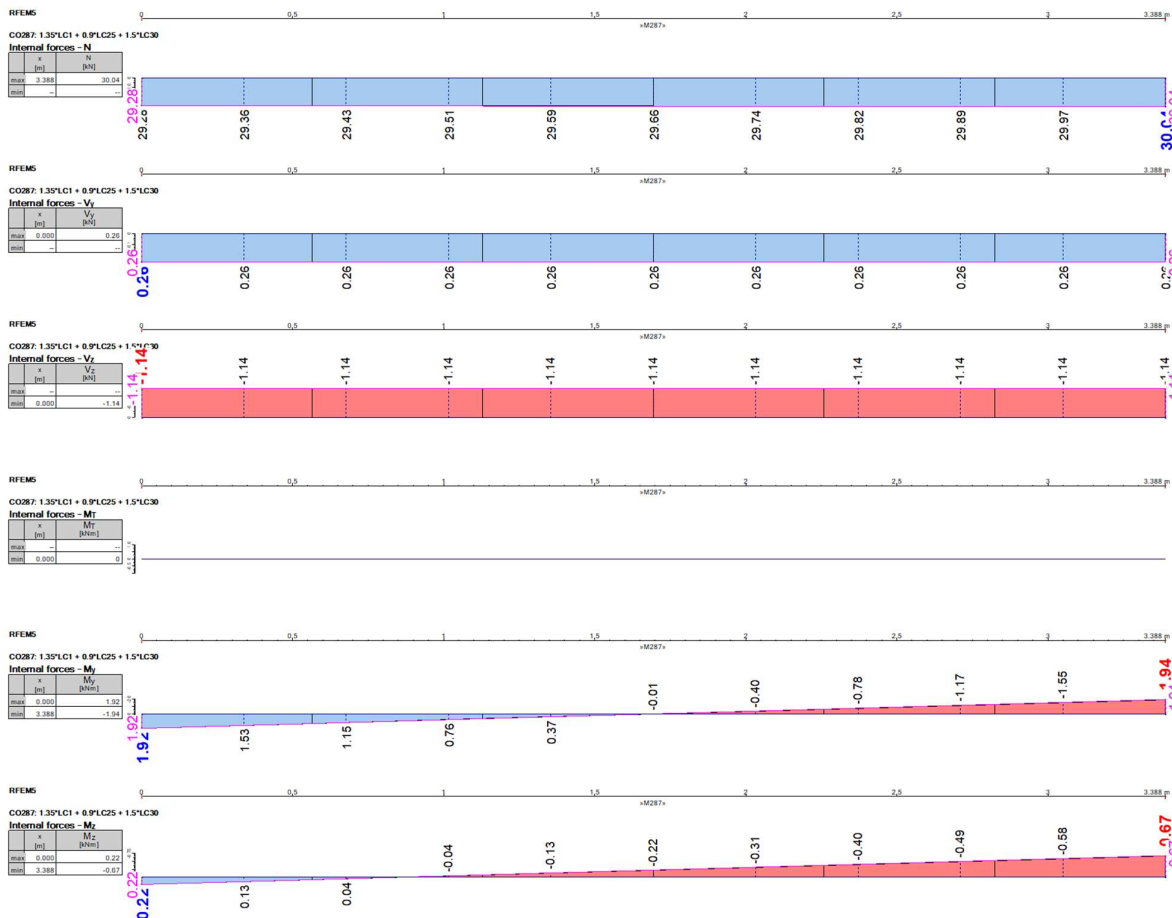


Slika 96: Izometrija stupa pročelja s brojčanom oznakom.



Slika 97: Odabrani poprečni presjek stupova pročelja HE A 100.

6.12.1. Proračun GSN stupova pročelja



Slika 98: Dijagrami unutarnjih sila stupova pročelja za kombinaciju CO287.

Nosač Presjek

| Br. | x [m] | Opterećenje | Uvjet | ST363) Analiza stabilnosti – Dvoosno savijanje prema | | |
|-----|-------|-------------|-------|--|-----------------|--|
| 287 | 0,000 | CO78 | 0,33 | ≤ 1 | 6.3.3, metoda 2 | |

Karakteristike materijala - Čelik S 235 / EN 10025-2:2004-11

| | | | |
|--------------------|---|----------|--------------------|
| Modul elastičnosti | E | 21000,00 | kN/cm ² |
| Modul posmika | G | 8076,92 | kN/cm ² |

Debljina t ≤ 16 mm

| | | | | |
|--------------------|----------------|-------|--------------------|-------|
| Granica popuštanja | f _y | 23,50 | kN/cm ² | 3.2.1 |
| Vlačna čvrstoća | f _u | 36,00 | kN/cm ² | 3.2.1 |

Debljina t > 16 mm i t ≤ 40 mm

| | | | | |
|--------------------|----------------|-------|--------------------|-------|
| Granica popuštanja | f _y | 22,50 | kN/cm ² | 3.2.1 |
|--------------------|----------------|-------|--------------------|-------|

| | | | | |
|----------------------------------|-------|-------|--------------------|-------|
| Vlačna čvrstoća | f_u | 36,00 | kN/cm ² | 3.2.1 |
| Debljina t > 40 mm i t ≤ 100 mm | | | | |
| Granica popuštanja | f_y | 21,50 | kN/cm ² | 3.2.1 |
| Vlačna čvrstoća | f_u | 36,00 | kN/cm ² | 3.2.1 |
| Debljina t > 100 mm i t ≤ 150 mm | | | | |
| Granica popuštanja | f_y | 19,50 | kN/cm ² | 3.2.1 |
| Vlačna čvrstoća | f_u | 35,00 | kN/cm ² | 3.2.1 |
| Debljina t > 150 mm i t ≤ 200 mm | | | | |
| Granica popuštanja | f_y | 18,50 | kN/cm ² | 3.2.1 |
| Vlačna čvrstoća | f_u | 34,00 | kN/cm ² | 3.2.1 |
| Debljina t > 200 mm i t ≤ 250 mm | | | | |
| Granica popuštanja | f_y | 17,50 | kN/cm ² | 3.2.1 |
| Vlačna čvrstoća | f_u | 34,00 | kN/cm ² | 3.2.1 |
| Debljina t > 250 mm i t ≤ 400 mm | | | | |
| Granica popuštanja | f_y | 16,50 | kN/cm ² | 3.2.1 |
| Vlačna čvrstoća | f_u | 33,00 | kN/cm ² | 3.2.1 |

Karakteristike poprečnog presjeka - HE A 10 | Euronorm 53-62

| Tip poprečnog presjeka | I-valjani | | |
|-------------------------------------|------------|---------|-----------------|
| Visina presjeka | h | 96,0 | mm |
| Širina presjeka | b | 100,0 | mm |
| Debljina hrpta | t_w | 5,0 | mm |
| Debljina pojasnice | t_f | 8,0 | mm |
| Radius | r | 12,0 | mm |
| Površina poprečnog presjeka | A | 21,20 | cm ² |
| Efektivna posmična površina | $A_{v,y}$ | 16,85 | cm ² |
| Efektivna posmična površina | $A_{v,z}$ | 7,52 | cm ² |
| Moment intercije oko y-y | I_y | 349,00 | cm ⁴ |
| Moment inercije oko z-z | I_z | 134,00 | cm ⁴ |
| Tozijska konstanta | I_t | 5,26 | cm ⁴ |
| Polumjer tromosti za y-y os | i_y | 40,6 | mm |
| Polumjer tromosti za z-z os | i_z | 25,1 | mm |
| Elastični moment otpora oko y-y osi | $W_{el,y}$ | 72,80 | cm ³ |
| Elastični moment otpora oko z-z osi | $W_{el,z}$ | 26,80 | cm ³ |
| Plastični moment otpora oko y-y osi | $W_{pl,y}$ | 83,00 | cm ³ |
| Plastični moment otpora oko z-z osi | $W_{pl,z}$ | 41,14 | cm ³ |
| Savojna konstanta presjeka | I_w | 2581,00 | cm ⁶ |
| Statički moment | Q_y | 41,50 | cm ³ |
| Statički moment | Q_z | 10,00 | cm ³ |
| Krivulja izvijanja | BC_y | b | |

Tab. 6.2

Krivulja izvijanja

 BC_z

c

Tab. 6.2

Proračunske unutarnje sile

| | | | |
|------------------|-------------------|-------|-----|
| Normalna sila | N _{Ed} | 46,55 | kN |
| Posmična sila | V _{y,Ed} | 0,45 | kN |
| Posmična sila | V _{z,Ed} | -3,11 | kN |
| Torzijski moment | T _{Ed} | 0,00 | kNm |
| Moment | M _{y,Ed} | 5,22 | kNm |
| Moment | M _{z,Ed} | 0,40 | kNm |

Klasifikacija poprečnog presjeka - Klasa 1

Pojasnica

| | | | | |
|------------------------|--------------------|--------|--------------------|----------|
| | c _f | 35,5 | mm | Tab. 5.2 |
| | t _f | 8,0 | mm | Tab. 5.2 |
| Koeficijent materijala | ε _f | 1,000 | | Tab. 5.2 |
| c/t-granica za klasu 1 | λ _{f,1} | 9,000 | | Tab. 5.2 |
| c/t-granica za klasu 2 | λ _{f,2} | 10,000 | | Tab. 5.2 |
| c/t-granica za klasu 3 | λ _{f,3} | 14,000 | | Tab. 5.2 |
| c/t | c/t _f | 4,437 | ≤ λ _{f,1} | |
| Klasa | Klasa _f | 1 | | Tab. 5.2 |

Hrbat

| | | | | | |
|--------------------------------------|---------------------|---------|--------------------|-----|----------|
| Naprezanje na vrhu hrpta | σ _{w,A} | 6,39 | kN/cm ² | < 0 | Vlak |
| Naprezanje na dnu hrpta | σ _{w,B} | -2,00 | kN/cm ² | < 0 | Tlak |
| | c _w | 56,0 | mm | | Tab. 5.2 |
| | t _w | 5,0 | mm | | Tab. 5.2 |
| Granica popuštanja | f _{yd,w} | 23,50 | kN/cm ² | | 3.2.1 |
| Proračunska normalna sila | N _{Ed} | 46,55 | kN | < 0 | Tlak |
| Razmjer tlačnog naprezanja | α _w | 1,000 | | | Tab. 5.2 |
| Naprezanje vezano za f _{yd} | σ _{f-yd,1} | 23,50 | kN/cm ² | | |
| Naprezanje vezano za f _{yd} | σ _{f-yd,2} | -75,20 | kN/cm ² | | |
| Razmjer naprezanja | ψ _w | -3,200 | | | Tab. 5.2 |
| Koeficijent materijala | ε _w | 1,000 | | | Tab. 5.2 |
| c/t-granica za klasu 1 | λ _{w,1} | 33,000 | | | Tab. 5.2 |
| c/t-granica za klasu 2 | λ _{w,2} | 38,000 | | | Tab. 5.2 |
| c/t-granica za klasu 3 | λ _{w,3} | 465,855 | | | Tab. 5.2 |
| c/t | c/t _w | 11,200 | ≤ λ _{w,1} | | |
| Klasa | Class _w | 1 | | | Tab. 5.2 |
| Klasa poprečnog presjeka | Class | 1 | | | |

Proračun nosivosti

| | | | | |
|--|------------------|----------|-----------|------------|
| Visina poprečnog presjeka | h | 96,0 | mm | |
| Širina poprečnog presjeka | b | 100,0 | mm | |
| Kriterij | h/b | 0,96 | ≤ 2 | Tab. 6.5 |
| Krivulja izvijanja | BC_{LT} | b | | Tab. 6.5 |
| Faktor imperfekcije | α_{LT} | 0,340 | | Tab. 6.3 |
| Modul posmika | G | 21000,00 | kN/cm^2 | |
| Faktor duljine | k_z | 8076,92 | | |
| Faktor duljine | k_w | 1,000 | | |
| Duljina | L | 1,000 | m | |
| Savojna konstanta presjeka | I_w | 3,388 | cm^6 | |
| Torzijska konstanta | I_t | 2581,00 | cm^4 | |
| Elastični kritični moment za bočno-torzijsko izvijanje | M_{cr} | 5,26 | kNm | |
| Moment otpora oko y-y osi | W_y | 90,15 | cm^3 | |
| Vitkost | λ_{LT} | 83,00 | | 6.3.2.2(1) |
| Parametar | $\lambda_{LT,0}$ | 0,465 | | 6.3.2.3(1) |
| Parametar | β | 0,400 | | 6.3.2.3(1) |
| Pomoćni faktor | ϑ_{LT} | 0,750 | | 6.3.2.3(1) |
| Faktor redukcije | χ_{LT} | 0,592 | | Eq. (6.57) |
| Korekcijski faktor | k_c | 0,974 | | 6.3.2.3(2) |
| Faktor modifikacije | f | 0,604 | | 6.3.2.3(2) |
| Koeficijent redukcije | $\chi_{LT,mod}$ | 0,847 | | Eq. (6.58) |
| Ponašanje oko y-osi | | | | Table B.3 |
| | Diagr M_y | Linearan | | Tab. B.3 |
| | | -0,984 | | |
| Faktor momenta | ψ_y | | | Tab. B.3 |
| Momentni faktor | C_{my} | 0,400 | | Tab. B.3 |
| Ponašanje oko z-osi | | | | Table B.3 |
| | Diagr M_z | Linearan | | Tab. B.3 |
| | | -0,358 | | |
| Faktor momenta | ψ_z | | | Tab. B.3 |
| Momentni faktor | C_{mz} | 0,457 | | Tab. B.3 |
| | Diagr $M_{y,LT}$ | Linearan | | Tab. B.3 |
| | | -0,984 | | |
| Faktor momenta | $\psi_{y,LT}$ | | | Tab. B.3 |
| Faktor momenta | C_{mLT} | 0,400 | | Tab. B.3 |
| Faktor interakcije | k_{yy} | 0,400 | | Tab. B.2 |
| Faktor interakcije | k_{yz} | 0,274 | | Tab. B.2 |
| Faktor interakcije | k_{zy} | 1,000 | | Tab. B.2 |
| Faktor interakcije | k_{zz} | 0,457 | | Tab. B.2 |
| Moment | $M_{y,Ed}$ | 5,31 | kNm | |
| Moment otpora | W_y | 83,00 | cm^3 | |
| Moment nosivosti | $M_{y,Rk}$ | 19,51 | kNm | Tab. 6.7 |

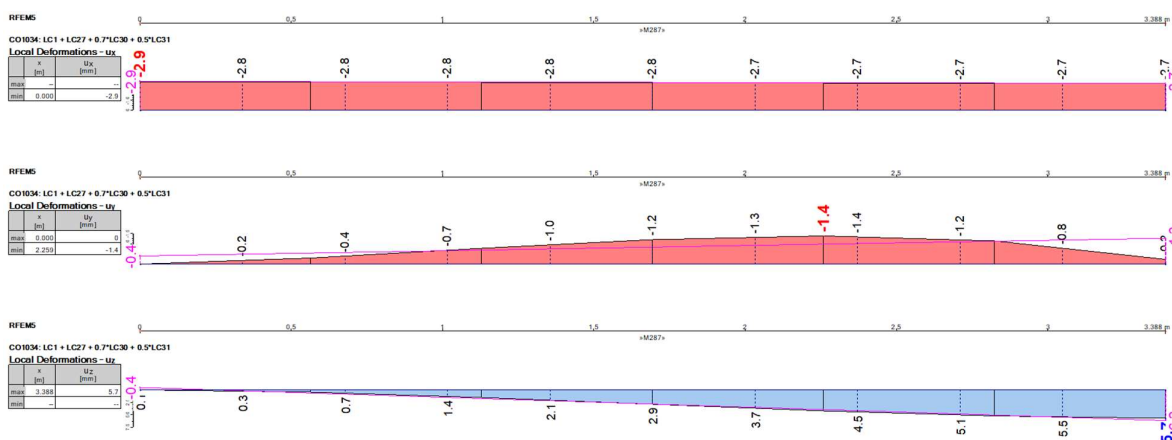
| | | | | |
|------------------|--------------|-------|-----------------|------------|
| | η_{M_y} | 1,000 | | Eq. (6.61) |
| Moment | $M_{z,Ed}$ | 0,27 | kNm | |
| Moment otpora | W_z | 1,12 | cm ³ | |
| Moment nosivosti | $M_{z,Rk}$ | 41,14 | kNm | Tab. 6.7 |
| | η_{M_z} | 9,67 | | Eq. (6.61) |
| Nosivost 1 | η_1 | 0,12 | ≤ 1 | (6.61) |
| Nosivost 2 | η_2 | 0,14 | ≤ 1 | (6.62) |

Provjera nosivosti

$$N_{Ed} / (\chi_y N_{Rk} / \gamma_{M1}) + k_{yy} M_{y,Ed} / (\chi_{LT} M_{y,Rk} / \gamma_{M1}) + k_{yz} M_{z,Ed} / (M_{z,Rk} / \gamma_{M1}) = 0,14 \leq 1 \quad (6.61)$$

$$N_{Ed} / (\chi_z N_{Rk} / \gamma_{M1}) + k_{zy} M_{y,Ed} / (\chi_{LT} M_{y,Rk} / \gamma_{M1}) + k_{zz} M_{z,Ed} / (M_{z,Rk} / \gamma_{M1}) = 0,33 \leq 1 \quad (6.62)$$

6.12.2. Proračun GSU stupova pročelja



Slika 99: Dijagrami relativnih pomaka stupa pročelja za kombinaciju CO1034.

| Opterećenje | Kombinacija | Element Br. | Presjek x [m] | Uporabljivost | |
|-------------|----------------------------------|----------------|--------------------|---------------|---|
| CO1034 | LC1 + LC27 + 0,7*LC30 + 0,5*LC31 | 287 | 2,259 | 0,11 ≤ 1 | SE401) Uporabljivosti - Kombinacija 'Karakteristična' - z-smjer |

Karakteristike materijala - Čelik S 235 / EN 10025-2:2004-11

| | | | |
|---------------------------------------|-------|----------|--------------------|
| Modul elastičnosti | E | 21000,00 | kN/cm ² |
| Modul posmika | G | 8076,92 | kN/cm ² |
| Debljina $t \leq 16$ mm | | | |
| Granica popuštanja | f_y | 23,50 | kN/cm ² |
| Vlačna čvrstoća | f_u | 36,00 | kN/cm ² |
| Debljina $t > 16$ mm i $t \leq 40$ mm | | | |
| Granica popuštanja | f_y | 22,50 | kN/cm ² |

| | | | |
|----------------------------------|-------|-------|--------------------|
| Vlačna čvrstoća | f_u | 36,00 | kN/cm ² |
| Debljina t > 40 mm i t ≤ 100 mm | | | |
| Granica popuštanja | f_y | 21,50 | kN/cm ² |
| Vlačna čvrstoća | f_u | 36,00 | kN/cm ² |
| Debljina t > 100 mm i t ≤ 150 mm | | | |
| Granica popuštanja | f_y | 19,50 | kN/cm ² |
| Vlačna čvrstoća | f_u | 35,00 | kN/cm ² |
| Debljina t > 150 mm i t ≤ 200 mm | | | |
| Granica popuštanja | f_y | 18,50 | kN/cm ² |
| Vlačna čvrstoća | f_u | 34,00 | kN/cm ² |
| Debljina t > 200 mm i t ≤ 250 mm | | | |
| Granica popuštanja | f_y | 17,50 | kN/cm ² |
| Vlačna čvrstoća | f_u | 34,00 | kN/cm ² |
| Debljina t > 250 mm i t ≤ 400 mm | | | |
| Granica popuštanja | f_y | 16,50 | kN/cm ² |
| Vlačna čvrstoća | f_u | 33,00 | kN/cm ² |

Karakteristike poprečnog presjeka - HEA 100 | Euronorm 53-62

| | | | |
|-------------------------------------|------------|---------|-----------------|
| Tip poprečnog presjeka | I-valjani | | |
| Visina presjeka | h | 96,0 | mm |
| Širina presjeka | b | 100,0 | mm |
| Debljina hrpta | t_w | 5,0 | mm |
| Debljina pojasnice | t_f | 8,0 | mm |
| Radius | r | 12,0 | mm |
| Površina poprečnog presjeka | A | 21,20 | cm ² |
| Efektivna posmična površina | $A_{v,y}$ | 16,85 | cm ² |
| Efektivna posmična površina | $A_{v,z}$ | 7,52 | cm ² |
| Moment inercije oko y-y | I_y | 349,00 | cm ⁴ |
| Moment inercije oko z-z | I_z | 134,00 | cm ⁴ |
| Torzijska konstanta | I_t | 5,26 | cm ⁴ |
| Polumjer tromosti za y-y os | i_y | 40,6 | mm |
| Polumjer tromosti za z-z os | i_z | 25,1 | mm |
| Elastični moment otpora oko y-y osi | $W_{el,y}$ | 72,80 | cm ³ |
| Elastični moment otpora oko z-z osi | $W_{el,z}$ | 26,80 | cm ³ |
| Plastični moment otpora oko y-y osi | $W_{pl,y}$ | 83,00 | cm ³ |
| Plastični moment otpora oko z-z osi | $W_{pl,z}$ | 41,14 | cm ³ |
| Savojna konstanta presjeka | I_w | 2581,00 | cm ⁶ |
| Statički moment | Q_y | 41,50 | cm ³ |
| Statički moment | Q_z | 10,00 | cm ³ |
| Krivulja izvijanja | BC_y | b | |
| Krivulja izvijanja | BC_z | c | |

Pomaci

| | | | |
|---------|----------------|------|----|
| Smjer x | w _x | -2,7 | mm |
| Smjer y | w _y | -1,4 | mm |
| Smjer z | w _z | 4,3 | mm |

Proračun uporabljivosti

| | | | |
|-------------------------------|--------------------------|--------|-----|
| Pomak | w _{max,z} | -1,3 | mm |
| Referentna duljina | l | 3,388 | m |
| Kriterij granične vrijednosti | l / w _{limit,z} | 300,00 | |
| Granična vrijednost pomaka | w _{limit,z} | 11,3 | mm |
| Uporabljivost | η | 0,11 | ≤ 1 |

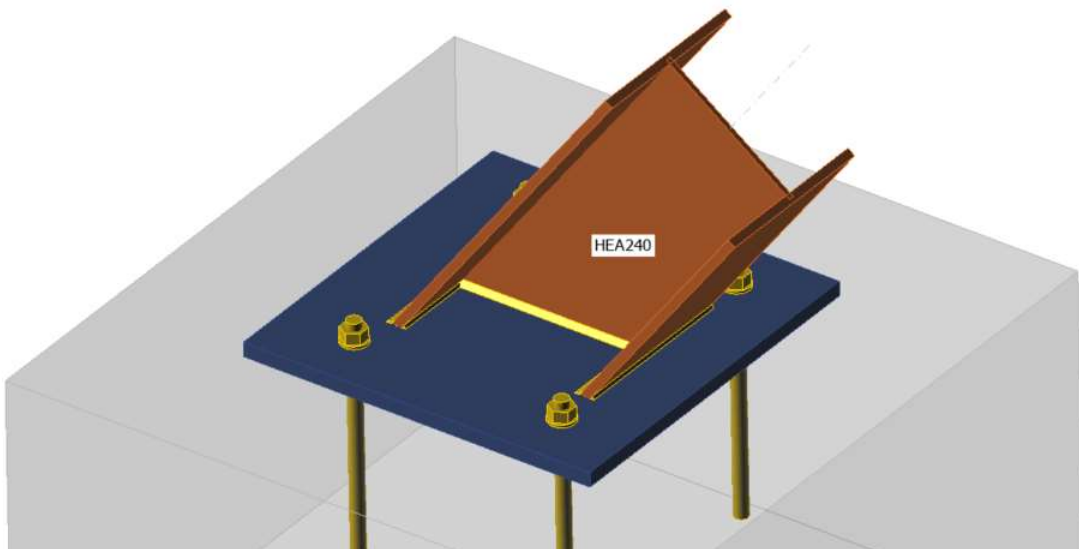
Uvjet uporabljivosti

$$w_{max,y} / w_{limit,y} = 0.11 \leq 1 \text{ EN 1990 (6.13)}$$

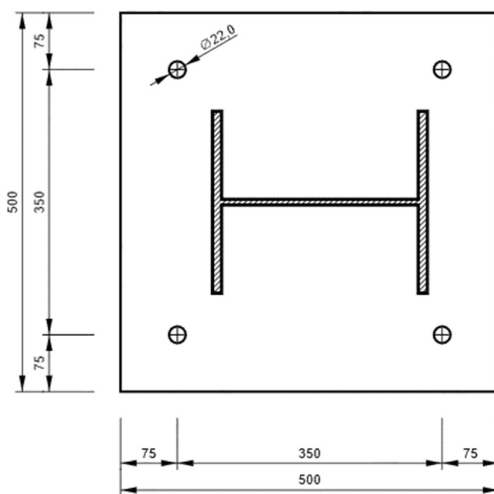
7. PRORAČUN SPOJEVA I PRIKLJUČAKA

Proračun spojeva proveden je u skladu s važećim normama EN1992-4 [13], EN1993-1-8 [14], EN1993-1-5 [15] poštujući minimalne međusobne razmake između vijaka i udaljenosti vijaka od ruba te norme za zavarene spojeve.

7.1. Priključak G10 (N-nosača) na temelje



Slika 100: Prikaz spoja stupova HEA240 na temeljnu ploču [16]



Slika 101: Tlocrtni prikaz priključka N-stupa na temeljnu ploču 20x500-500 (S235).

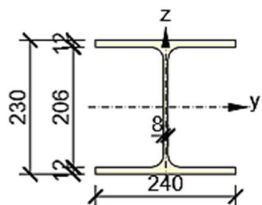
Sažetak provjere

| | |
|----------------|----------------|
| Ploče | $0,0 < 5\%$ |
| Ankeri | $63,7 < 100\%$ |
| Zavari | $59,6 < 100\%$ |
| Temeljna stopa | $13,8 < 100\%$ |

7.1.1. Materijali

HEA240

$$S235 \quad f_y = 235 \text{ MPa} \quad \varepsilon_{lim} = 5 \text{ \%}$$



ANKER VIJCI

M20 8.8

20 mm

$$f_u = 800 \text{ MPa}$$

$$314 \text{ mm}^2$$

OPTEREĆENJE

$$N = 176,40 \text{ kN}$$

$$V_y = -8,10 \text{ kN}$$

$$V_z = -2,00 \text{ kN}$$

$$M_y = -2,50 \text{ kNm}$$

$$M_z = -9,30 \text{ kNm}$$

TEMELJ

| | | |
|------------------------|-----------|----|
| Dimenzije | 900 x 900 | mm |
| Dubina | 500 | mm |
| Anker | M20 8.8 | |
| Dubina sidrenja | 300 | mm |
| Prijenos posmične sile | ankerima | |
| Podložni cementni mort | 30 | mm |

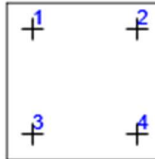
7.1.2. Provjera ploča

Tablica 36: Provjera ploča na spoju stupova na temelj – istok.

| Naziv | Debljina [mm] | σ_{Ed} [MPa] | ϵ_{Pl} [%] | Status |
|-----------------------------|---------------|---------------------|---------------------|--------|
| HEA240 2-donja pojasnica 1 | 12,0 | 83,2 | 0,0 | OK |
| HEA240 2-gornja pojasnica 1 | 12,0 | 76,8 | 0,0 | OK |
| HEA240 2-hrbat1 | 7,5 | 35,9 | 0,0 | OK |
| Podložna ploča | 20,0 | 68,1 | 0,0 | OK |

7.1.3. Provjera vijaka

Tablica 37: Sažetak provjere vijaka koji spajaju temeljnu ploču sa stupom na istočnoj strani.

| | Naziv | Vrsta | $F_{t,Ed}$ [kN] | V [kN] | Utt [%] | Uts [%] |
|--|-------|-------------|-----------------|--------|---------|---------|
|  | A1 | M20 8.8 - 1 | 0,0 | 31,2 | 0 | 63,7 |
| | A2 | M20 8.8 - 2 | 0,0 | 30,6 | 0 | 62,4 |
| | A3 | M20 8.8 - 3 | 0,4 | 22,2 | 0,5 | 45,3 |
| | A4 | M20 8.8 - 4 | 3,1 | 21,3 | 4,1 | 43,5 |

| | $F_{t,Rd}$ [kN] | $B_{p,Rd}$ [kN] | $F_{v,Rd}$ [kN] | $F_{b,Rd}$ [kN] |
|---------|-----------------|-----------------|-----------------|-----------------|
| M20 8.8 | 75,0 | 363,9 | 49,0 | 288,0 |

7.1.3.1. Provjera vijaka na vlastitom

$$F_{t,Rd} = \frac{c \cdot k_2 \cdot f_{ub} \cdot A_s}{\gamma_{M2}}$$

$$c = 0,85$$

$$k_2 = 0,90$$

$$f_{ub} = 500,0 \text{ MPa}$$

$$A_s = 245 \text{ mm}^2$$

$$\gamma_{M2} = 1,25$$

7.1.3.2. Posmična provjera na proboj

$$B_{p.Rd} = \frac{0.6 \cdot \pi \cdot d_m \cdot t_p \cdot f_u}{\gamma_{M2}}$$

$d_m = 34$ mm - Srednja vrijednost poprečnih točaka i poprečnih dimenzija glave vijka ili matice, ovisno o tome koja je manja

$t_p = 20$ mm

$f_u = 360,0$ MPa

$\gamma_{M2} = 1,25$

7.1.3.3. Provjera vijaka na pritisak po omotaču rupe

$$F_{b.Rd} = \frac{k_1 \cdot \alpha_b \cdot f_u \cdot d \cdot t}{\gamma_{M2}}$$

$k_1 = 2,50$

$\alpha_b = 1,00$

$f_u = 360,0$ MPa

$d = 20$ mm

$t = 20$ mm

$\gamma_{M2} = 1,25$

Provjera vlaka

$$U_{tt} = \frac{F_{t.Ed}}{\min(F_{t.Rd}, B_{p.Rd})}$$

Provjera posmika

$$U_{ts} = \frac{V_{Ed}}{\min(F_{v.Rd}, F_{b.Rd})}$$

7.1.4. Provjera zavara

Tablica 38: Sažetak provjere zavara na spoju stupa na temeljnu ploču istočno.

| Stavka | Rub | Debljina [mm] | Duljina [mm] | $\sigma_{w,Ed}$ [MPa] | σ_{\perp} [MPa] | $\tau_{ }$ [MPa] | τ_{\perp} [MPa] | Ut [%] | |
|----------------|---------------------------|---------------|--------------|-----------------------|------------------------|-------------------|----------------------|--------|----|
| Podložna ploča | HEA240 – donja pojasnica | 15,0 | 240 | 148,4 | -69,9 | -51,0 | -55,8 | 41,2 | OK |
| | | 15,0 | 240 | 245,0 | -40,9 | 58,7 | 126,5 | 68,0 | OK |
| Podložna ploča | HEA240 – gornja pojasnica | 15,0 | 240 | 132,1 | -63,0 | -43,8 | -50,8 | 36,7 | OK |
| | | 15,0 | 240 | 214,9 | -37,0 | 45,9 | 113,3 | 59,7 | OK |
| Podložna ploča | HEA240 – hrbat | 15,0 | 272 | 34,3 | -14,3 | 13,3 | -12,1 | 9,5 | OK |
| | | 15,0 | 272 | 30,9 | -12,4 | -8,9 | 13,7 | 8,6 | OK |

$$\sigma_{w,Rd} = \frac{f_u}{\beta_w \cdot \gamma M_2} \geq \sigma_{w,Ed} = \left[\sigma_{\perp}^2 + 3 \cdot (\tau_{\perp}^2 + \tau_{||}^2) \right]^{0.5}$$

$$\sigma_{\perp,Rd} = 0.9 \cdot \frac{f_u}{\gamma M_2} \geq |\sigma_{\perp}|$$

$$f_u = 360,0 \text{ MPa}$$

$$\beta_w = 0,80$$

$$\gamma M_2 = 1,25$$

$$\sigma_{w,Rd} = 360 \text{ MPa}$$

$$\sigma_{\perp,Rd} = 259,2 \text{ MPa}$$

$$U_t = \max \left(\frac{\sigma_{w,Ed}}{\sigma_{w,Rd}} .. \frac{|\sigma_{\perp}|}{\sigma_{\perp,Rd}} \right)$$

7.1.5 Provjera tlačne otpornosti temelja

$$F_{jd} = \alpha_{cc} \cdot \beta_j \cdot k_j \cdot \frac{f_{ck}}{\gamma_c} = 33,5 \text{ MPa}$$

$$\sigma = \frac{N}{A_{eff}} = 3,1 \text{ MPa}$$

$$N = 148,4 \text{ kN}$$

$$A_{eff} = 47776 \text{ mm}^2$$

$$\alpha_{cc} = 1,00$$

$$\beta_j = 0,67$$

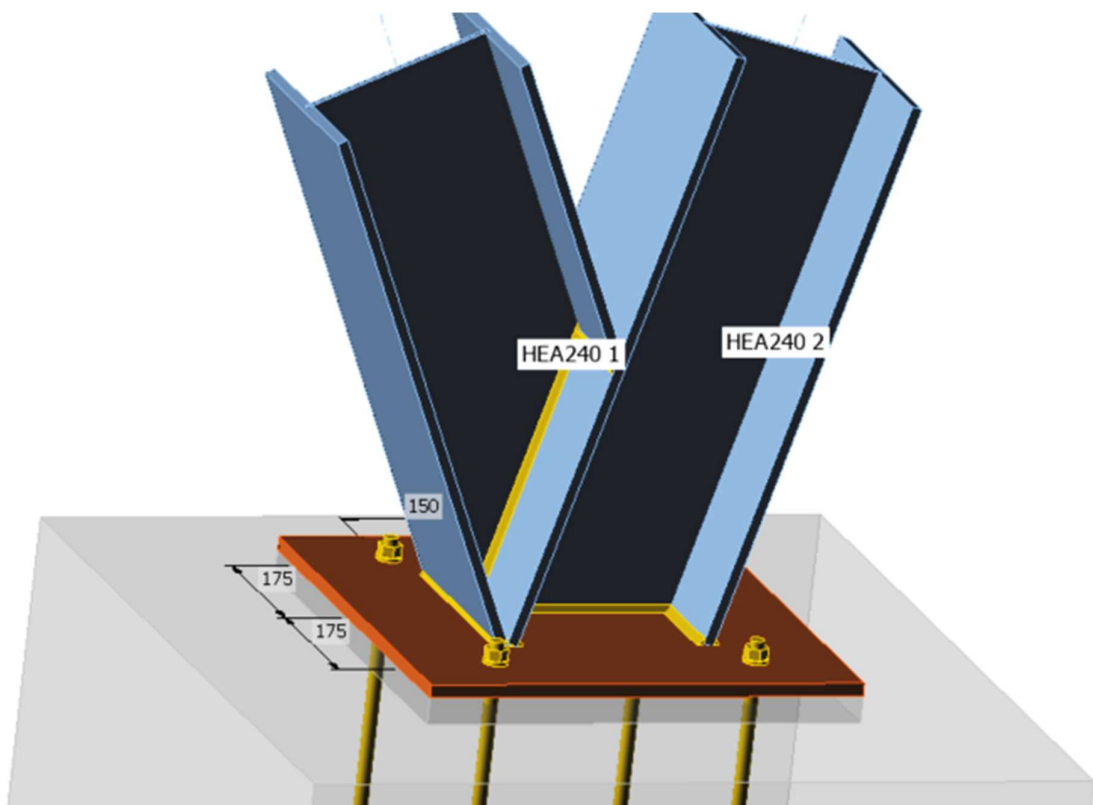
$$k_j = 3,00$$

$$f_{ck} = 25,0 \text{ MPa}$$

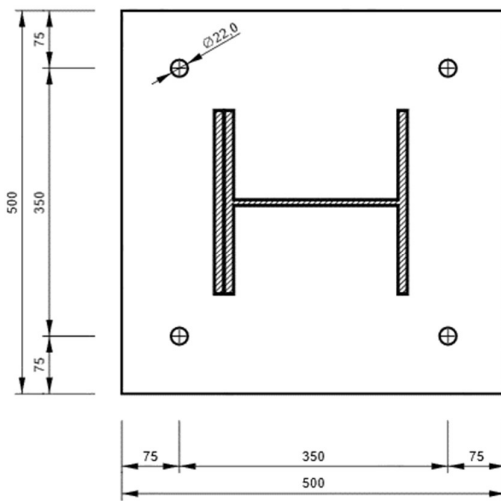
$$\gamma_c = 1,50$$

$$U_t = \frac{\sigma}{f_{jd}} = 9,3 \%$$

7.2. Priključak G11 i G12 (N -nosača) na temelje



Slika 102: Prikaz spoja stupova HEA240 na temeljnu ploču [16]



Slika 103: Tlocrtni prikaz priključka N-stupova na temeljnu ploču 20x500-500 (S235).

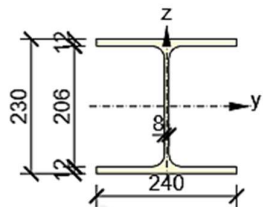
Sažetak provjere

| | |
|----------------|----------------|
| Ploče | $0,0 < 5\%$ |
| Ankeri | $28,7 < 100\%$ |
| Zavari | $56,6 < 100\%$ |
| Temeljna stopa | $10,8 < 100\%$ |

7.2.1. Materijali

HEA240

$$S235 \quad f_y = 235 \text{ MPa} \quad \varepsilon_{lim} = 5 \text{ \%}$$



ANKER VIJCI

M20 8.8

20 mm

$$f_u = 800 \text{ MPa}$$

$$314 \text{ mm}^2$$

OPTEREĆENJE

$N = -158,35 \text{ kN}$

$V_y = -10,84 \text{ kN}$

$V_z = -2,49 \text{ kN}$

$M_y = -2,40 \text{ kNm}$

$M_z = -10,66 \text{ kNm}$

TEMELJ

| | | |
|------------------------|-----------|----|
| Dimenzijs | 900 x 900 | mm |
| Dubina | 500 | mm |
| Anker | M20 8.8 | |
| Dubina sidrenja | 300 | mm |
| Prijenos posmične sile | ankerima | |
| Podložni cementni mort | 30 | mm |

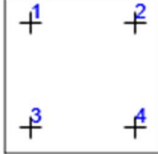
7.2.2. Provjera ploča

Tablica 39: Podaci potrebni za proračun ploča na spoju stupova na temelj – zapad.

| Naziv | Debljina [mm] | σ_{Ed} [MPa] | ϵ_{Pl} [%] | Status |
|------------------------------|---------------|---------------------|---------------------|--------|
| HEA240 2-donja pojasnica 1 | 12,0 | 79,8 | 0,0 | OK |
| HEA240 2-gornja pojasnica 1 | 12,0 | 77,8 | 0,0 | OK |
| HEA240 2-hrbat1 | 7,5 | 34,2 | 0,0 | OK |
| HEA240 1- donja pojasnica 1 | 12,0 | 29,2 | 0,0 | OK |
| HEA240 1- gornja pojasnica 1 | 12,0 | 8,0 | 0,0 | OK |
| HEA240 1-hrbat 1 | 7,5 | 39,3 | 0,0 | OK |
| Podložna ploča | 20,0 | 52,9 | 0,0 | OK |

7.2.3. Provjera vijaka

Tablica 40: Sažetak provjere vijaka koji spajaju temeljnu ploču sa stupovima na zapadnoj strani.

| | Name | Grade | $F_{t,Ed}$ [kN] | V [kN] | U_t [%] | U_s [%] |
|---|------|-------------|-----------------|--------|-----------|-----------|
|  | A1 | M20 8.8 - 1 | 1,5 | 9,2 | 2,0 | 17,7 |
| | A2 | M20 8.8 - 2 | 2,9 | 10,3 | 5,3 | 20,0 |
| | A3 | M20 8.8 - 3 | 0,0 | 13,4 | 0 | 27,3 |
| | A4 | M20 8.8 - 4 | 0,0 | 14,1 | 0,1 | 28,7 |

| | | | |
|-----------------|-----------------|-----------------|-----------------|
| $F_{t,Rd}$ [kN] | $B_{p,Rd}$ [kN] | $F_{v,Rd}$ [kN] | $F_{b,Rd}$ [kN] |
| M20 8.8 | 120,0 | 342,0 | 78,4 |
| | | | 172,8 |

7.2.3.1. Provjera vijaka na vlak

$$F_{t,Rd} = \frac{c \cdot k_2 \cdot f_{ub} \cdot A_s}{\gamma M2}$$

$$c = 0,85$$

$$k_2 = 0,90$$

$$f_{ub} = 800,0 \text{ MPa}$$

$$A_s = 245 \text{ mm}^2$$

$$\gamma M2 = 1,25$$

7.2.3.2. Provjera otpornosti na probaj glave vijka ili matice

$$B_{p,Rd} = \frac{0,6 \cdot \pi \cdot d_m \cdot t_p \cdot f_u}{\gamma M2}$$

$$d_m = 32 \text{ mm}$$

$$t_p = 20 \text{ mm}$$

$$f_u = 360,0 \text{ MPa}$$

$$\gamma M2 = 1,25$$

7.2.3.3. Provjera vijaka na pritisak po omotaču rupe

$$F_{b.Rd} = \frac{k_1 \cdot \alpha_b \cdot f_u \cdot d \cdot t}{\gamma M2}$$

$$k_1 = 2,50$$

$$\alpha_b = 1,00$$

$$f_u = 360,0 \text{ MPa}$$

$$d = 20 \text{ mm}$$

$$t = 15 \text{ mm}$$

$$\gamma_{M2} = 1,25$$

Provjera vlaka

Provjera posmika

$$U_{tt} = \frac{F_{t.Ed}}{\min(F_{t.Rd}, B_{p.Rd})}$$

$$U_{ts} = \frac{V_{Ed}}{\min(F_{v.Rd}, F_{b.Rd})}$$

7.2.4. Provjera zavara

Tablica 41: Sažetak provjere zavara na spoju stupova na temeljnu ploču zapadno.

| Stavka | Rub | Debljina [mm] | Duljina [mm] | $\sigma_{w,Ed}$ [MPa] | σ_{\perp} [MPa] | $\tau_{ }$ [MPa] | τ_{\perp} [MPa] | Ut [%] |
|-----------------------------|-----------------------------|---------------|--------------|-----------------------|------------------------|-------------------|----------------------|--------|
| Podložna ploča | HEA240 2 -donja pojasnica | ▲5,0▲ | 240 | 167,9 | -79,3 | 54,9 | -65,5 | 46,6 |
| | | ▲5,0▲ | 240 | 203,6 | -64,6 | -61,2 | 93,2 | 56,6 |
| Podložna ploča | HEA240 2 -gornja pojasnica | ▲5,0▲ | 240 | 157,2 | -76,4 | 47,1 | -63,8 | 43,7 |
| | | ▲5,0▲ | 240 | 181,8 | -58,0 | -50,7 | 85,6 | 50,5 |
| Podložna ploča | HEA240 2 - hrbat | ▲5,0▲ | 226 | 28,1 | -11,0 | 6,4 | -13,5 | 7,8 |
| | | ▲5,0▲ | 226 | 32,5 | -9,6 | -14,8 | 10,1 | 9,0 |
| HEA240 2 – gornja pojasnica | HEA240 1 - hrbat | ▲5,0▲ | 334 | 17,1 | 1,0 | -9,9 | 0,3 | 4,8 |
| | | ▲5,0▲ | 334 | 16,5 | -0,1 | 9,4 | 1,2 | 4,6 |
| HEA240 2 – gornja pojasnica | HEA240 1 – gornja pojasnica | ▲5,0▲ | 240 | 16,5 | -11,5 | -3,9 | 5,6 | 4,6 |
| | | ▲5,0▲ | 240 | 8,8 | 0,9 | -4,9 | -1,1 | 2,4 |
| Podložna ploča | HEA240 1 - donja pojasnica | ▲5,0▲ | 240 | 55,9 | -21,2 | -25,9 | -14,9 | 15,5 |
| | | ▲5,0▲ | 240 | 96,1 | -22,0 | 40,8 | 35,4 | 26,7 |
| Podložna ploča | HEA240 1 - hrbat | ▲5,0▲ | 7 | 20,2 | 7,8 | 7,6 | 7,7 | 5,6 |
| | | ▲5,0▲ | 7 | 28,2 | -0,7 | -16,3 | 0,6 | 7,8 |

$$\sigma_{w.Rd} = \frac{f_u}{\beta_w \cdot \gamma M2} \geq \sigma_{w.Ed} = \left[\sigma_{\perp}^2 + 3 \cdot (\tau_{\perp}^2 + \tau_{II}^2) \right]^{0.5}$$

$$\sigma_{\perp.Rd} = 0.9 \cdot \frac{f_u}{\gamma M2} \geq |\sigma_{\perp}|$$

$$f_u = 360,0 \text{ MPa}$$

$$\beta_w = 0,80$$

$$\gamma M2 = 1,25$$

$$\sigma_{w.Ed} = 360 \text{ MPa}$$

$$\sigma_{\perp.Rd} = 259,2 \text{ MPa}$$

$$U_t = \max \left(\frac{\sigma_{w.Ed}}{\sigma_{w.Rd}}, \frac{|\sigma_{\perp}|}{\sigma_{\perp.Rd}} \right)$$

7.2.5. Provjera tlačne otpornosti temelja

$$F_{jd} = \alpha_{cc} \cdot \beta_j \cdot k_j \cdot \frac{f_{ck}}{\gamma_c} = 33,5 \text{ MPa}$$

$$\sigma = \frac{N}{A_{eff}} = 3,5 \text{ MPa}$$

$$N = 158,2 \text{ kN}$$

$$A_{eff} = 44588 \text{ mm}^2$$

$$\alpha_{cc} = 1,00$$

$$\beta_j = 0,67$$

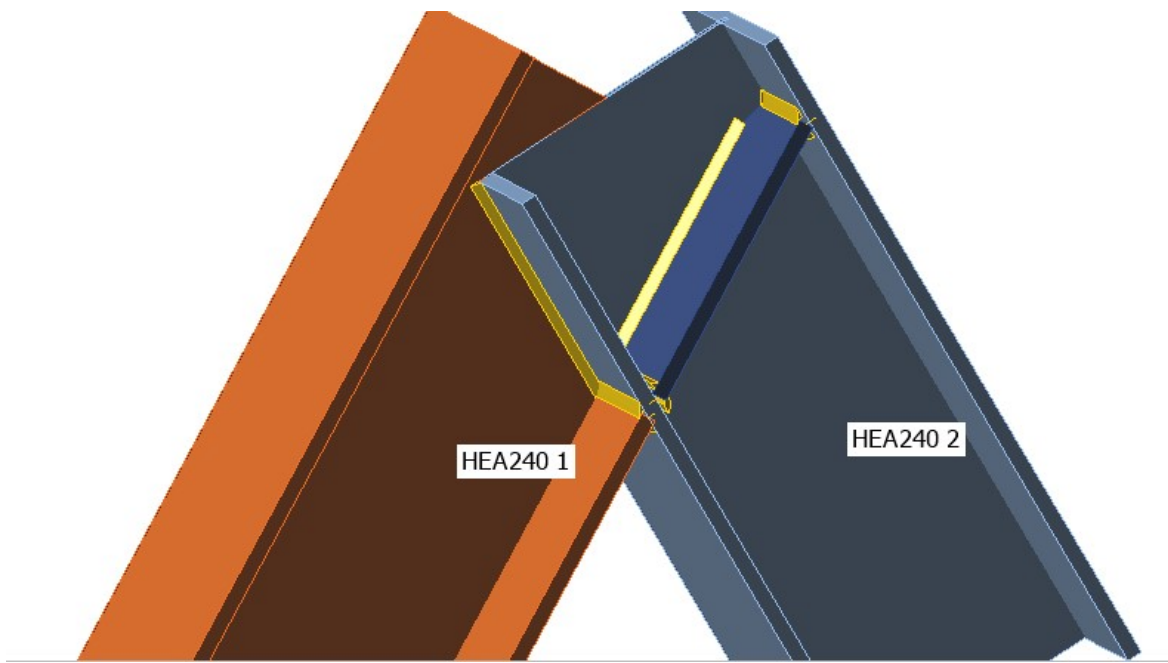
$$k_j = 3,00$$

$$f_{ck} = 25,0 \text{ MPa}$$

$$\gamma_c = 1,50$$

$$U_t = \frac{\sigma}{F_{jd}} = 10,6 \%$$

7.3. Priključak G10 i G12 (N-nosača) u sljemenu



Slika 104: Prikaz zavarenog priključka N-nosača u sljemenu [16]

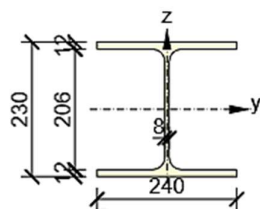
Sažetak provjere

| | |
|--------|----------------|
| Ploče | $0,1 < 5\%$ |
| Zavari | $98,1 < 100\%$ |

7.3.1. Materijali

HEA240

$$S235 \quad f_y = 235 \text{ MPa} \quad \varepsilon_{lim} = 5 \%$$



OPTEREĆENJE

$$N = -41,3 \text{ kN}$$

$$V_y = 17,2 \text{ kN}$$

$$V_z = 1,9 \text{ kN}$$

$$M_y = -1,2 \text{ kNm}$$

$$M_z = 26,9 \text{ kNm}$$

7.3.2. Provjera ploča

Tablica 42: Provjera ploča na spoju N-nosača u sljemenu.

| Naziv | Debljina [mm] | σ_{Ed} [MPa] | ϵ_{Pl} [%] | Status |
|---------------------------|---------------|---------------------|---------------------|--------|
| HEA240 2-donja pojasnica | 12,0 | 222,9 | 0,0 | OK |
| HEA240 2-gornja pojasnica | 12,0 | 44,3 | 0,0 | OK |
| HEA240 2-hrbat | 7,5 | 235,3 | 0,1 | OK |
| HEA240 1-donja pojasnica | 12,0 | 235,8 | 0,4 | OK |
| HEA240 1-gornja pojasnica | 12,0 | 236,3 | 0,6 | OK |
| HEA240 1-hrbat | 7,5 | 156,6 | 0,0 | OK |
| Ukruta 1a | 12,0 | 235,1 | 0,0 | OK |
| Ukruta 1b | 12,0 | 235,1 | 0,0 | OK |

7.3.3. Provjera zavara

Tablica 43: Sažetak provjere zavara na spoju N-nosača u sljemenu.

| Stavka | Rub | Debljina [mm] | Duljina [mm] | $\sigma_{w,Ed}$ [MPa] | σ_{\perp} [MPa] | $\tau_{ }$ [MPa] | τ_{\perp} [MPa] | Ut [%] | |
|----------------------------|--------------------------|---------------|--------------|-----------------------|------------------------|-------------------|----------------------|--------|----|
| HEA240 2-hrbat | HEA240 1-hrbat | ▲5,0▲ | 109 | | | | | | OK |
| HEA240 2-donja pojasnica | HEA240 1-donja pojasnica | ▲5,0▲ | 240 | 290,7 | -189,4 | -87,8 | -92,2 | 80,8 | OK |
| | | ▲5,0▲ | 240 | 353,2 | -130,8 | 14,1 | 188,9 | 98,1 | OK |
| HEA240 2-donja pojasnica | HEA240 1-hrbat | ▲5,0▲ | 191 | 106,0 | -61,6 | -23,9 | -43,8 | 29,4 | OK |
| | | ▲5,0▲ | 191 | 102,4 | 44,1 | -46,4 | -26,3 | 28,4 | OK |
| HEA240 2-donja pojasnica | Ukruta 1a | ▲5,0▲ | 95 | 215,6 | 136,1 | -82,1 | 50,7 | 59,9 | OK |
| | | ▲5,0▲ | 95 | 353,2 | 150,0 | 20,0 | -183,5 | 98,1 | OK |
| HEA240 2-hrbat | Ukruta 1a | ▲5,0▲ | 188 | 217,8 | -2,4 | 125,7 | -4,2 | 60,5 | OK |
| | | ▲5,0▲ | 188 | 115,9 | -17,0 | -65,6 | -8,6 | 32,2 | OK |
| HEA240 2-gornja pojasnica | Ukruta 1a | ▲5,0▲ | 95 | 190,2 | 18,4 | -109,1 | 6,6 | 52,8 | OK |
| | | ▲5,0▲ | 95 | 107,6 | -7,6 | 61,3 | 9,1 | 29,9 | OK |
| HEA240 2-donja pojasnica | Ukruta 1b | ▲5,0▲ | 95 | 353,2 | -154,0 | 25,9 | -181,7 | 98,1 | OK |
| | | ▲5,0▲ | 95 | 219,2 | -135,8 | -86,1 | 49,6 | 60,9 | OK |
| HEA240 2- hrbat | Ukruta 1b | ▲5,0▲ | 188 | 118,8 | -7,3 | -68,4 | -3,6 | 33,0 | OK |
| | | ▲5,0▲ | 188 | 223,4 | -40,7 | 118,8 | 44,5 | 62,1 | OK |
| HEA240 2- gornja pojasnica | Ukruta 1b | ▲5,0▲ | 95 | 104,3 | 20,3 | 55,3 | 20,8 | 29,0 | OK |
| HEA240 2- hrbat | HEA240 1-hrbat | ▲5,0▲ | 95 | 164,4 | -20,9 | -94,0 | -4,1 | 45,7 | OK |
| HEA240 2- donja pojasnica | HEA240 1-donja pojasnica | ▲5,0▲ | 109 | 290,7 | -189,4 | -87,8 | -92,2 | 80,8 | OK |
| | | ▲5,0▲ | 240 | 353,2 | -130,8 | 14,1 | 188,9 | 98,1 | |
| HEA240 2- donja pojasnica | HEA240 1-hrbat | ▲5,0▲ | 240 | 106,0 | -61,6 | -23,9 | -43,8 | 29,4 | |

$$\sigma_{w.Rd} = \frac{f_u}{\beta_w \cdot \gamma M2} \geq \sigma_{w.Ed} = \left[\sigma_{\perp}^2 + 3 \cdot (\tau_{\perp}^2 + \tau_{II}^2) \right]^{0.5}$$

$$\sigma_{\perp.Rd} = 0.9 \cdot \frac{f_u}{\gamma M2} \geq |\sigma_{\perp}|$$

$$U_t = \max \left(\frac{\sigma_{w.Ed}}{\sigma_{w.Rd}} \dots \frac{|\sigma_{\perp}|}{\sigma_{\perp.Rd}} \right)$$

$$f_u = 360,0 \text{ MPa}$$

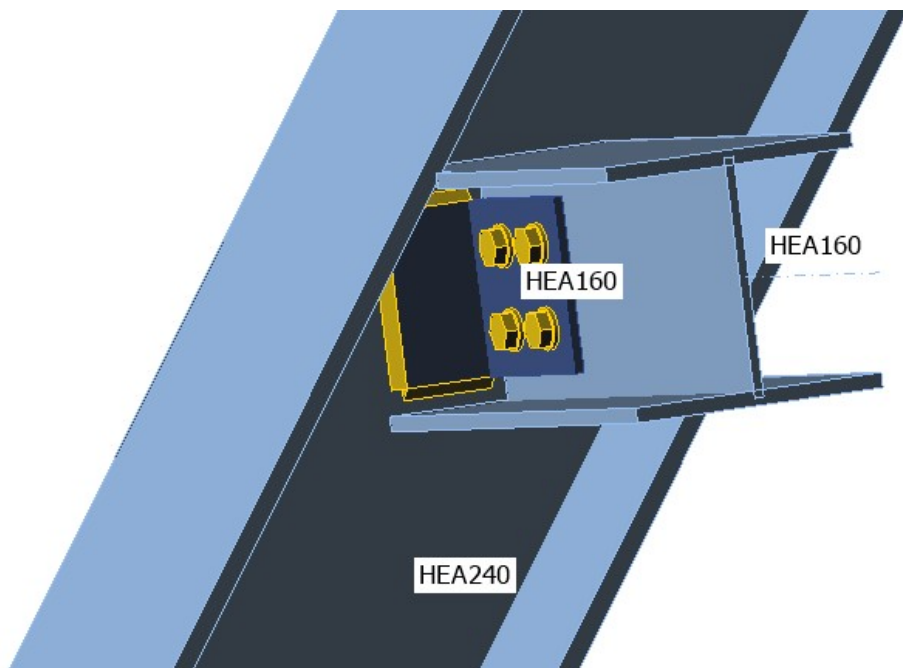
$$\beta_w = 0,80$$

$$\gamma M2 = 1,25$$

$$\sigma_{w.Rd} = 360 \text{ MPa}$$

$$\sigma_{\perp.Rd} = 259,2 \text{ MPa}$$

7.4. Priključak poprečnog međukatnog nosača G9 spregnute ploče na N-nosače



Slika 105: Priključak poprečnih međukatnih nosača na N-nosače [16]

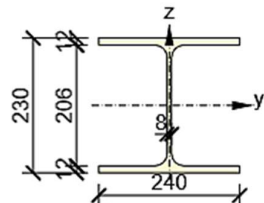
Sažetak provjere

| | |
|-------|----------------|
| Ploče | $4,4 < 5\%$ |
| Vijci | $71,7 < 100\%$ |

7.4.1. Materijali

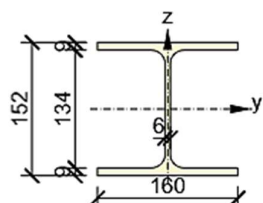
HEA240

$$S235 \quad f_y = 235 \text{ MPa} \quad \varepsilon_{lim} = 5 \%$$



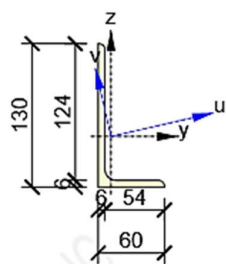
HEA160

$$S235 \quad f_y = 235 \text{ MPa} \quad \varepsilon_{lim} = 5 \%$$



L130

$$S235 \quad f_y = 235 \text{ MPa} \quad \varepsilon_{lim} = 5 \%$$



VIJCI

M12 5.8

12 mm

$$f_u = 500 \text{ MPa}$$

$$113 \text{ mm}^2$$

OPTEREĆENJE

$$N = 21,8 \text{ kN}$$

$$V_y = 60,3 \text{ kN}$$

$$V_z = 45,0 \text{ kN}$$

$$M_x = 11,1 \text{ kNm}$$

$$M_y = 51,9 \text{ kNm}$$

$$M_z = 36,2 \text{ kNm}$$

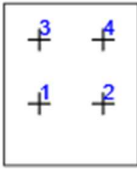
7.4.2. Provjera ploča

Tablica 44: Provjera ploča na spoju poprečnih međukatnih nosača na N-nosače.

| Naziv | Debljina [mm] | σ_{Ed} [MPa] | ϵ_{Pl} [%] | Status |
|-------------------------------|---------------|---------------------|---------------------|--------|
| HEA240-donja pojasnica | 12,0 | 18,1 | 0,0 | OK |
| HEA240- gornja pojasnica | 12,0 | 23,6 | 0,0 | OK |
| HEA240- hrbat | 7,5 | 149,6 | 0,0 | OK |
| HEA160- donja pojasnica | 9,0 | 88,8 | 0,0 | OK |
| HEA160- gornja pojasnica | 9,0 | 146,4 | 0,0 | OK |
| HEA160- hrbat | 6,0 | 235,3 | 0,0 | OK |
| L100x850x8 a- donja pojasnica | 6,0 | 236,0 | 0,0 | OK |
| L100x850x8 a- hrbat | 6,0 | 244,2 | 0,0 | OK |
| L100x850x8 b- donja pojasnica | 6,0 | 236,2 | 0,0 | OK |
| L100x850x8 b- hrbat | 6,0 | 242,7 | 0,0 | OK |

7.4.3. Provjera vijaka

Tablica 45: Sažetak provjere vijaka koji spajaju poprečne međukatne nosače sa N-nosačima.

| | Naziv | Vijak | $F_{t,Ed}$ [kN] | V [kN] | $U_{t,t}$ [%] | $F_{b,Rd}$ [kN] | $U_{t,s}$ [%] | $U_{t,ts}$ [%] | Status |
|---|-------|-------------|-----------------|--------|---------------|-----------------|---------------|----------------|--------|
|  | B1 | M12 5.8 - 1 | 8,5 | 8,7 | 27,9 | 51,8 | 51,8 | 71,7 | OK |
| | B2 | M12 5.8 - 2 | 8,5 | 9,4 | 28,2 | 51,8 | 55,7 | 75,9 | OK |
| | B3 | M12 5.8 - 3 | 2,0 | 8,9 | 6,7 | 39,2 | 53,1 | 57,9 | OK |
| | B4 | M12 5.8 - 4 | 2,6 | 9,8 | 8,6 | 51,8 | 58,5 | 64,7 | OK |

| | $F_{t,Rd}$ [kN] | $B_{p,Rd}$ [kN] | $F_{v,Rd}$ [kN] | $F_{b,Rd}$ [kN] |
|---------|-----------------|-----------------|-----------------|-----------------|
| M12 5.8 | 30,2 | 74,9 | 16,8 | 51,8 |

7.4.3.1. Provjera vijaka na vlak

$$F_{t.Rd} = \frac{k_2 \cdot f_{ub} \cdot A_s}{\gamma M2}$$

$k_2 = 0,90$

$f_{ub} = 500,0 \text{ MPa}$

$A_s = 84 \text{ mm}^2$

$\gamma M2 = 1,25$

7.4.3.2. Provjera otpornosti na proboj- punching test

$$B_{p.Rd} = \frac{0,6 \cdot \pi \cdot d_m \cdot t_p \cdot f_u}{\gamma M2}$$

$d_m = 23 \text{ mm}$ - Srednja vrijednost poprečnih točaka i poprečnih dimenzija glave vijka ili matice, ovisno o tome koja je manja

$t_p = 6 \text{ mm}$

$f_u = 360,0 \text{ MPa}$

$\gamma M2 = 1,25$

7.4.3.3. Provjera vijaka na pritisak po omotaču rupe

$$F_{b.Rd} = \frac{k_1 \cdot \alpha_b \cdot f_u \cdot d \cdot t}{\gamma M2}$$

$k_1 = 2,50$

$\alpha_b = 1,00$

$f_u = 360,0 \text{ MPa}$

$d = 12 \text{ mm}$

$t = 6 \text{ mm}$

$\gamma M2 = 1,25$

7.4.3.4. Provjera vijaka na posmik

$$F_{v.Rd} = \frac{\beta_p \cdot \alpha_v \cdot f_{ub} \cdot A}{\gamma M2}$$

$\beta_p = 1,00$

$\alpha_v = 0,50$

$f_{ub} = 500,0 \text{ MPa}$

$A = 84 \text{ mm}^2$

$\gamma M2 = 1,25$

Provjera vlaka

$$U_{tt} = \frac{F_{t.Ed}}{\min(F_{t.Rd}, B_{p.Rd})}$$

Provjera posmika

$$U_{ts} = \frac{V_{Ed}}{\min(F_{v.Rd}, F_{b.Rd})}$$

Interakcija vlaka i posmika

$$U_{tts} = \frac{F_{v.Ed}}{F_{v.Rd}} + \frac{F_{t.Ed}}{1.4 \cdot F_{t.Rd}}$$

7.4.4. Provjera zavara

Tablica 46: Sažetak provjere zavara na spoju poprečnih međuaktnih nosača i N-nosača.

| Stavka | Rub | Debljina [mm] | Duljina [mm] | $\sigma_{w.Ed}$ [MPa] | σ_{\perp} [MPa] | $\tau_{ }$ [MPa] | τ_{\perp} [MPa] | Ut [%] |
|---------------|-------------------------------|---------------|--------------|-----------------------|------------------------|-------------------|----------------------|---------|
| HEA240-hrbat | L100x850x8 a-donja pojasnica | ▲5,0 | 57 | 128,6 | -84,0 | -19,7 | 52,7 | 35,7 OK |
| HEA240- hrbat | L100x850x8 a- donja pojasnica | ▲5,0 | 57 | 307,2 | -253,2 | -20,2 | -98,4 | 97,7 OK |
| HEA240- hrbat | L100x850x8 a- donja pojasnica | ▲5,0 | 105 | 84,6 | 4,6 | -47,4 | 11,5 | 23,5 OK |
| HEA240- hrbat | L100x850x8 b- donja pojasnica | ▲5,0 | 57 | 290,5 | 210,6 | 109,4 | -37,1 | 81,3 OK |
| HEA240- hrbat | L100x850x8 b- donja pojasnica | ▲5,0 | 57 | 357,1 | 219,8 | 1,1 | 162,5 | 99,2 OK |
| HEA240-hrbat | L100x850x8 b- donja pojasnica | ▲5,0 | 105 | 68,3 | 12,3 | -38,3 | -6,1 | 19,0 OK |

$$\sigma_{w.Rd} = \frac{f_u}{\beta_w \cdot \gamma M_2} \geq \sigma_{w.Ed} = \left[\sigma_{\perp}^2 + 3 \cdot (\tau_{\perp}^2 + \tau_{||}^2) \right]^{0.5}$$

$$\sigma_{\perp.Rd} = 0.9 \cdot \frac{f_u}{\gamma M_2} \geq |\sigma_{\perp}|$$

$$f_u = 360,0 \text{ MPa}$$

$$\beta_w = 0,80$$

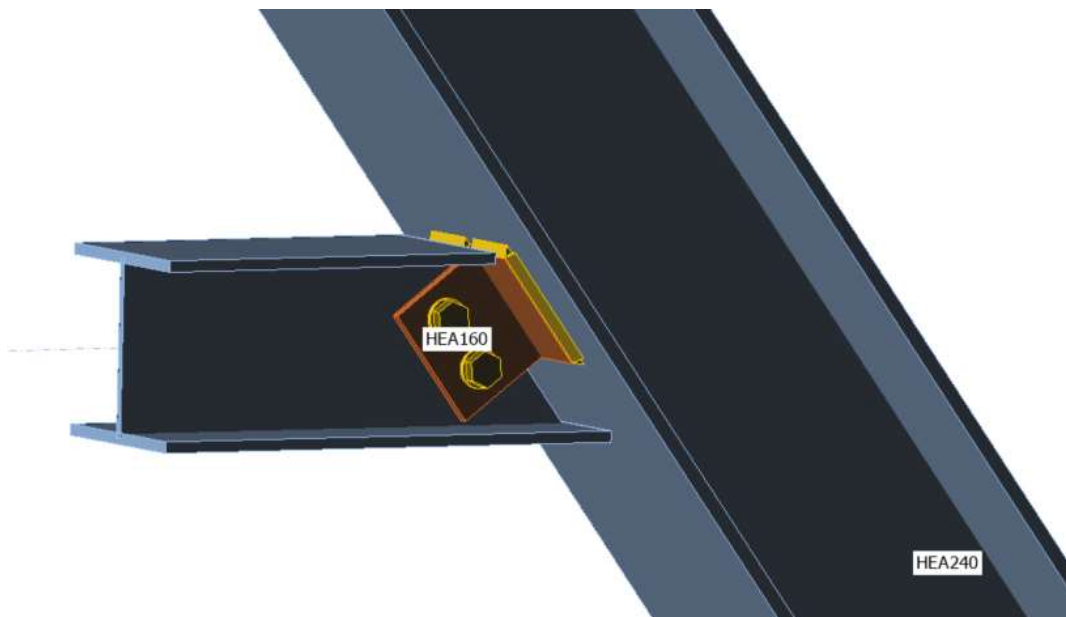
$$\gamma M_2 = 1,25$$

$$\sigma_{w.Rd} = 360 \text{ MPa}$$

$$\sigma_{\perp.Rd} = 259,2 \text{ MPa}$$

$$U_t = \max \left(\frac{\sigma_{w.Ed}}{\sigma_{w.Rd}} .. \frac{|\sigma_{\perp}|}{\sigma_{\perp.Rd}} \right)$$

7.5. Priključak uzdužnog međukatnog nosača G6, G7, G8 spregnute ploče na N-nosače



Slika 106: Priključak uzdužnih međukatnih nosača na N-nosače [16]

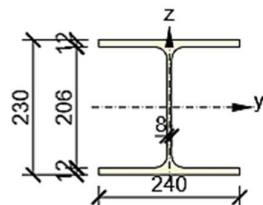
Sažetak provjere

| | |
|--------|----------------|
| Ploče | $3,8 < 5\%$ |
| Vijci | $89,4 < 100\%$ |
| Zavari | $98,7 < 100\%$ |

7.5.1. Materijali

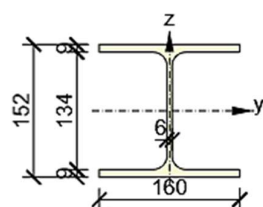
HEA240

$$S235 \quad f_y = 235 \text{ MPa} \quad \varepsilon_{lim} = 5 \text{ \%}$$



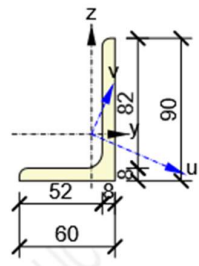
HEA160

$$S235 \quad f_y = 235 \text{ MPa} \quad \varepsilon_{lim} = 5 \text{ \%}$$



L90

S235 $f_y = 235 \text{ MPa}$ $\varepsilon_{lim} = 5 \%$



VIJCI

M16 5.8

16 mm

$f_u = 500 \text{ MPa}$

201 mm²

OPTEREĆENJE

$N = 37,3 \text{ kN}$

$V_y = 37,2 \text{ kN}$

$V_z = 12,5 \text{ kN}$

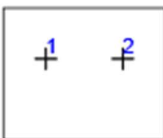
7.5.2. Provjera ploča

Tablica 47: Provjera ploča na spoju uzdužnih međukatnih nosača na N -nosače.

| Naziv | Debljina [mm] | σ_{Ed} [MPa] | ε_{Pl} [%] | Status |
|--------------------------|---------------|---------------------|------------------------|--------|
| HEA240-donja pojasnica | 12,0 | 124,8 | 0,0 | OK |
| HEA240- gornja pojasnica | 12,0 | 23,8 | 0,0 | OK |
| HEA240- hrbat | 7,5 | 184,0 | 0,0 | OK |
| HEA160- donja pojasnica | 9,0 | 203,1 | 0,0 | OK |
| HEA160- gornja pojasnica | 9,0 | 236,0 | 0,5 | OK |
| HEA160- hrbat | 6,0 | 239,9 | 2,3 | OK |
| L90 a- donja pojasnica | 8,0 | 237,6 | 1,3 | OK |
| L90 a-hrbat | 8,0 | 243,0 | 3,8 | OK |
| L90 b- donja pojasnica | 8,0 | 235,3 | 0,1 | OK |
| L90 b- hrbat | 8,0 | 237,8 | 1,3 | OK |

7.5.3. Provjera vijaka

Tablica 48: Sažetak provjere vijaka koji spajaju uzdužne međukatne nosače sa N-nosačima.

| | Vijak | $F_{t,Ed}$ [kN] | V [kN] | $U_{t,t}$ [%] | $F_{b,Rd}$ [kN] | $U_{t,s}$ [%] | $U_{t,ts}$ [%] | Status |
|---|-------|-----------------|--------|---------------|-----------------|---------------|----------------|--------|
|  | B1 | 18,7 | 12,4 | 33,1 | 69,1 | 39,5 | 63,2 | OK |
| | B2 | 33,4 | 14,8 | 59,1 | 69,1 | 47,2 | 89,4 | OK |

$$\begin{array}{ll} F_{t,Rd} [\text{kN}] & B_{p,Rd} [\text{kN}] \\ \text{M16 5.8} & 56,5 \\ & 122,8 \end{array} \quad \begin{array}{ll} F_{v,Rd} [\text{kN}] & F_{b,Rd} [\text{kN}] \\ 31,4 & 69,1 \end{array}$$

7.5.3.1. Provjera vijaka na vlastiti

$$F_{t,Rd} = \frac{k_2 \cdot f_{ub} \cdot A_s}{\gamma M2}$$

$$k_2 = 0,90$$

$$f_{ub} = 500,0 \text{ MPa}$$

$$A_s = 84 \text{ mm}^2$$

$$\gamma M2 = 1,25$$

7.5.3.2. Posmična provjera na probot

$$B_{p,Rd} = \frac{0.6 \cdot \pi \cdot d_m \cdot t_p \cdot f_u}{\gamma M2}$$

$d_m = 23 \text{ mm}$ - Srednja vrijednost poprečnih točaka i poprečnih dimenzija glave vijka ili matice, ovisno o tome koja je manja

$$t_p = 6 \text{ mm}$$

$$f_u = 360,0 \text{ MPa}$$

$$\gamma M2 = 1,25$$

7.5.3.3. Provjera vijaka na pritisak po omotaču rupe

$$F_{b.Rd} = \frac{k_1 \cdot \alpha_b \cdot f_u \cdot d \cdot t}{\gamma M2}$$

$k_1 = 2,50$

$\alpha_b = 1,00$

$f_u = 360,0 \text{ MPa}$

$d = 12 \text{ mm}$

$t = 6 \text{ mm}$

$\gamma_{M2} = 1,25$

7.5.3.4. Provjera vijaka na posmik (EN 1993-1-8 tab 3.4)

$$F_{v.Rd} = \frac{\beta_p \cdot \alpha_v \cdot f_{ub} \cdot A}{\gamma M2}$$

$\beta_p = 1,00$

$\alpha_v = 0,50$

$f_{ub} = 500,0 \text{ MPa}$

$A = 84 \text{ mm}^2$

$\gamma_{M2} = 1,25$

Provjera vlaka

$$U_{tt} = \frac{F_{t.Ed}}{\min(F_{t.Rd}, B_{p.Rd})}$$

Provjera posmika

$$U_{ts} = \frac{V_{Ed}}{\min(F_{v.Rd}, F_{b.Rd})}$$

Interakcija vlaka i posmika

$$U_{tts} = \frac{F_{v.Ed}}{F_{v.Rd}} + \frac{F_{t.Ed}}{1.4 \cdot F_{t.Rd}}$$

7.5.4. Provjera zavara

Tablica 49: Sažetak provjere zavara na spoju uzdužnih međukaktnih nosača i N-nosača.

| Stavka | Rub | Debljina [mm] | Duljina [mm] | $\sigma_{w,Ed}$ [MPa] | σ_{\perp} [MPa] | $\tau_{ }$ [MPa] | τ_{\perp} [MPa] | U_t [%] |
|-------------------|------------------|---------------|--------------|-----------------------|------------------------|-------------------|----------------------|-----------|
| HEA240- pojasnica | L90 a- pojasnica | ▲5,0 | 56 | 355,2 | 220,4 | -68,6 | -145,4 | 98,7 |
| HEA240- pojasnica | L90 a- pojasnica | ▲5,0 | 56 | 352,9 | -196,6 | -103,8 | 133,6 | 98,0 |
| HEA240- pojasnica | L90 a- pojasnica | ▲5,0 | 105 | 93,3 | -31,0 | 48,3 | -15,7 | 25,9 |
| HEA240- pojasnica | L90 b- pojasnica | ▲5,0 | 56 | 223,6 | -150,9 | 73,4 | 60,7 | 62,1 |
| HEA240- pojasnica | L90 b- pojasnica | ▲5,0 | 56 | 310,8 | 252,3 | 60,2 | -85,8 | 97,3 |
| HEA240- pojasnica | L90 b- pojasnica | ▲5,0 | 105 | 71,9 | 8,8 | 41,1 | -1,6 | 20,0 |
| | | | | | | | | OK |

$$\sigma_{w,Rd} = \frac{f_u}{\beta_w \cdot \gamma M_2} \geq \sigma_{w,Ed} = \left[\sigma_{\perp}^2 + 3 \cdot (\tau_{\perp}^2 + \tau_{||}^2) \right]^{0.5}$$

$$\sigma_{\perp,Rd} = 0.9 \cdot \frac{f_u}{\gamma M_2} \geq |\sigma_{\perp}|$$

$$f_u = 360,0 \text{ MPa}$$

$$\beta_w = 0,80$$

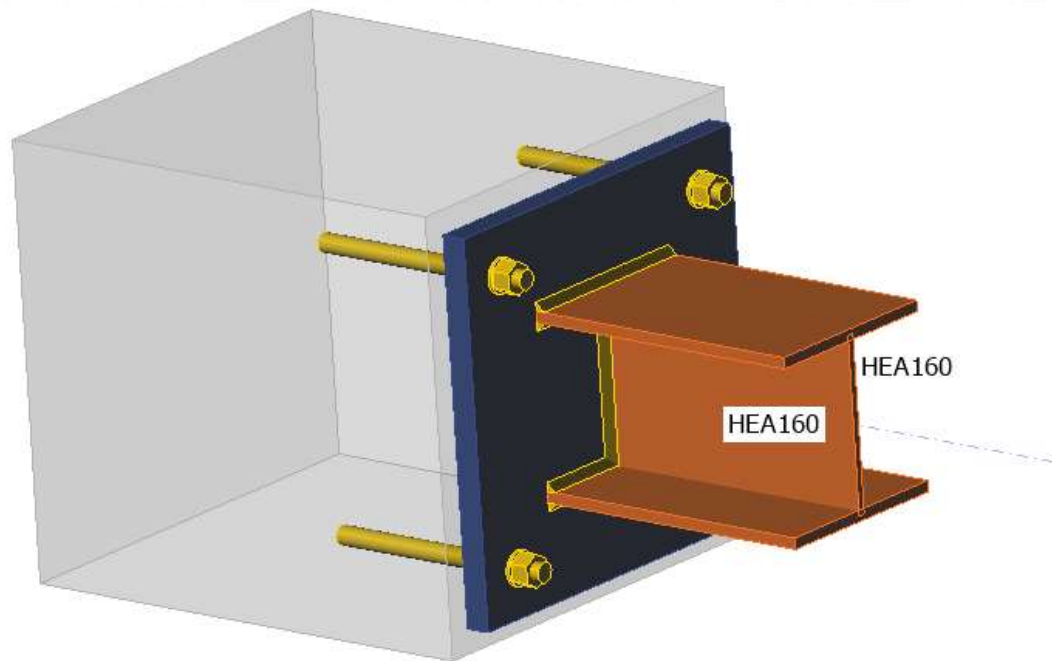
$$\gamma M_2 = 1,25$$

$$\sigma_{w,Rd} = 360 \text{ MPa}$$

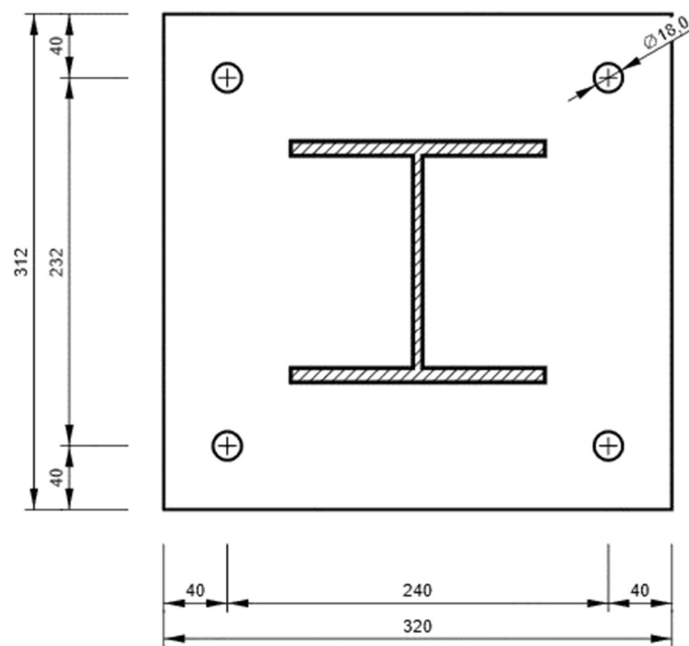
$$\sigma_{\perp,Rd} = 259,2 \text{ MPa}$$

$$U_t = \max \left(\frac{\sigma_{w,Ed}}{\sigma_{w,Rd}} .. \frac{|\sigma_{\perp}|}{\sigma_{\perp,Rd}} \right)$$

7.6. Priključak uzdužnih međukatnih nosača G6 na potporni zid



Slika 107: Prikaz spoja uzdužnih međukatnih nosača HEA160 na potporni zid [16]



Slika 108: Tlocrtni prikaz priključka uzdužnih međukatnih nosača na temeljnu ploču 20x312-320 (S235).

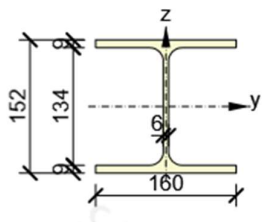
Sažetak provjere

| | |
|----------------|----------------|
| Ploče | $0,0 < 5\%$ |
| Ankeri | $60,2 < 100\%$ |
| Zavari | $98 < 100\%$ |
| Temeljna stopa | $10,8 < 100\%$ |

7.6.1. Materijali

HEA160

$$S235 \quad f_y = 235 \text{ MPa} \quad \varepsilon_{lim} = 5 \text{ \%}$$



ANKER VIJCI

M16 5.8

16 mm

$$f_u = 500 \text{ MPa}$$

$$201 \text{ mm}^2$$

OPTEREĆENJE

$$N = 64,8 \text{ kN}$$

$$V_y = 9,2 \text{ kN}$$

$$V_z = 8,2 \text{ kN}$$

$$M_y = 4,6 \text{ kNm}$$

$$M_z = 1,6 \text{ kNm}$$

TEMELJ

| | | |
|------------------------|-----------|----|
| Dimenzije | 360 x 352 | mm |
| Dubina | 400 | mm |
| Anker | M16 5.8 | |
| Dubina sidrenja | 150 | mm |
| Prijenos posmične sile | ankerima | |

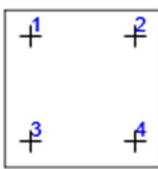
7.6.2. Provjera ploča

Tablica 50: Podaci potrebni za proračun ploča na spoju uzdužnih međukatnih nosača na potporni zid.

| Naziv | Debljina [mm] | σ_{Ed} [MPa] | ϵ_{Pl} [%] | Status |
|--------------------------|---------------|---------------------|---------------------|--------|
| HEA160-donja pojasnica | 9,0 | 136,9 | 0,0 | OK |
| HEA160- gornja pojasnica | 9,0 | 187,6 | 0,0 | OK |
| HEA160-hrbat | 6,0 | 66,9 | 0,0 | OK |
| Podložna ploča | 20,0 | 148,7 | 0,0 | OK |

7.6.3. Provjera vijaka

Tablica 51: Sažetak provjere vijaka koji spajaju temeljnu ploču sa stupovima na zapadnoj strani.

| | Name | Grade | $F_{t,Ed}$ [kN] | V [kN] | U_t [%] | U_s [%] |
|--|------|-------------|-----------------|--------|-----------|-----------|
|  | A1 | M16 5.8 - 1 | 28,9 | 6,5 | 60,2 | 27,5 |
| | A2 | M16 5.8 - 2 | 26,4 | 2,8 | 55 | 11,9 |
| | A3 | M16 5.8 - 3 | 2,2 | 8,9 | 4,5 | 37,7 |
| | A4 | M16 5.8 - 4 | 16,4 | 6,8 | 34,2 | 28,8 |

| | $F_{t,Rd}$ [kN] | $B_{p,Rd}$ [kN] | $F_{v,Rd}$ [kN] | $F_{b,Rd}$ [kN] |
|---------|-----------------|-----------------|-----------------|-----------------|
| M16 8.8 | 48,0 | 276,9 | 23,6 | 230,4 |

7.6.3.1. Provjera vijaka na vlast

$$F_{t,Rd} = \frac{c \cdot k_2 \cdot f_{ub} \cdot A_s}{\gamma M2}$$

$$c = 0,85$$

$$k_2 = 0,90$$

$$f_{ub} = 800,0 \text{ MPa}$$

$$A_s = 245 \text{ mm}^2$$

$$\gamma M2 = 1,25$$

7.6.3.2. Provjera otpornosti na probaj glave vijka ili matice

$$B_{p.Rd} = \frac{0.6 \cdot \pi \cdot d_m \cdot t_p \cdot f_u}{\gamma M_2}$$

$$d_m = 32 \text{ mm}$$

$$t_p = 20 \text{ mm}$$

$$f_u = 360,0 \text{ MPa}$$

$$\gamma_{M2} = 1,25$$

7.6.3.3. Provjera vijaka na pritisak po omotaču rupe

$$F_{b.Rd} = \frac{k_1 \cdot \alpha_b \cdot f_u \cdot d \cdot t}{\gamma M_2}$$

$$k_1 = 2,50$$

$$\alpha_b = 1,00$$

$$f_u = 360,0 \text{ MPa}$$

$$d = 20 \text{ mm}$$

$$t = 15 \text{ mm}$$

$$\gamma_{M2} = 1,25$$

Provjera vlaka

Provjera posmika

$$U_{tt} = \frac{F_{t.Ed}}{\min(F_{t.Rd}, B_{p.Rd})} \quad U_{ts} = \frac{V_{Ed}}{\min(F_{v.Rd}, F_{b.Rd})}$$

7.6.4. Provjera zavara

Tablica 52: Sažetak provjere zavara na spoju stupova na temeljnu ploču zapadno.

| Stavka | Rub | Debljina [mm] | Duljina [mm] | $\sigma_{w,Ed}$ [MPa] | σ_{\perp} [MPa] | $\tau_{ }$ [MPa] | τ_{\perp} [MPa] | Ut [%] |
|----------------|-------------------------|---------------|--------------|-----------------------|------------------------|-------------------|----------------------|--------|
| Podložna ploča | HEA160-donja pojASNICA | ▲5,0▲ | 160 | 215,9 | 80,7 | -80,8 | 82,7 | 60,0 |
| | | ▲5,0▲ | 160 | 214,8 | 78,5 | 86,5 | -76,4 | 59,7 |
| Podložna ploča | HEA160-gornja pojASNICA | ▲5,0▲ | 160 | 352,8 | 135,9 | 145,0 | 119,7 | 98,0 |
| | | ▲5,0▲ | 160 | 346,1 | 121,9 | -124,7 | -139,3 | 96,1 |
| Podložna ploča | HEA160-hrbat | ▲5,0▲ | 143 | 50,7 | -11,7 | 25,9 | -11,9 | 14,1 |
| | | ▲5,0▲ | 143 | 39,5 | -12,2 | 16,6 | 14,0 | 11,0 |

$$\sigma_{w.Rd} = \frac{f_u}{\beta_w \cdot \gamma M2} \geq \sigma_{w.Ed} = \left[\sigma_{\perp}^2 + 3 \cdot (\tau_{\perp}^2 + \tau_{II}^2) \right]^{0.5}$$

$$\sigma_{\perp.Rd} = 0.9 \cdot \frac{f_u}{\gamma M2} \geq |\sigma_{\perp}|$$

$$f_u = 360,0 \text{ MPa}$$

$$\beta_w = 0,80$$

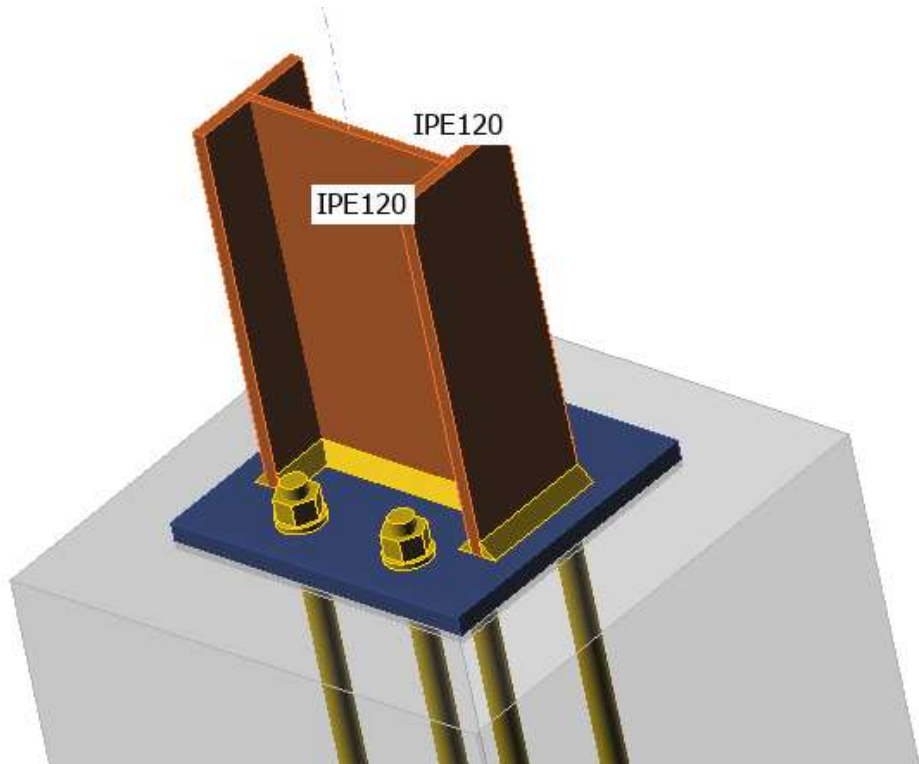
$$\gamma M2 = 1,25$$

$$\sigma_{w.Rd} = 360 \text{ MPa}$$

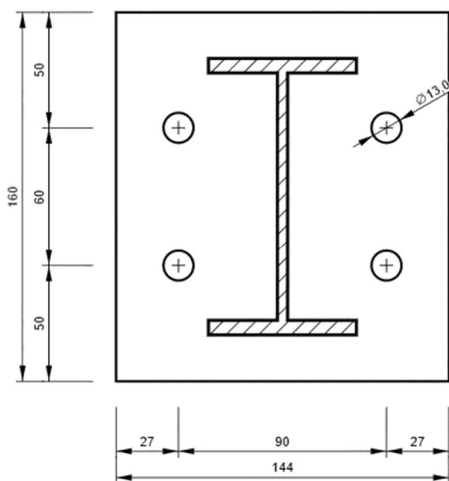
$$\sigma_{\perp.Rd} = 259,2 \text{ MPa}$$

$$U_t = \max \left(\frac{\sigma_{w.Ed}}{\sigma_{w.Rd}}, \frac{|\sigma_{\perp}|}{\sigma_{\perp.Rd}} \right)$$

7.7. Priključak stupova fasade S1-S8 na armirano-betonski zid



Slika 109: Prikaz spoja stupova fasade na potporni zid [16]



Slika 110: Tlocrtni prikaz priključka stupova fasade na temeljnu ploču 10x160-144 (S235).

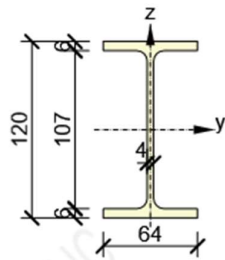
Sažetak provjere

| | |
|----------------|----------------|
| Ploče | $0,0 < 5\%$ |
| Ankeri | $60,2 < 100\%$ |
| Zavari | $98 < 100\%$ |
| Temeljna stopa | $10,8 < 100\%$ |

7.7.1. Materijali

IPE120

$$S235 \quad f_y = 235 \text{ MPa} \quad \varepsilon_{lim} = 5 \%$$



ANKER VIJCI

M12 5.8

12 mm

$$f_u = 500 \text{ MPa}$$

$$113 \text{ mm}^2$$

OPTEREĆENJE

$N = -14,0 \text{ kN}$

$V_y = -1,1 \text{ kN}$

$V_z = -1,6 \text{ kN}$

$M_y = 5,2 \text{ kNm}$

$M_z = -1,0 \text{ kNm}$

TEMELJ

| | | |
|------------------------|-----------|----|
| Dimenzije | 244 x 260 | mm |
| Dubina | 400 | mm |
| Anker | M12 5.8 | |
| Dubina sidrenja | 250 | mm |
| Prijenos posmične sile | ankerima | |
| Podložni mort | 3 cm | |

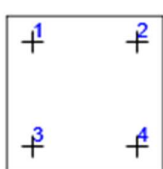
7.7.2. Provjera ploča

Tablica 53: Podaci potrebni za proračun ploča na spoju stupova fasade na potporni zid.

| Naziv | Debljina [mm] | σ_{Ed} [MPa] | ϵ_{Pl} [%] | Status |
|--------------------------|---------------|---------------------|---------------------|--------|
| IPE120-donja pojasnica | 6,3 | 236,8 | 0,9 | OK |
| IPE120- gornja pojasnica | 6,3 | 235,5 | 0,2 | OK |
| IPE120-hrbat | 4,4 | 235,3 | 0,2 | OK |
| Podložna ploča | 10,0 | 235,3 | 0,2 | OK |

7.7.3. Provjera vijaka

Tablica 54: Sažetak provjere vijaka koji spajaju temeljnu ploču sa stupovima na zapadnoj strani.

| | Name | Grade | $F_{t,Ed}$ [kN] | V [kN] | U_t [%] | U_s [%] |
|---|------|-------------|-----------------|--------|-----------|-----------|
|  | A1 | M12 5.8 - 1 | 19,0 | 0,5 | 60,2 | 27,5 |
| | A2 | M12 5.8 - 2 | 17,7 | 0,4 | 55 | 11,9 |
| | A3 | M12 5.8 - 3 | 15,7 | 0,5 | 4,5 | 37,7 |
| | A4 | M12 5.8 - 4 | 6,8 | 0,6 | 34,2 | 28,8 |

| | $F_{t,Rd}$ [kN] | $B_{p,Rd}$ [kN] | $F_{v,Rd}$ [kN] | $F_{b,Rd}$ [kN] |
|---------|-----------------|-----------------|-----------------|-----------------|
| M12 5.8 | 26,0 | 105,9 | 12,8 | 72,4 |

7.7.3.1. Provjera vijaka na vlak

$$F_{t.Rd} = \frac{c \cdot k_2 \cdot f_{ub} \cdot A_s}{\gamma M2}$$

$c = 0,85$

$k_2 = 0,90$

$f_{ub} = 500,0 \text{ MPa}$

$A_s = 85 \text{ mm}^2$

$\gamma M2 = 1,25$

7.7.3.2. Provjera otpornosti na proboj glave vijka ili matice

$$B_{p.Rd} = \frac{0,6 \cdot \pi \cdot d_m \cdot t_p \cdot f_u}{\gamma M2}$$

$d_m = 20 \text{ mm}$

$t_p = 10 \text{ mm}$

$f_u = 360,0 \text{ MPa}$

$\gamma M2 = 1,25$

7.6.3.3. Provjera vijaka na pritisak po omotaču rupe

$$F_{b.Rd} = \frac{k_1 \cdot \alpha_b \cdot f_u \cdot d \cdot t}{\gamma M2}$$

$k_1 = 2,50$

$\alpha_b = 0,84$

$f_u = 360,0 \text{ MPa}$

$d = 12 \text{ mm}$

$t = 10 \text{ mm}$

$\gamma M2 = 1,25$

Provjera vlaka

$$U_{tt} = \frac{F_{t.Ed}}{\min(F_{t.Rd}, B_{p.Rd})}$$

Provjera posmika

$$U_{ts} = \frac{V_{Ed}}{\min(F_{v.Rd}, F_{b.Rd})}$$

7.7.4. Provjera zavara

Tablica 55: Sažetak provjere zavara na spoju stupova fasade na potporni zid.

| Stavka | Rub | Debljina [mm] | Duljina [mm] | $\sigma_{w,Ed}$ [MPa] | σ_{\perp} [MPa] | $\tau_{ }$ [MPa] | τ_{\perp} [MPa] | U_t [%] |
|----------------|-------------------------|---------------|--------------|-----------------------|------------------------|-------------------|----------------------|-----------|
| Podložna ploča | IPE120-donja pojasnica | 5,0 | 64 | 353,0 | -114,8 | 102,9 | -162,9 | 98,0 |
| | | 5,0 | 64 | 353,0 | -152,9 | -147,1 | 110,1 | 98,1 |
| Podložna ploča | IPE120-gornja pojasnica | 5,0 | 64 | 323,7 | 56,9 | 135,4 | 124,6 | 89,9 |
| | | 5,0 | 64 | 352,9 | 112,7 | -182,5 | -62,8 | 98,0 |
| Podložna ploča | IPE120-hrbat | 5,0 | 114 | 181,2 | 22,7 | -103,2 | -11,4 | 50,3 |
| | | 5,0 | 114 | 146,9 | -31,2 | 82,8 | -3,0 | 40,8 |

$$\sigma_{w,Rd} = \frac{f_u}{\beta_w \cdot \gamma M_2} \geq \sigma_{w,Ed} = \left[\sigma_{\perp}^2 + 3 \cdot \left(\tau_{\perp}^2 + \tau_{||}^2 \right) \right]^{0.5}$$

$$\sigma_{\perp,Rd} = 0.9 \cdot \frac{f_u}{\gamma M_2} \geq |\sigma_{\perp}|$$

$$f_u = 360,0 \text{ MPa}$$

$$\beta_w = 0,80$$

$$\gamma M_2 = 1,25$$

$$\sigma_{w,Ed} = 360 \text{ MPa}$$

$$\sigma_{\perp,Rd} = 259,2 \text{ MPa}$$

$$U_t = \max \left(\frac{\sigma_{w,Ed}}{\sigma_{w,Rd}} .. \frac{|\sigma_{\perp}|}{\sigma_{\perp,Rd}} \right)$$

7.7.5. Provjera tlačne otpornosti temelja

$$F_{jd} = \alpha_{cc} \cdot \beta_j \cdot k_j \cdot \frac{f_{ck}}{\gamma_c} = 33,5 \text{ MPa}$$

$$\sigma = \frac{N}{A_{eff}} = 25,4 \text{ MPa}$$

$$N = 74,2 \text{ kN}$$

$$A_{eff} = 2926 \text{ mm}^2$$

$$\alpha_{cc} = 1,00$$

$$\beta_j = 0,67$$

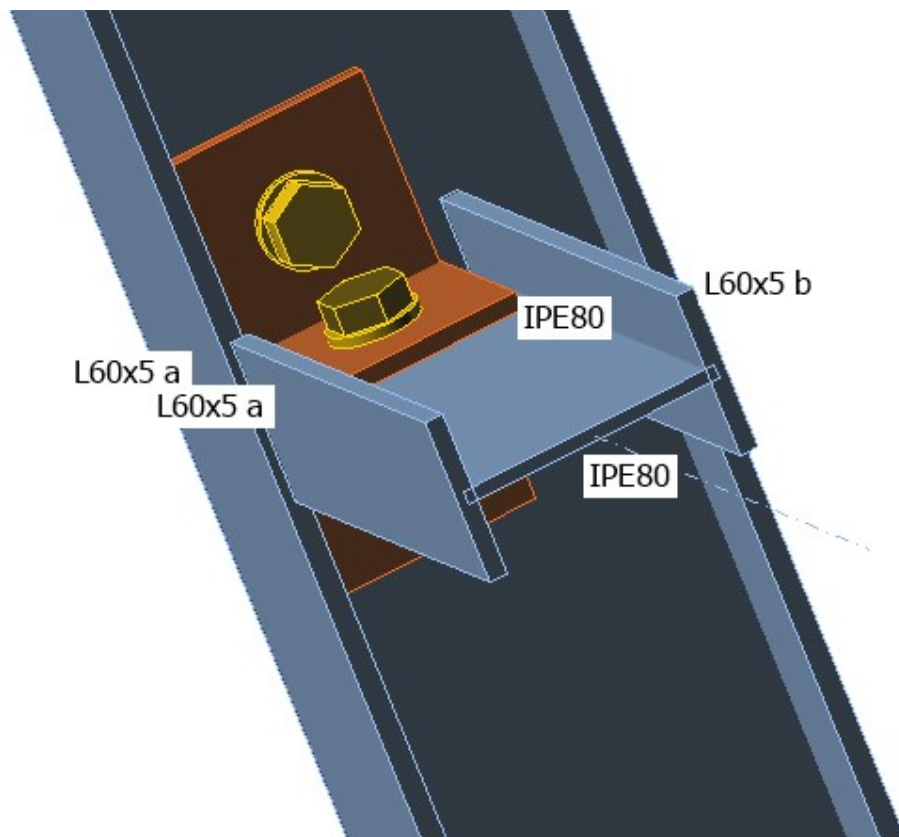
$$k_j = 3,00$$

$$f_{ck} = 25,0 \text{ MPa}$$

$$\gamma_c = 1,50$$

$$U_t = \frac{\sigma}{F_{jd}} = 75,7 \%$$

7.8. Priključak nosača G13, G14, G15 fasade na stupove fasade S1 - S8



Slika 111: Priključak nosača fasade na stupove fasade [16]

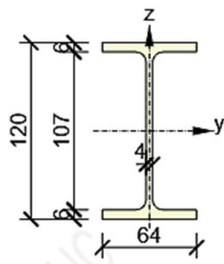
Sažetak provjere

| | |
|-------|----------------|
| Ploče | $0,0 < 5\%$ |
| Vijci | $32,8 < 100\%$ |

7.8.1. Materijali

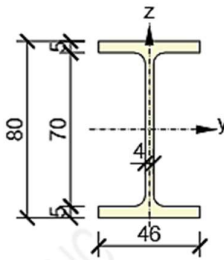
IPE120

$$S235 \quad f_y = 235 \text{ MPa} \quad \varepsilon_{lim} = 5 \%$$



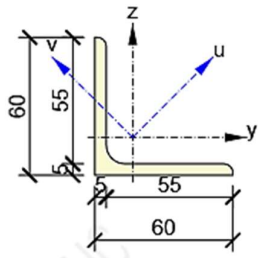
IPE80

S235 $f_y = 235 \text{ MPa}$ $\varepsilon_{lim} = 5 \%$



L60x5

S235 $f_y = 235 \text{ MPa}$ $\varepsilon_{lim} = 5 \%$



VIJCI

M12 5.8

12 mm

$f_u = 500 \text{ MPa}$

113 mm²

OPTEREĆENJE

$N = -4,3 \text{ kN}$

$V_y = 0,2 \text{ kN}$

$V_z = -5,4 \text{ kN}$

7.8.2. Provjera ploča

Tablica 56: Provjera ploča na spoju nosača fasade sa stupovima fasade.

| Naziv | Debljina [mm] | σ_{Ed} [MPa] | ϵ_{Pl} [%] | Status |
|---------------------------|---------------|---------------------|---------------------|--------|
| IPE120-donja pojasnica | 6,3 | 48,7 | 0,0 | OK |
| IPE120- gornja pojasnica | 6,3 | 30,8 | 0,0 | OK |
| IPE120- hrbat | 4,4 | 235,0 | 0,0 | OK |
| IPE80- donja pojasnica | 5,2 | 45,8 | 0,0 | OK |
| IPE80- gornja pojasnica | 5,2 | 58,3 | 0,0 | OK |
| IPE80- hrbat | 3,8 | 133,7 | 0,0 | OK |
| CLEAT1 a- donja pojasnica | 5,0 | 156,1 | 0,0 | OK |
| CLEAT1 a- hrbat | 5,0 | 145,4 | 0,0 | OK |
| CLEAT1 b- donja pojasnica | 5,0 | 156,0 | 0,0 | OK |
| CLEAT1 b-hrbat | 5,0 | 131,0 | 0,0 | OK |

7.8.3. Provjera vijaka

Tablica 57: Sažetak provjere vijaka koji spajaju nosače fasade sa stupovima fasade.

| | Naziv | Vijak | $F_{t,Ed}$ [kN] | V [kN] | $U_{t,ts}$ [%] | $F_{b,Rd}$ [kN] | $U_{t,s}$ [%] | $U_{t,ts}$ [%] |
|--|-------|-------------|-----------------|--------|----------------|-----------------|---------------|----------------|
| | B1 | M12 5.8 - 1 | 5,1 | 3,5 | 16,7 | 32,8 | 21,1 | 32,8 |
| | B2 | M12 5.8 - 2 | 2,6 | 3,0 | 8,6 | 36,2 | 17,7 | 23,8 |
| | B3 | M12 5.8 - 2 | 2,6 | 2,9 | 8,6 | 35,4 | 17,2 | 23,3 |

| | $F_{t,Rd}$ [kN] | $B_{p,Rd}$ [kN] | $F_{v,Rd}$ [kN] | $F_{b,Rd}$ [kN] |
|-------------|-----------------|-----------------|-----------------|-----------------|
| M12 5.8 - 1 | 30,2 | 62,4 | 16,8 | 51,8 |
| M12 5.8 - 2 | 30,2 | 54,9 | 16,8 | |

7.8.3.1. Provjera vijaka na vlak

$$F_{t.Rd} = \frac{k_2 \cdot f_{ub} \cdot A_s}{\gamma M2}$$

$$k_2 = 0,90$$

$$f_{ub} = 500,0 \text{ MPa}$$

$$A_s = 84 \text{ mm}^2$$

$$\gamma_{M2} = 1,25$$

7.8.3.2. Posmična provjera na proboj

$$B_{p.Rd} = \frac{0,6 \cdot \pi \cdot d_m \cdot t_p \cdot f_u}{\gamma M2}$$

$d_m = 23 \text{ mm}$ - Srednja vrijednost poprečnih točaka i poprečnih dimenzija glave vijka ili matice, ovisno o tome koja je manja

$$t_p = 6 \text{ mm}$$

$$f_u = 360,0 \text{ MPa}$$

$$\gamma_{M2} = 1,25$$

7.8.3.3. Provjera vijaka na pritisak po omotaču rupe

$$F_{b.Rd} = \frac{k_1 \cdot \alpha_b \cdot f_u \cdot d \cdot t}{\gamma M2}$$

$$k_1 = 2,50$$

$$\alpha_b = 1,00$$

$$f_u = 360,0 \text{ MPa}$$

$$d = 12 \text{ mm}$$

$$t = 6 \text{ mm}$$

$$\gamma_{M2} = 1,25$$

7.8.3.4. Provjera vijaka na posmik

$$F_{v.Rd} = \frac{\beta_p \cdot \alpha_v \cdot f_{ub} \cdot A}{\gamma_{M2}}$$

$$\beta_p = 1,00$$

$$\alpha_v = 0,50$$

$$f_{ub} = 500,0 \text{ MPa}$$

$$A = 84 \text{ mm}^2$$

$$\gamma_{M2} = 1,25$$

Provjera vlaka

$$U_{tt} = \frac{F_{t.Ed}}{\min(F_{t.Rd}, B_{p.Rd})}$$

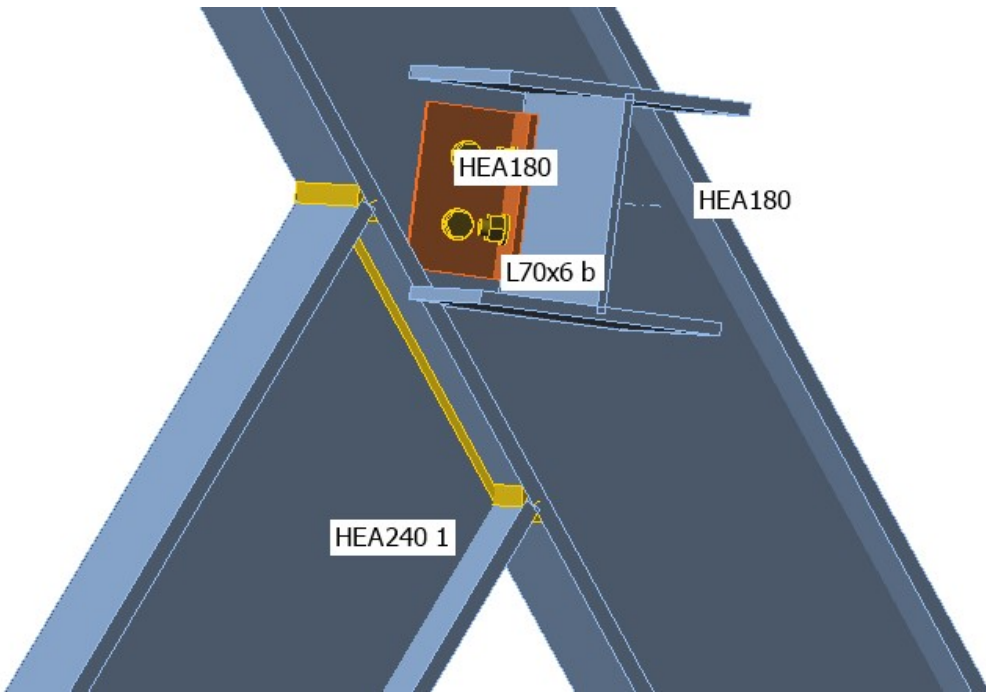
Provjera posmika

$$U_{ts} = \frac{V_{Ed}}{\min(F_{v.Rd}, F_{b.Rd})}$$

Interakcija vlaka i posmika

$$U_{tts} = \frac{F_{v.Ed}}{F_{v.Rd}} + \frac{F_{t.Ed}}{1.4 \cdot F_{t.Rd}}$$

7.9. Priključak krovnog nosača G1 na N-nosače G10, G11, G12



Slika 112: Priključak krovnog nosača na N-nosače (stupove) [16]

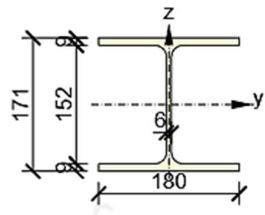
Sažetak provjere

| | |
|--------|----------------|
| Ploče | $0,9 < 5\%$ |
| Vijci | $98,1 < 100\%$ |
| Zavari | $3,5 < 100\%$ |

7.9.1. Materijali

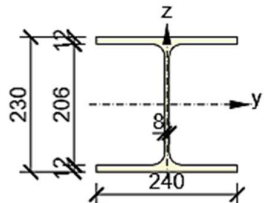
HEA180

$$S235 \quad f_y = 235 \text{ MPa} \quad \varepsilon_{lim} = 5 \text{ \%}$$



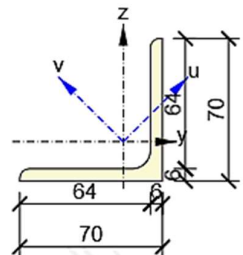
HEA240

$$S235 \quad f_y = 235 \text{ MPa} \quad \varepsilon_{lim} = 5 \%$$



L70x6

$$S235 \quad f_y = 235 \text{ MPa} \quad \varepsilon_{lim} = 5 \%$$



VIJCI

M12 5.8

12 mm

$$f_u = 500 \text{ MPa}$$

$$113 \text{ mm}^2$$

OPTEREĆENJE

$$N = -19,4 \text{ kN}$$

$$V_y = 0,0 \text{ kN}$$

$$V_z = -35,7 \text{ kN}$$

$$M_y = 39,5 \text{ kN}$$

$$M_z = 0,0 \text{ kN}$$

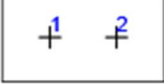
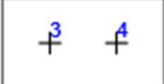
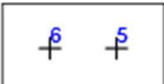
7.9.2. Provjera ploča

Tablica 58: Provjera ploča na spoju krovnog nosača na N-stupove.

| Naziv | Debljina [mm] | σ_{Ed} [MPa] | ϵ_{Pl} [%] | Status |
|----------------------------|---------------|---------------------|---------------------|--------|
| HEA180-donja pojasnica | 9,5 | 12,9 | 0,0 | OK |
| HEA180-gornja pojasnica | 9,5 | 14,5 | 0,0 | OK |
| HEA180-hrbat | 6,0 | 236,8 | 0,9 | OK |
| HEA240 1- donja pojasnica | 12,0 | 7,1 | 0,0 | OK |
| HEA240 1- gornja pojasnica | 12,0 | 8,7 | 0,0 | OK |
| HEA240 1- hrbat | 7,5 | 18,0 | 0,0 | OK |
| HEA240 2- donja pojasnica | 12,0 | 21,8 | 0,0 | OK |
| HEA240 2- gornja pojasnica | 12,0 | 29,5 | 0,0 | OK |
| HEA240 2- hrbat | 7,5 | 235,2 | 0,1 | OK |
| L70x6 a- donja pojasnica | 6,0 | 235,2 | 0,1 | OK |
| L70x6 a- hrbat | 6,0 | 235,2 | 0,1 | OK |
| L70x6 b- donja pojasnica | 6,0 | 235,3 | 0,1 | OK |
| L70x6 b- hrbat | 6,0 | 234,0 | 0,1 | OK |

7.9.3. Provjera vijaka

Tablica 59: Sažetak provjere vijaka koji spajaju krovni nosač sa N-stupovima.

| | Pozicija | $F_{t,Ed}$ [kN] | V [kN] | $U_{t\%}$ | $F_{b,Rd}$ [kN] | $U_{ts\%}$ | $U_{ts\%}$ | Status |
|---|----------|-----------------|--------|-----------|-----------------|------------|------------|--------|
|  | B1 | 4,0 | 15,2 | 13,1 | 35,2 | 90,8 | 98,1 | OK |
| | B2 | 2,4 | 15,6 | 7,9 | 51,8 | 92,9 | 97,7 | |
|  | B3 | 17,4 | 1,4 | 57,4 | 46,0 | 8,5 | 49,6 | OK |
| | B4 | 4,7 | 0,5 | 15,6 | 48,0 | 2,9 | 14,0 | |
|  | B5 | 16,8 | 1,5 | 55,5 | 44,7 | 9,2 | 48,8 | OK |
| | B6 | 4,7 | 0,5 | 15,5 | 51,5 | 2,7 | 13,8 | |

| | $F_{t,Rd}$ [kN] | $B_{p,Rd}$ [kN] | $F_{v,Rd}$ [kN] | $F_{b,Rd}$ [kN] |
|------------|-----------------|-----------------|-----------------|-----------------|
| M12 5.8 -1 | 30,2 | 74,9 | 16,8 | 51,8 |

7.9.3.1. Provjera vijaka na vlak

$$F_{t,Rd} = \frac{k_2 \cdot f_{ub} \cdot A_s}{\gamma M2}$$

$$k_2 = 0,90$$

$$f_{ub} = 500,0 \text{ MPa}$$

$$A_s = 84 \text{ mm}^2$$

$$\gamma_{M2} = 1,25$$

7.9.3.2. Provjera otpornosti na proboj

$$B_{p,Rd} = \frac{0,6 \cdot \pi \cdot d_m \cdot t_p \cdot f_u}{\gamma M2}$$

$d_m = 23 \text{ mm}$ - Srednja vrijednost poprečnih točaka i poprečnih dimenzija glave vijka ili matice, ovisno o tome koja je manja

$$t_p = 6 \text{ mm}$$

$$f_u = 360,0 \text{ MPa}$$

$$\gamma_{M2} = 1,25$$

7.9.3.3. Provjera vijaka na pritisak po omotaču rupe

$$F_{b,Rd} = \frac{k_1 \cdot \alpha_b \cdot f_u \cdot d \cdot t}{\gamma M2}$$

$$k_1 = 2,50$$

$$\alpha_b = 0,68$$

$$f_u = 360,0 \text{ MPa}$$

$$d = 12 \text{ mm}$$

$$t = 6 \text{ mm}$$

$$\gamma_{M2} = 1,25$$

7.8.3.4. Provjera vijaka na posmik

$$F_{v.Rd} = \frac{\beta_p \cdot \alpha_v \cdot f_{ub} \cdot A}{\gamma_{M2}}$$

$$\beta_p = 1,00$$

$$\alpha_v = 0,50$$

$$f_{ub} = 500,0 \text{ MPa}$$

$$A = 84 \text{ mm}^2$$

$$\gamma_{M2} = 1,25$$

Provjera vlaka

$$U_{tt} = \frac{F_{t.Ed}}{\min(F_{t.Rd}, B_{p.Rd})}$$

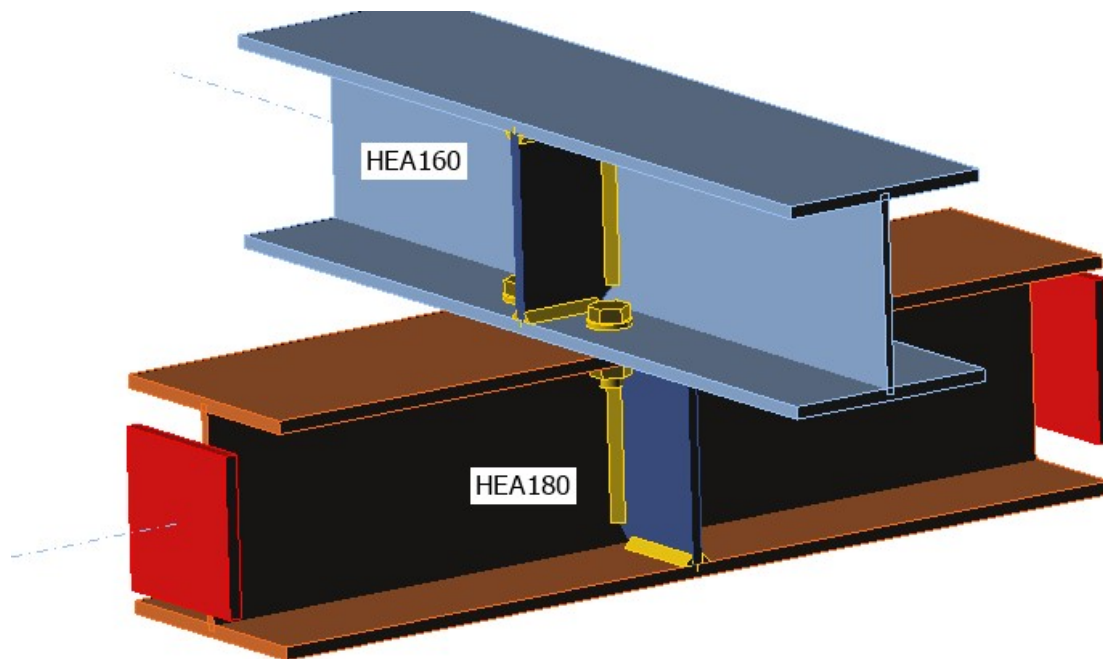
Provjera posmika

$$U_{ts} = \frac{V_{Ed}}{\min(F_{v.Rd}, F_{b.Rd})}$$

Interakcija vlaka i posmika

$$U_{tts} = \frac{F_{v.Ed}}{F_{v.Rd}} + \frac{F_{t.Ed}}{1.4 \cdot F_{t.Rd}}$$

7.10. Priključak uzdužnih nosača G2, G3 na krovni poprečni nosač G1



Slika 113: Priključak uzdužnih krovnih nosača na krovni nosač [16]

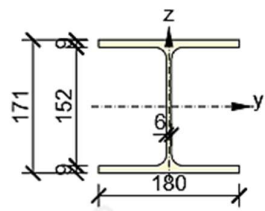
Sažetak provjere

| | |
|--------|----------------|
| Ploče | $0,0 < 5\%$ |
| Vijci | $43,7 < 100\%$ |
| Zavari | $55,0 < 100\%$ |

7.10.1. Materijali

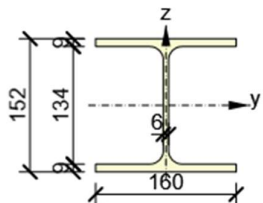
HEA180

$$S235 \quad f_y = 235 \text{ MPa} \quad \varepsilon_{lim} = 5 \text{ \%}$$



HEA160

S235 $f_y = 235 \text{ MPa}$ $\varepsilon_{lim} = 5 \%$



VIJCI

M16 5.8

16 mm

$f_u = 500 \text{ MPa}$

201 mm²

OPTEREĆENJE

Lijevo

$N = 6,21 \text{ kN}$

$V_y = 22,92 \text{ kN}$

$V_z = -11,61 \text{ kN}$

$M_r = 0,37 \text{ kN}$

$M_y = 18,98 \text{ kN}$

$M_z = 10,72 \text{ kN}$

Desno

$N = -4,26 \text{ kN}$

$V_y = -18,76 \text{ kN}$

$V_z = 11,12 \text{ kN}$

$M_r = -0,33 \text{ kN}$

$M_y = 19,76 \text{ kN}$

$M_z = 10,72 \text{ kN}$

7.10.2. Provjera ploča

Tablica 60: Provjera ploča na spoju uzdužnih krovnih nosača s krovnim nosačem.

| Naziv | Debljina [mm] | σ_{Ed} [MPa] | ϵ_{Pl} [%] | Status |
|--------------------------|---------------|---------------------|---------------------|--------|
| HEA180-donja pojasnica | 9,5 | 22,8 | 0,0 | OK |
| HEA180- gornja pojasnica | 9,5 | 96,0 | 0,0 | OK |
| HEA180-hrbat | 6,0 | 77,0 | 0,0 | OK |
| HEA160- donja pojasnica | 9,0 | 221,0 | 0,0 | OK |
| HEA160- gornja pojasnica | 9,0 | 206,3 | 0,0 | OK |
| HEA160- hrbat | 6,0 | 86,5 | 0,0 | OK |
| Ukruta (na HEA180) 1a | 8,0 | 30,9 | 0,0 | OK |
| Ukruta (na HEA180) 1b | 8,0 | 32,6 | 0,0 | OK |
| Ukruta (na HEA160) 2a | 8,0 | 145,9 | 0,0 | OK |
| Ukruta (na HEA160) 2b | 8,0 | 33,0 | 0,0 | OK |

7.10.3. Provjera vijaka

Tablica 61: Sažetak provjere vijaka koji spajaju uzdužne krovne nosače s krovnim nosačem.

| | Vijak | $F_{t,Ed}$ [kN] | V [kN] | U_t [%] | $F_{b,Rd}$ [kN] | U_t [%] | U_{ts} [%] |
|---|-------|-----------------|--------|-----------|-----------------|-----------|--------------|
|  | B1 | 1,2 | 10,7 | 2,1 | 103,7 | 34,2 | 35,7 |
| | B2 | 8,2 | 10,5 | 14,5 | 78,9 | 33,3 | 43,7 |
| | B3 | 1,2 | 11,5 | 2,2 | 103,7 | 36,5 | 38,1 |
| | B4 | 8,2 | 10,5 | 14,5 | 79,8 | 33,3 | 43,6 |

| | | | |
|-----------------|-----------------|-----------------|-----------------|
| $F_{t,Rd}$ [kN] | $B_{p,Rd}$ [kN] | $F_{v,Rd}$ [kN] | $F_{b,Rd}$ [kN] |
| M12 5.8 | 56,5 | 138,2 | 31,4 |
| | | | 51,8 |

7.10.3.1. Provjera vijaka na vlastiti

$$F_{t,Rd} = \frac{k_2 \cdot f_{ub} \cdot A_s}{\gamma_{M2}}$$

$$k_2 = 0,90$$

$$f_{ub} = 500,0 \text{ MPa}$$

$$A_s = 157 \text{ mm}^2$$

$$\gamma_{M2} = 1,25$$

7.8.3.2. Provjera otpornosti na probaj

$$B_{p.Rd} = \frac{0.6 \cdot \pi \cdot d_m \cdot t_p \cdot f_u}{\gamma M2}$$

$d_m = 28 \text{ mm}$ - Srednja vrijednost poprečnih točaka i poprečnih dimenzija glave vijka ili matice, ovisno o tome koja je manja

$t_p = 9 \text{ mm}$

$f_u = 360,0 \text{ MPa}$

$\gamma_{M2} = 1,25$

7.10.3.3. Provjera vijaka na pritisak po omotaču rupe

$$F_{b.Rd} = \frac{k_1 \cdot \alpha_b \cdot f_u \cdot d \cdot t}{\gamma M2}$$

$k_1 = 2,50$

$\alpha_b = 1,00$

$f_u = 360,0 \text{ MPa}$

$d = 16 \text{ mm}$

$t = 9 \text{ mm}$

$\gamma_{M2} = 1,25$

7.8.3.4. Provjera vijaka na posmik

$$F_{v.Rd} = \frac{\beta_p \cdot \alpha_v \cdot f_{ub} \cdot A}{\gamma M2}$$

$\beta_p = 1,00$

$\alpha_v = 0,50$

$f_{ub} = 500,0 \text{ MPa}$

$A = 157 \text{ mm}^2$

$\gamma_{M2} = 1,25$

Provjera vlaka

$$U_{tt} = \frac{F_{t.Ed}}{\min(F_{t.Rd}, B_{p.Rd})}$$

Provjera posmika

$$U_{ts} = \frac{V_{Ed}}{\min(F_{v.Rd}, F_{b.Rd})}$$

Interakcija vlaka i posmika

$$U_{tts} = \frac{F_{v.Ed}}{F_{v.Rd}} + \frac{F_{t.Ed}}{1.4 \cdot F_{t.Rd}}$$

7.10.4. Provjera zavara

Tablica 62: Sažetak provjere zavara na spoju uzdužnih krovnih nosača s krovnim nosačem.

| Stavka | Rub | Debljina [mm] | Duljina [mm] | $\sigma_{w,Ed}$ [MPa] | σ_{\perp} [MPa] | $\tau_{ }$ [MPa] | τ_{\perp} [MPa] | U_t [%] |
|--------------------------|-----------|---------------|--------------|-----------------------|------------------------|-------------------|----------------------|-----------|
| HEA180-donja pojasnica | Ukruta 1a | ▲5,0▲ | 72 | 3,6 | 1,6 | 0,7 | 1,7 | 1,0 |
| | | ▲5,0▲ | 72 | 3,8 | -2,6 | 0,2 | 1,6 | 1,0 |
| HEA180-hrbat | Ukruta 1a | ▲5,0▲ | 122 | 4,9 | 4,7 | 0,1 | 0,8 | 1,8 |
| | | ▲5,0▲ | 122 | 6,5 | -0,7 | 3,3 | 1,7 | 1,8 |
| HEA180- gornja pojasnica | Ukruta 1a | ▲5,0▲ | 72 | 24,3 | -12,2 | -8,0 | -9,1 | 6,7 |
| | | ▲5,0▲ | 72 | 24,7 | 10,6 | -8,9 | -9,3 | 6,9 |
| HEA180- donja pojasnica | Ukruta 1b | ▲5,0▲ | 72 | 4,0 | -2,6 | -0,8 | -1,6 | 1,1 |
| | | ▲5,0▲ | 72 | 3,3 | 1,5 | -0,6 | -1,6 | 0,9 |
| HEA180- hrbat | Ukruta 1b | ▲5,0▲ | 122 | 6,1 | -3,4 | -2,8 | 0,5 | 1,7 |
| | | ▲5,0▲ | 122 | 4,4 | 4,3 | 0,4 | -0,4 | 1,7 |
| HEA180-gornja pojasnica | Ukruta 1b | ▲5,0▲ | 72 | 23,0 | 10,6 | 7,2 | 9,3 | 6,4 |
| | | ▲5,0▲ | 72 | 30,9 | -14,5 | 11,3 | 10,9 | 8,6 |
| HEA160- donja pojasnica | Ukruta 2a | ▲5,0▲ | 62 | 197,9 | -92,5 | 40,6 | -92,5 | 55,0 |
| | | ▲5,0▲ | 62 | 197,6 | -92,3 | -40,7 | 92,3 | 54,9 |
| HEA160- hrbat | Ukruta 2a | ▲5,0▲ | 104 | 65,2 | -9,7 | -35,9 | -9,8 | 18,1 |
| | | ▲5,0▲ | 104 | 65,3 | -9,8 | 36,0 | 9,8 | 18,2 |
| HEA160- gornja pojasnica | STIFF2a | ▲5,0▲ | 62 | 54,3 | -6,9 | 30,4 | -6,7 | 15,1 |
| | | ▲5,0▲ | 62 | 54,3 | -6,6 | -30,4 | 6,7 | 15,1 |
| HEA160- donja pojasnica | Ukruta 2b | ▲5,0▲ | 62 | 32,7 | 16,6 | -4,7 | 15,6 | 9,1 |
| | | ▲5,0▲ | 62 | 33,1 | 15,3 | 4,7 | -16,3 | 9,2 |
| HEA160- hrbat | Ukruta 2b | ▲5,0▲ | 104 | 38,3 | -18,0 | 7,7 | -17,9 | 10,6 |
| | | ▲5,0▲ | 104 | 37,6 | -17,6 | -7,5 | 17,6 | 10,4 |
| HEA160- gornja pojasnica | Ukruta 2b | ▲5,0▲ | 62 | 35,7 | 5,1 | -19,7 | 5,2 | 9,9 |
| | | ▲5,0▲ | 62 | 35,6 | 5,0 | 19,7 | -4,9 | 9,9 |

$$\sigma_{w.Rd} = \frac{f_u}{\beta_w \cdot \gamma M2} \geq \sigma_{w.Ed} = \left[\sigma_{\perp}^2 + 3 \cdot (\tau_{\perp}^2 + \tau_{II}^2) \right]^{0.5}$$

$$\sigma_{\perp.Rd} = 0.9 \cdot \frac{f_u}{\gamma M2} \geq |\sigma_{\perp}|$$

$$f_u = 360,0 \text{ MPa}$$

$$\beta_w = 0,80$$

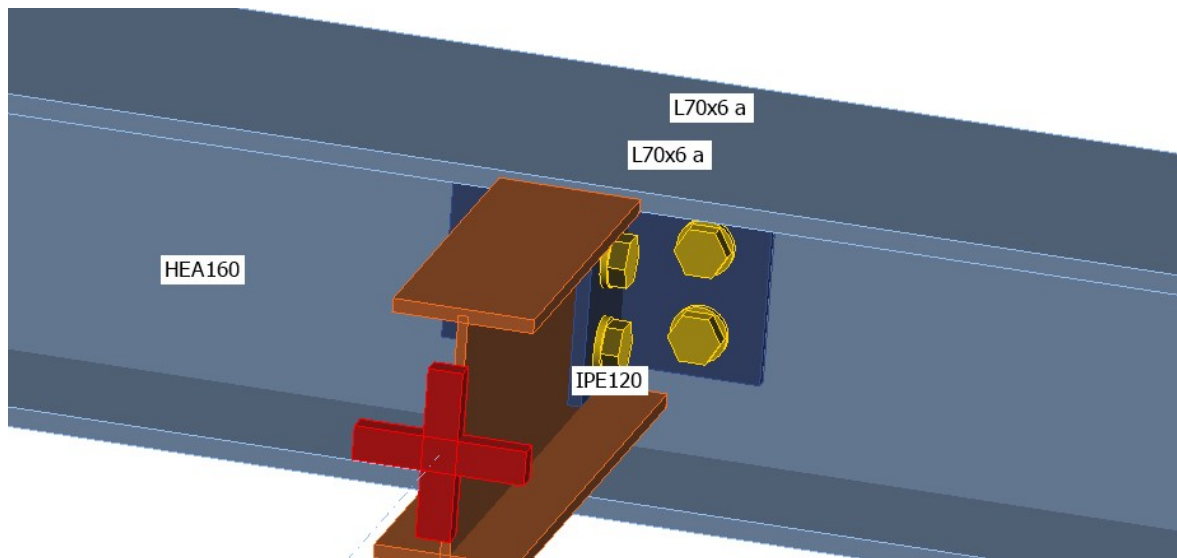
$$\gamma M2 = 1,25$$

$$\sigma_{w.Rd} = 360 \text{ MPa}$$

$$\sigma_{\perp.Rd} = 259,2 \text{ MPa}$$

$$U_t = \max \left(\frac{\sigma_{w.Ed}}{\sigma_{w.Rd}} .. \frac{|\sigma_{\perp}|}{\sigma_{\perp.Rd}} \right)$$

7.11. Priključak podrožnica G4, G5 na uzdužne krovne nosače G2, G3



Slika 114: Priključak podrožnica na uzdužne krovne nosače [16]

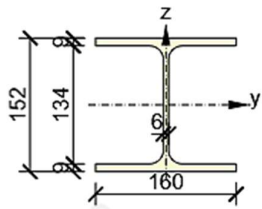
Sažetak provjere

| | |
|-------|-------------|
| Ploče | 1,0 < 5% |
| Vijci | 75,0 < 100% |

7.11.1. Materijali

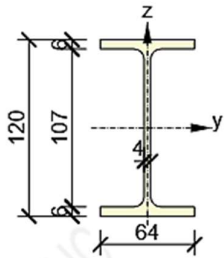
HEA160

$$S235 \quad f_y = 235 \text{ MPa} \quad \varepsilon_{lim} = 5 \%$$



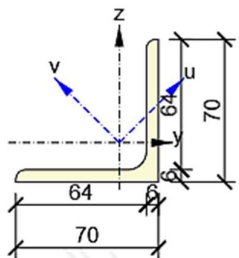
IPE120

$$S235 \quad f_y = 235 \text{ MPa} \quad \varepsilon_{lim} = 5 \%$$



L70x6

$$S235 \quad f_y = 235 \text{ MPa} \quad \varepsilon_{lim} = 5 \%$$



VIJCI

M12 5.8

12 mm

$$f_u = 500 \text{ MPa}$$

$$113 \text{ mm}^2$$

OPTEREĆENJE

$$N = -43,6 \text{ kN}$$

$$V_y = 0,7 \text{ kN}$$

$$V_z = -4,0 \text{ kN}$$

$$M_y = -1,7 \text{ kN}$$

$$M_z = -0,6 \text{ kN}$$

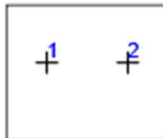
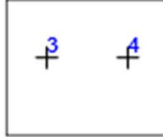
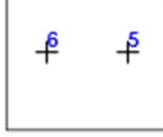
7.11.2. Provjera ploča

Tablica 63: Provjera ploča na spoju podrožnica na uzdužne krovne nosače.

| Naziv | Debljina [mm] | σ_{Ed} [MPa] | ϵ_{Pl} [%] | Status |
|--------------------------|---------------|---------------------|---------------------|--------|
| HEA160-donja pojasnica | 9,0 | 94,3 | 0,0 | OK |
| HEA160- gornja pojasnica | 9,0 | 142,2 | 0,0 | OK |
| HEA160- hrbat | 6,0 | 235,5 | 0,2 | OK |
| IPE120- donja pojasnica | 6,3 | 80,9 | 0,0 | OK |
| IPE120- gornja pojasnica | 6,3 | 25,2 | 0,0 | OK |
| IPE120- hrbat | 4,4 | 237,1 | 1,0 | OK |
| L70x6 a- donja pojasnica | 6,0 | 235,8 | 0,4 | OK |
| L70x6 a- hrbat | 6,0 | 235,2 | 0,1 | OK |
| L70x6 b- donja pojasnica | 6,0 | 235,7 | 0,3 | OK |
| L70x6 b-hrbat | 6,0 | 235,2 | 0,1 | OK |

7.11.3. Provjera vijaka

Tablica 64: Sažetak provjere vijaka koji spajaju podrožnice sa stupovima fasade.

| | Naziv | $F_{t,Ed}$ [kN] | V [kN] | $U_{t,t}$ [%] | $F_{b,Rd}$ [kN] | U_{ts} [%] | U_{ts} [%] | Status |
|---|-------|-----------------|--------|---------------|-----------------|--------------|--------------|--------|
|  | B1 | 0,8 | 10,3 | 2,6 | 38,0 | 61,3 | 63,1 | OK |
| | B2 | 2,0 | 11,8 | 6,5 | 38,0 | 70,4 | 75,0 | OK |
|  | B3 | 6,3 | 1,7 | 20,7 | 51,8 | 10,1 | 24,9 | OK |
| | B4 | 4,4 | 2,5 | 14,5 | 51,8 | 15,0 | 25,4 | OK |
|  | B5 | 6,4 | 1,1 | 21,1 | 51,8 | 6,8 | 21,9 | OK |
| | B6 | 4,6 | 2,3 | 15,3 | 51,8 | 13,5 | 24,4 | OK |

| | $F_{t,Rd}$ [kN] | $B_{p,Rd}$ [kN] | $F_{v,Rd}$ [kN] | $F_{b,Rd}$ [kN] |
|---------|-----------------|-----------------|-----------------|-----------------|
| M12 5.8 | 30,2 | 74,9 | 16,8 | 38,0 |

7.11.3.1. Provjera vijaka na vjak

$$F_{t,Rd} = \frac{k_2 \cdot f_{ub} \cdot A_s}{\gamma M2}$$

$$k_2 = 0,90$$

$$f_{ub} = 500,0 \text{ MPa}$$

$$A_s = 84 \text{ mm}^2$$

$$\gamma M2 = 1,25$$

7.11.3.2. Provjera otpornosti na proboj- punching test

$$B_{p,Rd} = \frac{0,6 \cdot \pi \cdot d_m \cdot t_p \cdot f_u}{\gamma M2}$$

$d_m = 23 \text{ mm}$ - Srednja vrijednost poprečnih točaka i poprečnih dimenzija glave vijka ili maticice, ovisno o tome koja je manja

$$t_p = 6 \text{ mm}$$

$$f_u = 360,0 \text{ MPa}$$

$$\gamma M2 = 1,25$$

7.11.3.3. Provjera vijaka na pritisak po omotaču rupe

$$F_{b,Rd} = \frac{k_1 \cdot \alpha_b \cdot f_u \cdot d \cdot t}{\gamma M2}$$

$$k_1 = 2,50$$

$$\alpha_b = 1,00$$

$$f_u = 360,0 \text{ MPa}$$

$$d = 12 \text{ mm}$$

$$t = 4 \text{ mm}$$

$$\gamma M2 = 1,25$$

7.11.3.4. Provjera vijaka na posmik

$$F_{v.Rd} = \frac{\beta_p \cdot \alpha_v \cdot f_{ub} \cdot A}{\gamma_{M2}}$$

$$\beta_p = 1,00$$

$$\alpha_v = 0,50$$

$$f_{ub} = 500,0 \text{ MPa}$$

$$A = 84 \text{ mm}^2$$

$$\gamma_{M2} = 1,25$$

Provjera vlaka

$$U_{tt} = \frac{F_{t.Ed}}{\min(F_{t.Rd}, B_{p.Rd})}$$

Provjera posmika

$$U_{ts} = \frac{V_{Ed}}{\min(F_{v.Rd}, F_{b.Rd})}$$

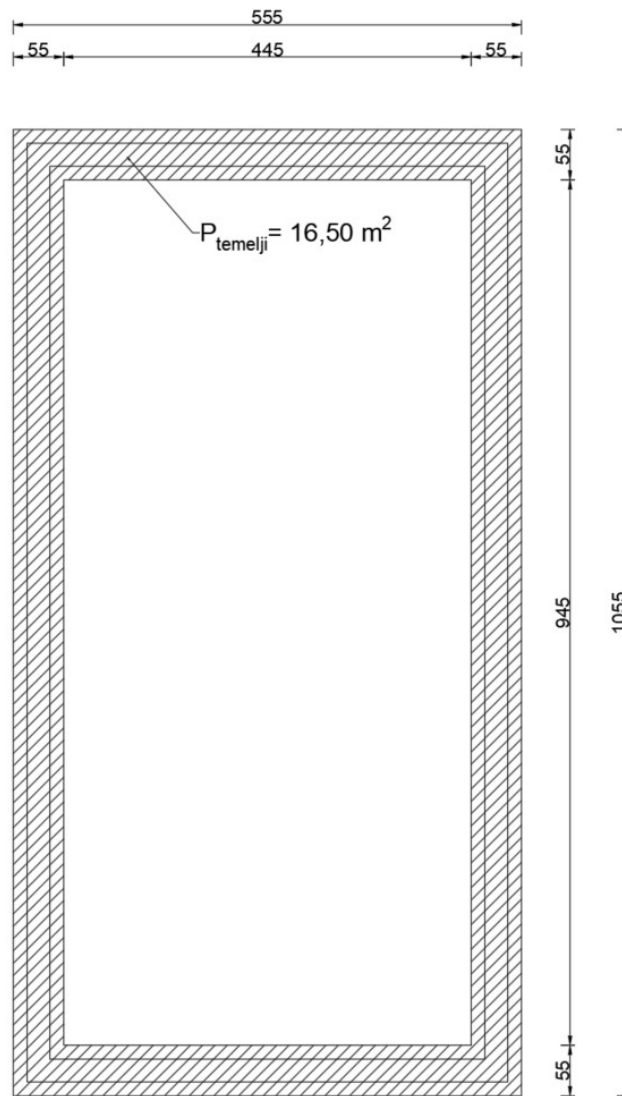
Interakcija vlaka i posmika

$$U_{tts} = \frac{F_{v.Ed}}{F_{v.Rd}} + \frac{F_{t.Ed}}{1.4 \cdot F_{t.Rd}}$$

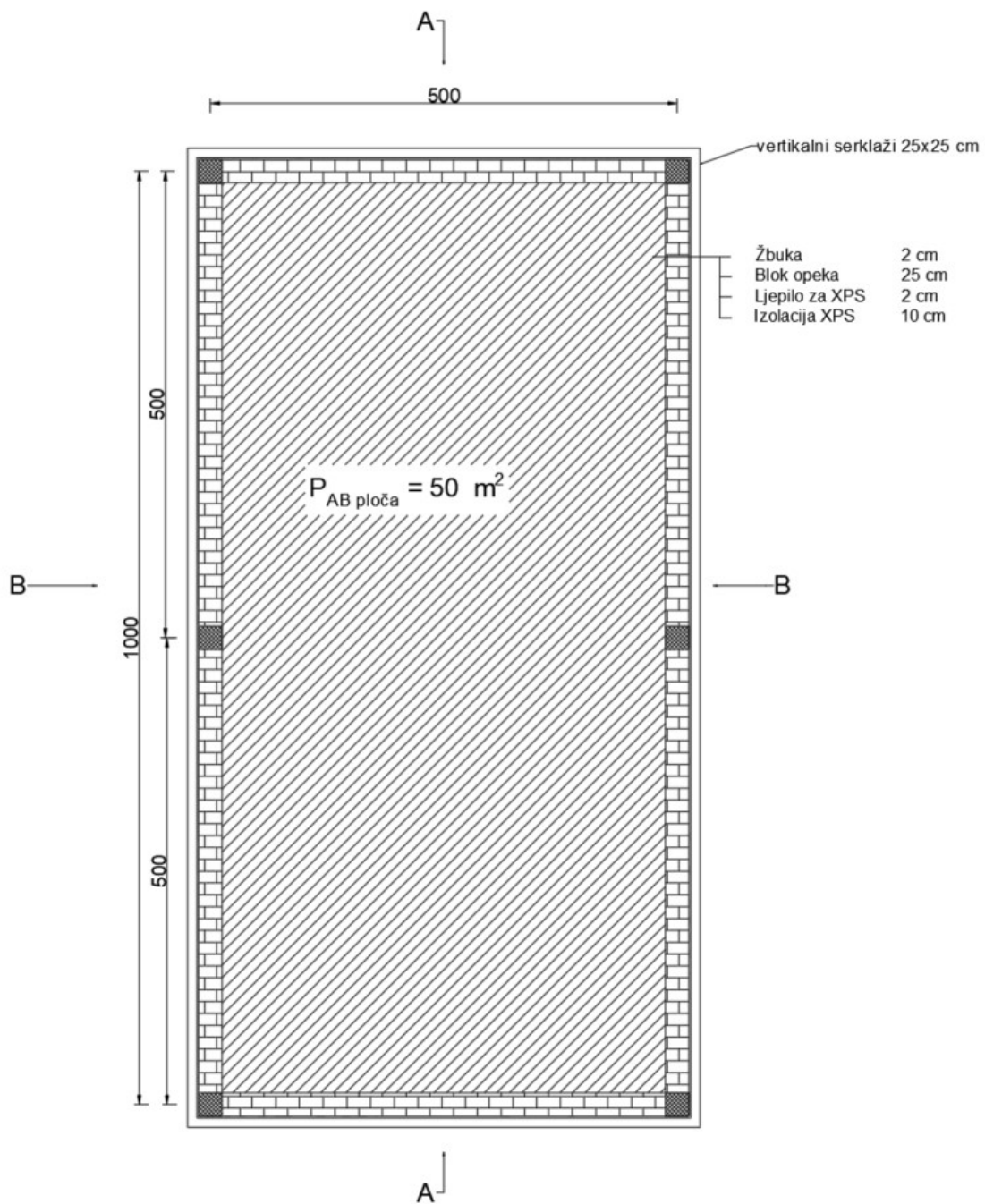
8. USPOREDBA S KLASIČNOM GRADNJOM

Provđena je usporedba s uobičajenom stambenom zgradom izvedenom kao zidana omeđena konstrukcija koja se na području Republike Hrvatske najčešće primjenjuje zbog jednostavnosti izvedbe i ekonomičnosti. U obzir se ne uzimaju troškovi rada, potrebna sredstva i usluge, već samo materijal. Uspoređuje se samo nosivi sustav, dok se stolarija, instalacije i ostali završni radovi zanemaruju.

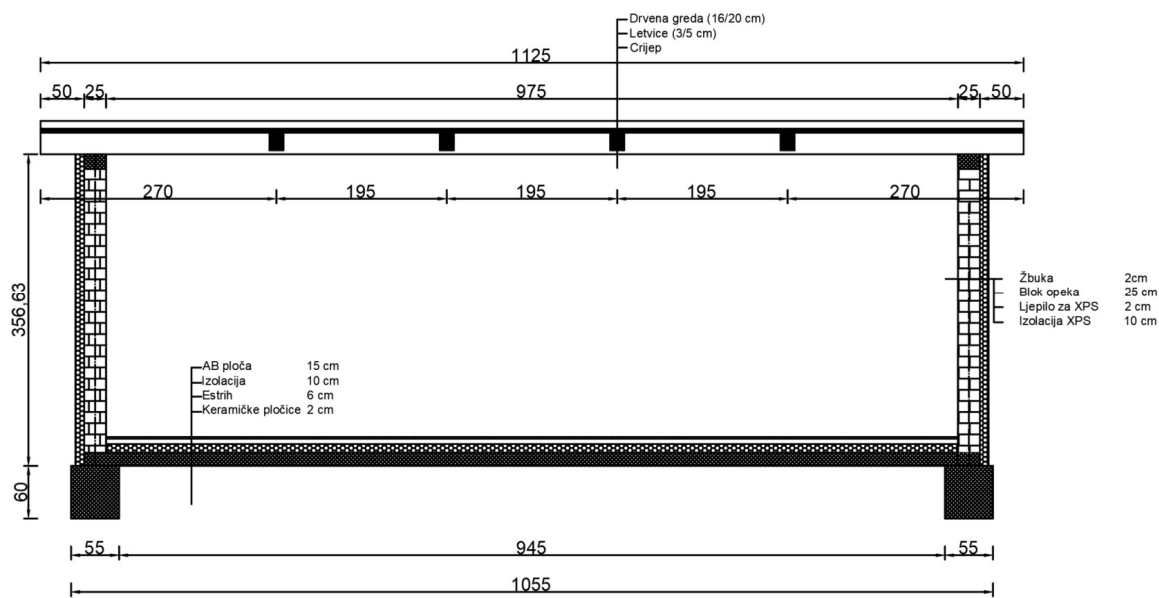
Standardna klasična gradnja podrazumijeva temeljenje u obliku trakastih temelja, izvedbu podne ploče od armiranog betona, dok se nosivi zidovi izvode od opečnih blokova omeđeni serklažima, a krovna konstrukcija se najčešće izvodi od drvenih greda s pokrovom od crijeva. Stoga se promatra kuća u klasičnoj izvedbi kao prizemnica od oko 50 m^2 . Cijene su informativnog karaktera.



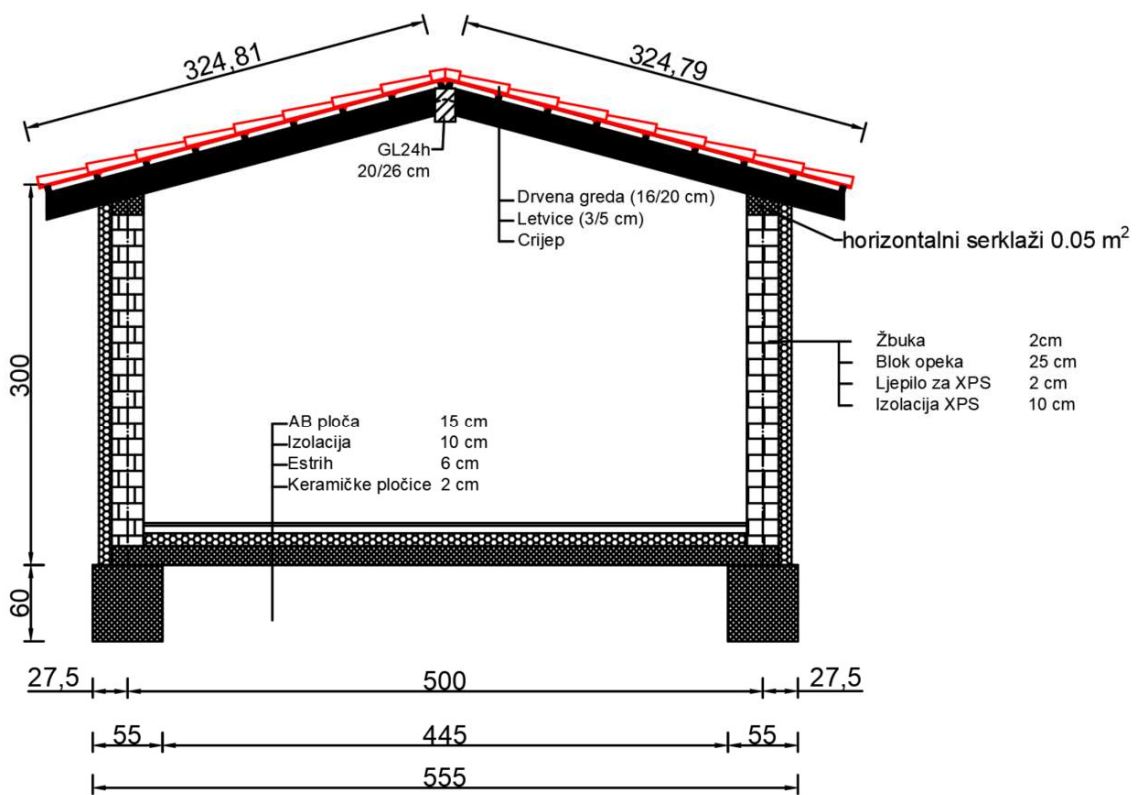
Slika 115: Tlocrt trakastih temelja kuće u klasičnoj izvedbi



Slika 116: Tlocrt prizemlja kuće u klasičnoj izvedbi



Slika 117: Presjek A-A kuće u klasičnoj izvedbi



Slika 118: Presjek B-B kuće u klasičnoj izvedbi

Tablica 65: Usporedba cijene koštanja temelja između kuće čelične i klasične izvedbe

| TEMELJI | Materijal | Jedinica mjere | Količina | Jedinična cijena | Ukupna cijena |
|-----------------------------|--------------|----------------|----------|------------------|---------------|
| ČELIČNA KONSTRUKCIJA | | | | | |
| temelji samci | beton C30/37 | m ³ | 1,62 | 560,00 kn | 907,20 kn |
| trakasti temelj | beton C30/37 | m ³ | 0,90 | 560,00 kn | 504,00 kn |
| | | | | | 1.411,20 kn |
| KLASIČNA IZVEDBA | | | | | |
| trakasti temelji | beton C30/37 | m ³ | 16,50 | 560,00 kn | 9.240,00 kn |

Tablica 66: Usporedba cijene koštanja izvedbe ploče između kuće čelične i klasične izvedbe

| PLOČA | Materijal | Jedinica mjere | Količina | Jedinična cijena | Ukupna cijena |
|------------------------------------|---------------|----------------|----------|------------------|---------------|
| ČELIČNA KONSTRUKCIJA | | | | | |
| AB ploča 15 cm | beton LC25/28 | m ³ | 7,50 | 670,00 kn | 5.025,00 kn |
| trapezni lim | lim | m ² | 50 | 70,00 kn | 3.500,00 kn |
| uzdužni međukatni nosači (HEA160) | S235 | kg | 493,8 | 15,00 kn | 7.407,00 kn |
| poprečni međukatni nosači (HEA160) | S235 | kg | 543,8 | 15,00 kn | 8.157,00 kn |
| | | | | | 24.089,00 kn |
| KLASIČNA IZVEDBA | | | | | |
| AB ploča | beton C30/37 | m ³ | 7,50 | 560,00 kn | 4.200,00 kn |

Tablica 67: Usporedba cijene koštanja izvedbe fasade i nosivog sustava između kuće čelične i klasične izvedbe

| FASADA / NOSIVI SUSTAV | Materijal | Jedinica mjere | Količina | Jedinična cijena | Ukupna cijena |
|-----------------------------|--------------|----------------|----------|------------------|---------------|
| ČELIČNA KONSTRUKCIJA | | | | | |
| nosači fasade (IPE80) | S235 | kg | 166,60 | 15,00 kn | 2.499,00 kn |
| fasadni stupovi (IPE120) | S235 | kg | 606,20 | 15,00 kn | 9.093,50 kn |
| stup pročelja (HEA100) | S235 | kg | 59,7 | 15,00 kn | 895,50 kn |
| N-nosači | S235 | kg | 2253,6 | 15,00 kn | 33.804,00 kn |
| sendvič PU 12 cm | PU + lim | m ² | 72,00 | 450,00 kn | 32.400,00 kn |
| | | | | | 78.691,50 kn |
| KLASIČNA IZVEDBA | | | | | |
| blok opeka (25x37,5x23,8cm) | opeka | kom | 806,00 | 8,50 kn | 6.851,00 kn |
| izolacija XPS 10 cm | XPS | m ² | 80,00 | 150,00 kn | 12.000,00 kn |
| horiz. i vert. serklaži | beton C25/30 | m ³ | 2,50 | 520,00 kn | 1.300,00 kn |
| | | | | | 20.151,00 kn |

Tablica 68: Usporedba cijene koštanja izvedbe krova između kuće čelične i klasične izvedbe

| KROV | Materijal | Jedinica mjere | Količina | Jedinična cijena | Ukupna cijena |
|---------------------------------|-----------|----------------|----------|------------------|---------------|
| ČELIČNA KONSTRUKCIJA | | | | | |
| uzdužni krovni nosači (HEA160) | S235 | kg | 1231,00 | 15,00 kn | 18.465,00 kn |
| poprečni krovni nosači (IPE120) | S235 | kg | 456,00 | 15,00 kn | 6.840,00 kn |
| krovni nosač (HEA180) | S235 | kg | 212,70 | 15,00 kn | 3.190,50 kn |
| sendvič PU 10 cm | PU + lim | m ² | 70,00 | 390,00 kn | 27.300,00 kn |
| | | | | | 55.795,50 kn |
| KLASIČNA IZVEDBA | | | | | |
| drvene grede 16/20 cm | GL24h | m ³ | 0,85 | 8.125,00 kn | 6.906,25 kn |
| drvena greda 20/26 cm | GL24h | m ² | 0,58 | 8.125,00 kn | 4.712,50 kn |
| drvene letvice 3/5 cm | C20 | m' | 202 | 5,00 kn | 1.010,00 kn |
| crijep (10 kom/m ²) | opeka | kom | 730 | 12,00 kn | 8.760,00 kn |
| | | | | | 21.388,75 kn |

Tablica 69: Usporedba cijene koštanja kuće čelične i klasične izvedbe

| | ČELIČNA IZVEDBA | KLASIČNA IZVEDBA |
|---------|------------------------|-------------------------|
| temelji | 1.411,20 kn | 9.240,00 kn |
| ploča | 24.089,00 kn | 4.200,00 kn |
| fasada | 78.691,50 kn | 20.151,00 kn |
| krov | 55.795,50 kn | 21.388,75 kn |
| ukupno | 159.987,20 kn | 54.979,75 kn |

Čelična je konstrukcija skuplja od kuće u klasičnoj izvedbi za gotovo 3 puta. Najveća razlika u cijeni izražena je na fasadi i glavnom nosivom sustavu, gdje glavni *N*-nosači uvelike povećavaju ukupni iznos. Međutim, temeljenje glavnog nosivog sustava čelične konstrukcije je jeftinije čak 85% u usporedbi s klasičnom izvedbom kuće. U konačnici, jasno je da se ponajviše zbog cijene čelik rijetko primjenjuje u stambenoj gradnji. Za stambene zgrade koje su relativno malih raspona neisplativo je koristiti čelik pri gradnji. Pozornost valja obratiti i na održavanje čelične konstrukcije, zaštitu od požara i korozije koje dodatno poskupljuje konačnu cijenu.

9. ZAKLJUČAK

Cilj ovog diplomskog rada bio je izraditi građevinski projekt čelične konstrukcije prema idejnom arhitektonskom rješenju. Glavnina rada posvećena je oblikovanju i dimenzioniranju čelične konstrukcije tako da raspored i poprečni presjeci elemenata daju najpovoljnije konstrukcijsko rješenje. Stoga se glavni N -nosači se izvode od H-profila zbog manje visine hrpte za približno istu iskorištenost i stabilnost u odnosu na I-profil. Za međukatnu konstrukciju se odabire izvedba spregnute ploče nad roštiljnim sustavom s čeličnim I-profilima, dok se za fasadne nosače odabiru I-nosači zbog veće stabilnosti u odnosu na U-profile. Poprečni presjeci međukatnih nosača nisu maksimalno iskorišteni kako bi dali estetski naglasak na industrijski stil. Također, stup pročelja čija je iskorištenost malena, dodan je kako bi smanjio relativne pomake krovnog nosača.

Detaljnom analizom i usporedbom utroška materijala pri izvedbi čelične stambene zgrade sa zgradom u klasičnoj izvedbi kombinacijom opeke i armiranog betona zaključuje se kako je konstrukcija izvedena od čelika do tri puta skuplja negoli kuća u klasičnoj izvedbi. U prilog izvedbi zidane omeđene konstrukcije ide i činjenica da zahtjeva minimalno održavanje i ulaganja.

Čelične konstrukcije stambene namjene se izvode rijetko, a u većini slučajeva odskaču od standardnih proporcija obiteljskih zgrada. Trend industrijskog uređenja interijera i eksterijera polako povećava uporabu čelika u arhitekturi koji se nekad smatrao neuglednim pa se skrivao od pogleda. Naravno da se pažnje usmjereno ka radioničkim nacrtima, koji su ključni za izvedbu čeličnih konstrukcija. Stoga je vrijeme građenja ovakve čelične konstrukcije uvelike smanjeno. Posebnu pažnju treba svakako posvetiti i zaštiti od požara pošto glavna konstrukcija nije skrivena i izravno je izložena vanjskim utjecajima.

10. LITERATURA

- [1] Katalog proizvoda *Kingspan izolacijski paneli* <https://www.kingspan.com/hr/hr-grupe-proizvoda/1-izolacijski-paneli-za-krovove-i-zidove/quadcore-krovni-i-zidni-paneli/quadcore-rw-trapezna-profilacija>
- [2] Katalog proizvoda IZOFORMA paneli 2014.
- [3] Eurokod 1: *Djelovanja na konstrukcije* – Dio 1-3: Opća djelovanja – Opterećenje snijegom – Nacionalni dodatak (HRN EN 1991-1-3:2012/NA)
- [4] Eurokod 1: *Djelovanja na konstrukcije* – Dio 1-3: Opća djelovanja – Opterećenje snijegom (EN 1991-1-3(2003))
- [5] Dlubal RFEM - Structural FEM Analysis and Design Software, Free Software for Students, <https://www.dlubal.com/en/education/students/free-structural-analysis-software-for-students>
- [6] Eurokod 1: *Djelovanja na konstrukcije* – Dio 1-4: Opća djelovanja – Djelovanja vjetra (EN 1991-1-4:2005)
- [7]] Eurokod 1: *Djelovanja na konstrukcije* – Dio 1-4: Opća djelovanja – Djelovanja vjetra – Nacionalni dodatak (nHRN EN 1991-1-4:2012/NA)
- [8]https://construction.arcelormittal.com/myspace/medias/sys_master/amc-media/amc-media/hd9/hae/8987178237982/Floors-guide.pdf
- [9] Victor Silva Zavala *Privatni album*
- [10] Autodesk Advance steel
- [11] Eurokod 3: *Projektiranje čeličnih konstrukcija* – Dio 1-1: Opća pravila i pravila za zgrade
- [12] Eurokod 4: *Projektiranje spregnutih konstrukcija od čelika i betona* – Dio 1-1: Opća pravila i pravila za zgrade (EN 1994-1-1:2004)
- [13] Eurokod 2: *Projektiranje betonskih konstrukcija* – Dio 4: Proračun priključaka za uporabu u betonu (EN 1992-4:2018)
- [14] Eurokod 3: *Projektiranje čeličnih konstrukcija* -- Dio 1-8: Projektiranje priključaka (EN 1993-1-8:2005+AC:2005)
- [15] Eurokod 3: *Projektiranje čeličnih konstrukcija* -- Dio 1-5: Pločasti konstrukcijski elementi (EN 1993-1-5:2006)
- [16] IDEA StatiCa <https://www.ideastatica.com/educational-license>

Kroz cijeli rad korištena je sljedeća literatura:

- Skejić, Davor; Džeba, Ivica. 2015. *Čelične konstrukcije*, priručnik. Sveučilište u Zagrebu, Građevinski fakultet. Zagreb.
- Androić, Boris; Dujmović, Darko; Džeba, Ivica. 2009. *Čelične konstrukcije 1. IA PROJEKTIRANJE*. Zagreb.
- Androić, Boris; Dujmović, Darko; Džeba, Ivica. 2007. *Čelične konstrukcije 2, numerički primjeri prema EC3. IA PROJEKTIRANJE*. Zagreb.
- Dujmović, Darko; Androić, Boris; Džeba, Ivica. 2004. *Modeliranje konstrukcija prema Eurocode 3. IA PROJEKTIRANJE*. Zagreb.

11. ISKAZ MATERIJALA

11.1. Iskaz elemenata

| OZNAKA | PROFIL | KVALITETA ČELIKA | DUJINA [mm] | KOLIČINA | TEŽINA PO METRU [kg/m] | TEŽINA ELEMENTA [kg] | UKUPNA TEŽINA [kg] | opis / pozicija |
|--------|--------|---------------------|----------------|----------|------------------------------|----------------------------|--------------------------|--------------------------------------|
| | | | | | | | | |
| G1 | HEA180 | S235 | 6000 | 1 | 35,5 | 212,7 | 212,7 | krovni poprečni nosač |
| G2 | HEA160 | S235 | 8100 | 3 | 30,4 | 246,2 | 738,6 | krovni uzdužni nosači (unutarnji) |
| G3 | HEA160 | S235 | 8100 | 2 | 30,4 | 246,2 | 492,4 | krovni uzdužni nosači (rubni) |
| G4 | IPE120 | S235 | 1274 | 16 | 10,4 | 13,2 | 211,2 | podrožnice (rubne) |
| G5 | IPE120 | S235 | 1474 | 16 | 10,4 | 15,3 | 244,8 | podrožnice (unutarnje) |
| S1 | IPE120 | S235 | 2965 | 4 | 10,4 | 30,8 | 123,2 | stupovi (stražnji) |
| S2 | IPE120 | S235 | 3041 | 2 | 10,4 | 31,6 | 63,2 | stupovi (rubni) |
| S3 | IPE120 | S235 | 3129 | 2 | 10,4 | 32,5 | 65 | stupovi (rubni) |
| S4 | IPE120 | S235 | 3216 | 2 | 10,4 | 33,5 | 67 | stupovi (rubni) |
| S5 | IPE120 | S235 | 3303 | 2 | 10,4 | 34,4 | 68,8 | stupovi (rubni) |
| S6 | IPE120 | S235 | 3391 | 2 | 10,4 | 36,2 | 72,4 | stupovi (rubni) |
| S7 | IPE120 | S235 | 3478 | 2 | 10,4 | 36,2 | 72,4 | stupovi (rubni) |
| S8 | IPE120 | S235 | 3566 | 2 | 10,4 | 37,1 | 74,2 | stupovi (rubni) |
| G6 | HEA160 | S235 | 2452 | 2 | 30,4 | 74,6 | 149,2 | uzdužni međukatni nosači |
| G7 | HEA160 | S235 | 4052 | 2 | 30,4 | 123,2 | 246,4 | uzdužni međukatni nosači |
| G8 | HEA160 | S235 | 1616 | 2 | 30,4 | 49,1 | 98,2 | uzdužni međukatni nosači |
| G9 | HEA160 | S235 | 5962 | 3 | 30,4 | 181,3 | 543,9 | poprečni međukatni nosači |
| S9 | HEA100 | S235 | 3575 | 1 | 16,7 | 59,7 | 59,7 | stup fasade |
| G10 | HEA240 | S235 | 8038 | 2 | 60,3 | 484,7 | 969,4 | N-nosači |
| G11 | HEA240 | S235 | 3978 | 2 | 60,3 | 239,9 | 479,8 | N-nosači |
| G12 | HEA240 | S235 | 6671 | 2 | 60,3 | 402,2 | 804,4 | N-nosači |
| G13 | IPE80 | S235 | 976 | 20 | 6 | 5,9 | 118 | nosači fasade |
| G14 | IPE80 | S235 | 1276 | 4 | 6 | 7,7 | 30,8 | nosači fasade |
| G15 | IPE80 | S235 | 1476 | 2 | 6 | 8,9 | 17,8 | nosači fasade |

ukupno 6,02 t

11.2. Iskaz spojnih profila

| OZNAKA | PROFIL | KVALITETA ČELIKA | DULJINA | KOLIČINA | TEŽINA PO METRU | TEŽINA ELEMENTA | UKUPNA TEŽINA | opis / pozicija | |
|--------|-----------|---------------------|---------|----------|--------------------|--------------------|------------------|-------------------------------------|--------|
| | | | | | | | | [mm] | [kg/m] |
| L1 | L70x6 | S235 | 122 | 4 | 6,4 | 0,8 | 3,2 | krovni nosač | |
| L2 | L70x6 | S235 | 90 | 10 | 6,4 | 0,6 | 6,0 | krovni uzdužni nosači | |
| L3 | L70x6 | S235 | 80 | 128 | 6,4 | 0,5 | 64,0 | krovni poprečni nosači (podrožnice) | |
| L4 | L60x5 | S235 | 60 | 192 | 4,6 | 0,3 | 57,6 | stupovi - nosači fasade | |
| L5 | L90x60x8 | S235 | 106 | 20 | 9 | 0,9 | 18,0 | uzdužni međukatni - N-nosač | |
| L6 | L130x65x8 | S235 | 106 | 12 | 11,9 | 1,3 | 15,6 | poprečni međukatni - N-nosač | |
| L7 | L70X6 | S235 | 75 | 2 | 6,4 | 0,5 | 1,0 | stup - fasada | |

ukupno 0,17 t

11.3. Iskaz pločica (limova)

| OZNAKA | VELIČINA | KVALITETA ČELIKA | DULJINA | ŠIRINA | DEBLJINA | KOLIČINA | TEŽINA PLOČICE | UKUPNA TEŽINA | opis / pozicija | |
|--------|-------------|---------------------|---------|--------|----------|----------|-------------------|------------------|--|------|
| | | | | | | | | | [mm] | [kg] |
| U1 | 80x8 | S235 | 152 | 80 | 8 | 10 | 0,7 | 7 | krovni nosač - ukruta | |
| U2 | 70x8 | S235 | 134 | 70 | 8 | 10 | 0,6 | 6 | krovni uzdužni nosači - ukruta | |
| P1 | 6x90x134,5° | S235 | 90 | 70 | 6 | 14 | 0,6 | 8,4 | krovni uzdužni / pod kutem (bočni stupovi) | |
| P2 | 6x90x133,5° | S235 | 90 | 70 | 6 | 14 | 0,6 | 8,4 | krovni uzdužni / pod kutem (bočni stupovi) | |
| P3 | 160X10 | S235 | 144 | 160 | 10 | 19 | 1,8 | 34,2 | stupovi, temeljna ploča | |
| P4 | 20X312 | S235 | 320 | 312 | 20 | 2 | 15,7 | 31,4 | uzdužni međukatni - potporni zid | |
| P5 | 20X500 | S235 | 500 | 500 | 20 | 4 | 39,3 | 157,2 | N-nosači - temeljna ploča | |
| U3 | 110x12 | S235 | 231 | 110 | 12 | 8 | 2,3 | 18,4 | N-nosači - ukruta | |

ukupno 0,27 t

11.4. Iskaz vijaka i ankera

| OZNAKA | VRSTA VJAKA | KVALITETA VJAKA | DULJINA [mm] | KOLIČINA | TEŽINA VJAKA [kg] | UKUPNA TEŽINA [kg] | opis / pozicija |
|--------|-------------|--------------------|-----------------|----------|----------------------|--------------------------|-------------------------------------|
| | | | | | | | |
| V1 | M16 | 5.8. | 40 | 4 | 0,1 | 0,4 | krovni nosač |
| V2 | M12 | 5.8. | 30 | 10 | 0,1 | 1 | uzdužni krovni - stražnji stupovi |
| V3 | M12 | 5.8. | 35 | 288 | 0,1 | 28,8 | uzdužni krovni - podrožnice |
| V4 | M20 | 5.8. | 45 | 20 | 0,2 | 4 | uzdužni krovni - krovni nosač |
| A1 | M12 | 8.8. | 130 | 76 | 0,0 | 1,5 | stupovi - ankeri |
| V5 | M16 | 5.8. | 45 | 20 | 0,2 | 3 | uzdužni međukatni - N-nosači |
| A2 | M16 | 8.8. | 150 | 4 | 0,2 | 0,6 | N-nosači - ukruta |
| V6 | M12 | 5.8. | 40 | 24 | 0,2 | 3,6 | poprečni međukatni nosači - N-nosač |
| V7 | M12 | 5.8. | 35 | 2 | 0,2 | 0,3 | stup fasada |
| A3 | M20 | 8.8. | 300 | 16 | 1,3 | 20,8 | N-nosači - temeljna ploča |
| V8 | M12 | 5.8. | 30 | 212 | 0,15 | 31,8 | nosači fasade |

ukupno 0,10 t

12. PRILOZI

Prilog 1: Prikaz 3D konstrukcije – pogled sa sjeverozapada

Prilog 2: Prikaz 3D konstrukcije – pogled sa jugoistoka

Prilog 3: Dispozicija čelične konstrukcije

Prilog 4: Horizontalni presjek A – A na visini h = 0.0 m

Prilog 5: Horizontalni presjek B – B na visini h = 2.8 m

Prilog 6: Krovni presjek

Prilog 7: Poprečni presjek 01 – 01

Prilog 8: Poprečni presjek 02 – 02 i 03 – 03

Prilog 9: Poprečni presjek 04 – 04

Prilog 10: Krovni poprečni nosač G1 s iskazom materijala u spojevima

Prilog 11: Krovni unutarnji uzdužni nosač G2 s iskazom materijala u spojevima

Prilog 12: Krovni rubni uzdužni nosač G3 s iskazom materijala u spojevima

Prilog 13: Krovni rubni uzdužni nosač G3 s iskazom materijala u spojevima

Prilog 14: Poprečni krovni nosači (podrožnice) G4, G5 s iskazom materijala u spojevima

Prilog 15: Stupovi nosači fasade (stražnji – istočni) S1 s iskazom materijala u spojevima

Prilog 16: Bočni rubni stupovi S2 (južni i sjeverni) s iskazom materijala u spojevima

Prilog 17: Bočni rubni stupovi S3 (južni i sjeverni) s iskazom materijala u spojevima

Prilog 18: Bočni rubni stupovi S4 (južni i sjeverni) s iskazom materijala u spojevima

Prilog 19: Bočni rubni stupovi S5 (južni i sjeverni) s iskazom materijala u spojevima

Prilog 20: Bočni rubni stupovi S6 (južni i sjeverni) s iskazom materijala u spojevima

Prilog 21: Bočni rubni stupovi S7 (južni i sjeverni) s iskazom materijala u spojevima

Prilog 22: Bočni rubni stupovi S8 (južni i sjeverni) s iskazom materijala u spojevima

Prilog 23: Uzdužni međukatni nosači G6 s iskazom materijala u spojevima

Prilog 24: Uzdužni međukatni nosači G6 s iskazom materijala u spojevima

Prilog 25: Uzdužni međukatni nosači G7 s iskazom materijala u spojevima

Prilog 26: Uzdužni međukatni nosači G8 s iskazom materijala u spojevima

Prilog 27: Poprečni međukatni nosači G9 s iskazom materijala u spojevima

Prilog 28: Stup S9 s iskazom materijala u spojevima

Prilog 29: *N*-nosači G10, G11, G12

Prilog 30: Iskaz materijala u spojevima *N*-nosači G10, G11, G12

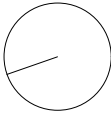
Prilog 31: *N*-nosači – detalj spojeva

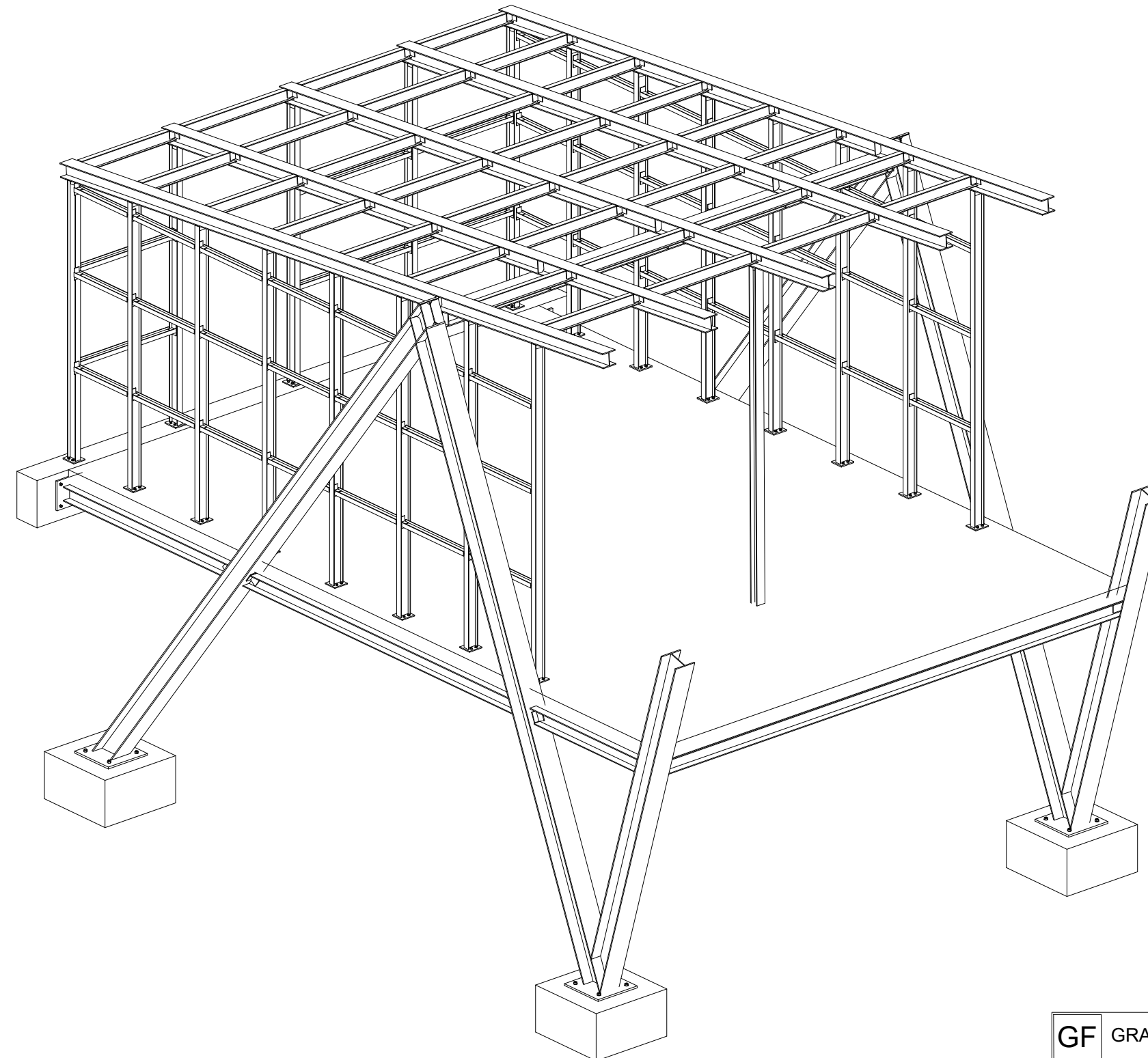
Prilog 32: *N*-nosači - presjeci

Prilog 33: Nosači fasade G13, G14, G15 s iskazom materijala u spojevima

Prilog 34: Nosači fasade G13, G14, G15 s iskazom materijala u spojevima

Prikaz modela - sjeverozapad

N




GF GRAĐEVINSKI FAKULTET, SVEUČILIŠTE U RIJECI

Diplomski rad
**PRORAČUN ČELIČNE
KONSTRUKCIJE VIKENDICE I
USPOREDBA S VIKENDICOM
KLASIČNE GRADNJE**

Sadržaj nacrtta:
**PRIKAZ 3D KONSTRUKCIJE -
POGLED SA SJEVEROZAPADA**

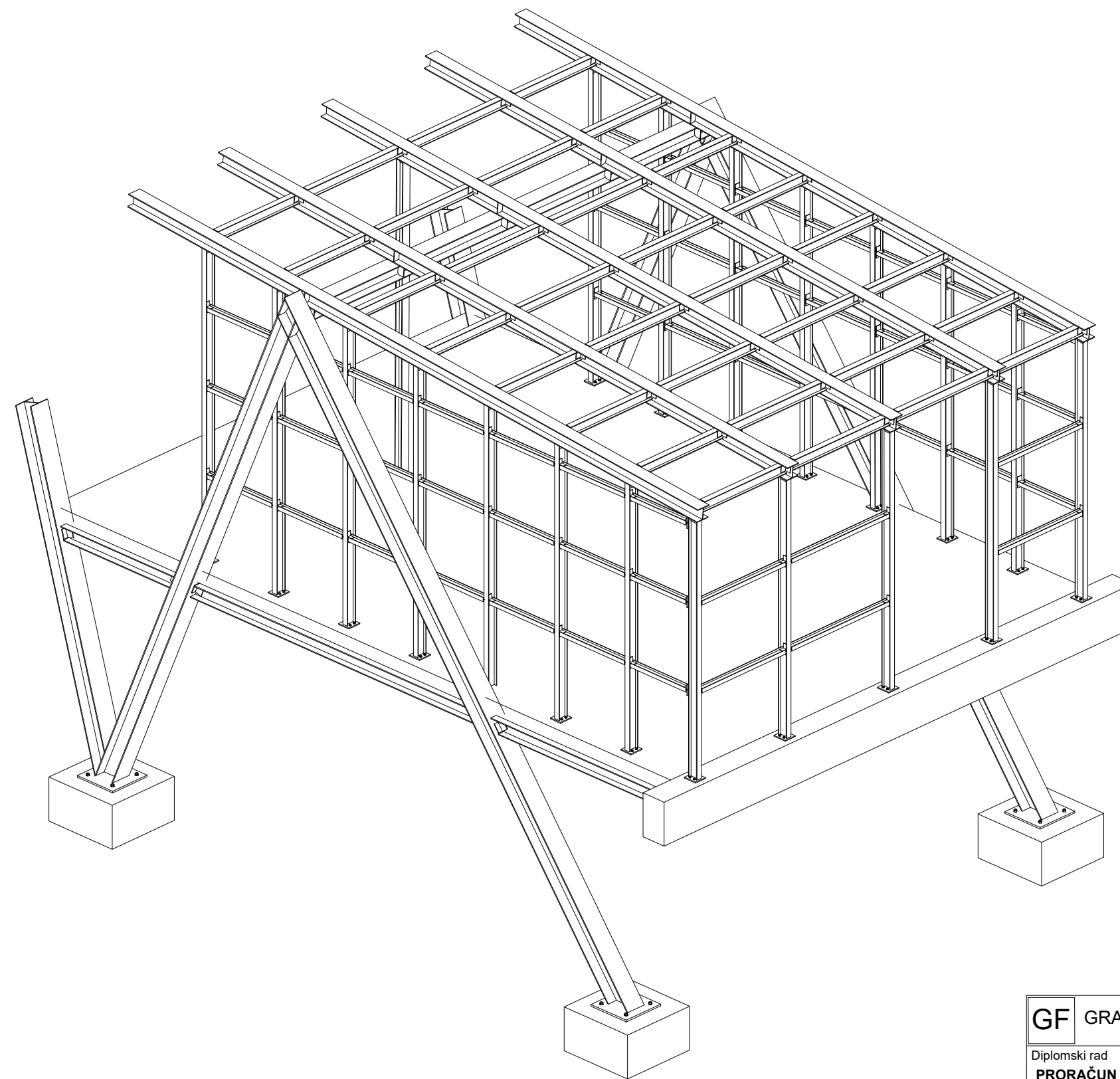
Student:
Natali Lanča

Kolegiji:
Lagane konstrukcije

Mentor:
doc. dr. sc. Paulina Krolo

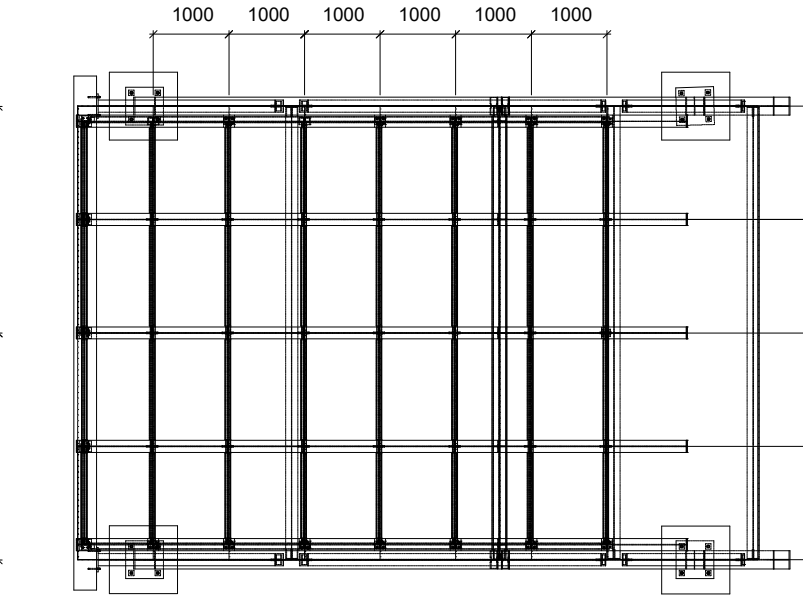
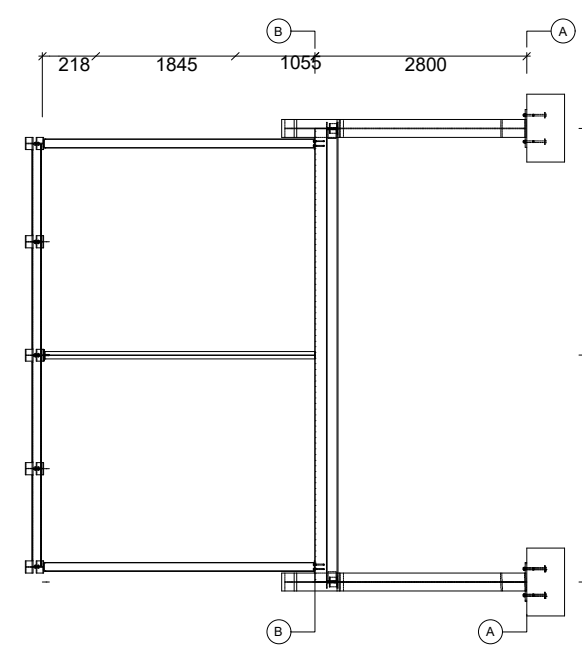
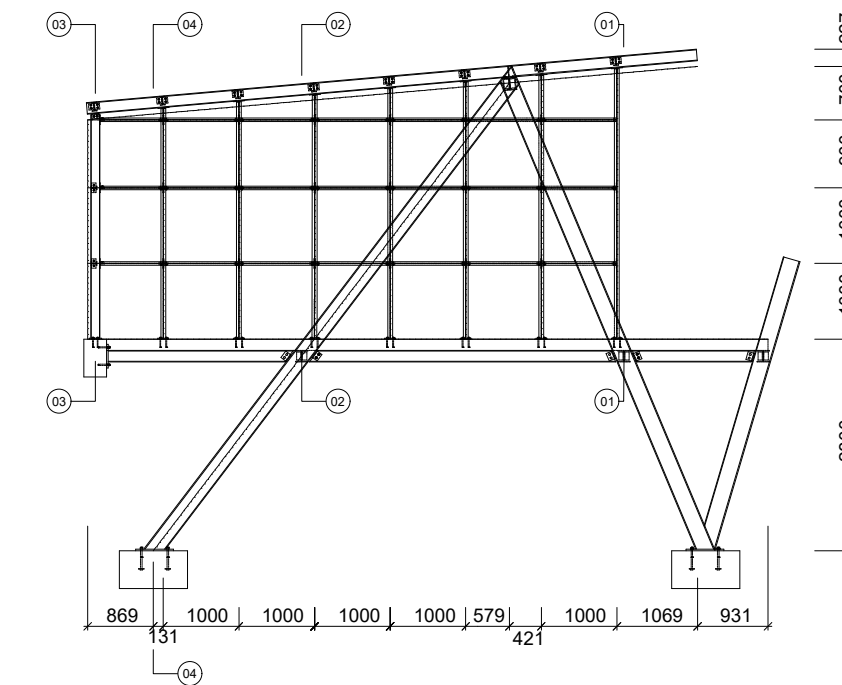
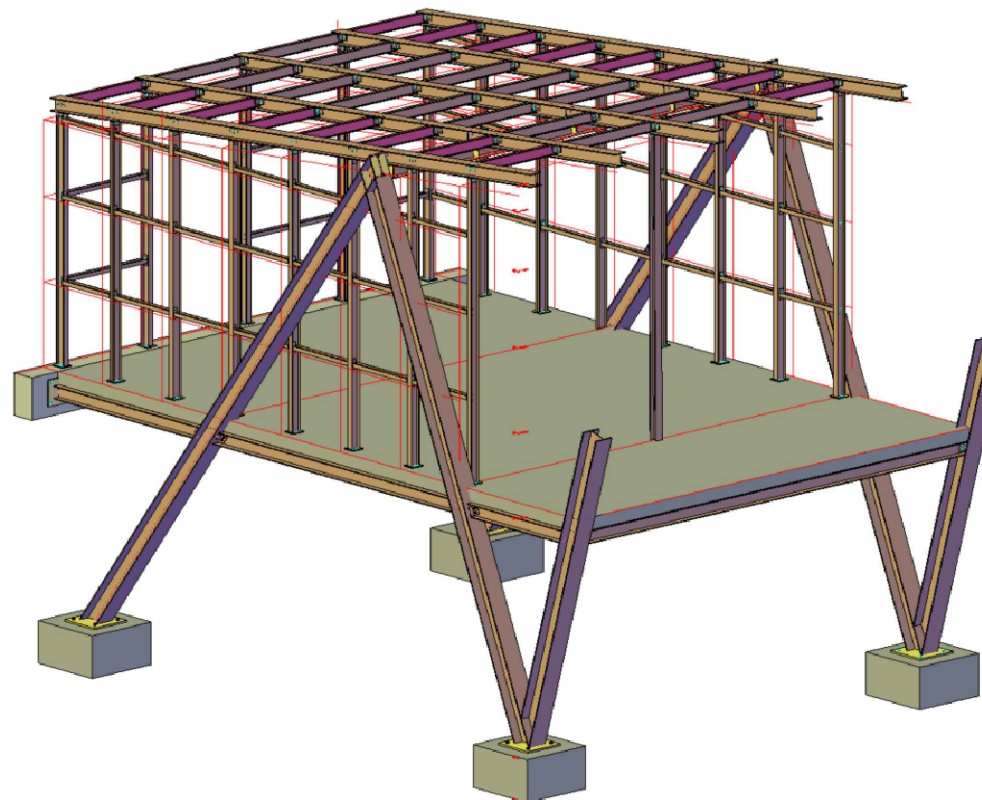
Datum: **VII 2021.** Mjerilo: **/** List: **1**

Prikaz modela - jugoistok



| | | |
|---|--|----------------------|
| GF GRAĐEVINSKI FAKULTET, SVEUČILIŠTE U RIJECI | | |
| Diplomski rad PRORAČUN ČELIČNE KONSTRUKCIJE VIKENDICE I USPOREDBA S VIKENDICOM KLASIČNE GRADNJE | Sadržaj nacrta: PRIKAZ 3D KONSTRUKCIJE - POGLED S JUGOISTOKA | |
| Student: Natali Lanča | Kolegij: Lagane konstrukcije | |
| Mentor: doc. dr. sc. Paulina Krolo | Datum: VII 2021. | Mjerilo: / |
| | List: 2 | |

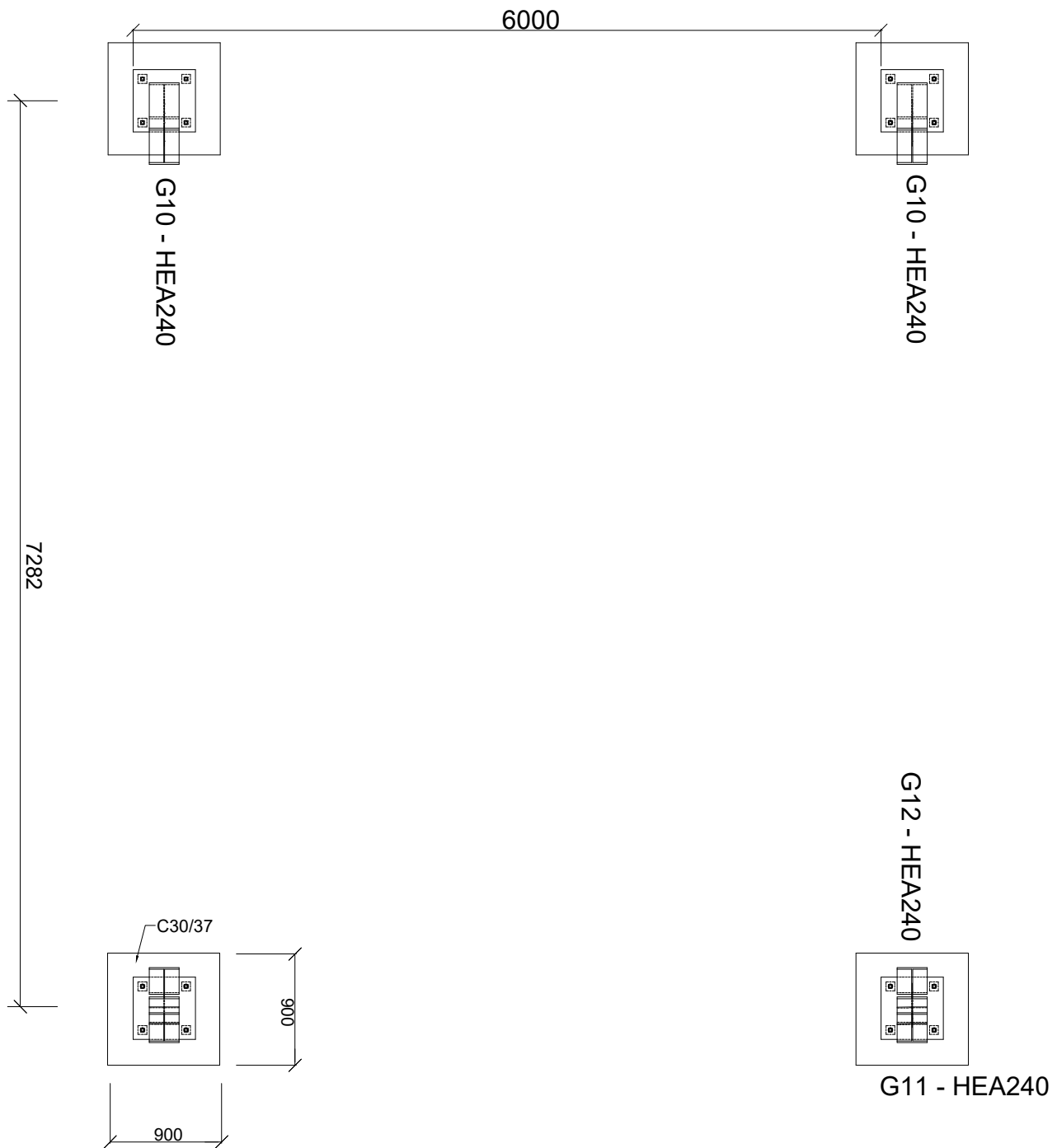
DISPOZICIJA ČELIČNE KONSTRUKCIJE MJ 1:100



| | |
|---|--|
| GF | GRAĐEVINSKI FAKULTET, SVEUČILIŠTE U RIJECI |
| Diplomski rad PRORAČUN ČELIČNE KONSTRUKCIJE VIKENDICE I USPOREDBA S VIKENDICOM KLASIČNE GRADNJE | Sadržaj nacrta: DISPOZICIJA ČELIČNE KONSTRUKCIJE |
| Student: Natali Lanča | Kolegij: Lagane konstrukcije |
| Mentor: doc. dr. sc. Paulina Krolo | Datum: Mjerilo: VII 2021. 1:100 |
| | List: 3 |

HORIZONTALNI PRESJEK A - A

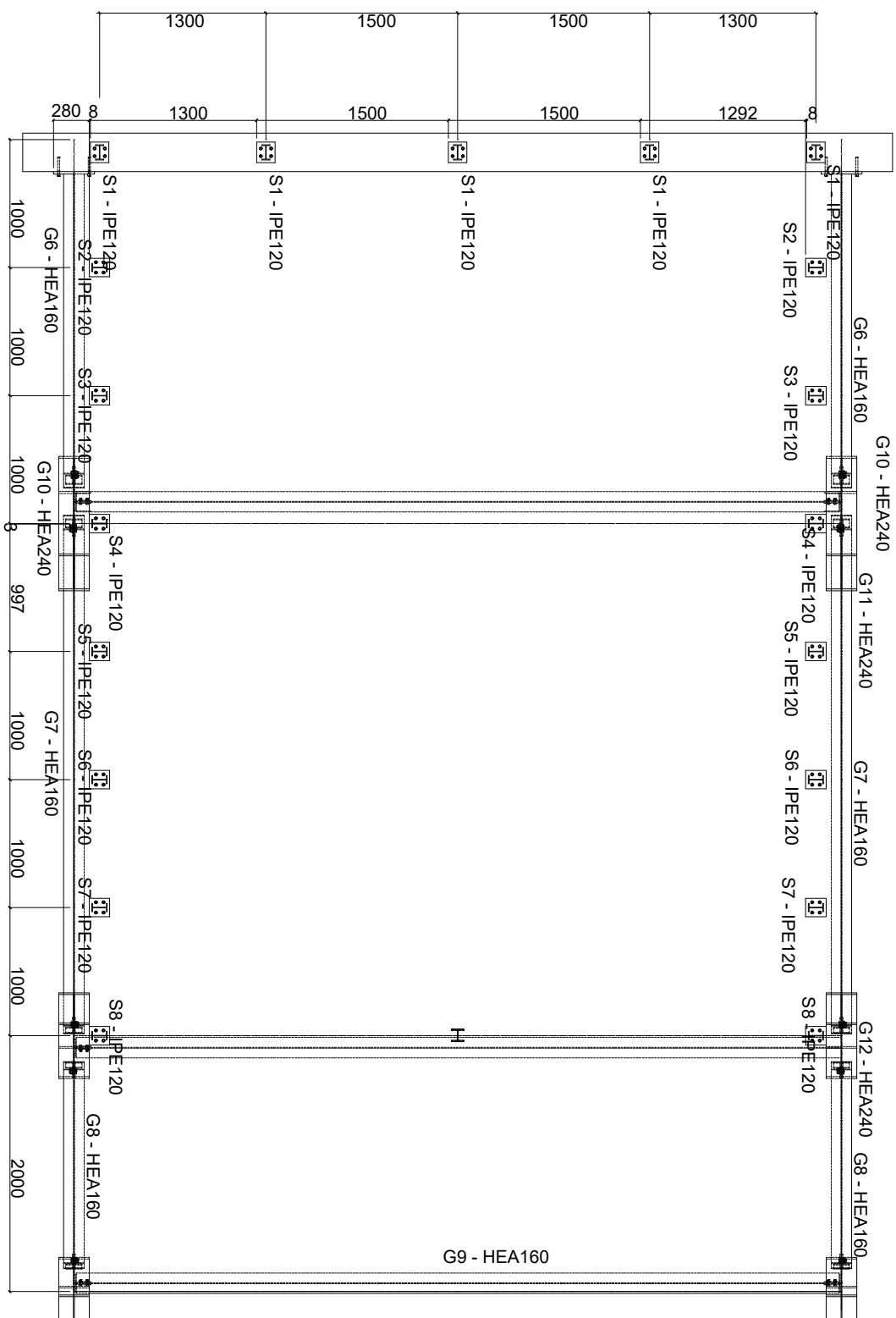
MJ 1:50



| | | | |
|---|--|-------------------------|-------------------|
| GF | GRAĐEVINSKI FAKULTET, SVEUČILIŠTE U RIJECI | | |
| Diplomski rad PRORAČUN ČELIČNE KONSTRUKCIJE VIKENDICE I USPOREDBA S VIKENDICOM KLASIČNE GRADNJE | Sadržaj nacrta: HORIZONTALNI PRESJEK A-A | | |
| Student: Natali Lanča | Kolegij: Lagane konstrukcije | | |
| Mentor: doc. dr. sc. Paulina Krolo | Datum: VII 2021. | Mjerilo: 1:50 | List: 4 |

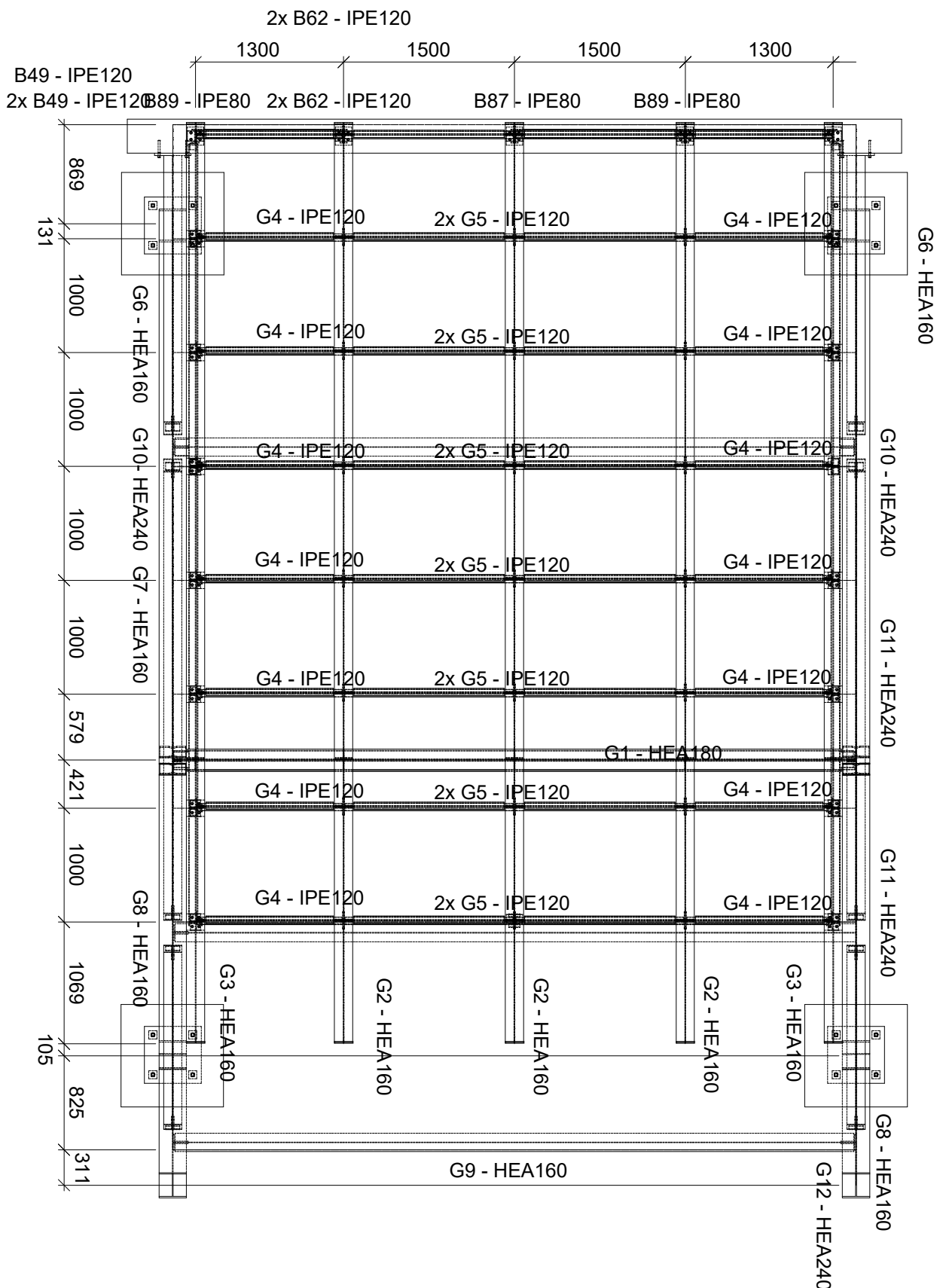
HORIZONTALNI PRESJEK B - B

MJ 1:50



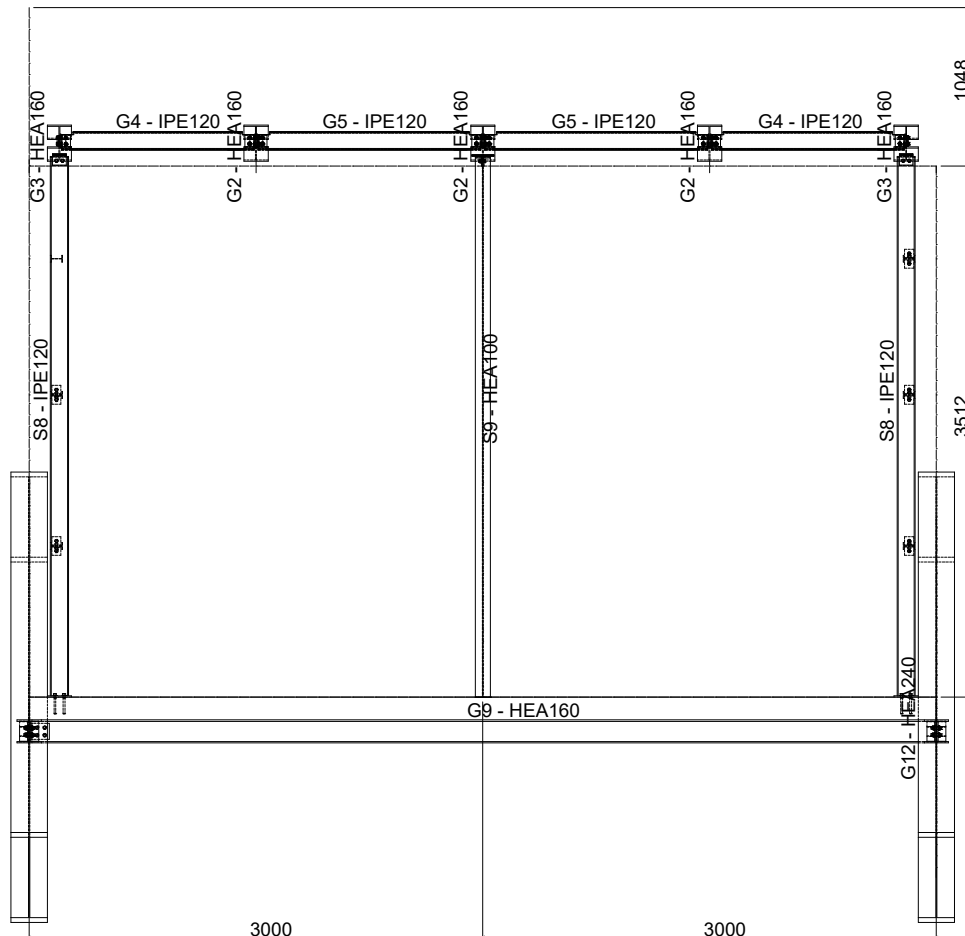
| | | |
|---|--|-------------------------|
| GF | GRAĐEVINSKI FAKULTET, SVEUČILIŠTE U RIJECI | |
| Diplomski rad PRORAČUN ČELIČNE KONSTRUKCIJE VIKENDICE I USPOREDBA S VIKENDICOM KLASIČNE GRADNJE | Sadržaj nacrta: HORIZONTALNI PRESJEK B-B | |
| Student: Natali Lanča | Kolegij: Lagane konstrukcije | |
| Mentor: doc. dr. sc. Paulina Krolo | Datum: VII 2021. | Mjerilo: 1:50 |
| | List: 5 | |

KROVNI PRESJEK MJ 1:50



POPREČNI PRESJEK 01 - 01

MJ 1:50



GRAĐEVINSKI FAKULTET, SVEUČILIŠTE U RIJECI

Diplomski rad
**PRORAČUN ČELIČNE
KONSTRUKCIJE VIKENDICE I
USPOREDBA S VIKENDICOM
KLASIČNE GRADNJE**

Sadržaj nacrta:
POPREČNI PRESJEK 01-01

Student:
Natali Lanča

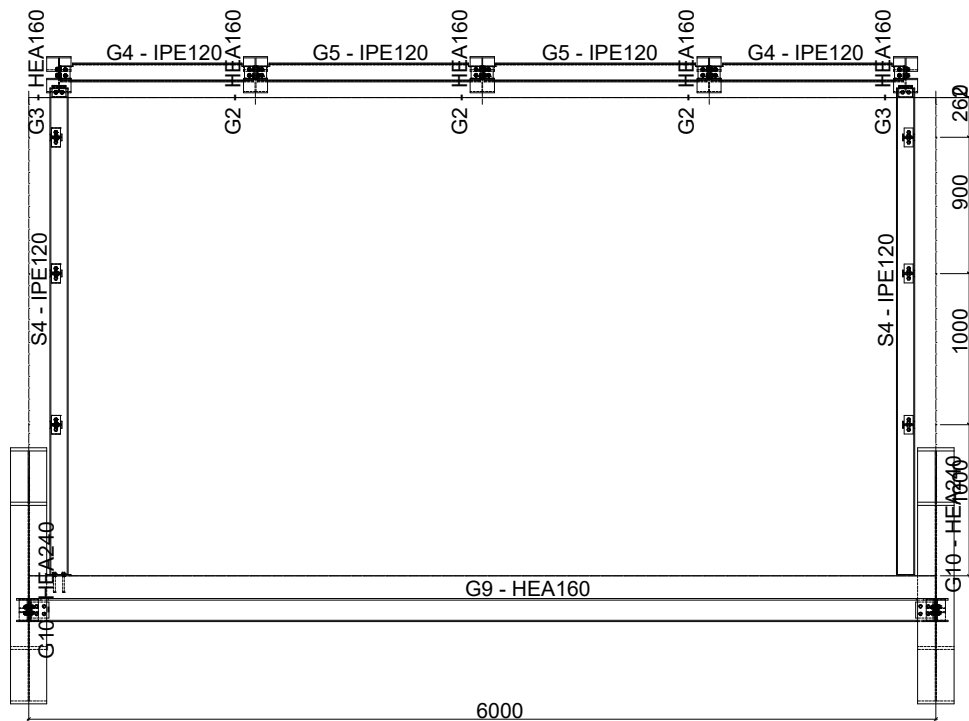
Kolegij:
Lagane konstrukcije

Mentor:
doc. dr. sc. Paulina Krolo

Datum: **VII 2021.** Mjerilo: **1:50** List: **7**

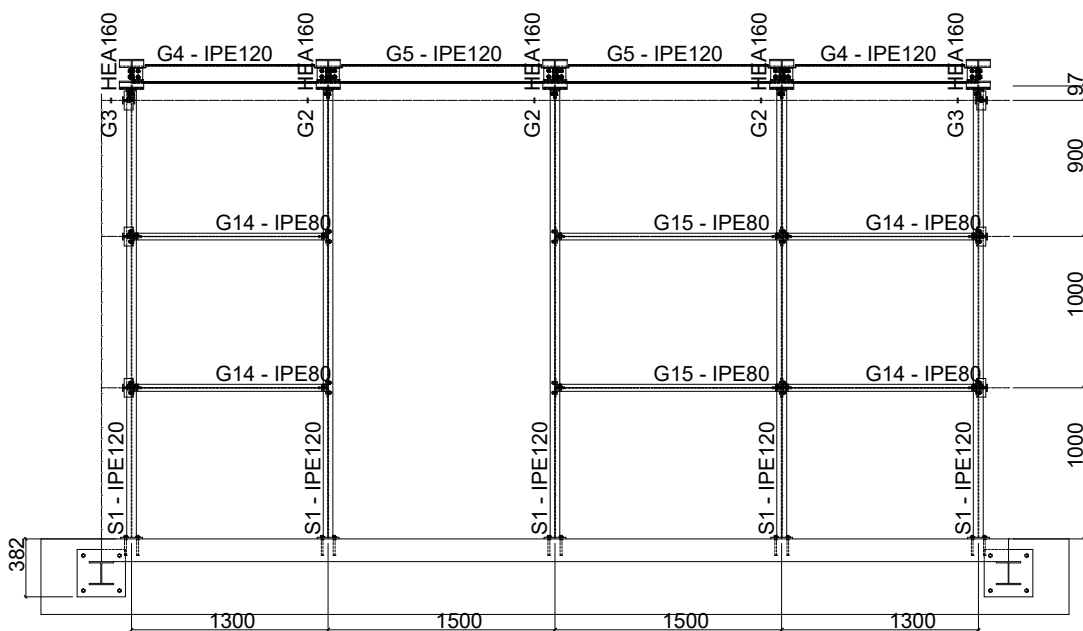
POPREČNI PRESJEK 02 - 02

MJ 1:50



POPREČNI PRESJEK 03 - 03

MJ 1:50

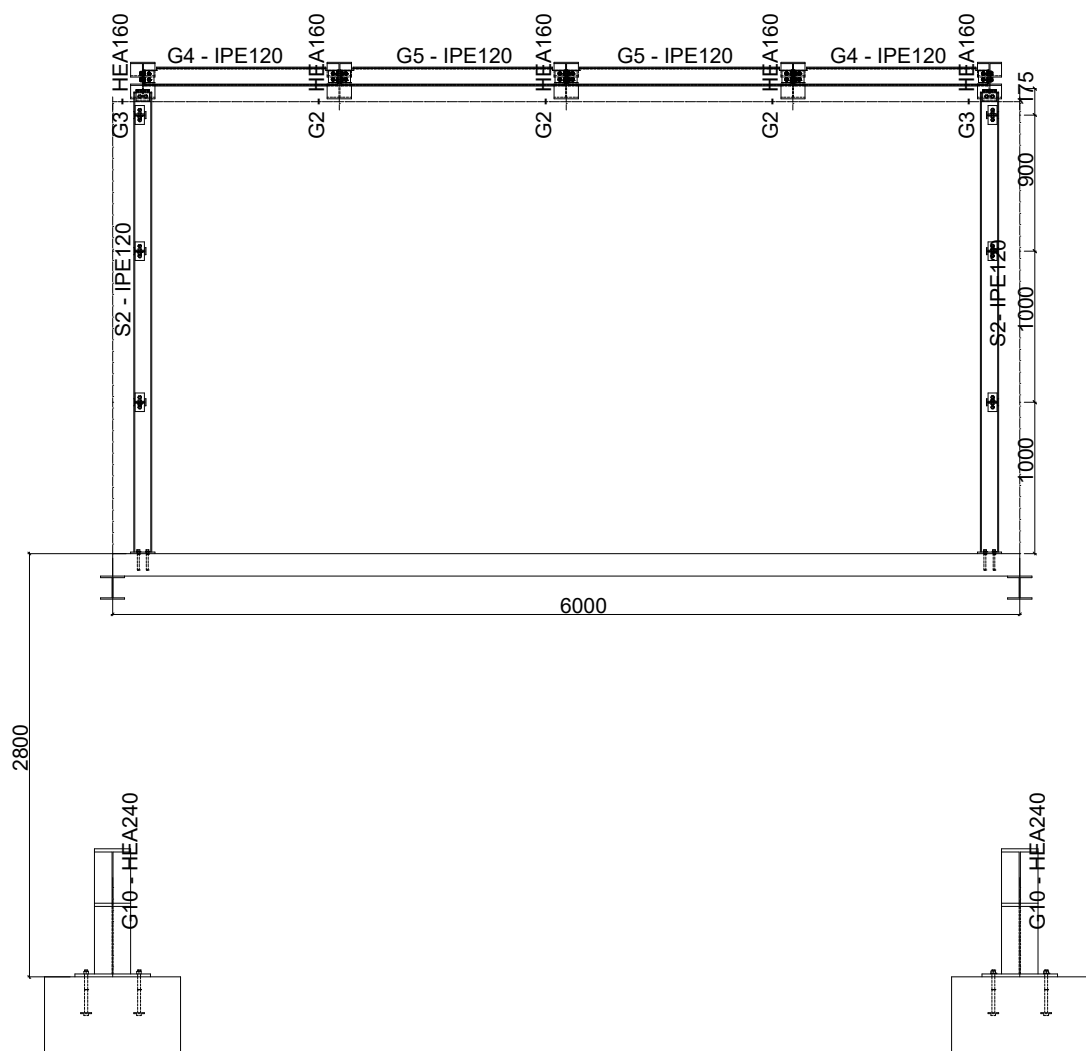


GRAĐEVINSKI FAKULTET, SVEUČILIŠTE U RIJECI

| | |
|---|---|
| Diplomski rad PRORAČUN ČELIČNE KONSTRUKCIJE VIKENDICE I USPOREDBA S VIKENDICOM KLASIČNE GRADNJE | Sadržaj nacrta: POPREČNI PRESJECI 02-02 I 03-03 |
| Student: Natali Lanča | Kolegij: Lagane konstrukcije |
| Mentor: doc. dr. sc. Paulina Krolo | Datum: VII 2021. Mjerilo: 1:50 List: 8 |

POPREČNI PRESJEK 04 - 04

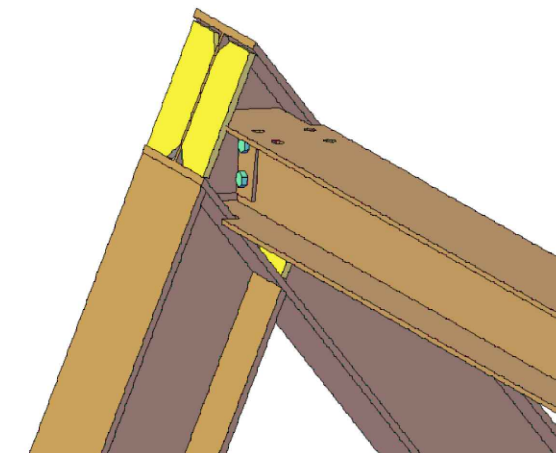
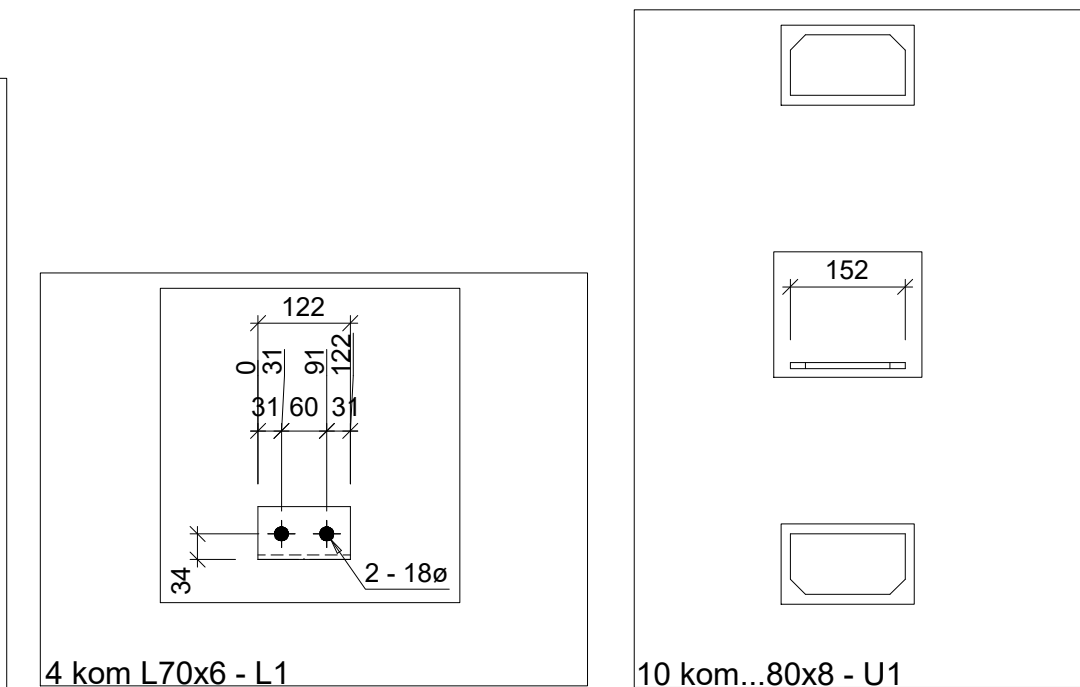
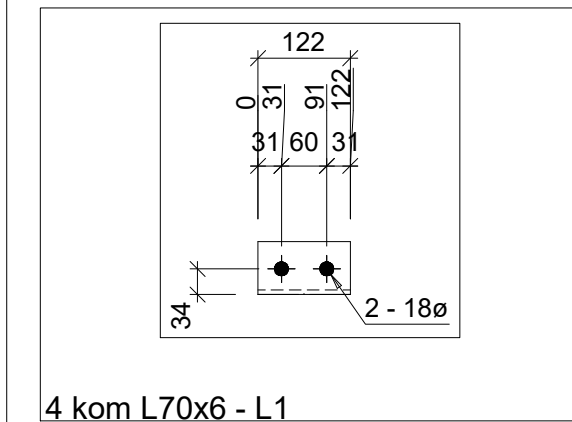
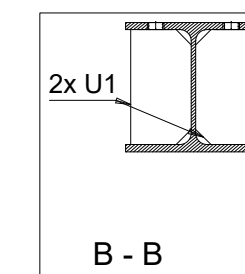
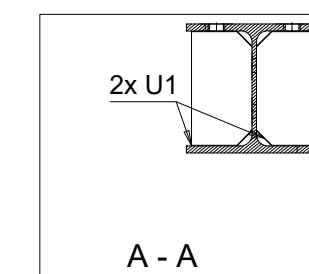
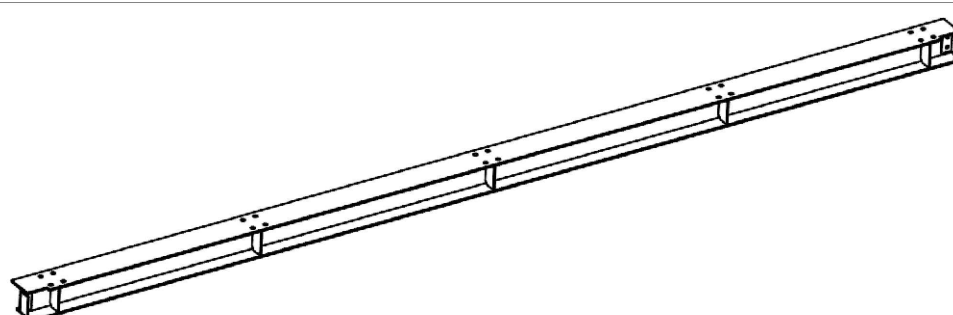
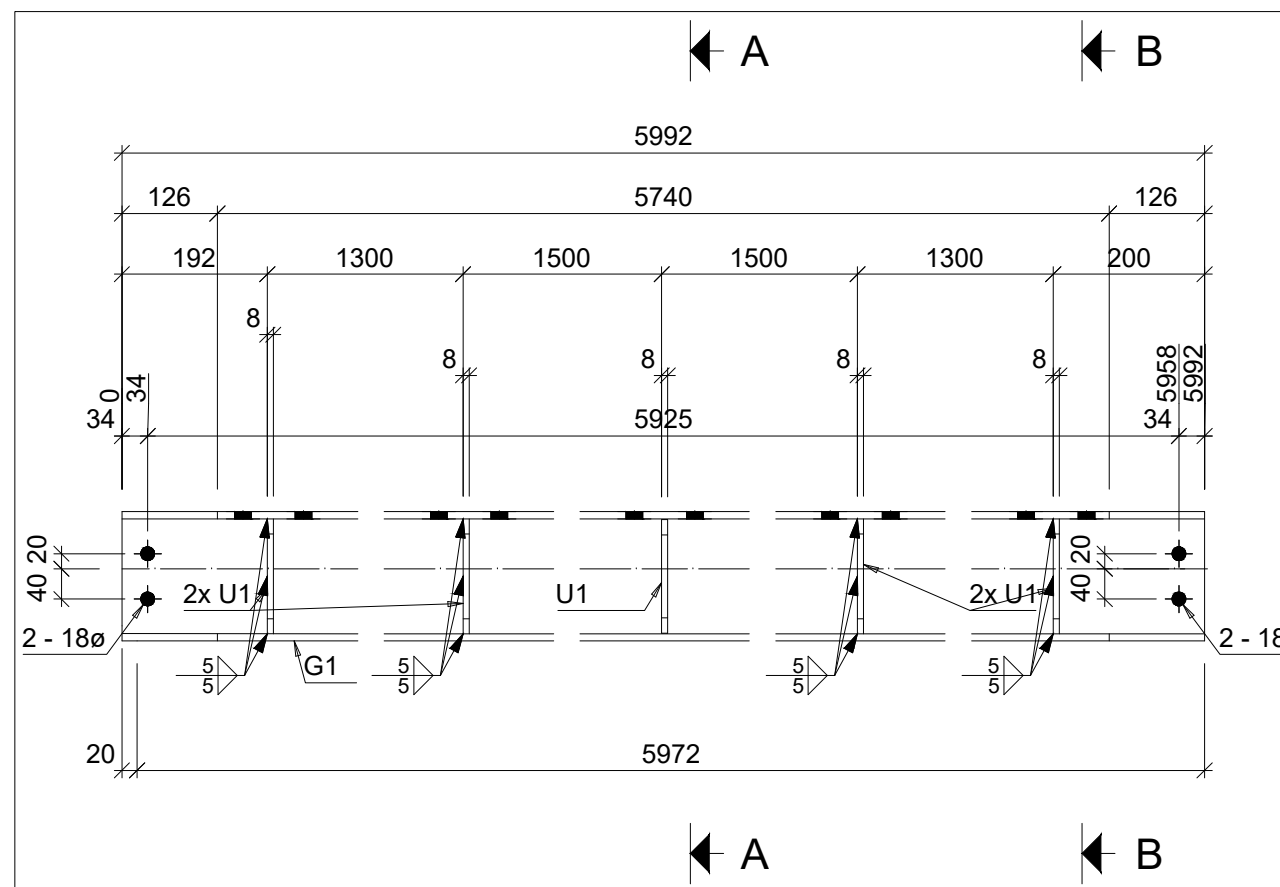
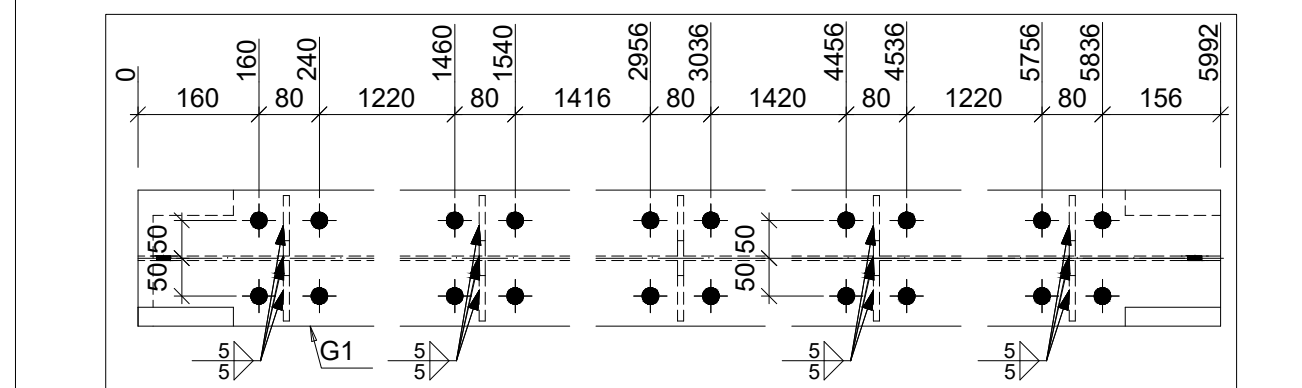
MJ 1:50



| | | |
|---|--|-------------------------|
| GF | GRAĐEVINSKI FAKULTET, SVEUČILIŠTE U RIJECI | |
| Diplomski rad PRORAČUN ČELIČNE KONSTRUKCIJE VIKENDICE I USPOREDBA S VIKENDICOM KLASIČNE GRADNJE | Sadržaj nacrta: POPREČNI PRESJEK 04-04 | |
| Student: Natali Lanča | Kolegij: Lagane konstrukcije | |
| Mentor: doc. dr. sc. Paulina Krolo | Datum: VII 2021. | Mjerilo: 1:50 |
| | List: 9 | |

KROVNI POPREČNI NOSAČ G1 (HEA180)

MJ 1:10



GF GRAĐEVINSKI FAKULTET, SVEUČILIŠTE U RIJECI

Diplomski rad
PRORAČUN ČELIČNE KONSTRUKCIJE VIKENDICE I USPOREDBA S VIKENDICOM KLASIČNE GRADNJE

Student:
Natali Lanča

Sadržaj nacrta:
KROVNI POPREČNI NOSAČ G1 S ISKAZOM MATERIJALA U SPOJEVIMA

Kolegij:
Lagane konstrukcije

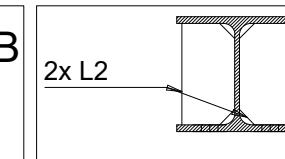
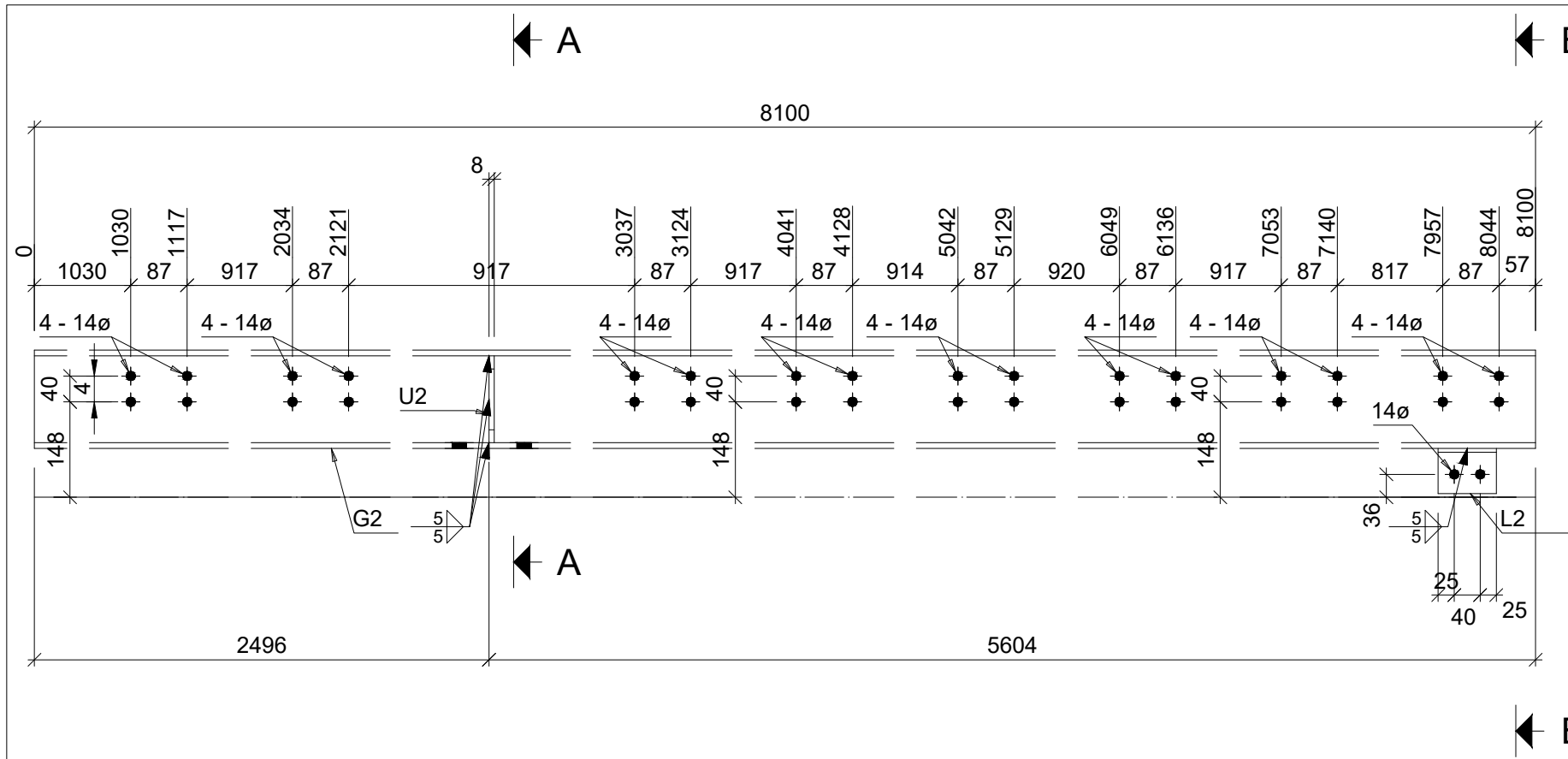
Mentor:
doc. dr. sc. Paulina Krolo

Datum: **VII 2021.** Mjerilo: **1:10** List: **10**

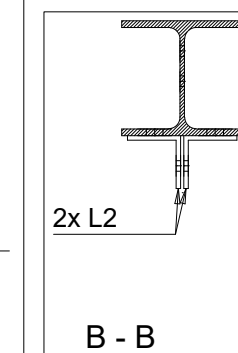
KROVNI UZDUŽNI NOSAČI - UNUTARNJI G2 (HEA160)

MJ 1:10

10 kom M12 x 30 5.8. - V2

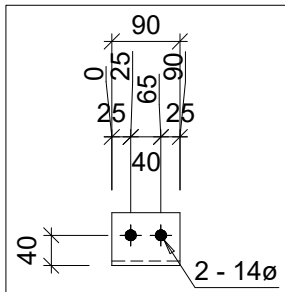


A - A

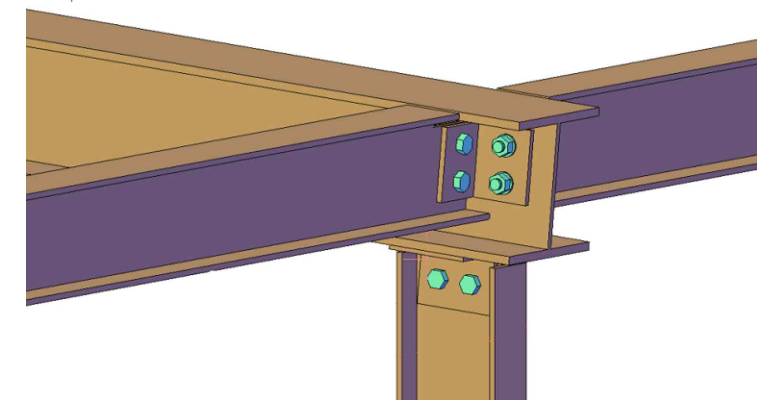
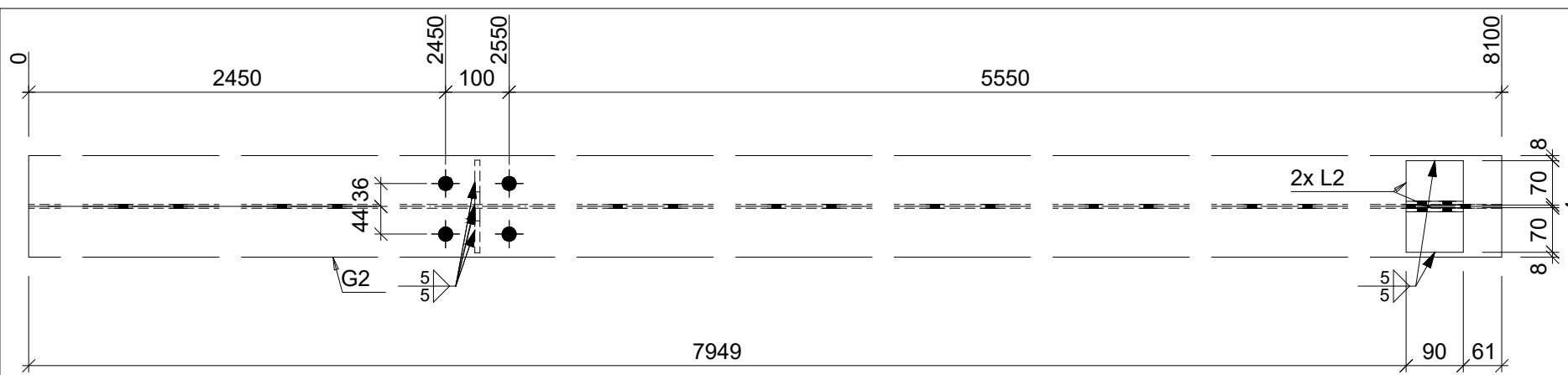


B - B

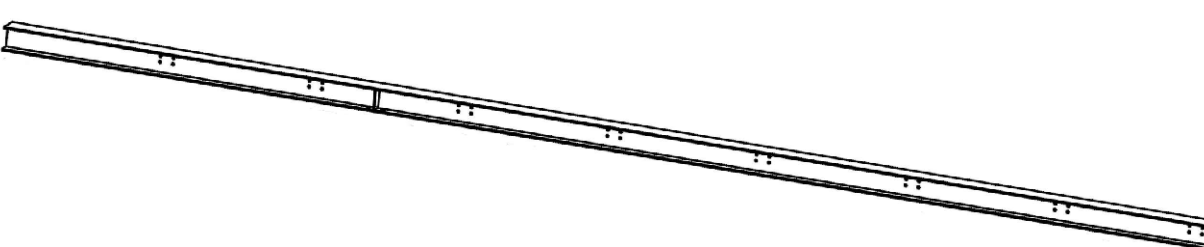
10 kom 70X8 - U2



10 kom L70X6 - L2



3 kom HEA160 ... G2



GF GRAĐEVINSKI FAKULTET, SVEUČILIŠTE U RIJECI

Diplomski rad
PRORAČUN ČELIČNE KONSTRUKCIJE VIKENDICE I USPOREDBA S VIKENDICOM KLASIČNE GRADNJE

Student:
Natali Lanča

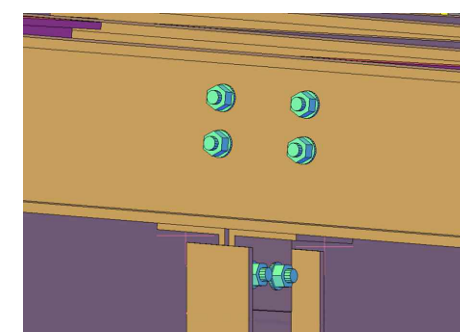
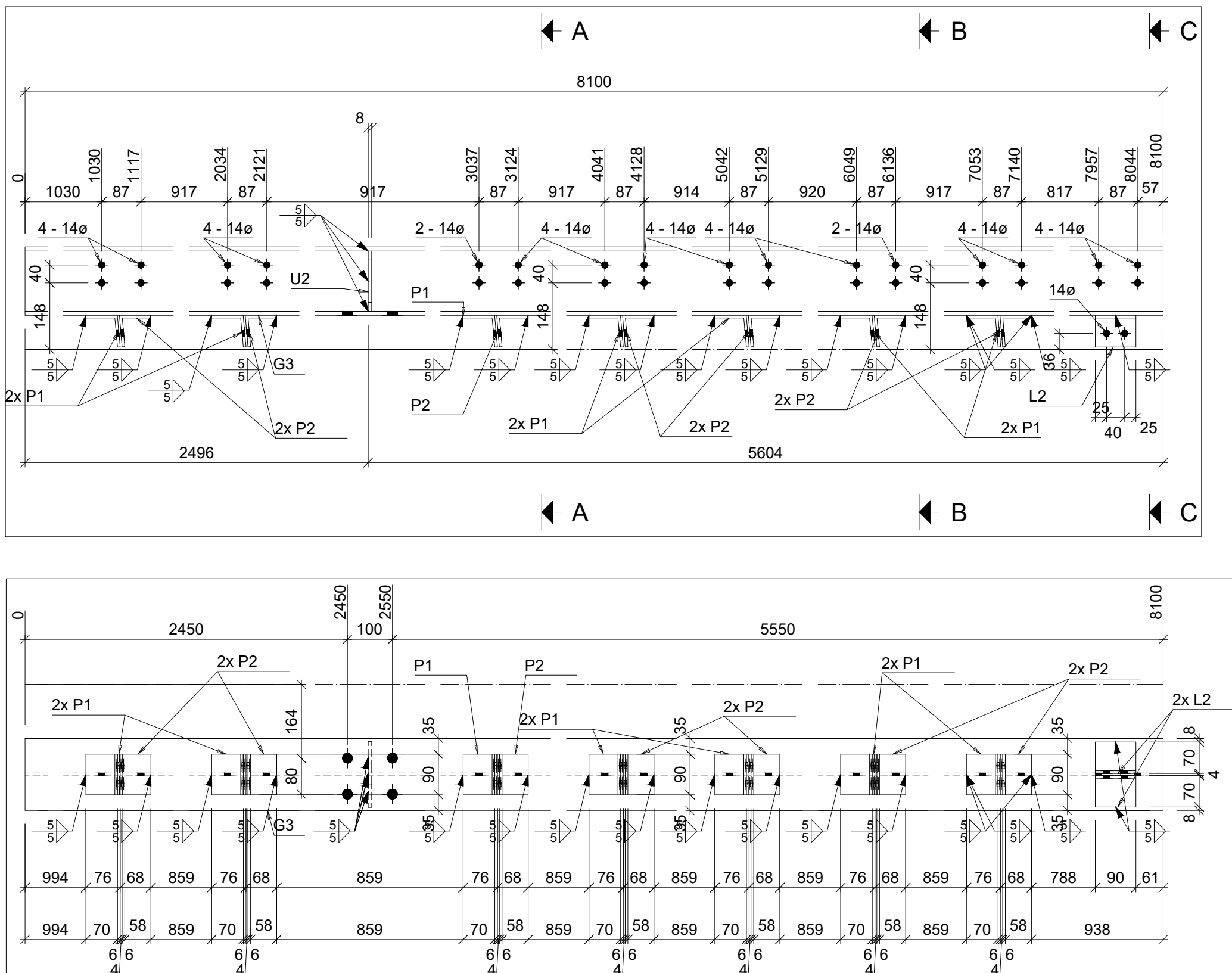
Mentor:
doc. dr. sc. Paulina Krolo

Sadržaj nacrta:
KROVNI UNUTARNJI UZDUŽNI NOSAČI G2 S ISKAZOM MATERIJALA U SPOJEVIMA

Kolegij:
Lagane konstrukcije

Datum: **VII 2021.** Mjerilo: **1:10** List: **11**

KROVNI UZDUŽNI NOSAČI - RUBNI G3 (HEA160) MJ 1:10



GF GRAĐEVINSKI FAKULTET, SVEUČILIŠTE U RIJECI

Diplomski rad

**PRORAČUN ČELIČNE
KONSTRUKCIJE VIKENDICE I
USPOREDBA S VIKENDICOM
KLASIČNE GRADNJE**

Student:
Natali Lanča

Mentor:

Sadržaj nacrtu:

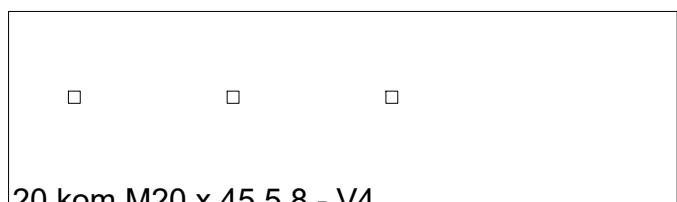
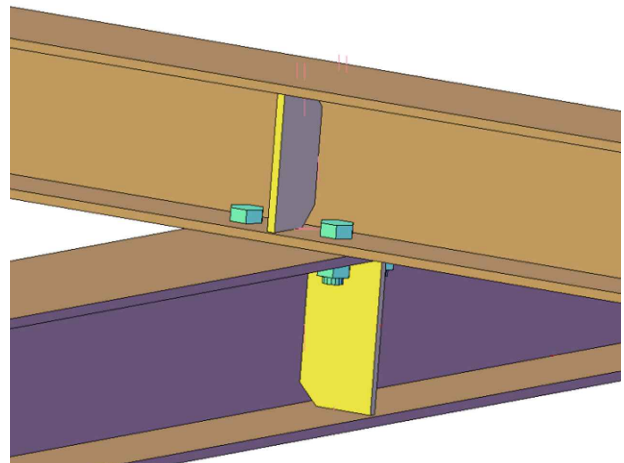
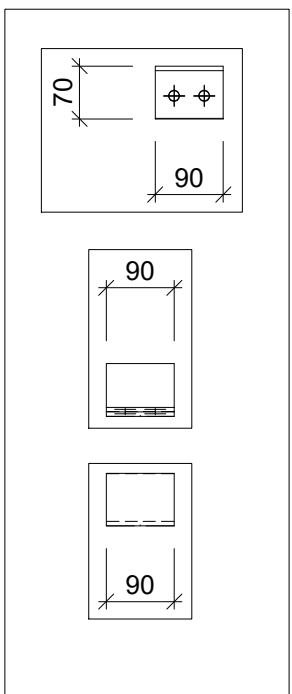
**KROVNI RUBNI UZDUŽNI NOSAČI
G3 S ISKAZOM MATERIJALA U
SPOJEVIMA**

Kolegij: **Lagane konstrukcije**

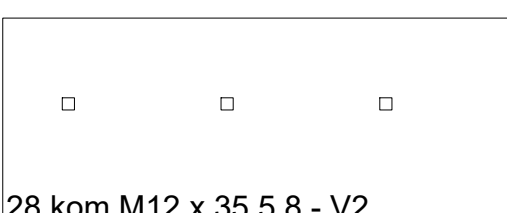
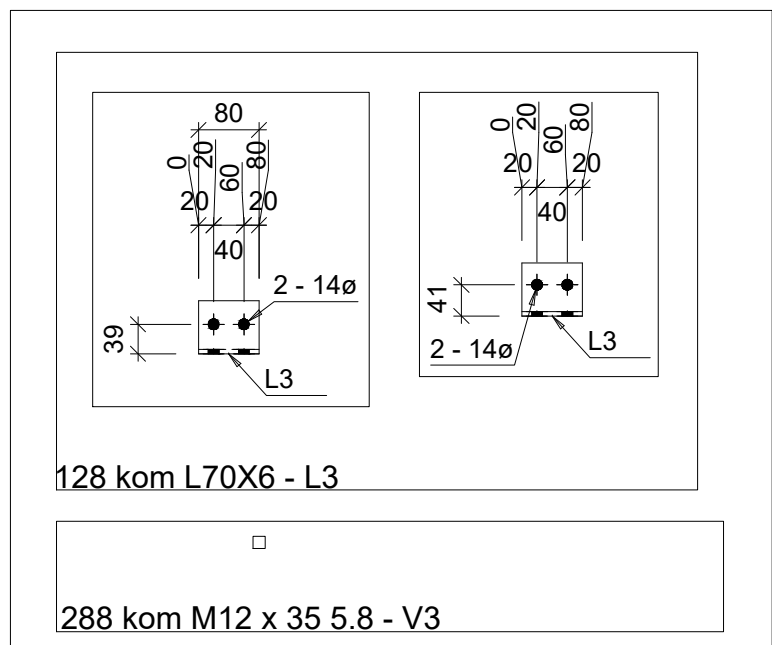
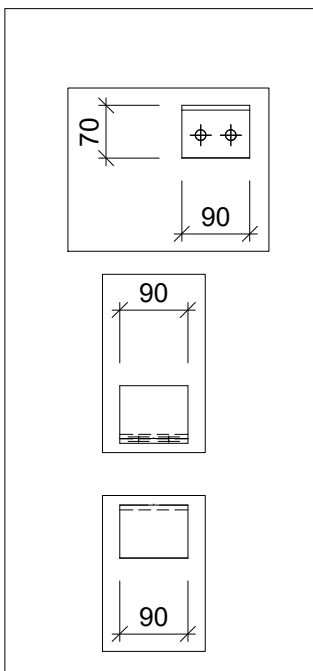
| | | |
|------------------|-------------|-----------|
| Datum: | Mjerilo: | List: |
| VII 2021. | 1:10 | 12 |

KROVNI UZDUŽNI NOSAČI - RUBNI G3 (HEA160) MJ 1:10

14 kom PL6x90x133.45 - P2



14 kom 6x90x134.5 - P1



GF GRAĐEVINSKI FAKULTET, SVEUČILIŠTE U RIJECI

Diplomski rad

**PRORAČUN ČELIĆNE
KONSTRUKCIJE VIKENDICE I
USPOREDBA S VIKENDICOM
KLASIČNE GRADNJE**

Sadržaj nacrtja:

**KROVNI RUBNI UZDUŽNI NOSAČI
G3 S ISKAZOM MATERIJALA U
SPOJEVIMA**

Student:

Natali Lanča

Kolegij:

Lagane konstrukcije

Mentor:

doc. dr. sc. Paulina Krolo

Datum:

VII 2021.

Mjerilo:

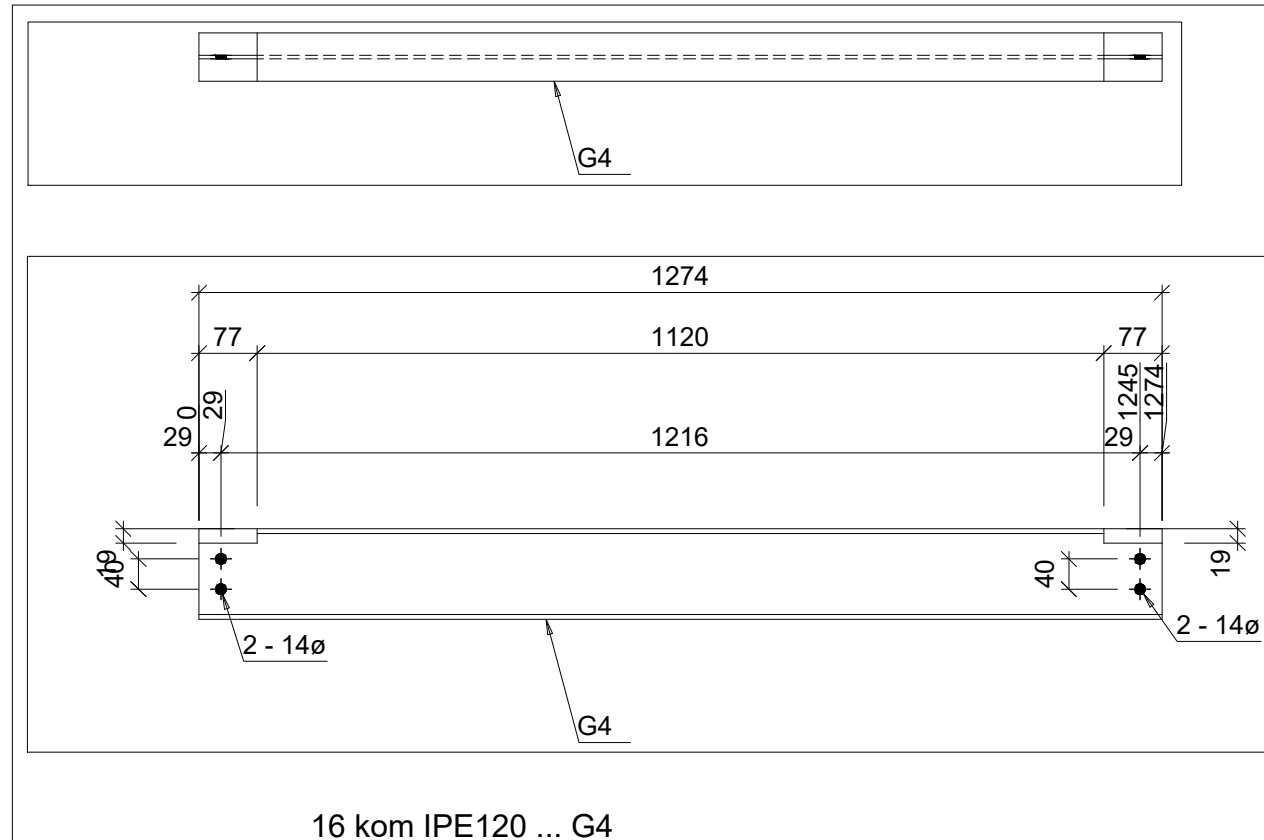
1:10

List:

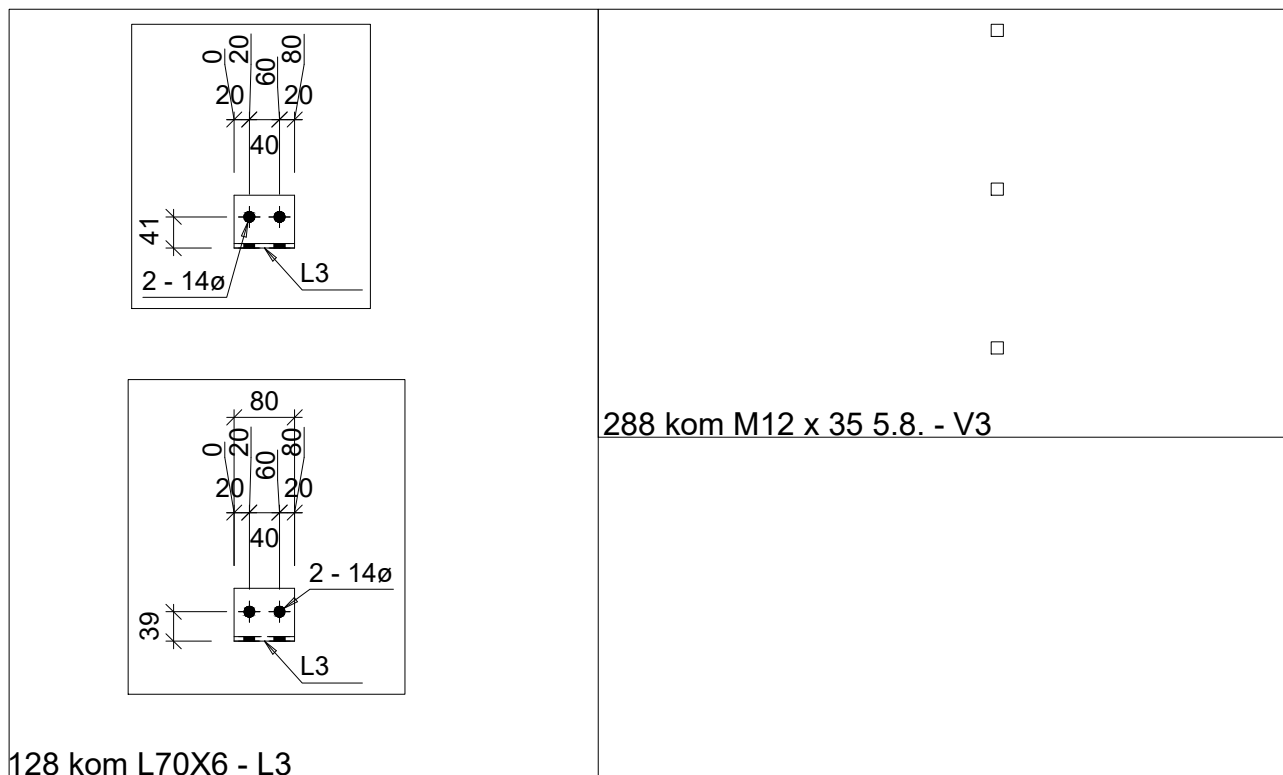
13

**POPREČNI KROVNI NOSAČI (PODROŽNICE) - RUBNE G4
(IPE120)**

MJ 1:10



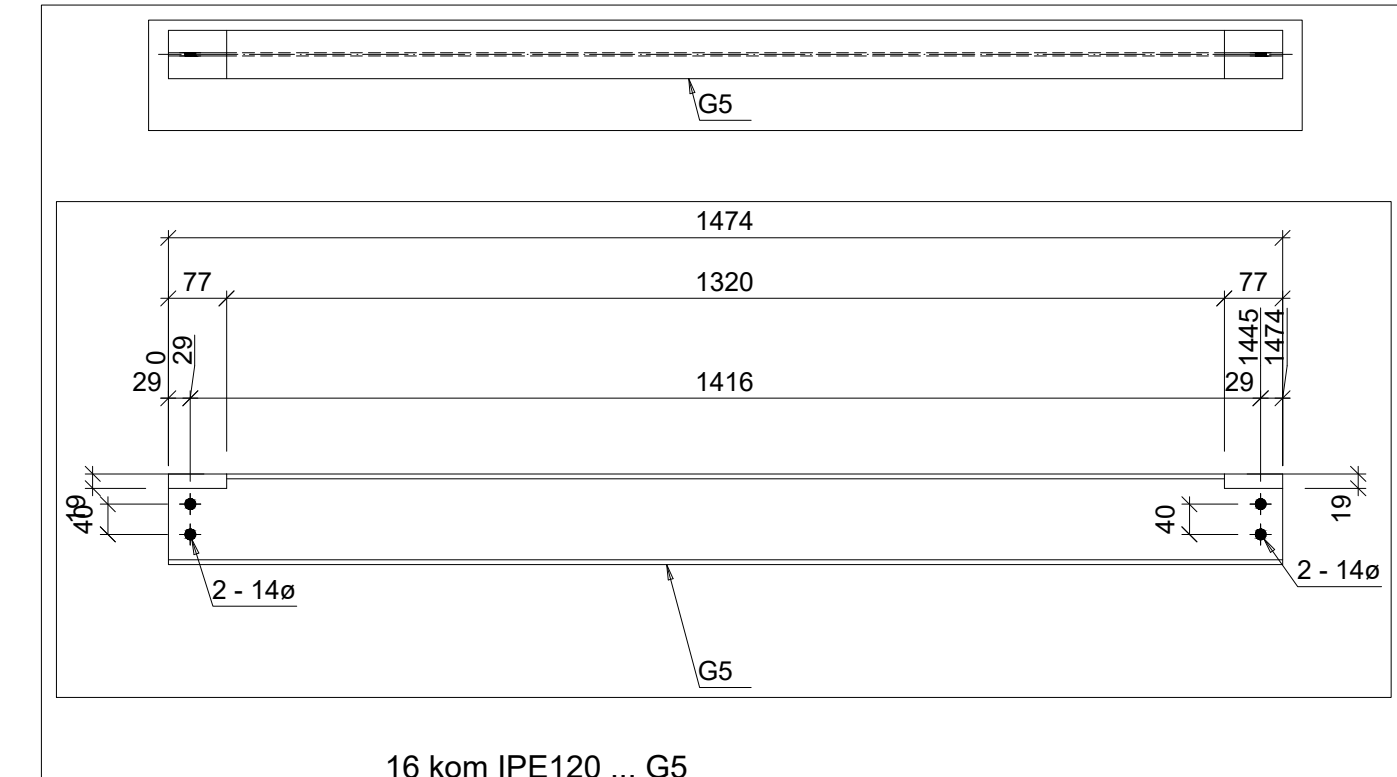
16 kom IPE120 ... G4



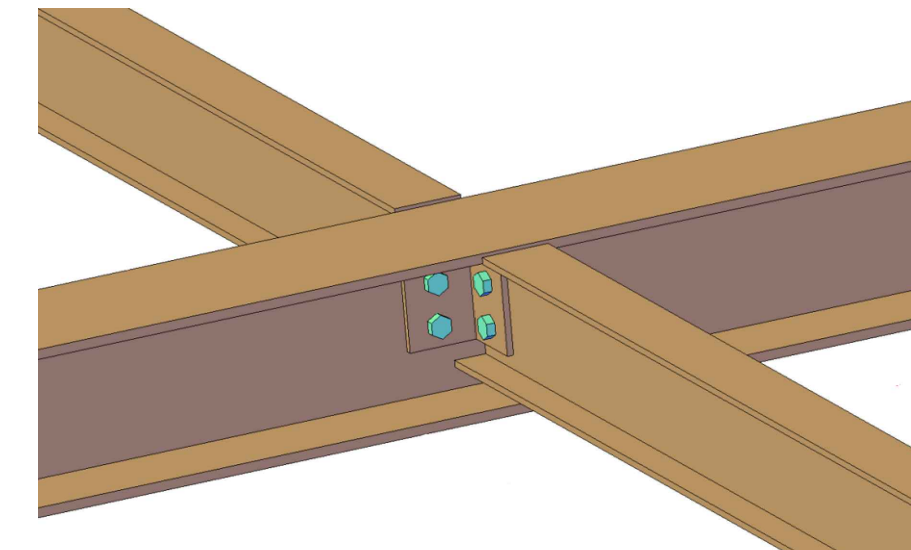
128 kom L70X6 - L3

POPREČNI KROVNI NOSAČI (PODROŽNICE) - UNUTARNJE G5 (IPE120)

MJ 1:10

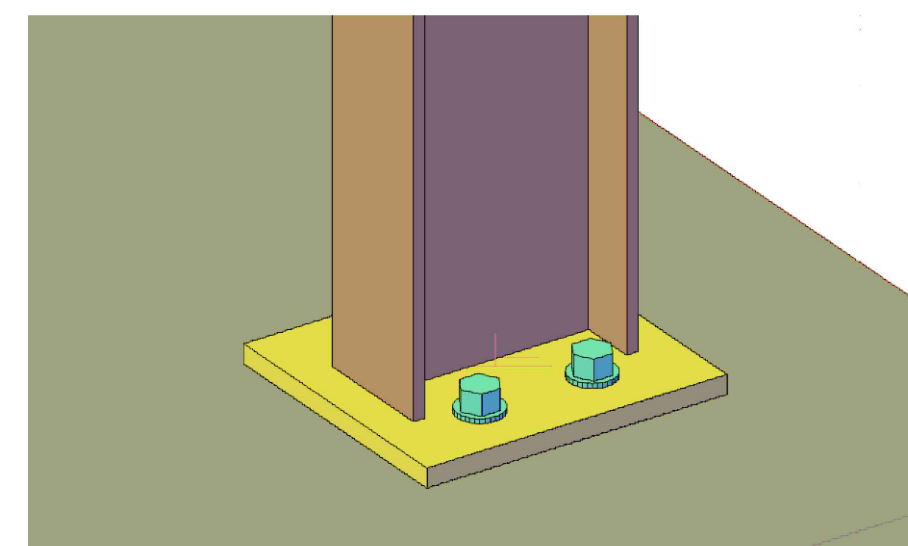
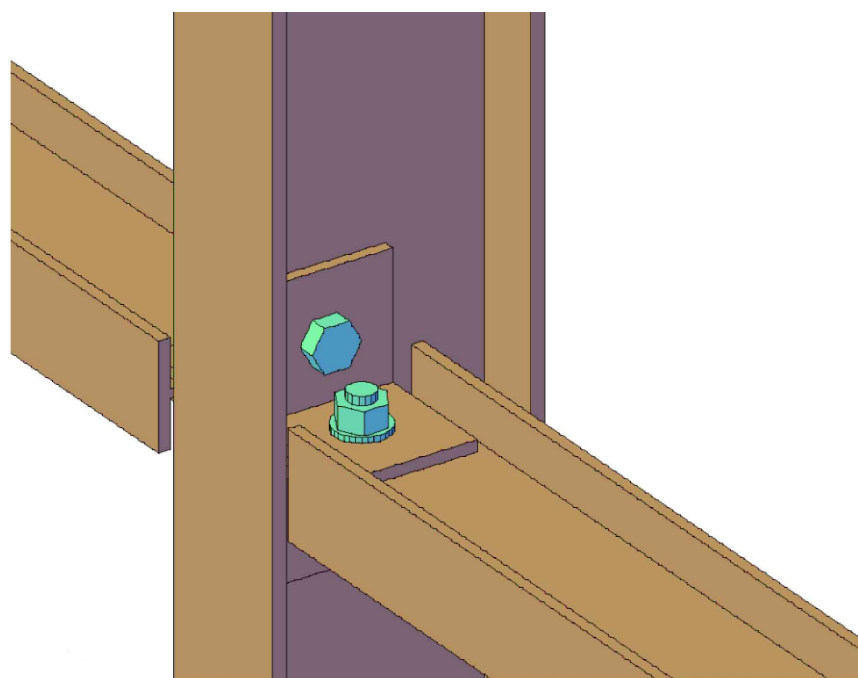
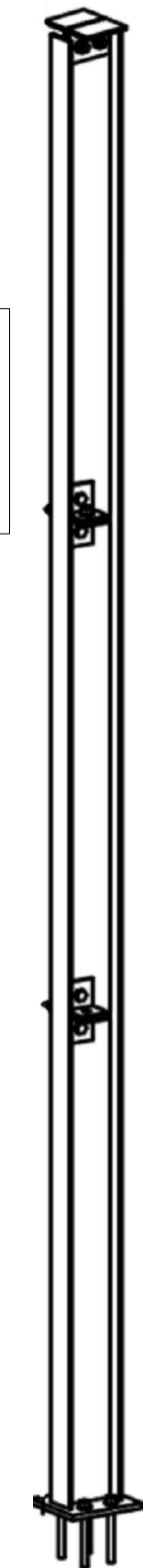
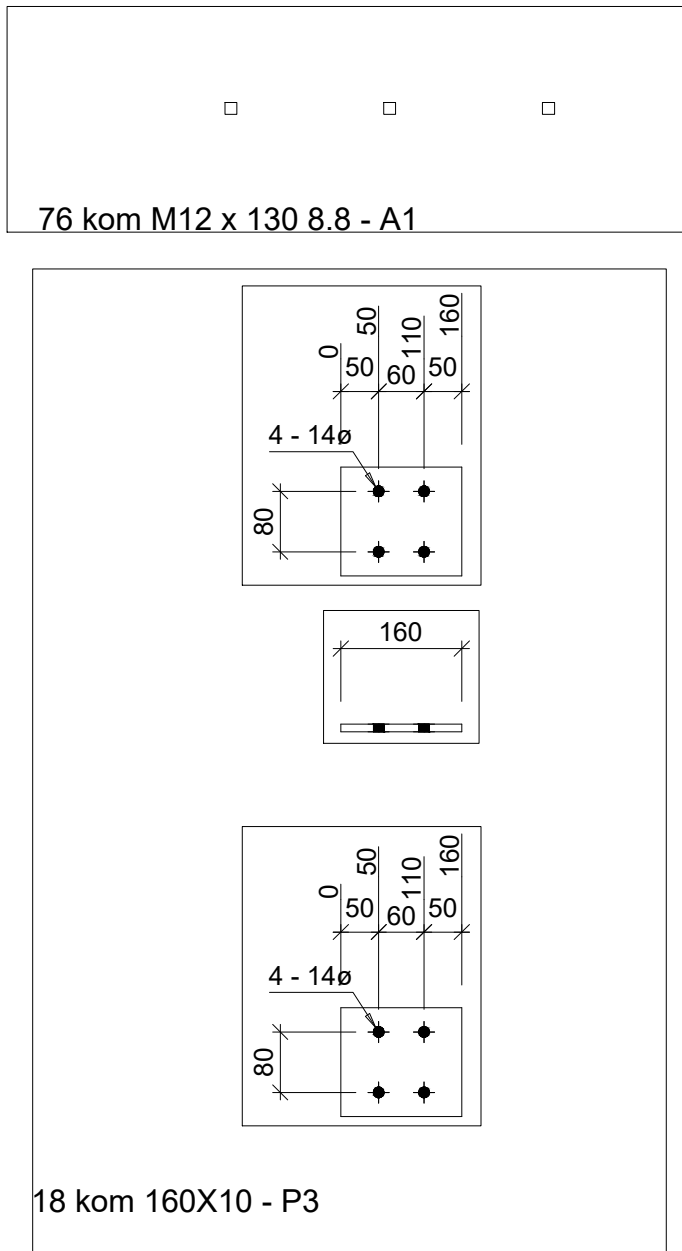
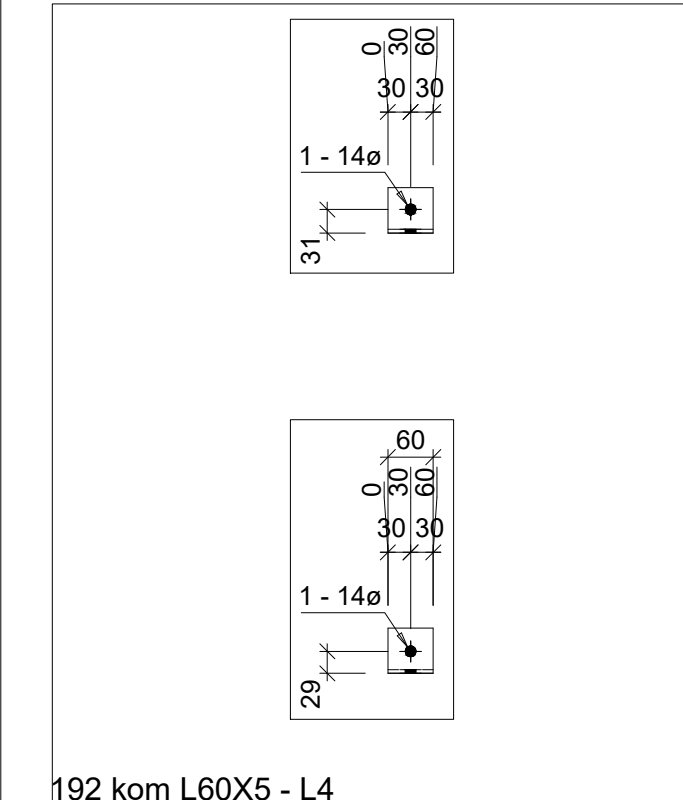
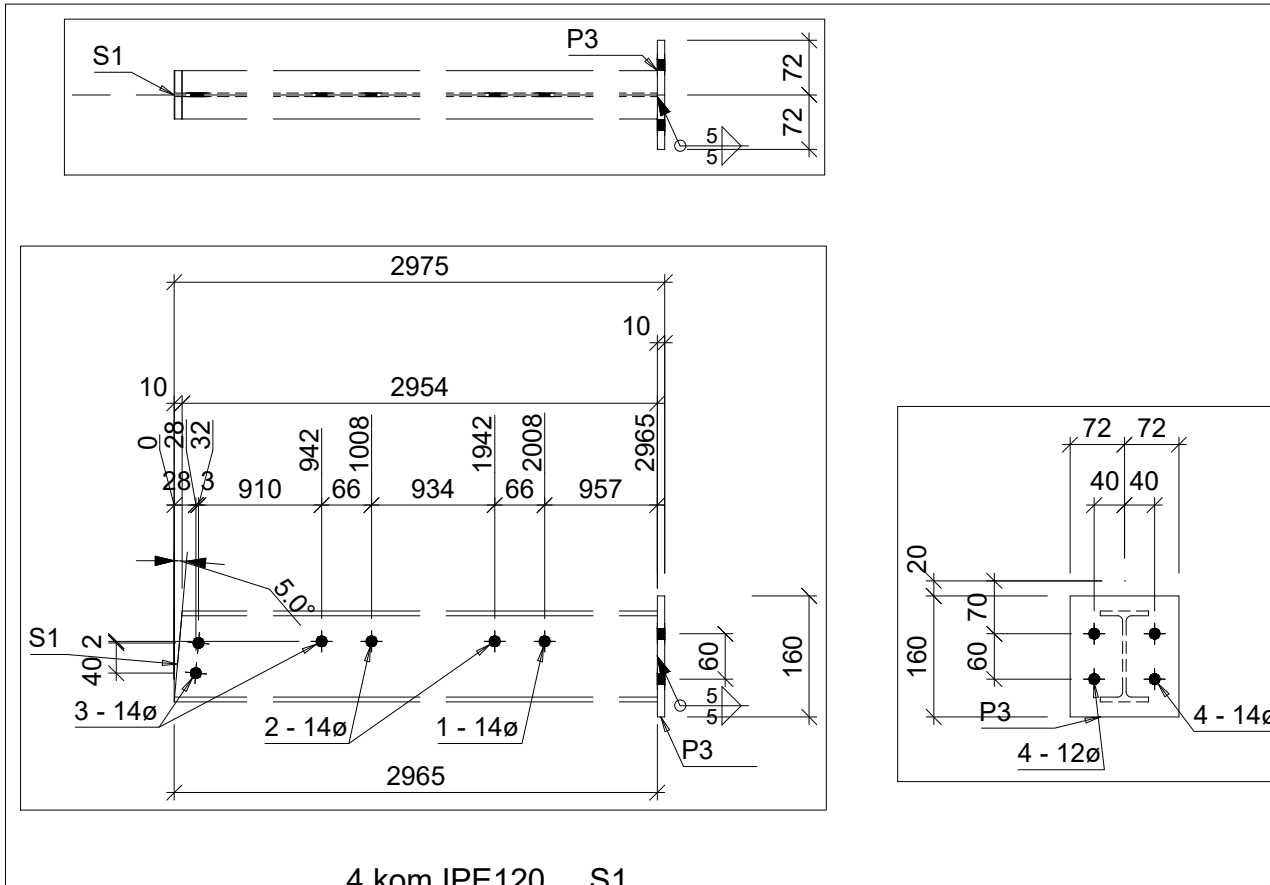


16 kom IPE120 ... G5



STUPOVI S1 - stražnji (IPE120)

MJ 1:10

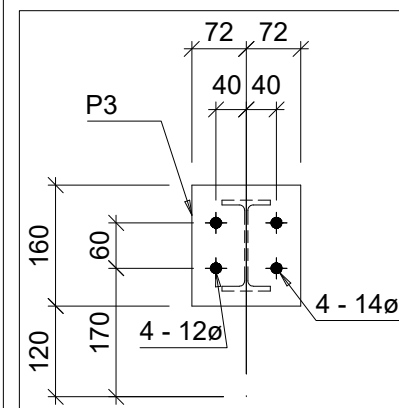
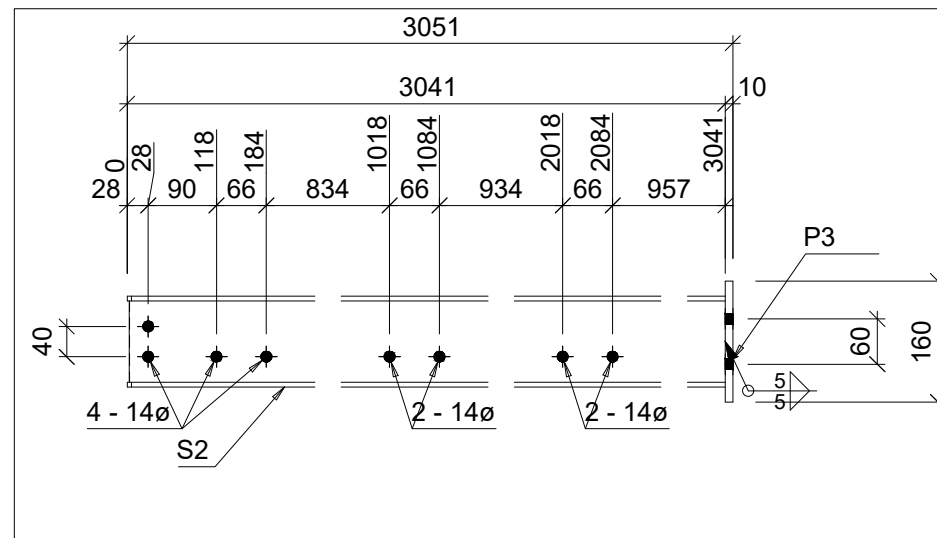
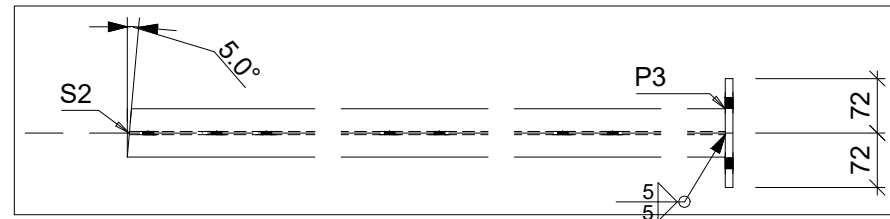


GF GRAĐEVINSKI FAKULTET, SVEUČILIŠTE U RIJECI

| | |
|---|--|
| Diplomski rad PRORAČUN ČELIČNE KONSTRUKCIJE VIKENDICE I USPOREDBA S VIKENDICOM KLASIČNE GRADNJE | Sadržaj nacrta: STUPOVI NOSAČI FASADE (STRAŽNJI - ISTOČNI) S1 S ISKAZOM MATERIJALA |
| Student: Natali Lanča | Kolegij: Lagane konstrukcije |
| Mentor: doc. dr. sc. Paulina Krolo | Datum: VII 2021. Mjerilo: 1:10 List: 15 |

STUPOVI S2 - bočni (IPE120)

MJ 1:10



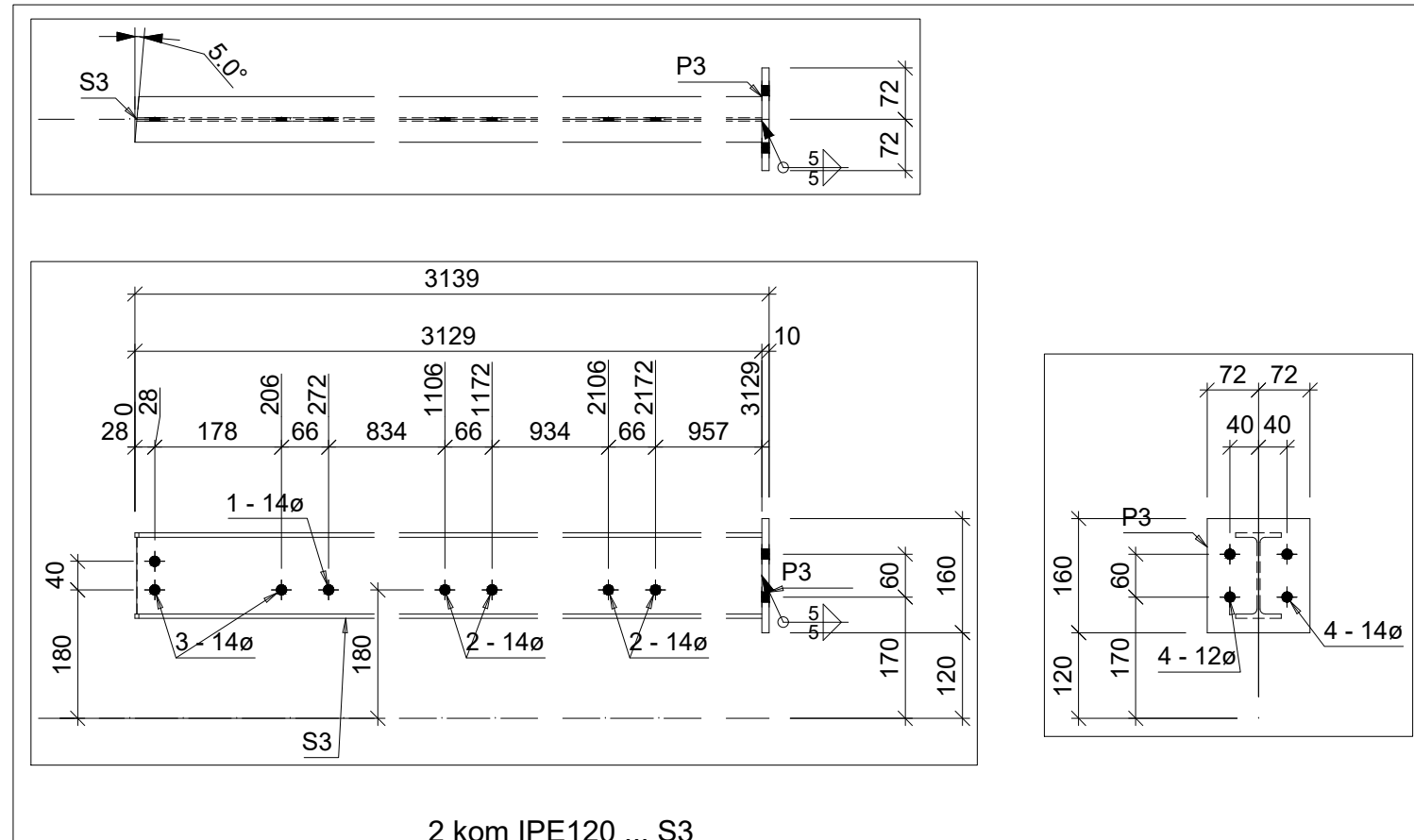
2 kom IPE120 ... S2

GF GRAĐEVINSKI FAKULTET, SVEUČILIŠTE U RIJEKI

| | |
|---|--|
| Diplomski rad PRORAČUN ČELIČNE KONSTRUKCIJE VIKENDICE I USPOREDBA S VIKENDICOM KLASIČNE GRADNJE | Sadržaj načrta: BOĆNI RUBNI STUPOVI S2 (JUŽNI I SJEVERNI) S ISKAZOM MATERIJALA U SPOJEVIMA |
| Student: Natali Lanča | Kolegij: Lagane konstrukcije |
| Mentor: doc. dr. sc. Paulina Krolo | Datum: VII 2021. Mjerilo: 1:10 List: 16 |

STUPOVI S3 - bočni (IPE120)

MJ 1:10

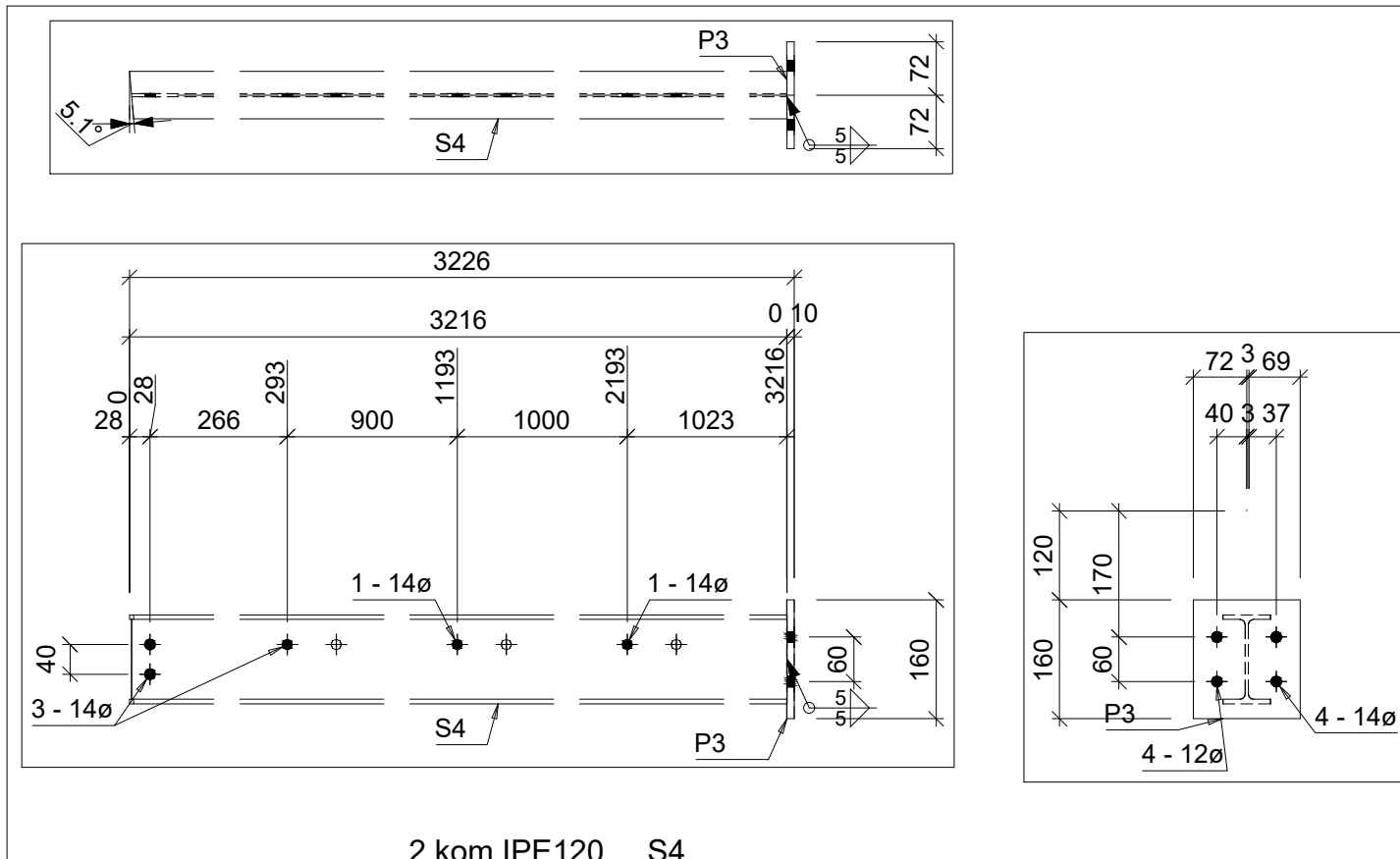


GF GRAĐEVINSKI FAKULTET, SVEUČILIŠTE U RIJEKI

| | |
|---|--|
| Diplomski rad PRORAČUN ČELIČNE KONSTRUKCIJE VIKENDICE I USPOREDBA S VIKENDICOM KLASIČNE GRADNJE | Sadržaj načrta: BOĆNI RUBNI STUPOVI S3 (JUŽNI I SJEVERNI) S ISKAZOM MATERIJALA U SPOJEVIMA |
| Student: Natali Lanča | Kolegij: Lagane konstrukcije |
| Mentor: doc. dr. sc. Paulina Krolo | Datum: VII 2021. Mjerilo: 1:10 List: 17 |

STUPOVI S4 - bočni (IPE120)

MJ 1:10



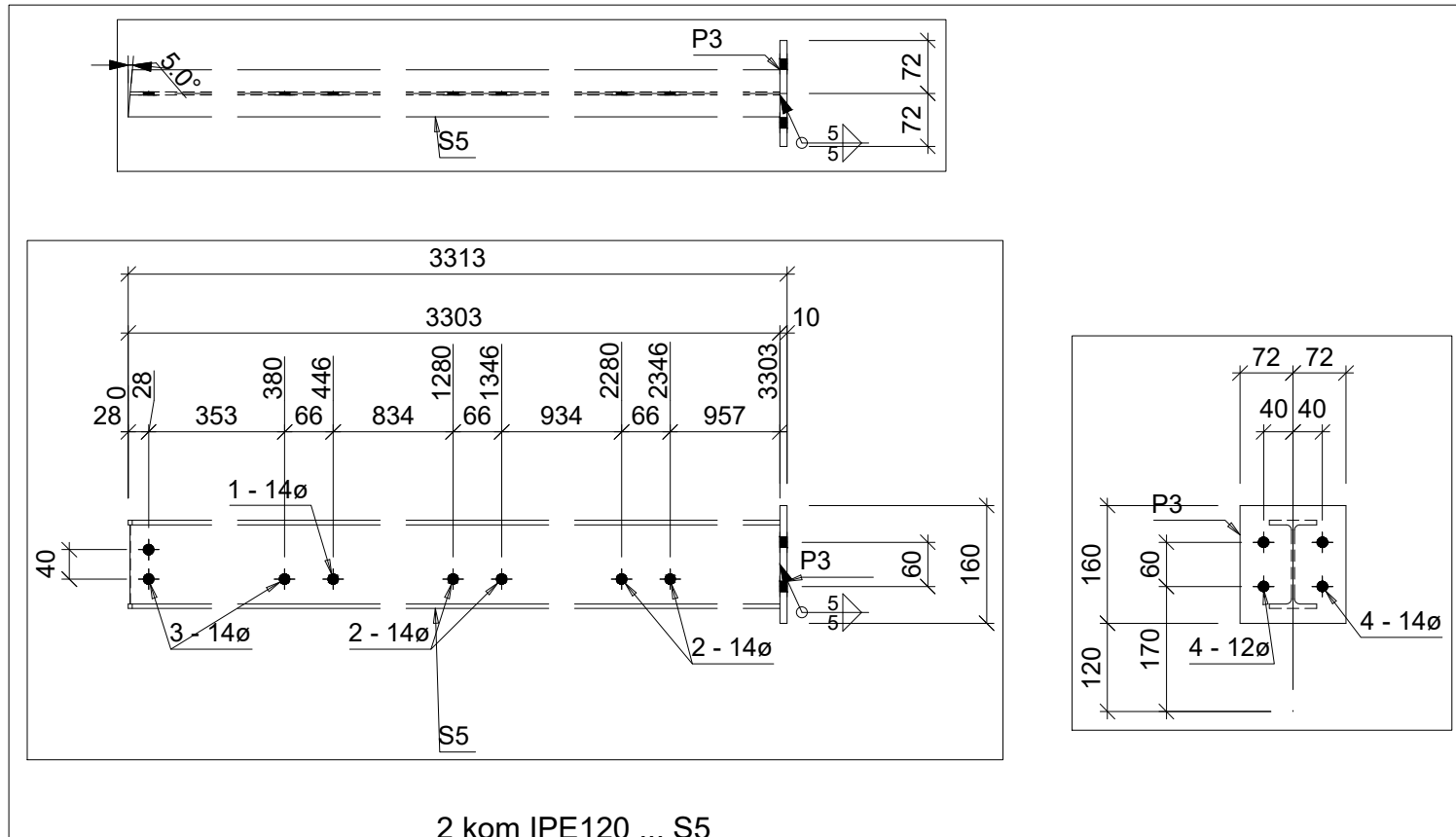
2 kom IPE120 ... S4

GF GRAĐEVINSKI FAKULTET, SVEUČILIŠTE U RIJEKI

| | |
|---|--|
| Diplomski rad PRORAČUN ČELIČNE KONSTRUKCIJE VIKENDICE I USPOREDBA S VIKENDICOM KLASIČNE GRADNJE | Sadržaj načrta: BOĆNI RUBNI STUPOVI S4 (JUŽNI I SJEVERNI) S ISKAZOM MATERIJALA U SPOJEVIMA |
| Student: Natali Lanča | Kolegij: Lagane konstrukcije |
| Mentor: doc. dr. sc. Paulina Krolo | Datum: VII 2021. Mjerilo: 1:10 List: 18 |

STUPOVI S5 - bočni (IPE120)

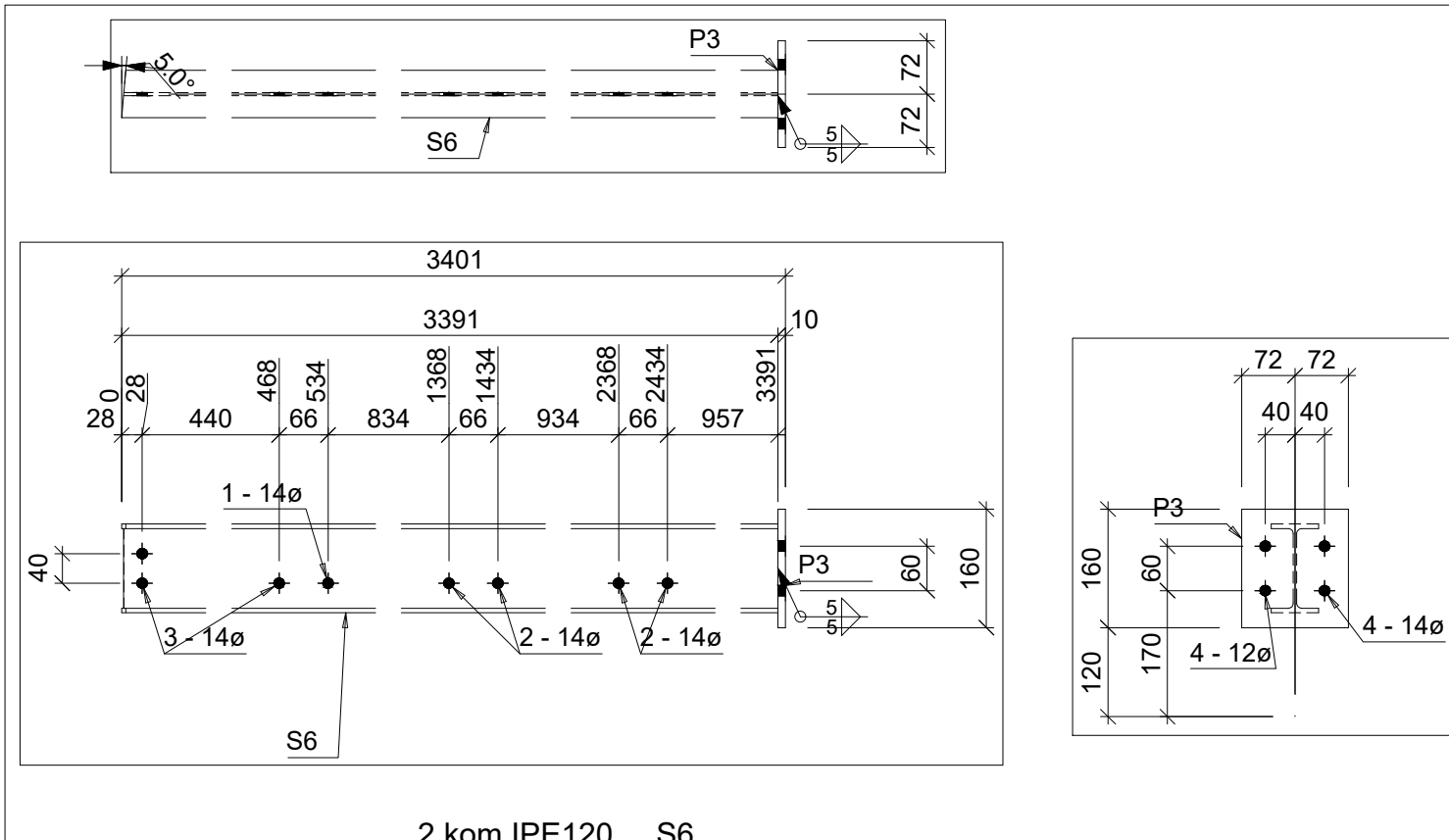
MJ 1:10



| | | |
|---------------|---|---|
| GF | GRAĐEVINSKI FAKULTET, SVEUČILIŠTE U RIJEKI | |
| Diplomski rad | PRORAČUN ČELIČNE KONSTRUKCIJE VIKENDICE I USPOREDBA S VIKENDICOM KLASIČNE GRADNJE | Sadržaj načrta: BOĆNI RUBNI STUPOVI S5 (JUŽNI I SJEVERNI) S ISKAZOM MATERIJALA U SPOJEVIMA |
| Student: | Natali Lanča | Kolegij: Lagane konstrukcije |
| Mentor: | doc. dr. sc. Paulina Krolo | Datum: Mjerilo: List: VII 2021. 1:10 19 |

STUPOVI S6 - bočni (IPE120)

MJ 1:10

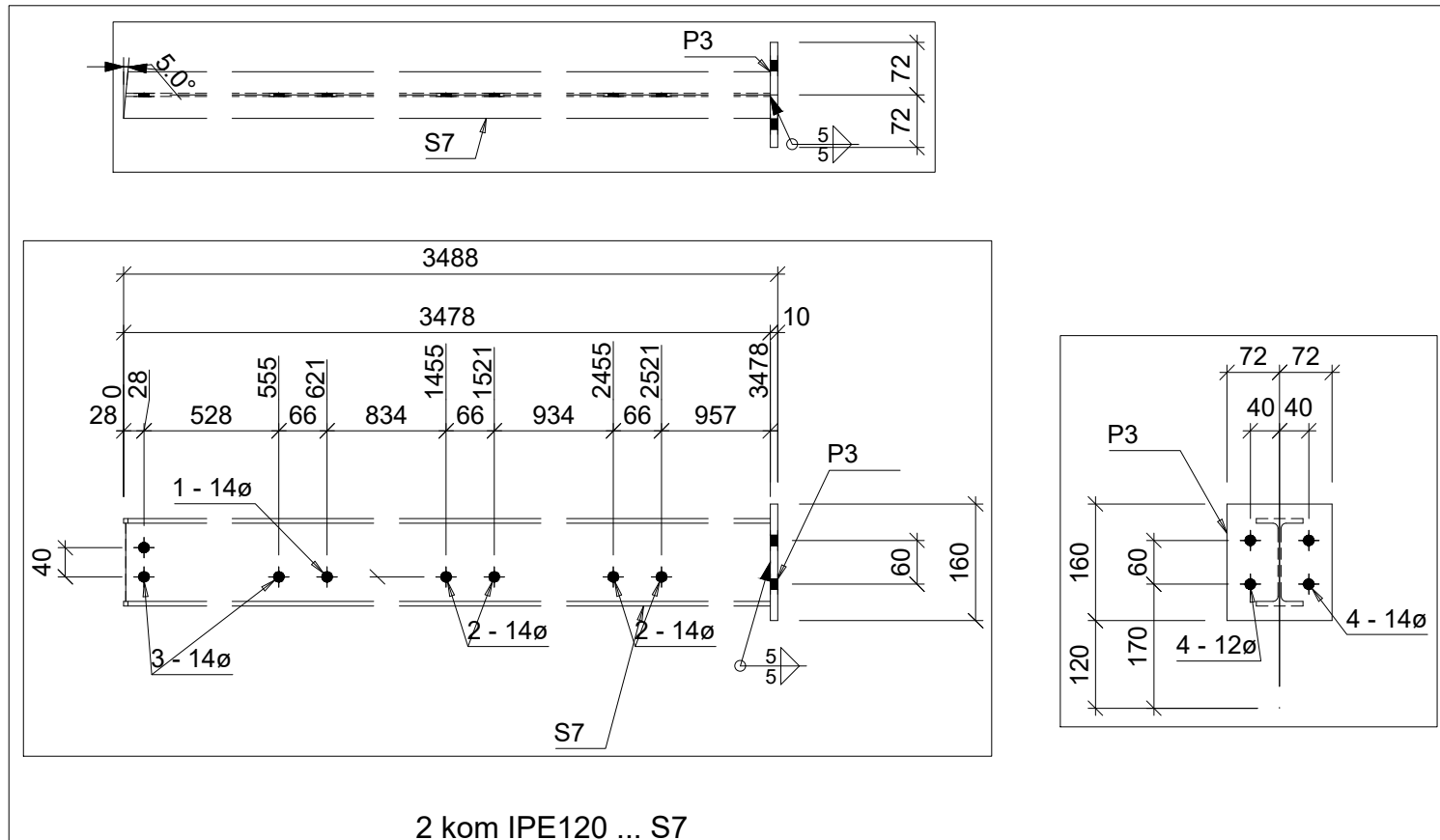


GF GRAĐEVINSKI FAKULTET, SVEUČILIŠTE U RIJEKI

| | |
|---|--|
| Diplomski rad PRORAČUN ČELIČNE KONSTRUKCIJE VIKENDICE I USPOREDBA S VIKENDICOM KLASIČNE GRADNJE | Sadržaj načrta: BOĆNI RUBNI STUPOVI S6 (JUŽNI I SJEVERNI) S ISKAZOM MATERIJALA U SPOJEVIMA |
| Student: Natali Lanča | Kolegij: Lagane konstrukcije |
| Mentor: doc. dr. sc. Paulina Krolo | Datum: VII 2021. Mjerilo: 1:10 List: 20 |

STUPOVI S7 - bočni (IPE120)

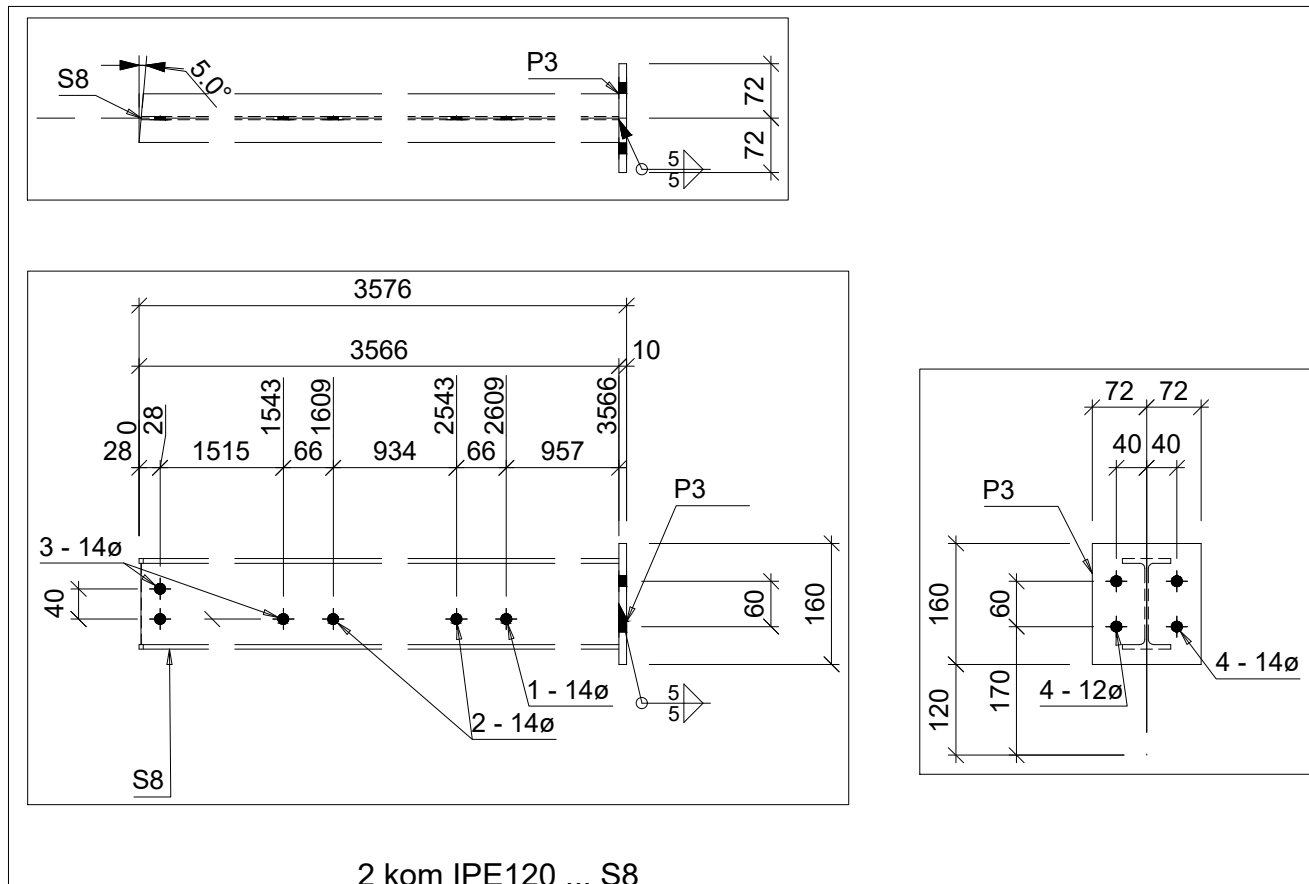
MJ 1:10



| | | |
|---------------|---|--|
| GF | GRAĐEVINSKI FAKULTET, SVEUČILIŠTE U RIJEĆI | |
| Diplomski rad | PRORAČUN ČELIČNE KONSTRUKCIJE VIKENDICE I USPOREDBA S VIKENDICOM KLASIČNE GRADNJE | Sadržaj načrt: |
| | | BOĆNI RUBNI STUPOVI S7 (JUŽNI I SJEVERNI) S ISKAZOM MATERIJALA U SPOJEVIMA |
| Student: | Natali Lanča | Kolegij: |
| Mentor: | doc. dr. sc. Paulina Krolo | Lagane konstrukcije |
| | | Datum: Mjerilo: List: |
| | | VII 2021. 1:10 21 |

STUPOVI S8 - bočni (IPE120)

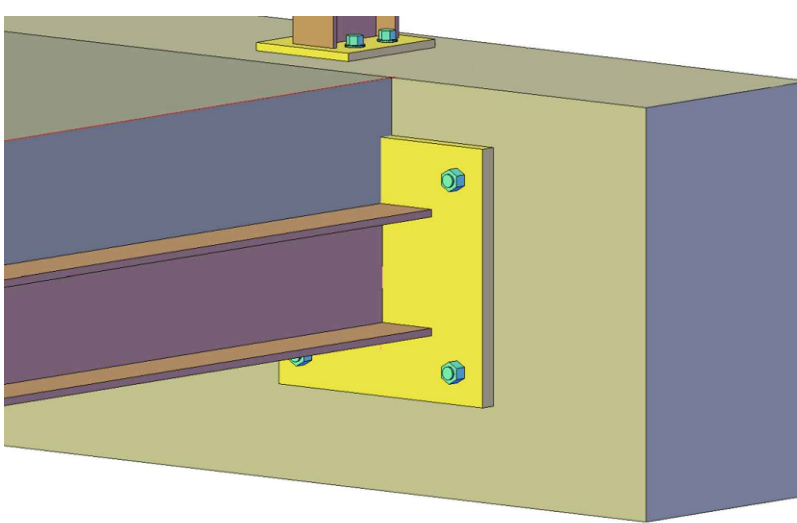
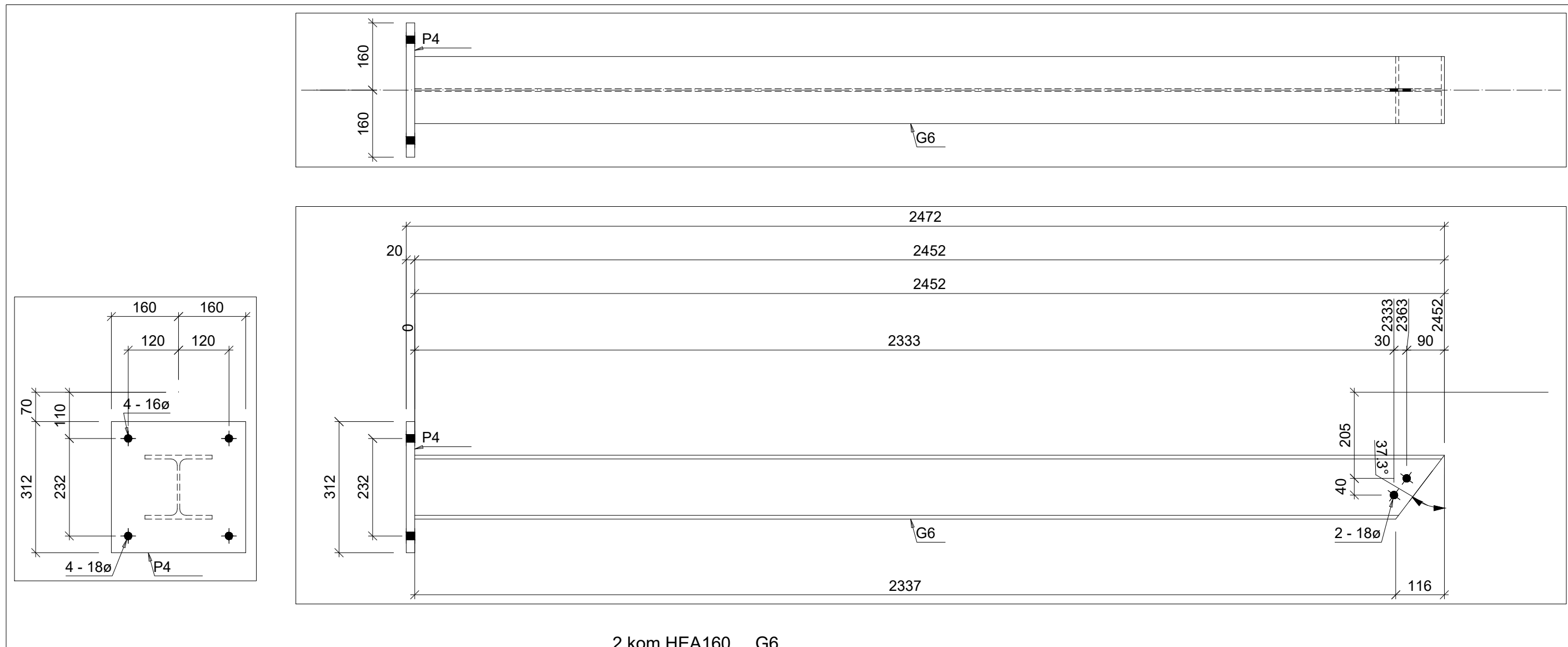
MJ 1:10



| | | |
|---------------|---|--|
| GF | GRAĐEVINSKI FAKULTET, SVEUČILIŠTE U RIJEKI | |
| Diplomski rad | PRORAČUN ČELIČNE KONSTRUKCIJE VIKENDICE I USPOREDBA S VIKENDICOM KLASIČNE GRADNJE | Sadržaj načrt: |
| | | BOĆNI RUBNI STUPOVI S8 (JUŽNI I SJEVERNI) S ISKAZOM MATERIJALA U SPOJEVIMA |
| Student: | Natali Lanča | Kolegij: |
| Mentor: | doc. dr. sc. Paulina Krolo | Lagane konstrukcije |
| | | Datum: Mjerilo: List: |
| | | VII 2021. 1:10 22 |

UZDUŽNI MEĐUKATNI NOSAČI G6 (HEA160)

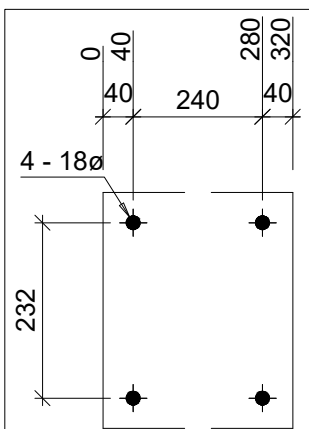
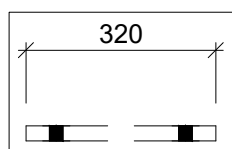
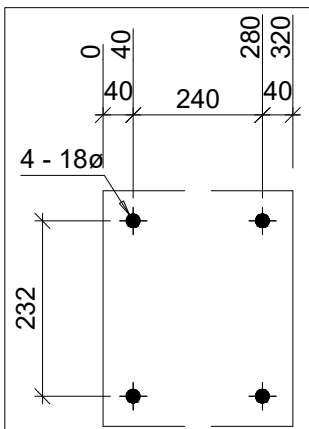
MJ 1:10



| | |
|---|---|
| GF GRAĐEVINSKI FAKULTET, SVEUČILIŠTE U RIJECI | Sadržaj nacrta: UZDUŽNI MEĐUKATNI NOSAČI G6 S ISKAZOM MATERIJALA U SPOJEVIMA |
| Diplomski rad PRORAČUN ČELIČNE KONSTRUKCIJE VIKENDICE I USPOREDBA S VIKENDICOM KLASIČNE GRADNJE | Kolegij: Lagane konstrukcije |
| Student: Natali Lanča | Mjerilo: 1:10 |
| Mentor: doc. dr. sc. Paulina Krolo | Datum: VII 2021. |

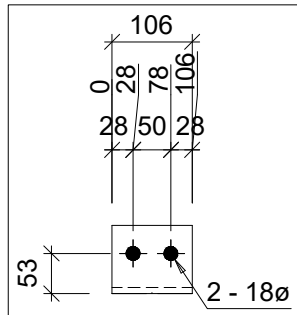
UZDUŽNI MEĐUKATNI NOSAČI 1 (HEA160)

MJ 1:10



2 kom 20x312 - P4

No. M16 x 150 - A2



20 kom L90X60X8 - L5



20 kom M16 x 45 5.8. - V5

GF GRAĐEVINSKI FAKULTET, SVEUČILIŠTE U RIJECI

Diplomski rad

**PRORAČUN ČELIČNE
KONSTRUKCIJE VIKENDICE I
USPOREDBA S VIKENDICOM
KLASIČNE GRADNJE**

Sadržaj nacrta:

**UZDUŽNI KROVNI NOSAČI G6 S
ISKAZOM MATERIJALA U
SPOJEVIMA**

Student:

Natali Lanča

Kolegij:

Lagane konstrukcije

Mentor:

doc. dr. sc. Paulina Krolo

Datum:

VII 2021.

Mjerilo:

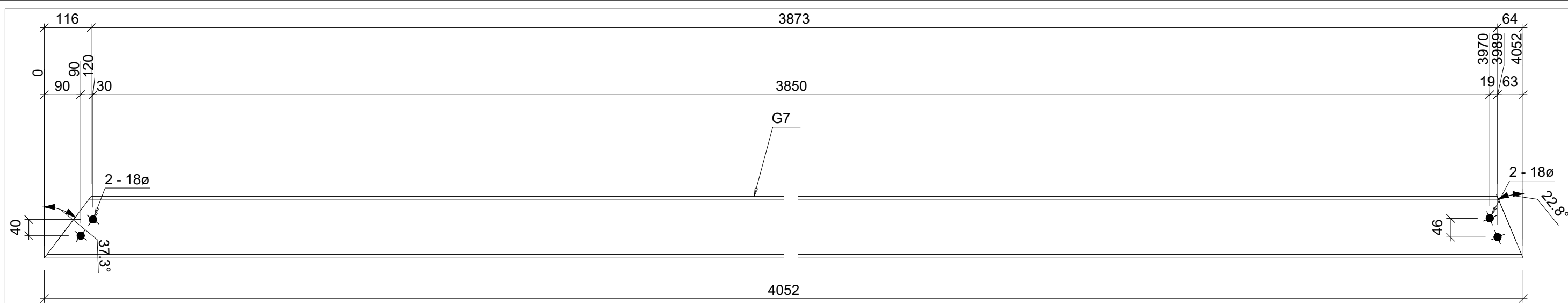
1:10

List:

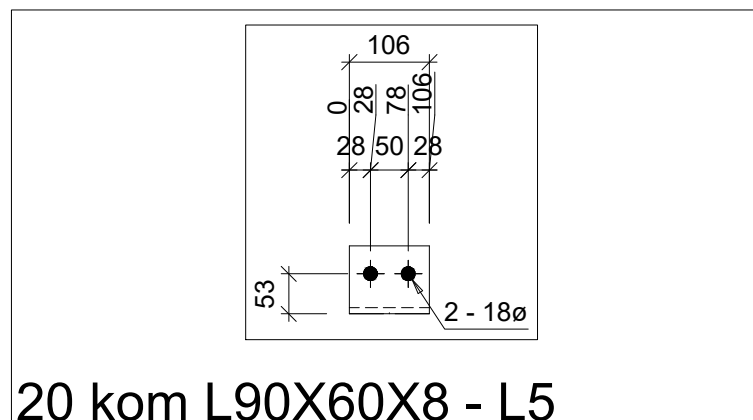
24

UZDUŽNI MEĐUKATNI NOSAČI G7 (HEA160)

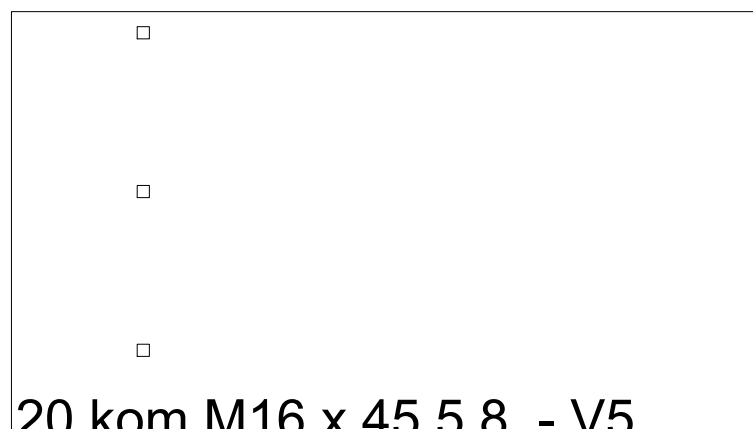
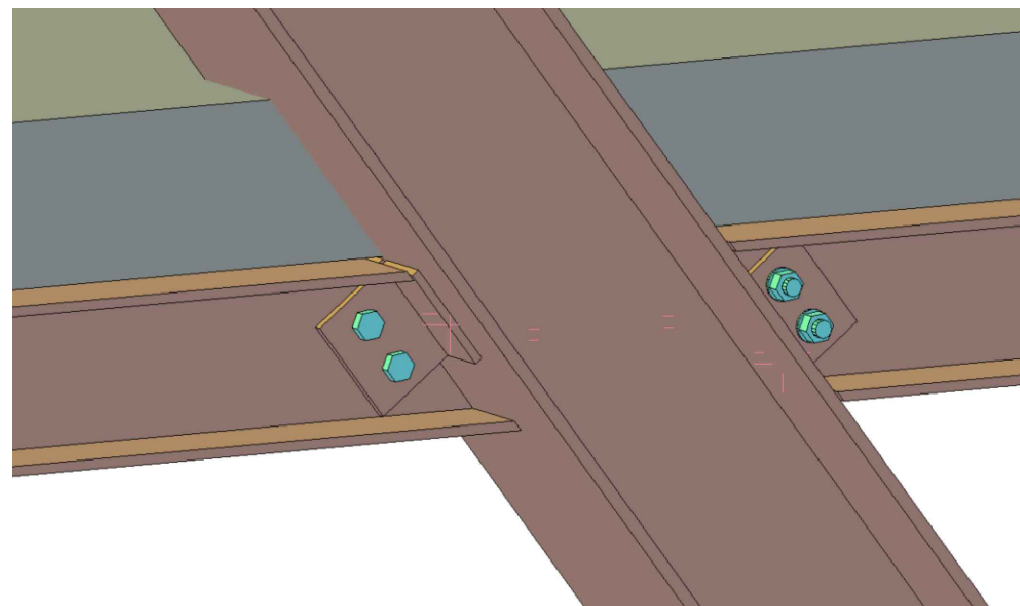
MJ 1:10



2 kom HEA160 ... G7



20 kom L90X60X8 - L5



20 kom M16 x 45 5.8. - V5

GF GRAĐEVINSKI FAKULTET, SVEUČILIŠTE U RIJECI

Diplomski rad
PRORAČUN ČELIČNE KONSTRUKCIJE VIKENDICE I USPOREDBA S VIKENDICOM KLASIČNE GRADNJE

Student:

Natali Lanča

Mentor:

doc. dr. sc. Paulina Krolo

Sadržaj nacrta:
UZDUŽNI MEĐUKATNI NOSAČI G7 S ISKAZOM MATERIJALA U SPOJEVIMA

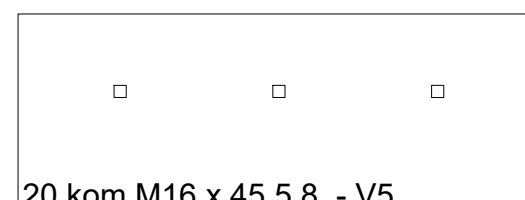
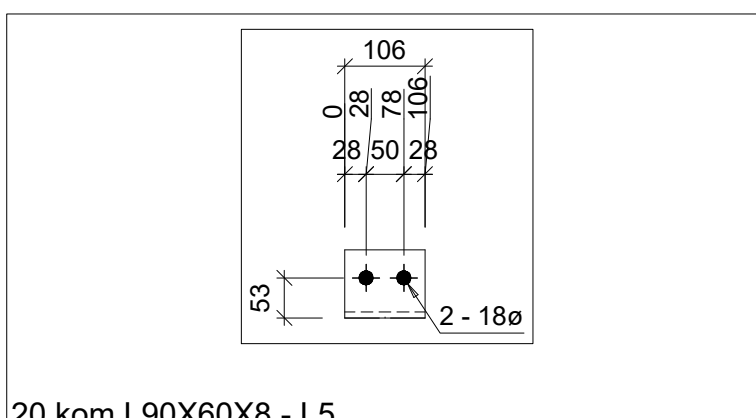
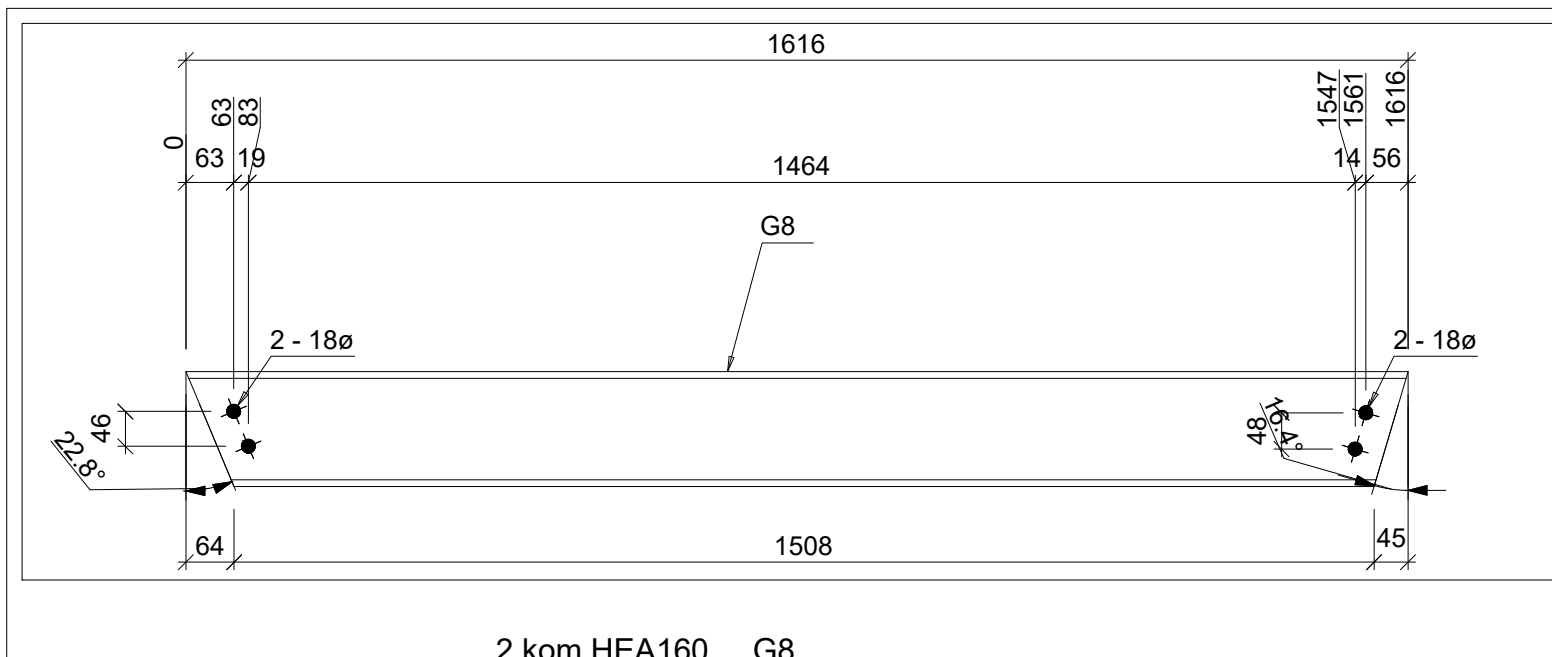
Kolegij:

Lagane konstrukcije

Datum: **VII 2021.** Mjerilo: **1:10** List: **25**

UZDUŽNI MEĐUKATNI NOSAČI G8 (HEA160)

MJ 1:10



GF GRAĐEVINSKI FAKULTET, SVEUČILIŠTE U RIJECI

Diplomski rad
PRORAČUN ČELIČNE KONSTRUKCIJE VIKENDICE I USPOREDBA S VIKENDICOM KLASIČNE GRADNJE

Sadržaj načrta:
UZDUŽNI MEĐUKATNI NOSAČI G8 S ISKAZOM MATERIJALA U SPOJEVIMA

Student:
Natali Lanča

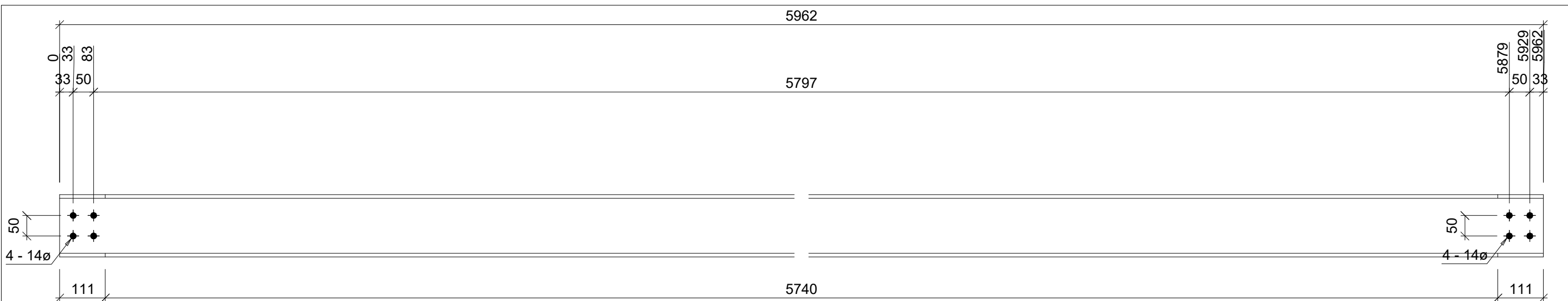
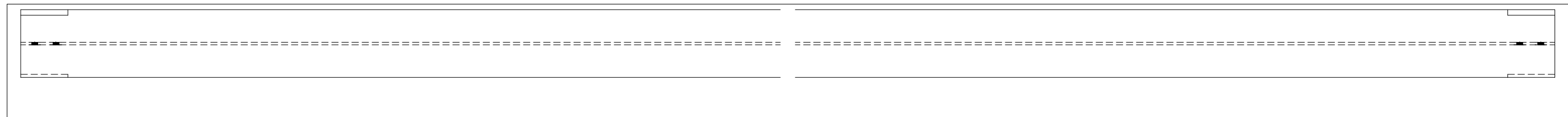
Kolegij:
Lagane konstrukcije

Mentor:
doc. dr. sc. Paulina Krolo

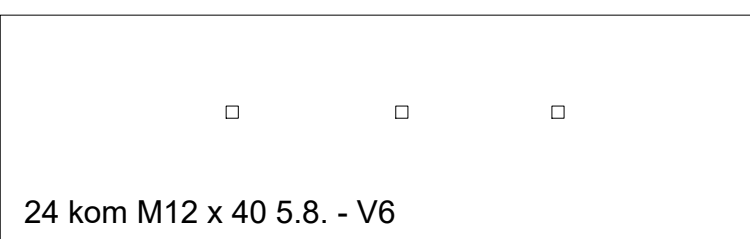
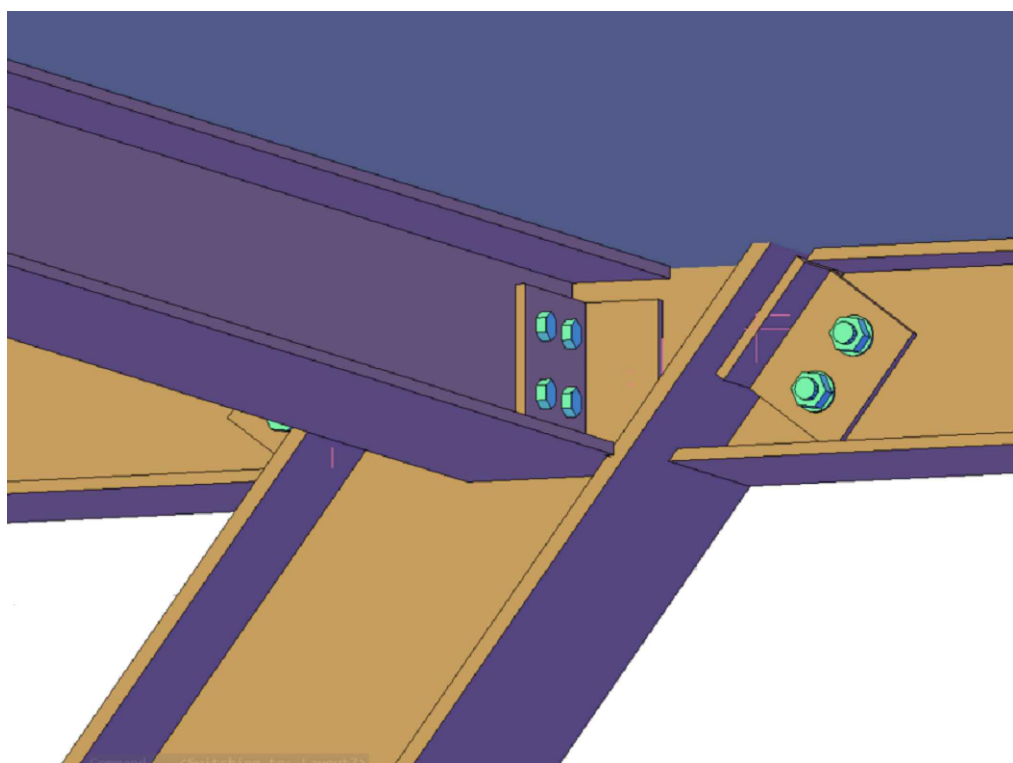
Datum: **VII 2021.** Mjerilo: **1:10** List: **26**

POPREČNI MEĐUKATNI NOSAČI - G9 (HEA160)

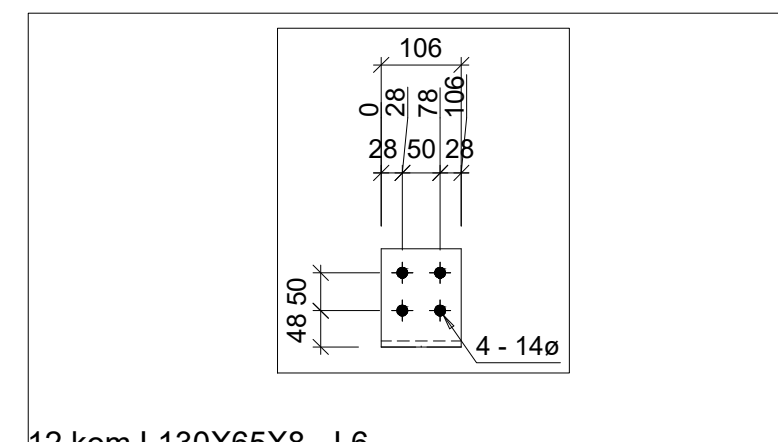
MJ 1:10



2 kom HEA160 ... G9



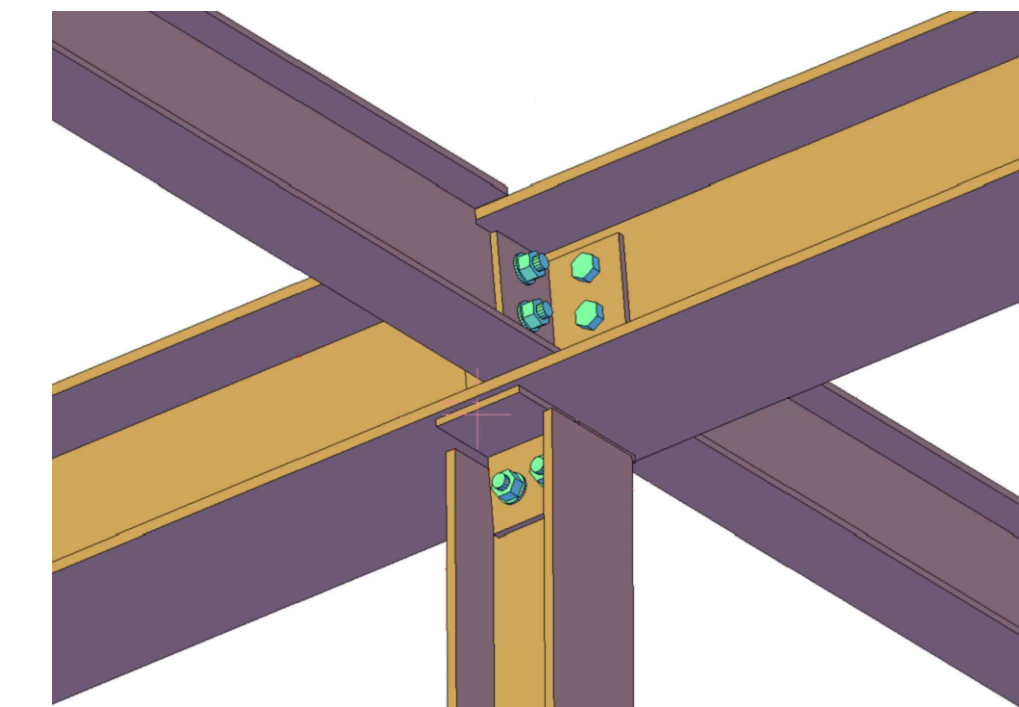
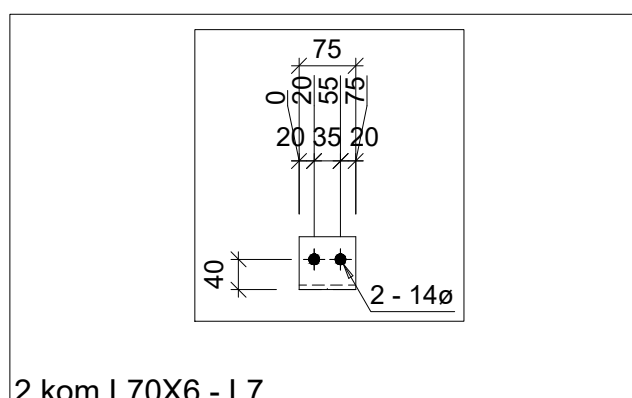
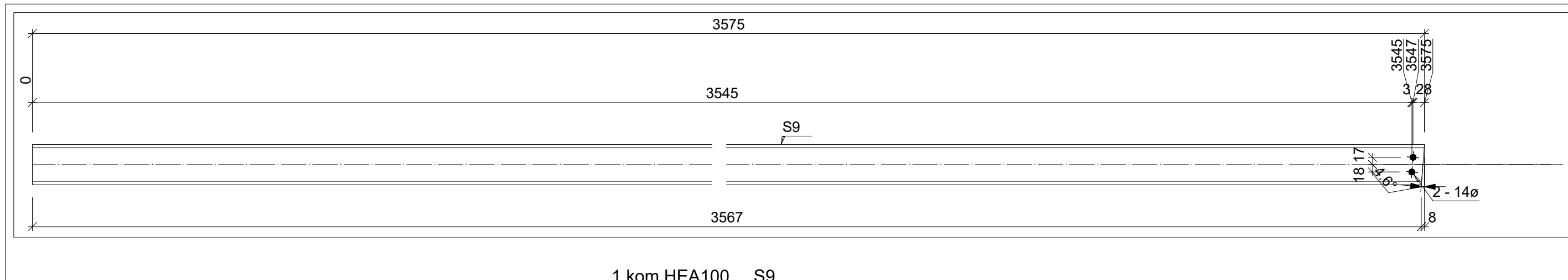
24 kom M12 x 40 5.8. - V6



12 kom L130X65X8 - L6

STUP - S9 (HEA100)

MJ 1:10



GF GRAĐEVINSKI FAKULTET, SVEUČILIŠTE U RIJECI

Diplomski rad
**PRORAČUN ČELIČNE
KONSTRUKCIJE VIKENDICE I
USPOREDBA S VIKENDICOM
KLASIČNE GRADNJE**

Sadržaj nacrta:
**STUP S9 S ISKAZOM MATERIJALA
U SPOJEVIMA**

Student:
Natali Lanča

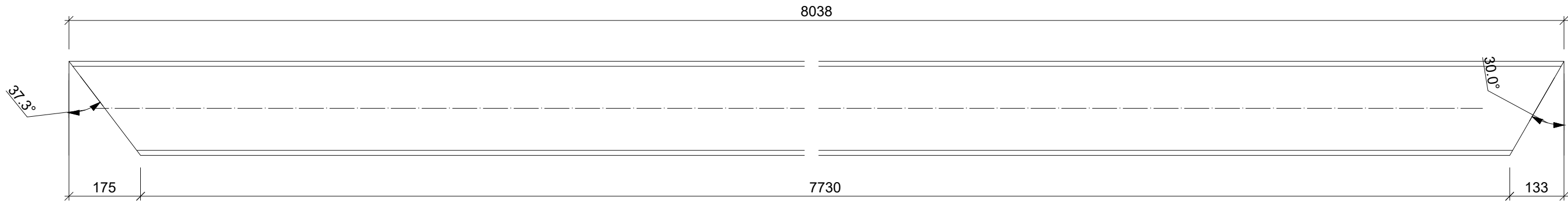
Kolegij:
Lagane konstrukcije

Mentor:
doc. dr. sc. Paulina Krolo

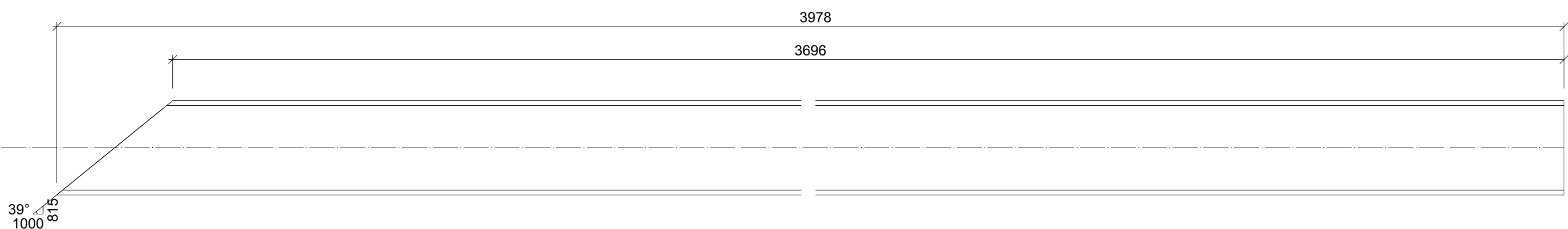
Datum: **VII 2021.** Mjerilo: **1:10** List: **28**

N-nosači G10, G11, G12 (HEA240)

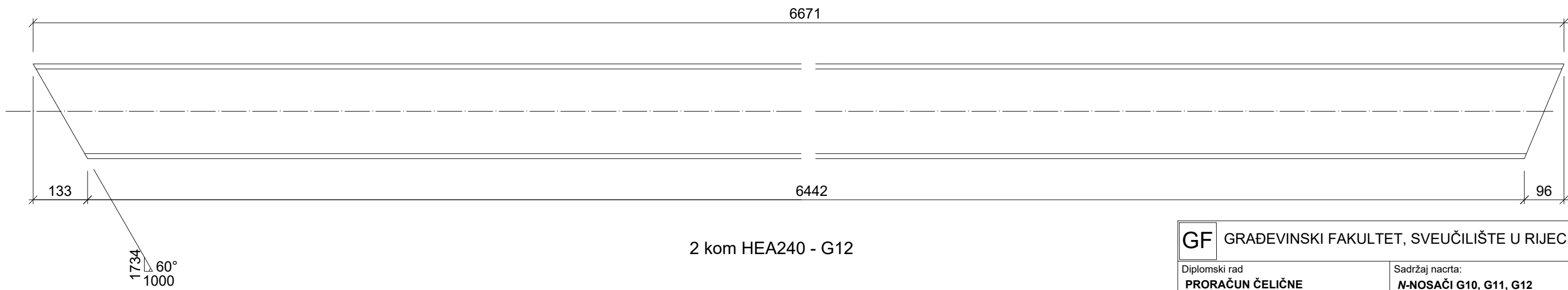
MJ 1:10



2 kom HEA240 - G10



2 kom HEA240 - G11



2 kom HEA240 - G12

GF GRAĐEVINSKI FAKULTET, SVEUČILIŠTE U RIJECI

Diplomski rad
**PRORAČUN ČELIČNE
KONSTRUKCIJE VIKENDICE I
USPOREDBA S VIKENDICOM
KLASIČNE GRADNJE**

Sadržaj nacrta:
N-NOSAČI G10, G11, G12

Student:

Natali Lanča

Kolegij:

Lagane konstrukcije

Mentor:

doc. dr. sc. Paulina Krolo

Datum:

VII 2021.

Mjerilo:

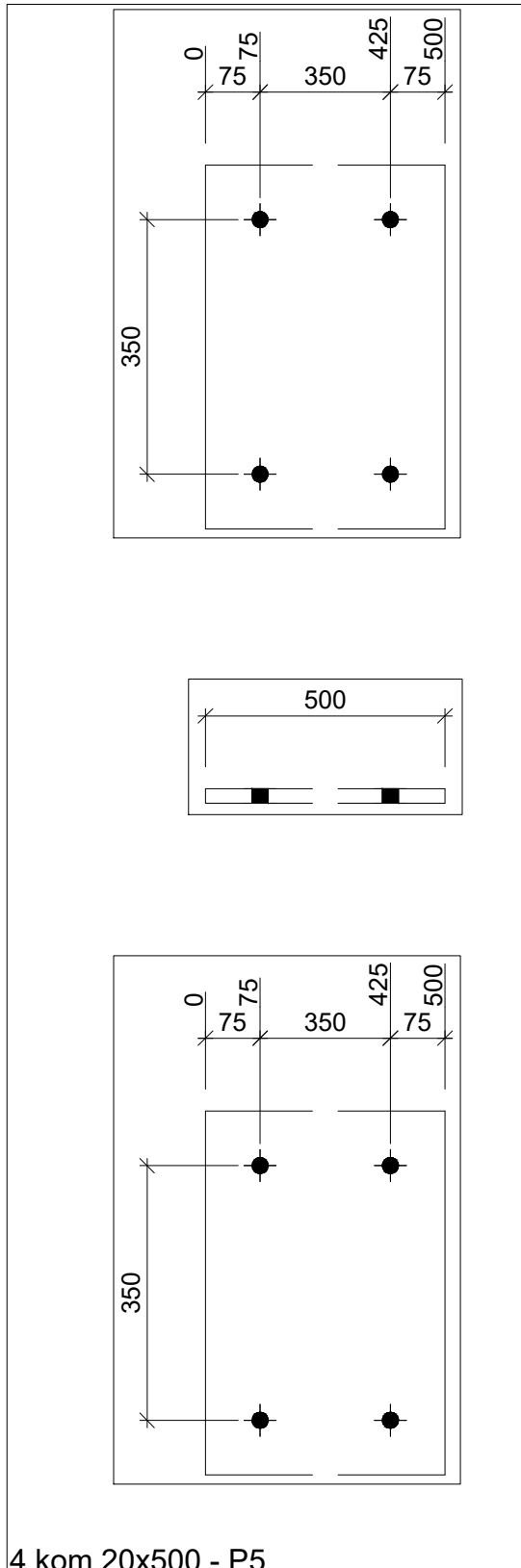
1:10

List:

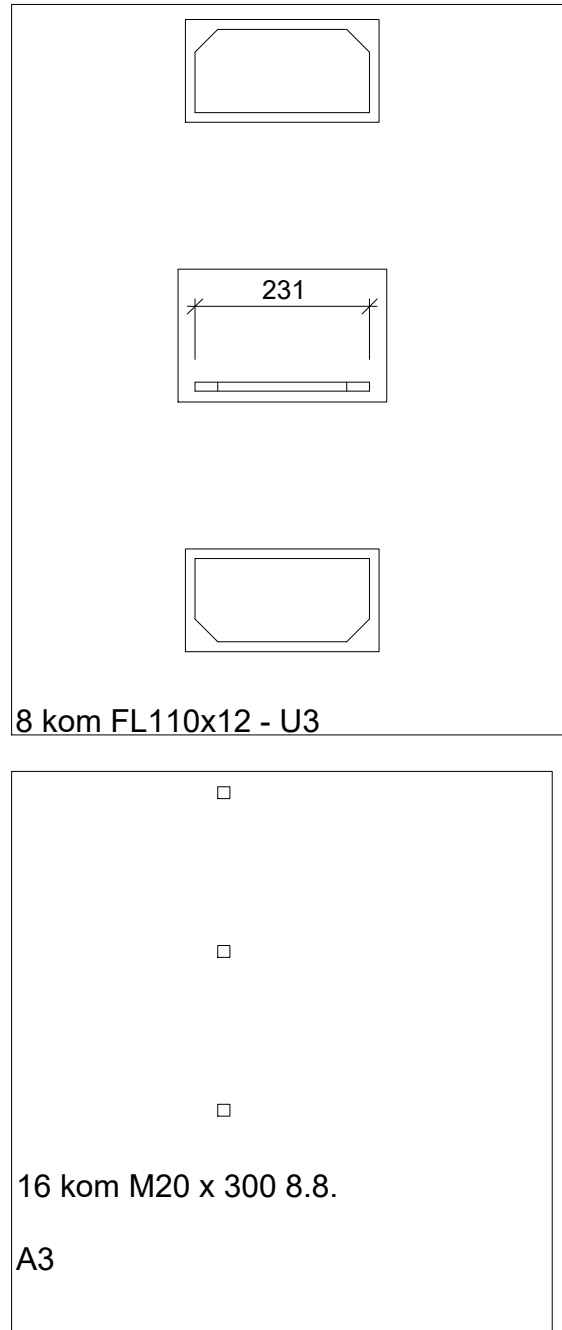
29

N-nosači (HEA240)

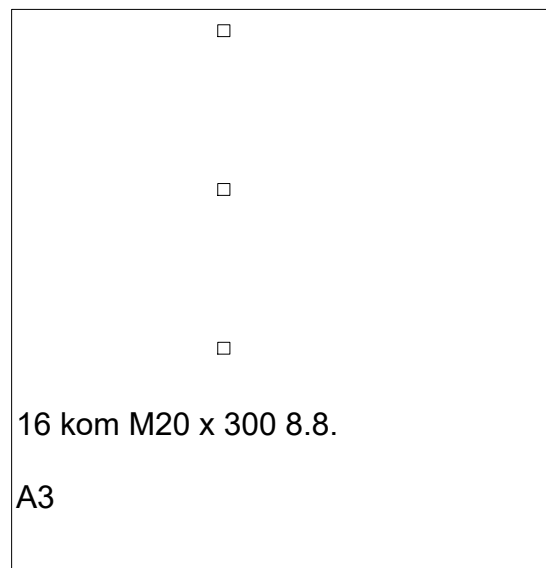
MJ 1:10



4 kom 20x500 - P5



8 kom FL110x12 - U3



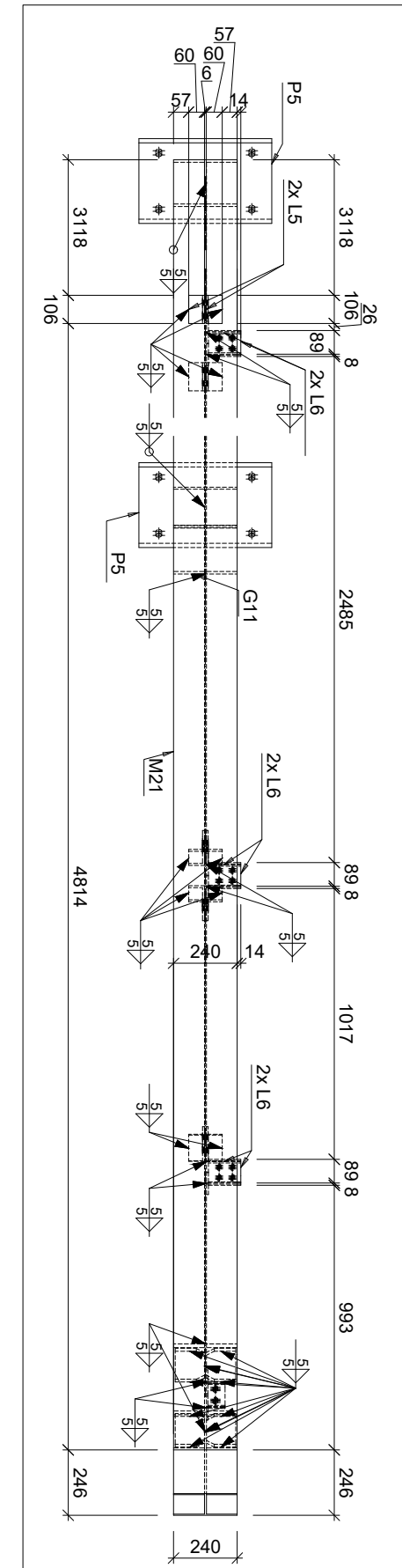
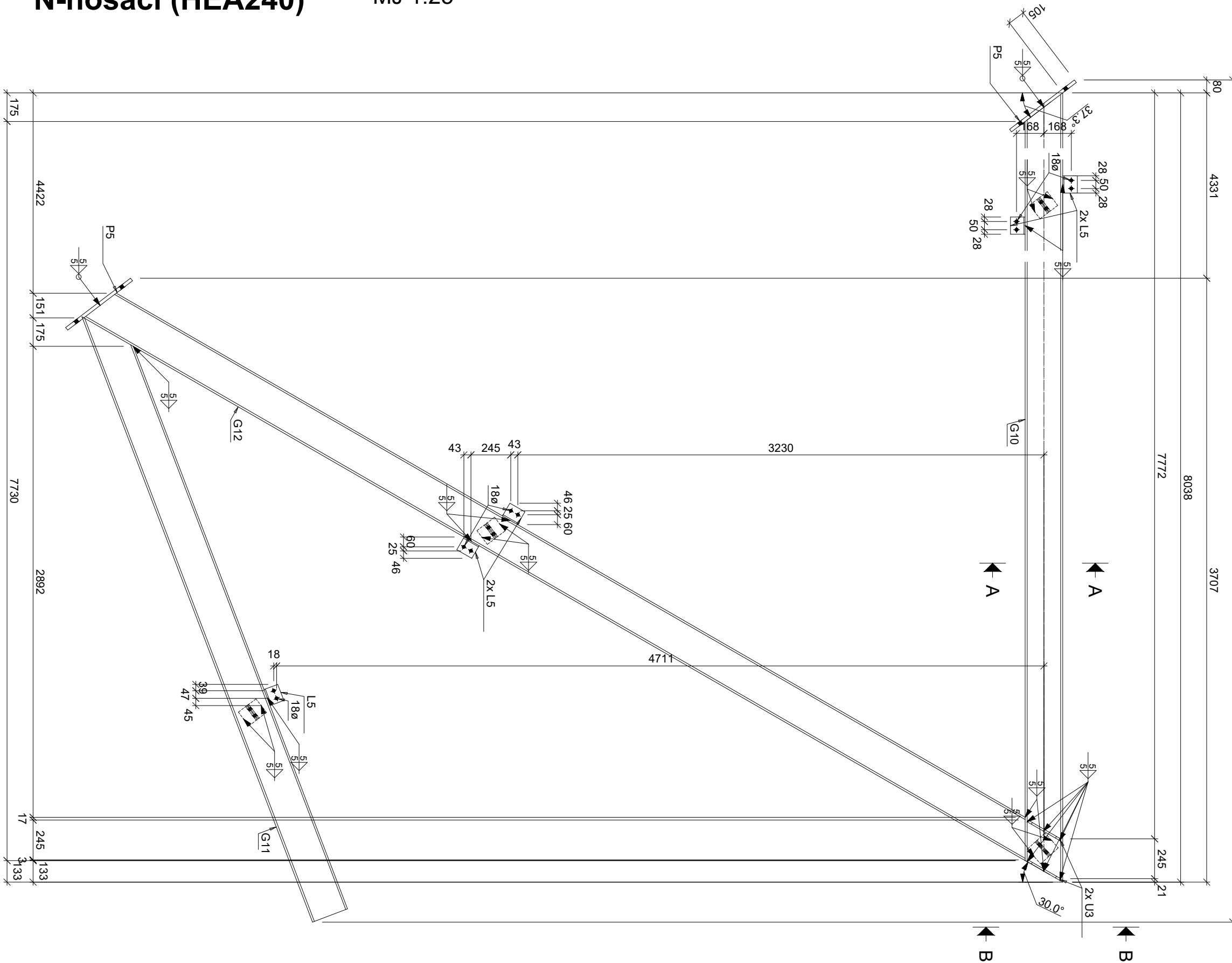
16 kom M20 x 300 8.8.

A3

| | | | |
|---|---|-------------------------|--------------------|
| GF | GRAĐEVINSKI FAKULTET, SVEUČILIŠTE U RIJECI | | |
| Diplomski rad PRORAČUN ČELIČNE KONSTRUKCIJE VIKENDICE I USPOREDBA S VIKENDICOM KLASIČNE GRADNJE | Sadržaj nacrta: ISKAZ MATERIJALA U SPOJEVIMA N-NOSĀČA | | |
| Student: Natali Lanča | Kolegij: Lagane konstrukcije | | |
| Mentor: doc. dr. sc. Paulina Krolo | Datum: VII 2021. | Mjerilo: 1:10 | List: 30 |

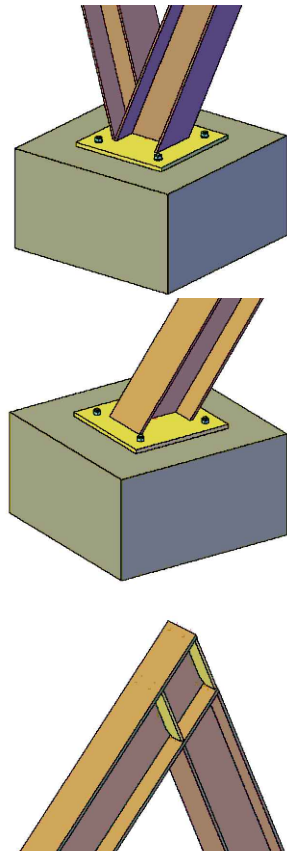
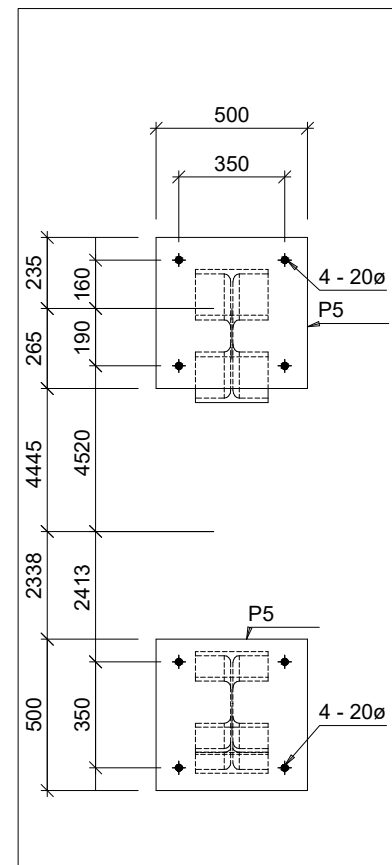
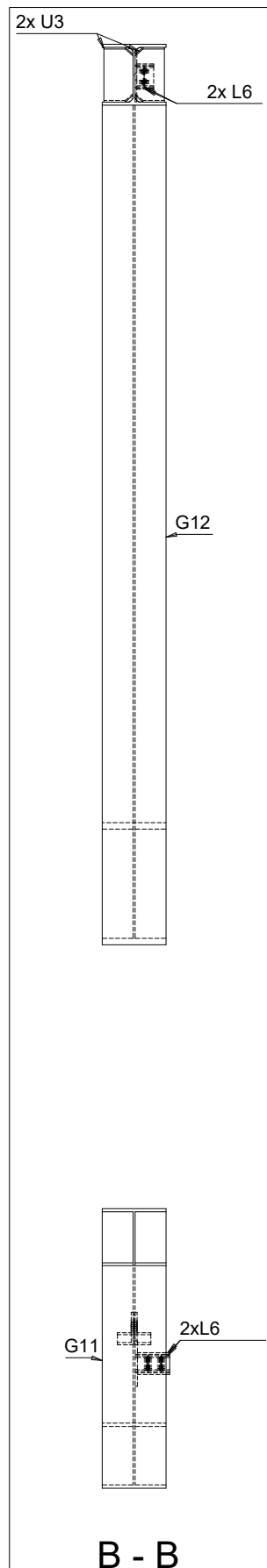
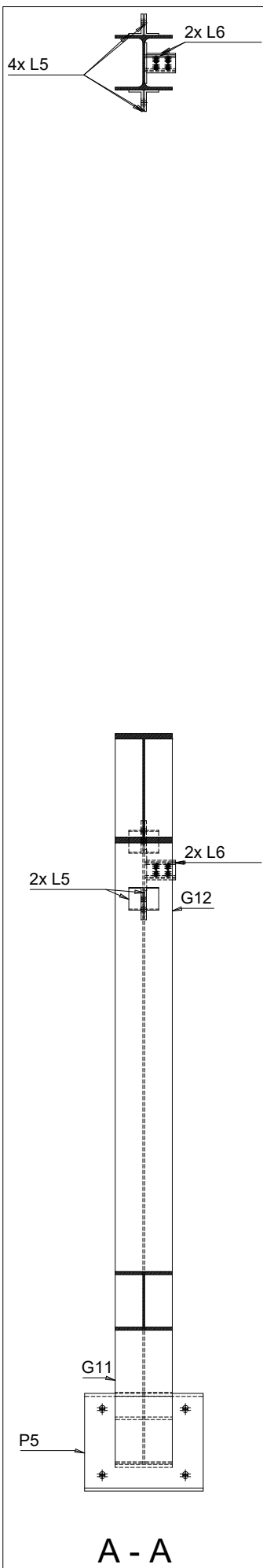
N-nosači (HEA240)

MJ 1:25



N-nosači G10, G11, G12 (HEA240)

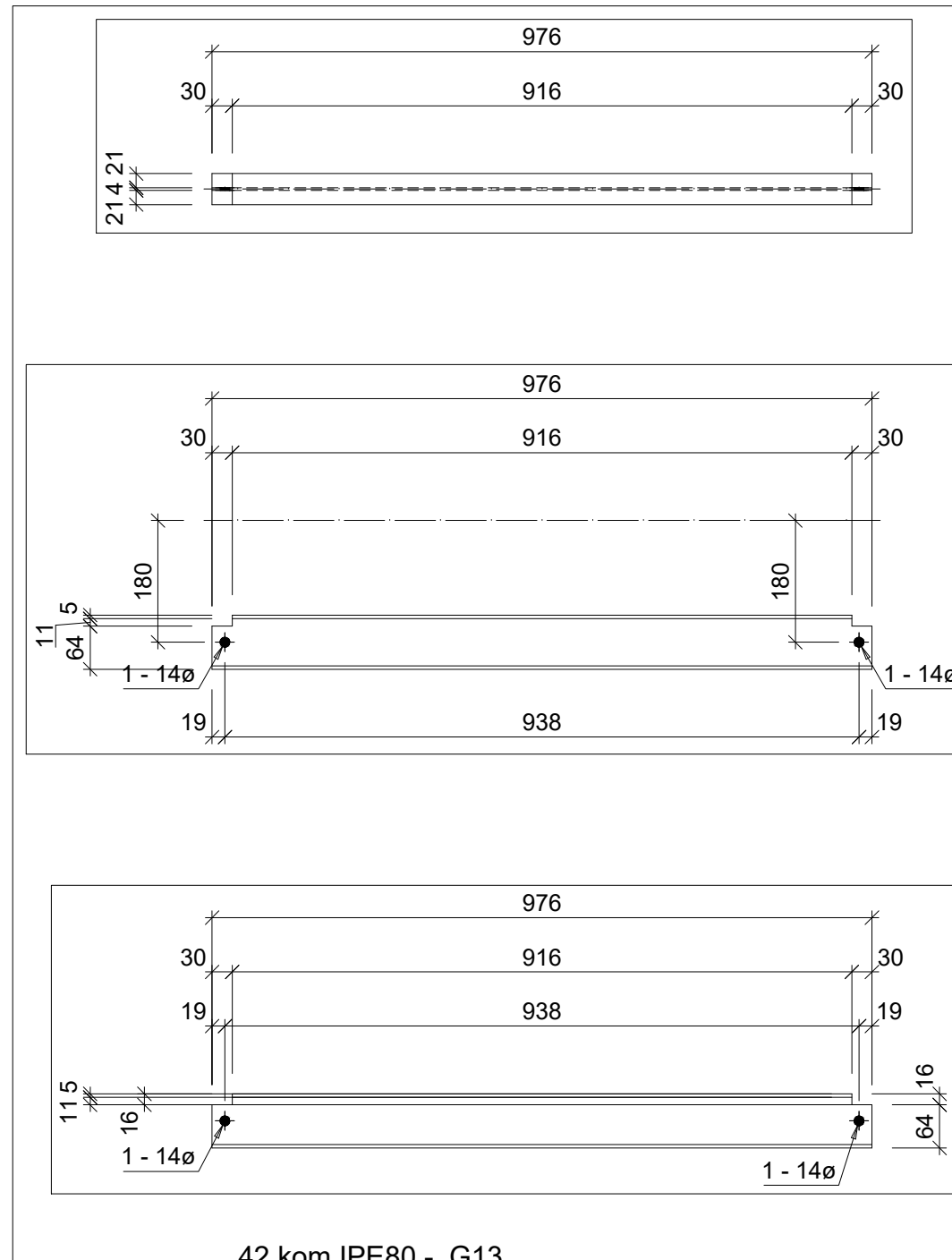
MJ 1:25



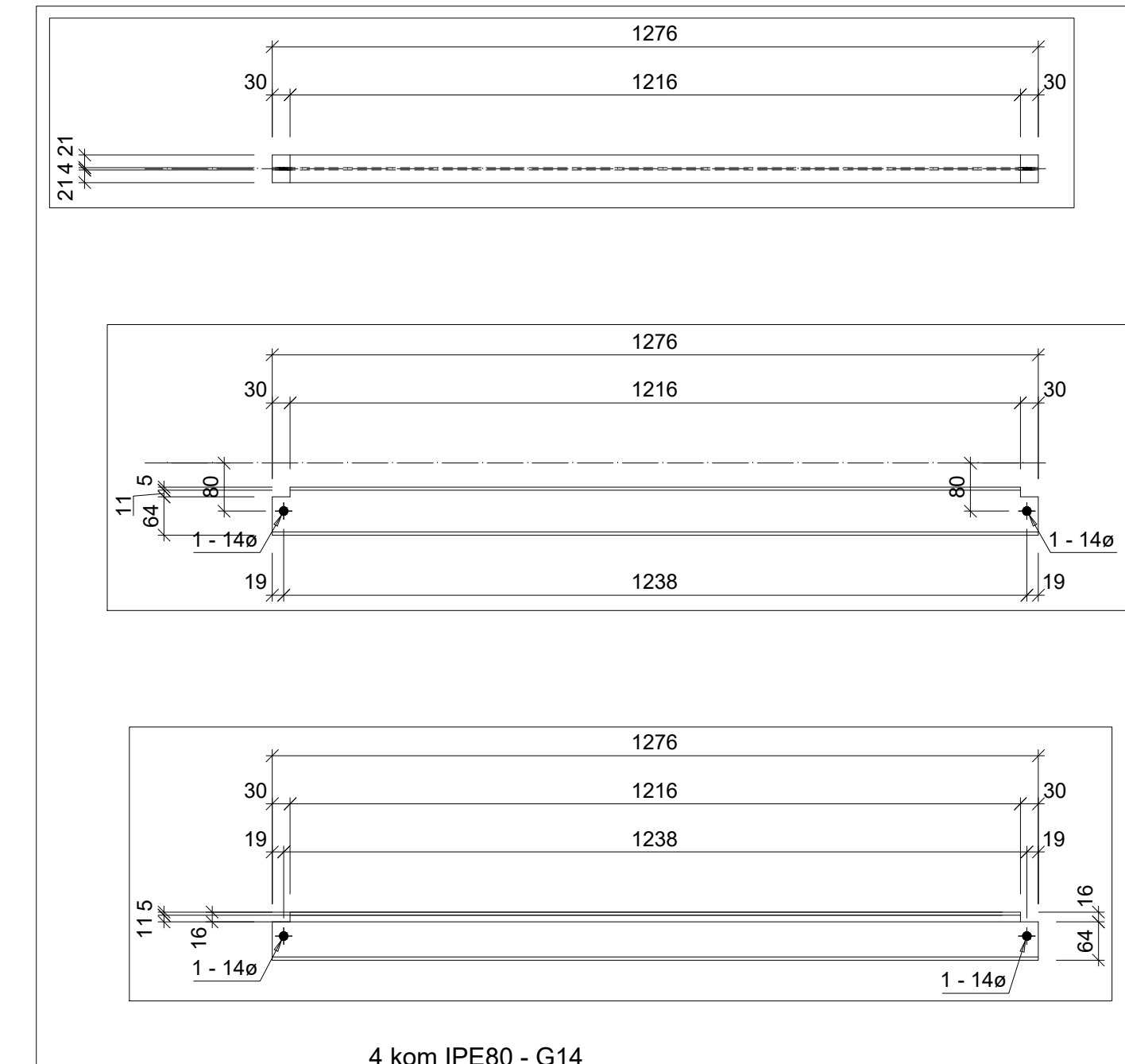
| GF GRAĐEVINSKI FAKULTET, SVEUČILIŠTE U RIJEKI | | Sadržaj nacrta: N-NOSAČI - PRESJECI |
|---|--|---|
| Diplomski rad PRORAČUN ČELIČNE KONSTRUKCIJE VIKENDICE I USPOREDBA S VIKENDICOM KLASIČNE GRADNJE | | |
| Student: Natali Lanča | Kolegij: Lagane konstrukcije | |
| Mentor: doc. dr. sc. Paulina Krolo | Datum: VII 2021. | Mjerilo: 1:25 |
| | | List: 32 |

Nosači fasade G13, G14, G15 (IPE80)

MJ 1:10



42 kom IPE80 - G13

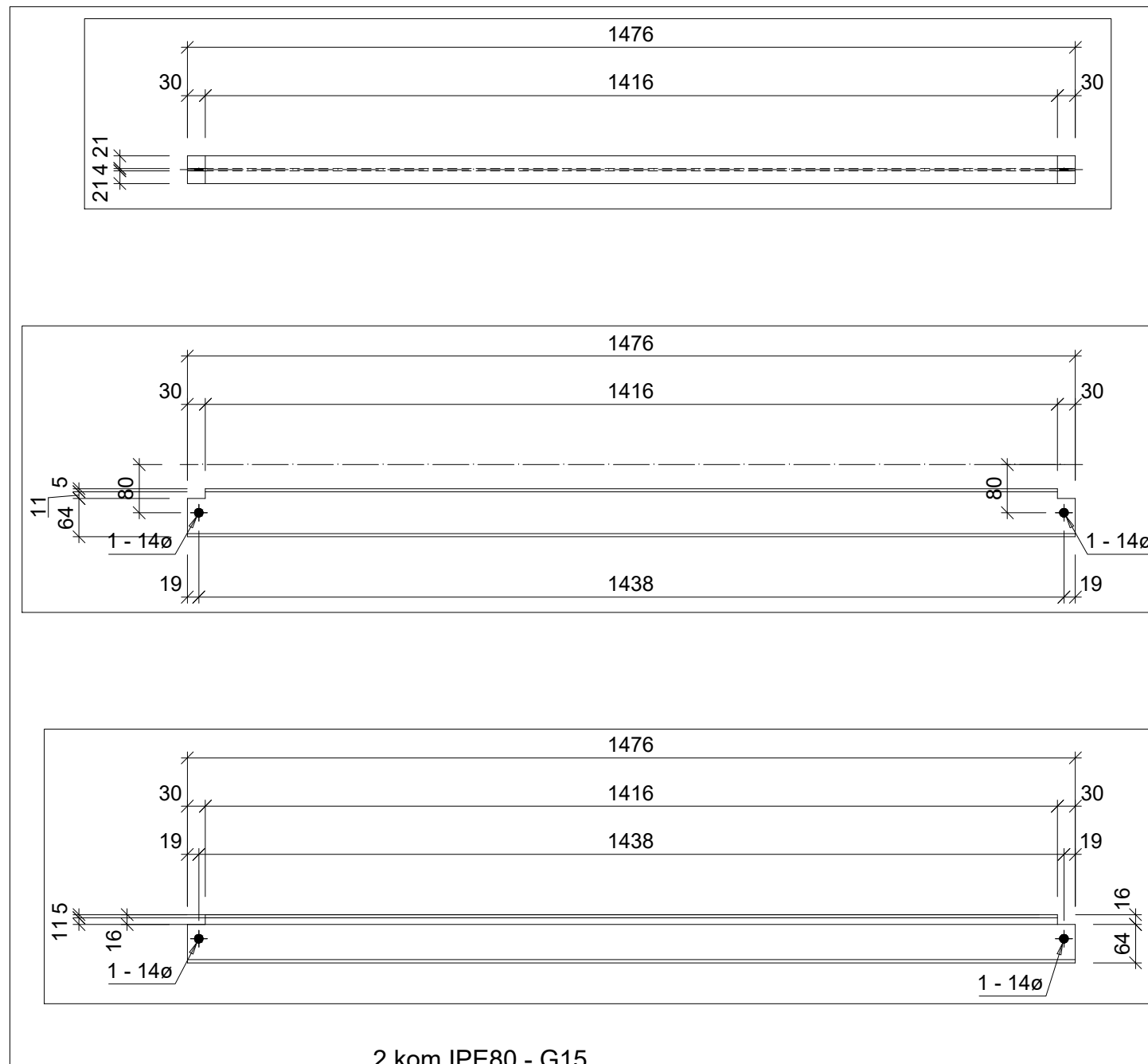


4 kom IPE80 - G14

| | |
|--|--|
| GF GRAĐEVINSKI FAKULTET, SVEUČILIŠTE U RIJECI | |
| Diplomski rad | Sadržaj nacrta: |
| PRORAČUN ČELIČNE KONSTRUKCIJE VIKENDICE I USPOREDBA S VIKENDICOM KLASIČNE GRADNJE | NOSAČI FASADE G13, G14, G15 S ISKAZOM MATERIJALA U SPOJEVIMA |
| Student: Natali Lanča | Kolegij: Lagane konstrukcije |
| Mentor: doc. dr. sc. Paulina Krolo | Datum: VII 2021. Mjerilo: 1:10 List: 33 |

Nosači fasade G13, G14, G15 (IPE80)

MJ 1:10

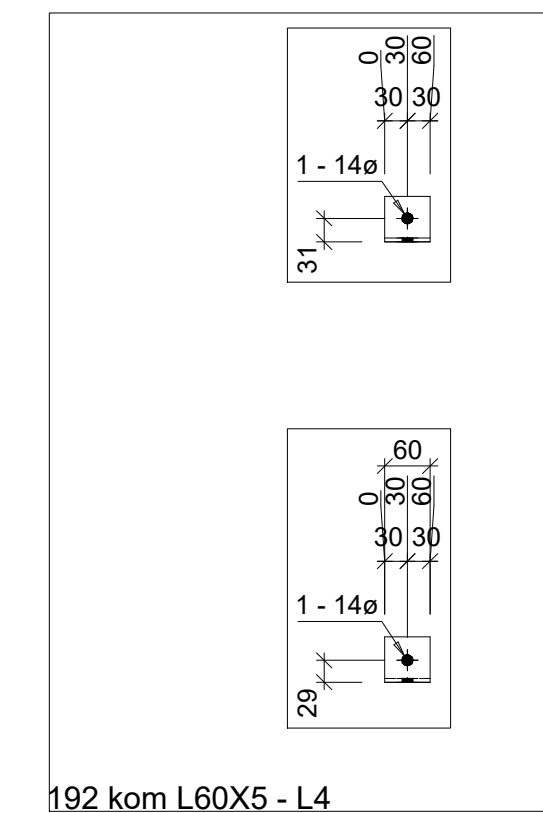


2 kom IPE80 - G15



□ □ □

212 kom M12 x 30 5.8. - V8



192 kom L60X5 - L4

| | | |
|---|--|---|
| GF GRAĐEVINSKI FAKULTET, SVEUČILIŠTE U RIJECI | | Sadržaj nacrta: NOSAČI FASADE G13, G14, G15 S ISKAZOM MATERIJALA U SPOJEVIMA |
| Diplomski rad PRORAČUN ČELIČNE KONSTRUKCIJE VIKENDICE I USPOREDBA S VIKENDICOM KLASIČNE GRADNJE | Kolegij: Lagane konstrukcije | |
| Student: Natali Lanča | Mjerilo: 1:10 | Datum: VII 2021. |
| Mentor: doc. dr. sc. Paulina Krolo | List: 34 | |